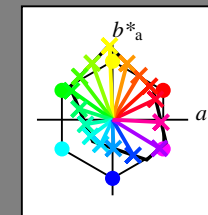


Ein und Ausgabe:
Farbmetrisches Drucker-Reflektiv-System FRS15_90aM
Daten für jede Farbe:
*lab*_{ich}** und *lab*_{icu}**
Elementar-Bunntontext:
*u** = 16 Bunttöne *r00j*, *r25j*, ..., *b75r*
Kontrastreduzierungsfaktor:
c_R = 0.9

FRS15_90aM; adaptierte CIELAB-Daten

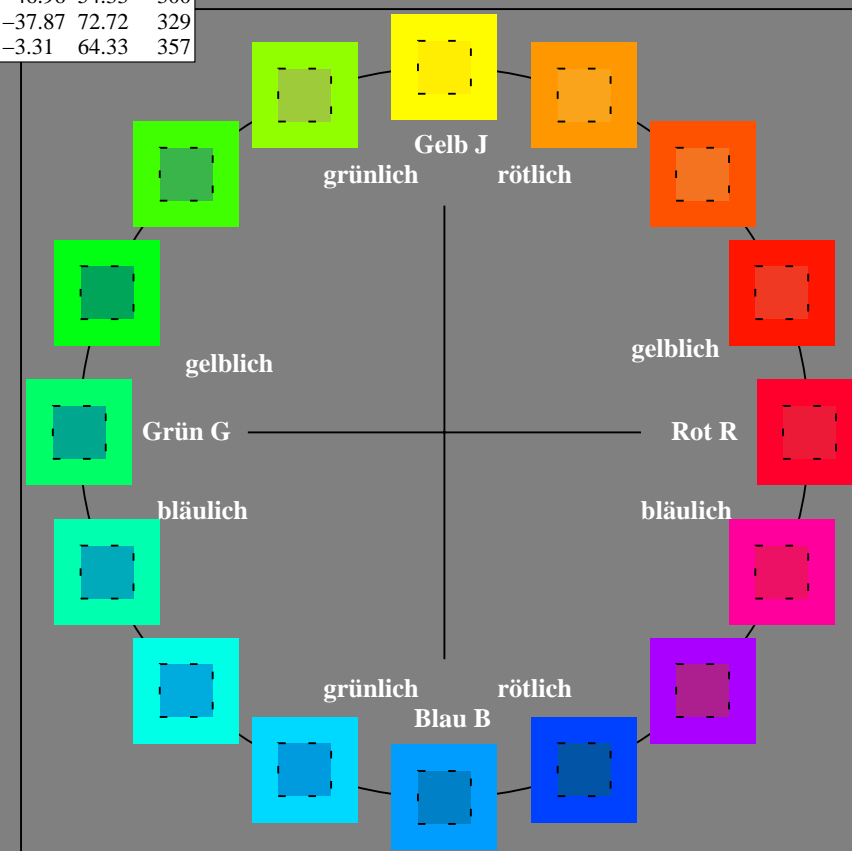
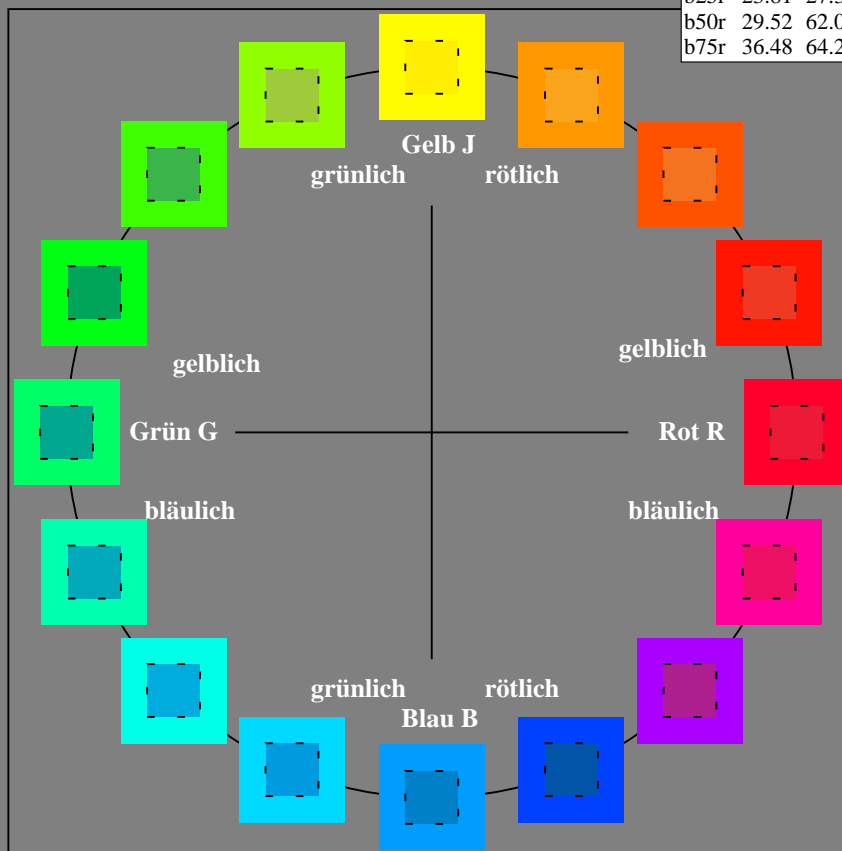
	<i>L*</i> = <i>L*</i> _a	<i>a*</i> _a	<i>b*</i> _a	<i>C*</i> _{ab,a}	<i>h*</i> _{ab,a}
r00j	35.47	56.92	27.12	63.05	25
r25j	39.12	49.04	44.45	66.19	42
r50j	50.64	35.19	58.33	68.13	59
r75j	64.01	19.11	74.45	76.87	76
j00g	83.18	-3.93	97.56	97.64	92
j25g	66.73	-26.86	74.66	79.35	110
j50g	54.03	-43.42	57.07	71.71	127
j75g	44.73	-54.21	38.33	66.4	145
g00b	47.59	-44.11	14.14	46.33	162
g25b	49.97	-35.68	-6.03	36.19	190
g50b	51.85	-29.05	-21.88	36.38	217
g75b	46.92	-15.53	-32.37	35.92	244
b00r	37.91	1.15	-38.05	38.08	272
b25r	23.81	27.31	-46.96	54.33	300
b50r	29.52	62.07	-37.87	72.72	329
b75r	36.48	64.24	-3.31	64.33	357



%Umfang
*u**_{rel} = 88
%Regularität
*g**_{H,rel} = 31
*g**_{C,rel} = 40

FRS15_90aM; adaptierte CIELAB-Daten

	<i>L*</i> = <i>L*</i> _a	<i>a*</i> _a	<i>b*</i> _a	<i>C*</i> _{ab,a}	<i>h*</i> _{ab,a}
OMa	35.06	53.93	39.55	66.88	36
YMa	83.77	-4.63	98.26	98.37	93
LMa	44.13	-56.32	43.36	71.09	142
CMa	52.66	-26.18	-28.74	38.89	228
VMa	14.15	45.22	-53.06	69.72	310
MMa	37.37	70.69	-30.1	76.83	337
NMa	15.0	0.0	0.0	0.0	0
WMa	90.0	0.0	0.0	0.0	0
RCIE	39.92	58.74	27.99	65.07	25
JCIE	81.26	-2.88	71.56	71.62	92
GCIE	52.23	-42.41	13.6	44.55	162
BCIE	30.57	1.41	-46.46	46.49	272



Ein und Ausgabe: Farbmetrisches Drucker-Reflektiv-System FRS15_90aM für relativen CIELAB-Buntton $h^* = lab^*h^* = h_{ab}/360 = 25/360 = 0.071$ $u^* = r00j$

Daten für jede Farbe:

lab^*ch^* und lab^*icu^*

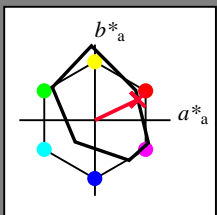
Elementar-Bunttontext:

$u^* = r00j$

Kontrastreduzierungsfaktor:

$c_R = 0.9$

Dreiecks-Helligkeit i^*



FRS15_90aM; adaptierte CIELAB-Daten

	$L^*=L_a^*$	a_a^*	b_a^*	$C_{ab,a}^*$	$h_{ab,a}^*$
O _{Ma}	35.06	53.93	39.55	66.88	36
Y _{Ma}	83.77	-4.63	98.26	98.37	93
L _{Ma}	44.13	-56.32	43.36	71.09	142
C _{Ma}	52.66	-26.18	-28.74	38.89	228
V _{Ma}	14.15	45.22	-53.06	69.72	310
M _{Ma}	37.37	70.69	-30.1	76.83	337
N _{Ma}	15.0	0.0	0.0	0.0	0
W _{Ma}	90.0	0.0	0.0	0.0	0
R _{CIE}	39.92	58.74	27.99	65.07	25
J _{CIE}	81.26	-2.88	71.56	71.62	92
G _{CIE}	52.23	-42.41	13.6	44.55	162
B _{CIE}	30.57	1.41	-46.46	46.49	272

Daten für Maximalfarbe (Ma):

$LAB^*LAB^*_{Ma}$: 35 57 27

$LAB^*LCH^*_{Ma}$: 35 63 25

$lab^*rgb^*_{Ma}$: 1.0 0.0 0.0

$lab^*olv^*_{Ma}$: 1.0 0.0 0.18

Dreiecks-Helligkeit i^*

%Umfang

$u^*_{rel} = 88$

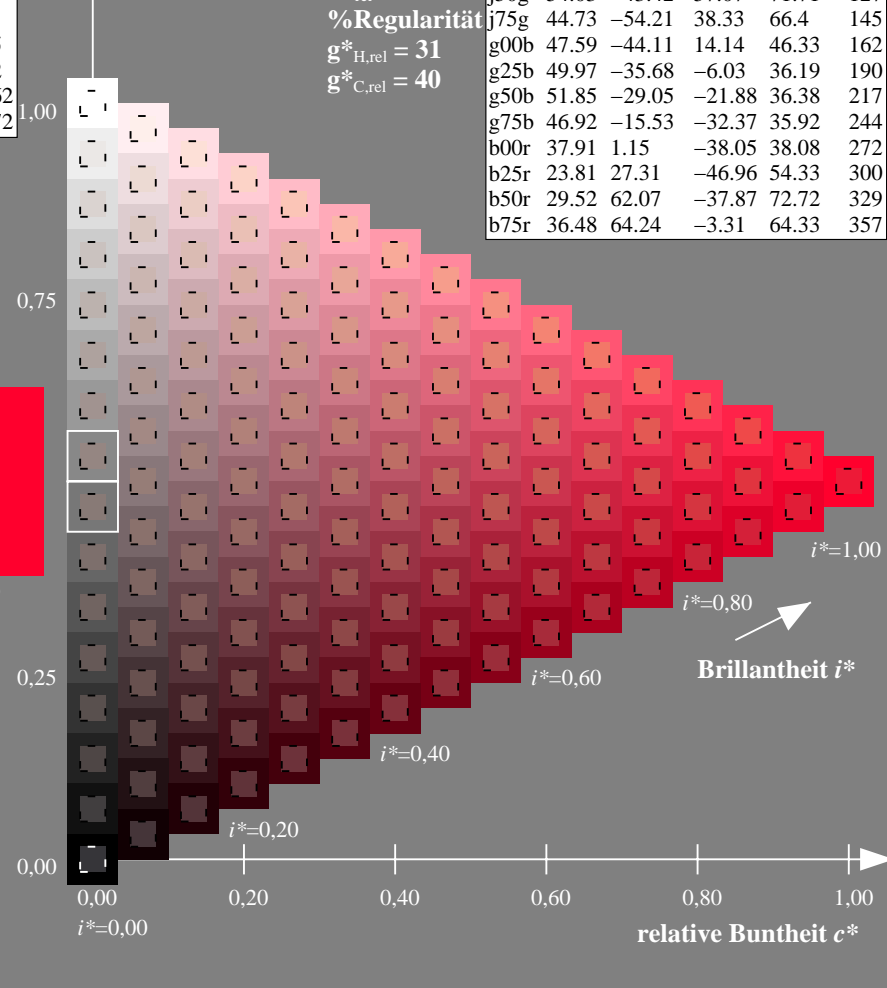
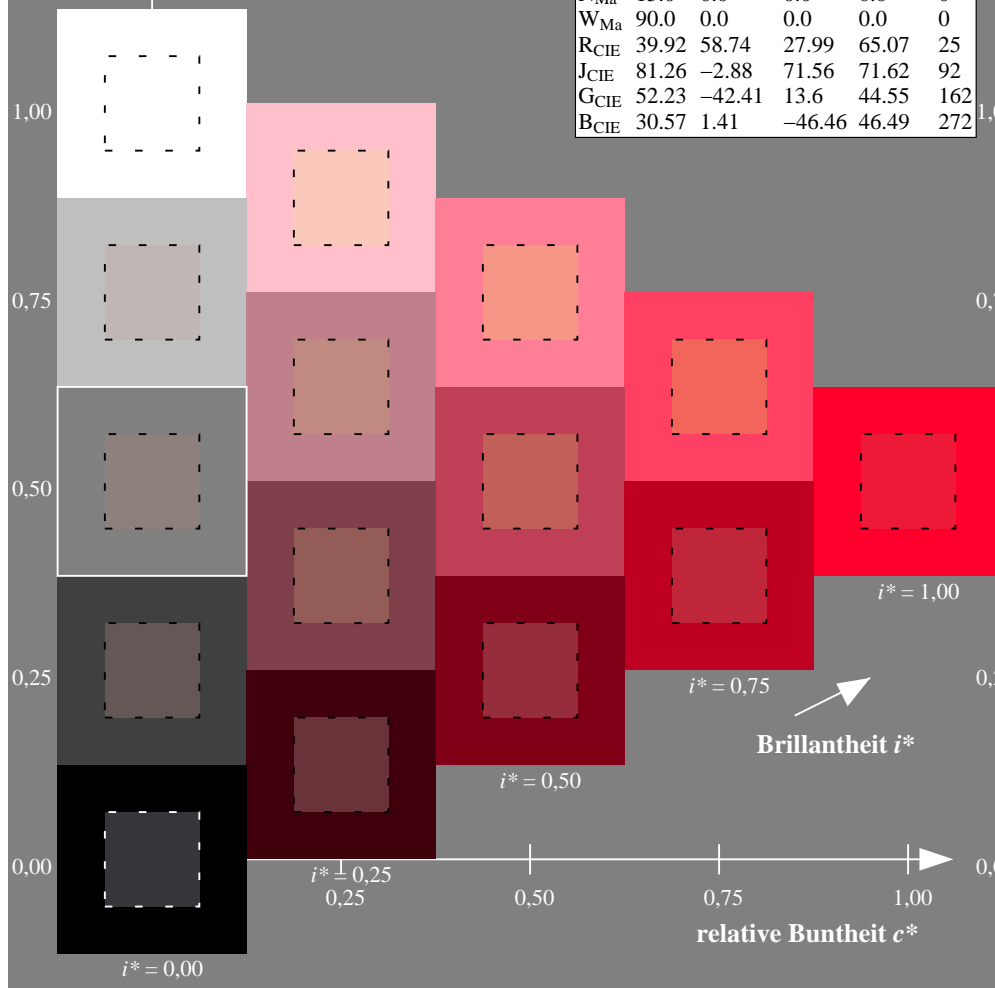
%Regularität

$g^*_{H,rel} = 31$

$g^*_{C,rel} = 40$

FRS15_90aM; adaptierte CIELAB-Daten

	$L^*=L_a^*$	a_a^*	b_a^*	$C_{ab,a}^*$	$h_{ab,a}^*$
r00j	35.47	56.92	27.12	63.05	25
r25j	39.12	49.04	44.45	66.19	42
r50j	50.64	35.19	58.33	68.13	59
r75j	64.01	19.11	74.45	76.87	76
j00g	83.18	-3.93	97.56	97.64	92
j25g	66.73	-26.86	74.66	79.35	110
j50g	54.03	-43.42	57.07	71.71	127
j75g	44.73	-54.21	38.33	66.4	145
g00b	47.59	-44.11	14.14	46.33	162
g25b	49.97	-35.68	-6.03	36.19	190
g50b	51.85	-29.05	-21.88	36.38	217
g75b	46.92	-15.53	-32.37	35.92	244
b00r	37.91	1.15	-38.05	38.08	272
b25r	23.81	27.31	-46.96	54.33	300
b50r	29.52	62.07	-37.87	72.72	329
b75r	36.48	64.24	-3.31	64.33	357



Ein und Ausgabe: Farbmetrisches Drucker-Reflektiv-System FRS15_90aM für relativen CIELAB-Buntton $h^* = lab^*h^* = h_{ab}/360 = 42/360 = 0.117$ $u^* = r25j$

Daten für jede Farbe:

lab^*ch^* und lab^*icu^*

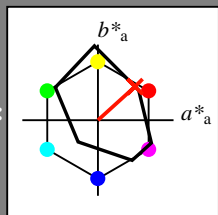
Elementar-Bunttontext:

$u^* = r25j$

Kontrastreduzierungsfaktor:

$c_R = 0.9$

Dreiecks-Helligkeit i^*



FRS15_90aM; adaptierte CIELAB-Daten

	$L^*=L_a^*$	a_a^*	b_a^*	$C^*_{ab,a}$	$h^*_{ab,a}$
O _{Ma}	35.06	53.93	39.55	66.88	36
Y _{Ma}	83.77	-4.63	98.26	98.37	93
L _{Ma}	44.13	-56.32	43.36	71.09	142
C _{Ma}	52.66	-26.18	-28.74	38.89	228
V _{Ma}	14.15	45.22	-53.06	69.72	310
M _{Ma}	37.37	70.69	-30.1	76.83	337
N _{Ma}	15.0	0.0	0.0	0.0	0
W _{Ma}	90.0	0.0	0.0	0.0	0
R _{CIE}	39.92	58.74	27.99	65.07	25
J _{CIE}	81.26	-2.88	71.56	71.62	92
G _{CIE}	52.23	-42.41	13.6	44.55	162
B _{CIE}	30.57	1.41	-46.46	46.49	272

Daten für Maximalfarbe (Ma):

$LAB^*LAB^*_{Ma}$: 39 49 44

$LAB^*LCH^*_{Ma}$: 39 66 42

$lab^*rgb^*_{Ma}$: 1.0 0.25 0.0

$lab^*olv^*_{Ma}$: 1.0 0.08 0.0

Dreiecks-Helligkeit i^*

%Umfang

$u^*_{rel} = 88$

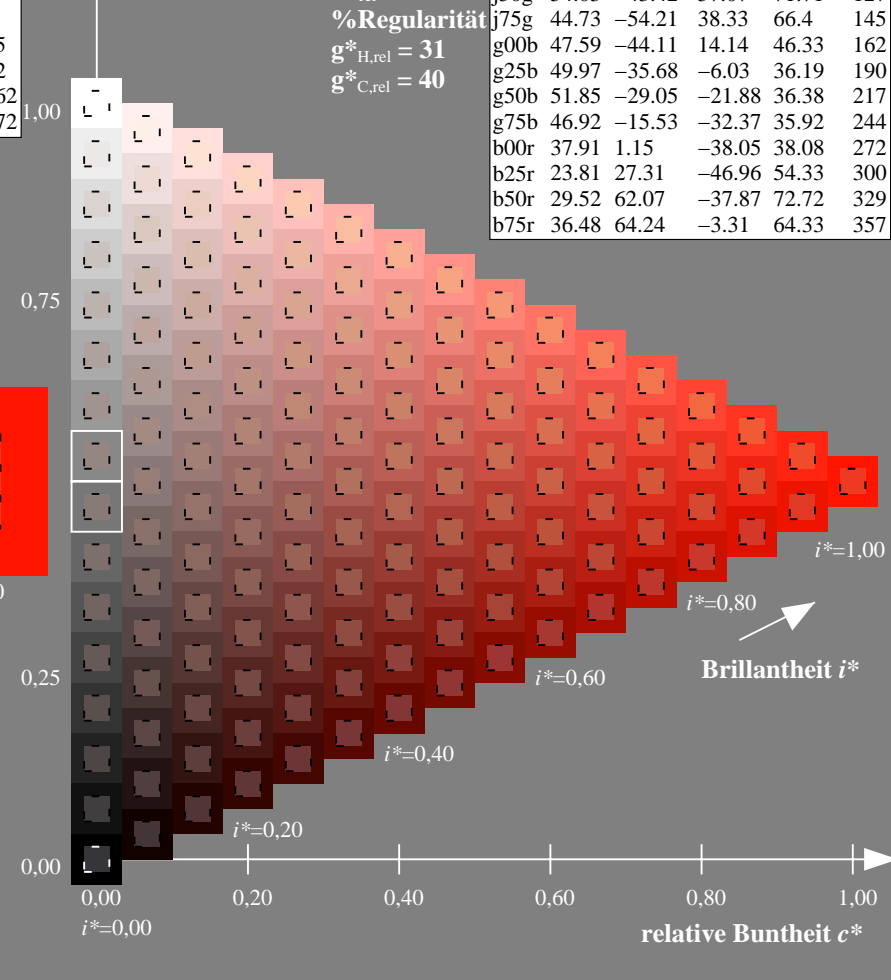
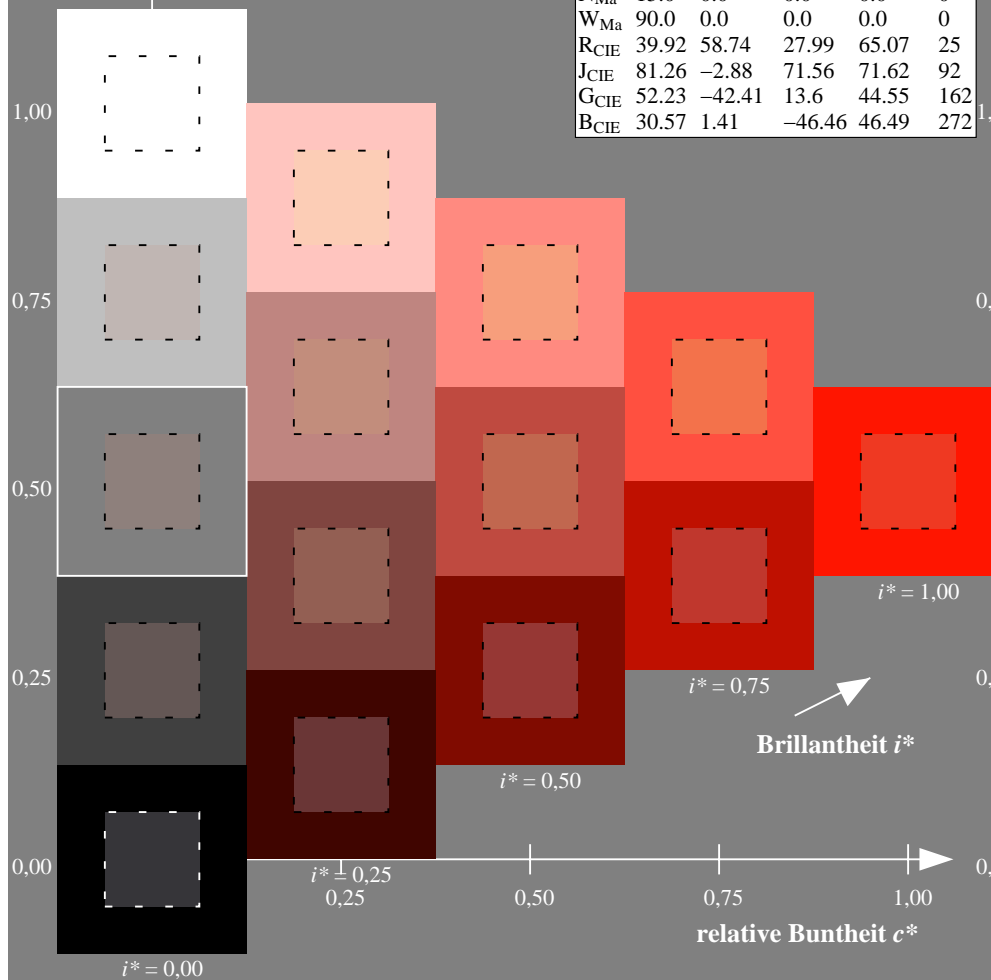
%Regularität

$g^*_{H,rel} = 31$

$g^*_{C,rel} = 40$

FRS15_90aM; adaptierte CIELAB-Daten

	$L^*=L_a^*$	a_a^*	b_a^*	$C^*_{ab,a}$	$h^*_{ab,a}$
r00j	35.47	56.92	27.12	63.05	25
r25j	39.12	49.04	44.45	66.19	42
r50j	50.64	35.19	58.33	68.13	59
r75j	64.01	19.11	74.45	76.87	76
j00g	83.18	-3.93	97.56	97.64	92
j25g	66.73	-26.86	74.66	79.35	110
j50g	54.03	-43.42	57.07	71.71	127
j75g	44.73	-54.21	38.33	66.4	145
g00b	47.59	-44.11	14.14	46.33	162
g25b	49.97	-35.68	-6.03	36.19	190
g50b	51.85	-29.05	-21.88	36.38	217
g75b	46.92	-15.53	-32.37	35.92	244
b00r	37.91	1.15	-38.05	38.08	272
b25r	23.81	27.31	-46.96	54.33	300
b50r	29.52	62.07	-37.87	72.72	329
b75r	36.48	64.24	-3.31	64.33	357



Ein und Ausgabe: Farbmetrisches Drucker-Reflektiv-System FRS15_90aM für relativen CIELAB-Buntton $h^* = lab^*h^* = h_{ab}/360 = 59/360 = 0.164$ $u^* = r50j$

Daten für jede Farbe:

lab^*ch^* und lab^*icu^*

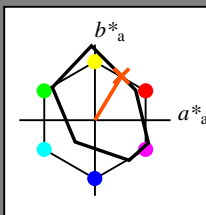
Elementar-Bunttontext:

$u^* = r50j$

Kontrastreduzierungsfaktor:

$c_R = 0.9$

Dreiecks-Helligkeit i^*



FRS15_90aM; adaptierte CIELAB-Daten

	$L^*=L_a^*$	a_a^*	b_a^*	$C_{ab,a}^*$	$h_{ab,a}^*$
O _{Ma}	35.06	53.93	39.55	66.88	36
Y _{Ma}	83.77	-4.63	98.26	98.37	93
L _{Ma}	44.13	-56.32	43.36	71.09	142
C _{Ma}	52.66	-26.18	-28.74	38.89	228
V _{Ma}	14.15	45.22	-53.06	69.72	310
M _{Ma}	37.37	70.69	-30.1	76.83	337
N _{Ma}	15.0	0.0	0.0	0.0	0
W _{Ma}	90.0	0.0	0.0	0.0	0
R _{CIE}	39.92	58.74	27.99	65.07	25
J _{CIE}	81.26	-2.88	71.56	71.62	92
G _{CIE}	52.23	-42.41	13.6	44.55	162
B _{CIE}	30.57	1.41	-46.46	46.49	272

Daten für Maximalfarbe (Ma):

$LAB^*LAB^*_{Ma}$: 51 35 58

$LAB^*LCH^*_{Ma}$: 51 68 59

$lab^*rgb^*_{Ma}$: 1.0 0.5 0.0

$lab^*olv^*_{Ma}$: 1.0 0.32 0.0

Dreiecks-Helligkeit i^*

%Umfang

$u^*_{rel} = 88$

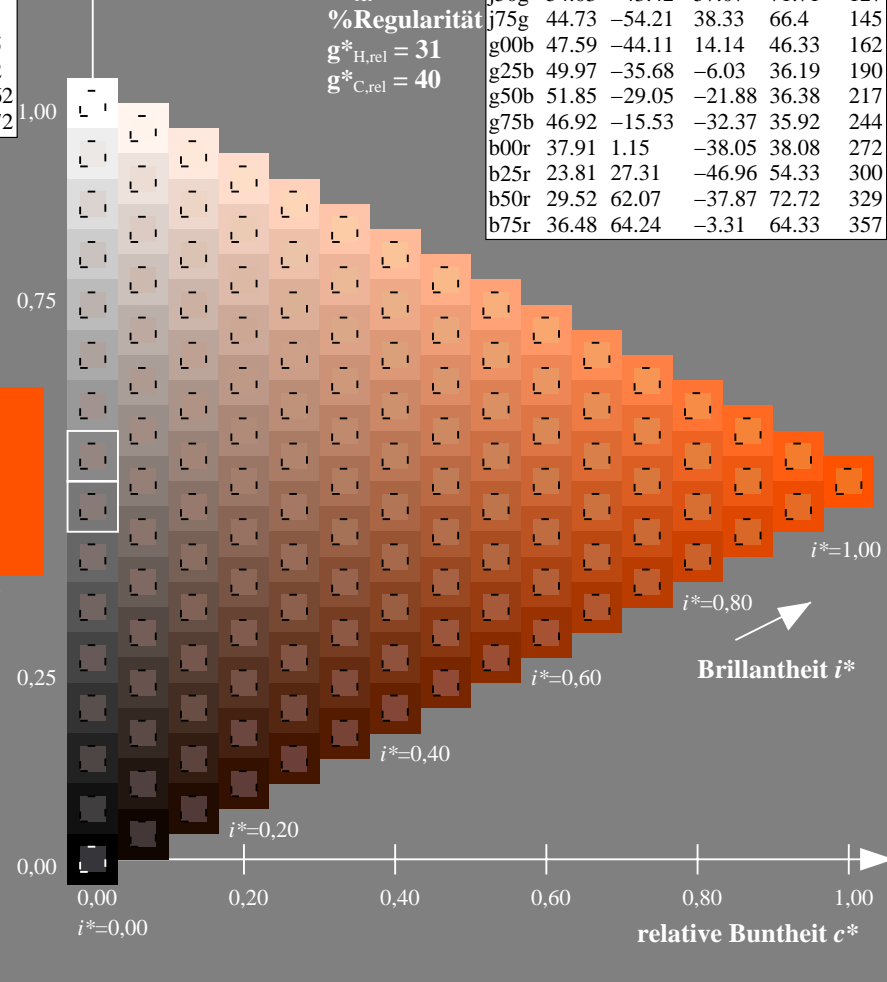
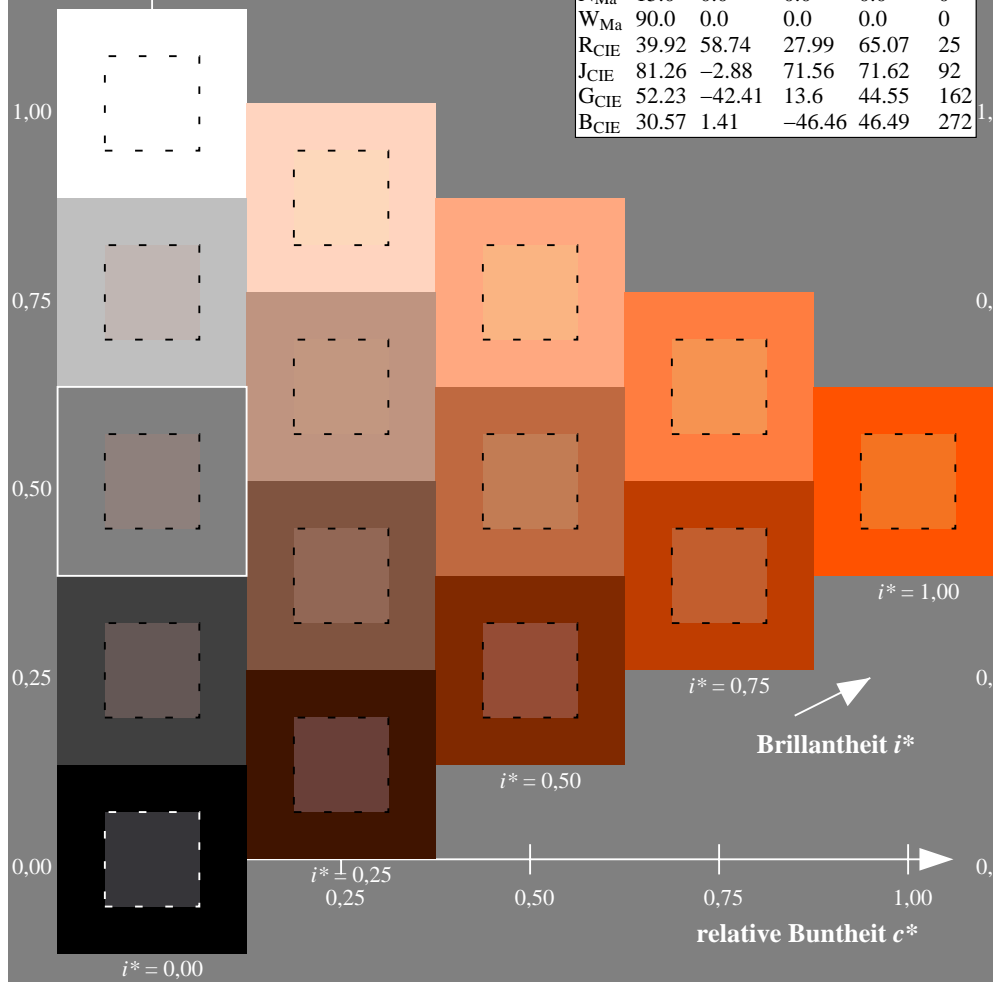
%Regularität

$g^*_{H,rel} = 31$

$g^*_{C,rel} = 40$

FRS15_90aM; adaptierte CIELAB-Daten

	$L^*=L_a^*$	a_a^*	b_a^*	$C_{ab,a}^*$	$h_{ab,a}^*$
r00j	35.47	56.92	27.12	63.05	25
r25j	39.12	49.04	44.45	66.19	42
r50j	50.64	35.19	58.33	68.13	59
r75j	64.01	19.11	74.45	76.87	76
j00g	83.18	-3.93	97.56	97.64	92
j25g	66.73	-26.86	74.66	79.35	110
j50g	54.03	-43.42	57.07	71.71	127
j75g	44.73	-54.21	38.33	66.4	145
g00b	47.59	-44.11	14.14	46.33	162
g25b	49.97	-35.68	-6.03	36.19	190
g50b	51.85	-29.05	-21.88	36.38	217
g75b	46.92	-15.53	-32.37	35.92	244
b00r	37.91	1.15	-38.05	38.08	272
b25r	23.81	27.31	-46.96	54.33	300
b50r	29.52	62.07	-37.87	72.72	329
b75r	36.48	64.24	-3.31	64.33	357



Ein und Ausgabe: Farbmetrisches Drucker-Reflektiv-System FRS15_90aM für relativen CIELAB-Buntton $h^* = lab^*h^* = h_{ab}/360 = 76/360 = 0.21$ $u^* = r75j$

Daten für jede Farbe:

lab^*ch^* und lab^*icu^*

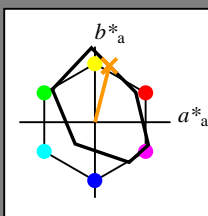
Elementar-Bunttontext:

$u^* = r75j$

Kontrastreduzierungsfaktor:

$c_R = 0.9$

Dreiecks-Helligkeit i^*



FRS15_90aM; adaptierte CIELAB-Daten

	$L^*=L_a^*$	a_a^*	b_a^*	$C^*_{ab,a}$	$h^*_{ab,a}$
O _{Ma}	35.06	53.93	39.55	66.88	36
Y _{Ma}	83.77	-4.63	98.26	98.37	93
L _{Ma}	44.13	-56.32	43.36	71.09	142
C _{Ma}	52.66	-26.18	-28.74	38.89	228
V _{Ma}	14.15	45.22	-53.06	69.72	310
M _{Ma}	37.37	70.69	-30.1	76.83	337
N _{Ma}	15.0	0.0	0.0	0.0	0
W _{Ma}	90.0	0.0	0.0	0.0	0
R _{CIE}	39.92	58.74	27.99	65.07	25
J _{CIE}	81.26	-2.88	71.56	71.62	92
G _{CIE}	52.23	-42.41	13.6	44.55	162
B _{CIE}	30.57	1.41	-46.46	46.49	272

Daten für Maximalfarbe (Ma):

$LAB^*LAB^*_{Ma}$: 64 19 74

$LAB^*LCH^*_{Ma}$: 64 77 76

$lab^*rgb^*_{Ma}$: 1.0 0.75 0.0

$lab^*olv^*_{Ma}$: 1.0 0.59 0.0

Dreiecks-Helligkeit i^*

%Umfang

$u^*_{rel} = 88$

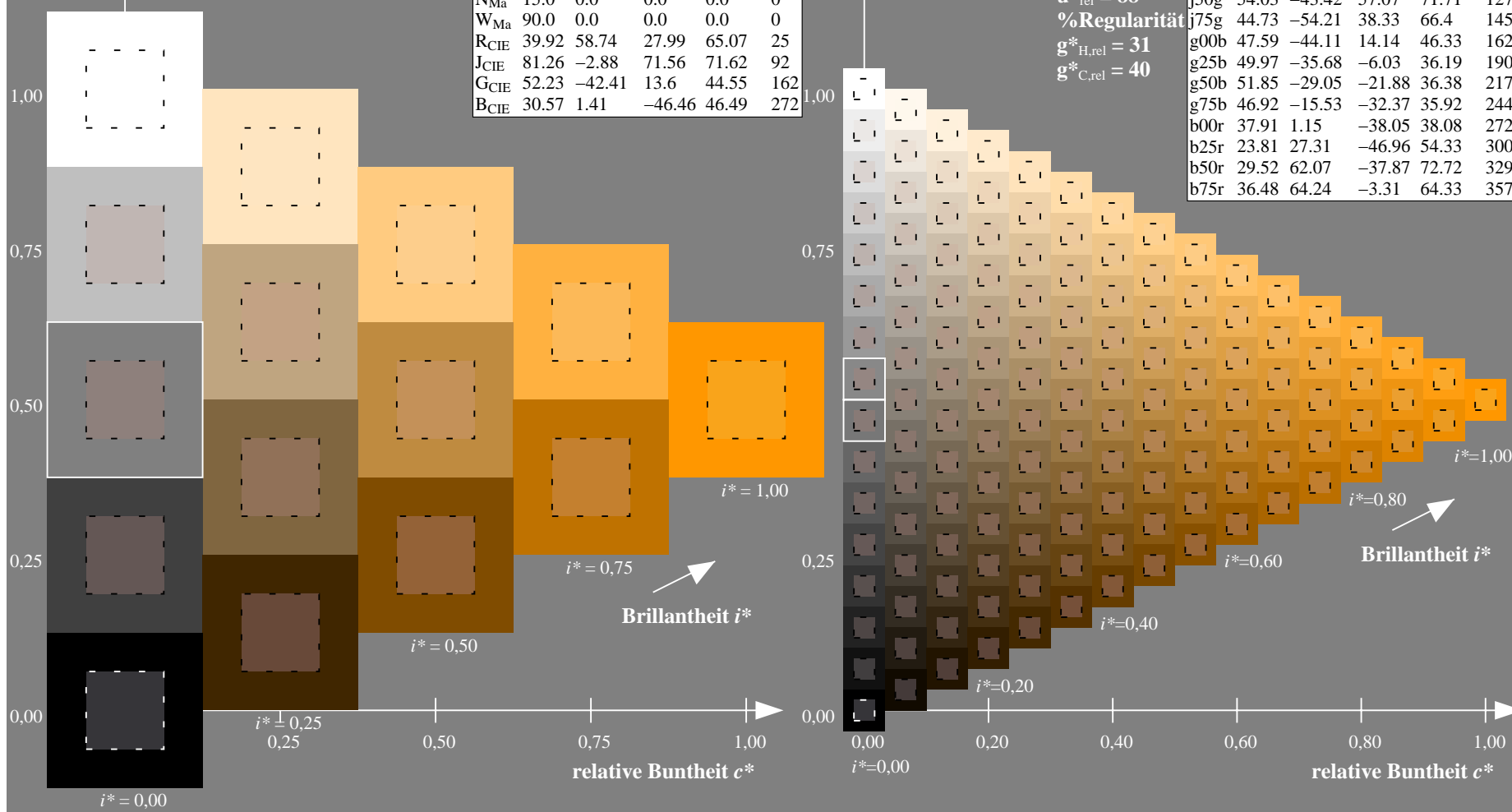
%Regularität

$g^*_{H,rel} = 31$

$g^*_{C,rel} = 40$

FRS15_90aM; adaptierte CIELAB-Daten

	$L^*=L_a^*$	a_a^*	b_a^*	$C^*_{ab,a}$	$h^*_{ab,a}$
r00j	35.47	56.92	27.12	63.05	25
r25j	39.12	49.04	44.45	66.19	42
r50j	50.64	35.19	58.33	68.13	59
r75j	64.01	19.11	74.45	76.87	76
j00g	83.18	-3.93	97.56	97.64	92
j25g	66.73	-26.86	74.66	79.35	110
j50g	54.03	-43.42	57.07	71.71	127
j75g	44.73	-54.21	38.33	66.4	145
g00b	47.59	-44.11	14.14	46.33	162
g25b	49.97	-35.68	-6.03	36.19	190
g50b	51.85	-29.05	-21.88	36.38	217
g75b	46.92	-15.53	-32.37	35.92	244
b00r	37.91	1.15	-38.05	38.08	272
b25r	23.81	27.31	-46.96	54.33	300
b50r	29.52	62.07	-37.87	72.72	329
b75r	36.48	64.24	-3.31	64.33	357



Ein und Ausgabe: Farbmetrisches Drucker-Reflektiv-System FRS15_90aM für relativen CIELAB-Buntton $h^* = lab^*h^* = h_{ab}/360 = 92/360 = 0.256$ $u^* = j00g$

Daten für jede Farbe:

lab^*ch^* und lab^*icu^*

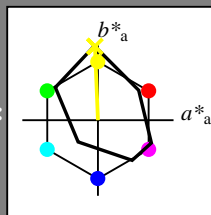
Elementar-Bunttontext:

$u^* = j00g$

Kontrastreduzierungsfaktor:

$c_R = 0.9$

Dreiecks-Helligkeit i^*



FRS15_90aM; adaptierte CIELAB-Daten

	$L^*=L_a^*$	a_a^*	b_a^*	$C_{ab,a}^*$	$h_{ab,a}^*$
O _{Ma}	35.06	53.93	39.55	66.88	36
Y _{Ma}	83.77	-4.63	98.26	98.37	93
L _{Ma}	44.13	-56.32	43.36	71.09	142
C _{Ma}	52.66	-26.18	-28.74	38.89	228
V _{Ma}	14.15	45.22	-53.06	69.72	310
M _{Ma}	37.37	70.69	-30.1	76.83	337
N _{Ma}	15.0	0.0	0.0	0.0	0
W _{Ma}	90.0	0.0	0.0	0.0	0
R _{CIE}	39.92	58.74	27.99	65.07	25
J _{CIE}	81.26	-2.88	71.56	71.62	92
G _{CIE}	52.23	-42.41	13.6	44.55	162
B _{CIE}	30.57	1.41	-46.46	46.49	272

Daten für Maximalfarbe (Ma):

$LAB^*LAB^*_{Ma}$: 83 -3 98

$LAB^*LCH^*_{Ma}$: 83 98 92

$lab^*rgb^*_{Ma}$: 1.0 1.0 0.0

$lab^*olv^*_{Ma}$: 1.0 0.99 0.0

Dreiecks-Helligkeit i^*

%Umfang

$u^*_{rel} = 88$

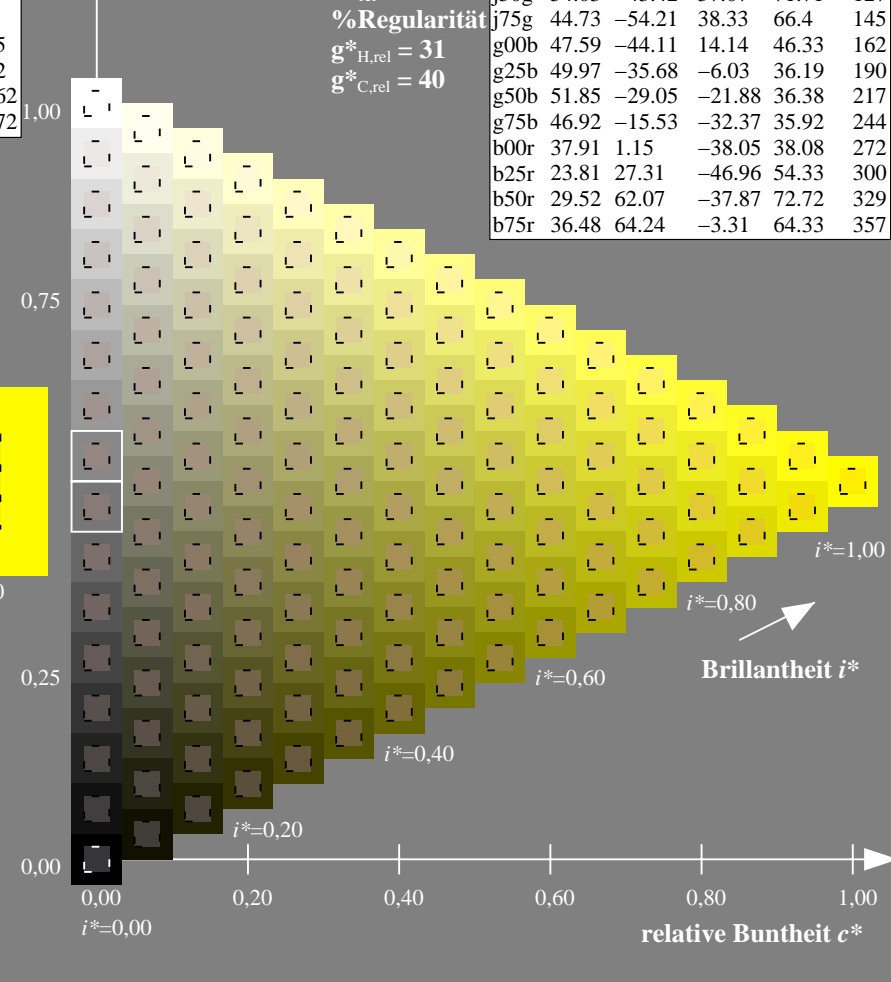
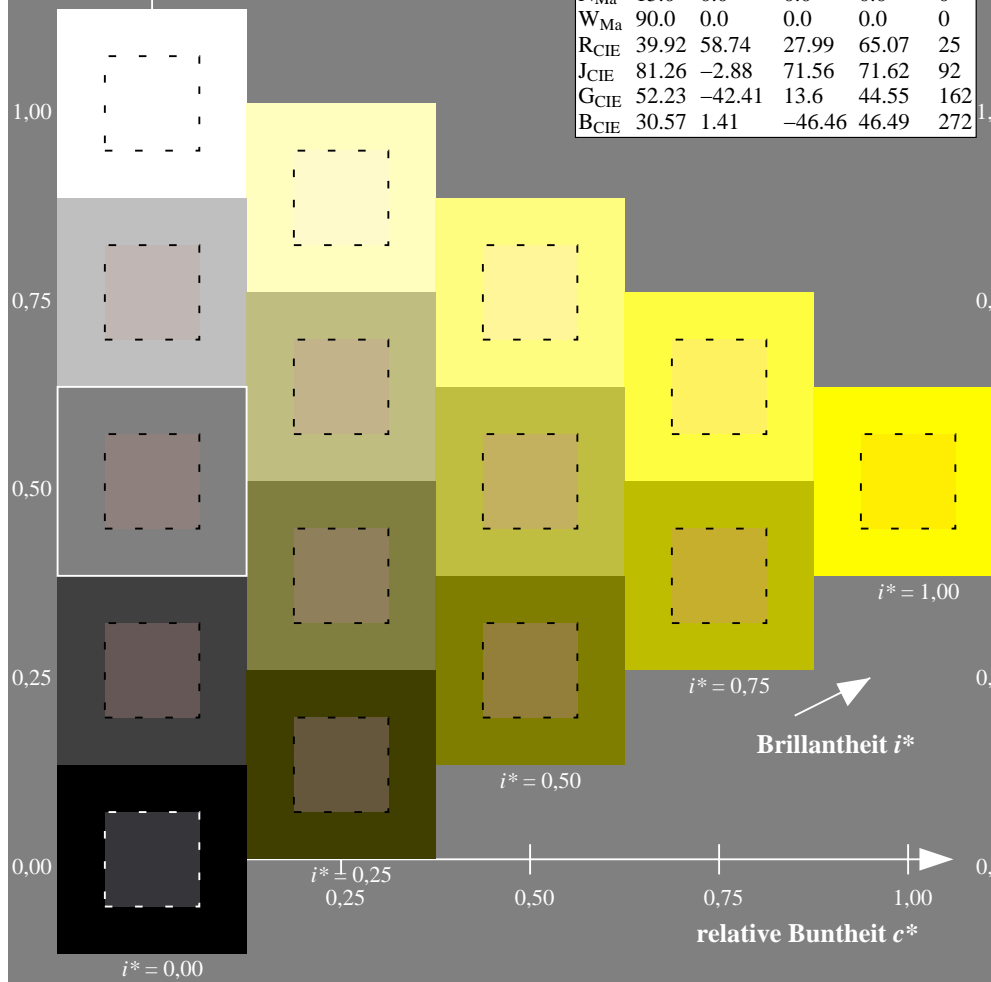
%Regularität

$g^*_{H,rel} = 31$

$g^*_{C,rel} = 40$

FRS15_90aM; adaptierte CIELAB-Daten

	$L^*=L_a^*$	a_a^*	b_a^*	$C_{ab,a}^*$	$h_{ab,a}^*$
r00j	35.47	56.92	27.12	63.05	25
r25j	39.12	49.04	44.45	66.19	42
r50j	50.64	35.19	58.33	68.13	59
r75j	64.01	19.11	74.45	76.87	76
j00g	83.18	-3.93	97.56	97.64	92
j25g	66.73	-26.86	74.66	79.35	110
j50g	54.03	-43.42	57.07	71.71	127
j75g	44.73	-54.21	38.33	66.4	145
g00b	47.59	-44.11	14.14	46.33	162
g25b	49.97	-35.68	-6.03	36.19	190
g50b	51.85	-29.05	-21.88	36.38	217
g75b	46.92	-15.53	-32.37	35.92	244
b00r	37.91	1.15	-38.05	38.08	272
b25r	23.81	27.31	-46.96	54.33	300
b50r	29.52	62.07	-37.87	72.72	329
b75r	36.48	64.24	-3.31	64.33	357



Ein und Ausgabe: Farbmetrisches Drucker-Reflektiv-System FRS15_90aM für relativen CIELAB-Buntton $h^* = lab^*h^* = h_{ab}/360 = 110/360 = 0.305$ $u^* = j25g$

Daten für jede Farbe:

lab^*ch^* und lab^*icu^*

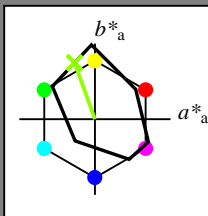
Elementar-Bunttontext:

$u^* = j25g$

Kontrastreduzierungsfaktor:

$c_R = 0.9$

Dreiecks-Helligkeit i^*



FRS15_90aM; adaptierte CIELAB-Daten

	$L^*=L_a^*$	a_a^*	b_a^*	$C_{ab,a}^*$	$h_{ab,a}^*$
O _{Ma}	35.06	53.93	39.55	66.88	36
Y _{Ma}	83.77	-4.63	98.26	98.37	93
L _{Ma}	44.13	-56.32	43.36	71.09	142
C _{Ma}	52.66	-26.18	-28.74	38.89	228
V _{Ma}	14.15	45.22	-53.06	69.72	310
M _{Ma}	37.37	70.69	-30.1	76.83	337
N _{Ma}	15.0	0.0	0.0	0.0	0
W _{Ma}	90.0	0.0	0.0	0.0	0
R _{CIE}	39.92	58.74	27.99	65.07	25
J _{CIE}	81.26	-2.88	71.56	71.62	92
G _{CIE}	52.23	-42.41	13.6	44.55	162
B _{CIE}	30.57	1.41	-46.46	46.49	272

Daten für Maximalfarbe (Ma):

$LAB^*LAB^*_{Ma}$: 67 -26 75

$LAB^*LCH^*_{Ma}$: 67 79 110

$lab^*rgb^*_{Ma}$: 0.75 1.0 0.0

$lab^*olv^*_{Ma}$: 0.57 1.0 0.0

Dreiecks-Helligkeit i^*

%Umfang

$u^*_{rel} = 88$

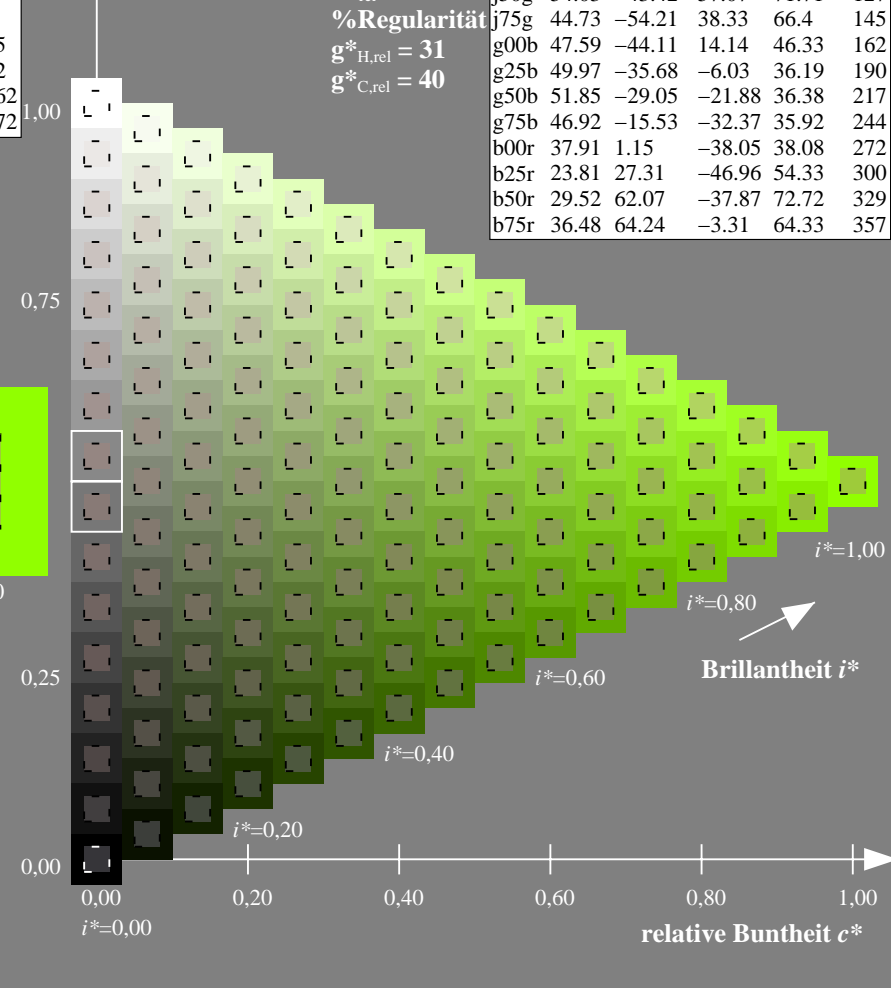
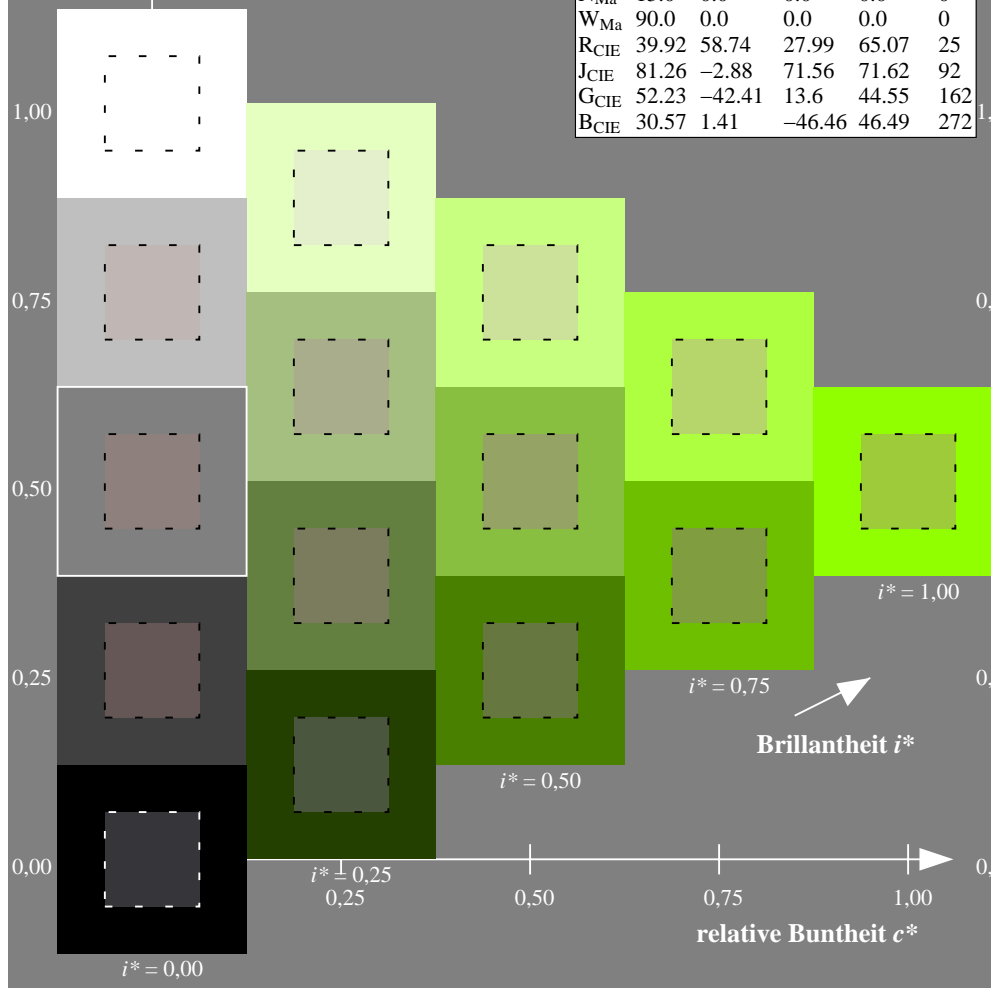
%Regularität

$g^*_{H,rel} = 31$

$g^*_{C,rel} = 40$

FRS15_90aM; adaptierte CIELAB-Daten

	$L^*=L_a^*$	a_a^*	b_a^*	$C_{ab,a}^*$	$h_{ab,a}^*$
r00j	35.47	56.92	27.12	63.05	25
r25j	39.12	49.04	44.45	66.19	42
r50j	50.64	35.19	58.33	68.13	59
r75j	64.01	19.11	74.45	76.87	76
j00g	83.18	-3.93	97.56	97.64	92
j25g	66.73	-26.86	74.66	79.35	110
j50g	54.03	-43.42	57.07	71.71	127
j75g	44.73	-54.21	38.33	66.4	145
g00b	47.59	-44.11	14.14	46.33	162
g25b	49.97	-35.68	-6.03	36.19	190
g50b	51.85	-29.05	-21.88	36.38	217
g75b	46.92	-15.53	-32.37	35.92	244
b00r	37.91	1.15	-38.05	38.08	272
b25r	23.81	27.31	-46.96	54.33	300
b50r	29.52	62.07	-37.87	72.72	329
b75r	36.48	64.24	-3.31	64.33	357



Ein und Ausgabe: Farbmetrisches Drucker-Reflektiv-System FRS15_90aM für relativen CIELAB-Buntton $h^* = lab^*h^* = h_{ab}/360 = 127/360 = 0.354$ $u^* = j50g$

Daten für jede Farbe:

lab^*ch^* und lab^*icu^*

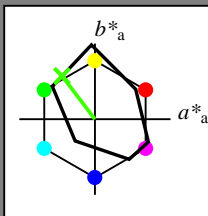
Elementar-Bunttontext:

$u^* = j50g$

Kontrastreduzierungsfaktor:

$c_R = 0.9$

Dreiecks-Helligkeit i^*



FRS15_90aM; adaptierte CIELAB-Daten

	$L^*=L^*_a$	a^*_a	b^*_a	$C^*_{ab,a}$	$h^*_{ab,a}$
O _{Ma}	35.06	53.93	39.55	66.88	36
Y _{Ma}	83.77	-4.63	98.26	98.37	93
L _{Ma}	44.13	-56.32	43.36	71.09	142
C _{Ma}	52.66	-26.18	-28.74	38.89	228
V _{Ma}	14.15	45.22	-53.06	69.72	310
M _{Ma}	37.37	70.69	-30.1	76.83	337
N _{Ma}	15.0	0.0	0.0	0.0	0
W _{Ma}	90.0	0.0	0.0	0.0	0
R _{CIE}	39.92	58.74	27.99	65.07	25
J _{CIE}	81.26	-2.88	71.56	71.62	92
G _{CIE}	52.23	-42.41	13.6	44.55	162
B _{CIE}	30.57	1.41	-46.46	46.49	272

Daten für Maximalfarbe (Ma):

$LAB^*LAB^*_{Ma}$: 54 -42 57

$LAB^*LCH^*_{Ma}$: 54 72 127

$lab^*rgb^*_{Ma}$: 0.5 1.0 0.0

$lab^*olv^*_{Ma}$: 0.25 1.0 0.0

Dreiecks-Helligkeit i^*

%Umfang

$u^*_{rel} = 88$

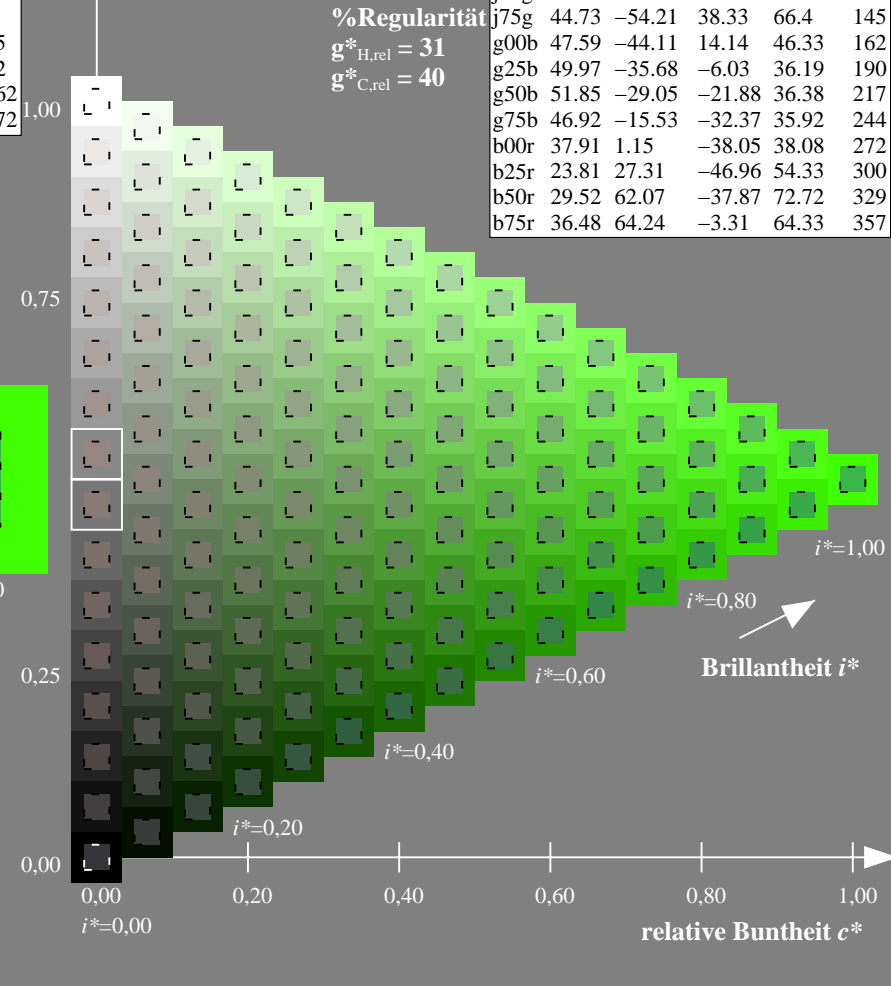
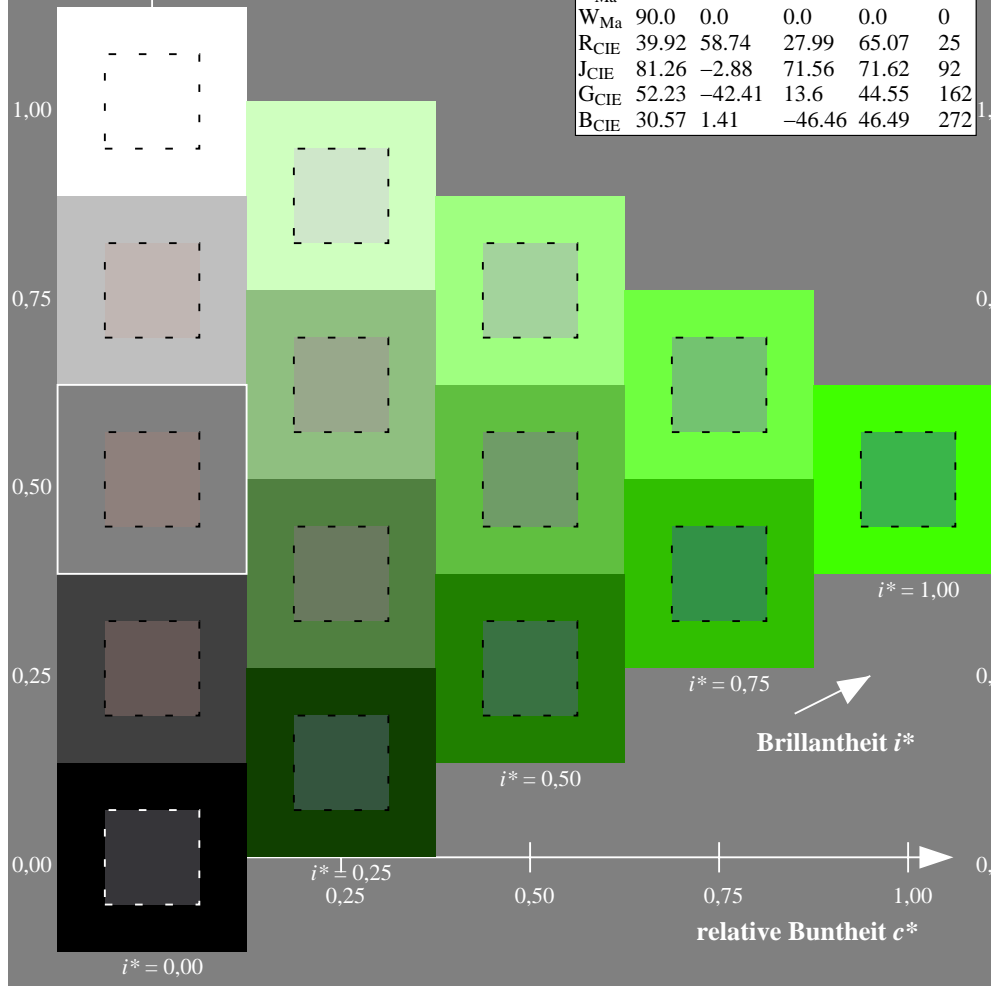
%Regularität

$g^*_{H,rel} = 31$

$g^*_{C,rel} = 40$

FRS15_90aM; adaptierte CIELAB-Daten

	$L^*=L^*_a$	a^*_a	b^*_a	$C^*_{ab,a}$	$h^*_{ab,a}$
r00j	35.47	56.92	27.12	63.05	25
r25j	39.12	49.04	44.45	66.19	42
r50j	50.64	35.19	58.33	68.13	59
r75j	64.01	19.11	74.45	76.87	76
j00g	83.18	-3.93	97.56	97.64	92
j25g	66.73	-26.86	74.66	79.35	110
j50g	54.03	-43.42	57.07	71.71	127
j75g	44.73	-54.21	38.33	66.4	145
g00b	47.59	-44.11	14.14	46.33	162
g25b	49.97	-35.68	-6.03	36.19	190
g50b	51.85	-29.05	-21.88	36.38	217
g75b	46.92	-15.53	-32.37	35.92	244
b00r	37.91	1.15	-38.05	38.08	272
b25r	23.81	27.31	-46.96	54.33	300
b50r	29.52	62.07	-37.87	72.72	329
b75r	36.48	64.24	-3.31	64.33	357



Ein und Ausgabe: Farbmetrisches Drucker-Reflektiv-System FRS15_90aM für relativen CIELAB-Buntton $h^* = lab^*h^* = h_{ab}/360 = 145/360 = 0.402$ $u^* = j75g$

Daten für jede Farbe:

lab^*ch^* und lab^*icu^*

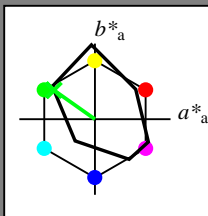
Elementar-Bunttontext:

$u^* = j75g$

Kontrastreduzierungsfaktor:

$c_R = 0.9$

Dreiecks-Helligkeit i^*



FRS15_90aM; adaptierte CIELAB-Daten

	$L^*=L_a^*$	a_a^*	b_a^*	$C^*_{ab,a}$	$h^*_{ab,a}$
O _{Ma}	35.06	53.93	39.55	66.88	36
Y _{Ma}	83.77	-4.63	98.26	98.37	93
L _{Ma}	44.13	-56.32	43.36	71.09	142
C _{Ma}	52.66	-26.18	-28.74	38.89	228
V _{Ma}	14.15	45.22	-53.06	69.72	310
M _{Ma}	37.37	70.69	-30.1	76.83	337
N _{Ma}	15.0	0.0	0.0	0.0	0
W _{Ma}	90.0	0.0	0.0	0.0	0
R _{CIE}	39.92	58.74	27.99	65.07	25
J _{CIE}	81.26	-2.88	71.56	71.62	92
G _{CIE}	52.23	-42.41	13.6	44.55	162
B _{CIE}	30.57	1.41	-46.46	46.49	272

Daten für Maximalfarbe (Ma):

$LAB^*LAB^*_{Ma}$: 45 -53 38

$LAB^*LCH^*_{Ma}$: 45 66 145

$lab^*rgb^*_{Ma}$: 0.25 1.0 0.0

$lab^*olv^*_{Ma}$: 0.0 1.0 0.07

Dreiecks-Helligkeit i^*

%Umfang

$u^*_{rel} = 88$

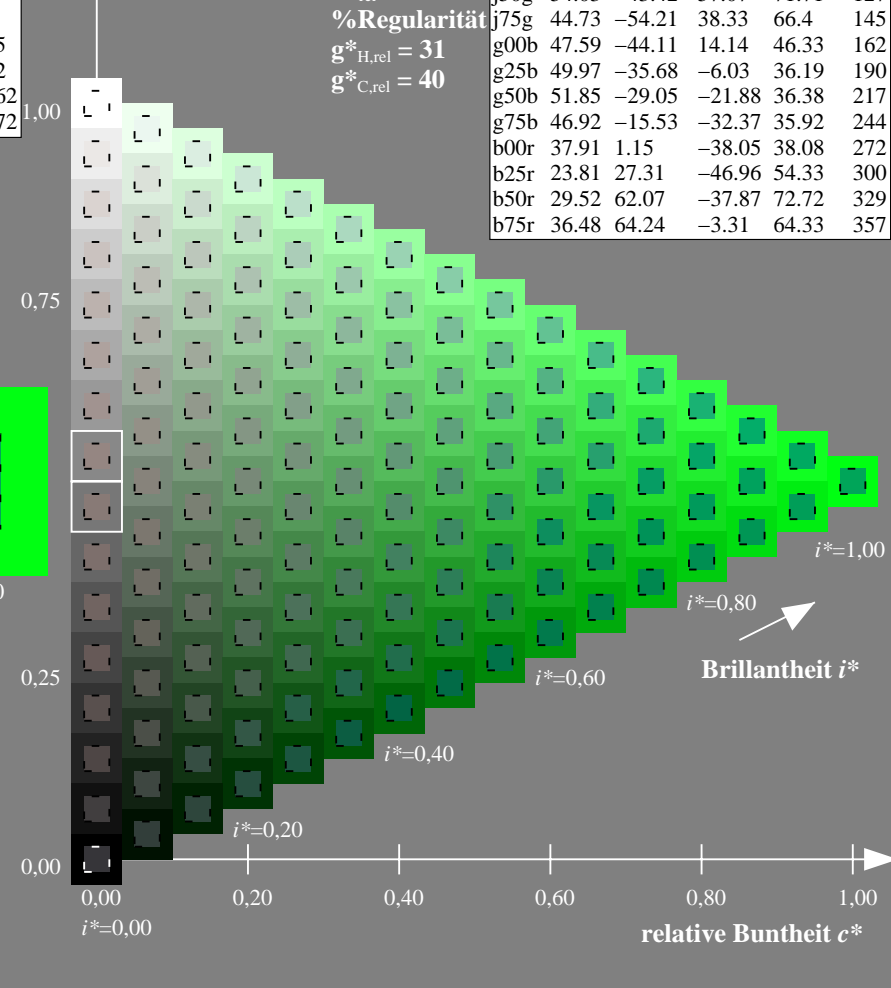
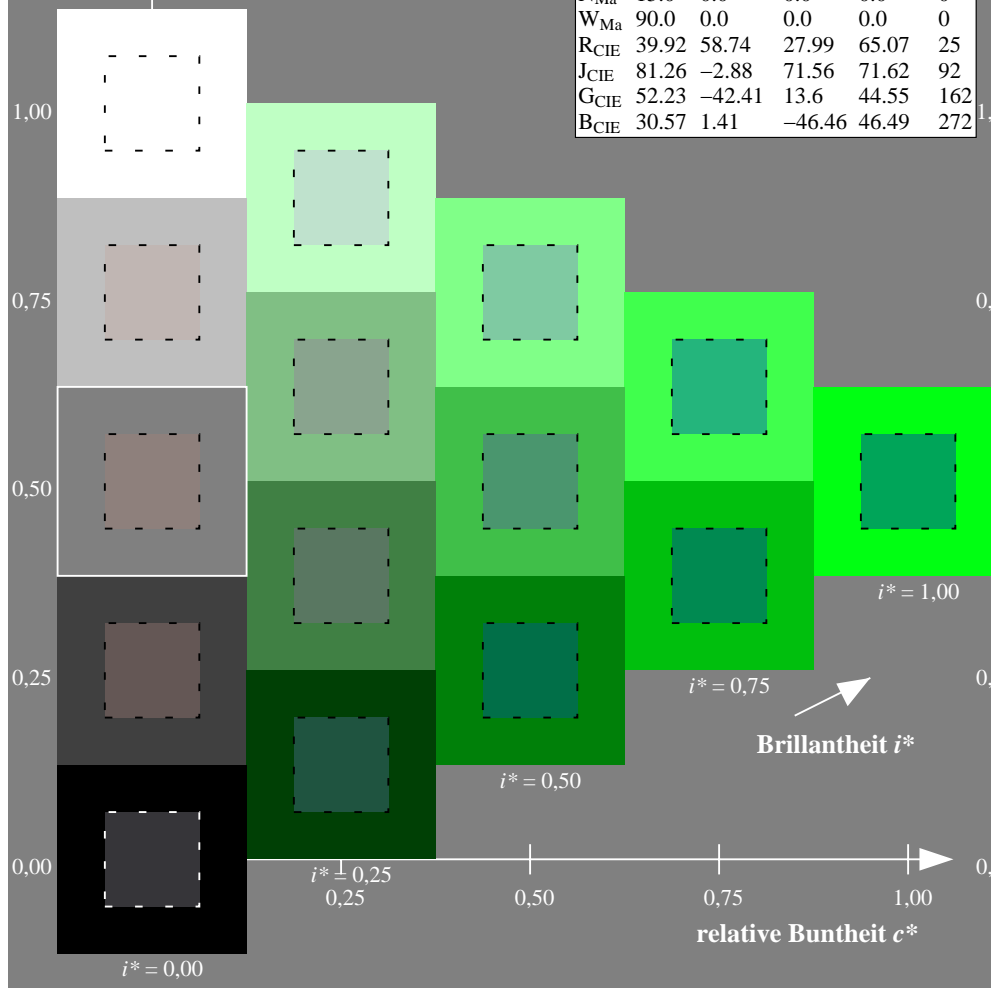
%Regularität

$g^*_{H,rel} = 31$

$g^*_{C,rel} = 40$

FRS15_90aM; adaptierte CIELAB-Daten

	$L^*=L_a^*$	a_a^*	b_a^*	$C^*_{ab,a}$	$h^*_{ab,a}$
r00j	35.47	56.92	27.12	63.05	25
r25j	39.12	49.04	44.45	66.19	42
r50j	50.64	35.19	58.33	68.13	59
r75j	64.01	19.11	74.45	76.87	76
j00g	83.18	-3.93	97.56	97.64	92
j25g	66.73	-26.86	74.66	79.35	110
j50g	54.03	-43.42	57.07	71.71	127
j75g	44.73	-54.21	38.33	66.4	145
g00b	47.59	-44.11	14.14	46.33	162
g25b	49.97	-35.68	-6.03	36.19	190
g50b	51.85	-29.05	-21.88	36.38	217
g75b	46.92	-15.53	-32.37	35.92	244
b00r	37.91	1.15	-38.05	38.08	272
b25r	23.81	27.31	-46.96	54.33	300
b50r	29.52	62.07	-37.87	72.72	329
b75r	36.48	64.24	-3.31	64.33	357



Ein und Ausgabe: Farbmetrisches Drucker-Reflektiv-System FRS15_90aM für relativen CIELAB-Buntton $h^* = lab^*h^* = h_{ab}/360 = 162/360 = 0.451$ $u^* = g00b$

Daten für jede Farbe:

lab^*ch^* und lab^*icu^*

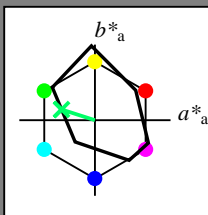
Elementar-Bunttontext:

$u^* = g00b$

Kontrastreduzierungsfaktor:

$c_R = 0.9$

Dreiecks-Helligkeit i^*



FRS15_90aM; adaptierte CIELAB-Daten

	$L^*=L_a^*$	a_a^*	b_a^*	$C^*_{ab,a}$	$h^*_{ab,a}$
O _{Ma}	35.06	53.93	39.55	66.88	36
Y _{Ma}	83.77	-4.63	98.26	98.37	93
L _{Ma}	44.13	-56.32	43.36	71.09	142
C _{Ma}	52.66	-26.18	-28.74	38.89	228
V _{Ma}	14.15	45.22	-53.06	69.72	310
M _{Ma}	37.37	70.69	-30.1	76.83	337
N _{Ma}	15.0	0.0	0.0	0.0	0
W _{Ma}	90.0	0.0	0.0	0.0	0
R _{CIE}	39.92	58.74	27.99	65.07	25
J _{CIE}	81.26	-2.88	71.56	71.62	92
G _{CIE}	52.23	-42.41	13.6	44.55	162
B _{CIE}	30.57	1.41	-46.46	46.49	272

Daten für Maximalfarbe (Ma):

$LAB^*LAB^*_{Ma}$: 48 -43 14

$LAB^*LCH^*_{Ma}$: 48 46 162

$lab^*rgb^*_{Ma}$: 0.0 1.0 0.0

$lab^*olv^*_{Ma}$: 0.0 1.0 0.41

Dreiecks-Helligkeit i^*

%Umfang

$u^*_{rel} = 88$

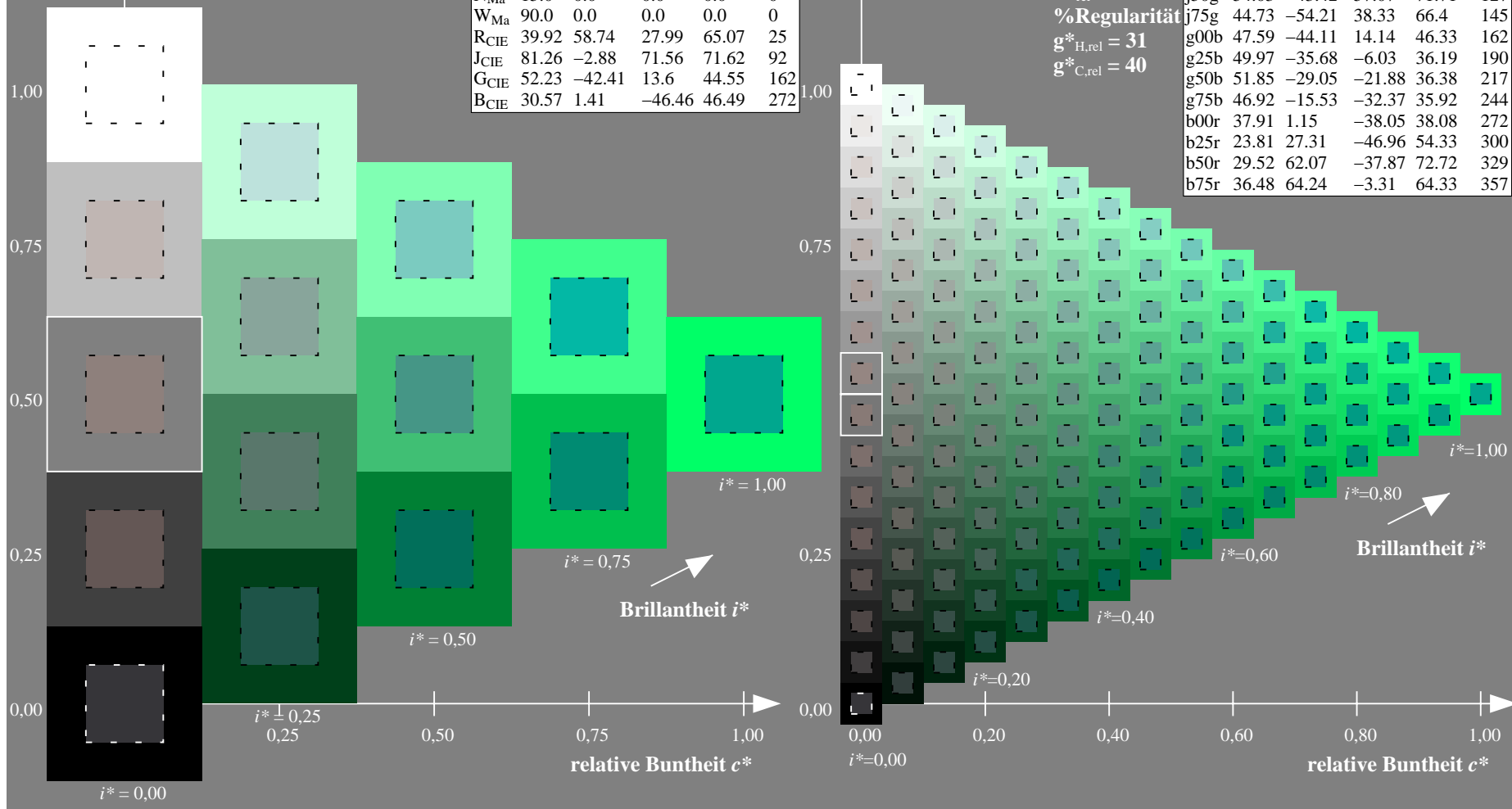
%Regularität

$g^*_{H,rel} = 31$

$g^*_{C,rel} = 40$

FRS15_90aM; adaptierte CIELAB-Daten

	$L^*=L_a^*$	a_a^*	b_a^*	$C^*_{ab,a}$	$h^*_{ab,a}$
r00j	35.47	56.92	27.12	63.05	25
r25j	39.12	49.04	44.45	66.19	42
r50j	50.64	35.19	58.33	68.13	59
r75j	64.01	19.11	74.45	76.87	76
j00g	83.18	-3.93	97.56	97.64	92
j25g	66.73	-26.86	74.66	79.35	110
j50g	54.03	-43.42	57.07	71.71	127
j75g	44.73	-54.21	38.33	66.4	145
g00b	47.59	-44.11	14.14	46.33	162
g25b	49.97	-35.68	-6.03	36.19	190
g50b	51.85	-29.05	-21.88	36.38	217
g75b	46.92	-15.53	-32.37	35.92	244
b00r	37.91	1.15	-38.05	38.08	272
b25r	23.81	27.31	-46.96	54.33	300
b50r	29.52	62.07	-37.87	72.72	329
b75r	36.48	64.24	-3.31	64.33	357



Ein und Ausgabe: Farbmetrisches Drucker-Reflektiv-System FRS15_90aM für relativen CIELAB-Buntton $h^* = lab^*h^* = h_{ab}/360 = 190/360 = 0.527$ $u^* = g25b$

Daten für jede Farbe:

lab^*ch^* und lab^*icu^*

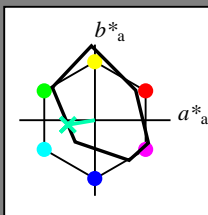
Elementar-Bunttontext:

$u^* = g25b$

Kontrastreduzierungsfaktor:

$c_R = 0.9$

Dreiecks-Helligkeit i^*



FRS15_90aM; adaptierte CIELAB-Daten

	$L^*=L_a^*$	a_a^*	b_a^*	$C^*_{ab,a}$	$h^*_{ab,a}$
O _{Ma}	35.06	53.93	39.55	66.88	36
Y _{Ma}	83.77	-4.63	98.26	98.37	93
L _{Ma}	44.13	-56.32	43.36	71.09	142
C _{Ma}	52.66	-26.18	-28.74	38.89	228
V _{Ma}	14.15	45.22	-53.06	69.72	310
M _{Ma}	37.37	70.69	-30.1	76.83	337
N _{Ma}	15.0	0.0	0.0	0.0	0
W _{Ma}	90.0	0.0	0.0	0.0	0
R _{CIE}	39.92	58.74	27.99	65.07	25
J _{CIE}	81.26	-2.88	71.56	71.62	92
G _{CIE}	52.23	-42.41	13.6	44.55	162
B _{CIE}	30.57	1.41	-46.46	46.49	272

Daten für Maximalfarbe (Ma):

$LAB^*LAB^*_{Ma}$: 50 -35 -5

$LAB^*LCH^*_{Ma}$: 50 36 190

$lab^*rgb^*_{Ma}$: 0.0 1.0 0.5

$lab^*olv^*_{Ma}$: 0.0 1.0 0.69

Dreiecks-Helligkeit i^*

%Umfang

$u^*_{rel} = 88$

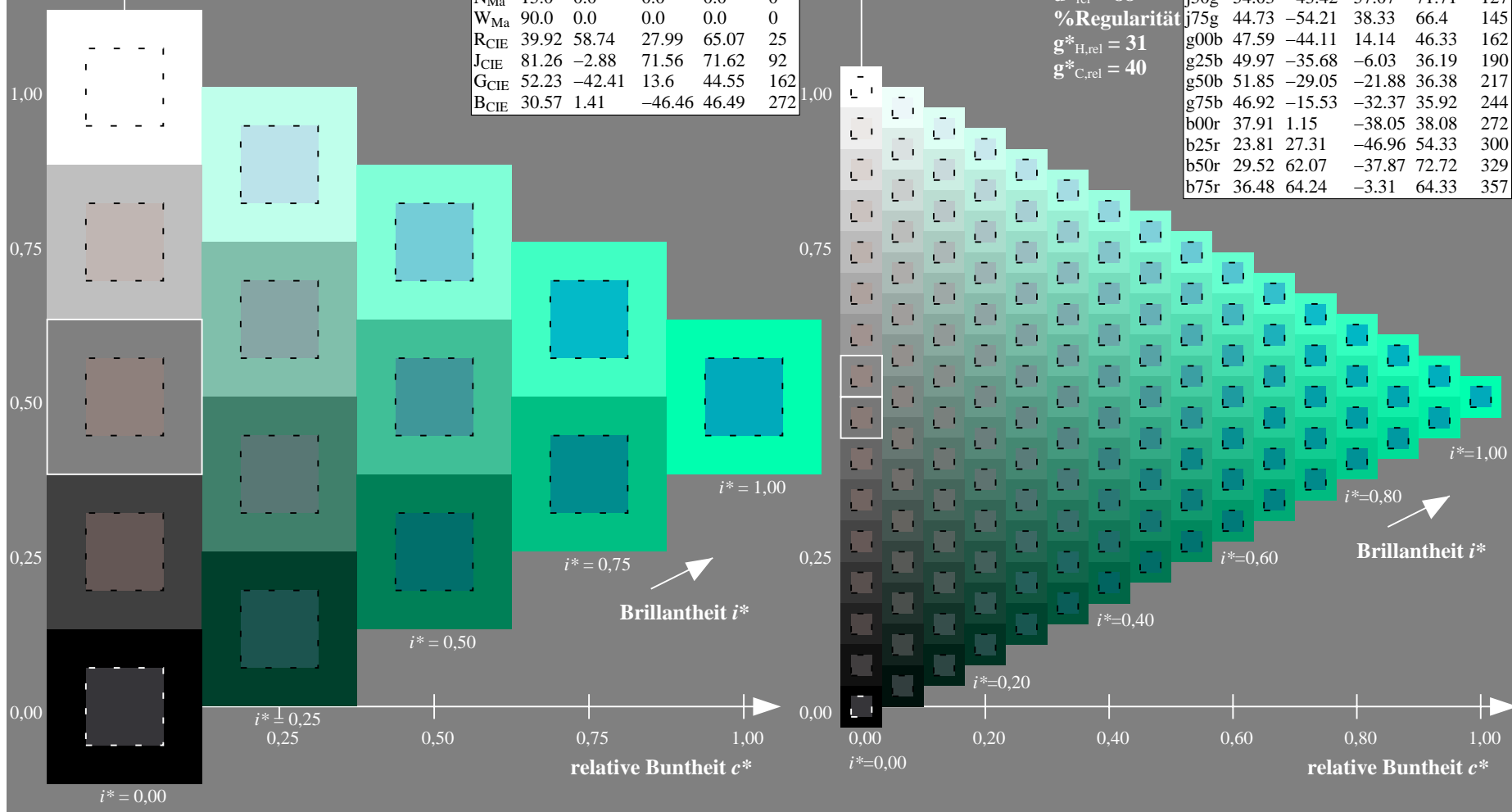
%Regularität

$g^*_{H,rel} = 31$

$g^*_{C,rel} = 40$

FRS15_90aM; adaptierte CIELAB-Daten

	$L^*=L_a^*$	a_a^*	b_a^*	$C^*_{ab,a}$	$h^*_{ab,a}$
r00j	35.47	56.92	27.12	63.05	25
r25j	39.12	49.04	44.45	66.19	42
r50j	50.64	35.19	58.33	68.13	59
r75j	64.01	19.11	74.45	76.87	76
j00g	83.18	-3.93	97.56	97.64	92
j25g	66.73	-26.86	74.66	79.35	110
j50g	54.03	-43.42	57.07	71.71	127
j75g	44.73	-54.21	38.33	66.4	145
g00b	47.59	-44.11	14.14	46.33	162
g25b	49.97	-35.68	-6.03	36.19	190
g50b	51.85	-29.05	-21.88	36.38	217
g75b	46.92	-15.53	-32.37	35.92	244
b00r	37.91	1.15	-38.05	38.08	272
b25r	23.81	27.31	-46.96	54.33	300
b50r	29.52	62.07	-37.87	72.72	329
b75r	36.48	64.24	-3.31	64.33	357



Ein und Ausgabe: Farbmetrisches Drucker-Reflektiv-System FRS15_90aM für relativen CIELAB-Buntton $h^* = lab^*h^* = h_{ab}/360 = 217/360 = 0.603$ $u^* = g50b$

Daten für jede Farbe:

lab^*ch^* und lab^*icu^*

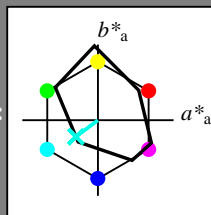
Elementar-Bunttontext:

$u^* = g50b$

Kontrastreduzierungsfaktor:

$c_R = 0.9$

Dreiecks-Helligkeit i^*



FRS15_90aM; adaptierte CIELAB-Daten

	$L^*=L^*_a$	a^*_a	b^*_a	$C^*_{ab,a}$	$h^*_{ab,a}$
O _{Ma}	35.06	53.93	39.55	66.88	36
Y _{Ma}	83.77	-4.63	98.26	98.37	93
L _{Ma}	44.13	-56.32	43.36	71.09	142
C _{Ma}	52.66	-26.18	-28.74	38.89	228
V _{Ma}	14.15	45.22	-53.06	69.72	310
M _{Ma}	37.37	70.69	-30.1	76.83	337
N _{Ma}	15.0	0.0	0.0	0.0	0
W _{Ma}	90.0	0.0	0.0	0.0	0
R _{CIE}	39.92	58.74	27.99	65.07	25
J _{CIE}	81.26	-2.88	71.56	71.62	92
G _{CIE}	52.23	-42.41	13.6	44.55	162
B _{CIE}	30.57	1.41	-46.46	46.49	272

Daten für Maximalfarbe (Ma):

$LAB^*LAB^*_{Ma}$: 52 -28 -21

$LAB^*LCH^*_{Ma}$: 52 36 217

$lab^*rgb^*_{Ma}$: 0.0 1.0 1.0

$lab^*olv^*_{Ma}$: 0.0 1.0 0.9

Dreiecks-Helligkeit i^*

%Umfang

$u^*_{rel} = 88$

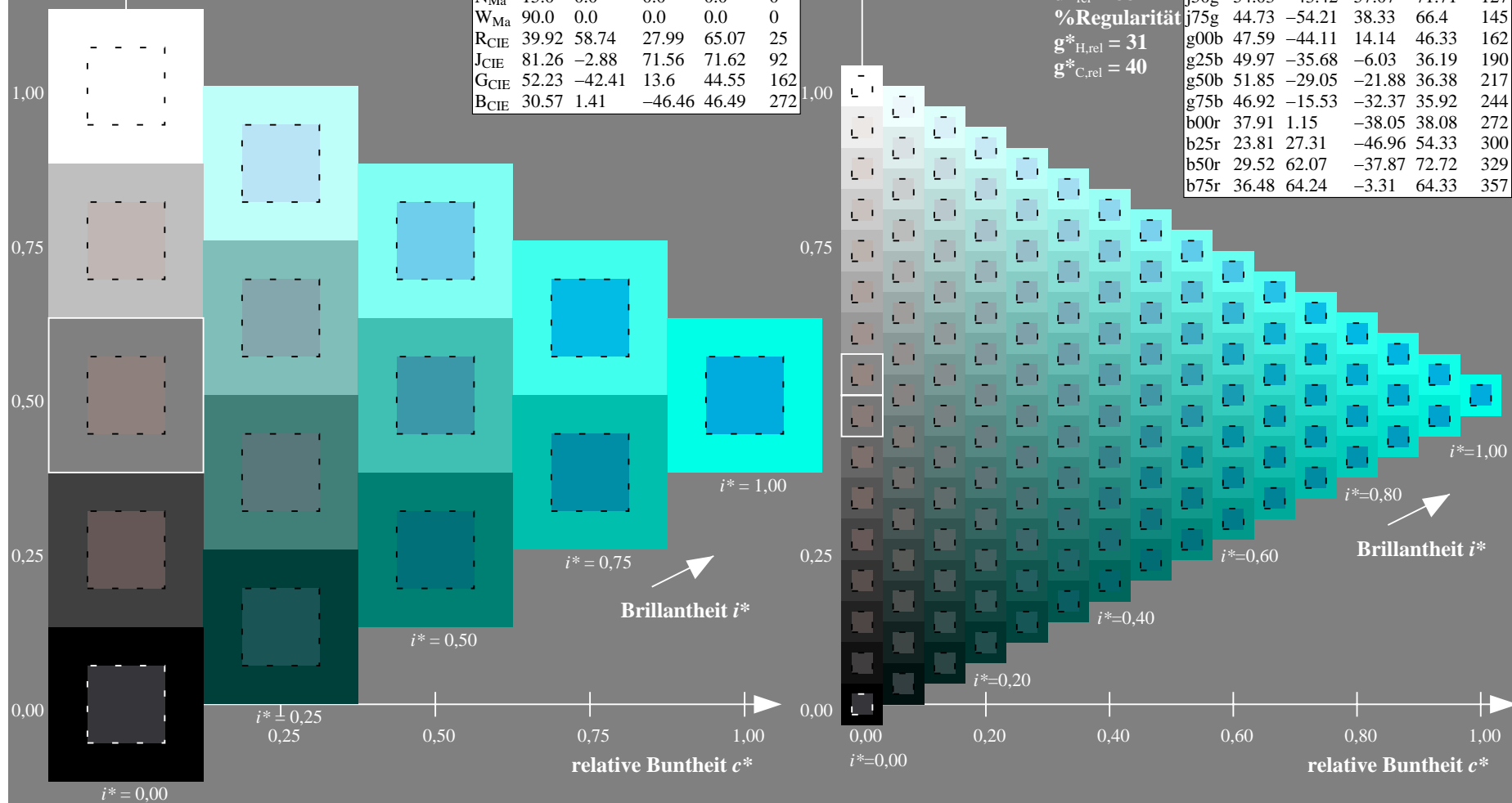
%Regularität

$g^*_{H,rel} = 31$

$g^*_{C,rel} = 40$

FRS15_90aM; adaptierte CIELAB-Daten

	$L^*=L^*_a$	a^*_a	b^*_a	$C^*_{ab,a}$	$h^*_{ab,a}$
r00j	35.47	56.92	27.12	63.05	25
r25j	39.12	49.04	44.45	66.19	42
r50j	50.64	35.19	58.33	68.13	59
r75j	64.01	19.11	74.45	76.87	76
j00g	83.18	-3.93	97.56	97.64	92
j25g	66.73	-26.86	74.66	79.35	110
j50g	54.03	-43.42	57.07	71.71	127
j75g	44.73	-54.21	38.33	66.4	145
g00b	47.59	-44.11	14.14	46.33	162
g25b	49.97	-35.68	-6.03	36.19	190
g50b	51.85	-29.05	-21.88	36.38	217
g75b	46.92	-15.53	-32.37	35.92	244
b00r	37.91	1.15	-38.05	38.08	272
b25r	23.81	27.31	-46.96	54.33	300
b50r	29.52	62.07	-37.87	72.72	329
b75r	36.48	64.24	-3.31	64.33	357



Ein und Ausgabe: Farbmetrisches Drucker-Reflektiv-System FRS15_90aM für relativen CIELAB-Buntton $h^* = lab^*h^* = h_{ab}/360 = 244/360 = 0.679$ $u^* = g75b$

Daten für jede Farbe:

lab^*ch^* und lab^*icu^*

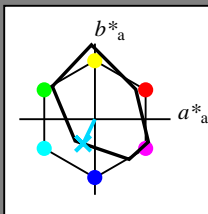
Elementar-Bunttontext:

$u^* = g75b$

Kontrastreduzierungsfaktor:

$c_R = 0.9$

Dreiecks-Helligkeit i^*



FRS15_90aM; adaptierte CIELAB-Daten

	$L^*=L^*_a$	a^*_a	b^*_a	$C^*_{ab,a}$	$h^*_{ab,a}$
O _{Ma}	35.06	53.93	39.55	66.88	36
Y _{Ma}	83.77	-4.63	98.26	98.37	93
L _{Ma}	44.13	-56.32	43.36	71.09	142
C _{Ma}	52.66	-26.18	-28.74	38.89	228
V _{Ma}	14.15	45.22	-53.06	69.72	310
M _{Ma}	37.37	70.69	-30.1	76.83	337
N _{Ma}	15.0	0.0	0.0	0.0	0
W _{Ma}	90.0	0.0	0.0	0.0	0
R _{CIE}	39.92	58.74	27.99	65.07	25
J _{CIE}	81.26	-2.88	71.56	71.62	92
G _{CIE}	52.23	-42.41	13.6	44.55	162
B _{CIE}	30.57	1.41	-46.46	46.49	272

Daten für Maximalfarbe (Ma):

$LAB^*LAB^*_{Ma}$: 47 -15 -31

$LAB^*LCH^*_{Ma}$: 47 36 244

$lab^*rgb^*_{Ma}$: 0.0 0.5 1.0

$lab^*olv^*_{Ma}$: 0.0 0.85 1.0

Dreiecks-Helligkeit i^*

%Umfang

$u^*_{rel} = 88$

%Regularität

$g^*_{H,rel} = 31$

$g^*_{C,rel} = 40$

FRS15_90aM; adaptierte CIELAB-Daten

	$L^*=L^*_a$	a^*_a	b^*_a	$C^*_{ab,a}$	$h^*_{ab,a}$
r00j	35.47	56.92	27.12	63.05	25
r25j	39.12	49.04	44.45	66.19	42
r50j	50.64	35.19	58.33	68.13	59
r75j	64.01	19.11	74.45	76.87	76
j00g	83.18	-3.93	97.56	97.64	92
j25g	66.73	-26.86	74.66	79.35	110
j50g	54.03	-43.42	57.07	71.71	127
j75g	44.73	-54.21	38.33	66.4	145
g00b	47.59	-44.11	14.14	46.33	162
g25b	49.97	-35.68	-6.03	36.19	190
g50b	51.85	-29.05	-21.88	36.38	217
g75b	46.92	-15.53	-32.37	35.92	244
b00r	37.91	1.15	-38.05	38.08	272
b25r	23.81	27.31	-46.96	54.33	300
b50r	29.52	62.07	-37.87	72.72	329
b75r	36.48	64.24	-3.31	64.33	357

Ein und Ausgabe: Farbmetrisches Drucker-Reflektiv-System FRS15_90aM für relativen CIELAB-Buntton $h^* = lab^*h^* = h_{ab}/360 = 300/360 = 0.834$ $u^* = b25r$

Daten für jede Farbe:

lab^*ch^* und lab^*icu^*

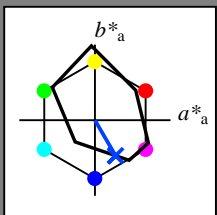
Elementar-Bunttontext:

$u^* = b25r$

Kontrastreduzierungsfaktor:

$c_R = 0.9$

Dreiecks-Helligkeit i^*



FRS15_90aM; adaptierte CIELAB-Daten

	$L^*=L_a^*$	a_a^*	b_a^*	$C^*_{ab,a}$	$h^*_{ab,a}$
O _{Ma}	35.06	53.93	39.55	66.88	36
Y _{Ma}	83.77	-4.63	98.26	98.37	93
L _{Ma}	44.13	-56.32	43.36	71.09	142
C _{Ma}	52.66	-26.18	-28.74	38.89	228
V _{Ma}	14.15	45.22	-53.06	69.72	310
M _{Ma}	37.37	70.69	-30.1	76.83	337
N _{Ma}	15.0	0.0	0.0	0.0	0
W _{Ma}	90.0	0.0	0.0	0.0	0
R _{CIE}	39.92	58.74	27.99	65.07	25
J _{CIE}	81.26	-2.88	71.56	71.62	92
G _{CIE}	52.23	-42.41	13.6	44.55	162
B _{CIE}	30.57	1.41	-46.46	46.49	272

Daten für Maximalfarbe (Ma):

$LAB^*LAB^*_{Ma}$: 24 27 -46

$LAB^*LCH^*_{Ma}$: 24 54 300

$lab^*rgb^*_{Ma}$: 0.5 0.0 1.0

$lab^*olv^*_{Ma}$: 0.0 0.25 1.0

Dreiecks-Helligkeit i^*

%Umfang

$u^*_{rel} = 88$

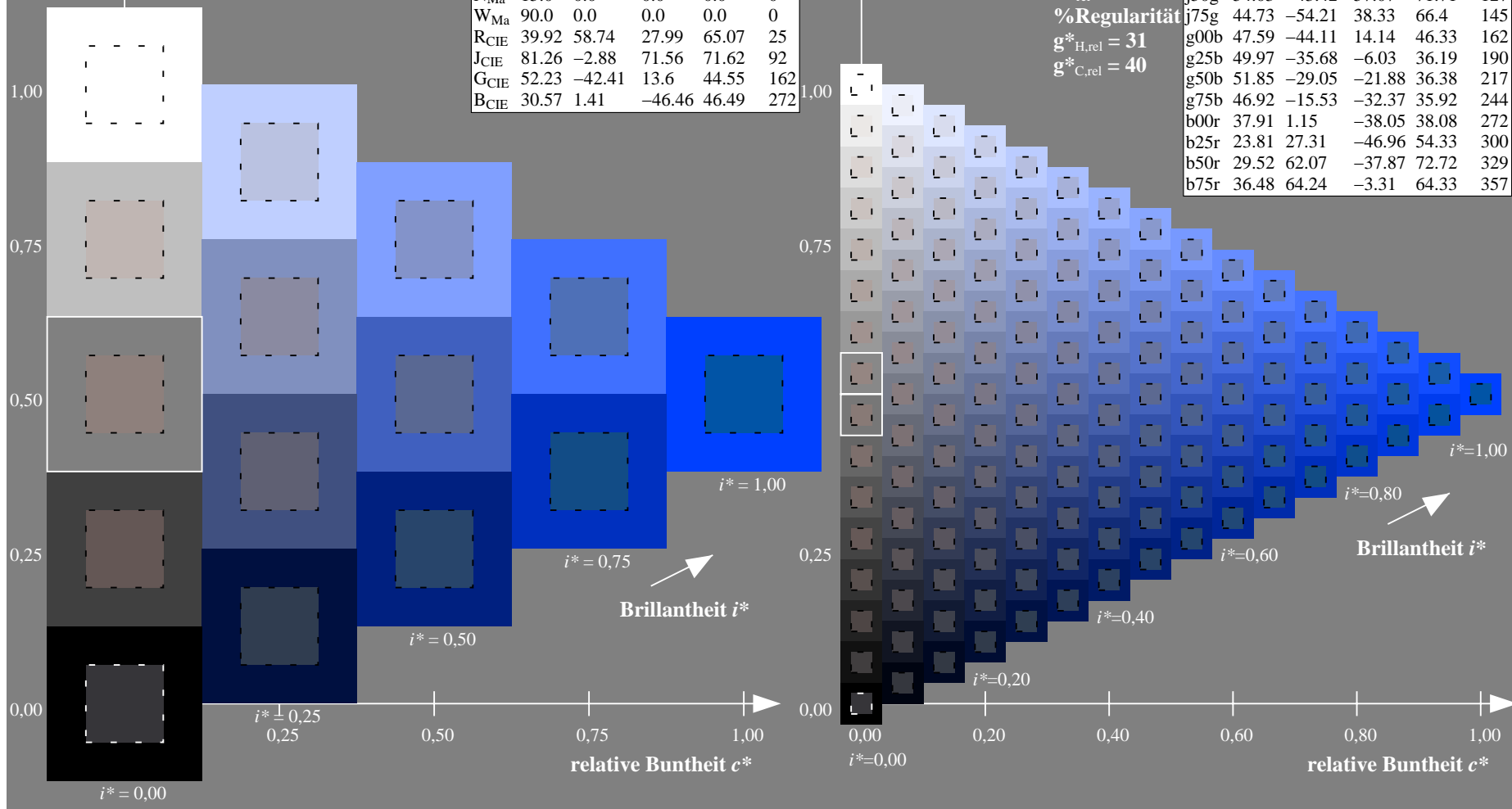
%Regularität

$g^*_{H,rel} = 31$

$g^*_{C,rel} = 40$

FRS15_90aM; adaptierte CIELAB-Daten

	$L^*=L_a^*$	a_a^*	b_a^*	$C^*_{ab,a}$	$h^*_{ab,a}$
r00j	35.47	56.92	27.12	63.05	25
r25j	39.12	49.04	44.45	66.19	42
r50j	50.64	35.19	58.33	68.13	59
r75j	64.01	19.11	74.45	76.87	76
j00g	83.18	-3.93	97.56	97.64	92
j25g	66.73	-26.86	74.66	79.35	110
j50g	54.03	-43.42	57.07	71.71	127
j75g	44.73	-54.21	38.33	66.4	145
g00b	47.59	-44.11	14.14	46.33	162
g25b	49.97	-35.68	-6.03	36.19	190
g50b	51.85	-29.05	-21.88	36.38	217
g75b	46.92	-15.53	-32.37	35.92	244
b00r	37.91	1.15	-38.05	38.08	272
b25r	23.81	27.31	-46.96	54.33	300
b50r	29.52	62.07	-37.87	72.72	329
b75r	36.48	64.24	-3.31	64.33	357



Ein und Ausgabe: Farbmetrisches Drucker-Reflektiv-System FRS15_90aM für relativen CIELAB-Buntton $h^* = lab^*h^* = h_{ab}/360 = 329/360 = 0.913$ $u^* = b50r$

Daten für jede Farbe:

lab^*tch^* und lab^*icu^*

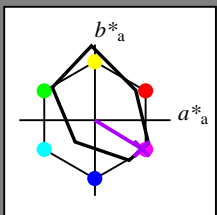
Elementar-Bunttontext:

$u^* = b50r$

Kontrastreduzierungsfaktor:

$c_R = 0.9$

Dreiecks-Helligkeit t^*



FRS15_90aM; adaptierte CIELAB-Daten

	$L^*=L_a^*$	a_a^*	b_a^*	$C_{ab,a}^*$	$h_{ab,a}^*$
O _{Ma}	35.06	53.93	39.55	66.88	36
Y _{Ma}	83.77	-4.63	98.26	98.37	93
L _{Ma}	44.13	-56.32	43.36	71.09	142
C _{Ma}	52.66	-26.18	-28.74	38.89	228
V _{Ma}	14.15	45.22	-53.06	69.72	310
M _{Ma}	37.37	70.69	-30.1	76.83	337
N _{Ma}	15.0	0.0	0.0	0.0	0
W _{Ma}	90.0	0.0	0.0	0.0	0
R _{CIE}	39.92	58.74	27.99	65.07	25
J _{CIE}	81.26	-2.88	71.56	71.62	92
G _{CIE}	52.23	-42.41	13.6	44.55	162
B _{CIE}	30.57	1.41	-46.46	46.49	272

Daten für Maximalfarbe (Ma):

$LAB^*LAB^*_{Ma}$: 30 62 -37

$LAB^*LCH^*_{Ma}$: 30 73 329

$lab^*rgb^*_{Ma}$: 1.0 0.0 1.0

$lab^*olv^*_{Ma}$: 0.66 0.0 1.0

Dreiecks-Helligkeit t^*

%Umfang

$u^*_{rel} = 88$

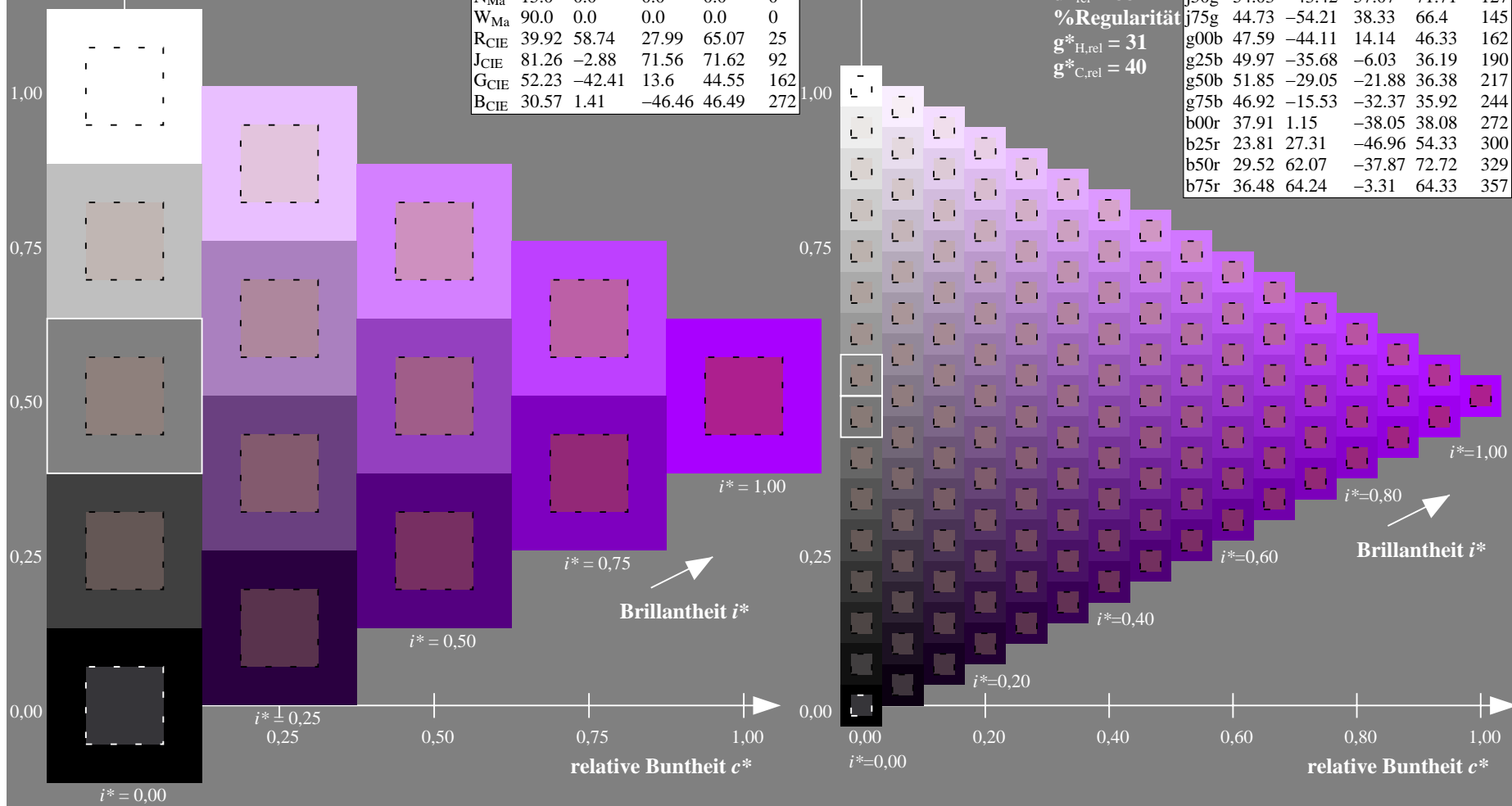
%Regularität

$g^*_{H,rel} = 31$

$g^*_{C,rel} = 40$

FRS15_90aM; adaptierte CIELAB-Daten

	$L^*=L_a^*$	a_a^*	b_a^*	$C_{ab,a}^*$	$h_{ab,a}^*$
r00j	35.47	56.92	27.12	63.05	25
r25j	39.12	49.04	44.45	66.19	42
r50j	50.64	35.19	58.33	68.13	59
r75j	64.01	19.11	74.45	76.87	76
j00g	83.18	-3.93	97.56	97.64	92
j25g	66.73	-26.86	74.66	79.35	110
j50g	54.03	-43.42	57.07	71.71	127
j75g	44.73	-54.21	38.33	66.4	145
g00b	47.59	-44.11	14.14	46.33	162
g25b	49.97	-35.68	-6.03	36.19	190
g50b	51.85	-29.05	-21.88	36.38	217
g75b	46.92	-15.53	-32.37	35.92	244
b00r	37.91	1.15	-38.05	38.08	272
b25r	23.81	27.31	-46.96	54.33	300
b50r	29.52	62.07	-37.87	72.72	329
b75r	36.48	64.24	-3.31	64.33	357



Ein und Ausgabe: Farbmetrisches Drucker-Reflektiv-System FRS15_90aM für relativen CIELAB-Buntton $h^* = lab^*h^* = h_{ab}/360 = 357/360 = 0.992$ $u^* = b75r$

Daten für jede Farbe:

lab^*ch^* und lab^*icu^*

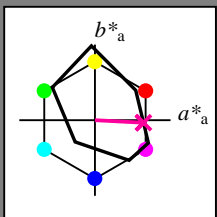
Elementar-Bunttontext:

$u^* = b75r$

Kontrastreduzierungsfaktor:

$c_R = 0.9$

Dreiecks-Helligkeit i^*



FRS15_90aM; adaptierte CIELAB-Daten

	$L^*=L_a^*$	a_a^*	b_a^*	$C^*_{ab,a}$	$h^*_{ab,a}$
O _{Ma}	35.06	53.93	39.55	66.88	36
Y _{Ma}	83.77	-4.63	98.26	98.37	93
L _{Ma}	44.13	-56.32	43.36	71.09	142
C _{Ma}	52.66	-26.18	-28.74	38.89	228
V _{Ma}	14.15	45.22	-53.06	69.72	310
M _{Ma}	37.37	70.69	-30.1	76.83	337
N _{Ma}	15.0	0.0	0.0	0.0	0
W _{Ma}	90.0	0.0	0.0	0.0	0
R _{CIE}	39.92	58.74	27.99	65.07	25
J _{CIE}	81.26	-2.88	71.56	71.62	92
G _{CIE}	52.23	-42.41	13.6	44.55	162
B _{CIE}	30.57	1.41	-46.46	46.49	272

Daten für Maximalfarbe (Ma):

$LAB^*LAB^*_{Ma}$: 36 64 -2

$LAB^*LCH^*_{Ma}$: 36 64 357

$lab^*rgb^*_{Ma}$: 1.0 0.0 0.5

$lab^*olv^*_{Ma}$: 1.0 0.0 0.62

Dreiecks-Helligkeit i^*

%Umfang

$u^*_{rel} = 88$

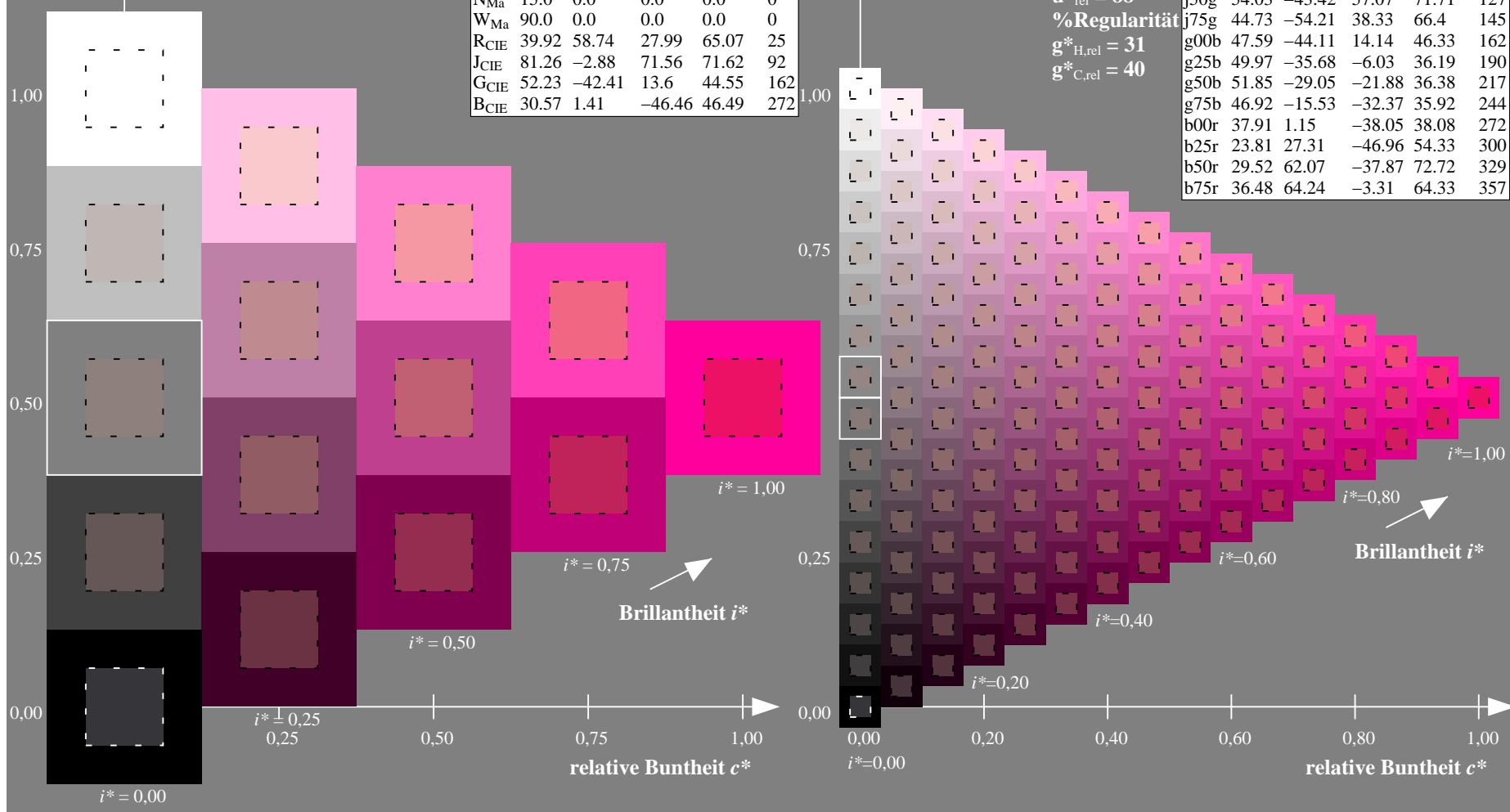
%Regularität

$g^*_{H,rel} = 31$

$g^*_{C,rel} = 40$

FRS15_90aM; adaptierte CIELAB-Daten

	$L^*=L_a^*$	a_a^*	b_a^*	$C^*_{ab,a}$	$h^*_{ab,a}$
r00j	35.47	56.92	27.12	63.05	25
r25j	39.12	49.04	44.45	66.19	42
r50j	50.64	35.19	58.33	68.13	59
r75j	64.01	19.11	74.45	76.87	76
j00g	83.18	-3.93	97.56	97.64	92
j25g	66.73	-26.86	74.66	79.35	110
j50g	54.03	-43.42	57.07	71.71	127
j75g	44.73	-54.21	38.33	66.4	145
g00b	47.59	-44.11	14.14	46.33	162
g25b	49.97	-35.68	-6.03	36.19	190
g50b	51.85	-29.05	-21.88	36.38	217
g75b	46.92	-15.53	-32.37	35.92	244
b00r	37.91	1.15	-38.05	38.08	272
b25r	23.81	27.31	-46.96	54.33	300
b50r	29.52	62.07	-37.87	72.72	329
b75r	36.48	64.24	-3.31	64.33	357



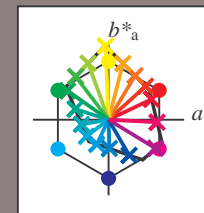
Siehe ähnliche Dateien: <http://www.ps.bam.de/Dg93/>; www.ps.bam.de/Dg93/HTML
Technische Information: <http://www.ps.bam.de> Version 2.1, io=1,1, ColSpx=0



Ein und Ausgabe:
Farbmetrisches Drucker-Reflektiv-System FRS15_90aM
Daten für jede Farbe:
*lab*_{ich}** und *lab*_{icu}**
Elementar-Bunttontext:
*u** = 16 Bunttöne *r00j*, *r25j*, ..., *b75r*
Kontrastreduzierungsfaktor:
c_R = 0.9

FRS15_90aM; adaptierte CIELAB-Daten

	<i>L*</i> = <i>L*</i> _a	<i>a*</i> _a	<i>b*</i> _a	<i>C*</i> _{ab,a}	<i>h*</i> _{ab,a}
r00j	35.47	56.92	27.12	63.05	25
r25j	39.12	49.04	44.45	66.19	42
r50j	50.64	35.19	58.33	68.13	59
r75j	64.01	19.11	74.45	76.87	76
j00g	83.18	-3.93	97.56	97.64	92
j25g	66.73	-26.86	74.66	79.35	110
j50g	54.03	-43.42	57.07	71.71	127
j75g	44.73	-54.21	38.33	66.4	145
g00b	47.59	-44.11	14.14	46.33	162
g25b	49.97	-35.68	-6.03	36.19	190
g50b	51.85	-29.05	-21.88	36.38	217
g75b	46.92	-15.53	-32.37	35.92	244
b00r	37.91	1.15	-38.05	38.08	272
b25r	23.81	27.31	-46.96	54.33	300
b50r	29.52	62.07	-37.87	72.72	329
b75r	36.48	64.24	-3.31	64.33	357



%Umfang

*u**_{rel} = 88

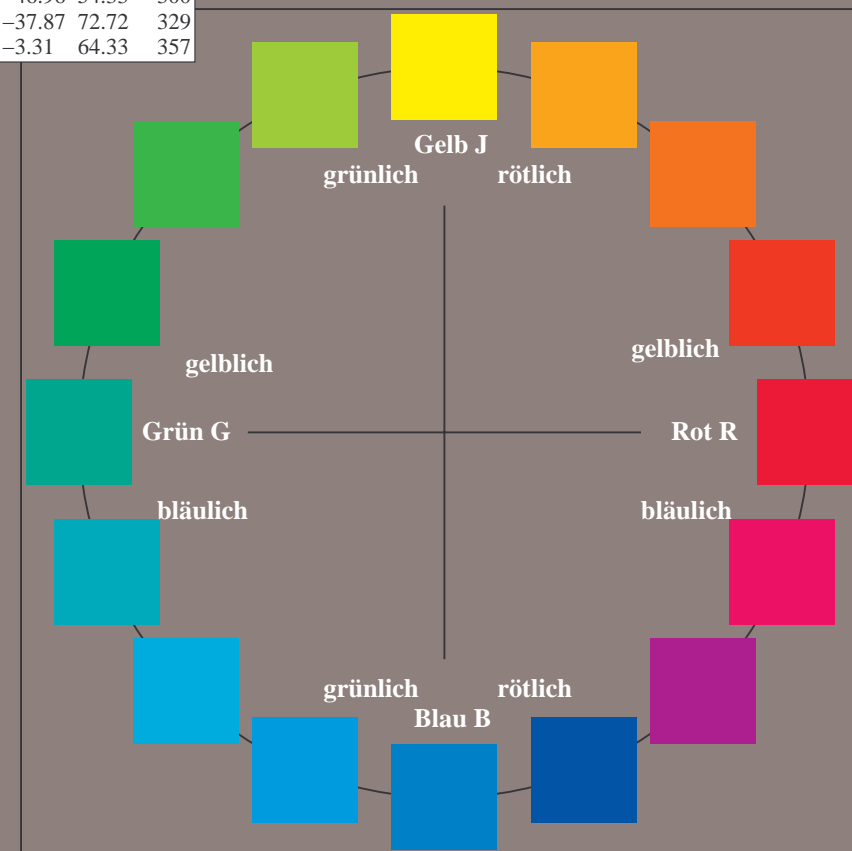
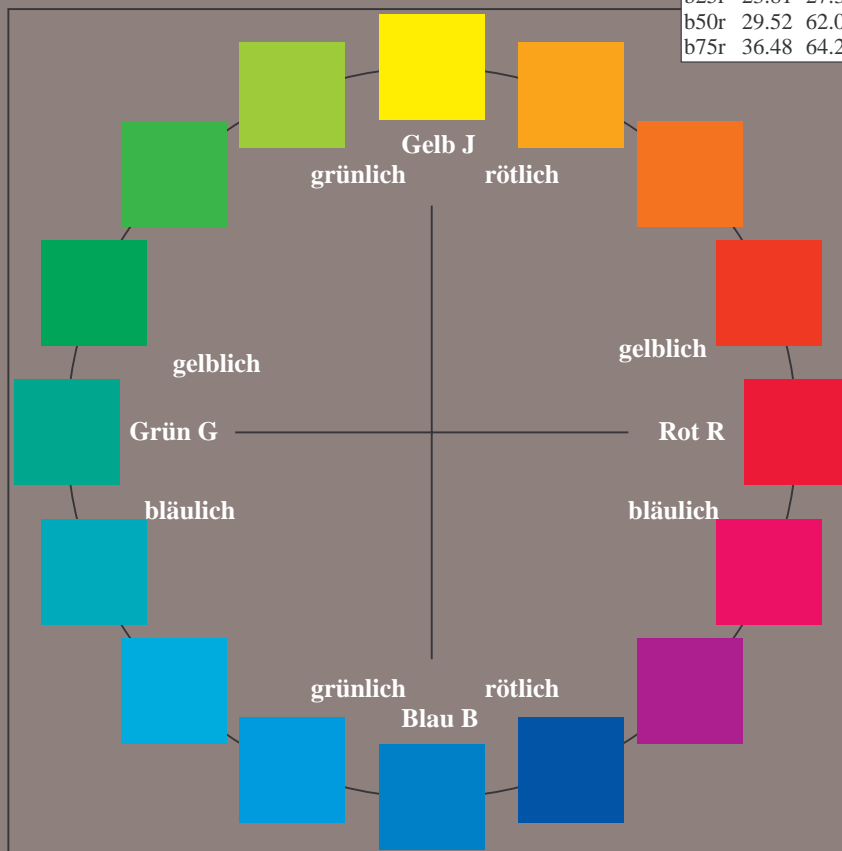
%Regularität

*g**_{H,rel} = 31

*g**_{C,rel} = 40

FRS15_90aM; adaptierte CIELAB-Daten

	<i>L*</i> = <i>L*</i> _a	<i>a*</i> _a	<i>b*</i> _a	<i>C*</i> _{ab,a}	<i>h*</i> _{ab,a}
O _{Ma}	35.06	53.93	39.55	66.88	36
Y _{Ma}	83.77	-4.63	98.26	98.37	93
L _{Ma}	44.13	-56.32	43.36	71.09	142
C _{Ma}	52.66	-26.18	-28.74	38.89	228
V _{Ma}	14.15	45.22	-53.06	69.72	310
M _{Ma}	37.37	70.69	-30.1	76.83	337
N _{Ma}	15.0	0.0	0.0	0.0	0
W _{Ma}	90.0	0.0	0.0	0.0	0
R _{CIE}	39.92	58.74	27.99	65.07	25
J _{CIE}	81.26	-2.88	71.56	71.62	92
G _{CIE}	52.23	-42.41	13.6	44.55	162
B _{CIE}	30.57	1.41	-46.46	46.49	272



Ein und Ausgabe: Farbmétrisches Drucker-Reflektiv-System FRS15_90aM für relativen CIELAB-Buntton $h^* = lab^*h^* = h_{ab}/360 = 25/360 = 0.071$ $u^* = r00j$

Daten für jede Farbe:

*lab*tch** und *lab*icu**

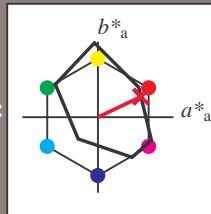
Elementar-Bunttontext:

$$u^* = r00j$$

Kontrastreduzierungsfaktor:

 $c_R = 0.9$

Dreiecks-Helligkeit t^*



FRS15_90aM; adaptierte CIELAB-Daten					
	L^*_a	a^*_a	b^*_a	$C^*_{ab,a}$	$h^*_{ab,a}$
O _{Ma}	35.06	53.93	39.55	66.88	36
Y _{Ma}	83.77	-4.63	98.26	98.37	93
L _{Ma}	44.13	-56.32	43.36	71.09	142
C _{Ma}	52.66	-26.18	-28.74	38.89	228
V _{Ma}	14.15	45.22	-53.06	69.72	310
M _{Ma}	37.37	70.69	-30.1	76.83	337
N _{Ma}	15.0	0.0	0.0	0.0	0
W _{Ma}	90.0	0.0	0.0	0.0	0
R _{CIE}	39.92	58.74	27.99	65.07	25
J _{CIE}	81.26	-2.88	71.56	71.62	92
G _{CIE}	52.23	-42.41	13.6	44.55	162
B _{CIE}	30.57	1.41	-46.46	46.49	272

Daten für Maximalfarbe (Ma):

*LAB*LAB**M₂: 35 57 27

*LAB*LCH**: 35 63 25

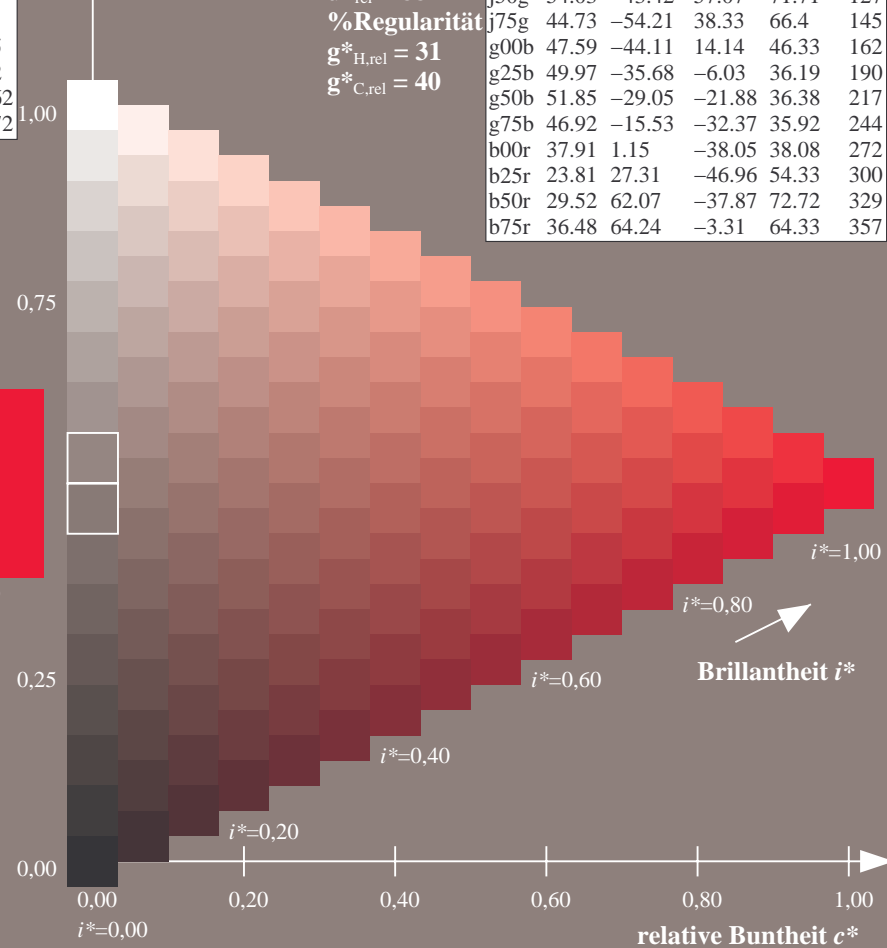
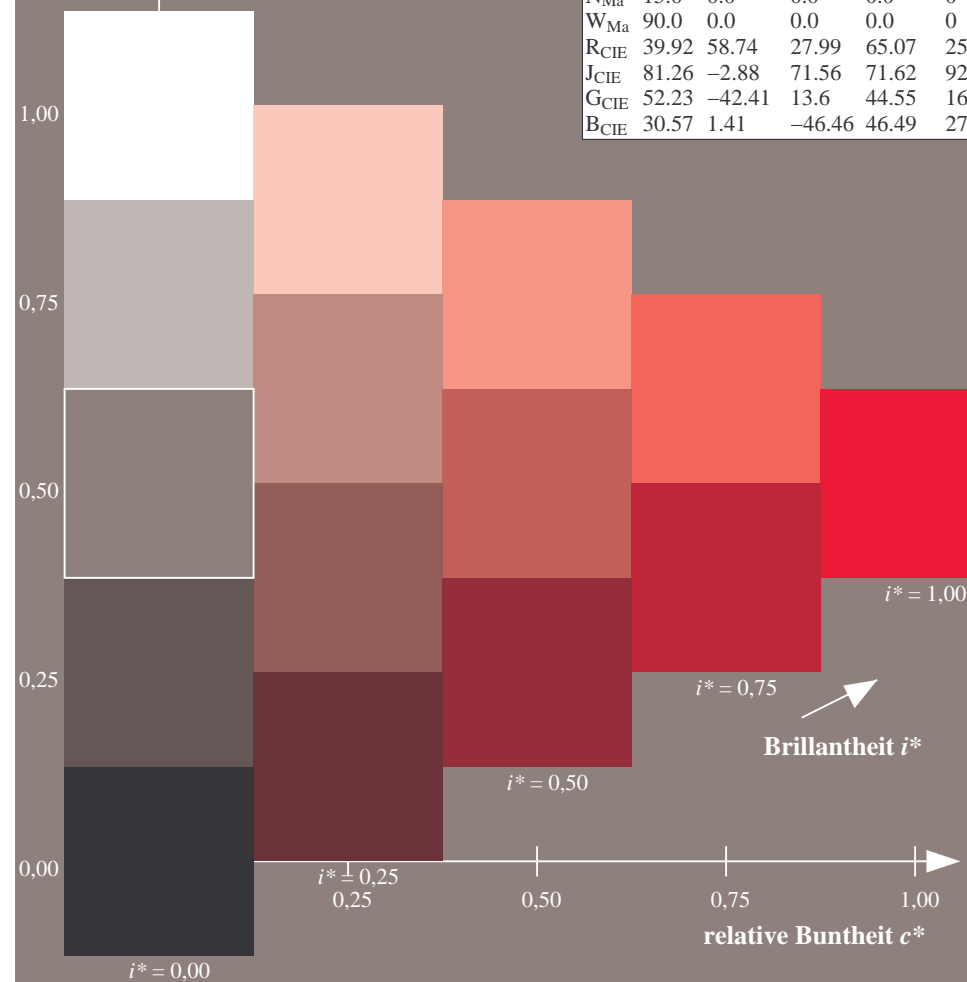
LAB LCH Ma: 55 65 23

*lab*rgb*_Ma: 1.0 0.0 0.0*

*lab*olv**_{Ma}: 1.0 0.0 0.18

Dreiecks-Helligkeit t^*

FRS15_90aM; adaptierte CIELAB-Daten						
	L^*_a	a^*_a	b^*_a	$C^*_{ab,a}$	$h^*_{ab,a}$	
r00j	35.47	56.92	27.12	63.05	25	
r25j	39.12	49.04	44.45	66.19	42	
r50j	50.64	35.19	58.33	68.13	59	
r75j	64.01	19.11	74.45	76.87	76	
j00g	83.18	-3.93	97.56	97.64	92	
j25g	66.73	-26.86	74.66	79.35	110	
j50g	54.03	-43.42	57.07	71.71	127	
j75g	44.73	-54.21	38.33	66.4	145	
g00b	47.59	-44.11	14.14	46.33	162	
g25b	49.97	-35.68	-6.03	36.19	190	
g50b	51.85	-29.05	-21.88	36.38	217	
g75b	46.92	-15.53	-32.37	35.92	244	
b00r	37.91	1.15	-38.05	38.08	272	
b25r	23.81	27.31	-46.96	54.33	300	
b50r	29.52	62.07	-37.87	72.72	329	
b75r	36.48	64.24	-3.31	64.33	357	



Ein und Ausgabe: Farbmetrisches Drucker-Reflektiv-System FRS15_90aM für relativen CIELAB-Buntton $h^* = lab^*h^* = h_{ab}/360 = 42/360 = 0.117$ $u^* = r25j$

Daten für jede Farbe:

lab^*ch^* und lab^*icu^*

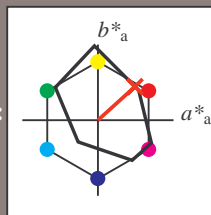
Elementar-Bunttontext:

$u^* = r25j$

Kontrastreduzierungsfaktor:

$c_R = 0.9$

Dreiecks-Helligkeit i^*



FRS15_90aM; adaptierte CIELAB-Daten

	$L^*=L_a^*$	a_a^*	b_a^*	$C_{ab,a}^*$	$h_{ab,a}^*$
O _{Ma}	35.06	53.93	39.55	66.88	36
Y _{Ma}	83.77	-4.63	98.26	98.37	93
L _{Ma}	44.13	-56.32	43.36	71.09	142
C _{Ma}	52.66	-26.18	-28.74	38.89	228
V _{Ma}	14.15	45.22	-53.06	69.72	310
M _{Ma}	37.37	70.69	-30.1	76.83	337
N _{Ma}	15.0	0.0	0.0	0.0	0
W _{Ma}	90.0	0.0	0.0	0.0	0
R _{CIE}	39.92	58.74	27.99	65.07	25
J _{CIE}	81.26	-2.88	71.56	71.62	92
G _{CIE}	52.23	-42.41	13.6	44.55	162
B _{CIE}	30.57	1.41	-46.46	46.49	272

Daten für Maximalfarbe (Ma):

$LAB^*LAB^*_{Ma}$: 39 49 44

$LAB^*LCH^*_{Ma}$: 39 66 42

$lab^*rgb^*_{Ma}$: 1.0 0.25 0.0

$lab^*olv^*_{Ma}$: 1.0 0.08 0.0

Dreiecks-Helligkeit i^*

%Umfang

$u^*_{rel} = 88$

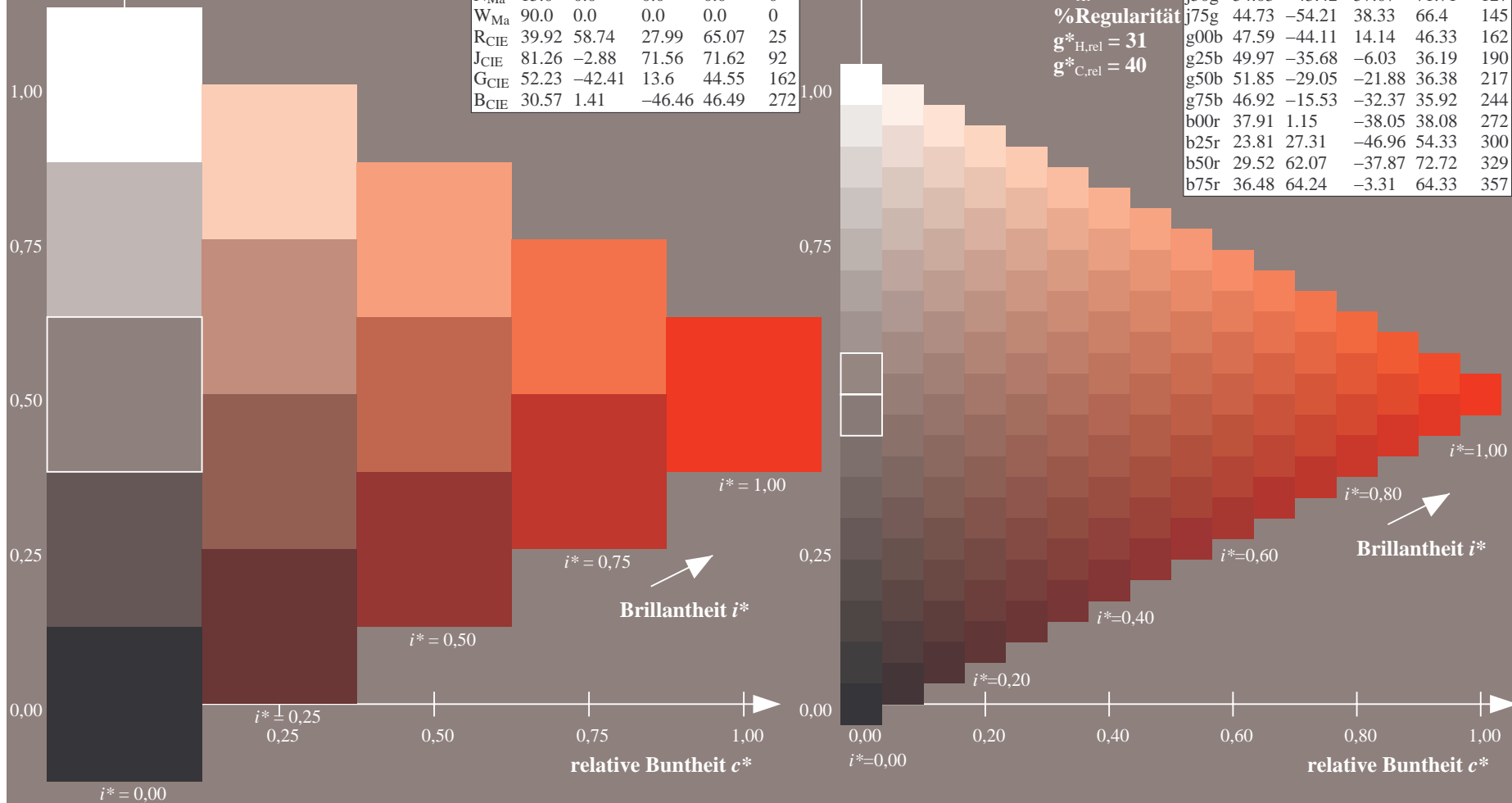
%Regularität

$g^*_{H,rel} = 31$

$g^*_{C,rel} = 40$

FRS15_90aM; adaptierte CIELAB-Daten

	$L^*=L_a^*$	a_a^*	b_a^*	$C_{ab,a}^*$	$h_{ab,a}^*$
r00j	35.47	56.92	27.12	63.05	25
r25j	39.12	49.04	44.45	66.19	42
r50j	50.64	35.19	58.33	68.13	59
r75j	64.01	19.11	74.45	76.87	76
j00g	83.18	-3.93	97.56	97.64	92
j25g	66.73	-26.86	74.66	79.35	110
j50g	54.03	-43.42	57.07	71.71	127
j75g	44.73	-54.21	38.33	66.4	145
g00b	47.59	-44.11	14.14	46.33	162
g25b	49.97	-35.68	-6.03	36.19	190
g50b	51.85	-29.05	-21.88	36.38	217
g75b	46.92	-15.53	-32.37	35.92	244
b00r	37.91	1.15	-38.05	38.08	272
b25r	23.81	27.31	-46.96	54.33	300
b50r	29.52	62.07	-37.87	72.72	329
b75r	36.48	64.24	-3.31	64.33	357



Ein und Ausgabe: Farbmetrisches Drucker-Reflektiv-System FRS15_90aM für relativen CIELAB-Buntton $h^* = lab^*h^* = h_{ab}/360 = 59/360 = 0.164$ $u^* = r50j$

Daten für jede Farbe:

lab^*ch^* und lab^*icu^*

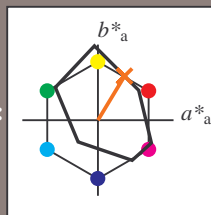
Elementar-Bunttontext:

$u^* = r50j$

Kontrastreduzierungsfaktor:

$c_R = 0.9$

Dreiecks-Helligkeit i^*



FRS15_90aM; adaptierte CIELAB-Daten

	$L^*=L_a^*$	a_a^*	b_a^*	$C^*_{ab,a}$	$h^*_{ab,a}$
O _{Ma}	35.06	53.93	39.55	66.88	36
Y _{Ma}	83.77	-4.63	98.26	98.37	93
L _{Ma}	44.13	-56.32	43.36	71.09	142
C _{Ma}	52.66	-26.18	-28.74	38.89	228
V _{Ma}	14.15	45.22	-53.06	69.72	310
M _{Ma}	37.37	70.69	-30.1	76.83	337
N _{Ma}	15.0	0.0	0.0	0.0	0
W _{Ma}	90.0	0.0	0.0	0.0	0
R _{CIE}	39.92	58.74	27.99	65.07	25
J _{CIE}	81.26	-2.88	71.56	71.62	92
G _{CIE}	52.23	-42.41	13.6	44.55	162
B _{CIE}	30.57	1.41	-46.46	46.49	272

Daten für Maximalfarbe (Ma):

$LAB^*LAB^*_{Ma}$: 51 35 58

$LAB^*LCH^*_{Ma}$: 51 68 59

$lab^*rgb^*_{Ma}$: 1.0 0.5 0.0

$lab^*olv^*_{Ma}$: 1.0 0.32 0.0

Dreiecks-Helligkeit i^*

%Umfang

$u^*_{rel} = 88$

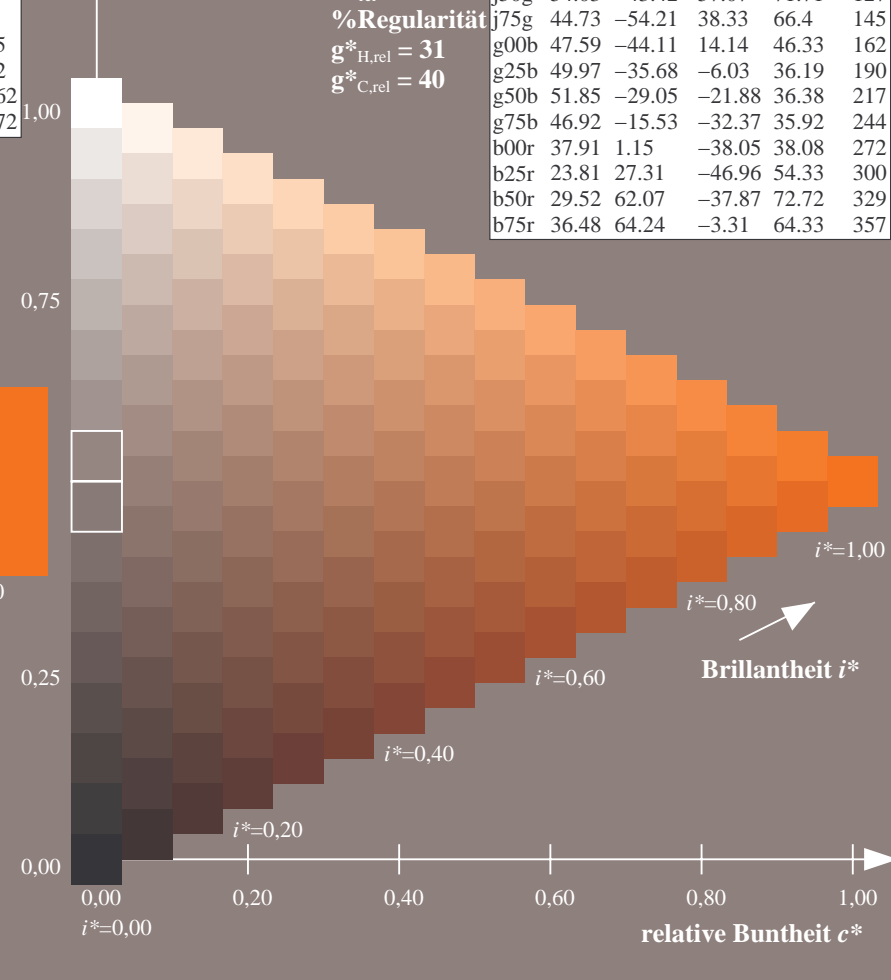
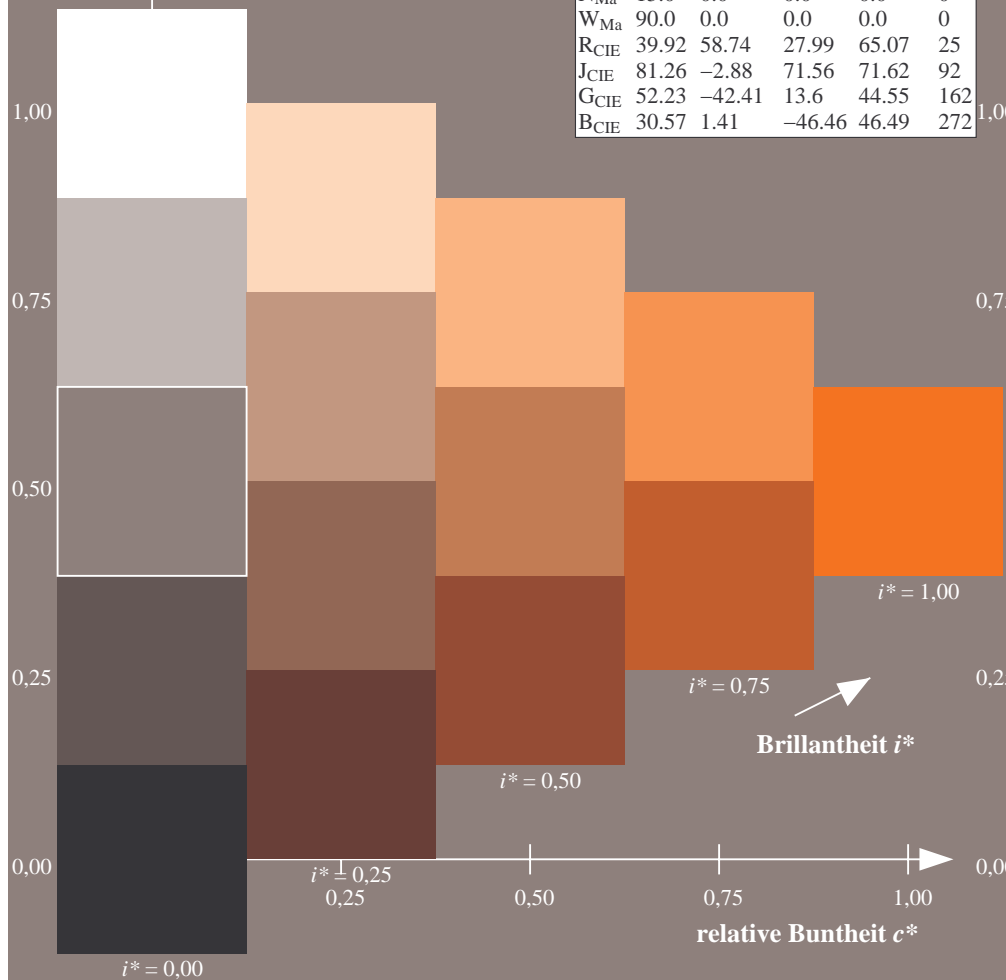
%Regularität

$g^*_{H,rel} = 31$

$g^*_{C,rel} = 40$

FRS15_90aM; adaptierte CIELAB-Daten

	$L^*=L_a^*$	a_a^*	b_a^*	$C^*_{ab,a}$	$h^*_{ab,a}$
r00j	35.47	56.92	27.12	63.05	25
r25j	39.12	49.04	44.45	66.19	42
r50j	50.64	35.19	58.33	68.13	59
r75j	64.01	19.11	74.45	76.87	76
j00g	83.18	-3.93	97.56	97.64	92
j25g	66.73	-26.86	74.66	79.35	110
j50g	54.03	-43.42	57.07	71.71	127
j75g	44.73	-54.21	38.33	66.4	145
g00b	47.59	-44.11	14.14	46.33	162
g25b	49.97	-35.68	-6.03	36.19	190
g50b	51.85	-29.05	-21.88	36.38	217
g75b	46.92	-15.53	-32.37	35.92	244
b00r	37.91	1.15	-38.05	38.08	272
b25r	23.81	27.31	-46.96	54.33	300
b50r	29.52	62.07	-37.87	72.72	329
b75r	36.48	64.24	-3.31	64.33	357



Ein und Ausgabe: Farbmetrisches Drucker-Reflektiv-System FRS15_90aM für relativen CIELAB-Buntton $h^* = lab^*h^* = h_{ab}/360 = 76/360 = 0.21$ $u^* = r75j$

Daten für jede Farbe:

lab^*ch^* und lab^*icu^*

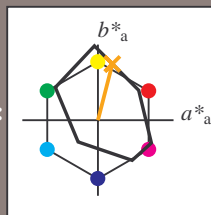
Elementar-Bunttontext:

$u^* = r75j$

Kontrastreduzierungsfaktor:

$c_R = 0.9$

Dreiecks-Helligkeit i^*



FRS15_90aM; adaptierte CIELAB-Daten

	$L^*=L^*_a$	a^*_a	b^*_a	$C^*_{ab,a}$	$h^*_{ab,a}$
O _{Ma}	35.06	53.93	39.55	66.88	36
Y _{Ma}	83.77	-4.63	98.26	98.37	93
L _{Ma}	44.13	-56.32	43.36	71.09	142
C _{Ma}	52.66	-26.18	-28.74	38.89	228
V _{Ma}	14.15	45.22	-53.06	69.72	310
M _{Ma}	37.37	70.69	-30.1	76.83	337
N _{Ma}	15.0	0.0	0.0	0.0	0
W _{Ma}	90.0	0.0	0.0	0.0	0
R _{CIE}	39.92	58.74	27.99	65.07	25
J _{CIE}	81.26	-2.88	71.56	71.62	92
G _{CIE}	52.23	-42.41	13.6	44.55	162
B _{CIE}	30.57	1.41	-46.46	46.49	272

Daten für Maximalfarbe (Ma):

$LAB^*LAB^*_{Ma}$: 64 19 74

$LAB^*LCH^*_{Ma}$: 64 77 76

$lab^*rgb^*_{Ma}$: 1.0 0.75 0.0

$lab^*olv^*_{Ma}$: 1.0 0.59 0.0

Dreiecks-Helligkeit i^*

%Umfang

$u^*_{rel} = 88$

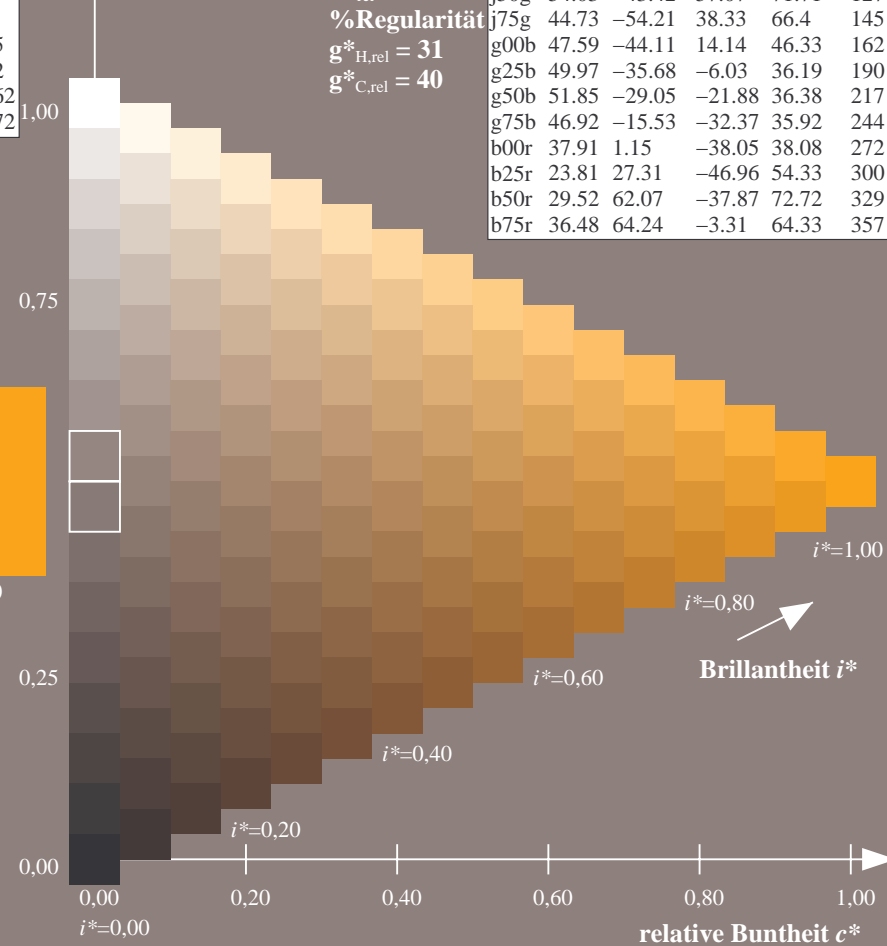
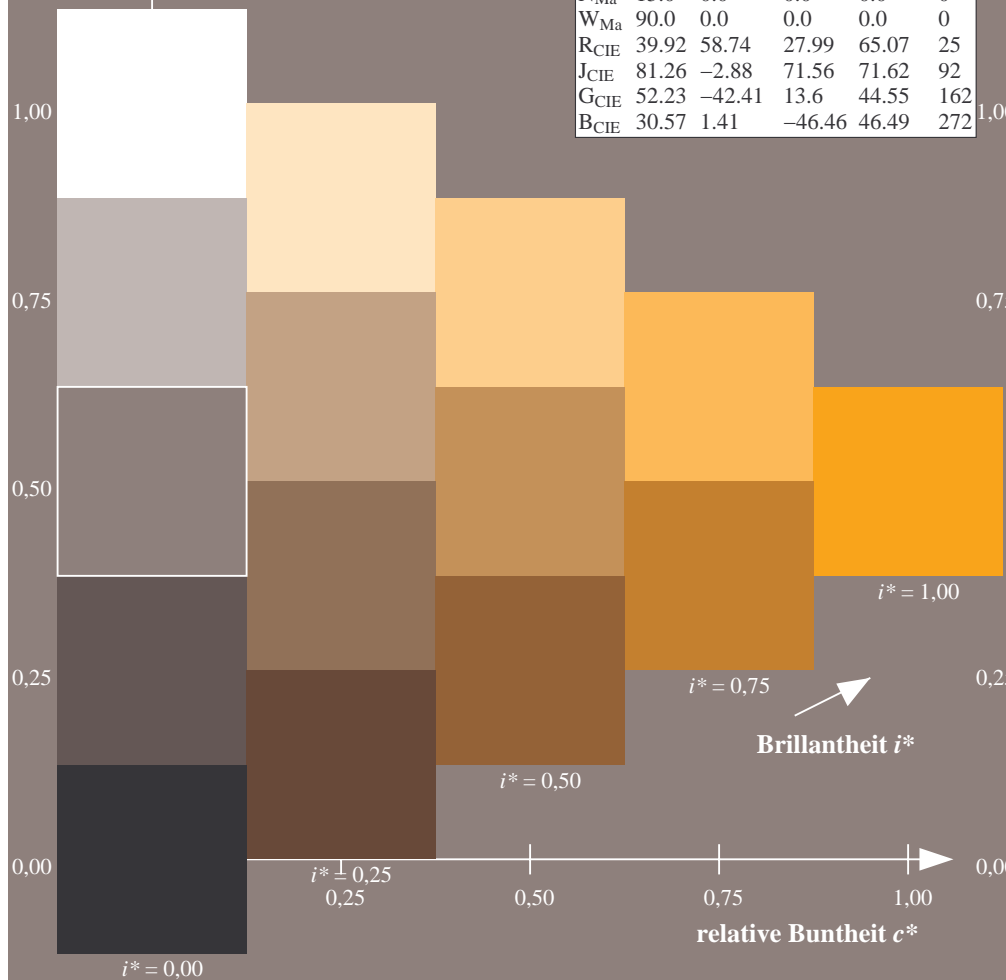
%Regularität

$g^*_{H,rel} = 31$

$g^*_{C,rel} = 40$

FRS15_90aM; adaptierte CIELAB-Daten

	$L^*=L^*_a$	a^*_a	b^*_a	$C^*_{ab,a}$	$h^*_{ab,a}$
r00j	35.47	56.92	27.12	63.05	25
r25j	39.12	49.04	44.45	66.19	42
r50j	50.64	35.19	58.33	68.13	59
r75j	64.01	19.11	74.45	76.87	76
j00g	83.18	-3.93	97.56	97.64	92
j25g	66.73	-26.86	74.66	79.35	110
j50g	54.03	-43.42	57.07	71.71	127
j75g	44.73	-54.21	38.33	66.4	145
g00b	47.59	-44.11	14.14	46.33	162
g25b	49.97	-35.68	-6.03	36.19	190
g50b	51.85	-29.05	-21.88	36.38	217
g75b	46.92	-15.53	-32.37	35.92	244
b00r	37.91	1.15	-38.05	38.08	272
b25r	23.81	27.31	-46.96	54.33	300
b50r	29.52	62.07	-37.87	72.72	329
b75r	36.48	64.24	-3.31	64.33	357



Ein und Ausgabe: Farbmetrisches Drucker-Reflektiv-System FRS15_90aM für relativen CIELAB-Buntton $h^* = lab^*h^* = h_{ab}/360 = 92/360 = 0.256$ $u^* = j00g$

Daten für jede Farbe:

lab^*ch^* und lab^*icu^*

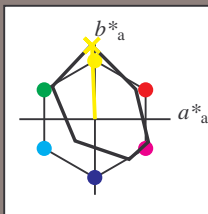
Elementar-Bunttontext:

$u^* = j00g$

Kontrastreduzierungsfaktor:

$c_R = 0.9$

Dreiecks-Helligkeit i^*



FRS15_90aM; adaptierte CIELAB-Daten

	$L^*=L^*_a$	a^*_a	b^*_a	$C^*_{ab,a}$	$h^*_{ab,a}$
O _{Ma}	35.06	53.93	39.55	66.88	36
Y _{Ma}	83.77	-4.63	98.26	98.37	93
L _{Ma}	44.13	-56.32	43.36	71.09	142
C _{Ma}	52.66	-26.18	-28.74	38.89	228
V _{Ma}	14.15	45.22	-53.06	69.72	310
M _{Ma}	37.37	70.69	-30.1	76.83	337
N _{Ma}	15.0	0.0	0.0	0.0	0
W _{Ma}	90.0	0.0	0.0	0.0	0
R _{CIE}	39.92	58.74	27.99	65.07	25
J _{CIE}	81.26	-2.88	71.56	71.62	92
G _{CIE}	52.23	-42.41	13.6	44.55	162
B _{CIE}	30.57	1.41	-46.46	46.49	272

Daten für Maximalfarbe (Ma):

$LAB^*LAB^*_{Ma}$: 83 -3 98

$LAB^*LCH^*_{Ma}$: 83 98 92

$lab^*rgb^*_{Ma}$: 1.0 1.0 0.0

$lab^*olv^*_{Ma}$: 1.0 0.99 0.0

Dreiecks-Helligkeit i^*

%Umfang

$u^*_{rel} = 88$

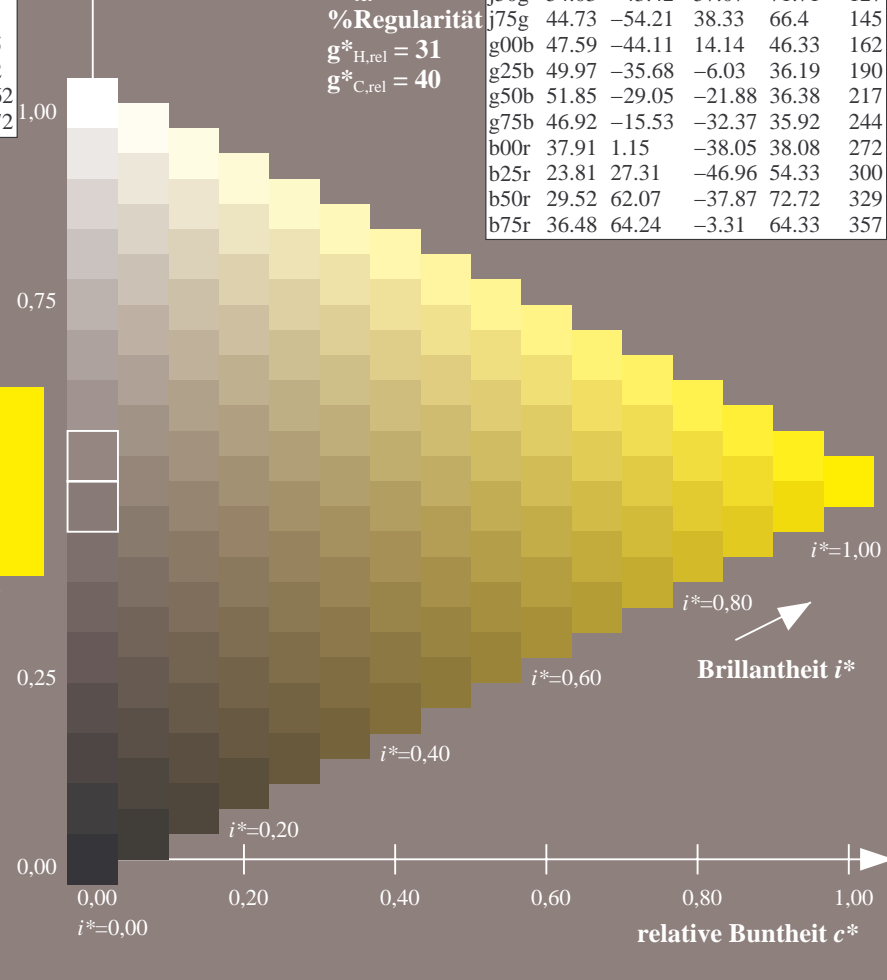
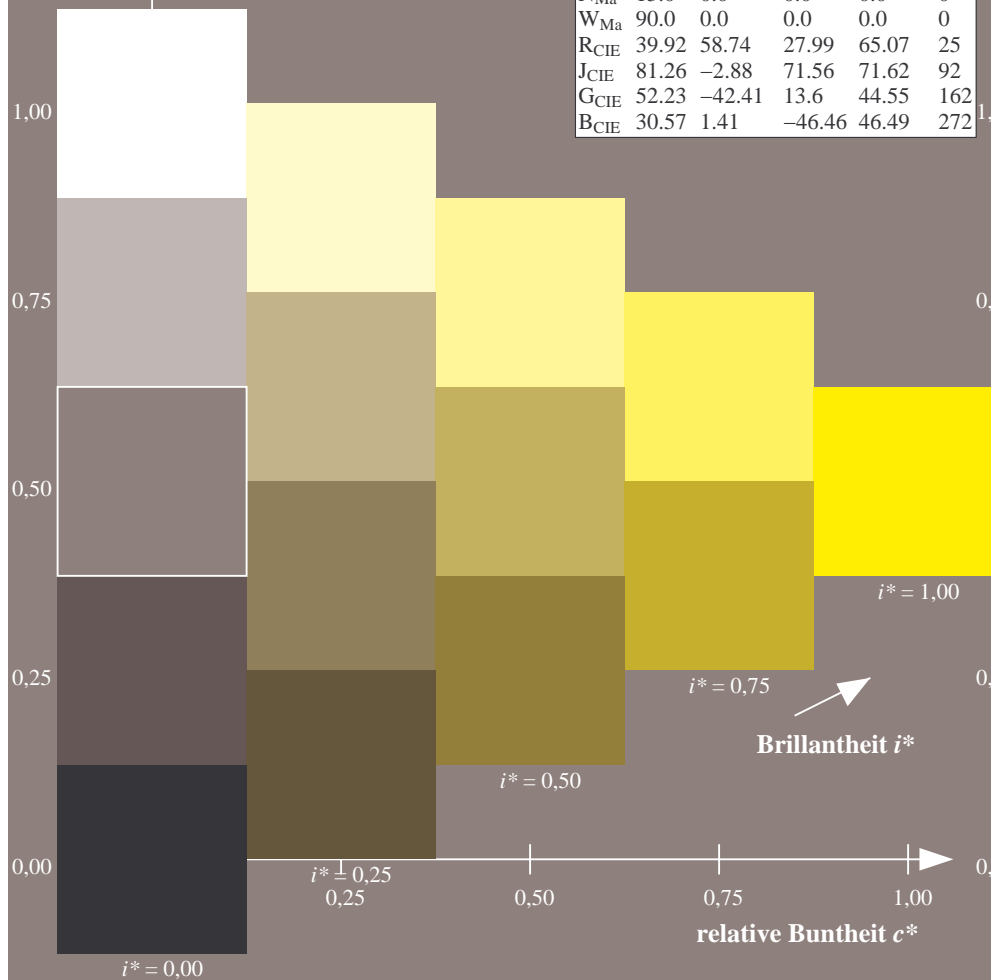
%Regularität

$g^*_{H,rel} = 31$

$g^*_{C,rel} = 40$

FRS15_90aM; adaptierte CIELAB-Daten

	$L^*=L^*_a$	a^*_a	b^*_a	$C^*_{ab,a}$	$h^*_{ab,a}$
r00j	35.47	56.92	27.12	63.05	25
r25j	39.12	49.04	44.45	66.19	42
r50j	50.64	35.19	58.33	68.13	59
r75j	64.01	19.11	74.45	76.87	76
j00g	83.18	-3.93	97.56	97.64	92
j25g	66.73	-26.86	74.66	79.35	110
j50g	54.03	-43.42	57.07	71.71	127
j75g	44.73	-54.21	38.33	66.4	145
g00b	47.59	-44.11	14.14	46.33	162
g25b	49.97	-35.68	-6.03	36.19	190
g50b	51.85	-29.05	-21.88	36.38	217
g75b	46.92	-15.53	-32.37	35.92	244
b00r	37.91	1.15	-38.05	38.08	272
b25r	23.81	27.31	-46.96	54.33	300
b50r	29.52	62.07	-37.87	72.72	329
b75r	36.48	64.24	-3.31	64.33	357



Ein und Ausgabe: Farbmetrisches Drucker-Reflektiv-System FRS15_90aM für relativen CIELAB-Buntton $h^* = lab^*h^* = h_{ab}/360 = 110/360 = 0.305$ $u^* = j25g$

Daten für jede Farbe:

lab^*ch^* und lab^*icu^*

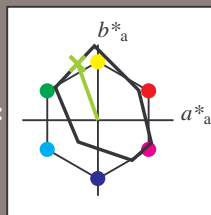
Elementar-Bunttontext:

$u^* = j25g$

Kontrastreduzierungsfaktor:

$c_R = 0.9$

Dreiecks-Helligkeit i^*



FRS15_90aM; adaptierte CIELAB-Daten

	$L^*=L^*_a$	a^*_a	b^*_a	$C^*_{ab,a}$	$h^*_{ab,a}$
O _{Ma}	35.06	53.93	39.55	66.88	36
Y _{Ma}	83.77	-4.63	98.26	98.37	93
L _{Ma}	44.13	-56.32	43.36	71.09	142
C _{Ma}	52.66	-26.18	-28.74	38.89	228
V _{Ma}	14.15	45.22	-53.06	69.72	310
M _{Ma}	37.37	70.69	-30.1	76.83	337
N _{Ma}	15.0	0.0	0.0	0.0	0
W _{Ma}	90.0	0.0	0.0	0.0	0
R _{CIE}	39.92	58.74	27.99	65.07	25
J _{CIE}	81.26	-2.88	71.56	71.62	92
G _{CIE}	52.23	-42.41	13.6	44.55	162
B _{CIE}	30.57	1.41	-46.46	46.49	272

Daten für Maximalfarbe (Ma):

$LAB^*LAB^*_{Ma}$: 67 -26 75

$LAB^*LCH^*_{Ma}$: 67 79 110

$lab^*rgb^*_{Ma}$: 0.75 1.0 0.0

$lab^*olv^*_{Ma}$: 0.57 1.0 0.0

Dreiecks-Helligkeit i^*

%Umfang

$u^*_{rel} = 88$

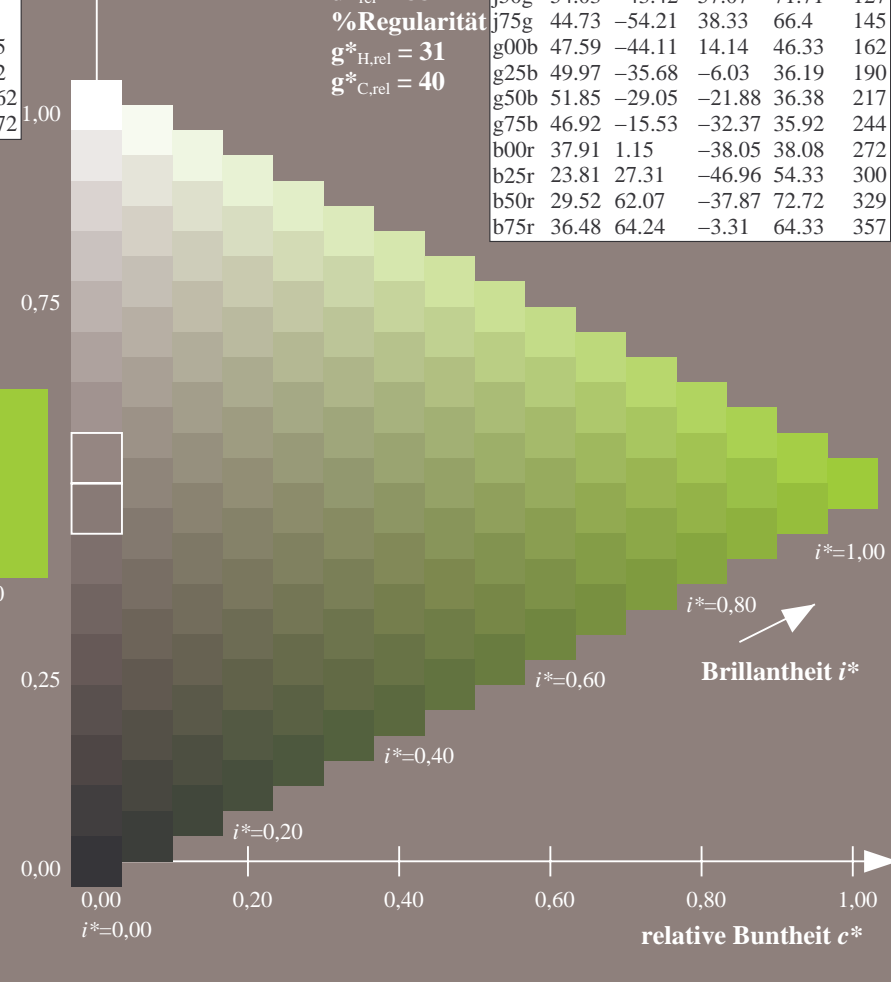
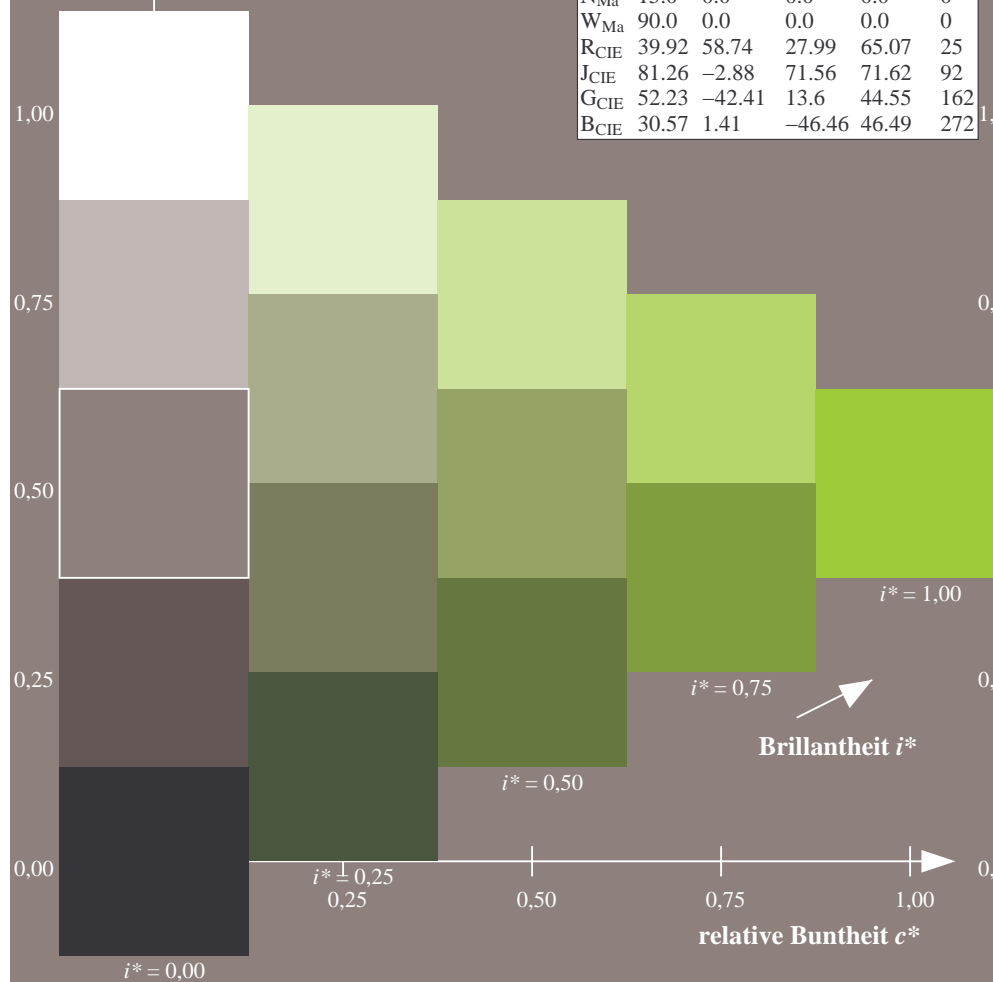
%Regularität

$g^*_{H,rel} = 31$

$g^*_{C,rel} = 40$

FRS15_90aM; adaptierte CIELAB-Daten

	$L^*=L^*_a$	a^*_a	b^*_a	$C^*_{ab,a}$	$h^*_{ab,a}$
r00j	35.47	56.92	27.12	63.05	25
r25j	39.12	49.04	44.45	66.19	42
r50j	50.64	35.19	58.33	68.13	59
r75j	64.01	19.11	74.45	76.87	76
j00g	83.18	-3.93	97.56	97.64	92
j25g	66.73	-26.86	74.66	79.35	110
j50g	54.03	-43.42	57.07	71.71	127
j75g	44.73	-54.21	38.33	66.4	145
g00b	47.59	-44.11	14.14	46.33	162
g25b	49.97	-35.68	-6.03	36.19	190
g50b	51.85	-29.05	-21.88	36.38	217
g75b	46.92	-15.53	-32.37	35.92	244
b00r	37.91	1.15	-38.05	38.08	272
b25r	23.81	27.31	-46.96	54.33	300
b50r	29.52	62.07	-37.87	72.72	329
b75r	36.48	64.24	-3.31	64.33	357



Ein und Ausgabe: Farbmetrisches Drucker-Reflektiv-System FRS15_90aM für relativen CIELAB-Buntton $h^* = lab^*h^* = h_{ab}/360 = 127/360 = 0.354$ $u^* = j50g$

Daten für jede Farbe:

lab^*ch^* und lab^*icu^*

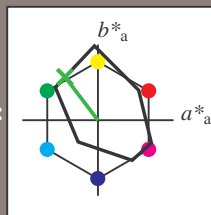
Elementar-Bunttontext:

$u^* = j50g$

Kontrastreduzierungsfaktor:

$c_R = 0.9$

Dreiecks-Helligkeit i^*



FRS15_90aM; adaptierte CIELAB-Daten

	$L^*=L_a^*$	a_a^*	b_a^*	$C^*_{ab,a}$	$h^*_{ab,a}$
O _{Ma}	35.06	53.93	39.55	66.88	36
Y _{Ma}	83.77	-4.63	98.26	98.37	93
L _{Ma}	44.13	-56.32	43.36	71.09	142
C _{Ma}	52.66	-26.18	-28.74	38.89	228
V _{Ma}	14.15	45.22	-53.06	69.72	310
M _{Ma}	37.37	70.69	-30.1	76.83	337
N _{Ma}	15.0	0.0	0.0	0.0	0
W _{Ma}	90.0	0.0	0.0	0.0	0
R _{CIE}	39.92	58.74	27.99	65.07	25
J _{CIE}	81.26	-2.88	71.56	71.62	92
G _{CIE}	52.23	-42.41	13.6	44.55	162
B _{CIE}	30.57	1.41	-46.46	46.49	272

Daten für Maximalfarbe (Ma):

$LAB^*LAB^*_{Ma}$: 54 -42 57

$LAB^*LCH^*_{Ma}$: 54 72 127

$lab^*rgb^*_{Ma}$: 0.5 1.0 0.0

$lab^*olv^*_{Ma}$: 0.25 1.0 0.0

Dreiecks-Helligkeit i^*

%Umfang

$u^*_{rel} = 88$

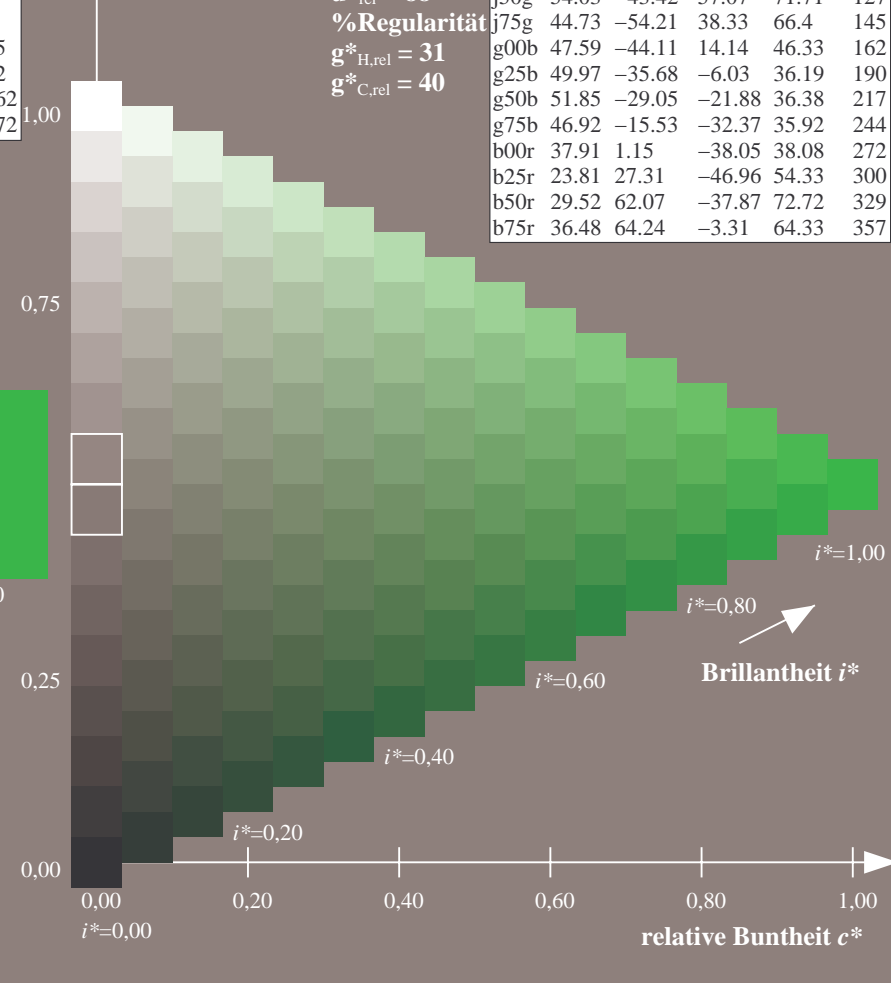
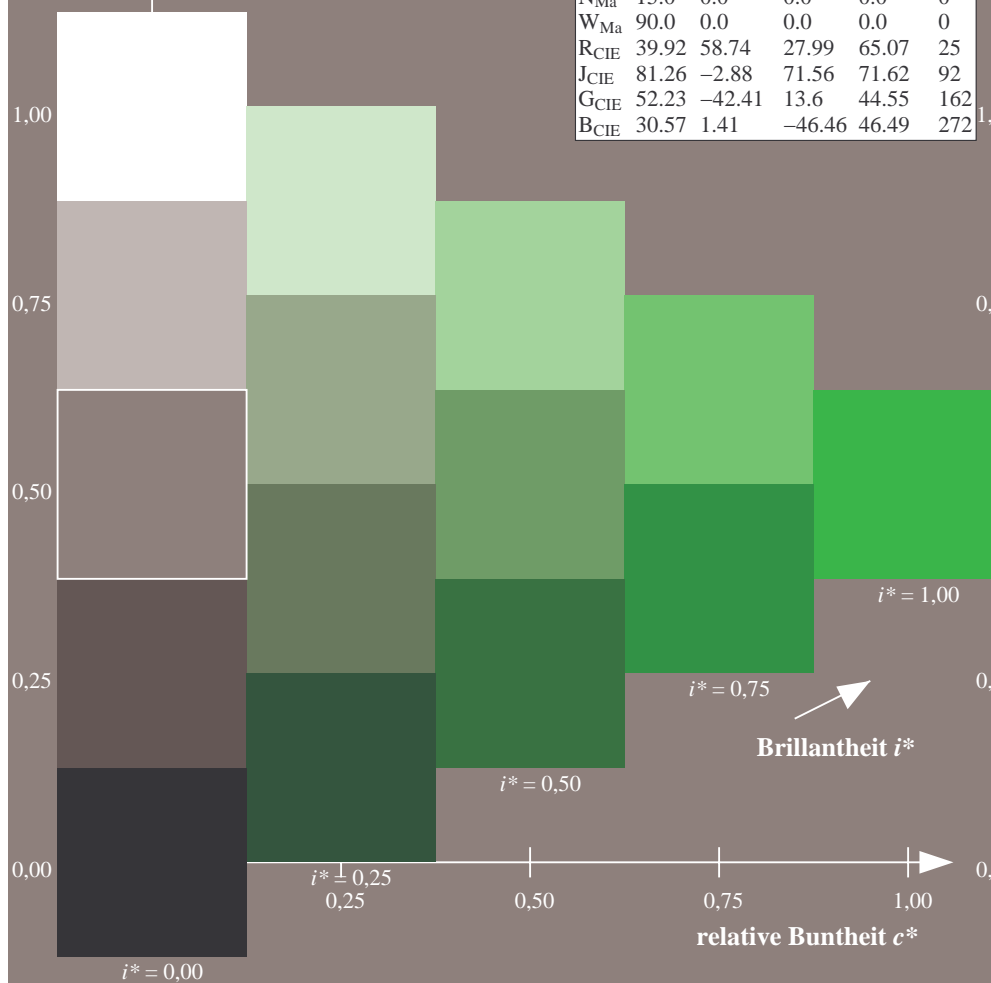
%Regularität

$g^*_{H,rel} = 31$

$g^*_{C,rel} = 40$

FRS15_90aM; adaptierte CIELAB-Daten

	$L^*=L_a^*$	a_a^*	b_a^*	$C^*_{ab,a}$	$h^*_{ab,a}$
r00j	35.47	56.92	27.12	63.05	25
r25j	39.12	49.04	44.45	66.19	42
r50j	50.64	35.19	58.33	68.13	59
r75j	64.01	19.11	74.45	76.87	76
j00g	83.18	-3.93	97.56	97.64	92
j25g	66.73	-26.86	74.66	79.35	110
j50g	54.03	-43.42	57.07	71.71	127
j75g	44.73	-54.21	38.33	66.4	145
g00b	47.59	-44.11	14.14	46.33	162
g25b	49.97	-35.68	-6.03	36.19	190
g50b	51.85	-29.05	-21.88	36.38	217
g75b	46.92	-15.53	-32.37	35.92	244
b00r	37.91	1.15	-38.05	38.08	272
b25r	23.81	27.31	-46.96	54.33	300
b50r	29.52	62.07	-37.87	72.72	329
b75r	36.48	64.24	-3.31	64.33	357



Ein und Ausgabe: Farbmetrisches Drucker-Reflektiv-System FRS15_90aM für relativen CIELAB-Buntton $h^* = lab^*h^* = h_{ab}/360 = 145/360 = 0.402$ $u^* = j75g$

Daten für jede Farbe:

lab^*ch^* und lab^*icu^*

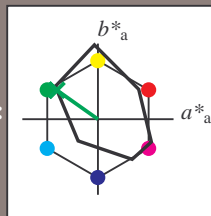
Elementar-Bunttontext:

$u^* = j75g$

Kontrastreduzierungsfaktor:

$c_R = 0.9$

Dreiecks-Helligkeit i^*



FRS15_90aM; adaptierte CIELAB-Daten

	$L^*=L_a^*$	a_a^*	b_a^*	$C^*_{ab,a}$	$h^*_{ab,a}$
O _{Ma}	35.06	53.93	39.55	66.88	36
Y _{Ma}	83.77	-4.63	98.26	98.37	93
L _{Ma}	44.13	-56.32	43.36	71.09	142
C _{Ma}	52.66	-26.18	-28.74	38.89	228
V _{Ma}	14.15	45.22	-53.06	69.72	310
M _{Ma}	37.37	70.69	-30.1	76.83	337
N _{Ma}	15.0	0.0	0.0	0.0	0
W _{Ma}	90.0	0.0	0.0	0.0	0
R _{CIE}	39.92	58.74	27.99	65.07	25
J _{CIE}	81.26	-2.88	71.56	71.62	92
G _{CIE}	52.23	-42.41	13.6	44.55	162
B _{CIE}	30.57	1.41	-46.46	46.49	272

Daten für Maximalfarbe (Ma):

$LAB^*LAB^*_{Ma}$: 45 -53 38

$LAB^*LCH^*_{Ma}$: 45 66 145

$lab^*rgb^*_{Ma}$: 0.25 1.0 0.0

$lab^*olv^*_{Ma}$: 0.0 1.0 0.07

Dreiecks-Helligkeit i^*

%Umfang

$u^*_{rel} = 88$

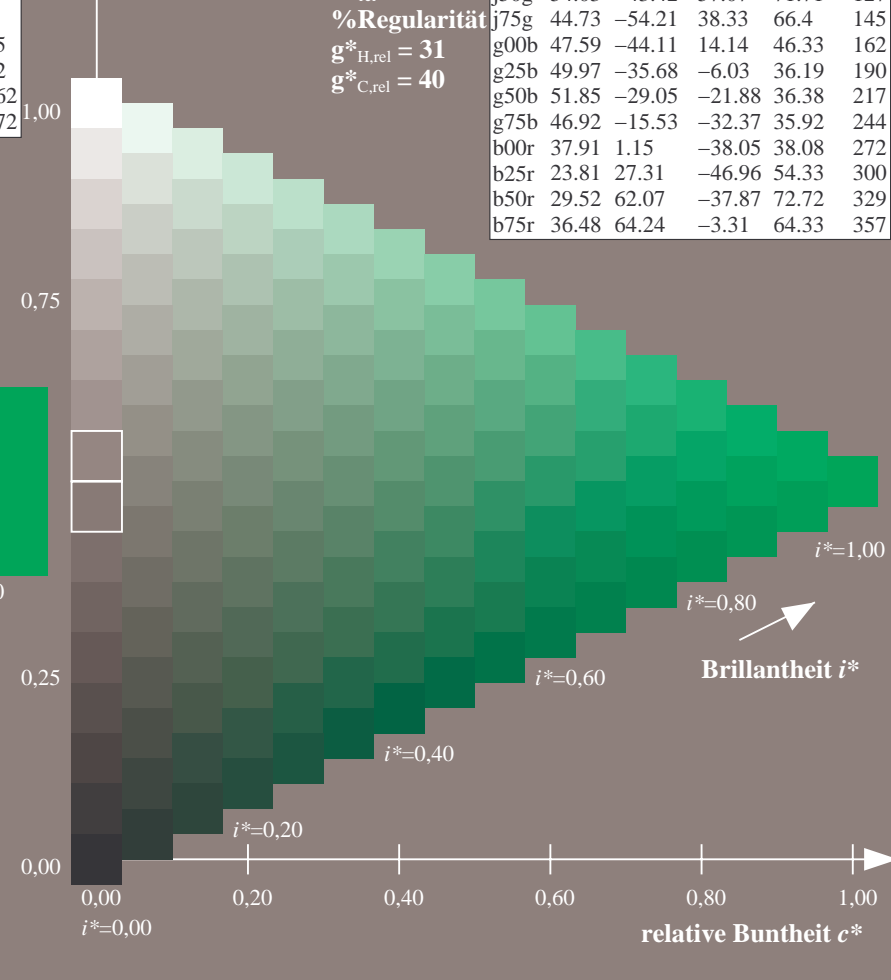
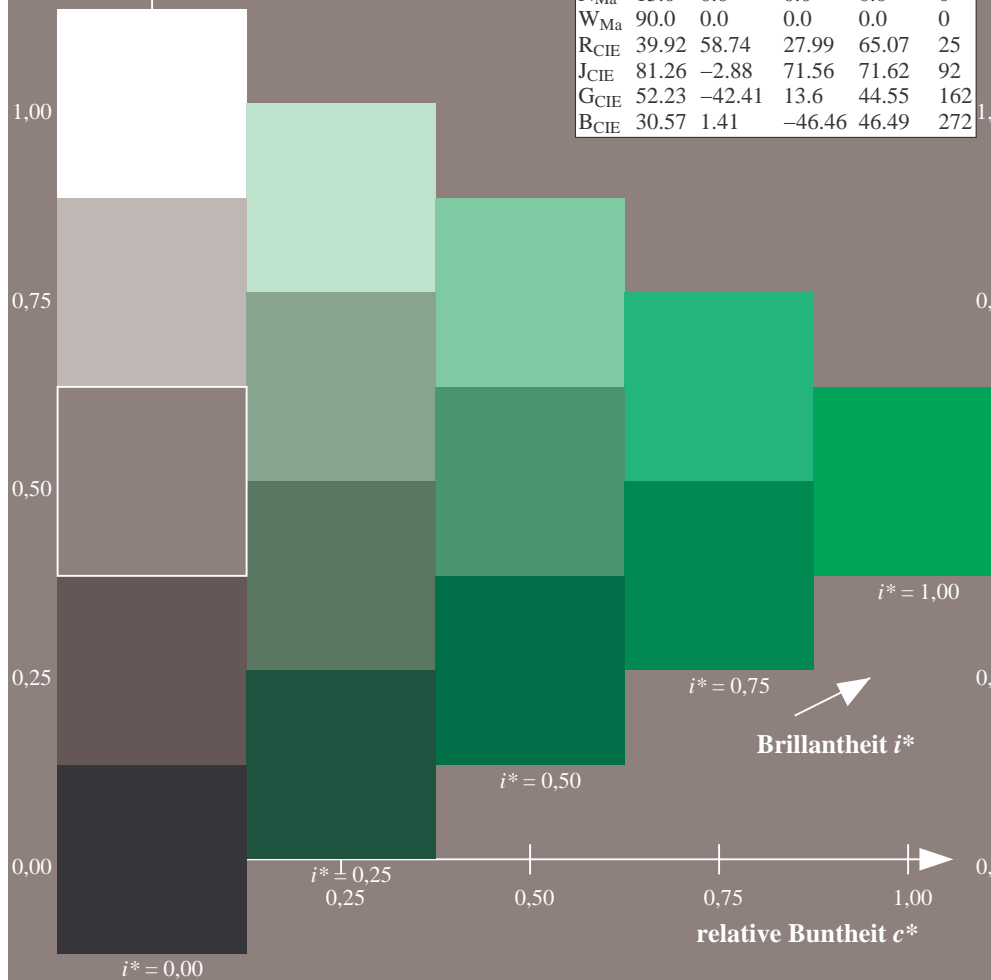
%Regularität

$g^*_{H,rel} = 31$

$g^*_{C,rel} = 40$

FRS15_90aM; adaptierte CIELAB-Daten

	$L^*=L_a^*$	a_a^*	b_a^*	$C^*_{ab,a}$	$h^*_{ab,a}$
r00j	35.47	56.92	27.12	63.05	25
r25j	39.12	49.04	44.45	66.19	42
r50j	50.64	35.19	58.33	68.13	59
r75j	64.01	19.11	74.45	76.87	76
j00g	83.18	-3.93	97.56	97.64	92
j25g	66.73	-26.86	74.66	79.35	110
j50g	54.03	-43.42	57.07	71.71	127
j75g	44.73	-54.21	38.33	66.4	145
g00b	47.59	-44.11	14.14	46.33	162
g25b	49.97	-35.68	-6.03	36.19	190
g50b	51.85	-29.05	-21.88	36.38	217
g75b	46.92	-15.53	-32.37	35.92	244
b00r	37.91	1.15	-38.05	38.08	272
b25r	23.81	27.31	-46.96	54.33	300
b50r	29.52	62.07	-37.87	72.72	329
b75r	36.48	64.24	-3.31	64.33	357



Ein und Ausgabe: Farbmetrisches Drucker-Reflektiv-System FRS15_90aM für relativen CIELAB-Buntton $h^* = lab^*h^* = h_{ab}/360 = 162/360 = 0.451$ $u^* = g00b$

Daten für jede Farbe:

lab^*ch^* und lab^*icu^*

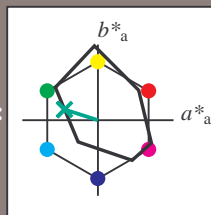
Elementar-Bunttoncontext:

$u^* = g00b$

Kontrastreduzierungsfaktor:

$c_R = 0.9$

Dreiecks-Helligkeit t^*



FRS15_90aM; adaptierte CIELAB-Daten

	$L^*=L^*_a$	a^*_a	b^*_a	$C^*_{ab,a}$	$h^*_{ab,a}$
O _{Ma}	35.06	53.93	39.55	66.88	36
Y _{Ma}	83.77	-4.63	98.26	98.37	93
L _{Ma}	44.13	-56.32	43.36	71.09	142
C _{Ma}	52.66	-26.18	-28.74	38.89	228
V _{Ma}	14.15	45.22	-53.06	69.72	310
M _{Ma}	37.37	70.69	-30.1	76.83	337
N _{Ma}	15.0	0.0	0.0	0.0	0
W _{Ma}	90.0	0.0	0.0	0.0	0
R _{CIE}	39.92	58.74	27.99	65.07	25
J _{CIE}	81.26	-2.88	71.56	71.62	92
G _{CIE}	52.23	-42.41	13.6	44.55	162
B _{CIE}	30.57	1.41	-46.46	46.49	272

Daten für Maximalfarbe (Ma):

$LAB^*LAB^*_{Ma}$: 48 -43 14

$LAB^*LCH^*_{Ma}$: 48 46 162

$lab^*rgb^*_{Ma}$: 0.0 1.0 0.0

$lab^*olv^*_{Ma}$: 0.0 1.0 0.41

Dreiecks-Helligkeit t^*

%Umfang

$u^*_{rel} = 88$

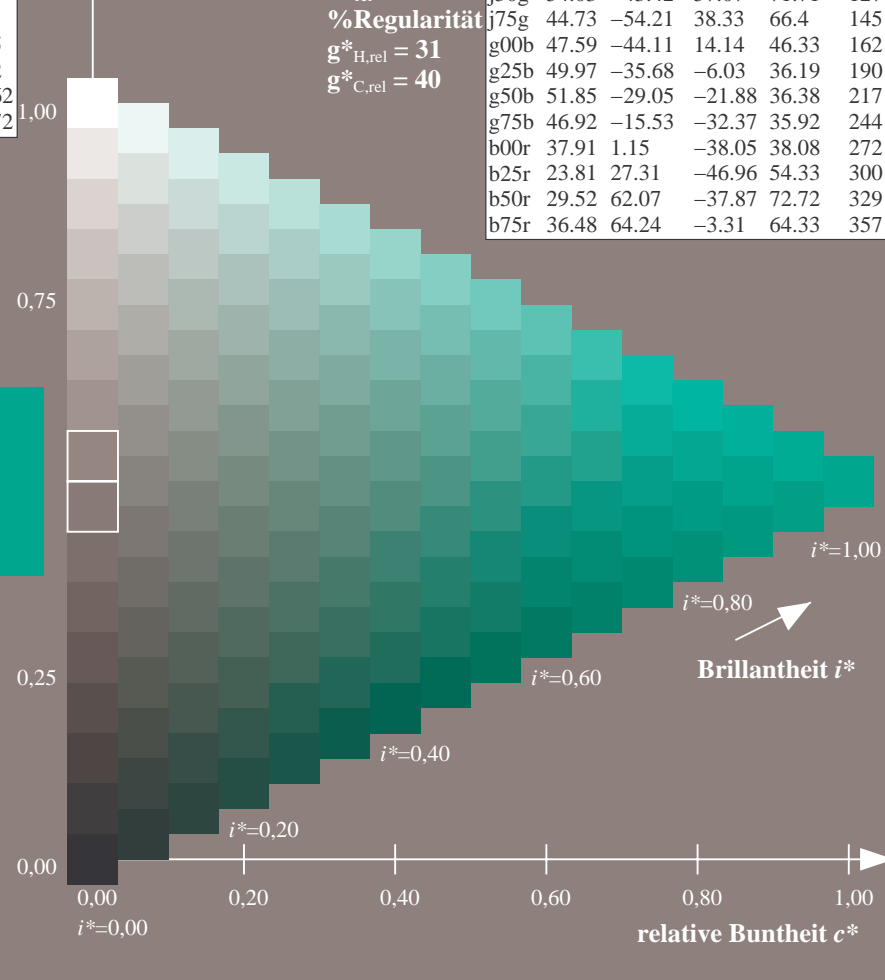
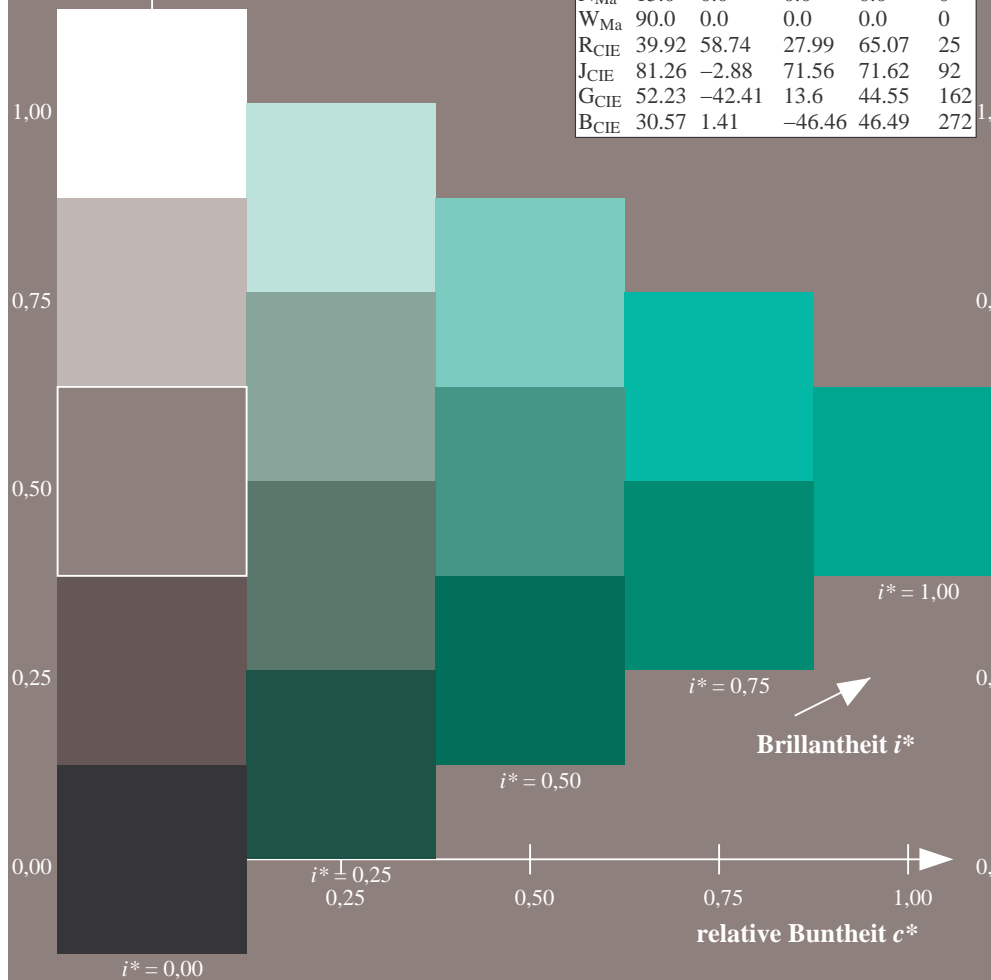
%Regularität

$g^*_{H,rel} = 31$

$g^*_{C,rel} = 40$

FRS15_90aM; adaptierte CIELAB-Daten

	$L^*=L^*_a$	a^*_a	b^*_a	$C^*_{ab,a}$	$h^*_{ab,a}$
r00j	35.47	56.92	27.12	63.05	25
r25j	39.12	49.04	44.45	66.19	42
r50j	50.64	35.19	58.33	68.13	59
r75j	64.01	19.11	74.45	76.87	76
j00g	83.18	-3.93	97.56	97.64	92
j25g	66.73	-26.86	74.66	79.35	110
j50g	54.03	-43.42	57.07	71.71	127
j75g	44.73	-54.21	38.33	66.4	145
g00b	47.59	-44.11	14.14	46.33	162
g25b	49.97	-35.68	-6.03	36.19	190
g50b	51.85	-29.05	-21.88	36.38	217
g75b	46.92	-15.53	-32.37	35.92	244
b00r	37.91	1.15	-38.05	38.08	272
b25r	23.81	27.31	-46.96	54.33	300
b50r	29.52	62.07	-37.87	72.72	329
b75r	36.48	64.24	-3.31	64.33	357



Ein und Ausgabe: Farbmetrisches Drucker-Reflektiv-System FRS15_90aM für relativen CIELAB-Buntton $h^* = lab^*h^* = h_{ab}/360 = 190/360 = 0.527$ $u^* = g25b$

Daten für jede Farbe:

lab^*ch^* und lab^*icu^*

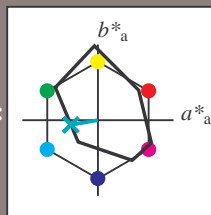
Elementar-Bunttontext:

$u^* = g25b$

Kontrastreduzierungsfaktor:

$c_R = 0.9$

Dreiecks-Helligkeit i^*



FRS15_90aM; adaptierte CIELAB-Daten

	$L^*=L_a^*$	a_a^*	b_a^*	$C^*_{ab,a}$	$h^*_{ab,a}$
O _{Ma}	35.06	53.93	39.55	66.88	36
Y _{Ma}	83.77	-4.63	98.26	98.37	93
L _{Ma}	44.13	-56.32	43.36	71.09	142
C _{Ma}	52.66	-26.18	-28.74	38.89	228
V _{Ma}	14.15	45.22	-53.06	69.72	310
M _{Ma}	37.37	70.69	-30.1	76.83	337
N _{Ma}	15.0	0.0	0.0	0.0	0
W _{Ma}	90.0	0.0	0.0	0.0	0
R _{CIE}	39.92	58.74	27.99	65.07	25
J _{CIE}	81.26	-2.88	71.56	71.62	92
G _{CIE}	52.23	-42.41	13.6	44.55	162
B _{CIE}	30.57	1.41	-46.46	46.49	272

Daten für Maximalfarbe (Ma):

$LAB^*LAB^*_{Ma}$: 50 -35 -5

$LAB^*LCH^*_{Ma}$: 50 36 190

$lab^*rgb^*_{Ma}$: 0.0 1.0 0.5

$lab^*olv^*_{Ma}$: 0.0 1.0 0.69

Dreiecks-Helligkeit i^*

%Umfang

$u^*_{rel} = 88$

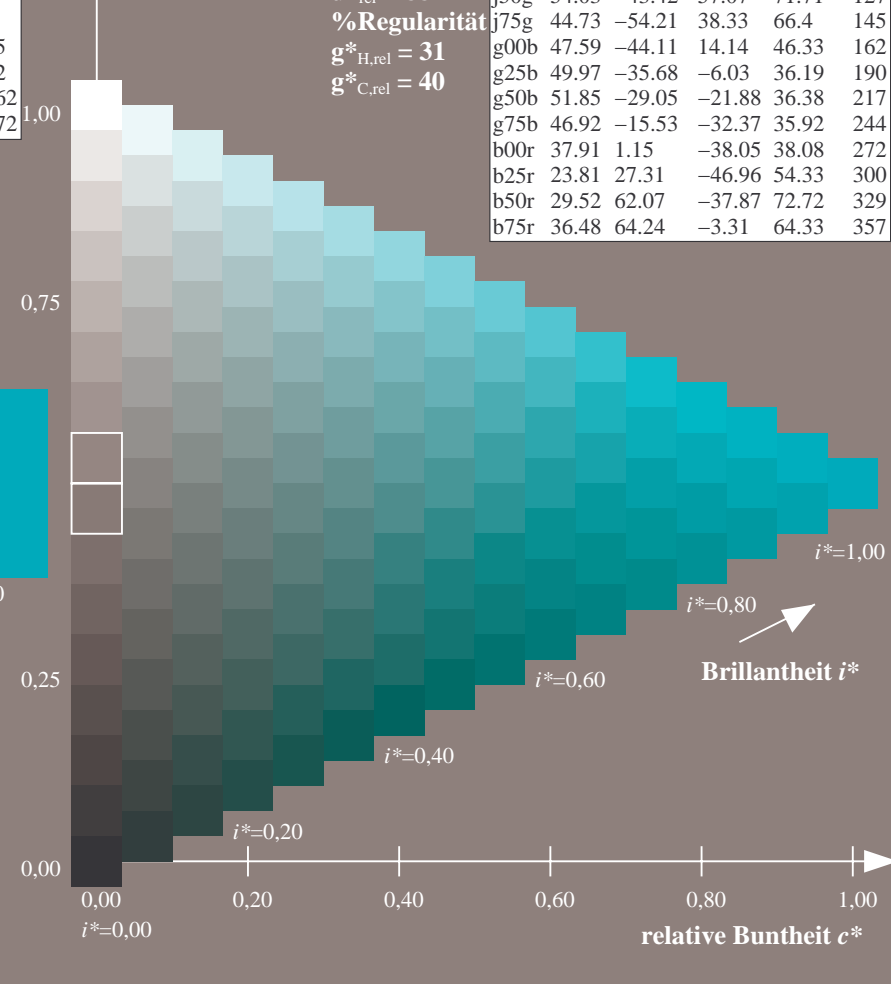
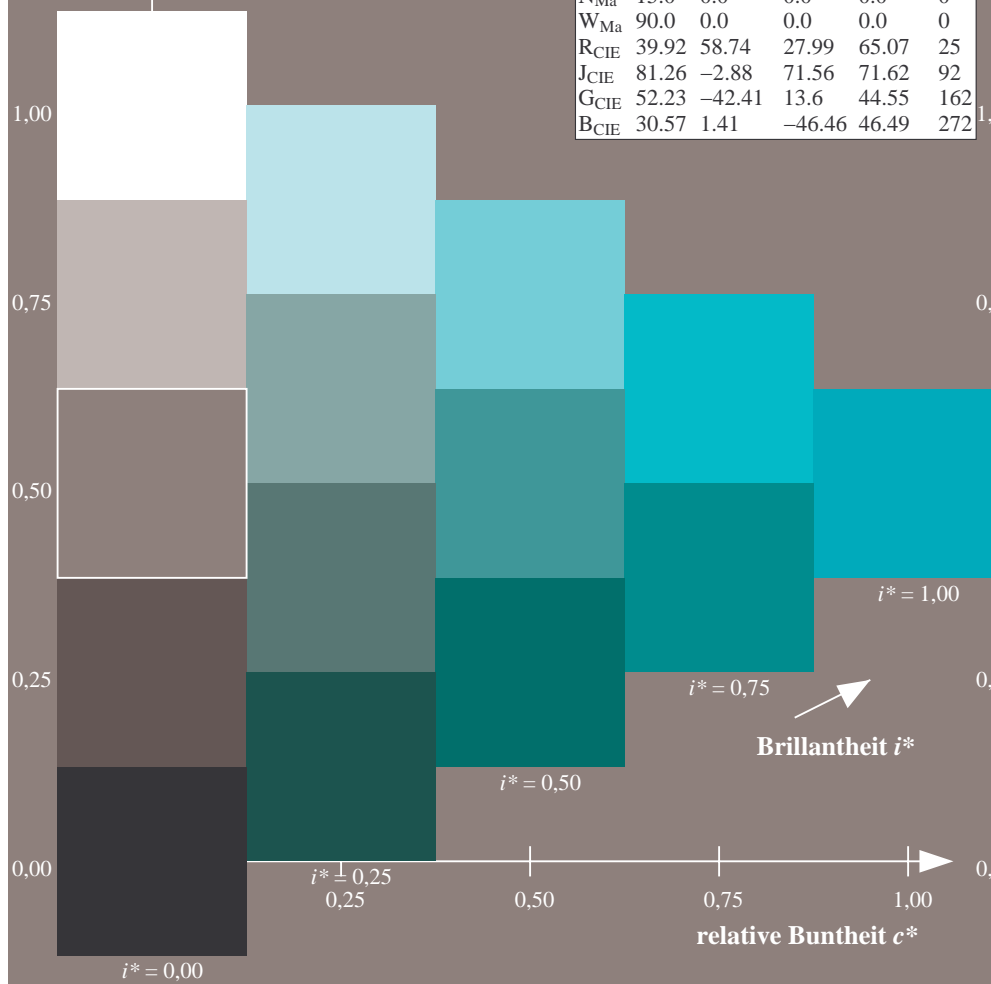
%Regularität

$g^*_{H,rel} = 31$

$g^*_{C,rel} = 40$

FRS15_90aM; adaptierte CIELAB-Daten

	$L^*=L_a^*$	a_a^*	b_a^*	$C^*_{ab,a}$	$h^*_{ab,a}$
r00j	35.47	56.92	27.12	63.05	25
r25j	39.12	49.04	44.45	66.19	42
r50j	50.64	35.19	58.33	68.13	59
r75j	64.01	19.11	74.45	76.87	76
j00g	83.18	-3.93	97.56	97.64	92
j25g	66.73	-26.86	74.66	79.35	110
j50g	54.03	-43.42	57.07	71.71	127
j75g	44.73	-54.21	38.33	66.4	145
g00b	47.59	-44.11	14.14	46.33	162
g25b	49.97	-35.68	-6.03	36.19	190
g50b	51.85	-29.05	-21.88	36.38	217
g75b	46.92	-15.53	-32.37	35.92	244
b00r	37.91	1.15	-38.05	38.08	272
b25r	23.81	27.31	-46.96	54.33	300
b50r	29.52	62.07	-37.87	72.72	329
b75r	36.48	64.24	-3.31	64.33	357



Ein und Ausgabe: Farbmetrisches Drucker-Reflektiv-System FRS15_90aM für relativen CIELAB-Buntton $h^* = lab^*h^* = h_{ab}/360 = 217/360 = 0.603$ $u^* = g50b$

Daten für jede Farbe:

lab^*ch^* und lab^*icu^*

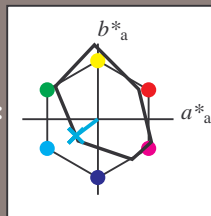
Elementar-Bunttontext:

$u^* = g50b$

Kontrastreduzierungsfaktor:

$c_R = 0.9$

Dreiecks-Helligkeit i^*



FRS15_90aM; adaptierte CIELAB-Daten

	$L^*=L^*_a$	a^*_a	b^*_a	$C^*_{ab,a}$	$h^*_{ab,a}$
O _{Ma}	35.06	53.93	39.55	66.88	36
Y _{Ma}	83.77	-4.63	98.26	98.37	93
L _{Ma}	44.13	-56.32	43.36	71.09	142
C _{Ma}	52.66	-26.18	-28.74	38.89	228
V _{Ma}	14.15	45.22	-53.06	69.72	310
M _{Ma}	37.37	70.69	-30.1	76.83	337
N _{Ma}	15.0	0.0	0.0	0.0	0
W _{Ma}	90.0	0.0	0.0	0.0	0
R _{CIE}	39.92	58.74	27.99	65.07	25
J _{CIE}	81.26	-2.88	71.56	71.62	92
G _{CIE}	52.23	-42.41	13.6	44.55	162
B _{CIE}	30.57	1.41	-46.46	46.49	272

Daten für Maximalfarbe (Ma):

$LAB^*LAB^*_{Ma}$: 52 -28 -21

$LAB^*LCH^*_{Ma}$: 52 36 217

$lab^*rgb^*_{Ma}$: 0.0 1.0 1.0

$lab^*olv^*_{Ma}$: 0.0 1.0 0.9

Dreiecks-Helligkeit i^*

%Umfang

$u^*_{rel} = 88$

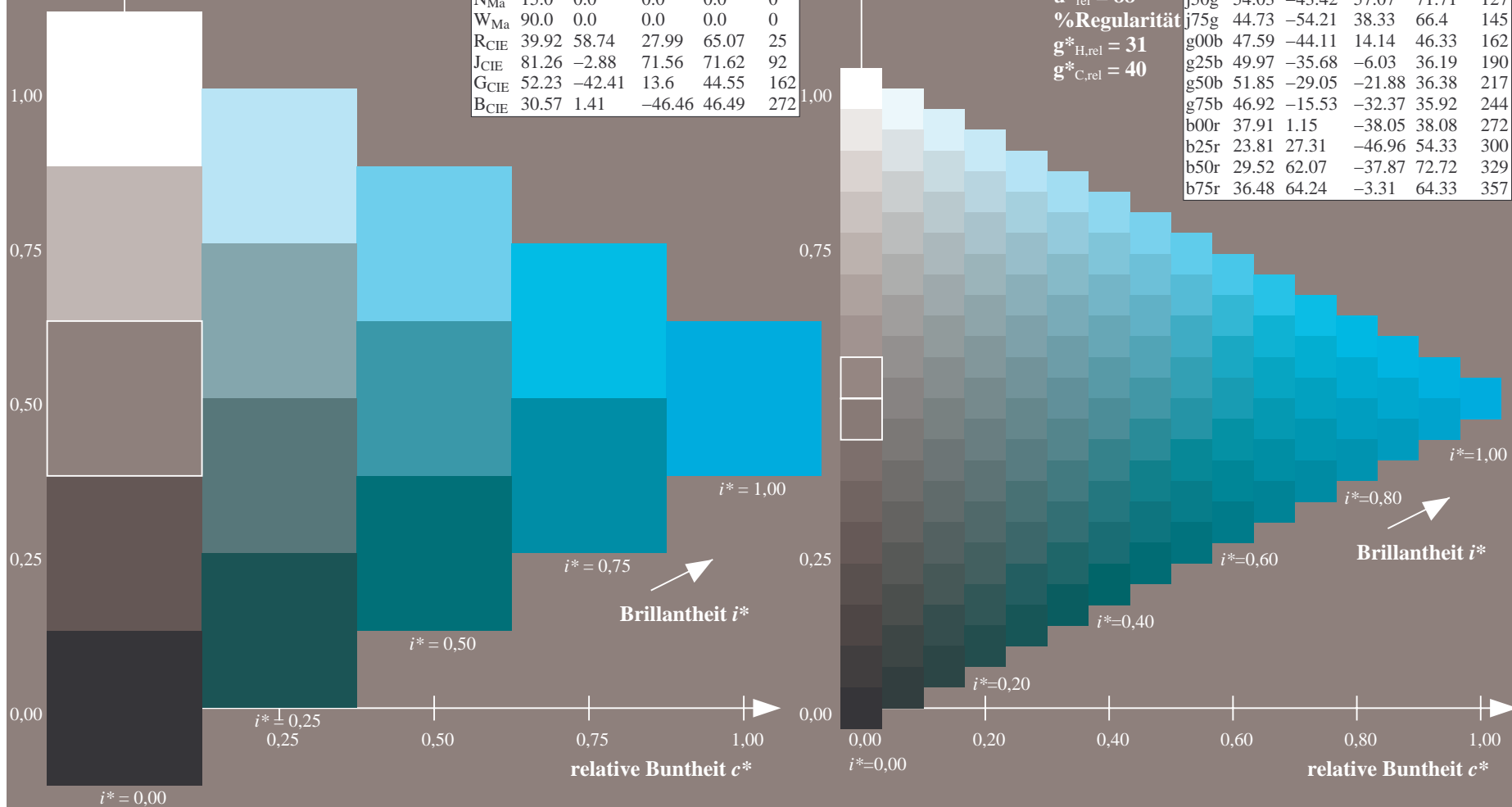
%Regularität

$g^*_{H,rel} = 31$

$g^*_{C,rel} = 40$

FRS15_90aM; adaptierte CIELAB-Daten

	$L^*=L^*_a$	a^*_a	b^*_a	$C^*_{ab,a}$	$h^*_{ab,a}$
r00j	35.47	56.92	27.12	63.05	25
r25j	39.12	49.04	44.45	66.19	42
r50j	50.64	35.19	58.33	68.13	59
r75j	64.01	19.11	74.45	76.87	76
j00g	83.18	-3.93	97.56	97.64	92
j25g	66.73	-26.86	74.66	79.35	110
j50g	54.03	-43.42	57.07	71.71	127
j75g	44.73	-54.21	38.33	66.4	145
g00b	47.59	-44.11	14.14	46.33	162
g25b	49.97	-35.68	-6.03	36.19	190
g50b	51.85	-29.05	-21.88	36.38	217
g75b	46.92	-15.53	-32.37	35.92	244
b00r	37.91	1.15	-38.05	38.08	272
b25r	23.81	27.31	-46.96	54.33	300
b50r	29.52	62.07	-37.87	72.72	329
b75r	36.48	64.24	-3.31	64.33	357



Ein und Ausgabe: Farbmetrisches Drucker-Reflektiv-System FRS15_90aM für relativen CIELAB-Buntton $h^* = lab^*h^* = h_{ab}/360 = 244/360 = 0.679$ $u^* = g75b$

Daten für jede Farbe:

lab^*ch^* und lab^*icu^*

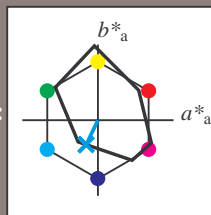
Elementar-Bunttontext:

$u^* = g75b$

Kontrastreduzierungsfaktor:

$c_R = 0.9$

Dreiecks-Helligkeit i^*



FRS15_90aM; adaptierte CIELAB-Daten

	$L^*=L_a^*$	a_a^*	b_a^*	$C^*_{ab,a}$	$h^*_{ab,a}$
O _{Ma}	35.06	53.93	39.55	66.88	36
Y _{Ma}	83.77	-4.63	98.26	98.37	93
L _{Ma}	44.13	-56.32	43.36	71.09	142
C _{Ma}	52.66	-26.18	-28.74	38.89	228
V _{Ma}	14.15	45.22	-53.06	69.72	310
M _{Ma}	37.37	70.69	-30.1	76.83	337
N _{Ma}	15.0	0.0	0.0	0.0	0
W _{Ma}	90.0	0.0	0.0	0.0	0
R _{CIE}	39.92	58.74	27.99	65.07	25
J _{CIE}	81.26	-2.88	71.56	71.62	92
G _{CIE}	52.23	-42.41	13.6	44.55	162
B _{CIE}	30.57	1.41	-46.46	46.49	272

Daten für Maximalfarbe (Ma):

$LAB^*LAB^*_{Ma}$: 47 -15 -31

$LAB^*LCH^*_{Ma}$: 47 36 244

$lab^*rgb^*_{Ma}$: 0.0 0.5 1.0

$lab^*olv^*_{Ma}$: 0.0 0.85 1.0

Dreiecks-Helligkeit i^*

%Umfang

$u^*_{rel} = 88$

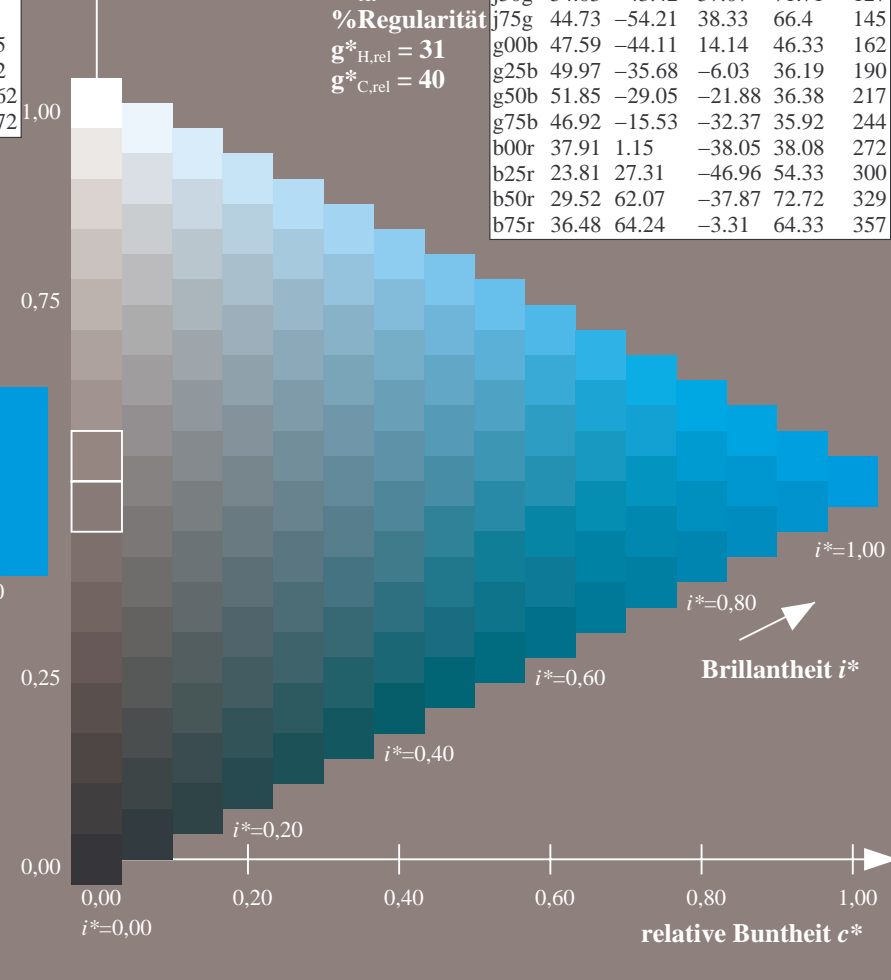
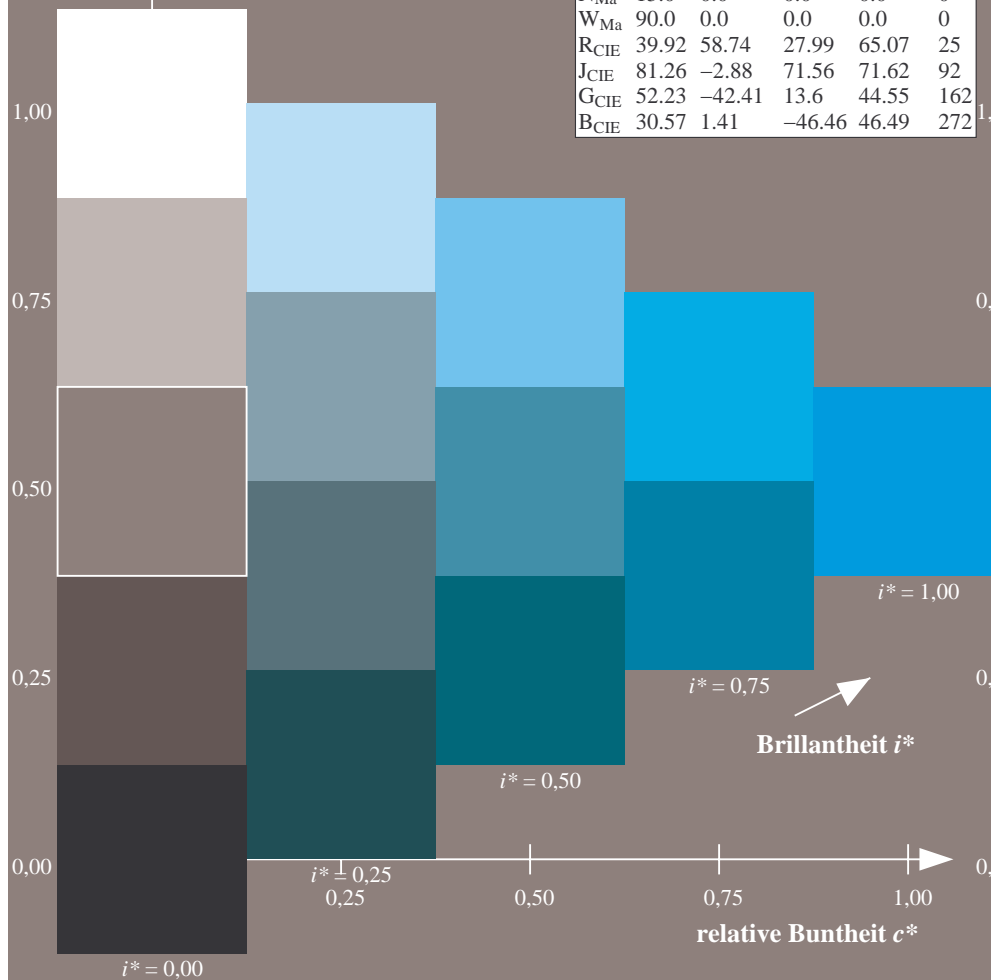
%Regularität

$g^*_{H,rel} = 31$

$g^*_{C,rel} = 40$

FRS15_90aM; adaptierte CIELAB-Daten

	$L^*=L_a^*$	a_a^*	b_a^*	$C^*_{ab,a}$	$h^*_{ab,a}$
r00j	35.47	56.92	27.12	63.05	25
r25j	39.12	49.04	44.45	66.19	42
r50j	50.64	35.19	58.33	68.13	59
r75j	64.01	19.11	74.45	76.87	76
j00g	83.18	-3.93	97.56	97.64	92
j25g	66.73	-26.86	74.66	79.35	110
j50g	54.03	-43.42	57.07	71.71	127
j75g	44.73	-54.21	38.33	66.4	145
g00b	47.59	-44.11	14.14	46.33	162
g25b	49.97	-35.68	-6.03	36.19	190
g50b	51.85	-29.05	-21.88	36.38	217
g75b	46.92	-15.53	-32.37	35.92	244
b00r	37.91	1.15	-38.05	38.08	272
b25r	23.81	27.31	-46.96	54.33	300
b50r	29.52	62.07	-37.87	72.72	329
b75r	36.48	64.24	-3.31	64.33	357



Ein und Ausgabe: Farbmetrisches Drucker-Reflektiv-System FRS15_90aM für relativen CIELAB-Buntton $h^* = lab^*h^* = h_{ab}/360 = 272/360 = 0.755$ $u^* = b00r$

Daten für jede Farbe:

lab^*ch^* und lab^*icu^*

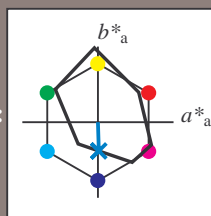
Elementar-Bunttontext:

$u^* = b00r$

Kontrastreduzierungsfaktor:

$c_R = 0.9$

Dreiecks-Helligkeit i^*



FRS15_90aM; adaptierte CIELAB-Daten

	$L^*=L_a^*$	a_a^*	b_a^*	$C^*_{ab,a}$	$h^*_{ab,a}$
O _{Ma}	35.06	53.93	39.55	66.88	36
Y _{Ma}	83.77	-4.63	98.26	98.37	93
L _{Ma}	44.13	-56.32	43.36	71.09	142
C _{Ma}	52.66	-26.18	-28.74	38.89	228
V _{Ma}	14.15	45.22	-53.06	69.72	310
M _{Ma}	37.37	70.69	-30.1	76.83	337
N _{Ma}	15.0	0.0	0.0	0.0	0
W _{Ma}	90.0	0.0	0.0	0.0	0
R _{CIE}	39.92	58.74	27.99	65.07	25
J _{CIE}	81.26	-2.88	71.56	71.62	92
G _{CIE}	52.23	-42.41	13.6	44.55	162
B _{CIE}	30.57	1.41	-46.46	46.49	272

Daten für Maximalfarbe (Ma):

$LAB^*LAB^*_{Ma}$: 38 1 -37

$LAB^*LCH^*_{Ma}$: 38 38 272

$lab^*rgb^*_{Ma}$: 0.0 0.0 1.0

$lab^*olv^*_{Ma}$: 0.0 0.62 1.0

Dreiecks-Helligkeit i^*

%Umfang

$u^*_{rel} = 88$

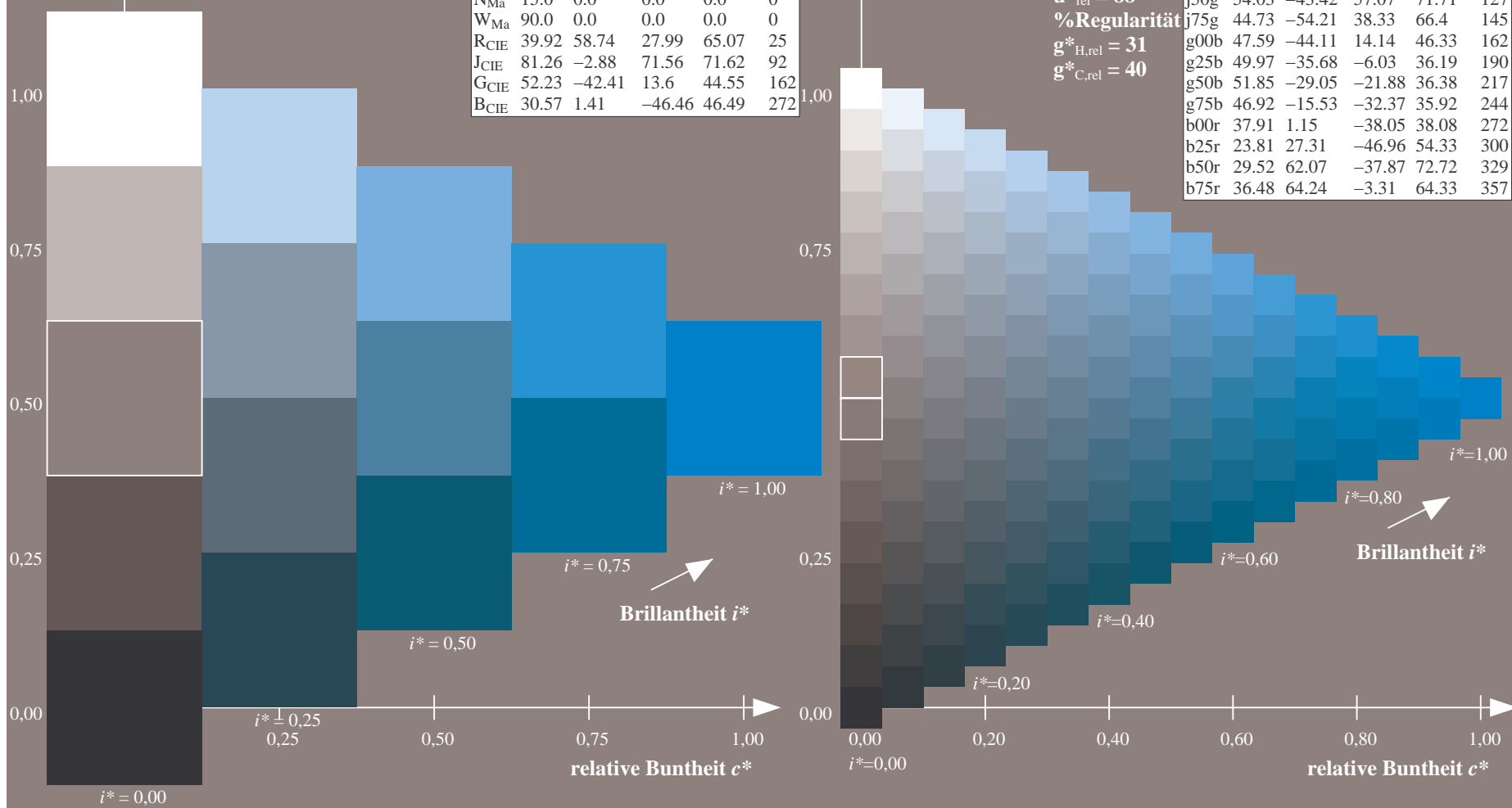
%Regularität

$g^*_{H,rel} = 31$

$g^*_{C,rel} = 40$

FRS15_90aM; adaptierte CIELAB-Daten

	$L^*=L_a^*$	a_a^*	b_a^*	$C^*_{ab,a}$	$h^*_{ab,a}$
r00j	35.47	56.92	27.12	63.05	25
r25j	39.12	49.04	44.45	66.19	42
r50j	50.64	35.19	58.33	68.13	59
r75j	64.01	19.11	74.45	76.87	76
j00g	83.18	-3.93	97.56	97.64	92
j25g	66.73	-26.86	74.66	79.35	110
j50g	54.03	-43.42	57.07	71.71	127
j75g	44.73	-54.21	38.33	66.4	145
g00b	47.59	-44.11	14.14	46.33	162
g25b	49.97	-35.68	-6.03	36.19	190
g50b	51.85	-29.05	-21.88	36.38	217
g75b	46.92	-15.53	-32.37	35.92	244
b00r	37.91	1.15	-38.05	38.08	272
b25r	23.81	27.31	-46.96	54.33	300
b50r	29.52	62.07	-37.87	72.72	329
b75r	36.48	64.24	-3.31	64.33	357



Ein und Ausgabe: Farbmetrisches Drucker-Reflektiv-System FRS15_90aM für relativen CIELAB-Buntton $h^* = lab^*h^* = h_{ab}/360 = 300/360 = 0.834$ $u^* = b25r$

Daten für jede Farbe:

lab^*ch^* und lab^*icu^*

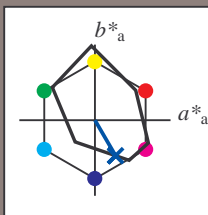
Elementar-Bunttontext:

$u^* = b25r$

Kontrastreduzierungsfaktor:

$c_R = 0.9$

Dreiecks-Helligkeit i^*



FRS15_90aM; adaptierte CIELAB-Daten

	$L^*=L_a^*$	a_a^*	b_a^*	$C^*_{ab,a}$	$h^*_{ab,a}$
O _{Ma}	35.06	53.93	39.55	66.88	36
Y _{Ma}	83.77	-4.63	98.26	98.37	93
L _{Ma}	44.13	-56.32	43.36	71.09	142
C _{Ma}	52.66	-26.18	-28.74	38.89	228
V _{Ma}	14.15	45.22	-53.06	69.72	310
M _{Ma}	37.37	70.69	-30.1	76.83	337
N _{Ma}	15.0	0.0	0.0	0.0	0
W _{Ma}	90.0	0.0	0.0	0.0	0
R _{CIE}	39.92	58.74	27.99	65.07	25
J _{CIE}	81.26	-2.88	71.56	71.62	92
G _{CIE}	52.23	-42.41	13.6	44.55	162
B _{CIE}	30.57	1.41	-46.46	46.49	272

Daten für Maximalfarbe (Ma):

$LAB^*LAB^*_{Ma}$: 24 27 -46

$LAB^*LCH^*_{Ma}$: 24 54 300

$lab^*rgb^*_{Ma}$: 0.5 0.0 1.0

$lab^*olv^*_{Ma}$: 0.0 0.25 1.0

Dreiecks-Helligkeit i^*

%Umfang

$u^*_{rel} = 88$

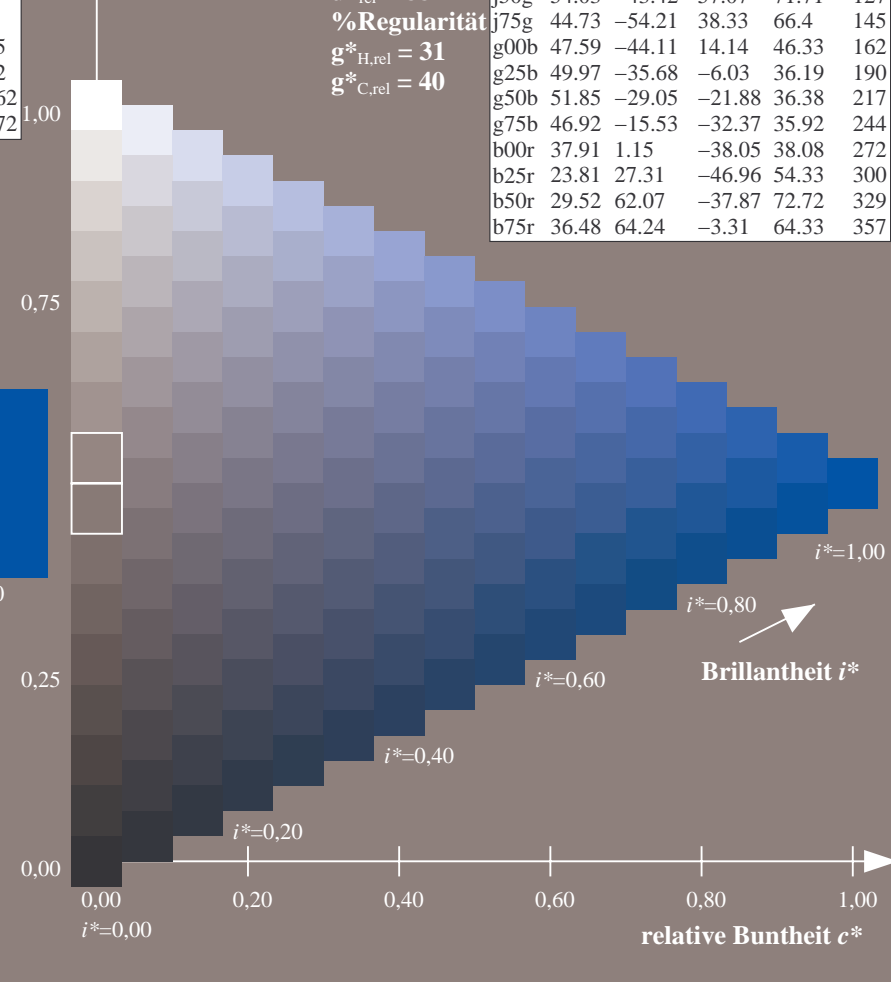
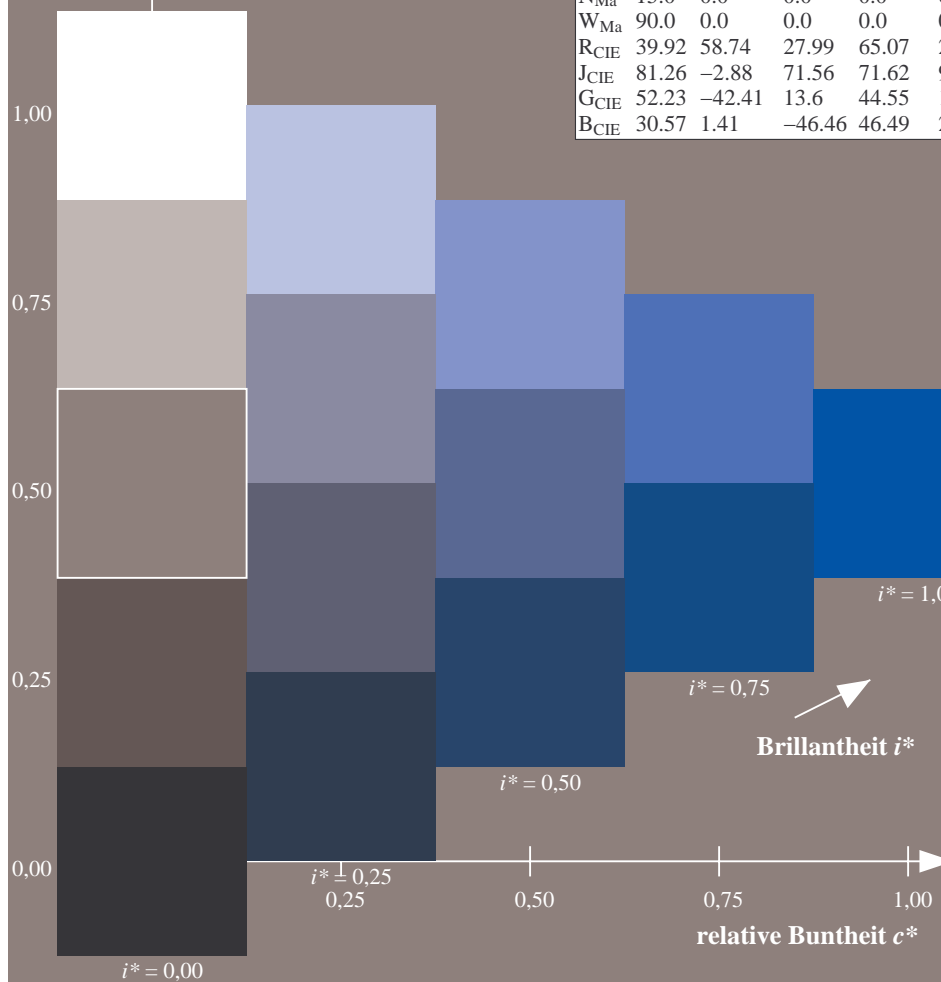
%Regularität

$g^*_{H,rel} = 31$

$g^*_{C,rel} = 40$

FRS15_90aM; adaptierte CIELAB-Daten

	$L^*=L_a^*$	a_a^*	b_a^*	$C^*_{ab,a}$	$h^*_{ab,a}$
r00j	35.47	56.92	27.12	63.05	25
r25j	39.12	49.04	44.45	66.19	42
r50j	50.64	35.19	58.33	68.13	59
r75j	64.01	19.11	74.45	76.87	76
j00g	83.18	-3.93	97.56	97.64	92
j25g	66.73	-26.86	74.66	79.35	110
j50g	54.03	-43.42	57.07	71.71	127
j75g	44.73	-54.21	38.33	66.4	145
g00b	47.59	-44.11	14.14	46.33	162
g25b	49.97	-35.68	-6.03	36.19	190
g50b	51.85	-29.05	-21.88	36.38	217
g75b	46.92	-15.53	-32.37	35.92	244
b00r	37.91	1.15	-38.05	38.08	272
b25r	23.81	27.31	-46.96	54.33	300
b50r	29.52	62.07	-37.87	72.72	329
b75r	36.48	64.24	-3.31	64.33	357



Ein und Ausgabe: Farbmetrisches Drucker-Reflektiv-System FRS15_90aM für relativen CIELAB-Buntton $h^* = lab^*h^* = h_{ab}/360 = 329/360 = 0.913$ $u^* = b50r$

Daten für jede Farbe:

lab^*ch^* und lab^*icu^*

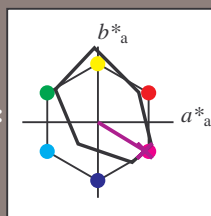
Elementar-Bunttontext:

$u^* = b50r$

Kontrastreduzierungsfaktor:

$c_R = 0.9$

Dreiecks-Helligkeit i^*



FRS15_90aM; adaptierte CIELAB-Daten

	$L^*=L_a^*$	a_a^*	b_a^*	$C_{ab,a}^*$	$h_{ab,a}^*$
O _{Ma}	35.06	53.93	39.55	66.88	36
Y _{Ma}	83.77	-4.63	98.26	98.37	93
L _{Ma}	44.13	-56.32	43.36	71.09	142
C _{Ma}	52.66	-26.18	-28.74	38.89	228
V _{Ma}	14.15	45.22	-53.06	69.72	310
M _{Ma}	37.37	70.69	-30.1	76.83	337
N _{Ma}	15.0	0.0	0.0	0.0	0
W _{Ma}	90.0	0.0	0.0	0.0	0
R _{CIE}	39.92	58.74	27.99	65.07	25
J _{CIE}	81.26	-2.88	71.56	71.62	92
G _{CIE}	52.23	-42.41	13.6	44.55	162
B _{CIE}	30.57	1.41	-46.46	46.49	272

Daten für Maximalfarbe (Ma):

$LAB^*LAB^*_{Ma}$: 30 62 -37

$LAB^*LCH^*_{Ma}$: 30 73 329

$lab^*rgb^*_{Ma}$: 1.0 0.0 1.0

$lab^*olv^*_{Ma}$: 0.66 0.0 1.0

Dreiecks-Helligkeit i^*

%Umfang

$u^*_{rel} = 88$

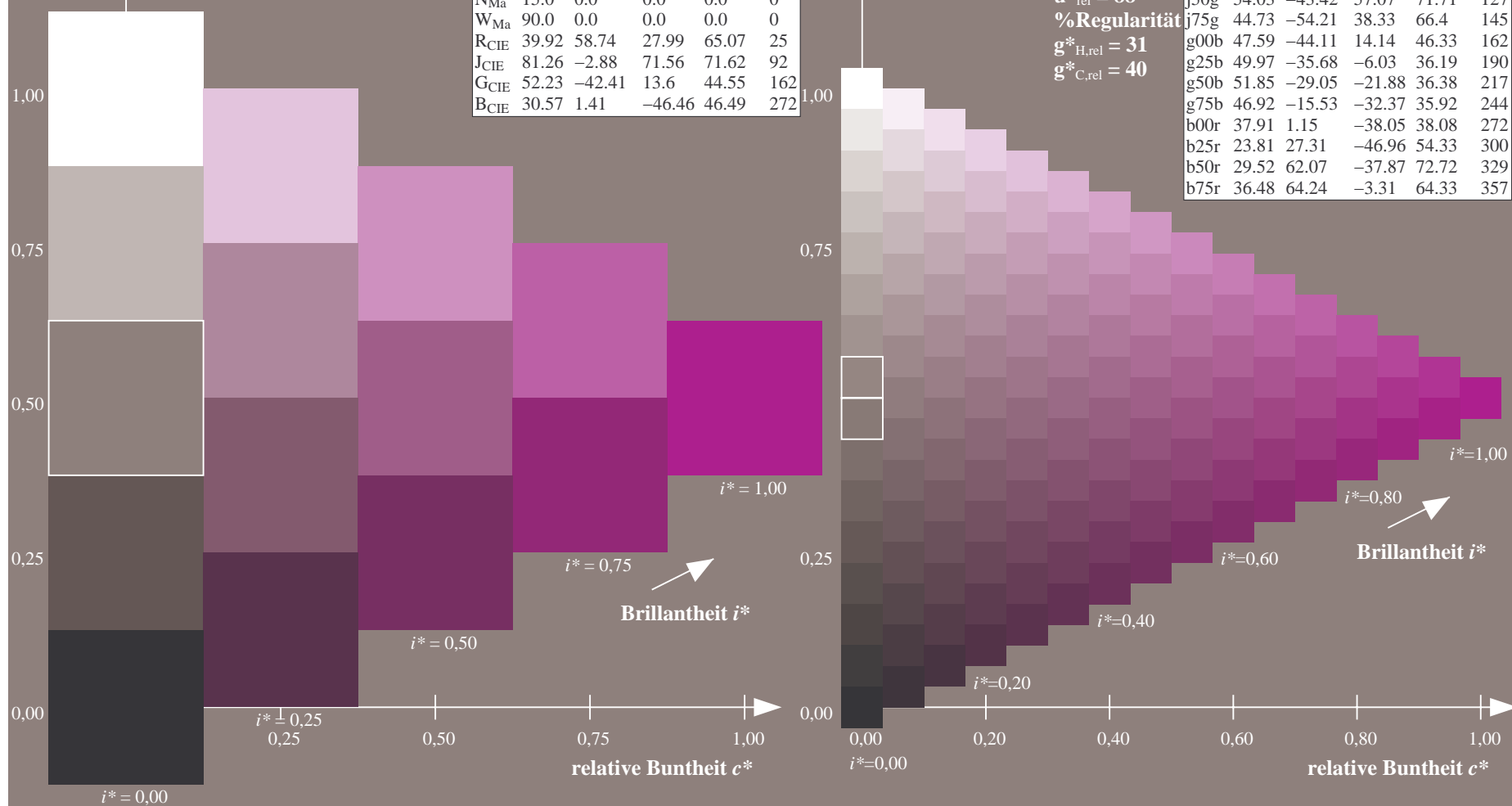
%Regularität

$g^*_{H,rel} = 31$

$g^*_{C,rel} = 40$

FRS15_90aM; adaptierte CIELAB-Daten

	$L^*=L_a^*$	a_a^*	b_a^*	$C_{ab,a}^*$	$h_{ab,a}^*$
r00j	35.47	56.92	27.12	63.05	25
r25j	39.12	49.04	44.45	66.19	42
r50j	50.64	35.19	58.33	68.13	59
r75j	64.01	19.11	74.45	76.87	76
j00g	83.18	-3.93	97.56	97.64	92
j25g	66.73	-26.86	74.66	79.35	110
j50g	54.03	-43.42	57.07	71.71	127
j75g	44.73	-54.21	38.33	66.4	145
g00b	47.59	-44.11	14.14	46.33	162
g25b	49.97	-35.68	-6.03	36.19	190
g50b	51.85	-29.05	-21.88	36.38	217
g75b	46.92	-15.53	-32.37	35.92	244
b00r	37.91	1.15	-38.05	38.08	272
b25r	23.81	27.31	-46.96	54.33	300
b50r	29.52	62.07	-37.87	72.72	329
b75r	36.48	64.24	-3.31	64.33	357



Ein und Ausgabe: Farbmetrisches Drucker-Reflektiv-System FRS15_90aM für relativen CIELAB-Buntton $h^* = lab^*h^* = h_{ab}/360 = 357/360 = 0.992$ $u^* = b75r$

Daten für jede Farbe:

lab^*ch^* und lab^*icu^*

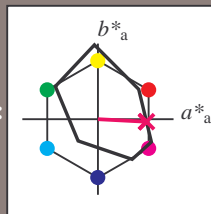
Elementar-Bunttontext:

$u^* = b75r$

Kontrastreduzierungsfaktor:

$c_R = 0.9$

Dreiecks-Helligkeit i^*



FRS15_90aM; adaptierte CIELAB-Daten

	$L^*=L^*_a$	a^*_a	b^*_a	$C^*_{ab,a}$	$h^*_{ab,a}$
O _{Ma}	35.06	53.93	39.55	66.88	36
Y _{Ma}	83.77	-4.63	98.26	98.37	93
L _{Ma}	44.13	-56.32	43.36	71.09	142
C _{Ma}	52.66	-26.18	-28.74	38.89	228
V _{Ma}	14.15	45.22	-53.06	69.72	310
M _{Ma}	37.37	70.69	-30.1	76.83	337
N _{Ma}	15.0	0.0	0.0	0.0	0
W _{Ma}	90.0	0.0	0.0	0.0	0
R _{CIE}	39.92	58.74	27.99	65.07	25
J _{CIE}	81.26	-2.88	71.56	71.62	92
G _{CIE}	52.23	-42.41	13.6	44.55	162
B _{CIE}	30.57	1.41	-46.46	46.49	272

Daten für Maximalfarbe (Ma):

$LAB^*LAB^*_{Ma}$: 36 64 -2

$LAB^*LCH^*_{Ma}$: 36 64 357

$lab^*rgb^*_{Ma}$: 1.0 0.0 0.5

$lab^*olv^*_{Ma}$: 1.0 0.0 0.62

Dreiecks-Helligkeit i^*

%Umfang

$u^*_{rel} = 88$

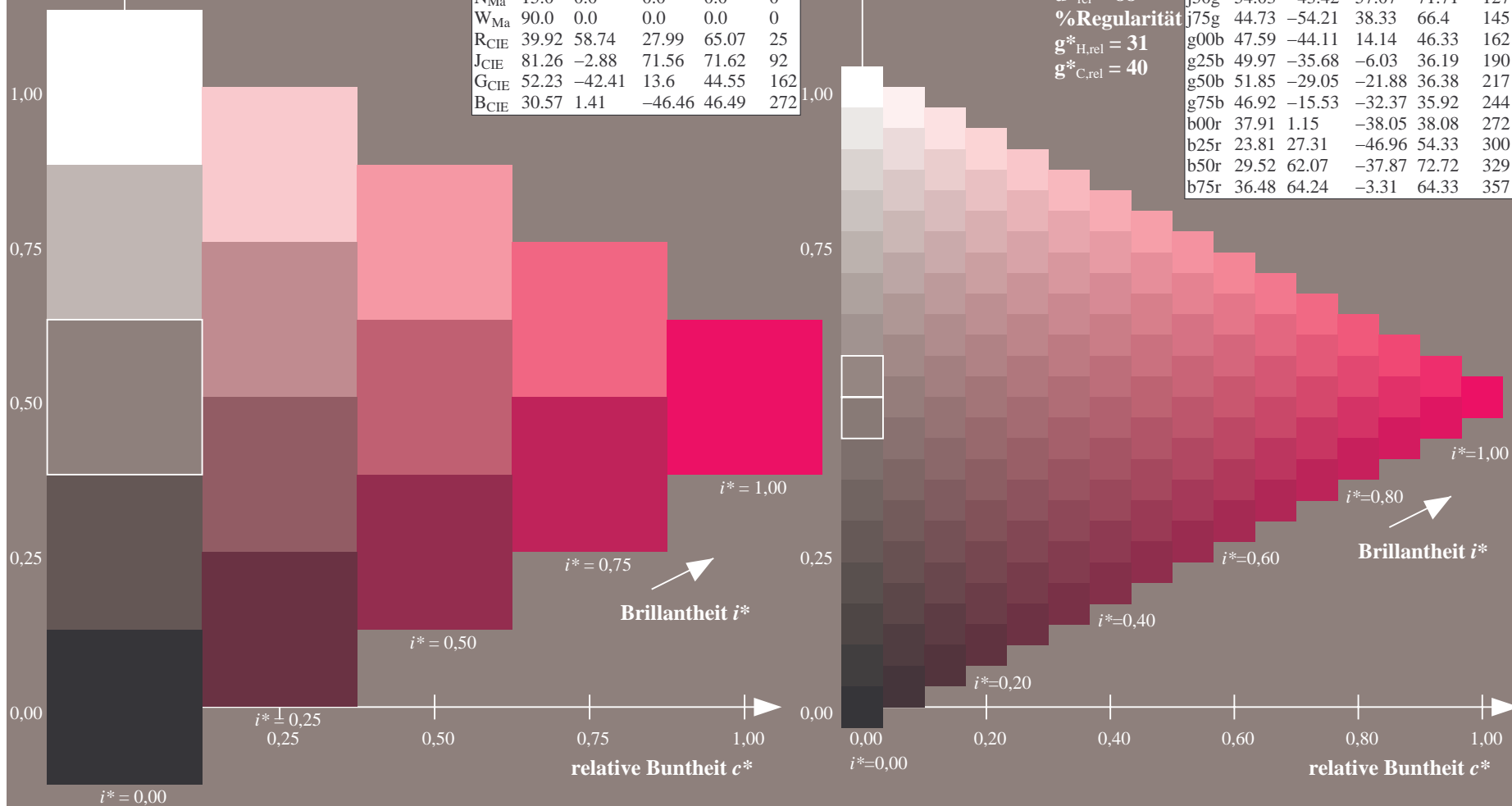
%Regularität

$g^*_{H,rel} = 31$

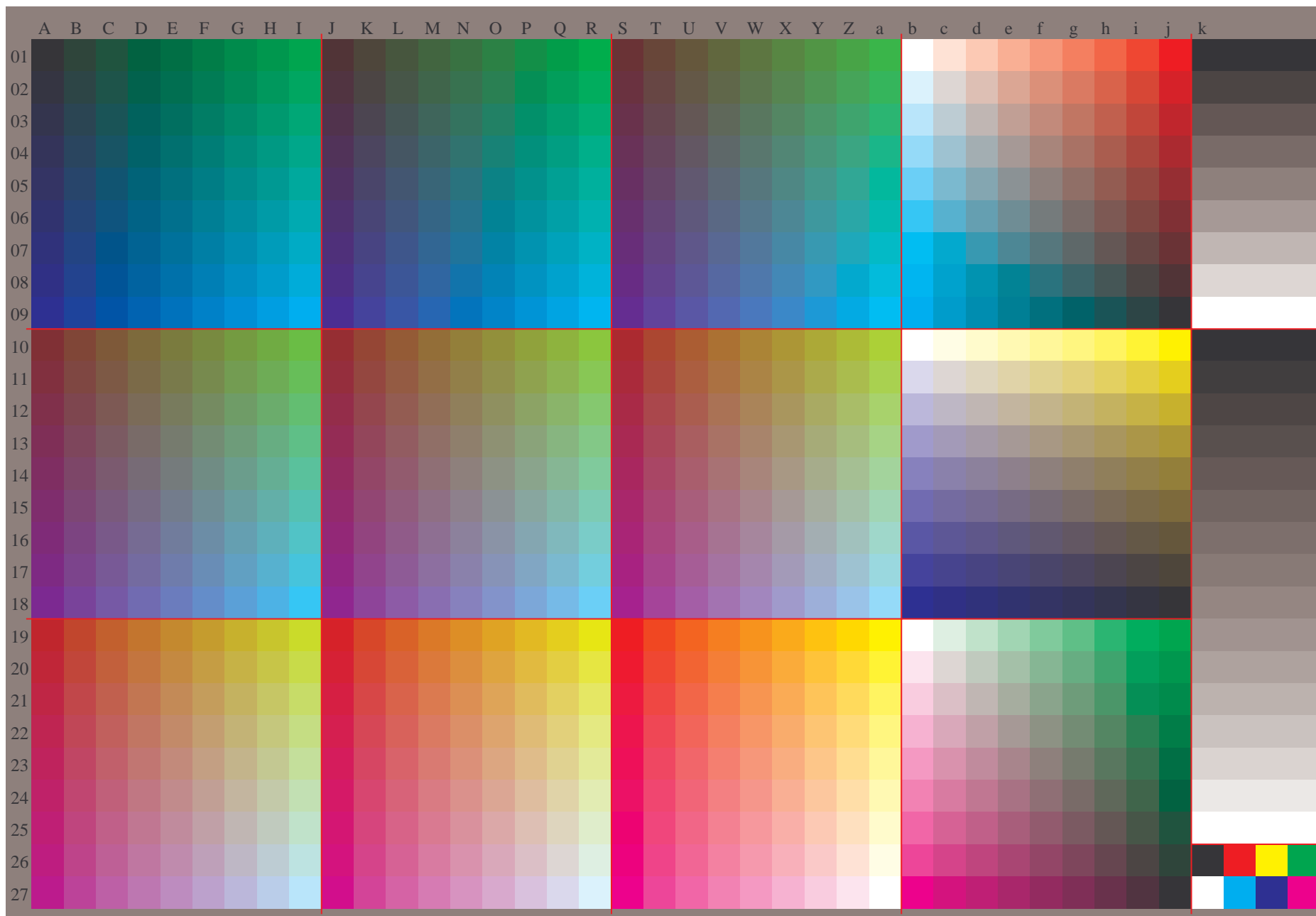
$g^*_{C,rel} = 40$

FRS15_90aM; adaptierte CIELAB-Daten

	$L^*=L^*_a$	a^*_a	b^*_a	$C^*_{ab,a}$	$h^*_{ab,a}$
r00j	35.47	56.92	27.12	63.05	25
r25j	39.12	49.04	44.45	66.19	42
r50j	50.64	35.19	58.33	68.13	59
r75j	64.01	19.11	74.45	76.87	76
j00g	83.18	-3.93	97.56	97.64	92
j25g	66.73	-26.86	74.66	79.35	110
j50g	54.03	-43.42	57.07	71.71	127
j75g	44.73	-54.21	38.33	66.4	145
g00b	47.59	-44.11	14.14	46.33	162
g25b	49.97	-35.68	-6.03	36.19	190
g50b	51.85	-29.05	-21.88	36.38	217
g75b	46.92	-15.53	-32.37	35.92	244
b00r	37.91	1.15	-38.05	38.08	272
b25r	23.81	27.31	-46.96	54.33	300
b50r	29.52	62.07	-37.87	72.72	329
b75r	36.48	64.24	-3.31	64.33	357

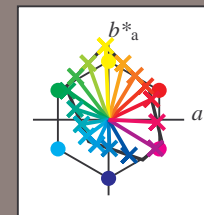


Siehe ähnliche Dateien: <http://www.ps.bam.de/Dg93/>; [www.ps.bam.de/Dg93/](http://www.ps.bam.de/Dg93/Version%202.1%20io%3D1%20ColSp%3D0); [www.ps.bam.de/Dg93/](http://www.ps.bam.de/Dg93/Version%202.1%20io%3D1%20ColSp%3D0)
Technische Information: [http://www.ps.bam.de/Version 2.1, io=1,1, ColSp=0](http://www.ps.bam.de/Version%202.1%20io%3D1%20ColSp%3D0)



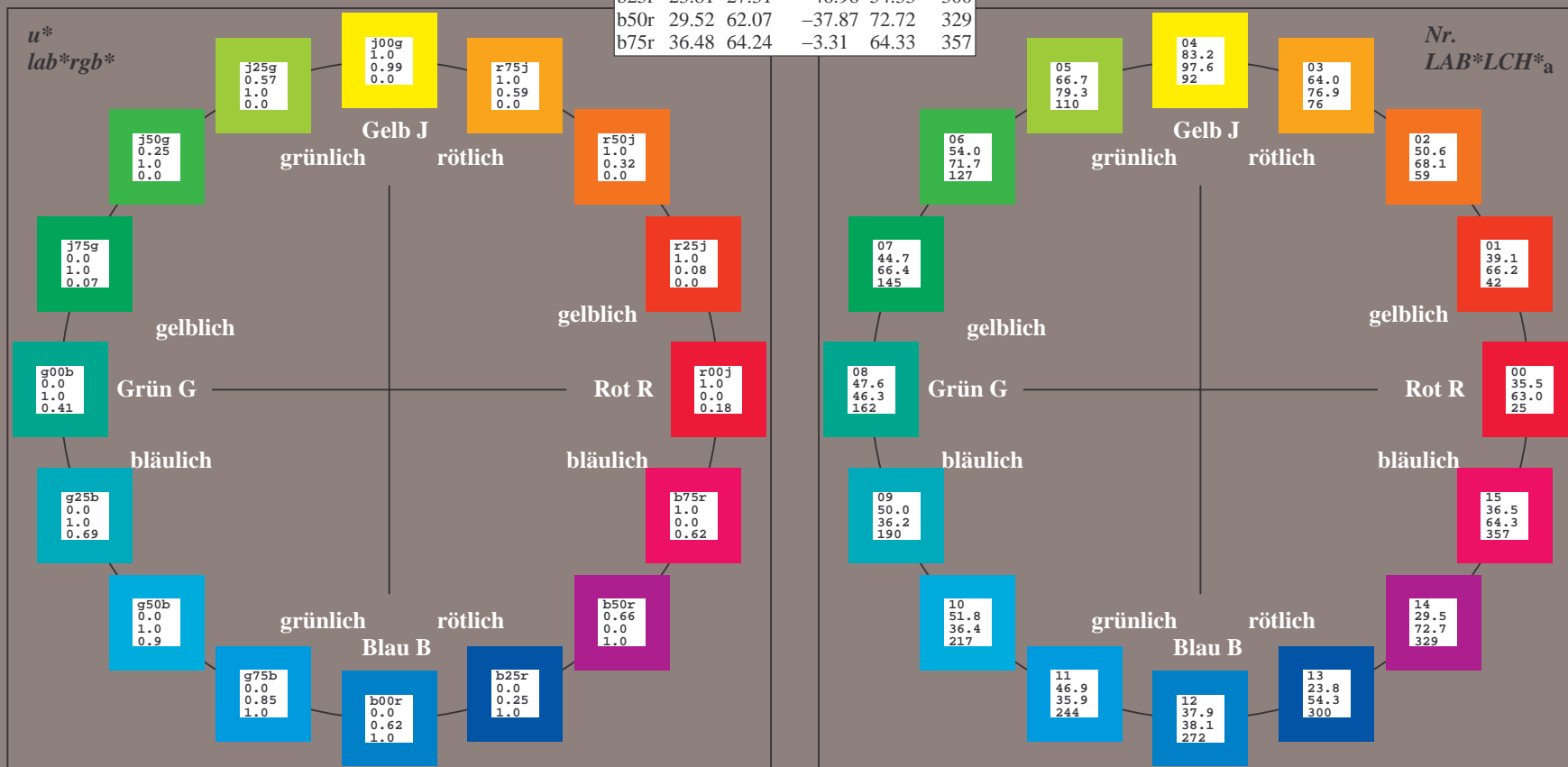
Ein und Ausgabe:
Farbmetrisches Drucker-Reflektiv-System FRS15_90aM
Daten für jede Farbe:
*lab*_{rgb}** und *lab*_{icu}**
Elementar-Bunttontext:
*u** = 16 Buntttöne *r00j*, *r25j*, ..., *b75r*
Kontrastreduzierungsfaktor:
c_R = 0.9

FRS15_90aM; adaptierte CIELAB-Daten					
	<i>L*</i> = <i>L*</i> _a	<i>a*</i> _a	<i>b*</i> _a	<i>C*</i> _{ab,a}	<i>h*</i> _{ab,a}
r00j	35.47	56.92	27.12	63.05	25
r25j	39.12	49.04	44.45	66.19	42
r50j	50.64	35.19	58.33	68.13	59
r75j	64.01	19.11	74.45	76.87	76
j00g	83.18	-3.93	97.56	97.64	92
j25g	66.73	-26.86	74.66	79.35	110
j50g	54.03	-43.42	57.07	71.71	127
j75g	44.73	-54.21	38.33	66.4	145
g00b	47.59	-44.11	14.14	46.33	162
g25b	49.97	-35.68	-6.03	36.19	190
g50b	51.85	-29.05	-21.88	36.38	217
g75b	46.92	-15.53	-32.37	35.92	244
b00r	37.91	1.15	-38.05	38.08	272
b25r	23.81	27.31	-46.96	54.33	300
b50r	29.52	62.07	-37.87	72.72	329
b75r	36.48	64.24	-3.31	64.33	357

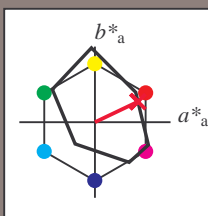


%Umfang
*u**_{rel} = 88
%Regularität
*g**_{H,rel} = 31
*g**_{C,rel} = 40

FRS15_90aM; adaptierte CIELAB-Daten					
	<i>L*</i> = <i>L*</i> _a	<i>a*</i> _a	<i>b*</i> _a	<i>C*</i> _{ab,a}	<i>h*</i> _{ab,a}
OMa	35.06	53.93	39.55	66.88	36
YMa	83.77	-4.63	98.26	98.37	93
LMa	44.13	-56.32	43.36	71.09	142
CMa	52.66	-26.18	-28.74	38.89	228
VMa	14.15	45.22	-53.06	69.72	310
MMa	37.37	70.69	-30.1	76.83	337
NMa	15.0	0.0	0.0	0.0	0
WMa	90.0	0.0	0.0	0.0	0
RCIE	39.92	58.74	27.99	65.07	25
JCIE	81.26	-2.88	71.56	71.62	92
GCIE	52.23	-42.41	13.6	44.55	162
BCIE	30.57	1.41	-46.46	46.49	272



Ein und Ausgabe: Farbmetrisches Drucker-Reflektiv-System FRS15_90aM für relativen CIELAB-Buntton $h^* = lab^*h^* = h_{ab}/360 = 25/360 = 0.071$ $u^* = r00j$
Daten für jede Farbe:
 lab^*ch^* und lab^*icu^*
Elementar-Bunttontext:
 $u^* = r00j$
Kontrastreduzierungsfaktor:
 $c_R = 0.9$
Dreiecks-Helligkeit i^*



FRS15_90aM; adaptierte CIELAB-Daten					
	$L^*=L^*_a$	a^*_a	b^*_a	$C^*_{ab,a}$	$h^*_{ab,a}$
O _{Ma}	35.06	53.93	39.55	66.88	36
Y _{Ma}	83.77	-4.63	98.26	98.37	93
L _{Ma}	44.13	-56.32	43.36	71.09	142
C _{Ma}	52.66	-26.18	-28.74	38.89	228
V _{Ma}	14.15	45.22	-53.06	69.72	310
M _{Ma}	37.37	70.69	-30.1	76.83	337
N _{Ma}	15.0	0.0	0.0	0.0	0
W _{Ma}	90.0	0.0	0.0	0.0	0
R _{CIE}	39.92	58.74	27.99	65.07	25
J _{CIE}	81.26	-2.88	71.56	71.62	92
G _{CIE}	52.23	-42.41	13.6	44.55	162
B _{CIE}	30.57	1.41	-46.46	46.49	272

Daten für Maximalfarbe (Ma):

$LAB^*LAB^*_{Ma}$: 35 57 27

$LAB^*LCH^*_{Ma}$: 35 63 25

$lab^*rgb^*_{Ma}$: 1.0 0.0 0.0

$lab^*olv^*_{Ma}$: 1.0 0.0 0.18

Dreiecks-Helligkeit i^*

%Umfang

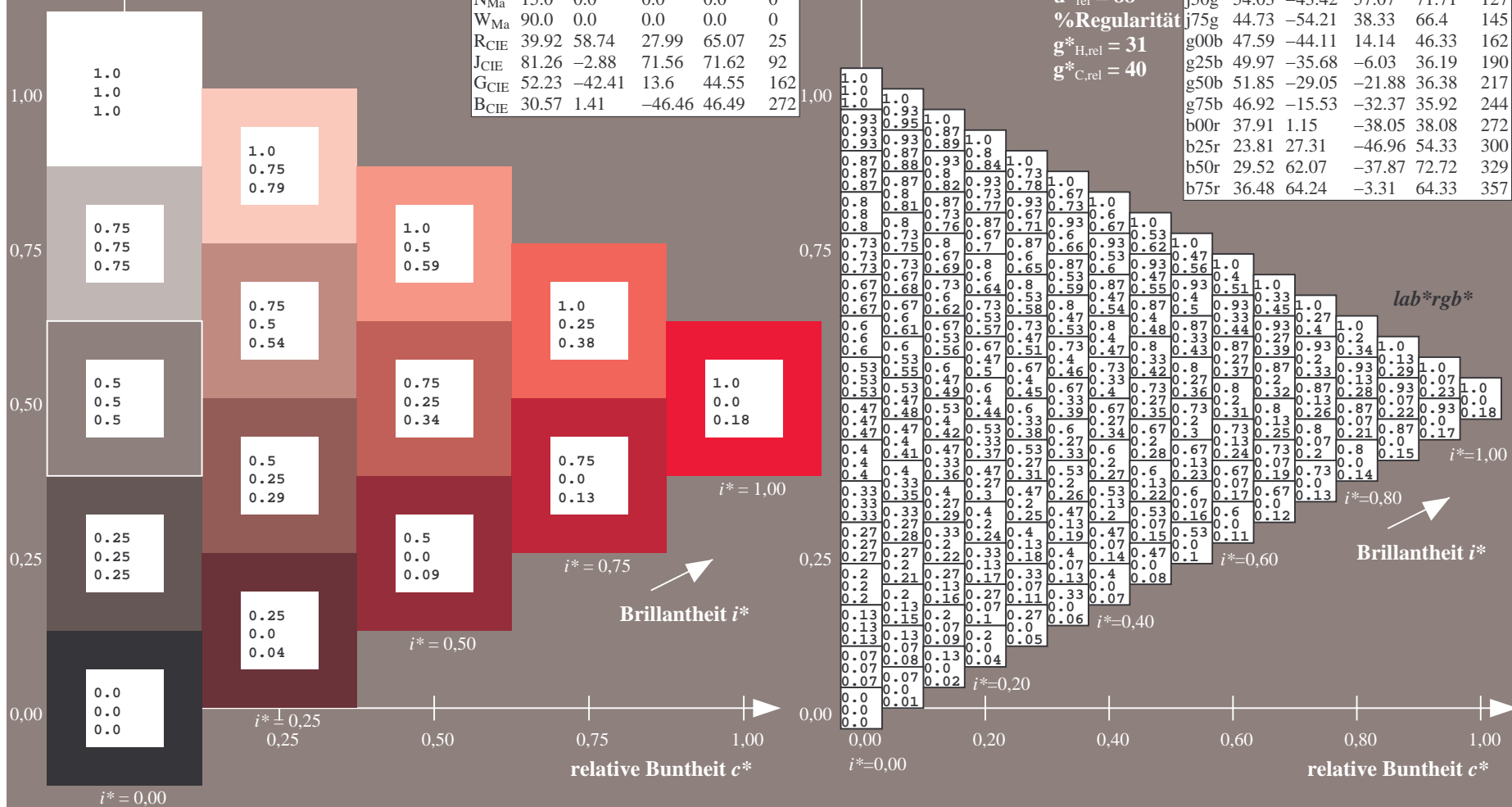
$u^*_{rel} = 88$

%Regularität

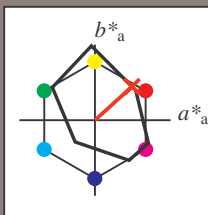
$g^*_{H,rel} = 31$

$g^*_{C,rel} = 40$

FRS15_90aM; adaptierte CIELAB-Daten					
	$L^*=L^*_a$	a^*_a	b^*_a	$C^*_{ab,a}$	$h^*_{ab,a}$
r00j	35.47	56.92	27.12	63.05	25
r25j	39.12	49.04	44.45	66.19	42
r50j	50.64	35.19	58.33	68.13	59
r75j	64.01	19.11	74.45	76.87	76
j00g	83.18	-3.93	97.56	97.64	92
j25g	66.73	-26.86	74.66	79.35	110
j50g	54.03	-43.42	57.07	71.71	127
j75g	44.73	-54.21	38.33	66.4	145
g00b	47.59	-44.11	14.14	46.33	162
g25b	49.97	-35.68	-6.03	36.19	190
g50b	51.85	-29.05	-21.88	36.38	217
g75b	46.92	-15.53	-32.37	35.92	244
b00r	37.91	1.15	-38.05	38.08	272
b25r	23.81	27.31	-46.96	54.33	300
b50r	29.52	62.07	-37.87	72.72	329
b75r	36.48	64.24	-3.31	64.33	357



Ein und Ausgabe: Farbmetrisches Drucker-Reflektiv-System FRS15_90aM für relativen CIELAB-Buntton $h^* = lab^*h^* = h_{ab}/360 = 42/360 = 0.117$ $u^* = r25j$
Daten für jede Farbe:
 lab^*ch^* und lab^*icu^*
Elementar-Bunttontext:
 $u^* = r25j$
Kontrastreduzierungsfaktor:
 $c_R = 0.9$
Dreiecks-Helligkeit t^*



FRS15_90aM; adaptierte CIELAB-Daten					
	$L^*=L_a^*$	a_a^*	b_a^*	$C^*_{ab,a}$	$h^*_{ab,a}$
O _{Ma}	35.06	53.93	39.55	66.88	36
Y _{Ma}	83.77	-4.63	98.26	98.37	93
L _{Ma}	44.13	-56.32	43.36	71.09	142
C _{Ma}	52.66	-26.18	-28.74	38.89	228
V _{Ma}	14.15	45.22	-53.06	69.72	310
M _{Ma}	37.37	70.69	-30.1	76.83	337
N _{Ma}	15.0	0.0	0.0	0.0	0
W _{Ma}	90.0	0.0	0.0	0.0	0
R _{CIE}	39.92	58.74	27.99	65.07	25
J _{CIE}	81.26	-2.88	71.56	71.62	92
G _{CIE}	52.23	-42.41	13.6	44.55	162
B _{CIE}	30.57	1.41	-46.46	46.49	272

Daten für Maximalfarbe (Ma):

$LAB^*LAB^*_{Ma}$: 39 49 44

$LAB^*LCH^*_{Ma}$: 39 66 42

$lab^*rgb^*_{Ma}$: 1.0 0.25 0.0

$lab^*olv^*_{Ma}$: 1.0 0.08 0.0

Dreiecks-Helligkeit t^*

%Umfang

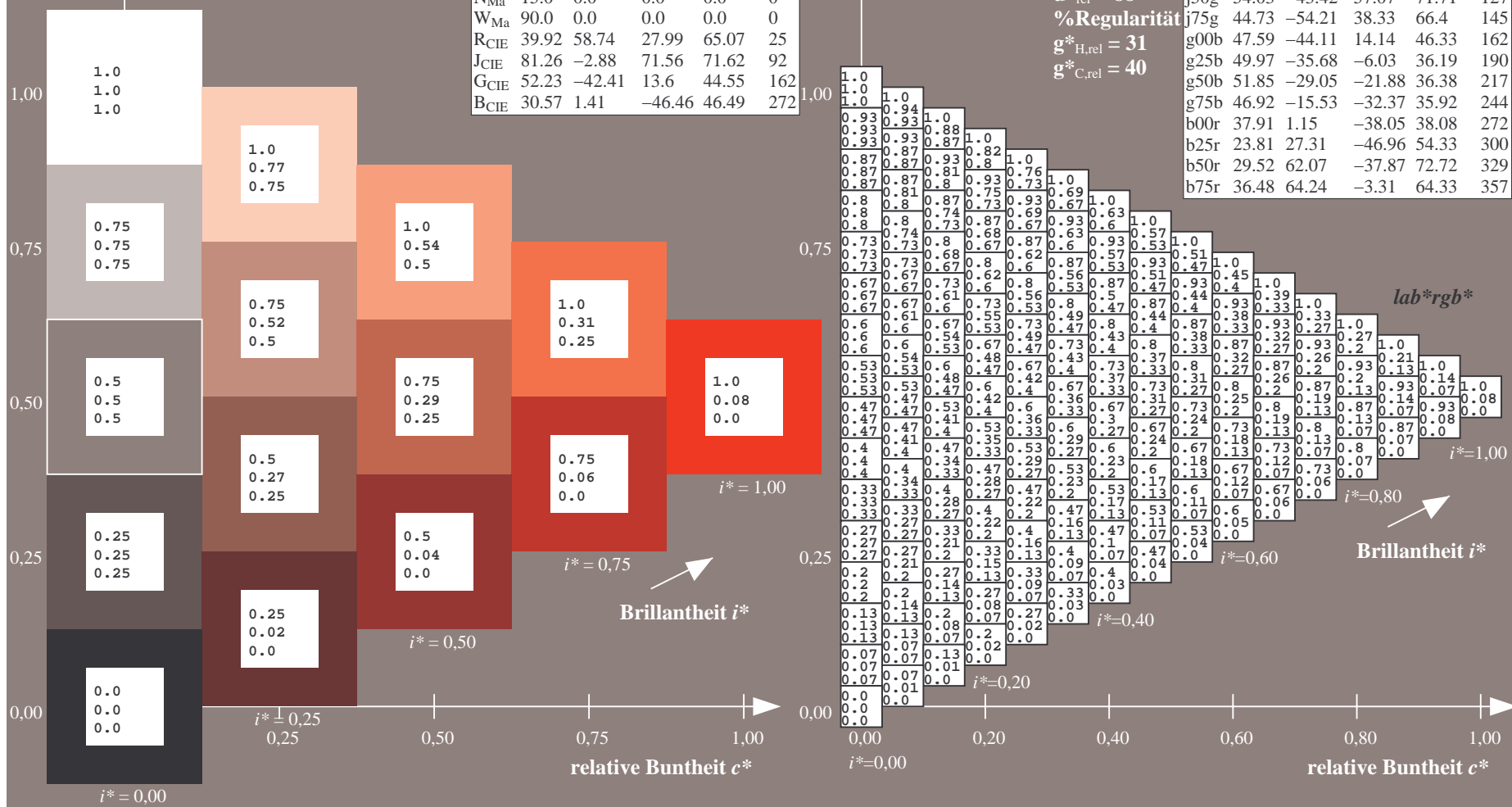
$u^*_{rel} = 88$

%Regularität

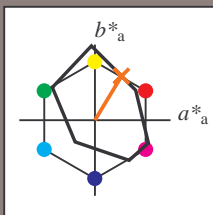
$g^*_{H,rel} = 31$

$g^*_{C,rel} = 40$

FRS15_90aM; adaptierte CIELAB-Daten					
	$L^*=L_a^*$	a_a^*	b_a^*	$C^*_{ab,a}$	$h^*_{ab,a}$
r00j	35.47	56.92	27.12	63.05	25
r25j	39.12	49.04	44.45	66.19	42
r50j	50.64	35.19	58.33	68.13	59
r75j	64.01	19.11	74.45	76.87	76
j00g	83.18	-3.93	97.56	97.64	92
j25g	66.73	-26.86	74.66	79.35	110
j50g	54.03	-43.42	57.07	71.71	127
j75g	44.73	-54.21	38.33	66.4	145
g00b	47.59	-44.11	14.14	46.33	162
g25b	49.97	-35.68	-6.03	36.19	190
g50b	51.85	-29.05	-21.88	36.38	217
g75b	46.92	-15.53	-32.37	35.92	244
b00r	37.91	1.15	-38.05	38.08	272
b25r	23.81	27.31	-46.96	54.33	300
b50r	29.52	62.07	-37.87	72.72	329
b75r	36.48	64.24	-3.31	64.33	357



Ein und Ausgabe: Farbmetrisches Drucker-Reflektiv-System FRS15_90aM für relativen CIELAB-Buntton $h^* = lab^*h^* = h_{ab}/360 = 59/360 = 0.164$ $u^* = r50j$
Daten für jede Farbe:
 lab^*ch^* und lab^*icu^*
Elementar-Bunttontext:
 $u^* = r50j$
Kontrastreduzierungsfaktor:
 $c_R = 0.9$
Dreiecks-Helligkeit i^*



FRS15_90aM; adaptierte CIELAB-Daten					
	$L^*=L^*_a$	a^*_a	b^*_a	$C^*_{ab,a}$	$h^*_{ab,a}$
O _{Ma}	35.06	53.93	39.55	66.88	36
Y _{Ma}	83.77	-4.63	98.26	98.37	93
L _{Ma}	44.13	-56.32	43.36	71.09	142
C _{Ma}	52.66	-26.18	-28.74	38.89	228
V _{Ma}	14.15	45.22	-53.06	69.72	310
M _{Ma}	37.37	70.69	-30.1	76.83	337
N _{Ma}	15.0	0.0	0.0	0.0	0
W _{Ma}	90.0	0.0	0.0	0.0	0
R _{CIE}	39.92	58.74	27.99	65.07	25
J _{CIE}	81.26	-2.88	71.56	71.62	92
G _{CIE}	52.23	-42.41	13.6	44.55	162
B _{CIE}	30.57	1.41	-46.46	46.49	272

Daten für Maximalfarbe (Ma):

$LAB^*LAB^*_{Ma}$: 51 35 58

$LAB^*LCH^*_{Ma}$: 51 68 59

$lab^*rgb^*_{Ma}$: 1.0 0.5 0.0

$lab^*olv^*_{Ma}$: 1.0 0.32 0.0

Dreiecks-Helligkeit i^*

%Umfang

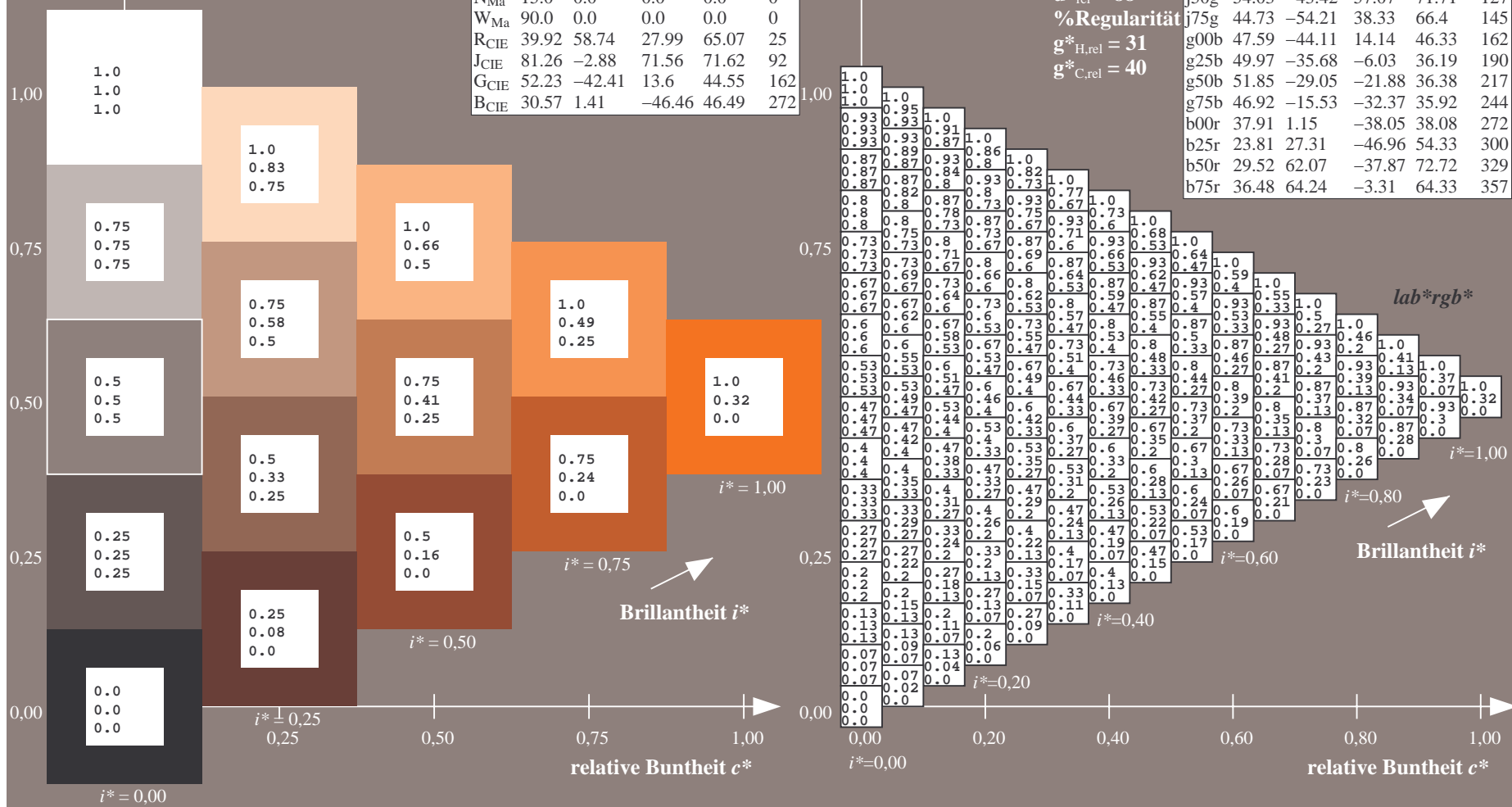
$u^*_{rel} = 88$

%Regularität

$g^*_{H,rel} = 31$

$g^*_{C,rel} = 40$

FRS15_90aM; adaptierte CIELAB-Daten					
	$L^*=L^*_a$	a^*_a	b^*_a	$C^*_{ab,a}$	$h^*_{ab,a}$
r00j	35.47	56.92	27.12	63.05	25
r25j	39.12	49.04	44.45	66.19	42
r50j	50.64	35.19	58.33	68.13	59
r75j	64.01	19.11	74.45	76.87	76
j00g	83.18	-3.93	97.56	97.64	92
j25g	66.73	-26.86	74.66	79.35	110
j50g	54.03	-43.42	57.07	71.71	127
j75g	44.73	-54.21	38.33	66.4	145
g00b	47.59	-44.11	14.14	46.33	162
g25b	49.97	-35.68	-6.03	36.19	190
g50b	51.85	-29.05	-21.88	36.38	217
g75b	46.92	-15.53	-32.37	35.92	244
b00r	37.91	1.15	-38.05	38.08	272
b25r	23.81	27.31	-46.96	54.33	300
b50r	29.52	62.07	-37.87	72.72	329
b75r	36.48	64.24	-3.31	64.33	357



Ein und Ausgabe: Farbmetrisches Drucker-Reflektiv-System FRS15_90aM für relativen CIELAB-Buntton $h^* = lab^*h^* = h_{ab}/360 = 76/360 = 0.21$ $u^* = r75j$ lab^*rgb^*

Daten für jede Farbe:

lab^*ch^* und lab^*icu^*

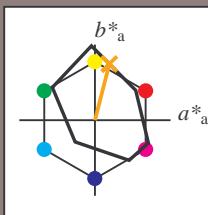
Elementar-Bunttontext:

$u^* = r75j$

Kontrastreduzierungsfaktor:

$c_R = 0.9$

Dreiecks-Helligkeit t^*



FRS15_90aM; adaptierte CIELAB-Daten

	$L^*=L_a^*$	a_a^*	b_a^*	$C^*_{ab,a}$	$h^*_{ab,a}$
O _{Ma}	35.06	53.93	39.55	66.88	36
Y _{Ma}	83.77	-4.63	98.26	98.37	93
L _{Ma}	44.13	-56.32	43.36	71.09	142
C _{Ma}	52.66	-26.18	-28.74	38.89	228
V _{Ma}	14.15	45.22	-53.06	69.72	310
M _{Ma}	37.37	70.69	-30.1	76.83	337
N _{Ma}	15.0	0.0	0.0	0.0	0
W _{Ma}	90.0	0.0	0.0	0.0	0
R _{CIE}	39.92	58.74	27.99	65.07	25
J _{CIE}	81.26	-2.88	71.56	71.62	92
G _{CIE}	52.23	-42.41	13.6	44.55	162
B _{CIE}	30.57	1.41	-46.46	46.49	272

Daten für Maximalfarbe (Ma):

$LAB^*LAB^*_{Ma}$: 64 19 74

$LAB^*LCH^*_{Ma}$: 64 77 76

$lab^*rgb^*_{Ma}$: 1.0 0.75 0.0

$lab^*olv^*_{Ma}$: 1.0 0.59 0.0

Dreiecks-Helligkeit t^*

%Umfang

$u^*_{rel} = 88$

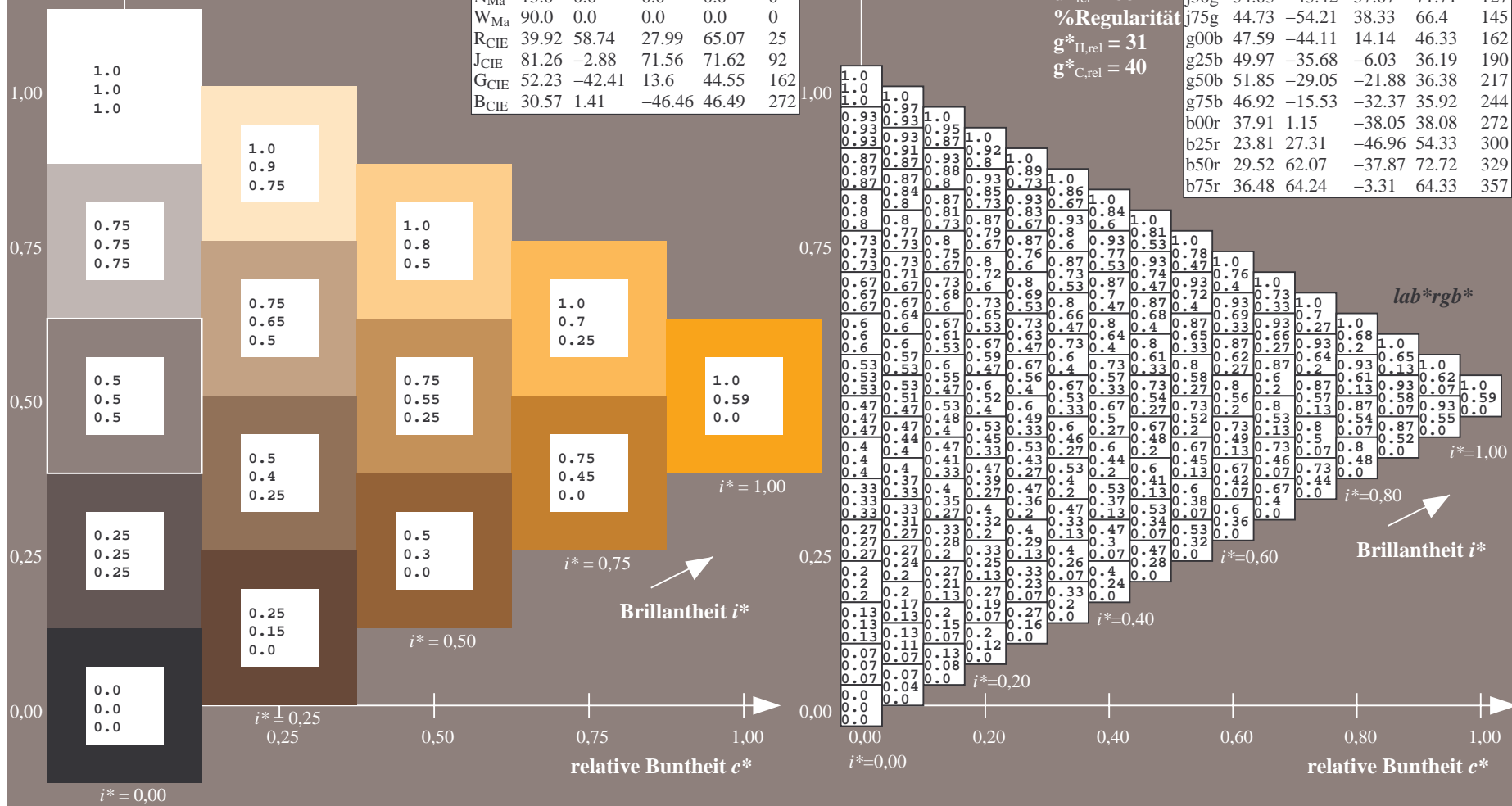
%Regularität

$g^*_{H,rel} = 31$

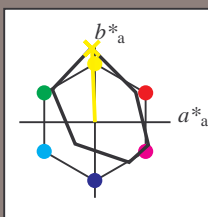
$g^*_{C,rel} = 40$

FRS15_90aM; adaptierte CIELAB-Daten

	$L^*=L_a^*$	a_a^*	b_a^*	$C^*_{ab,a}$	$h^*_{ab,a}$
r00j	35.47	56.92	27.12	63.05	25
r25j	39.12	49.04	44.45	66.19	42
r50j	50.64	35.19	58.33	68.13	59
r75j	64.01	19.11	74.45	76.87	76
j00g	83.18	-3.93	97.56	97.64	92
j25g	66.73	-26.86	74.66	79.35	110
j50g	54.03	-43.42	57.07	71.71	127
j75g	44.73	-54.21	38.33	66.4	145
g00b	47.59	-44.11	14.14	46.33	162
g25b	49.97	-35.68	-6.03	36.19	190
g50b	51.85	-29.05	-21.88	36.38	217
g75b	46.92	-15.53	-32.37	35.92	244
b00r	37.91	1.15	-38.05	38.08	272
b25r	23.81	27.31	-46.96	54.33	300
b50r	29.52	62.07	-37.87	72.72	329
b75r	36.48	64.24	-3.31	64.33	357



Ein und Ausgabe: Farbmetrisches Drucker-Reflektiv-System FRS15_90aM für relativen CIELAB-Buntton $h^* = lab^*h^* = h_{ab}/360 = 92/360 = 0.256$ $u^* = j00g$
Daten für jede Farbe:
 lab^*ch^* und lab^*icu^*
Elementar-Bunttontext:
 $u^* = j00g$
Kontrastreduzierungsfaktor:
 $c_R = 0.9$
Dreiecks-Helligkeit i^*



FRS15_90aM; adaptierte CIELAB-Daten					
	$L^*=L_a^*$	a_a^*	b_a^*	$C^*_{ab,a}$	$h^*_{ab,a}$
O _{Ma}	35.06	53.93	39.55	66.88	36
Y _{Ma}	83.77	-4.63	98.26	98.37	93
L _{Ma}	44.13	-56.32	43.36	71.09	142
C _{Ma}	52.66	-26.18	-28.74	38.89	228
V _{Ma}	14.15	45.22	-53.06	69.72	310
M _{Ma}	37.37	70.69	-30.1	76.83	337
N _{Ma}	15.0	0.0	0.0	0.0	0
W _{Ma}	90.0	0.0	0.0	0.0	0
R _{CIE}	39.92	58.74	27.99	65.07	25
J _{CIE}	81.26	-2.88	71.56	71.62	92
G _{CIE}	52.23	-42.41	13.6	44.55	162
B _{CIE}	30.57	1.41	-46.46	46.49	272

Daten für Maximalfarbe (Ma):

$LAB^*LAB^*_{Ma}$: 83 -3 98

$LAB^*LCH^*_{Ma}$: 83 98 92

$lab^*rgb^*_{Ma}$: 1.0 1.0 0.0

$lab^*olv^*_{Ma}$: 1.0 0.99 0.0

Dreiecks-Helligkeit i^*

%Umfang

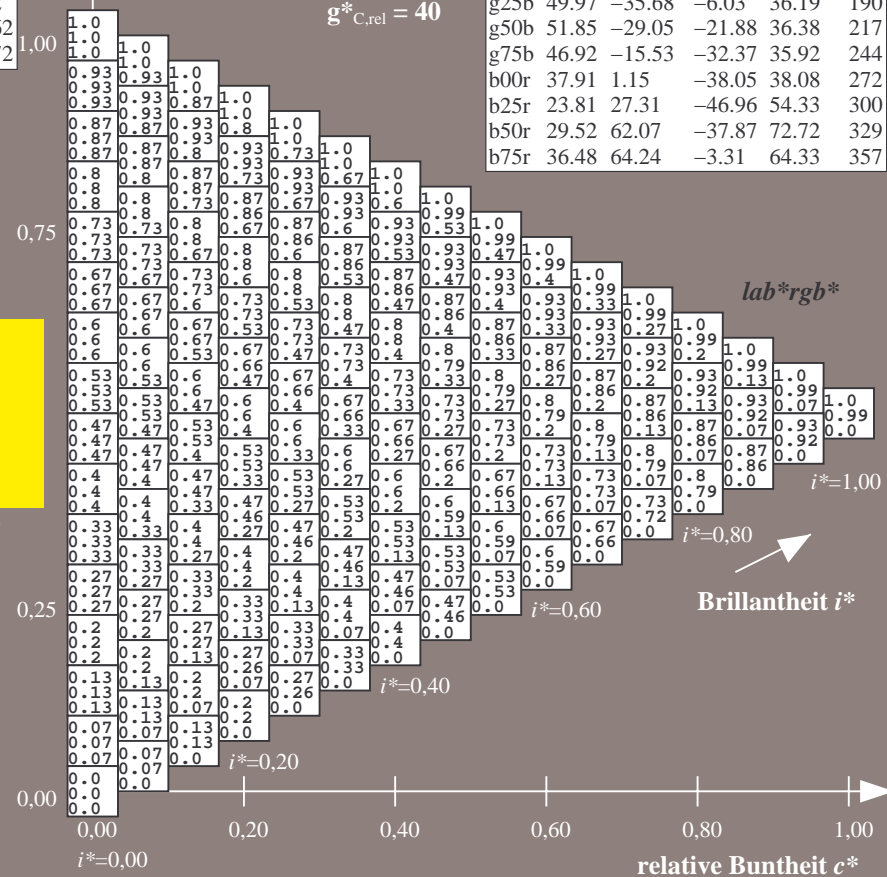
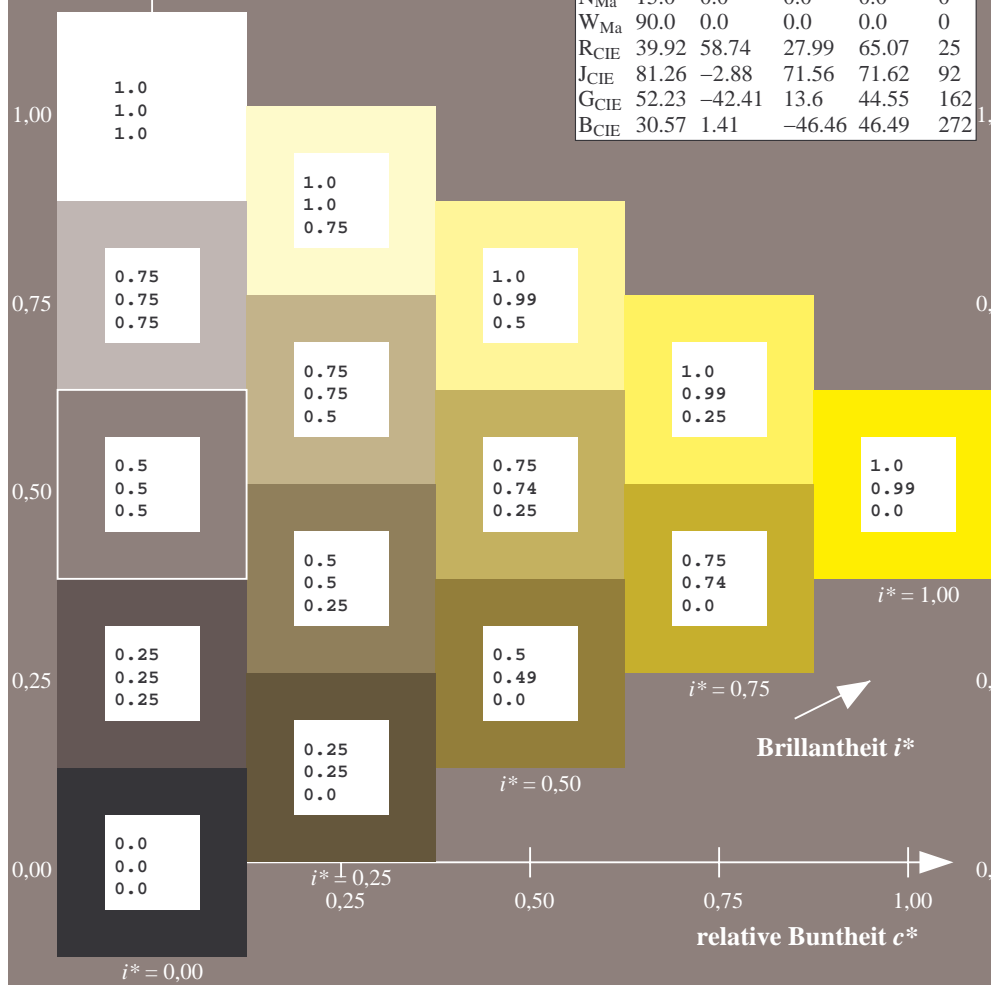
$u^*_{rel} = 88$

%Regularität

$g^*_{H,rel} = 31$

$g^*_{C,rel} = 40$

FRS15_90aM; adaptierte CIELAB-Daten					
	$L^*=L_a^*$	a_a^*	b_a^*	$C^*_{ab,a}$	$h^*_{ab,a}$
r00j	35.47	56.92	27.12	63.05	25
r25j	39.12	49.04	44.45	66.19	42
r50j	50.64	35.19	58.33	68.13	59
r75j	64.01	19.11	74.45	76.87	76
j00g	83.18	-3.93	97.56	97.64	92
j25g	66.73	-26.86	74.66	79.35	110
j50g	54.03	-43.42	57.07	71.71	127
j75g	44.73	-54.21	38.33	66.4	145
g00b	47.59	-44.11	14.14	46.33	162
g25b	49.97	-35.68	-6.03	36.19	190
g50b	51.85	-29.05	-21.88	36.38	217
g75b	46.92	-15.53	-32.37	35.92	244
b00r	37.91	1.15	-38.05	38.08	272
b25r	23.81	27.31	-46.96	54.33	300
b50r	29.52	62.07	-37.87	72.72	329
b75r	36.48	64.24	-3.31	64.33	357

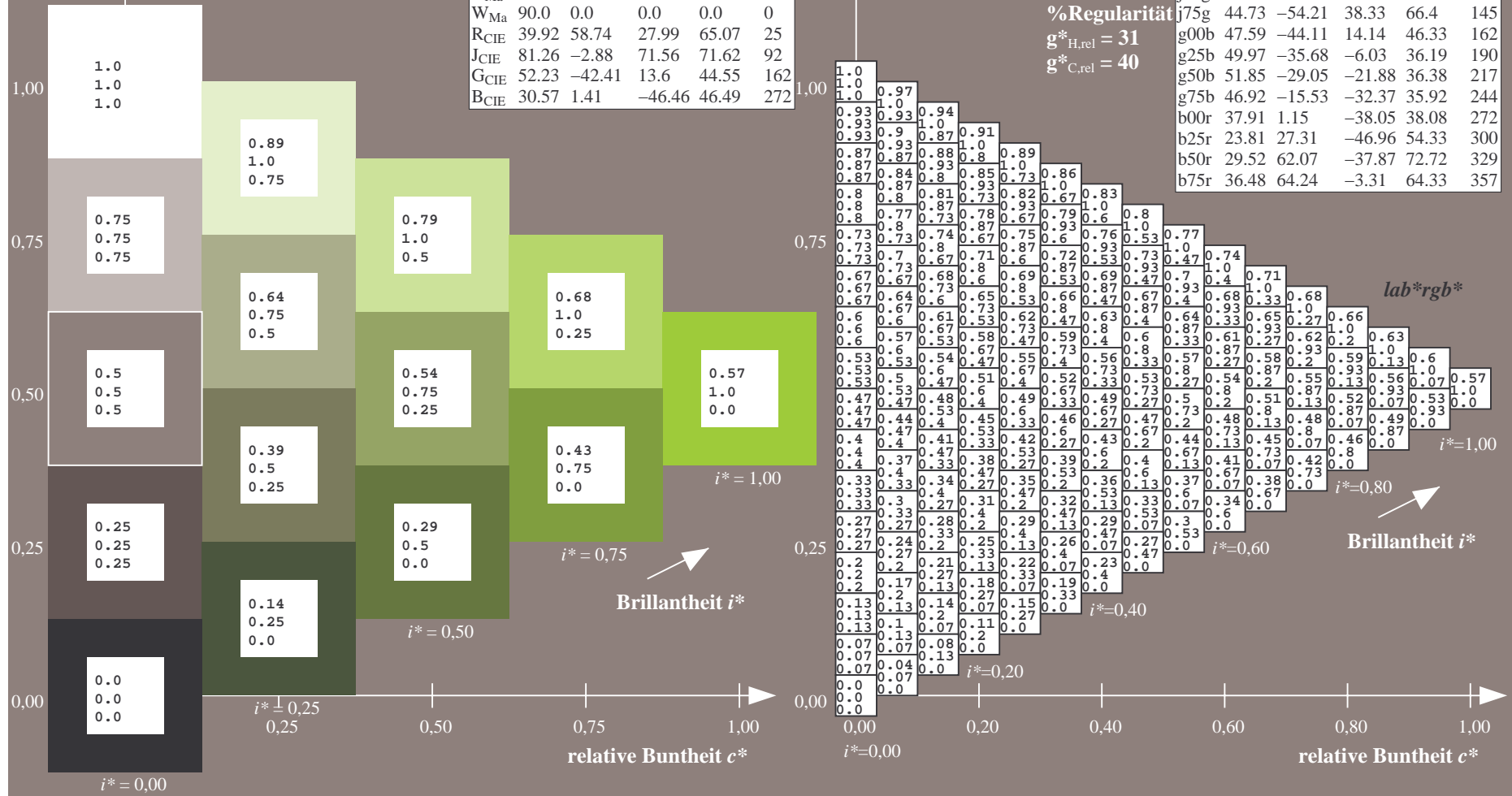


Dreiecks-Helligkeit t^*

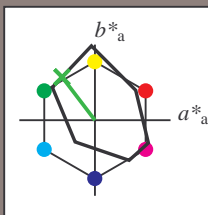


Siehe ähnliche Dateien: <http://www.ps.bam.de/Dg93/>; www.ps.bam.de/Dg.HTM
Technische Information: <http://www.ps.bam.de> Version 2.1, io=1, ColSp=0

BAM-Registrierung: 20080701-Dg93/10L/L93G00NA.PS/ .TXTBAM-Material: Code=rh4ta
Anwendung für Beurteilung und Messung von Drucker- oder Monitorsystemen



Ein und Ausgabe: Farbmetrisches Drucker-Reflektiv-System FRS15_90aM für relativen CIELAB-Buntton $h^* = lab^*h^* = h_{ab}/360 = 127/360 = 0.354$ $u^* = j50g$
Daten für jede Farbe:
 lab^*ch^* und lab^*icu^*
Elementar-Bunttontext:
 $u^* = j50g$
Kontrastreduzierungsfaktor:
 $c_R = 0.9$
Dreiecks-Helligkeit t^*



FRS15_90aM; adaptierte CIELAB-Daten					
	$L^*=L^*_a$	a^*_a	b^*_a	$C^*_{ab,a}$	$h^*_{ab,a}$
O _{Ma}	35.06	53.93	39.55	66.88	36
Y _{Ma}	83.77	-4.63	98.26	98.37	93
L _{Ma}	44.13	-56.32	43.36	71.09	142
C _{Ma}	52.66	-26.18	-28.74	38.89	228
V _{Ma}	14.15	45.22	-53.06	69.72	310
M _{Ma}	37.37	70.69	-30.1	76.83	337
N _{Ma}	15.0	0.0	0.0	0.0	0
W _{Ma}	90.0	0.0	0.0	0.0	0
R _{CIE}	39.92	58.74	27.99	65.07	25
J _{CIE}	81.26	-2.88	71.56	71.62	92
G _{CIE}	52.23	-42.41	13.6	44.55	162
B _{CIE}	30.57	1.41	-46.46	46.49	272

Daten für Maximalfarbe (Ma):

$LAB^*LAB^*_{Ma}$: 54 -42 57

$LAB^*LCH^*_{Ma}$: 54 72 127

$lab^*rgb^*_{Ma}$: 0.5 1.0 0.0

$lab^*olv^*_{Ma}$: 0.25 1.0 0.0

Dreiecks-Helligkeit t^*

%Umfang

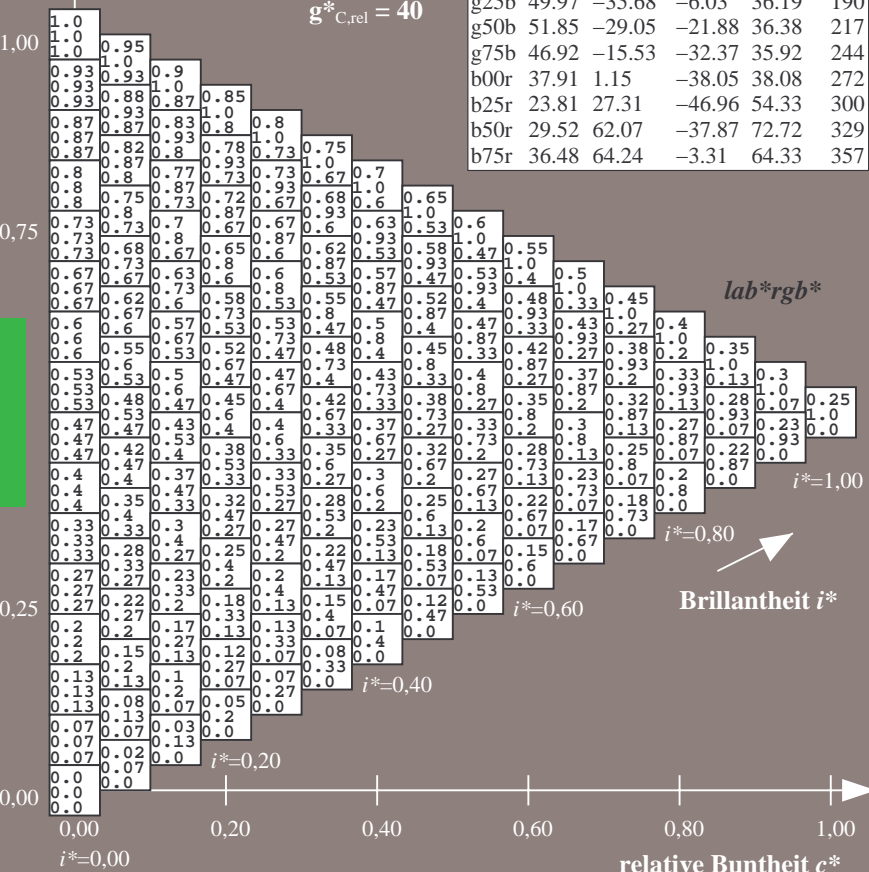
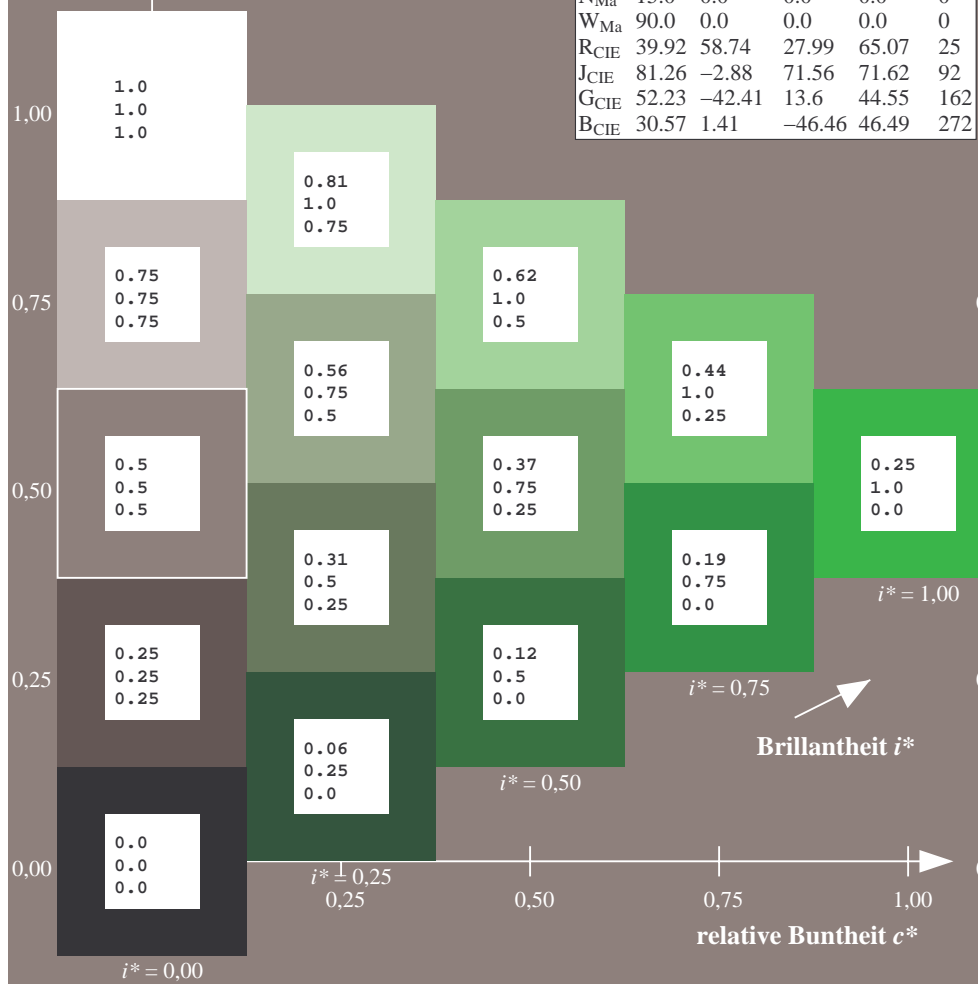
$u^*_{rel} = 88$

%Regularität

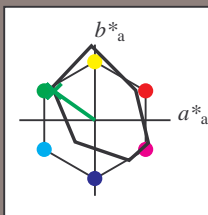
$g^*_{H,rel} = 31$

$g^*_{C,rel} = 40$

FRS15_90aM; adaptierte CIELAB-Daten					
	$L^*=L^*_a$	a^*_a	b^*_a	$C^*_{ab,a}$	$h^*_{ab,a}$
r00j	35.47	56.92	27.12	63.05	25
r25j	39.12	49.04	44.45	66.19	42
r50j	50.64	35.19	58.33	68.13	59
r75j	64.01	19.11	74.45	76.87	76
j00g	83.18	-3.93	97.56	97.64	92
j25g	66.73	-26.86	74.66	79.35	110
j50g	54.03	-43.42	57.07	71.71	127
j75g	44.73	-54.21	38.33	66.4	145
g00b	47.59	-44.11	14.14	46.33	162
g25b	49.97	-35.68	-6.03	36.19	190
g50b	51.85	-29.05	-21.88	36.38	217
g75b	46.92	-15.53	-32.37	35.92	244
b00r	37.91	1.15	-38.05	38.08	272
b25r	23.81	27.31	-46.96	54.33	300
b50r	29.52	62.07	-37.87	72.72	329
b75r	36.48	64.24	-3.31	64.33	357



Ein und Ausgabe: Farbmetrisches Drucker-Reflektiv-System FRS15_90aM für relativen CIELAB-Buntton $h^* = lab^*h^* = h_{ab}/360 = 145/360 = 0.402$ $u^* = j75g$
Daten für jede Farbe:
 lab^*ch^* und lab^*icu^*
Elementar-Bunttontext:
 $u^* = j75g$
Kontrastreduzierungsfaktor:
 $c_R = 0.9$
Dreiecks-Helligkeit t^*



FRS15_90aM; adaptierte CIELAB-Daten					
	$L^*=L_a^*$	a_a^*	b_a^*	$C^*_{ab,a}$	$h^*_{ab,a}$
O _{Ma}	35.06	53.93	39.55	66.88	36
Y _{Ma}	83.77	-4.63	98.26	98.37	93
L _{Ma}	44.13	-56.32	43.36	71.09	142
C _{Ma}	52.66	-26.18	-28.74	38.89	228
V _{Ma}	14.15	45.22	-53.06	69.72	310
M _{Ma}	37.37	70.69	-30.1	76.83	337
N _{Ma}	15.0	0.0	0.0	0.0	0
W _{Ma}	90.0	0.0	0.0	0.0	0
R _{CIE}	39.92	58.74	27.99	65.07	25
J _{CIE}	81.26	-2.88	71.56	71.62	92
G _{CIE}	52.23	-42.41	13.6	44.55	162
B _{CIE}	30.57	1.41	-46.46	46.49	272

Daten für Maximalfarbe (Ma):

$LAB^*LAB^*_{Ma}$: 45 -53 38

$LAB^*LCH^*_{Ma}$: 45 66 145

$lab^*rgb^*_{Ma}$: 0.25 1.0 0.0

$lab^*olv^*_{Ma}$: 0.0 1.0 0.07

Dreiecks-Helligkeit t^*

%Umfang

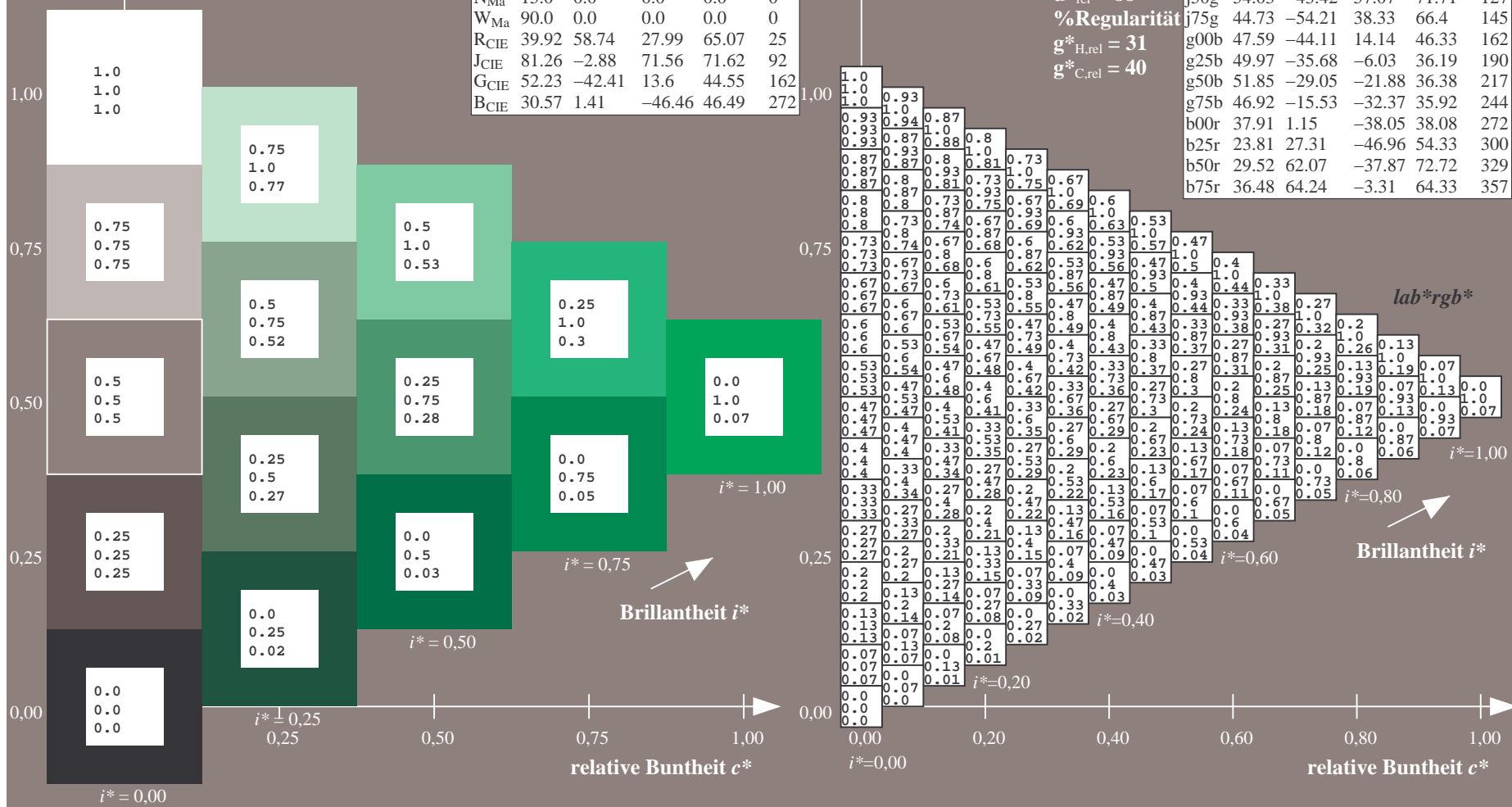
$u^*_{rel} = 88$

%Regularität

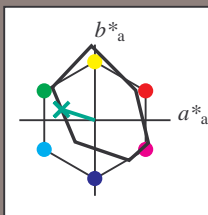
$g^*_{H,rel} = 31$

$g^*_{C,rel} = 40$

FRS15_90aM; adaptierte CIELAB-Daten					
	$L^*=L_a^*$	a_a^*	b_a^*	$C^*_{ab,a}$	$h^*_{ab,a}$
r00j	35.47	56.92	27.12	63.05	25
r25j	39.12	49.04	44.45	66.19	42
r50j	50.64	35.19	58.33	68.13	59
r75j	64.01	19.11	74.45	76.87	76
j00g	83.18	-3.93	97.56	97.64	92
j25g	66.73	-26.86	74.66	79.35	110
j50g	54.03	-43.42	57.07	71.71	127
j75g	44.73	-54.21	38.33	66.4	145
g00b	47.59	-44.11	14.14	46.33	162
g25b	49.97	-35.68	-6.03	36.19	190
g50b	51.85	-29.05	-21.88	36.38	217
g75b	46.92	-15.53	-32.37	35.92	244
b00r	37.91	1.15	-38.05	38.08	272
b25r	23.81	27.31	-46.96	54.33	300
b50r	29.52	62.07	-37.87	72.72	329
b75r	36.48	64.24	-3.31	64.33	357



Ein und Ausgabe: Farbmetrisches Drucker-Reflektiv-System FRS15_90aM für relativen CIELAB-Buntton $h^* = lab^*h^* = h_{ab}/360 = 162/360 = 0.451$ $u^* = g00b$
Daten für jede Farbe:
 lab^*ch^* und lab^*icu^*
Elementar-Bunttontext:
 $u^* = g00b$
Kontrastreduzierungsfaktor:
 $c_R = 0.9$
Dreiecks-Helligkeit i^*



FRS15_90aM; adaptierte CIELAB-Daten					
	$L^*=L^*_a$	a^*_a	b^*_a	$C^*_{ab,a}$	$h^*_{ab,a}$
O _{Ma}	35.06	53.93	39.55	66.88	36
Y _{Ma}	83.77	-4.63	98.26	98.37	93
L _{Ma}	44.13	-56.32	43.36	71.09	142
C _{Ma}	52.66	-26.18	-28.74	38.89	228
V _{Ma}	14.15	45.22	-53.06	69.72	310
M _{Ma}	37.37	70.69	-30.1	76.83	337
N _{Ma}	15.0	0.0	0.0	0.0	0
W _{Ma}	90.0	0.0	0.0	0.0	0
R _{CIE}	39.92	58.74	27.99	65.07	25
J _{CIE}	81.26	-2.88	71.56	71.62	92
G _{CIE}	52.23	-42.41	13.6	44.55	162
B _{CIE}	30.57	1.41	-46.46	46.49	272

Daten für Maximalfarbe (Ma):

$LAB^*LAB^*_{Ma}$: 48 -43 14

$LAB^*LCH^*_{Ma}$: 48 46 162

$lab^*rgb^*_{Ma}$: 0.0 1.0 0.0

$lab^*olv^*_{Ma}$: 0.0 1.0 0.41

Dreiecks-Helligkeit i^*

%Umfang

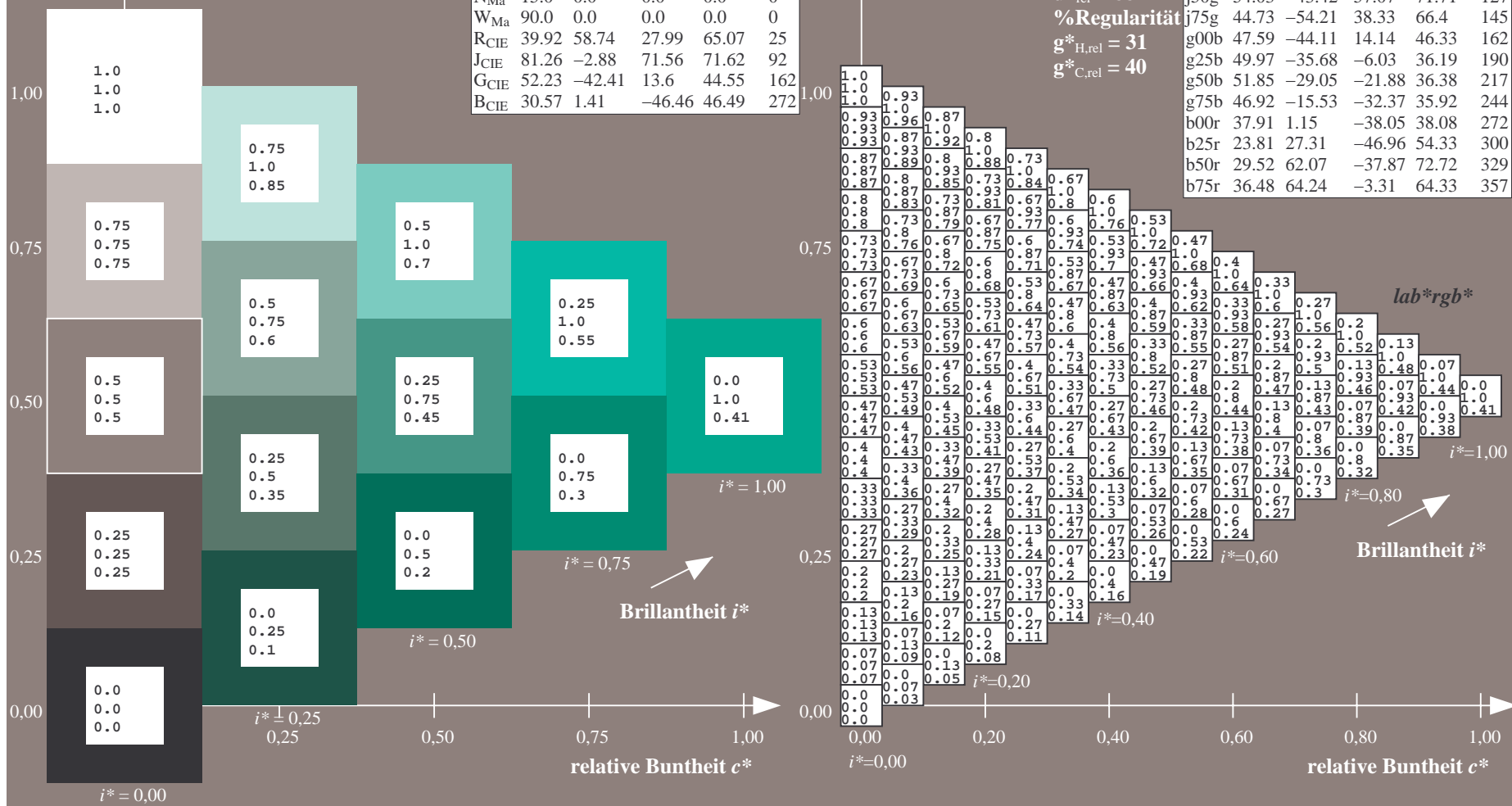
$u^*_{rel} = 88$

%Regularität

$g^*_{H,rel} = 31$

$g^*_{C,rel} = 40$

FRS15_90aM; adaptierte CIELAB-Daten					
	$L^*=L^*_a$	a^*_a	b^*_a	$C^*_{ab,a}$	$h^*_{ab,a}$
r00j	35.47	56.92	27.12	63.05	25
r25j	39.12	49.04	44.45	66.19	42
r50j	50.64	35.19	58.33	68.13	59
r75j	64.01	19.11	74.45	76.87	76
j00g	83.18	-3.93	97.56	97.64	92
j25g	66.73	-26.86	74.66	79.35	110
j50g	54.03	-43.42	57.07	71.71	127
j75g	44.73	-54.21	38.33	66.4	145
g00b	47.59	-44.11	14.14	46.33	162
g25b	49.97	-35.68	-6.03	36.19	190
g50b	51.85	-29.05	-21.88	36.38	217
g75b	46.92	-15.53	-32.37	35.92	244
b00r	37.91	1.15	-38.05	38.08	272
b25r	23.81	27.31	-46.96	54.33	300
b50r	29.52	62.07	-37.87	72.72	329
b75r	36.48	64.24	-3.31	64.33	357



Dreiecks-Helligkeit t^*


$$\mathbf{g}_{\text{C,rel}}^* = 40$$

b75r	36.48	64.24	-3.31	64.33	357
------	-------	-------	-------	-------	-----

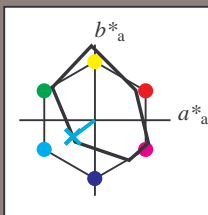


Farbreihen, 8 Datentabellen für 16 Bunttöne *r00j* bis *b75r*

Ausgabe: $\rightarrow cmy\mathbf{n}5^* setcmykcolor$

4ta

Ein und Ausgabe: Farbmetrisches Drucker-Reflektiv-System FRS15_90aM für relativen CIELAB-Buntton $h^* = lab^*h^* = h_{ab}/360 = 217/360 = 0.603$ $u^* = g50b$
Daten für jede Farbe:
 lab^*ch^* und lab^*icu^*
Elementar-Bunttontext:
 $u^* = g50b$
Kontrastreduzierungsfaktor:
 $c_R = 0.9$
Dreiecks-Helligkeit i^*



FRS15_90aM; adaptierte CIELAB-Daten					
	$L^*=L_a^*$	a_a^*	b_a^*	$C_{ab,a}^*$	$h_{ab,a}^*$
O _{Ma}	35.06	53.93	39.55	66.88	36
Y _{Ma}	83.77	-4.63	98.26	98.37	93
L _{Ma}	44.13	-56.32	43.36	71.09	142
C _{Ma}	52.66	-26.18	-28.74	38.89	228
V _{Ma}	14.15	45.22	-53.06	69.72	310
M _{Ma}	37.37	70.69	-30.1	76.83	337
N _{Ma}	15.0	0.0	0.0	0.0	0
W _{Ma}	90.0	0.0	0.0	0.0	0
R _{CIE}	39.92	58.74	27.99	65.07	25
J _{CIE}	81.26	-2.88	71.56	71.62	92
G _{CIE}	52.23	-42.41	13.6	44.55	162
B _{CIE}	30.57	1.41	-46.46	46.49	272

Daten für Maximalfarbe (Ma):

$LAB^*LAB^*_{Ma}$: 52 -28 -21

$LAB^*LCH^*_{Ma}$: 52 36 217

$lab^*rgb^*_{Ma}$: 0.0 1.0 1.0

$lab^*olv^*_{Ma}$: 0.0 1.0 0.9

Dreiecks-Helligkeit i^*

%Umfang

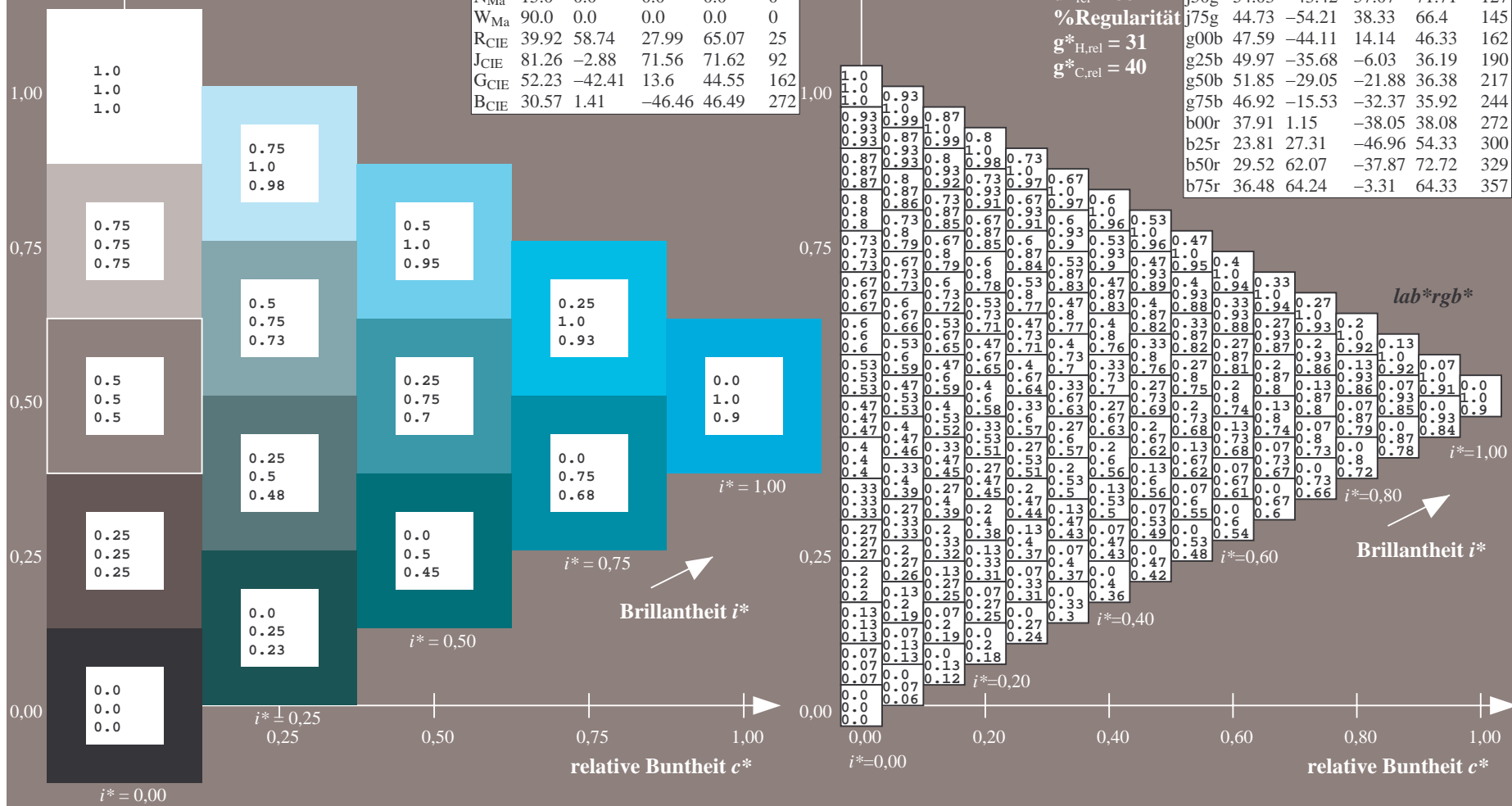
$u^*_{rel} = 88$

%Regularität

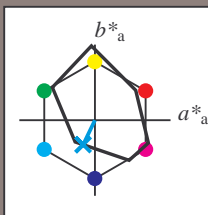
$g^*_{H,rel} = 31$

$g^*_{C,rel} = 40$

FRS15_90aM; adaptierte CIELAB-Daten					
	$L^*=L_a^*$	a_a^*	b_a^*	$C_{ab,a}^*$	$h_{ab,a}^*$
r00j	35.47	56.92	27.12	63.05	25
r25j	39.12	49.04	44.45	66.19	42
r50j	50.64	35.19	58.33	68.13	59
r75j	64.01	19.11	74.45	76.87	76
j00g	83.18	-3.93	97.56	97.64	92
j25g	66.73	-26.86	74.66	79.35	110
j50g	54.03	-43.42	57.07	71.71	127
j75g	44.73	-54.21	38.33	66.4	145
g00b	47.59	-44.11	14.14	46.33	162
g25b	49.97	-35.68	-6.03	36.19	190
g50b	51.85	-29.05	-21.88	36.38	217
g75b	46.92	-15.53	-32.37	35.92	244
b00r	37.91	1.15	-38.05	38.08	272
b25r	23.81	27.31	-46.96	54.33	300
b50r	29.52	62.07	-37.87	72.72	329
b75r	36.48	64.24	-3.31	64.33	357



Ein und Ausgabe: Farbmetrisches Drucker-Reflektiv-System FRS15_90aM für relativen CIELAB-Buntton $h^* = lab^*h^* = h_{ab}/360 = 244/360 = 0.679$ $u^* = g75b$
Daten für jede Farbe:
 lab^*ch^* und lab^*icu^*
Elementar-Bunttontext:
 $u^* = g75b$
Kontrastreduzierungsfaktor:
 $c_R = 0.9$
Dreiecks-Helligkeit i^*



FRS15_90aM; adaptierte CIELAB-Daten					
	$L^*=L_a^*$	a_a^*	b_a^*	$C^*_{ab,a}$	$h^*_{ab,a}$
O _{Ma}	35.06	53.93	39.55	66.88	36
Y _{Ma}	83.77	-4.63	98.26	98.37	93
L _{Ma}	44.13	-56.32	43.36	71.09	142
C _{Ma}	52.66	-26.18	-28.74	38.89	228
V _{Ma}	14.15	45.22	-53.06	69.72	310
M _{Ma}	37.37	70.69	-30.1	76.83	337
N _{Ma}	15.0	0.0	0.0	0.0	0
W _{Ma}	90.0	0.0	0.0	0.0	0
R _{CIE}	39.92	58.74	27.99	65.07	25
J _{CIE}	81.26	-2.88	71.56	71.62	92
G _{CIE}	52.23	-42.41	13.6	44.55	162
B _{CIE}	30.57	1.41	-46.46	46.49	272

Daten für Maximalfarbe (Ma):

$LAB^*LAB^*_{Ma}$: 47 -15 -31

$LAB^*LCH^*_{Ma}$: 47 36 244

$lab^*rgb^*_{Ma}$: 0.0 0.5 1.0

$lab^*olv^*_{Ma}$: 0.0 0.85 1.0

Dreiecks-Helligkeit i^*

%Umfang

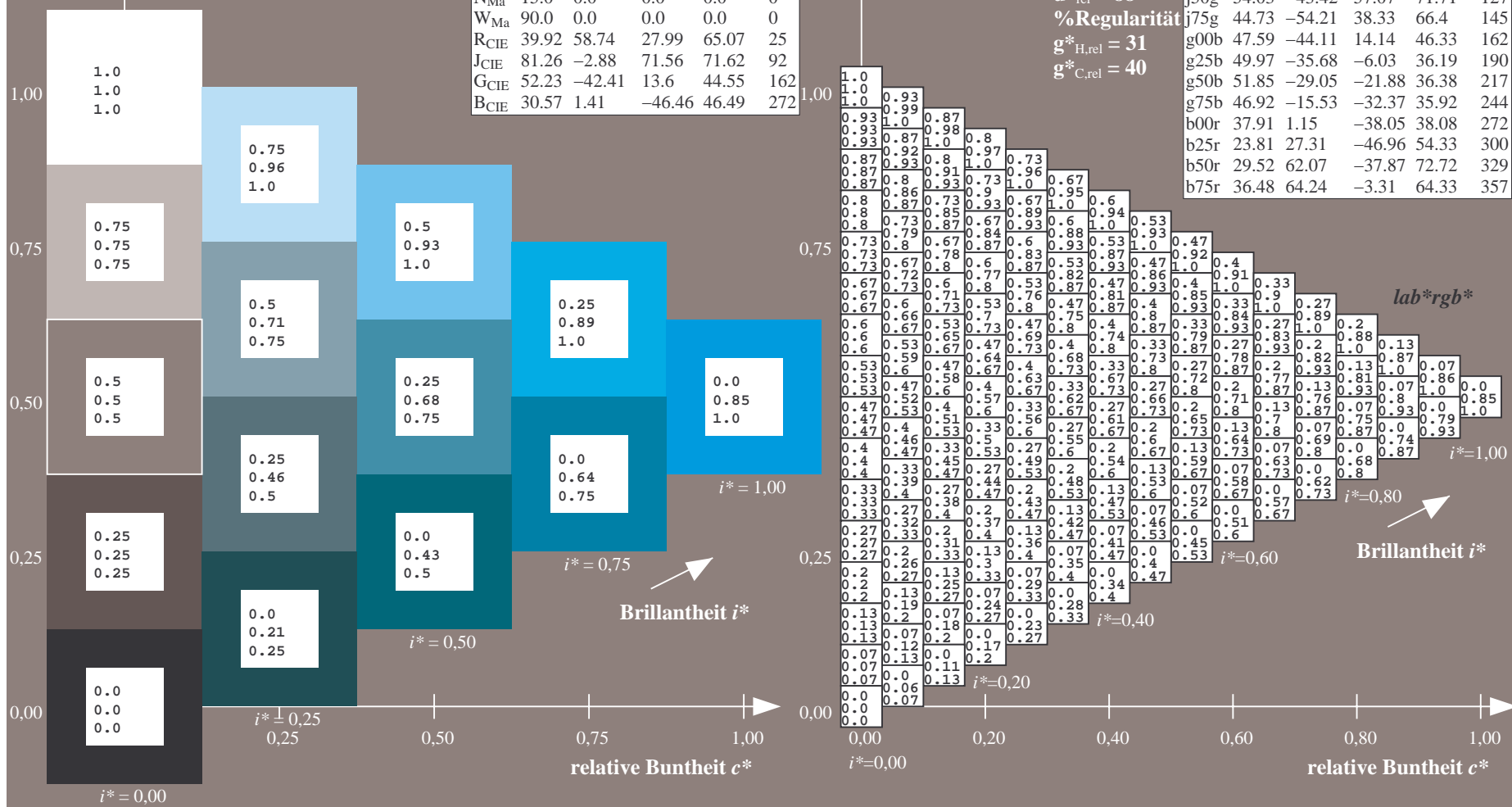
$u^*_{rel} = 88$

%Regularität

$g^*_{H,rel} = 31$

$g^*_{C,rel} = 40$

FRS15_90aM; adaptierte CIELAB-Daten					
	$L^*=L_a^*$	a_a^*	b_a^*	$C^*_{ab,a}$	$h^*_{ab,a}$
r00j	35.47	56.92	27.12	63.05	25
r25j	39.12	49.04	44.45	66.19	42
r50j	50.64	35.19	58.33	68.13	59
r75j	64.01	19.11	74.45	76.87	76
j00g	83.18	-3.93	97.56	97.64	92
j25g	66.73	-26.86	74.66	79.35	110
j50g	54.03	-43.42	57.07	71.71	127
j75g	44.73	-54.21	38.33	66.4	145
g00b	47.59	-44.11	14.14	46.33	162
g25b	49.97	-35.68	-6.03	36.19	190
g50b	51.85	-29.05	-21.88	36.38	217
g75b	46.92	-15.53	-32.37	35.92	244
b00r	37.91	1.15	-38.05	38.08	272
b25r	23.81	27.31	-46.96	54.33	300
b50r	29.52	62.07	-37.87	72.72	329
b75r	36.48	64.24	-3.31	64.33	357



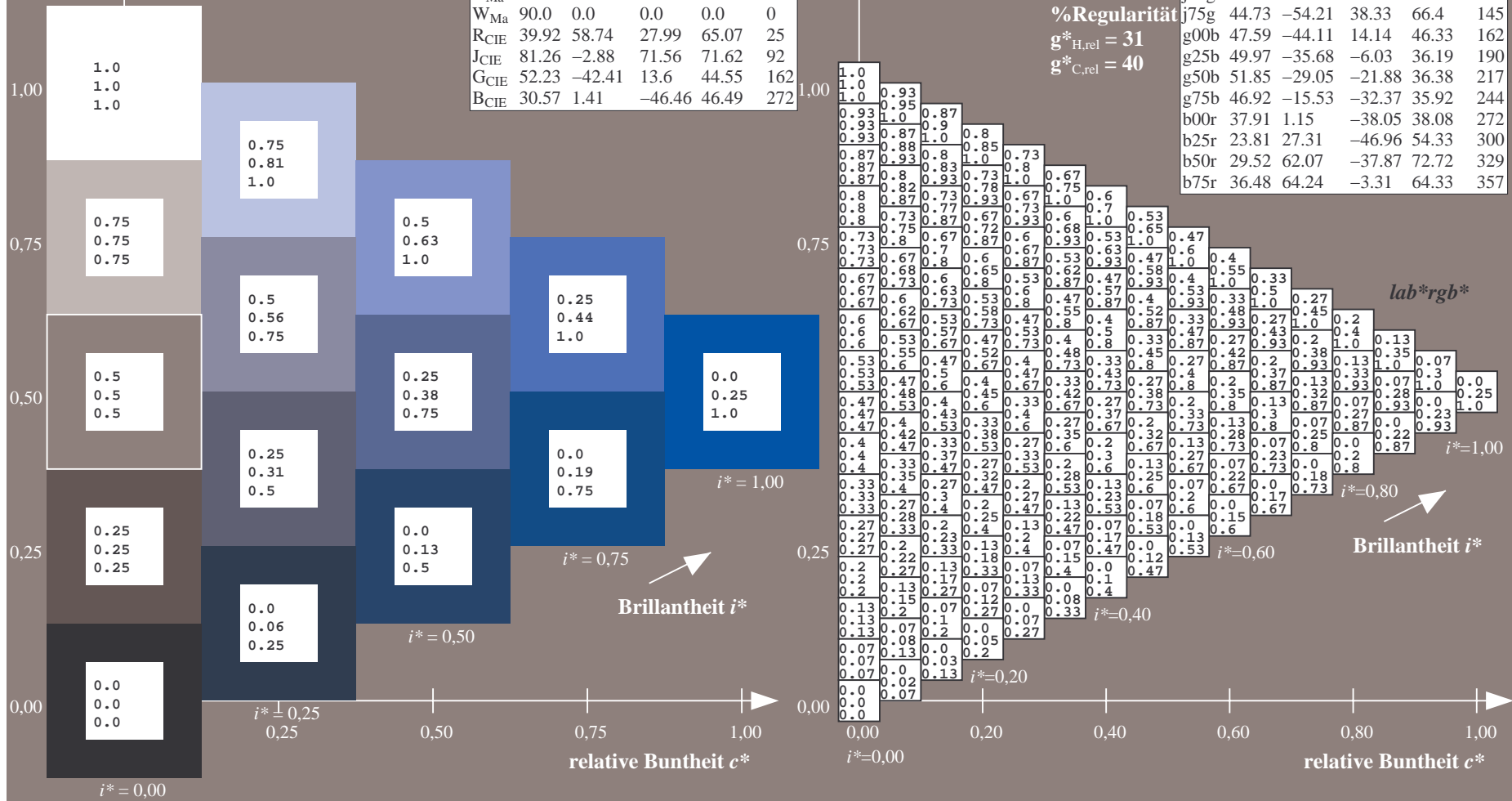
100



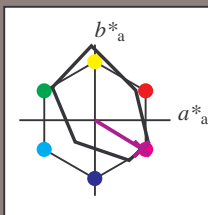
Dreiecks-Helligkeit t^*



b/5r	36.48	64.24	-3.31	64.33	357
------	-------	-------	-------	-------	-----



Ein und Ausgabe: Farbmetrisches Drucker-Reflektiv-System FRS15_90aM für relativen CIELAB-Buntton $h^* = lab^*h^* = h_{ab}/360 = 329/360 = 0.913$ $u^* = b50r$
Daten für jede Farbe:
 lab^*ch^* und lab^*icu^*
Elementar-Bunttontext:
 $u^* = b50r$
Kontrastreduzierungsfaktor:
 $c_R = 0.9$
Dreiecks-Helligkeit i^*



FRS15_90aM; adaptierte CIELAB-Daten					
	$L^*=L_a^*$	a_a^*	b_a^*	$C^*_{ab,a}$	$h^*_{ab,a}$
O _{Ma}	35.06	53.93	39.55	66.88	36
Y _{Ma}	83.77	-4.63	98.26	98.37	93
L _{Ma}	44.13	-56.32	43.36	71.09	142
C _{Ma}	52.66	-26.18	-28.74	38.89	228
V _{Ma}	14.15	45.22	-53.06	69.72	310
M _{Ma}	37.37	70.69	-30.1	76.83	337
N _{Ma}	15.0	0.0	0.0	0.0	0
W _{Ma}	90.0	0.0	0.0	0.0	0
R _{CIE}	39.92	58.74	27.99	65.07	25
J _{CIE}	81.26	-2.88	71.56	71.62	92
G _{CIE}	52.23	-42.41	13.6	44.55	162
B _{CIE}	30.57	1.41	-46.46	46.49	272

Daten für Maximalfarbe (Ma):

$LAB^*LAB^*_{Ma}$: 30 62 -37

$LAB^*LCH^*_{Ma}$: 30 73 329

$lab^*rgb^*_{Ma}$: 1.0 0.0 1.0

$lab^*olv^*_{Ma}$: 0.66 0.0 1.0

Dreiecks-Helligkeit i^*

%Umfang

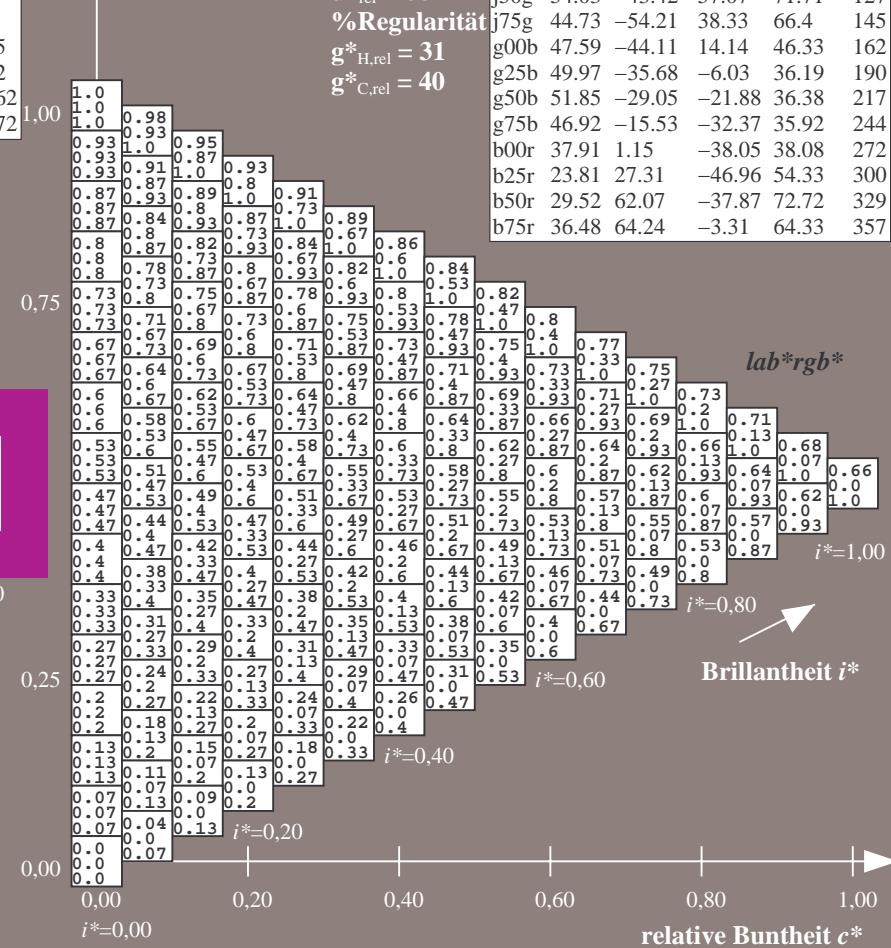
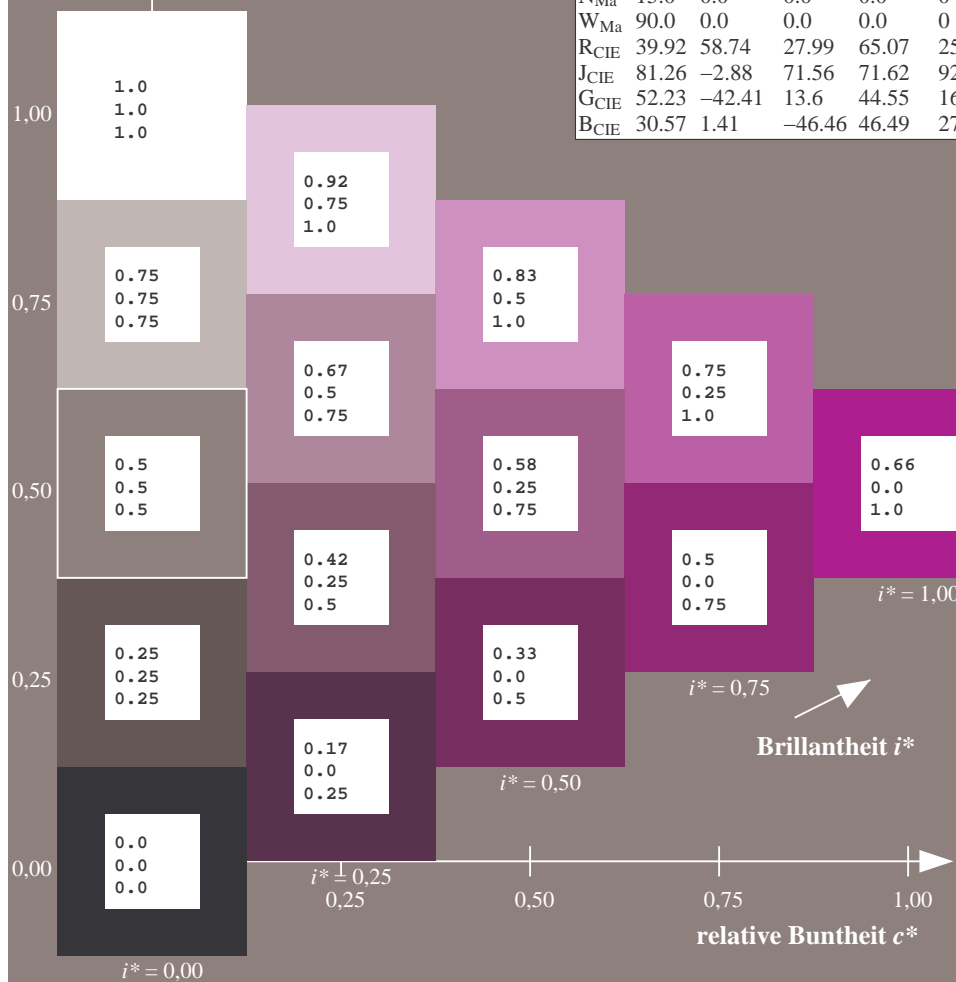
$u^*_{rel} = 88$

%Regularität

$g^*_{H,rel} = 31$

$g^*_{C,rel} = 40$

FRS15_90aM; adaptierte CIELAB-Daten					
	$L^*=L_a^*$	a_a^*	b_a^*	$C^*_{ab,a}$	$h^*_{ab,a}$
r00j	35.47	56.92	27.12	63.05	25
r25j	39.12	49.04	44.45	66.19	42
r50j	50.64	35.19	58.33	68.13	59
r75j	64.01	19.11	74.45	76.87	76
j00g	83.18	-3.93	97.56	97.64	92
j25g	66.73	-26.86	74.66	79.35	110
j50g	54.03	-43.42	57.07	71.71	127
j75g	44.73	-54.21	38.33	66.4	145
g00b	47.59	-44.11	14.14	46.33	162
g25b	49.97	-35.68	-6.03	36.19	190
g50b	51.85	-29.05	-21.88	36.38	217
g75b	46.92	-15.53	-32.37	35.92	244
b00r	37.91	1.15	-38.05	38.08	272
b25r	23.81	27.31	-46.96	54.33	300
b50r	29.52	62.07	-37.87	72.72	329
b75r	36.48	64.24	-3.31	64.33	357



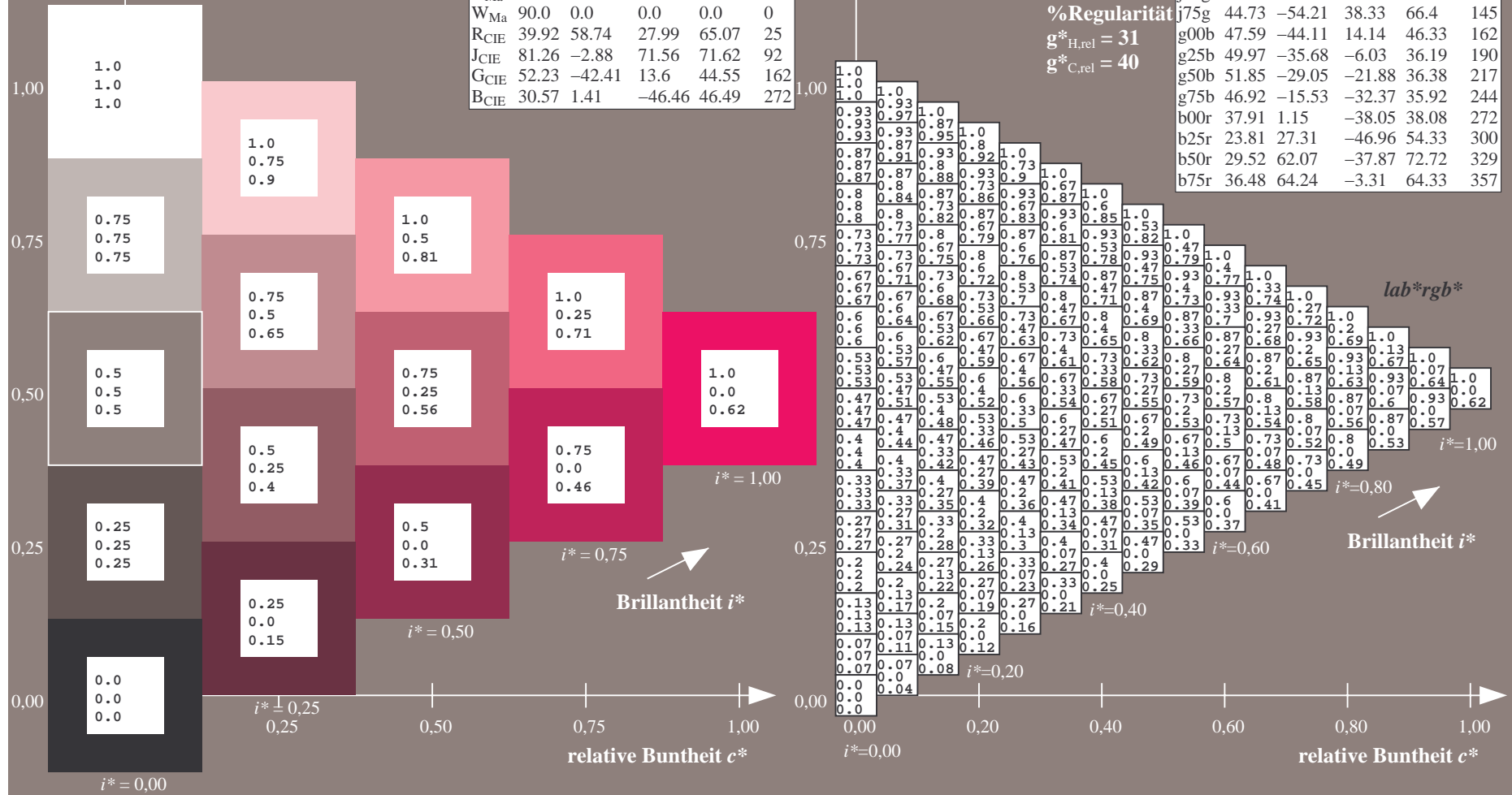
Brooks Houghton



mykcolor

Siehe ähnliche Dateien: <http://www.ps.bam.de/Dg93/>; www.ps.bam.de/Dg.HTM
Technische Information: <http://www.ps.bam.de> Version 2.1, io=1, ColSp=0

BAM-Registrierung: 20080701-Dg93/10L/L93G00NA.PS/ .TXTBAM-Material: Code=rha4ta
Anwendung für Beurteilung und Messung von Drucker- oder Monitorsystemen

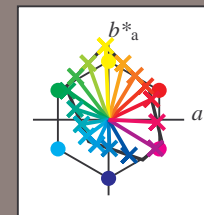


Siehe ähnliche Dateien: <http://www.ps.bam.de/Dg93/>; www.ps.bam.de/Dg.HTM
Technische Information: <http://www.ps.bam.de> Version 2.1, io=1,1, ColSp=0

	A	B	C	D	E	F	G	H	I	J	K	L	M	N	O	P	Q	R	S	T	U	V	W	X	Y	Z	a	b	c	d	e	f	g	h	i	j	k	lab*rgb*				
01	0.0	0.0	0.0	0.0	0.0	0.0	0.0	0.0	0.0	0.13	0.13	0.13	0.13	0.13	0.13	0.13	0.13	0.13	0.25	0.25	0.25	0.25	0.25	0.25	0.25	0.25	0.25	0.25	1.0	1.0	1.0	1.0	1.0	1.0	1.0	1.0	1.0	1.0	0.0	0.0	0.0	
	0.0	0.13	0.25	0.38	0.5	0.63	0.75	0.88	1.0	0.0	0.13	0.25	0.38	0.5	0.63	0.75	0.88	1.0	0.0	0.13	0.25	0.38	0.5	0.63	0.75	0.88	1.0	0.0	1.0	0.88	0.75	0.63	0.5	0.38	0.25	0.13	0.0	0.0	0.0	0.0	0.0	
	0.0	0.0	0.0	0.0	0.0	0.0	0.0	0.0	0.0	0.0	0.0	0.0	0.0	0.0	0.0	0.0	0.0	0.0	0.0	0.0	0.0	0.0	0.0	0.0	0.0	0.0	0.0	1.0	1.0	0.88	0.75	0.63	0.5	0.38	0.25	0.13	0.0	0.0	0.0	0.0	0.0	
02	0.0	0.0	0.0	0.0	0.0	0.0	0.0	0.0	0.0	0.13	0.13	0.13	0.13	0.13	0.13	0.13	0.13	0.13	0.25	0.25	0.25	0.25	0.25	0.25	0.25	0.25	0.25	0.25	0.88	0.88	0.88	0.88	0.88	0.88	0.88	0.88	0.88	0.88	0.13	0.13	0.13	0.13
	0.0	0.13	0.25	0.38	0.5	0.63	0.75	0.88	1.0	0.0	0.13	0.25	0.38	0.5	0.63	0.75	0.88	1.0	0.0	0.13	0.25	0.38	0.5	0.63	0.75	0.88	1.0	0.0	1.0	0.88	0.75	0.63	0.5	0.38	0.25	0.13	0.0	0.13	0.13	0.13	0.13	
	0.13	0.13	0.13	0.13	0.13	0.13	0.13	0.13	0.13	0.13	0.13	0.13	0.13	0.13	0.13	0.13	0.13	0.13	0.13	0.13	0.13	0.13	0.13	0.13	0.13	0.13	0.13	1.0	0.88	0.75	0.63	0.5	0.38	0.25	0.13	0.0	0.13	0.13	0.13	0.13		
03	0.0	0.0	0.0	0.0	0.0	0.0	0.0	0.0	0.0	0.13	0.13	0.13	0.13	0.13	0.13	0.13	0.13	0.13	0.25	0.25	0.25	0.25	0.25	0.25	0.25	0.25	0.25	0.25	0.75	0.75	0.75	0.75	0.75	0.75	0.75	0.75	0.75	0.75	0.25	0.25	0.25	0.25
	0.0	0.13	0.25	0.38	0.5	0.63	0.75	0.88	1.0	0.0	0.13	0.25	0.38	0.5	0.63	0.75	0.88	1.0	0.0	0.13	0.25	0.38	0.5	0.63	0.75	0.88	1.0	0.0	1.0	0.88	0.75	0.63	0.5	0.38	0.25	0.13	0.0	0.25	0.25	0.25	0.25	
	0.25	0.25	0.25	0.25	0.25	0.25	0.25	0.25	0.25	0.25	0.25	0.25	0.25	0.25	0.25	0.25	0.25	0.25	0.25	0.25	0.25	0.25	0.25	0.25	0.25	0.25	0.25	1.0	0.88	0.75	0.63	0.5	0.38	0.25	0.13	0.0	0.25	0.25	0.25	0.25		
04	0.0	0.0	0.0	0.0	0.0	0.0	0.0	0.0	0.0	0.13	0.13	0.13	0.13	0.13	0.13	0.13	0.13	0.13	0.25	0.25	0.25	0.25	0.25	0.25	0.25	0.25	0.25	0.25	0.63	0.63	0.63	0.63	0.63	0.63	0.63	0.63	0.63	0.63	0.38	0.38	0.38	0.38
	0.0	0.13	0.25	0.38	0.5	0.63	0.75	0.88	1.0	0.0	0.13	0.25	0.38	0.5	0.63	0.75	0.88	1.0	0.0	0.13	0.25	0.38	0.5	0.63	0.75	0.88	1.0	0.0	1.0	0.88	0.75	0.63	0.5	0.38	0.25	0.13	0.0	0.38	0.38	0.38	0.38	
	0.38	0.38	0.38	0.38	0.38	0.38	0.38	0.38	0.38	0.38	0.38	0.38	0.38	0.38	0.38	0.38	0.38	0.38	0.38	0.38	0.38	0.38	0.38	0.38	0.38	0.38	0.38	1.0	0.88	0.75	0.63	0.5	0.38	0.25	0.13	0.0	0.38	0.38	0.38	0.38		
05	0.0	0.0	0.0	0.0	0.0	0.0	0.0	0.0	0.0	0.13	0.13	0.13	0.13	0.13	0.13	0.13	0.13	0.13	0.25	0.25	0.25	0.25	0.25	0.25	0.25	0.25	0.25	0.25	0.5	0.5	0.5	0.5	0.5	0.5	0.5	0.5	0.5	0.5	0.5	0.5	0.5	0.5
	0.0	0.13	0.25	0.38	0.5	0.63	0.75	0.88	1.0	0.0	0.13	0.25	0.38	0.5	0.63	0.75	0.88	1.0	0.0	0.13	0.25	0.38	0.5	0.63	0.75	0.88	1.0	0.0	1.0	0.88	0.75	0.63	0.5	0.38	0.25	0.13	0.0	0.5	0.5	0.5	0.5	
	0.5	0.5	0.5	0.5	0.5	0.5	0.5	0.5	0.5	0.5	0.5	0.5	0.5	0.5	0.5	0.5	0.5	0.5	0.5	0.5	0.5	0.5	0.5	0.5	0.5	0.5	0.5	1.0	0.88	0.75	0.63	0.5	0.38	0.25	0.13	0.0	0.5	0.5	0.5	0.5		
06	0.0	0.0	0.0	0.0	0.0	0.0	0.0	0.0	0.0	0.13	0.13	0.13	0.13	0.13	0.13	0.13	0.13	0.13	0.25	0.25	0.25	0.25	0.25	0.25	0.25	0.25	0.25	0.25	0.38	0.38	0.38	0.38	0.38	0.38	0.38	0.38	0.38	0.38	0.63	0.63	0.63	0.63
	0.0	0.13	0.25	0.38	0.5	0.63	0.75	0.88	1.0	0.0	0.13	0.25	0.38	0.5	0.63	0.75	0.88	1.0	0.0	0.13	0.25	0.38	0.5	0.63	0.75	0.88	1.0	0.0	1.0	0.88	0.75	0.63	0.5	0.38	0.25	0.13	0.0	0.63	0.63	0.63	0.63	
	0.63	0.63	0.63	0.63	0.63	0.63	0.63	0.63	0.63	0.63	0.63	0.63	0.63	0.63	0.63	0.63	0.63	0.63	0.63	0.63	0.63	0.63	0.63	0.63	0.63	0.63	0.63	1.0	0.88	0.75	0.63	0.5	0.38	0.25	0.13	0.0	0.63	0.63	0.63	0.63		
07	0.0	0.0	0.0	0.0	0.0	0.0	0.0	0.0	0.0	0.13	0.13	0.13	0.13	0.13	0.13	0.13	0.13	0.13	0.25	0.25	0.25	0.25	0.25	0.25	0.25	0.25	0.25	0.25	0.25	0.25	0.25	0.25	0.25	0.25	0.25	0.25	0.25	0.75	0.75	0.75	0.75	
	0.0	0.13	0.25	0.38	0.5	0.63	0.75	0.88	1.0	0.0	0.13	0.25	0.38	0.5	0.63	0.75	0.88	1.0	0.0	0.13	0.25	0.38	0.5	0.63	0.75	0.88	1.0	0.0	1.0	0.88	0.75	0.63	0.5	0.38	0.25	0.13	0.0	0.75	0.75	0.75	0.75	
	0.75	0.75	0.75	0.75	0.75	0.75	0.75	0.75	0.75	0.75	0.75	0.75	0.75	0.75	0.75	0.75	0.75	0.75	0.75	0.75	0.75	0.75	0.75	0.75	0.75	0.75	0.75	1.0	0.88	0.75	0.63	0.5	0.38	0.25	0.13	0.0	0.75	0.75	0.75	0.75		
08	0.0	0.0	0.0	0.0	0.0	0.0	0.0	0.0	0.0	0.13	0.13	0.13	0.13	0.13	0.13	0.13	0.13	0.13	0.25	0.25	0.25	0.25	0.25	0.25	0.25	0.25	0.25	0.25	0.25	0.25	0.25	0.25	0.25	0.25	0.25	0.25	0.25	0.88	0.88	0.88	0.88	
	0.0	0.13	0.25	0.38	0.5	0.63	0.75	0.88	1.0	0.0	0.13	0.25	0.38	0.5	0.63	0.75	0.88	1.0	0.0	0.13	0.25	0.38	0.5	0.63	0.75	0.88	1.0	0.0	1.0	0.88	0.75	0.63	0.5	0.38	0.25	0.13	0.0	0.88	0.88	0.88	0.88	
	0.88	0.88	0.88	0.88	0.88	0.88	0.88	0.88	0.88	0.88	0.88	0.88	0.88	0.88	0.88	0.88	0.88	0.88	0.88	0.88	0.88	0.88	0.88	0.88	0.88	0.88	0.88	1.0	0.88	0.75	0.63	0.5	0.38	0.25	0.13	0.0	0.88	0.88	0.88	0.88		
09	0.0	0.0	0.0	0.0	0.0	0.0	0.0	0.0	0.0	0.13	0.13	0.13	0.13	0.13	0.13	0.13	0.13	0.13	0.25	0.25	0.25	0.25	0.25	0.25	0.25	0.25	0.25	0.25	0.0	0.0	0.0	0.0	0.0	0.0	0.0	0.0	1.0	1.0	1.0	1.0		
	0.0	0.13	0.25	0.38	0.5	0.63	0.75	0.88	1.0	0.0	0.13	0.25	0.38	0.5	0.63	0.75	0.88	1.0	0.0	0.13	0.25	0.38	0.5	0.63	0.75	0.88	1.0	0.0	1.0	0.88	0.75	0.63	0.5	0.38	0.25	0.13	0.0	1.0	1.0	1.0	1.0	
	1.0	1.0	1.0	1.0	1.0	1.0	1.0	1.0	1.0	1.0	1.0	1.0	1.0	1.0	1.0	1.0	1.0	1.0	1.0	1.0	1.0	1.0	1.0	1.0	1.0	1.0	1.0	1.0	1.0	0.88	0.75	0.63	0.5	0.38	0.25	0.13	0.0	1.0	1.0	1.0	1.0	
10	0.38	0.38	0.38	0.38	0.38	0.38	0.38	0.38	0.38	0.5	0.5	0.5	0.5	0.5	0.5	0.5	0.5	0.5	0.63	0.63	0.63	0.63	0.63	0.63	0.63	0.63	0.63	0.63	1.0	1.0	1.0	1.0	1.0	1.0	1.0	1.0	1.0	1.0	0.0	0.0	0.0	0.0
	0.13	0.25	0.38	0.5	0.63	0.75	0.88	1.0	0.0	0.13	0.25	0.38	0.5	0.63	0.75	0.88	1.0	0.0	0.13	0.25	0.38	0.5	0.63	0.75	0.88	1.0	0.0	1.0	0.88	0.75	0.63	0.5	0.38	0.25	0.13	0.0	0.0	0.0	0.0	0.0	0.0	0.0
	0.38	0.38	0.38	0.38	0.38	0.38	0.38	0.38	0.38	0.5	0.5	0.5	0.5	0.5	0.5	0.5	0.5	0.5	0.63	0.63	0.63	0.63	0.63	0.63	0.63	0.63	0.63	0.63	1.0	0.88	0.75	0.63	0.5	0.38	0.25	0.13	0.0	0.0	0.0	0.0	0.0	
11	0.13	0.13	0.13	0.13	0.13	0.13	0.13	0.13	0.13	0.13	0.13	0.13	0.13	0.13	0.13	0.13	0.13	0.13	0.13	0.13	0.13	0.13	0.13	0.13	0.13	0.13	0.13	1.0	0.88	0.75	0.63	0.5	0.38	0.25	0.13	0.0	0.07	0.07	0.07	0.07		
	0.38	0.38	0.38	0.38	0.38	0.38	0.38	0.38	0.38	0.5	0.5	0.5	0.5	0.5	0.5	0.5	0.5	0.5	0.63	0.63	0.63	0.63	0.63	0.63	0.63	0.63	0.63	0.63	1.0	0.88	0.75	0.63	0.5	0.38	0.25	0.13	0.0	0.07	0.07	0.07	0.07	
	0.13	0.13	0.13	0.13	0.13	0.13	0.13	0.13	0.13	0.13	0.13	0.13	0.13	0.13	0.13	0.13	0.13	0.13	0.13	0.13	0.13	0.13	0.13	0.13	0.13	0.13	0.13	1.0	0.88	0.75	0.63	0.5	0.38	0.25	0.13	0.0	0.07	0.07	0.07	0.07		
12	0.38	0.38	0.38	0.38	0.38	0.38	0.38	0.38	0.38	0.5	0.5	0.5	0.5	0.5	0.5	0.5	0.5	0.5	0.63	0																						

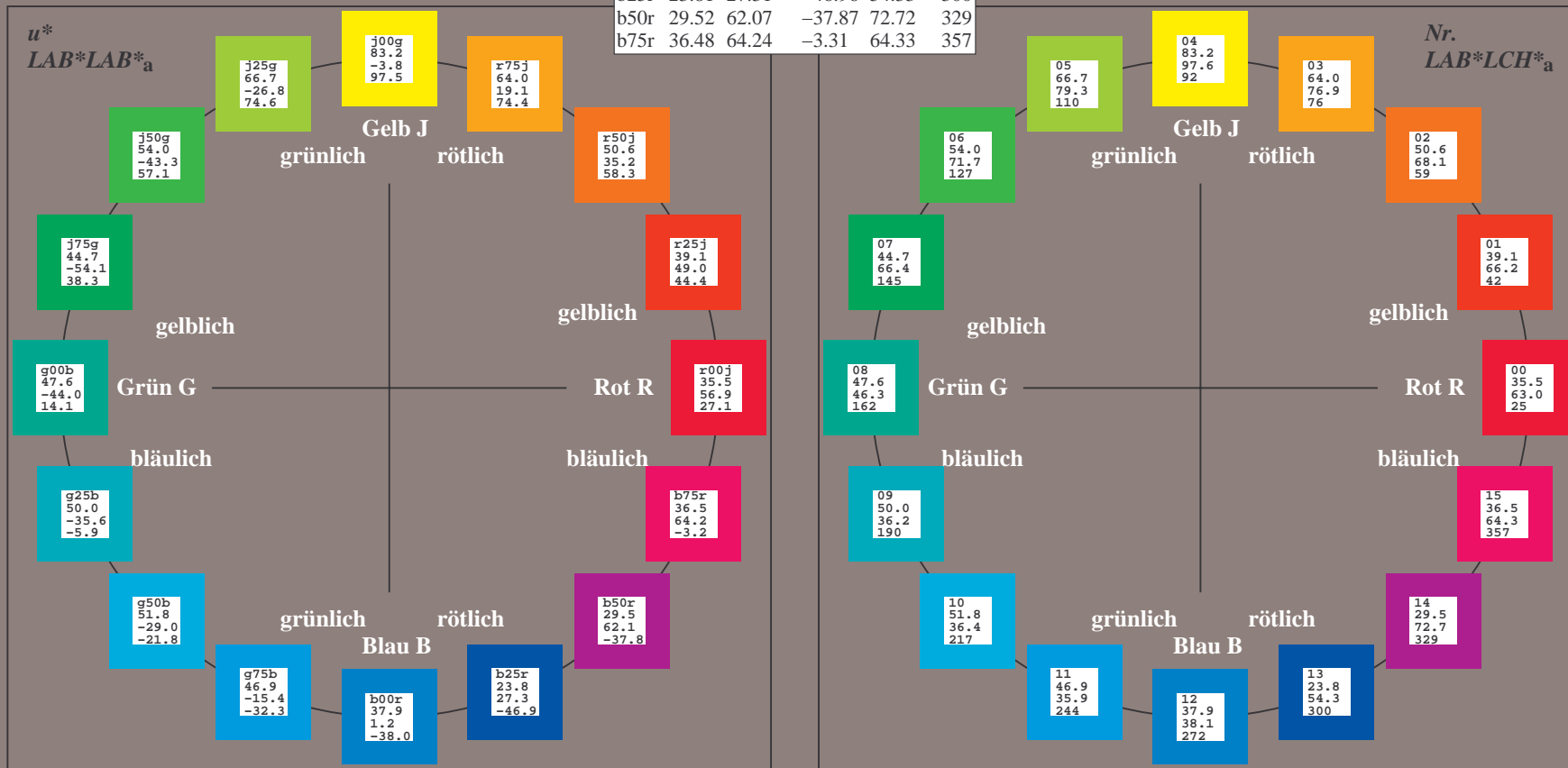
Ein und Ausgabe:
Farbmetrisches Drucker-Reflektiv-System FRS15_90aM
Daten für jede Farbe:
*lab*_{rch}** und *lab*_{icu}**
Elementar-Bunttontext:
*u** = 16 Bunttöne *r00j*, *r25j*, ..., *b75r*
Kontrastreduzierungsfaktor:
c_R = 0.9

FRS15_90aM; adaptierte CIELAB-Daten					
	<i>L*</i> = <i>L*</i> _a	<i>a*</i> _a	<i>b*</i> _a	<i>C*</i> _{ab,a}	<i>h*</i> _{ab,a}
r00j	35.47	56.92	27.12	63.05	25
r25j	39.12	49.04	44.45	66.19	42
r50j	50.64	35.19	58.33	68.13	59
r75j	64.01	19.11	74.45	76.87	76
j00g	83.18	-3.93	97.56	97.64	92
j25g	66.73	-26.86	74.66	79.35	110
j50g	54.03	-43.42	57.07	71.71	127
j75g	44.73	-54.21	38.33	66.4	145
g00b	47.59	-44.11	14.14	46.33	162
g25b	49.97	-35.68	-6.03	36.19	190
g50b	51.85	-29.05	-21.88	36.38	217
g75b	46.92	-15.53	-32.37	35.92	244
b00r	37.91	1.15	-38.05	38.08	272
b25r	23.81	27.31	-46.96	54.33	300
b50r	29.52	62.07	-37.87	72.72	329
b75r	36.48	64.24	-3.31	64.33	357



%Umfang
*u**_{rel} = 88
%Regularität
*g**_{H,rel} = 31
*g**_{C,rel} = 40

FRS15_90aM; adaptierte CIELAB-Daten					
	<i>L*</i> = <i>L*</i> _a	<i>a*</i> _a	<i>b*</i> _a	<i>C*</i> _{ab,a}	<i>h*</i> _{ab,a}
OMa	35.06	53.93	39.55	66.88	36
YMa	83.77	-4.63	98.26	98.37	93
LMa	44.13	-56.32	43.36	71.09	142
CMa	52.66	-26.18	-28.74	38.89	228
VMa	14.15	45.22	-53.06	69.72	310
MMa	37.37	70.69	-30.1	76.83	337
NMa	15.0	0.0	0.0	0.0	0
WMa	90.0	0.0	0.0	0.0	0
RCIE	39.92	58.74	27.99	65.07	25
JCIE	81.26	-2.88	71.56	71.62	92
GCIE	52.23	-42.41	13.6	44.55	162
BCIE	30.57	1.41	-46.46	46.49	272



Ein und Ausgabe: Farbmetrisches Drucker-Reflektiv-System FRS15_90aM für relativen CIELAB-Buntton $h^* = lab^*h^* = h_{ab}/360 = 25/360 = 0.071$ $u^* = r00j$

Daten für jede Farbe:

lab^*tch^* und lab^*icu^*

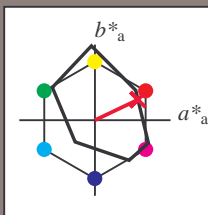
Elementar-Bunttontext:

$u^* = r00j$

Kontrastreduzierungsfaktor:

$c_R = 0.9$

Dreiecks-Helligkeit t^*



FRS15_90aM; adaptierte CIELAB-Daten

	$L^*=L_a^*$	a^*_a	b^*_a	$C^*_{ab,a}$	$h^*_{ab,a}$
O _{Ma}	35.06	53.93	39.55	66.88	36
Y _{Ma}	83.77	-4.63	98.26	98.37	93
L _{Ma}	44.13	-56.32	43.36	71.09	142
C _{Ma}	52.66	-26.18	-28.74	38.89	228
V _{Ma}	14.15	45.22	-53.06	69.72	310
M _{Ma}	37.37	70.69	-30.1	76.83	337
N _{Ma}	15.0	0.0	0.0	0.0	0
W _{Ma}	90.0	0.0	0.0	0.0	0
R _{CIE}	39.92	58.74	27.99	65.07	25
J _{CIE}	81.26	-2.88	71.56	71.62	92
G _{CIE}	52.23	-42.41	13.6	44.55	162
B _{CIE}	30.57	1.41	-46.46	46.49	272

Daten für Maximalfarbe (Ma):

$LAB^*LAB^*_{Ma}$: 35 57 27

$LAB^*LCH^*_{Ma}$: 35 63 25

$lab^*rgb^*_{Ma}$: 1.0 0.0 0.0

$lab^*olv^*_{Ma}$: 1.0 0.0 0.18

Dreiecks-Helligkeit t^*

%Umfang

$u^*_{rel} = 88$

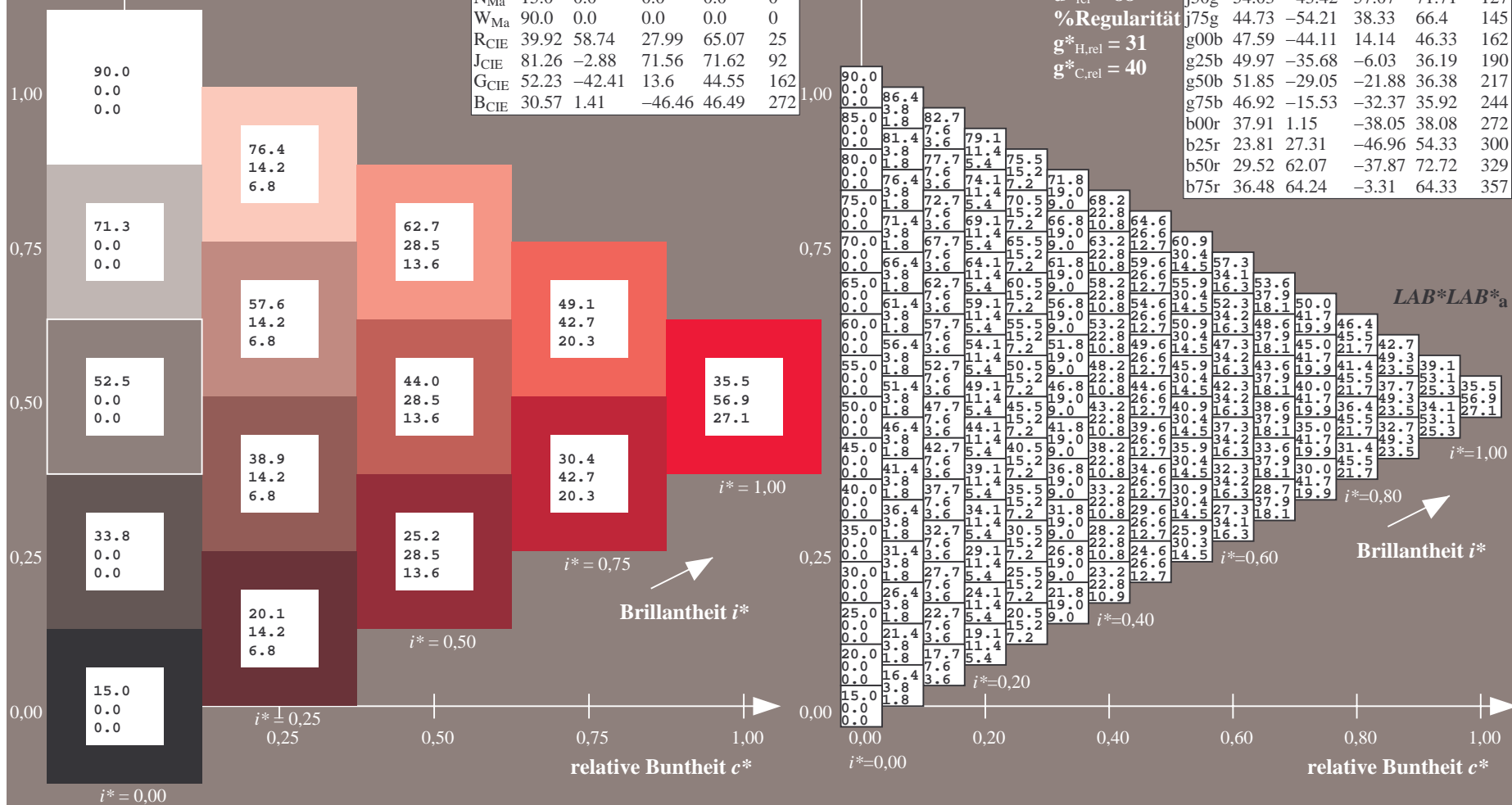
%Regularität

$g^*_{H,rel} = 31$

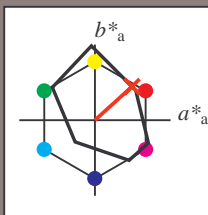
$g^*_{C,rel} = 40$

FRS15_90aM; adaptierte CIELAB-Daten

	$L^*=L_a^*$	a^*_a	b^*_a	$C^*_{ab,a}$	$h^*_{ab,a}$
r00j	35.47	56.92	27.12	63.05	25
r25j	39.12	49.04	44.45	66.19	42
r50j	50.64	35.19	58.33	68.13	59
r75j	64.01	19.11	74.45	76.87	76
j00g	83.18	-3.93	97.56	97.64	92
j25g	66.73	-26.86	74.66	79.35	110
j50g	54.03	-43.42	57.07	71.71	127
j75g	44.73	-54.21	38.33	66.4	145
g00b	47.59	-44.11	14.14	46.33	162
g25b	49.97	-35.68	-6.03	36.19	190
g50b	51.85	-29.05	-21.88	36.38	217
g75b	46.92	-15.53	-32.37	35.92	244
b00r	37.91	1.15	-38.05	38.08	272
b25r	23.81	27.31	-46.96	54.33	300
b50r	29.52	62.07	-37.87	72.72	329
b75r	36.48	64.24	-3.31	64.33	357



Ein und Ausgabe: Farbmetrisches Drucker-Reflektiv-System FRS15_90aM für relativen CIELAB-Buntton $h^* = lab^*h^* = h_{ab}/360 = 42/360 = 0.117$ $u^* = r25j$
Daten für jede Farbe:
 lab^*ch^* und lab^*icu^*
Elementar-Bunttontext:
 $u^* = r25j$
Kontrastreduzierungsfaktor:
 $c_R = 0.9$
Dreiecks-Helligkeit i^*



FRS15_90aM; adaptierte CIELAB-Daten					
	$L^*=L^*_a$	a^*_a	b^*_a	$C^*_{ab,a}$	$h^*_{ab,a}$
O _{Ma}	35.06	53.93	39.55	66.88	36
Y _{Ma}	83.77	-4.63	98.26	98.37	93
L _{Ma}	44.13	-56.32	43.36	71.09	142
C _{Ma}	52.66	-26.18	-28.74	38.89	228
V _{Ma}	14.15	45.22	-53.06	69.72	310
M _{Ma}	37.37	70.69	-30.1	76.83	337
N _{Ma}	15.0	0.0	0.0	0.0	0
W _{Ma}	90.0	0.0	0.0	0.0	0
R _{CIE}	39.92	58.74	27.99	65.07	25
J _{CIE}	81.26	-2.88	71.56	71.62	92
G _{CIE}	52.23	-42.41	13.6	44.55	162
B _{CIE}	30.57	1.41	-46.46	46.49	272

Daten für Maximalfarbe (Ma):

$LAB^*LAB^*_{Ma}$: 39 49 44

$LAB^*LCH^*_{Ma}$: 39 66 42

$lab^*rgb^*_{Ma}$: 1.0 0.25 0.0

$lab^*olv^*_{Ma}$: 1.0 0.08 0.0

Dreiecks-Helligkeit i^*

%Umfang

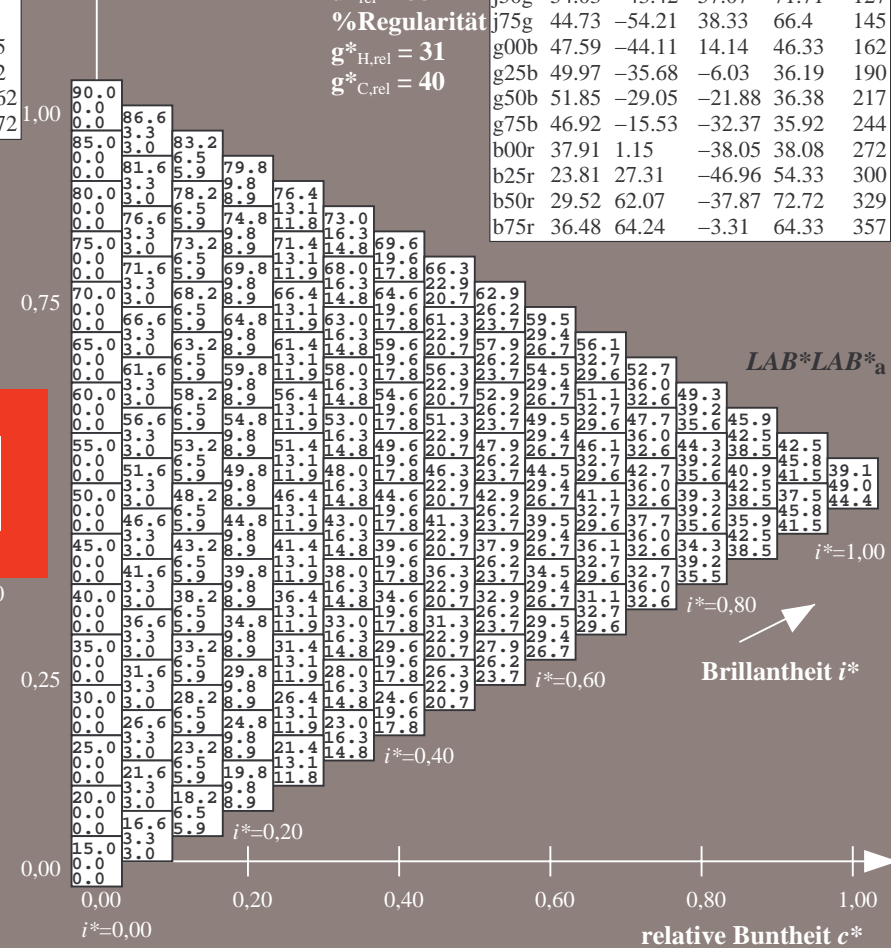
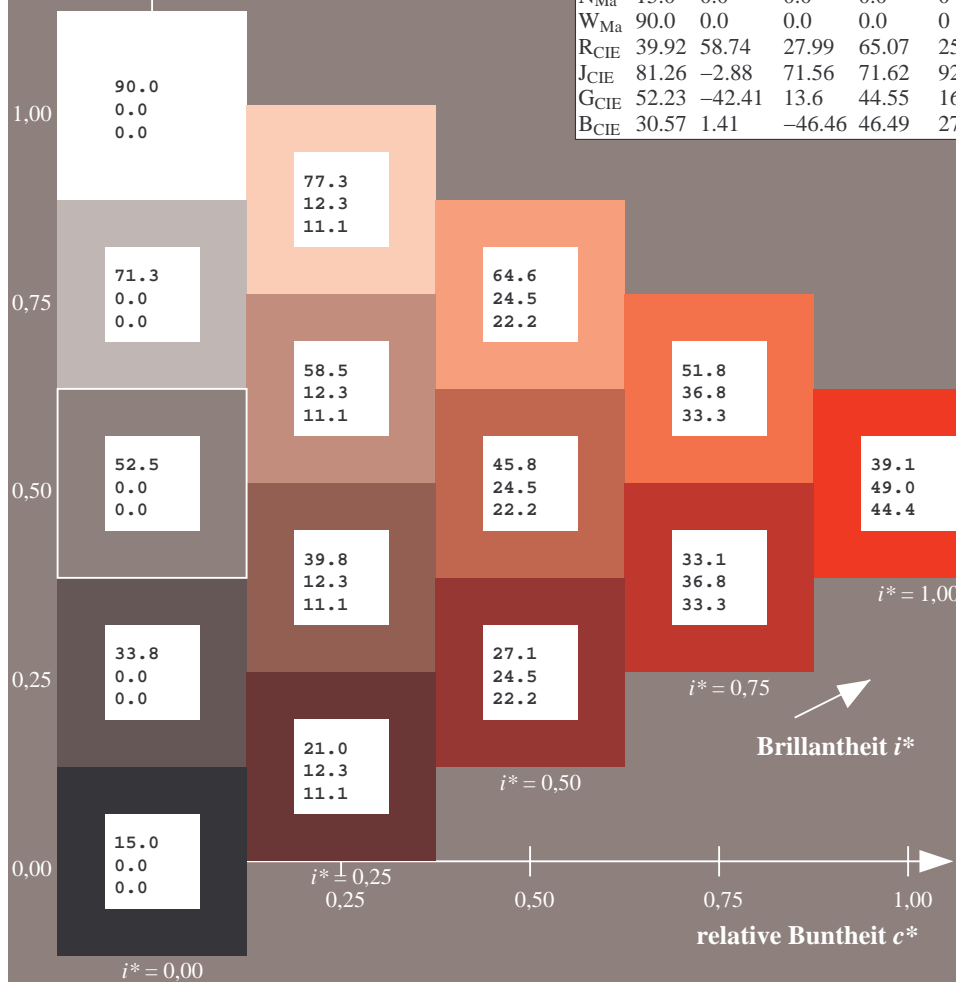
$u^*_{rel} = 88$

%Regularität

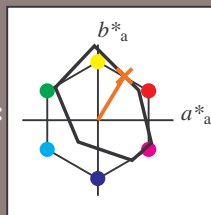
$g^*_{H,rel} = 31$

$g^*_{C,rel} = 40$

FRS15_90aM; adaptierte CIELAB-Daten					
	$L^*=L^*_a$	a^*_a	b^*_a	$C^*_{ab,a}$	$h^*_{ab,a}$
r00j	35.47	56.92	27.12	63.05	25
r25j	39.12	49.04	44.45	66.19	42
r50j	50.64	35.19	58.33	68.13	59
r75j	64.01	19.11	74.45	76.87	76
j00g	83.18	-3.93	97.56	97.64	92
j25g	66.73	-26.86	74.66	79.35	110
j50g	54.03	-43.42	57.07	71.71	127
j75g	44.73	-54.21	38.33	66.4	145
g00b	47.59	-44.11	14.14	46.33	162
g25b	49.97	-35.68	-6.03	36.19	190
g50b	51.85	-29.05	-21.88	36.38	217
g75b	46.92	-15.53	-32.37	35.92	244
b00r	37.91	1.15	-38.05	38.08	272
b25r	23.81	27.31	-46.96	54.33	300
b50r	29.52	62.07	-37.87	72.72	329
b75r	36.48	64.24	-3.31	64.33	357



Ein und Ausgabe: Farbmetrisches Drucker-Reflektiv-System FRS15_90aM für relativen CIELAB-Buntton $h^* = lab^*h^* = h_{ab}/360 = 59/360 = 0.164$ $u^* = r50j$
Daten für jede Farbe:
 lab^*tch^* und lab^*icu^*
Elementar-Bunttontext:
 $u^* = r50j$
Kontrastreduzierungsfaktor:
 $c_R = 0.9$
Dreiecks-Helligkeit t^*



FRS15_90aM; adaptierte CIELAB-Daten					
	$L^*=L_a^*$	a_a^*	b_a^*	$C^*_{ab,a}$	$h^*_{ab,a}$
O _{Ma}	35.06	53.93	39.55	66.88	36
Y _{Ma}	83.77	-4.63	98.26	98.37	93
L _{Ma}	44.13	-56.32	43.36	71.09	142
C _{Ma}	52.66	-26.18	-28.74	38.89	228
V _{Ma}	14.15	45.22	-53.06	69.72	310
M _{Ma}	37.37	70.69	-30.1	76.83	337
N _{Ma}	15.0	0.0	0.0	0.0	0
W _{Ma}	90.0	0.0	0.0	0.0	0
R _{CIE}	39.92	58.74	27.99	65.07	25
J _{CIE}	81.26	-2.88	71.56	71.62	92
G _{CIE}	52.23	-42.41	13.6	44.55	162
B _{CIE}	30.57	1.41	-46.46	46.49	272

Daten für Maximalfarbe (Ma):

$LAB^*LAB^*_{Ma}$: 51 35 58

$LAB^*LCH^*_{Ma}$: 51 68 59

$lab^*rgb^*_{Ma}$: 1.0 0.5 0.0

$lab^*olv^*_{Ma}$: 1.0 0.32 0.0

Dreiecks-Helligkeit t^*

%Umfang

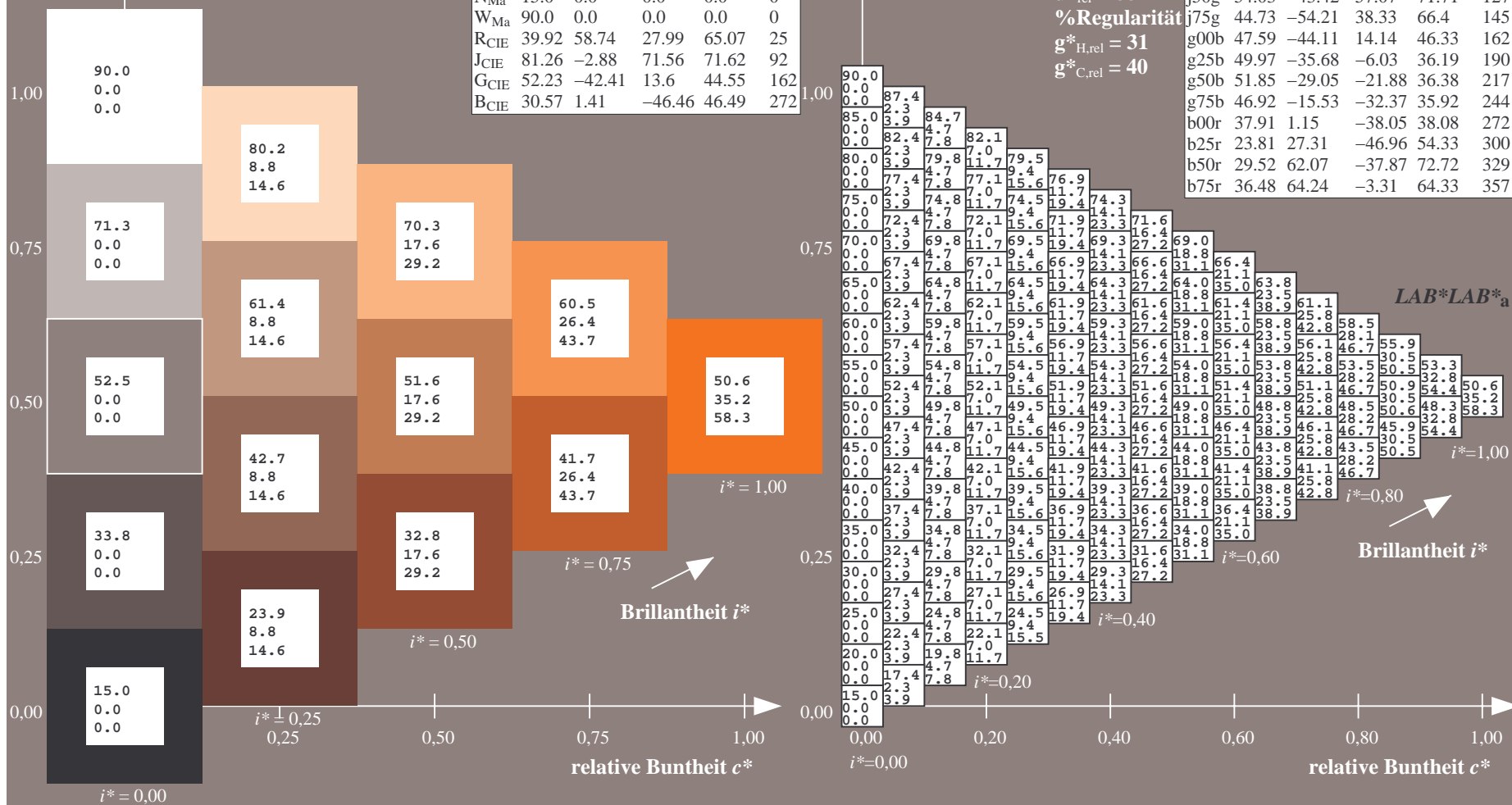
$u^*_{rel} = 88$

%Regularität

$g^*_{H,rel} = 31$

$g^*_{C,rel} = 40$

FRS15_90aM; adaptierte CIELAB-Daten					
	$L^*=L_a^*$	a_a^*	b_a^*	$C^*_{ab,a}$	$h^*_{ab,a}$
r00j	35.47	56.92	27.12	63.05	25
r25j	39.12	49.04	44.45	66.19	42
r50j	50.64	35.19	58.33	68.13	59
r75j	64.01	19.11	74.45	76.87	76
j00g	83.18	-3.93	97.56	97.64	92
j25g	66.73	-26.86	74.66	79.35	110
j50g	54.03	-43.42	57.07	71.71	127
j75g	44.73	-54.21	38.33	66.4	145
g00b	47.59	-44.11	14.14	46.33	162
g25b	49.97	-35.68	-6.03	36.19	190
g50b	51.85	-29.05	-21.88	36.38	217
g75b	46.92	-15.53	-32.37	35.92	244
b00r	37.91	1.15	-38.05	38.08	272
b25r	23.81	27.31	-46.96	54.33	300
b50r	29.52	62.07	-37.87	72.72	329
b75r	36.48	64.24	-3.31	64.33	357



Ein und Ausgabe: Farbmetrisches Drucker-Reflektiv-System FRS15_90aM für relativen CIELAB-Buntton $h^* = lab^*h^* = h_{ab}/360 = 76/360 = 0.21$ $u^* = r75j$

Daten für jede Farbe:

lab^*ch^* und lab^*icu^*

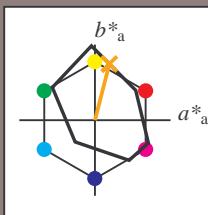
Elementar-Bunttontext:

$u^* = r75j$

Kontrastreduzierungsfaktor:

$c_R = 0.9$

Dreiecks-Helligkeit i^*



FRS15_90aM; adaptierte CIELAB-Daten

	$L^*=L^*_a$	a^*_a	b^*_a	$C^*_{ab,a}$	$h^*_{ab,a}$
O _{Ma}	35.06	53.93	39.55	66.88	36
Y _{Ma}	83.77	-4.63	98.26	98.37	93
L _{Ma}	44.13	-56.32	43.36	71.09	142
C _{Ma}	52.66	-26.18	-28.74	38.89	228
V _{Ma}	14.15	45.22	-53.06	69.72	310
M _{Ma}	37.37	70.69	-30.1	76.83	337
N _{Ma}	15.0	0.0	0.0	0.0	0
W _{Ma}	90.0	0.0	0.0	0.0	0
R _{CIE}	39.92	58.74	27.99	65.07	25
J _{CIE}	81.26	-2.88	71.56	71.62	92
G _{CIE}	52.23	-42.41	13.6	44.55	162
B _{CIE}	30.57	1.41	-46.46	46.49	272

Daten für Maximalfarbe (Ma):

$LAB^*LAB^*_{Ma}$: 64 19 74

$LAB^*LCH^*_{Ma}$: 64 77 76

$lab^*rgb^*_{Ma}$: 1.0 0.75 0.0

$lab^*olv^*_{Ma}$: 1.0 0.59 0.0

Dreiecks-Helligkeit i^*

%Umfang

$u^*_{rel} = 88$

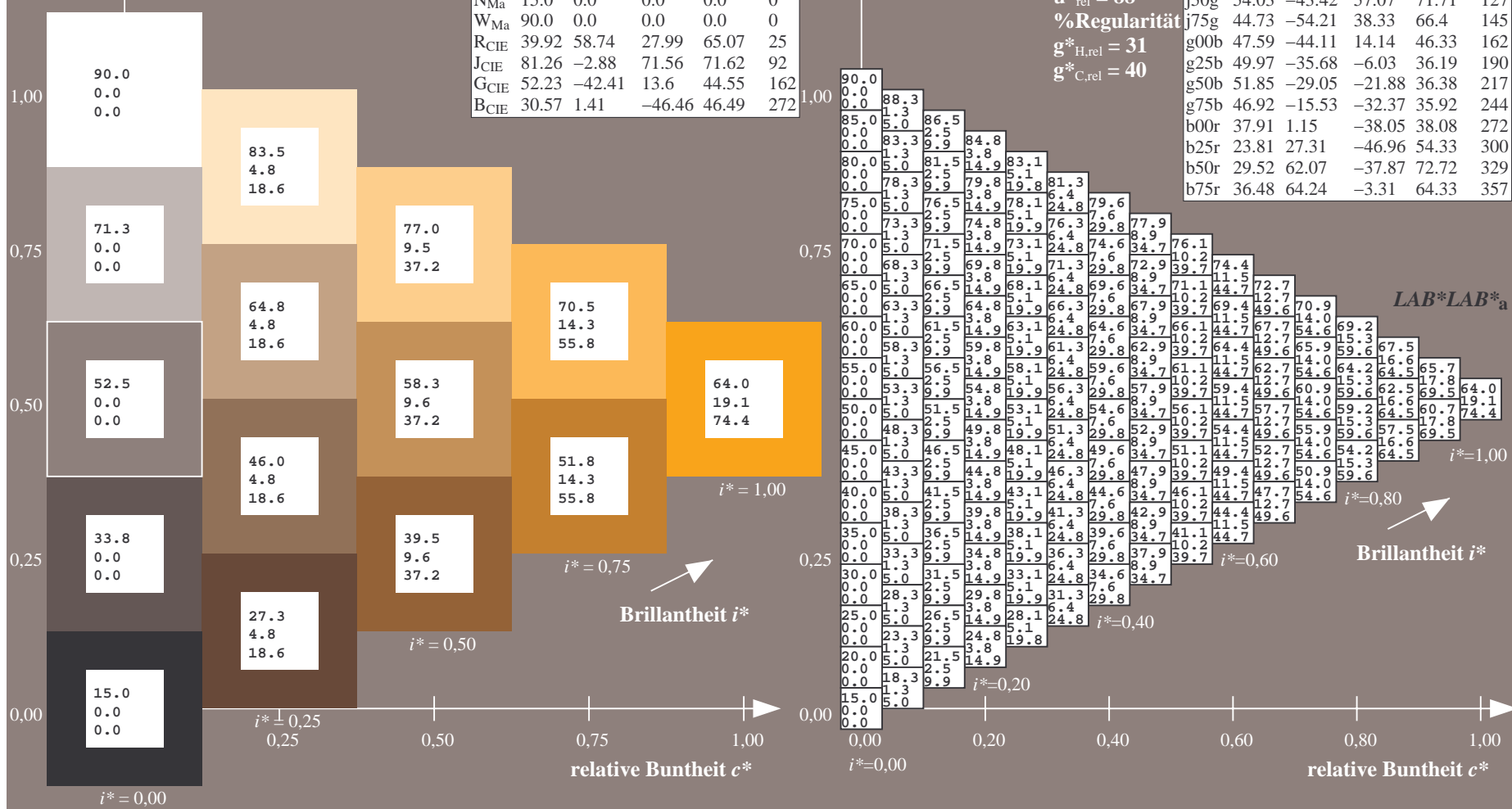
%Regularität

$g^*_{H,rel} = 31$

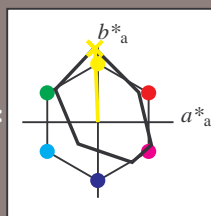
$g^*_{C,rel} = 40$

FRS15_90aM; adaptierte CIELAB-Daten

	$L^*=L^*_a$	a^*_a	b^*_a	$C^*_{ab,a}$	$h^*_{ab,a}$
r00j	35.47	56.92	27.12	63.05	25
r25j	39.12	49.04	44.45	66.19	42
r50j	50.64	35.19	58.33	68.13	59
r75j	64.01	19.11	74.45	76.87	76
j00g	83.18	-3.93	97.56	97.64	92
j25g	66.73	-26.86	74.66	79.35	110
j50g	54.03	-43.42	57.07	71.71	127
j75g	44.73	-54.21	38.33	66.4	145
g00b	47.59	-44.11	14.14	46.33	162
g25b	49.97	-35.68	-6.03	36.19	190
g50b	51.85	-29.05	-21.88	36.38	217
g75b	46.92	-15.53	-32.37	35.92	244
b00r	37.91	1.15	-38.05	38.08	272
b25r	23.81	27.31	-46.96	54.33	300
b50r	29.52	62.07	-37.87	72.72	329
b75r	36.48	64.24	-3.31	64.33	357



Ein und Ausgabe: Farbmetrisches Drucker-Reflektiv-System FRS15_90aM für relativen CIELAB-Buntton $h^* = lab^*h^* = h_{ab}/360 = 92/360 = 0.256$ $u^* = j00g$
Daten für jede Farbe:
 lab^*ch^* und lab^*icu^*
Elementar-Bunttontext:
 $u^* = j00g$
Kontrastreduzierungsfaktor:
 $c_R = 0.9$
Dreiecks-Helligkeit i^*



FRS15_90aM; adaptierte CIELAB-Daten					
	$L^*=L^*_a$	a^*_a	b^*_a	$C^*_{ab,a}$	$h^*_{ab,a}$
O _{Ma}	35.06	53.93	39.55	66.88	36
Y _{Ma}	83.77	-4.63	98.26	98.37	93
L _{Ma}	44.13	-56.32	43.36	71.09	142
C _{Ma}	52.66	-26.18	-28.74	38.89	228
V _{Ma}	14.15	45.22	-53.06	69.72	310
M _{Ma}	37.37	70.69	-30.1	76.83	337
N _{Ma}	15.0	0.0	0.0	0.0	0
W _{Ma}	90.0	0.0	0.0	0.0	0
R _{CIE}	39.92	58.74	27.99	65.07	25
J _{CIE}	81.26	-2.88	71.56	71.62	92
G _{CIE}	52.23	-42.41	13.6	44.55	162
B _{CIE}	30.57	1.41	-46.46	46.49	272

Daten für Maximalfarbe (Ma):

$LAB^*LAB^*_{Ma}$: 83 -3 98

$LAB^*LCH^*_{Ma}$: 83 98 92

$lab^*rgb^*_{Ma}$: 1.0 1.0 0.0

$lab^*olv^*_{Ma}$: 1.0 0.99 0.0

Dreiecks-Helligkeit i^*

%Umfang

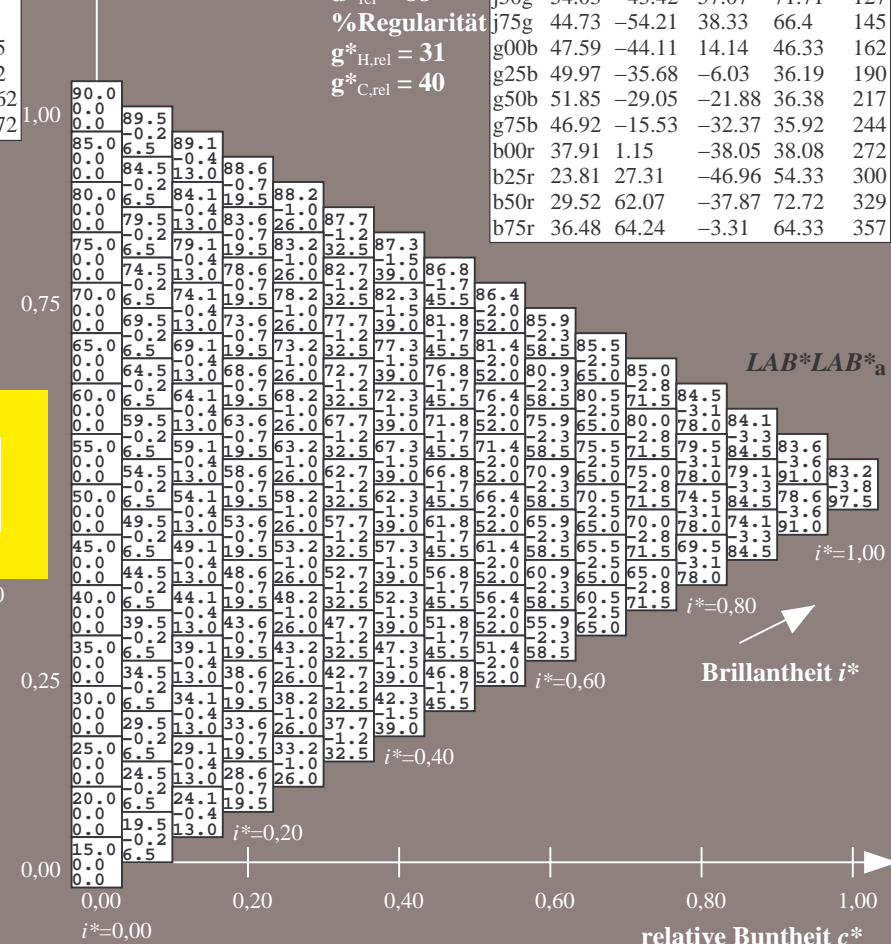
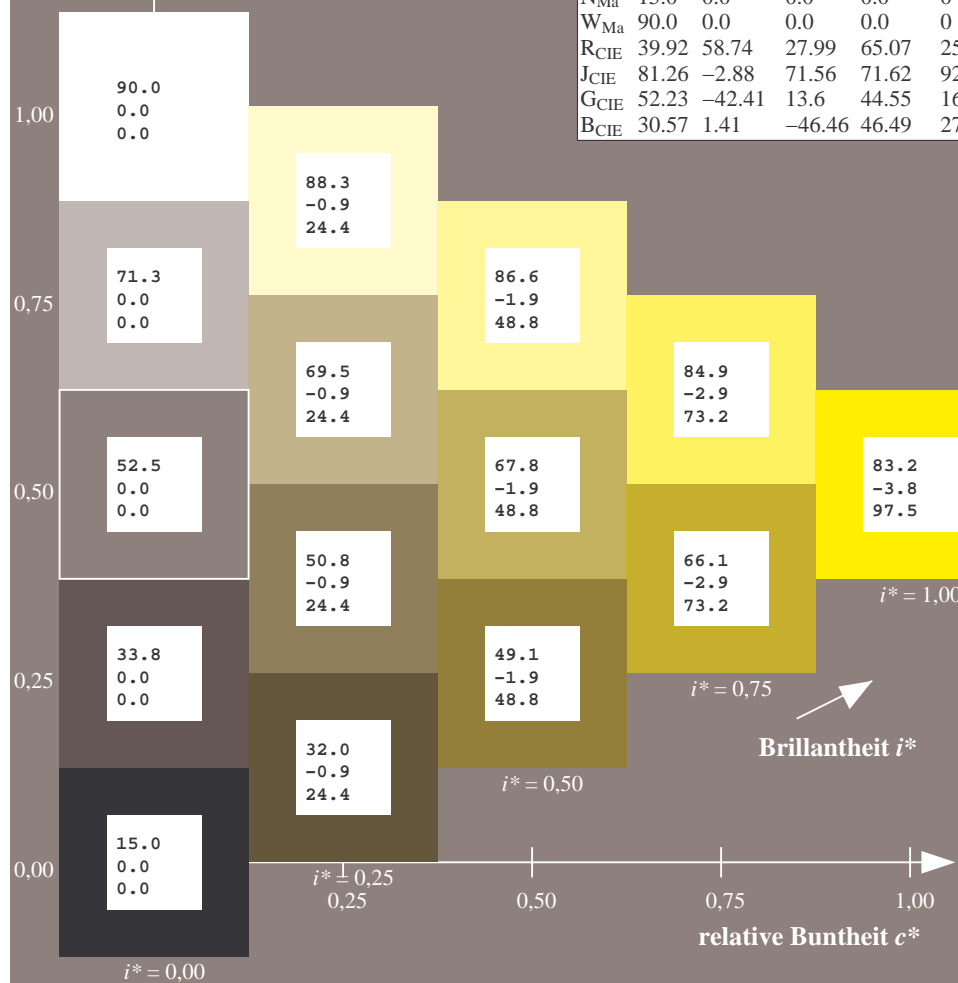
$u^*_{rel} = 88$

%Regularität

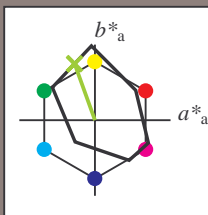
$g^*_{H,rel} = 31$

$g^*_{C,rel} = 40$

FRS15_90aM; adaptierte CIELAB-Daten					
	$L^*=L^*_a$	a^*_a	b^*_a	$C^*_{ab,a}$	$h^*_{ab,a}$
r00j	35.47	56.92	27.12	63.05	25
r25j	39.12	49.04	44.45	66.19	42
r50j	50.64	35.19	58.33	68.13	59
r75j	64.01	19.11	74.45	76.87	76
j00g	83.18	-3.93	97.56	97.64	92
j25g	66.73	-26.86	74.66	79.35	110
j50g	54.03	-43.42	57.07	71.71	127
j75g	44.73	-54.21	38.33	66.4	145
g00b	47.59	-44.11	14.14	46.33	162
g25b	49.97	-35.68	-6.03	36.19	190
g50b	51.85	-29.05	-21.88	36.38	217
g75b	46.92	-15.53	-32.37	35.92	244
b00r	37.91	1.15	-38.05	38.08	272
b25r	23.81	27.31	-46.96	54.33	300
b50r	29.52	62.07	-37.87	72.72	329
b75r	36.48	64.24	-3.31	64.33	357



Ein und Ausgabe: Farbmetrisches Drucker-Reflektiv-System FRS15_90aM für relativen CIELAB-Buntton $h^* = lab^*h^* = h_{ab}/360 = 110/360 = 0.305$ $u^* = j25g$
Daten für jede Farbe:
 lab^*ch^* und lab^*icu^*
Elementar-Bunttonstext:
 $u^* = j25g$
Kontrastreduzierungsfaktor:
 $c_R = 0.9$
Dreiecks-Helligkeit i^*



FRS15_90aM; adaptierte CIELAB-Daten					
	$L^*=L^*_a$	a^*_a	b^*_a	$C^*_{ab,a}$	$h^*_{ab,a}$
O _{Ma}	35.06	53.93	39.55	66.88	36
Y _{Ma}	83.77	-4.63	98.26	98.37	93
L _{Ma}	44.13	-56.32	43.36	71.09	142
C _{Ma}	52.66	-26.18	-28.74	38.89	228
V _{Ma}	14.15	45.22	-53.06	69.72	310
M _{Ma}	37.37	70.69	-30.1	76.83	337
N _{Ma}	15.0	0.0	0.0	0.0	0
W _{Ma}	90.0	0.0	0.0	0.0	0
R _{CIE}	39.92	58.74	27.99	65.07	25
J _{CIE}	81.26	-2.88	71.56	71.62	92
G _{CIE}	52.23	-42.41	13.6	44.55	162
B _{CIE}	30.57	1.41	-46.46	46.49	272

Daten für Maximalfarbe (Ma):

$LAB^*LAB^*_{Ma}$: 67 -26 75

$LAB^*LCH^*_{Ma}$: 67 79 110

$lab^*rgb^*_{Ma}$: 0.75 1.0 0.0

$lab^*olv^*_{Ma}$: 0.57 1.0 0.0

Dreiecks-Helligkeit i^*

%Umfang

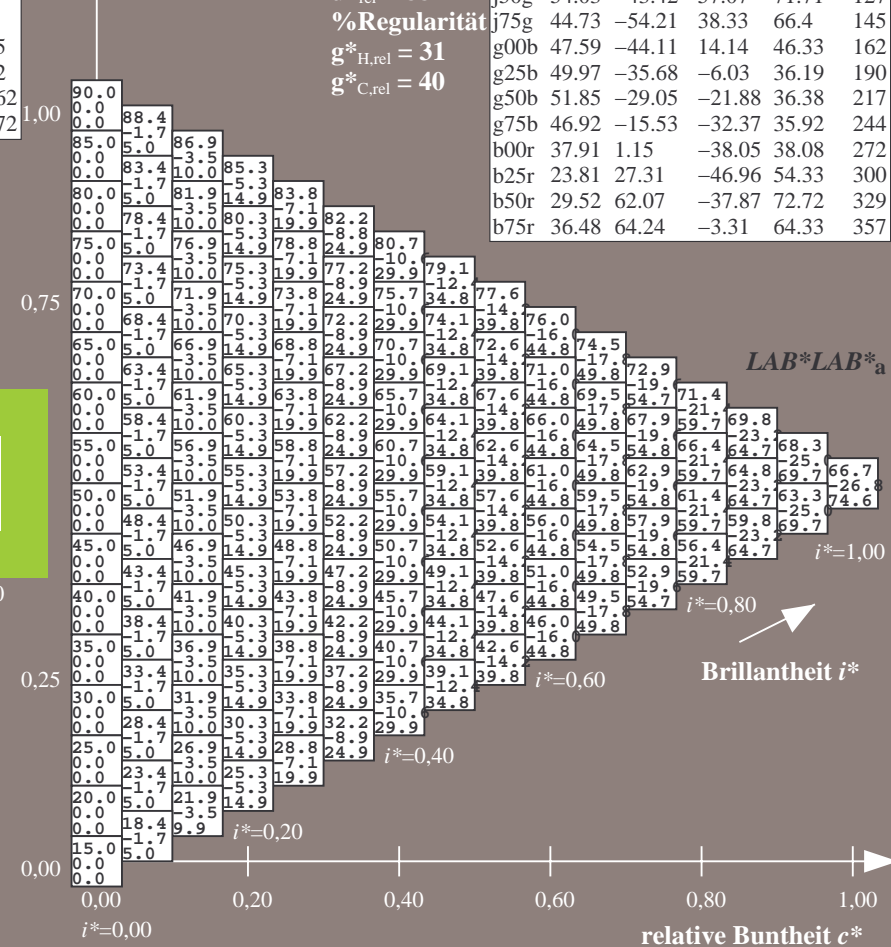
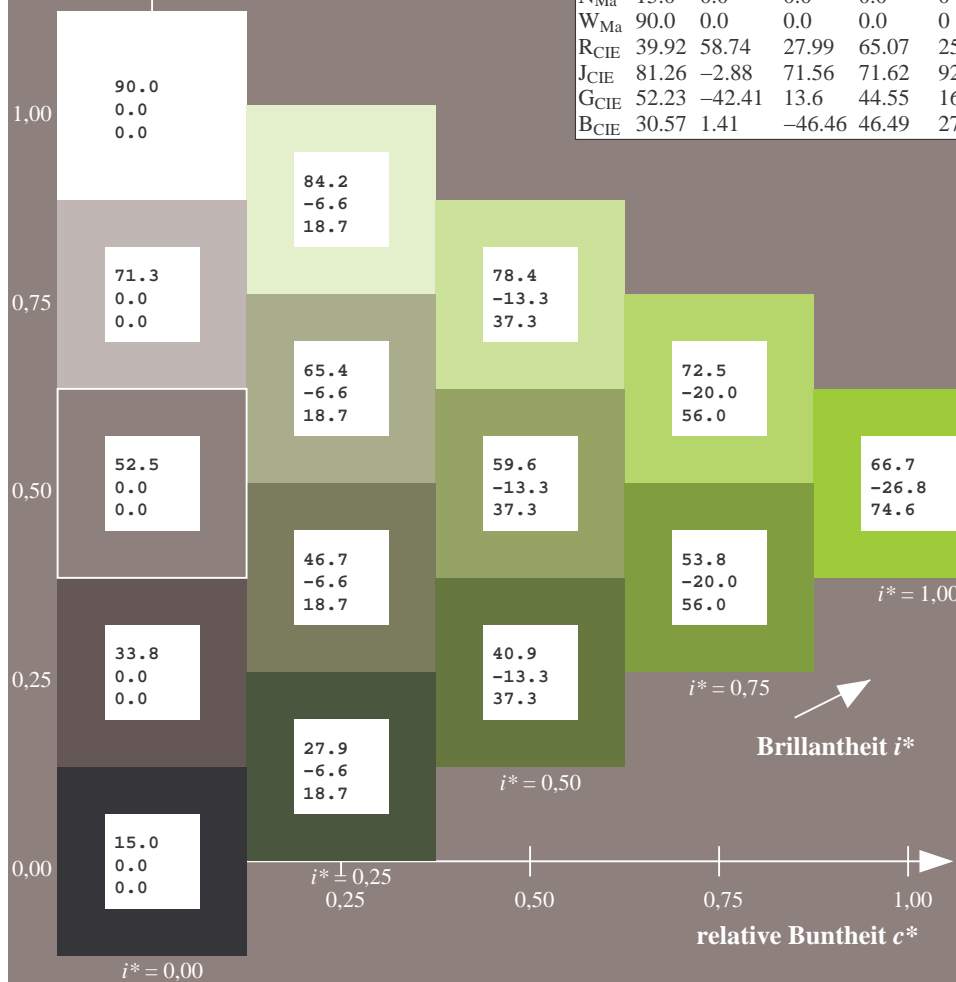
$u^*_{rel} = 88$

%Regularität

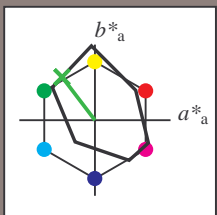
$g^*_{H,rel} = 31$

$g^*_{C,rel} = 40$

FRS15_90aM; adaptierte CIELAB-Daten					
	$L^*=L^*_a$	a^*_a	b^*_a	$C^*_{ab,a}$	$h^*_{ab,a}$
r00j	35.47	56.92	27.12	63.05	25
r25j	39.12	49.04	44.45	66.19	42
r50j	50.64	35.19	58.33	68.13	59
r75j	64.01	19.11	74.45	76.87	76
j00g	83.18	-3.93	97.56	97.64	92
j25g	66.73	-26.86	74.66	79.35	110
j50g	54.03	-43.42	57.07	71.71	127
j75g	44.73	-54.21	38.33	66.4	145
g00b	47.59	-44.11	14.14	46.33	162
g25b	49.97	-35.68	-6.03	36.19	190
g50b	51.85	-29.05	-21.88	36.38	217
g75b	46.92	-15.53	-32.37	35.92	244
b00r	37.91	1.15	-38.05	38.08	272
b25r	23.81	27.31	-46.96	54.33	300
b50r	29.52	62.07	-37.87	72.72	329
b75r	36.48	64.24	-3.31	64.33	357



Ein und Ausgabe: Farbmetrisches Drucker-Reflektiv-System FRS15_90aM für relativen CIELAB-Buntton $h^* = lab^*h^* = h_{ab}/360 = 127/360 = 0.354$ $u^* = j50g$
Daten für jede Farbe:
 lab^*tch^* und lab^*icu^*
Elementar-Bunttontext:
 $u^* = j50g$
Kontrastreduzierungsfaktor:
 $c_R = 0.9$
Dreiecks-Helligkeit t^*



FRS15_90aM; adaptierte CIELAB-Daten					
	$L^*=L^*_a$	a^*_a	b^*_a	$C^*_{ab,a}$	$h^*_{ab,a}$
O _{Ma}	35.06	53.93	39.55	66.88	36
Y _{Ma}	83.77	-4.63	98.26	98.37	93
L _{Ma}	44.13	-56.32	43.36	71.09	142
C _{Ma}	52.66	-26.18	-28.74	38.89	228
V _{Ma}	14.15	45.22	-53.06	69.72	310
M _{Ma}	37.37	70.69	-30.1	76.83	337
N _{Ma}	15.0	0.0	0.0	0.0	0
W _{Ma}	90.0	0.0	0.0	0.0	0
R _{CIE}	39.92	58.74	27.99	65.07	25
J _{CIE}	81.26	-2.88	71.56	71.62	92
G _{CIE}	52.23	-42.41	13.6	44.55	162
B _{CIE}	30.57	1.41	-46.46	46.49	272

Daten für Maximalfarbe (Ma):

$LAB^*LAB^*_{Ma}$: 54 -42 57

$LAB^*LCH^*_{Ma}$: 54 72 127

$lab^*rgb^*_{Ma}$: 0.5 1.0 0.0

$lab^*olv^*_{Ma}$: 0.25 1.0 0.0

Dreiecks-Helligkeit t^*

%Umfang

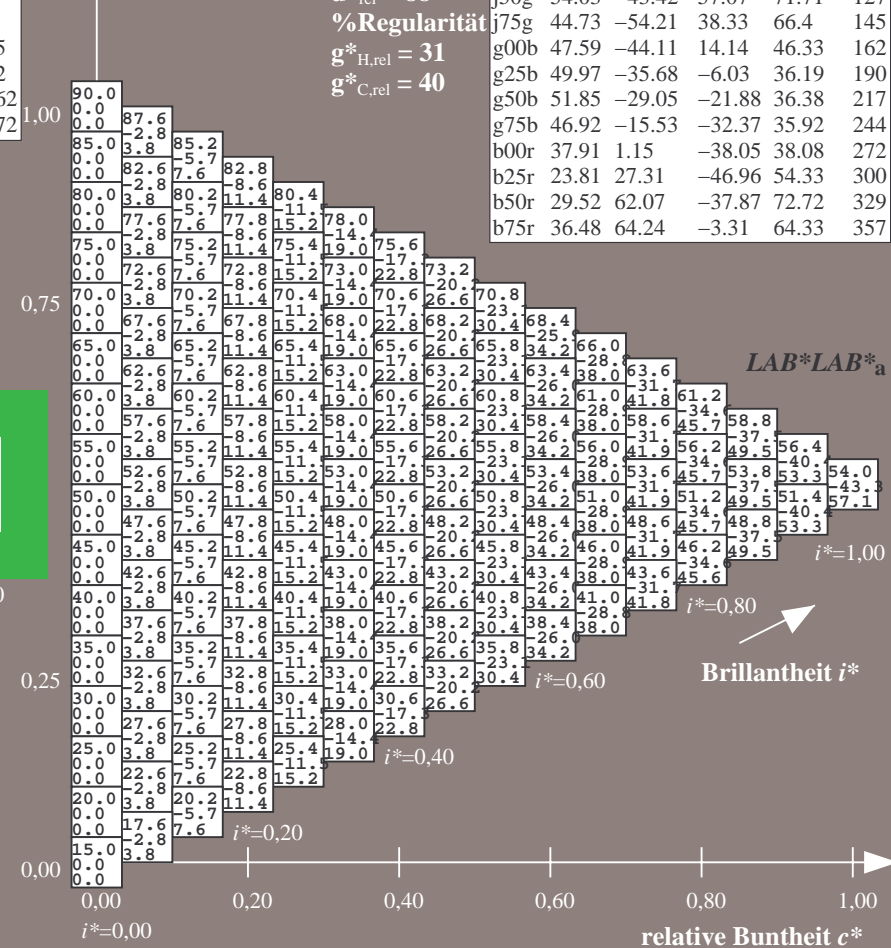
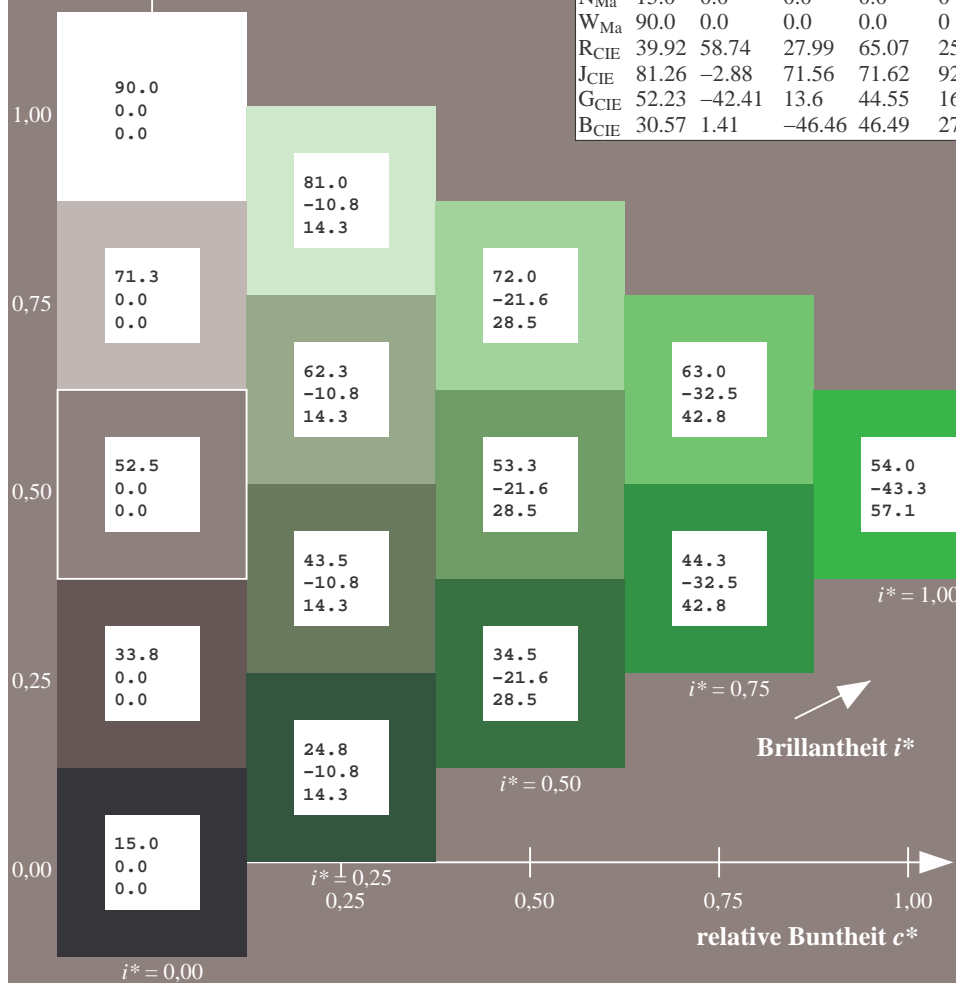
$u^*_{rel} = 88$

%Regularität

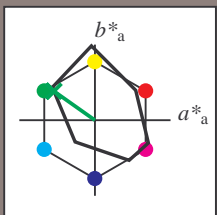
$g^*_{H,rel} = 31$

$g^*_{C,rel} = 40$

FRS15_90aM; adaptierte CIELAB-Daten					
	$L^*=L^*_a$	a^*_a	b^*_a	$C^*_{ab,a}$	$h^*_{ab,a}$
r00j	35.47	56.92	27.12	63.05	25
r25j	39.12	49.04	44.45	66.19	42
r50j	50.64	35.19	58.33	68.13	59
r75j	64.01	19.11	74.45	76.87	76
j00g	83.18	-3.93	97.56	97.64	92
j25g	66.73	-26.86	74.66	79.35	110
j50g	54.03	-43.42	57.07	71.71	127
j75g	44.73	-54.21	38.33	66.4	145
g00b	47.59	-44.11	14.14	46.33	162
g25b	49.97	-35.68	-6.03	36.19	190
g50b	51.85	-29.05	-21.88	36.38	217
g75b	46.92	-15.53	-32.37	35.92	244
b00r	37.91	1.15	-38.05	38.08	272
b25r	23.81	27.31	-46.96	54.33	300
b50r	29.52	62.07	-37.87	72.72	329
b75r	36.48	64.24	-3.31	64.33	357



Ein und Ausgabe: Farbmetrisches Drucker-Reflektiv-System FRS15_90aM für relativen CIELAB-Buntton $h^* = lab^*h^* = h_{ab}/360 = 145/360 = 0.402$ $u^* = j75g$
Daten für jede Farbe:
 lab^*ch^* und lab^*icu^*
Elementar-Bunttontext:
 $u^* = j75g$
Kontrastreduzierungsfaktor:
 $c_R = 0.9$
Dreiecks-Helligkeit i^*



FRS15_90aM; adaptierte CIELAB-Daten					
	$L^*=L^*_a$	a^*_a	b^*_a	$C^*_{ab,a}$	$h^*_{ab,a}$
O _{Ma}	35.06	53.93	39.55	66.88	36
Y _{Ma}	83.77	-4.63	98.26	98.37	93
L _{Ma}	44.13	-56.32	43.36	71.09	142
C _{Ma}	52.66	-26.18	-28.74	38.89	228
V _{Ma}	14.15	45.22	-53.06	69.72	310
M _{Ma}	37.37	70.69	-30.1	76.83	337
N _{Ma}	15.0	0.0	0.0	0.0	0
W _{Ma}	90.0	0.0	0.0	0.0	0
R _{CIE}	39.92	58.74	27.99	65.07	25
J _{CIE}	81.26	-2.88	71.56	71.62	92
G _{CIE}	52.23	-42.41	13.6	44.55	162
B _{CIE}	30.57	1.41	-46.46	46.49	272

Daten für Maximalfarbe (Ma):

$LAB^*LAB^*_{Ma}$: 45 -53 38

$LAB^*LCH^*_{Ma}$: 45 66 145

$lab^*rgb^*_{Ma}$: 0.25 1.0 0.0

$lab^*olv^*_{Ma}$: 0.0 1.0 0.07

Dreiecks-Helligkeit i^*

%Umfang

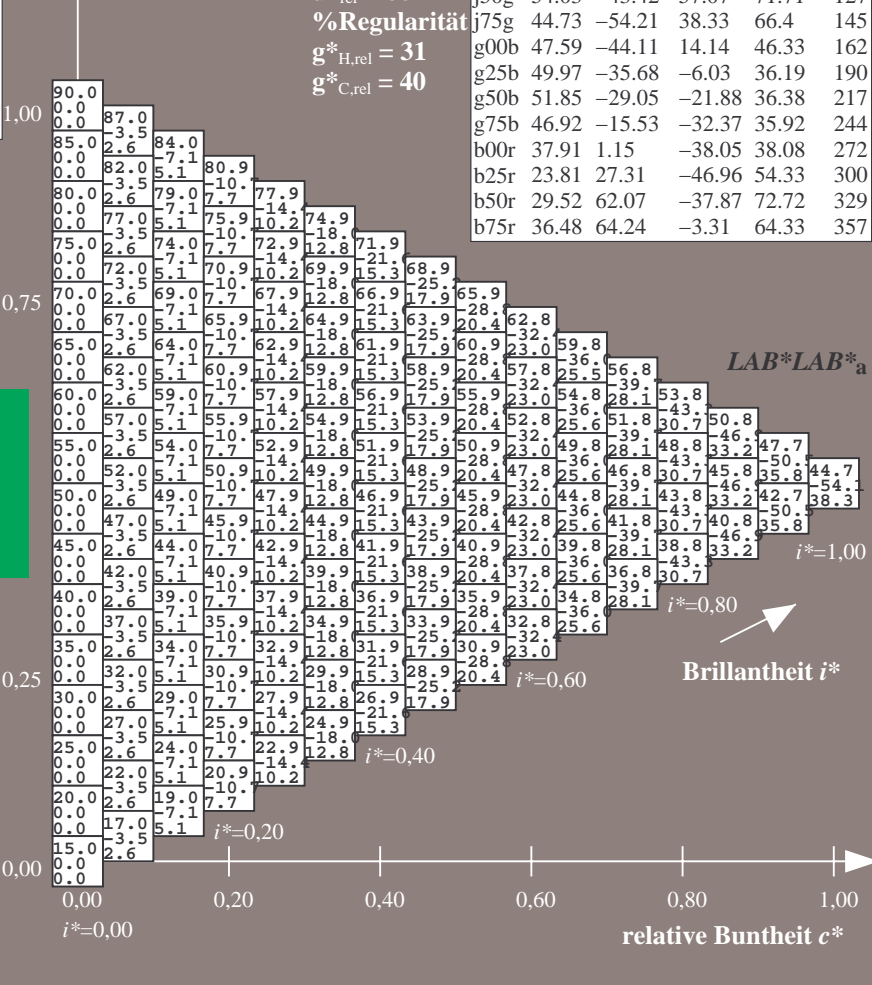
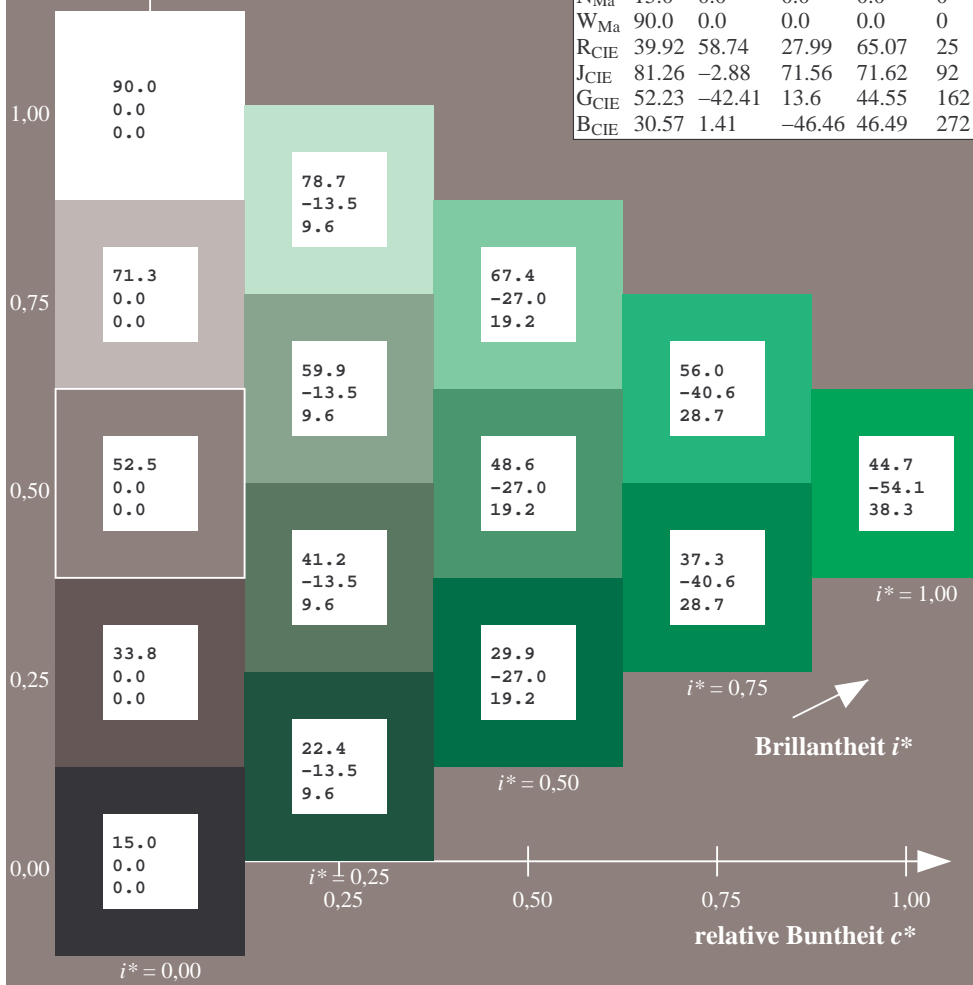
$u^*_{rel} = 88$

%Regularität

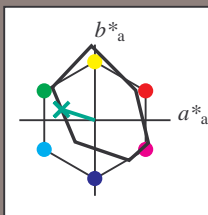
$g^*_{H,rel} = 31$

$g^*_{C,rel} = 40$

FRS15_90aM; adaptierte CIELAB-Daten					
	$L^*=L^*_a$	a^*_a	b^*_a	$C^*_{ab,a}$	$h^*_{ab,a}$
r00j	35.47	56.92	27.12	63.05	25
r25j	39.12	49.04	44.45	66.19	42
r50j	50.64	35.19	58.33	68.13	59
r75j	64.01	19.11	74.45	76.87	76
j00g	83.18	-3.93	97.56	97.64	92
j25g	66.73	-26.86	74.66	79.35	110
j50g	54.03	-43.42	57.07	71.71	127
j75g	44.73	-54.21	38.33	66.4	145
g00b	47.59	-44.11	14.14	46.33	162
g25b	49.97	-35.68	-6.03	36.19	190
g50b	51.85	-29.05	-21.88	36.38	217
g75b	46.92	-15.53	-32.37	35.92	244
b00r	37.91	1.15	-38.05	38.08	272
b25r	23.81	27.31	-46.96	54.33	300
b50r	29.52	62.07	-37.87	72.72	329
b75r	36.48	64.24	-3.31	64.33	357



Ein und Ausgabe: Farbmetrisches Drucker-Reflektiv-System FRS15_90aM für relativen CIELAB-Buntton $h^* = lab^*h^* = h_{ab}/360 = 162/360 = 0.451$ $u^* = g00b$
Daten für jede Farbe:
 lab^*tch^* und lab^*icu^*
Elementar-Bunttontext:
 $u^* = g00b$
Kontrastreduzierungsfaktor:
 $c_R = 0.9$
Dreiecks-Helligkeit t^*



FRS15_90aM; adaptierte CIELAB-Daten					
	$L^*=L^*_a$	a^*_a	b^*_a	$C^*_{ab,a}$	$h^*_{ab,a}$
O _{Ma}	35.06	53.93	39.55	66.88	36
Y _{Ma}	83.77	-4.63	98.26	98.37	93
L _{Ma}	44.13	-56.32	43.36	71.09	142
C _{Ma}	52.66	-26.18	-28.74	38.89	228
V _{Ma}	14.15	45.22	-53.06	69.72	310
M _{Ma}	37.37	70.69	-30.1	76.83	337
N _{Ma}	15.0	0.0	0.0	0.0	0
W _{Ma}	90.0	0.0	0.0	0.0	0
R _{CIE}	39.92	58.74	27.99	65.07	25
J _{CIE}	81.26	-2.88	71.56	71.62	92
G _{CIE}	52.23	-42.41	13.6	44.55	162
B _{CIE}	30.57	1.41	-46.46	46.49	272

Daten für Maximalfarbe (Ma):

$LAB^*LAB^*_{Ma}$: 48 -43 14

$LAB^*LCH^*_{Ma}$: 48 46 162

$lab^*rgb^*_{Ma}$: 0.0 1.0 0.0

$lab^*olv^*_{Ma}$: 0.0 1.0 0.41

Dreiecks-Helligkeit t^*

%Umfang

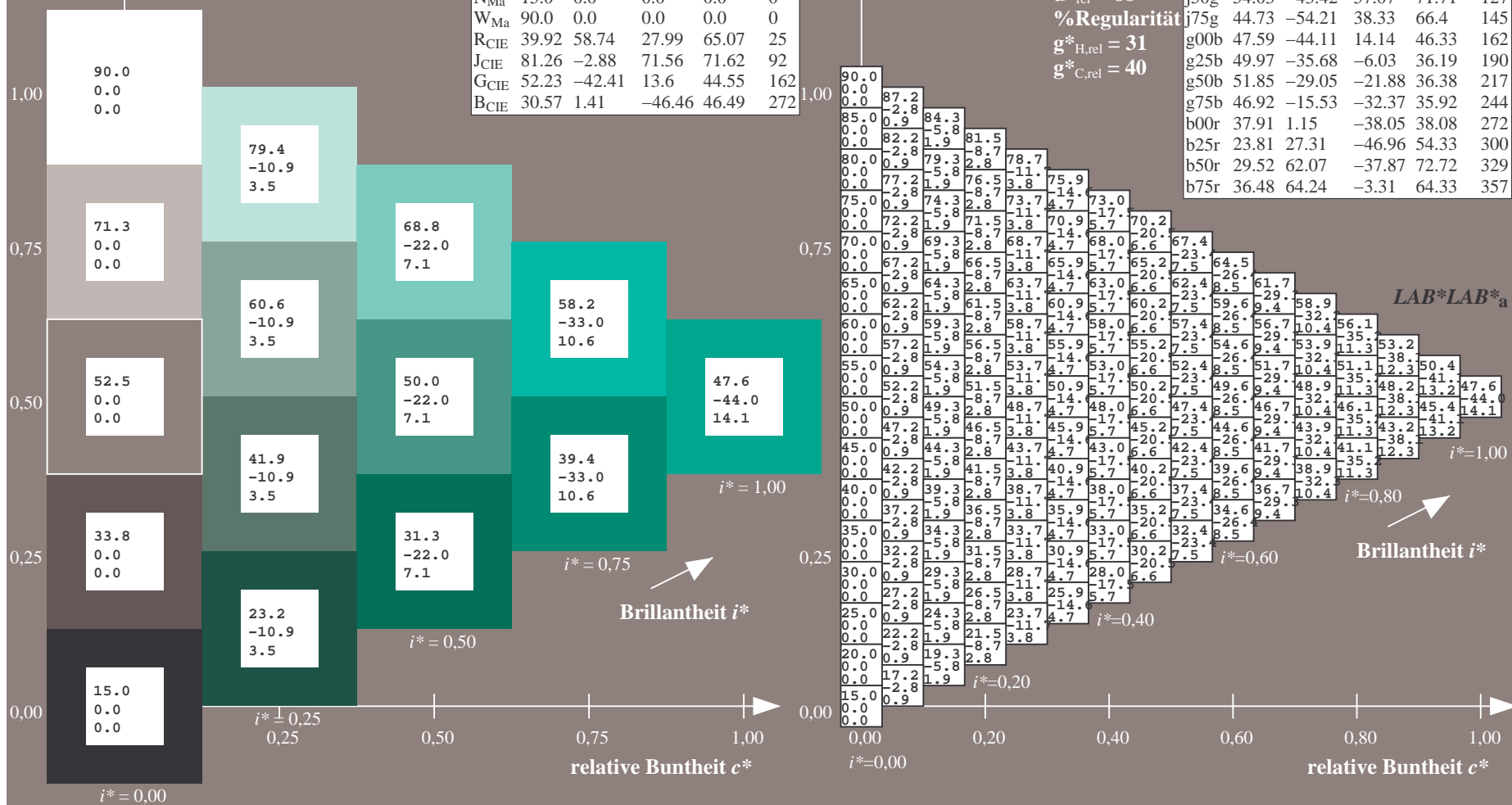
$u^*_{rel} = 88$

%Regularität

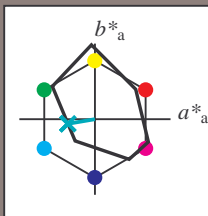
$g^*_{H,rel} = 31$

$g^*_{C,rel} = 40$

FRS15_90aM; adaptierte CIELAB-Daten					
	$L^*=L^*_a$	a^*_a	b^*_a	$C^*_{ab,a}$	$h^*_{ab,a}$
r00j	35.47	56.92	27.12	63.05	25
r25j	39.12	49.04	44.45	66.19	42
r50j	50.64	35.19	58.33	68.13	59
r75j	64.01	19.11	74.45	76.87	76
j00g	83.18	-3.93	97.56	97.64	92
j25g	66.73	-26.86	74.66	79.35	110
j50g	54.03	-43.42	57.07	71.71	127
j75g	44.73	-54.21	38.33	66.4	145
g00b	47.59	-44.11	14.14	46.33	162
g25b	49.97	-35.68	-6.03	36.19	190
g50b	51.85	-29.05	-21.88	36.38	217
g75b	46.92	-15.53	-32.37	35.92	244
b00r	37.91	1.15	-38.05	38.08	272
b25r	23.81	27.31	-46.96	54.33	300
b50r	29.52	62.07	-37.87	72.72	329
b75r	36.48	64.24	-3.31	64.33	357



Ein und Ausgabe: Farbmetri-
Daten für jede Farbe:
 $lab^*_{tch^*}$ und $lab^*_{icu^*}$
Elementar-Bunttontext:
 $u^* = g25b$
Kontrastreduzierungsfaktor:
 $c_R = 0.9$
Dreiecks-Helligkeit l^*



FRS15_90aM; adaptierte CIELAB-Daten					
	L^*_a	a^*_a	b^*_a	$C^*_{ab,a}$	$h^*_{ab,a}$
O _{Ma}	35.06	53.93	39.55	66.88	36
Y _{Ma}	83.77	-4.63	98.26	98.37	93
L _{Ma}	44.13	-56.32	43.36	71.09	142
C _{Ma}	52.66	-26.18	-28.74	38.89	228
V _{Ma}	14.15	45.22	-53.06	69.72	310
M _{Ma}	37.37	70.69	-30.1	76.83	337
N _{Ma}	15.0	0.0	0.0	0.0	0
W _{Ma}	90.0	0.0	0.0	0.0	0
R _{CIE}	39.92	58.74	27.99	65.07	25
J _{CIE}	81.26	-2.88	71.56	71.62	92
G _{CIE}	52.23	-42.41	13.6	44.55	162
B _{CIE}	30.57	1.41	-46.46	46.49	272

Daten für Maximalfarbe (Ma):

LAB*LAB*_{Ma}: 50 -35 -5

LAB*LCH*Ma: 50 36 190

*lab*rgb**Ma: 0.0 1.0 0.5

*lab*olv**Ma: 0.0 1.0 0.69

Dreiecks-Helligkeit t^*

▲

%Umfang

$$\mathbf{u}_{\text{rel}}^* = 88$$

%Regular:

$$\sigma_{H,rel}^* = 51$$

$$\sigma_{H,rel}^* = 40$$

FRS15_90aM; adaptierte CIELAB-Daten						
	L^*_a	a^*_a	b^*_a	$C^*_{ab,a}$	$h^*_{ab,a}$	
r00j	35.47	56.92	27.12	63.05	25	
r25j	39.12	49.04	44.45	66.19	42	
r50j	50.64	35.19	58.33	68.13	59	
r75j	64.01	19.11	74.45	76.87	76	
j00g	83.18	-3.93	97.56	97.64	92	
j25g	66.73	-26.86	74.66	79.35	110	
j50g	54.03	-43.42	57.07	71.71	127	
j75g	44.73	-54.21	38.33	66.4	145	
g00b	47.59	-44.11	14.14	46.33	162	
g25b	49.97	-35.68	-6.03	36.19	190	
g50b	51.85	-29.05	-21.88	36.38	217	
g75b	46.92	-15.53	-32.37	35.92	244	
b00r	37.91	1.15	-38.05	38.08	272	
b25r	23.81	27.31	-46.96	54.33	300	
b50r	29.52	62.07	-37.87	72.72	329	
b75r	36.48	64.24	-3.31	64.33	357	

*LAB*LAB**_a

$$i^*=1,00$$

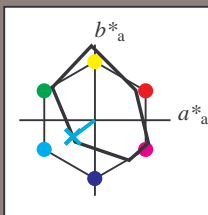
Brillantheit *i**

BAM-Prüfvorlage Dg93; Farbmatrik-Systeme, Seite 65/180
Farbreihen, 8 Datentabellen für 16 Bunttöne *r00j* bis *b75r*

Eingabe: 000n / w / nnn0 / www set...
Ausgabe: ->cmyn5* setcmykcolor

BAM-Registrierung: 20080701-Dg93/10L/L93G00NA.PS/ .TXTBAM-Material: Code=rha4ta
Anwendung für Beurteilung und Messung von Drucker- oder Monitorsystemen

Ein und Ausgabe: Farbmetrisches Drucker-Reflektiv-System FRS15_90aM für relativen CIELAB-Buntton $h^* = lab^*h^* = h_{ab}/360 = 217/360 = 0.603$ $u^* = g50b$
Daten für jede Farbe:
 lab^*ch^* und lab^*icu^*
Elementar-Bunttontext:
 $u^* = g50b$
Kontrastreduzierungsfaktor:
 $c_R = 0.9$
Dreiecks-Helligkeit i^*



FRS15_90aM; adaptierte CIELAB-Daten					
	$L^*=L_a^*$	a_a^*	b_a^*	$C^*_{ab,a}$	$h^*_{ab,a}$
O _{Ma}	35.06	53.93	39.55	66.88	36
Y _{Ma}	83.77	-4.63	98.26	98.37	93
L _{Ma}	44.13	-56.32	43.36	71.09	142
C _{Ma}	52.66	-26.18	-28.74	38.89	228
V _{Ma}	14.15	45.22	-53.06	69.72	310
M _{Ma}	37.37	70.69	-30.1	76.83	337
N _{Ma}	15.0	0.0	0.0	0.0	0
W _{Ma}	90.0	0.0	0.0	0.0	0
R _{CIE}	39.92	58.74	27.99	65.07	25
J _{CIE}	81.26	-2.88	71.56	71.62	92
G _{CIE}	52.23	-42.41	13.6	44.55	162
B _{CIE}	30.57	1.41	-46.46	46.49	272

Daten für Maximalfarbe (Ma):

$LAB^*LAB^*_{Ma}$: 52 -28 -21

$LAB^*LCH^*_{Ma}$: 52 36 217

$lab^*rgb^*_{Ma}$: 0.0 1.0 1.0

$lab^*olv^*_{Ma}$: 0.0 1.0 0.9

Dreiecks-Helligkeit i^*

%Umfang

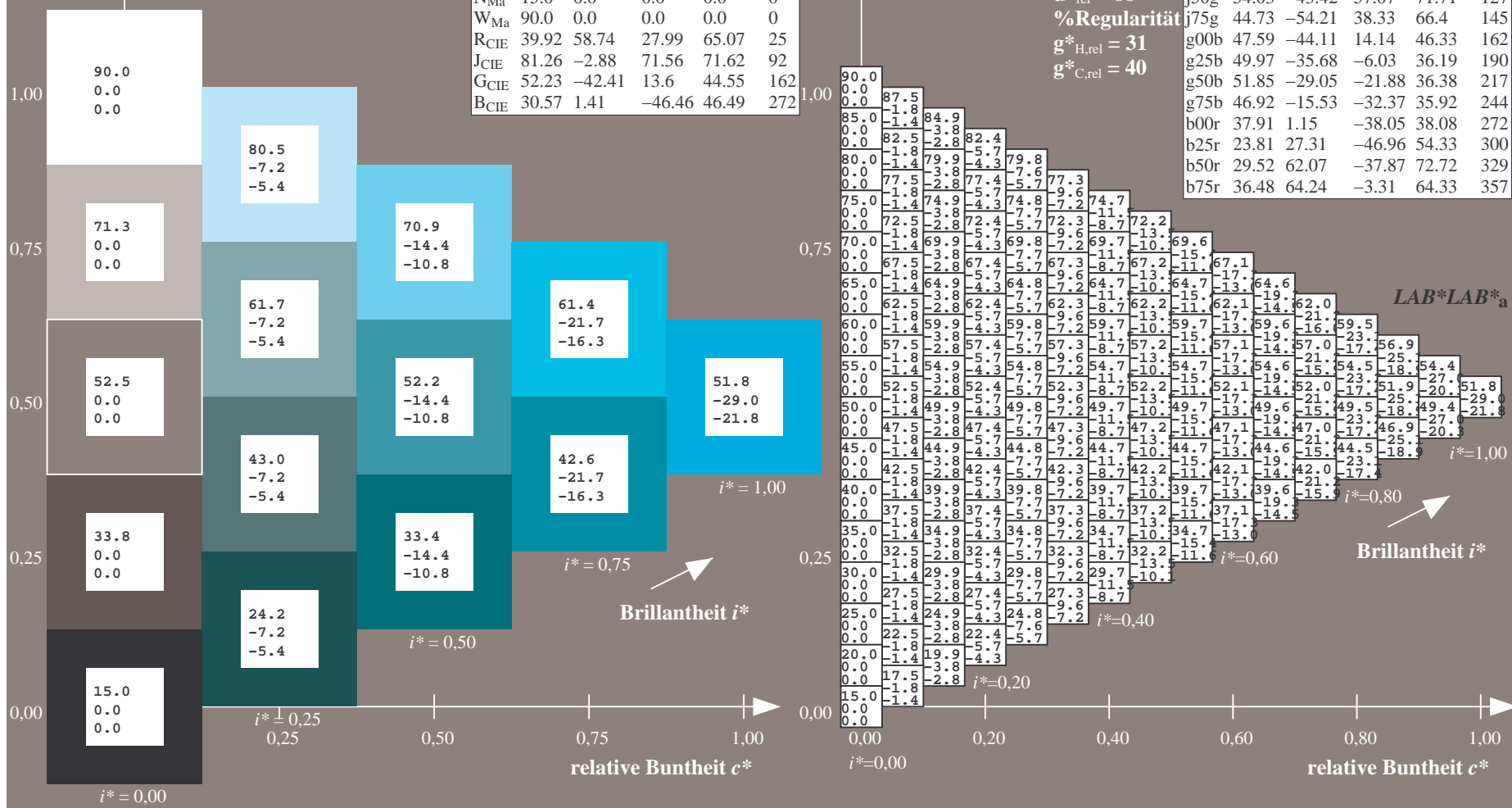
$u^*_{rel} = 88$

%Regularität

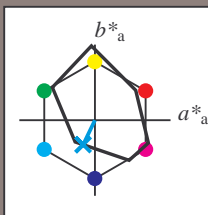
$g^*_{H,rel} = 31$

$g^*_{C,rel} = 40$

FRS15_90aM; adaptierte CIELAB-Daten					
	$L^*=L_a^*$	a_a^*	b_a^*	$C^*_{ab,a}$	$h^*_{ab,a}$
r00j	35.47	56.92	27.12	63.05	25
r25j	39.12	49.04	44.45	66.19	42
r50j	50.64	35.19	58.33	68.13	59
r75j	64.01	19.11	74.45	76.87	76
j00g	83.18	-3.93	97.56	97.64	92
j25g	66.73	-26.86	74.66	79.35	110
j50g	54.03	-43.42	57.07	71.71	127
j75g	44.73	-54.21	38.33	66.4	145
g00b	47.59	-44.11	14.14	46.33	162
g25b	49.97	-35.68	-6.03	36.19	190
g50b	51.85	-29.05	-21.88	36.38	217
g75b	46.92	-15.53	-32.37	35.92	244
b00r	37.91	1.15	-38.05	38.08	272
b25r	23.81	27.31	-46.96	54.33	300
b50r	29.52	62.07	-37.87	72.72	329
b75r	36.48	64.24	-3.31	64.33	357



Ein und Ausgabe: Farbmetrisches Drucker-Reflektiv-System FRS15_90aM für relativen CIELAB-Buntton $h^* = lab^*h^* = h_{ab}/360 = 244/360 = 0.679$ $u^* = g75b$
Daten für jede Farbe:
 lab^*ch^* und lab^*icu^*
Elementar-Bunttontext:
 $u^* = g75b$
Kontrastreduzierungsfaktor:
 $c_R = 0.9$
Dreiecks-Helligkeit i^*



FRS15_90aM; adaptierte CIELAB-Daten					
	$L^*=L_a^*$	a_a^*	b_a^*	$C^*_{ab,a}$	$h^*_{ab,a}$
O _{Ma}	35.06	53.93	39.55	66.88	36
Y _{Ma}	83.77	-4.63	98.26	98.37	93
L _{Ma}	44.13	-56.32	43.36	71.09	142
C _{Ma}	52.66	-26.18	-28.74	38.89	228
V _{Ma}	14.15	45.22	-53.06	69.72	310
M _{Ma}	37.37	70.69	-30.1	76.83	337
N _{Ma}	15.0	0.0	0.0	0.0	0
W _{Ma}	90.0	0.0	0.0	0.0	0
R _{CIE}	39.92	58.74	27.99	65.07	25
J _{CIE}	81.26	-2.88	71.56	71.62	92
G _{CIE}	52.23	-42.41	13.6	44.55	162
B _{CIE}	30.57	1.41	-46.46	46.49	272

Daten für Maximalfarbe (Ma):

$LAB^*LAB^*_{Ma}$: 47 -15 -31

$LAB^*LCH^*_{Ma}$: 47 36 244

$lab^*rgb^*_{Ma}$: 0.0 0.5 1.0

$lab^*olv^*_{Ma}$: 0.0 0.85 1.0

Dreiecks-Helligkeit i^*

%Umfang

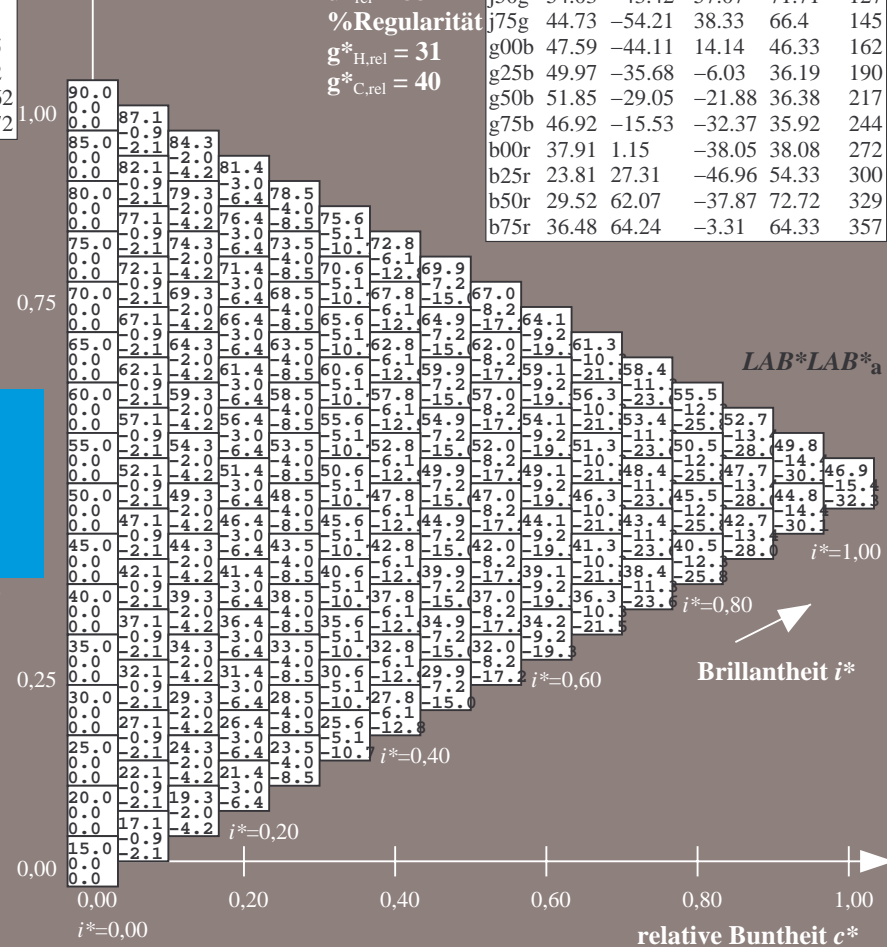
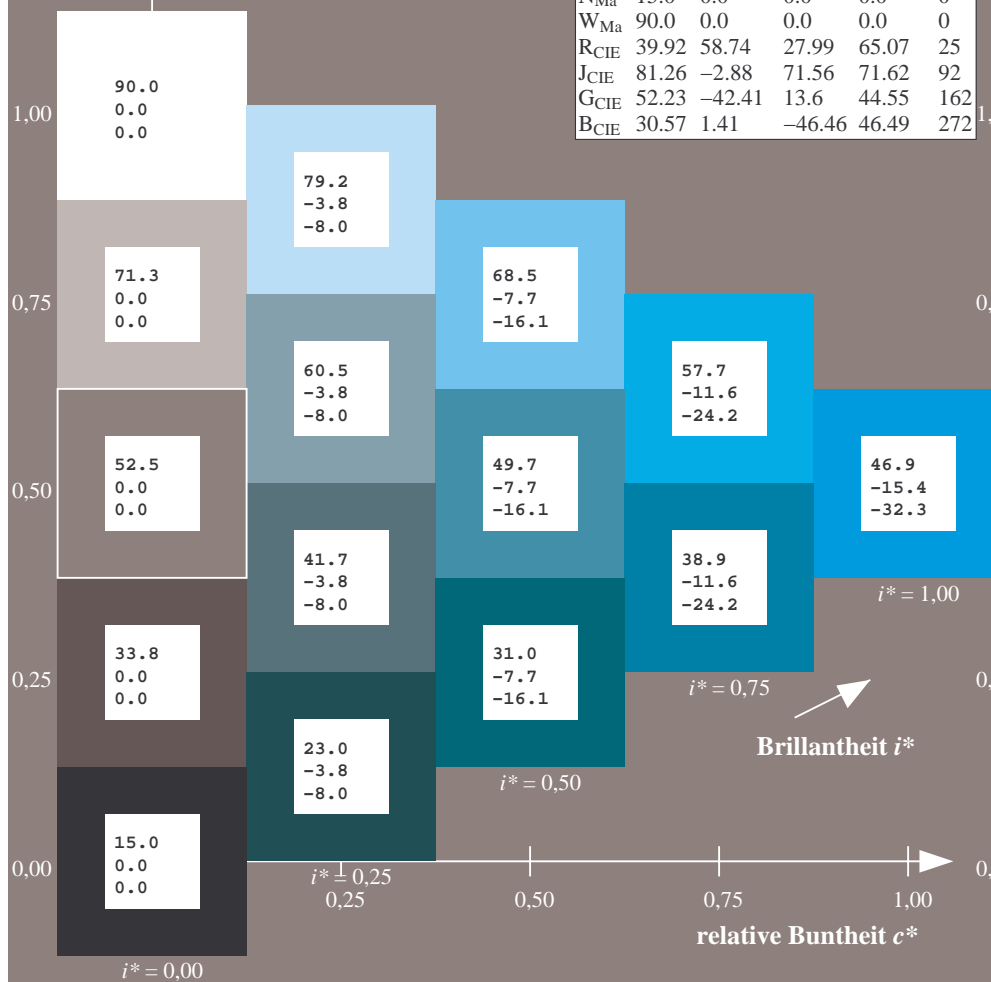
$u^*_{rel} = 88$

%Regularität

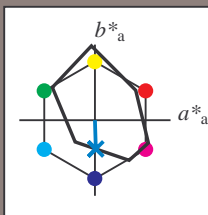
$g^*_{H,rel} = 31$

$g^*_{C,rel} = 40$

FRS15_90aM; adaptierte CIELAB-Daten					
	$L^*=L_a^*$	a_a^*	b_a^*	$C^*_{ab,a}$	$h^*_{ab,a}$
r00j	35.47	56.92	27.12	63.05	25
r25j	39.12	49.04	44.45	66.19	42
r50j	50.64	35.19	58.33	68.13	59
r75j	64.01	19.11	74.45	76.87	76
j00g	83.18	-3.93	97.56	97.64	92
j25g	66.73	-26.86	74.66	79.35	110
j50g	54.03	-43.42	57.07	71.71	127
j75g	44.73	-54.21	38.33	66.4	145
g00b	47.59	-44.11	14.14	46.33	162
g25b	49.97	-35.68	-6.03	36.19	190
g50b	51.85	-29.05	-21.88	36.38	217
g75b	46.92	-15.53	-32.37	35.92	244
b00r	37.91	1.15	-38.05	38.08	272
b25r	23.81	27.31	-46.96	54.33	300
b50r	29.52	62.07	-37.87	72.72	329
b75r	36.48	64.24	-3.31	64.33	357



Ein und Ausgabe: Farbmetrisches Drucker-Reflektiv-System FRS15_90aM für relativen CIELAB-Buntton $h^* = lab^*h^* = h_{ab}/360 = 272/360 = 0.755$ $u^* = b00r$
Daten für jede Farbe:
 lab^*tch^* und lab^*icu^*
Elementar-Bunttontext:
 $u^* = b00r$
Kontrastreduzierungsfaktor:
 $c_R = 0.9$
Dreiecks-Helligkeit t^*



FRS15_90aM; adaptierte CIELAB-Daten					
	$L^*=L^*_a$	a^*_a	b^*_a	$C^*_{ab,a}$	$h^*_{ab,a}$
O _{Ma}	35.06	53.93	39.55	66.88	36
Y _{Ma}	83.77	-4.63	98.26	98.37	93
L _{Ma}	44.13	-56.32	43.36	71.09	142
C _{Ma}	52.66	-26.18	-28.74	38.89	228
V _{Ma}	14.15	45.22	-53.06	69.72	310
M _{Ma}	37.37	70.69	-30.1	76.83	337
N _{Ma}	15.0	0.0	0.0	0.0	0
W _{Ma}	90.0	0.0	0.0	0.0	0
R _{CIE}	39.92	58.74	27.99	65.07	25
J _{CIE}	81.26	-2.88	71.56	71.62	92
G _{CIE}	52.23	-42.41	13.6	44.55	162
B _{CIE}	30.57	1.41	-46.46	46.49	272

Daten für Maximalfarbe (Ma):

$LAB^*LAB^*_{Ma}$: 38 1 -37

$LAB^*LCH^*_{Ma}$: 38 38 272

$lab^*rgb^*_{Ma}$: 0.0 0.0 1.0

$lab^*olv^*_{Ma}$: 0.0 0.62 1.0

Dreiecks-Helligkeit t^*

%Umfang

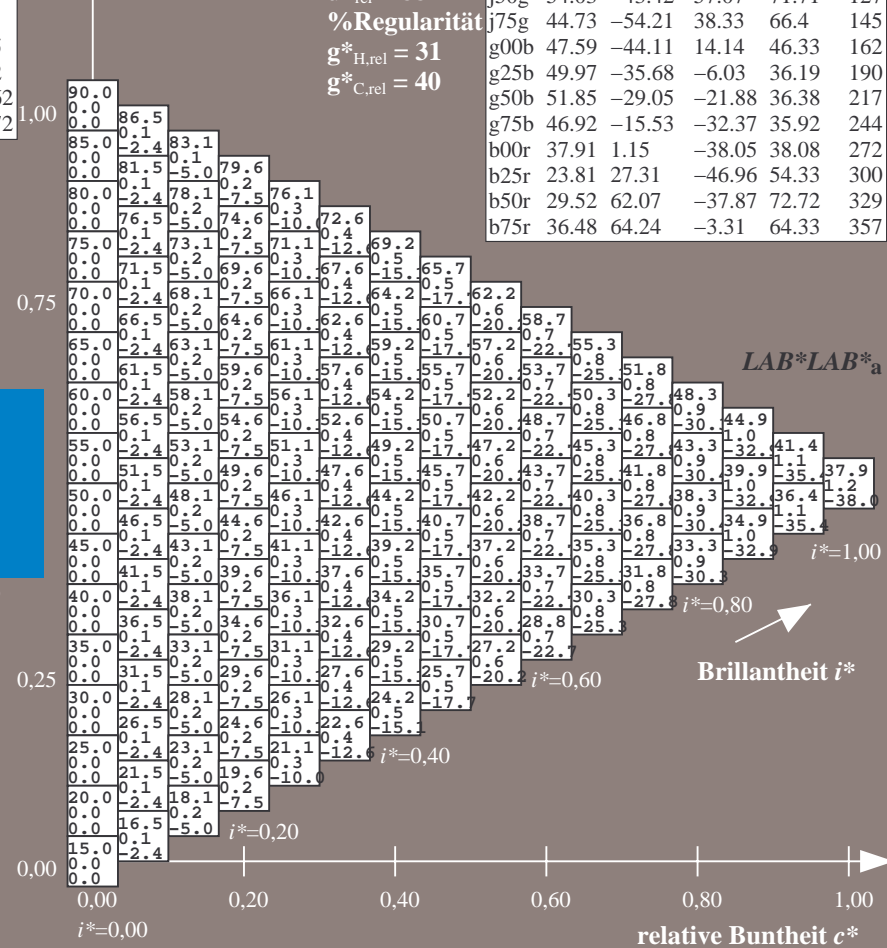
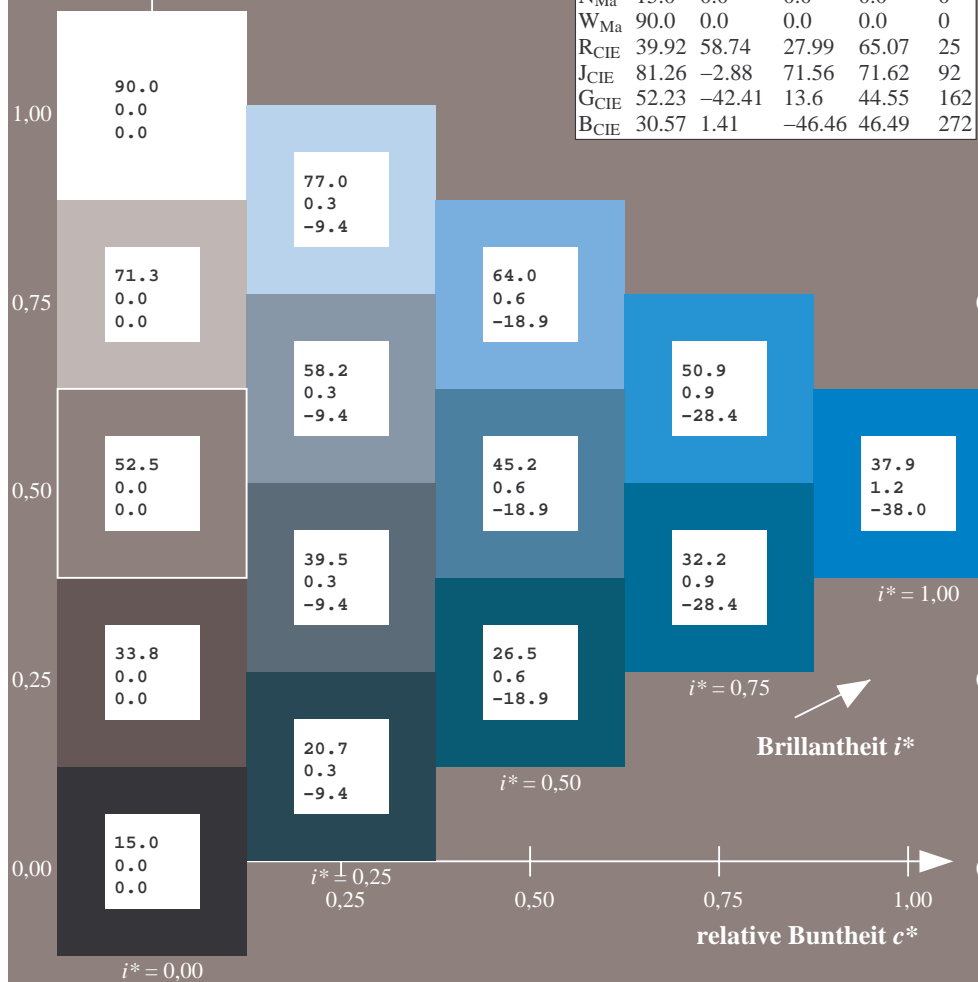
$u^*_{rel} = 88$

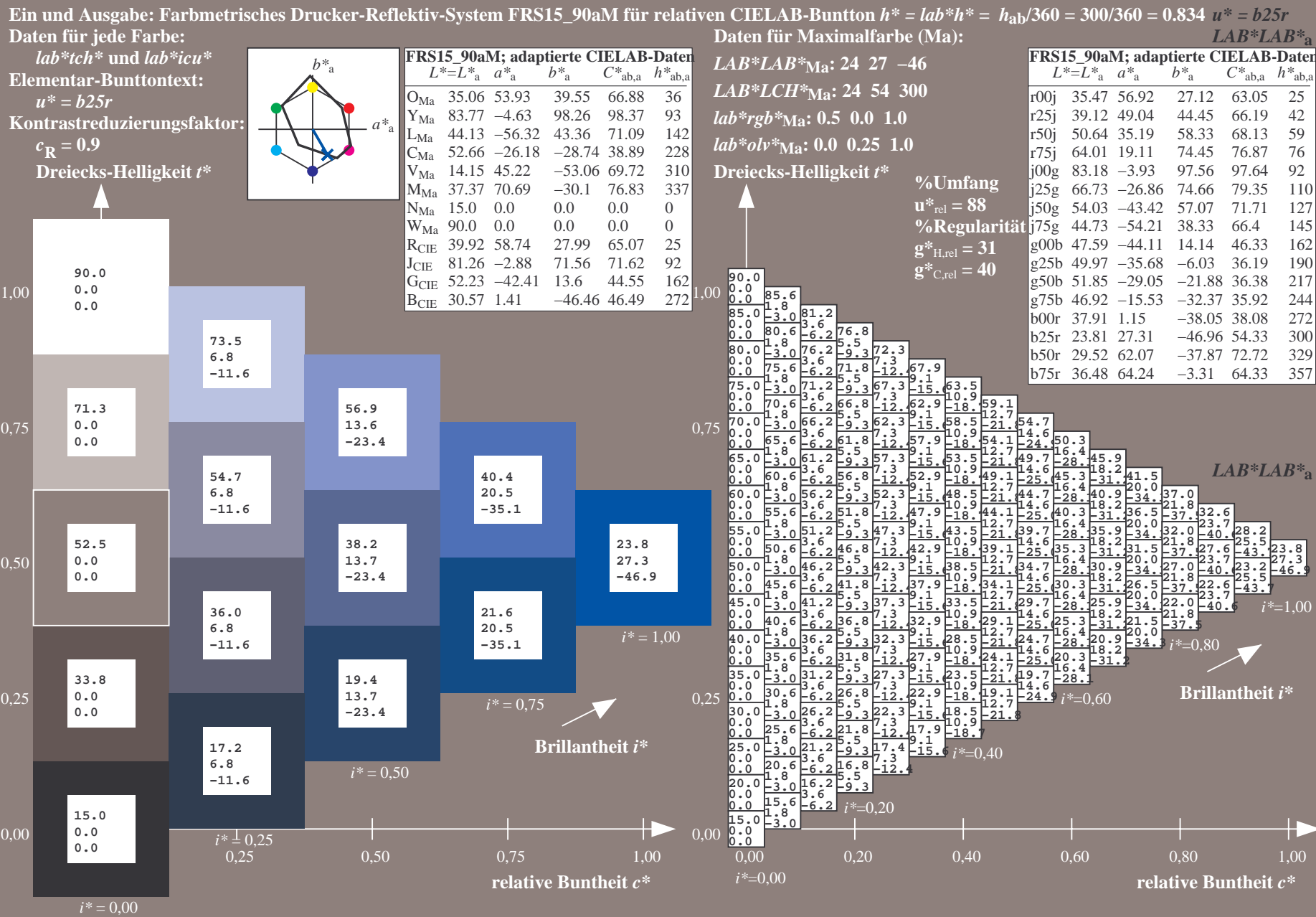
%Regularität

$g^*_{H,rel} = 31$

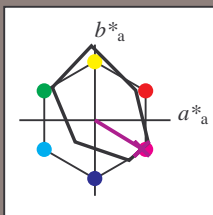
$g^*_{C,rel} = 40$

FRS15_90aM; adaptierte CIELAB-Daten					
	$L^*=L^*_a$	a^*_a	b^*_a	$C^*_{ab,a}$	$h^*_{ab,a}$
r00j	35.47	56.92	27.12	63.05	25
r25j	39.12	49.04	44.45	66.19	42
r50j	50.64	35.19	58.33	68.13	59
r75j	64.01	19.11	74.45	76.87	76
j00g	83.18	-3.93	97.56	97.64	92
j25g	66.73	-26.86	74.66	79.35	110
j50g	54.03	-43.42	57.07	71.71	127
j75g	44.73	-54.21	38.33	66.4	145
g00b	47.59	-44.11	14.14	46.33	162
g25b	49.97	-35.68	-6.03	36.19	190
g50b	51.85	-29.05	-21.88	36.38	217
g75b	46.92	-15.53	-32.37	35.92	244
b00r	37.91	1.15	-38.05	38.08	272
b25r	23.81	27.31	-46.96	54.33	300
b50r	29.52	62.07	-37.87	72.72	329
b75r	36.48	64.24	-3.31	64.33	357





Ein und Ausgabe: Farbmetrisches Drucker-Reflektiv-System FRS15_90aM für relativen CIELAB-Buntton $h^* = lab^*h^* = h_{ab}/360 = 329/360 = 0.913$ $u^* = b50r$
Daten für jede Farbe:
 lab^*ch^* und lab^*icu^*
Elementar-Bunttontext:
 $u^* = b50r$
Kontrastreduzierungsfaktor:
 $c_R = 0.9$
Dreiecks-Helligkeit i^*



FRS15_90aM; adaptierte CIELAB-Daten					
	$L^*=L^*_a$	a^*_a	b^*_a	$C^*_{ab,a}$	$h^*_{ab,a}$
O _{Ma}	35.06	53.93	39.55	66.88	36
Y _{Ma}	83.77	-4.63	98.26	98.37	93
L _{Ma}	44.13	-56.32	43.36	71.09	142
C _{Ma}	52.66	-26.18	-28.74	38.89	228
V _{Ma}	14.15	45.22	-53.06	69.72	310
M _{Ma}	37.37	70.69	-30.1	76.83	337
N _{Ma}	15.0	0.0	0.0	0.0	0
W _{Ma}	90.0	0.0	0.0	0.0	0
R _{CIE}	39.92	58.74	27.99	65.07	25
J _{CIE}	81.26	-2.88	71.56	71.62	92
G _{CIE}	52.23	-42.41	13.6	44.55	162
B _{CIE}	30.57	1.41	-46.46	46.49	272

Daten für Maximalfarbe (Ma):

$LAB^*LAB^*_{Ma}$: 30 62 -37

$LAB^*LCH^*_{Ma}$: 30 73 329

$lab^*rgb^*_{Ma}$: 1.0 0.0 1.0

$lab^*olv^*_{Ma}$: 0.66 0.0 1.0

Dreiecks-Helligkeit i^*

%Umfang

$u^*_{rel} = 88$

%Regularität

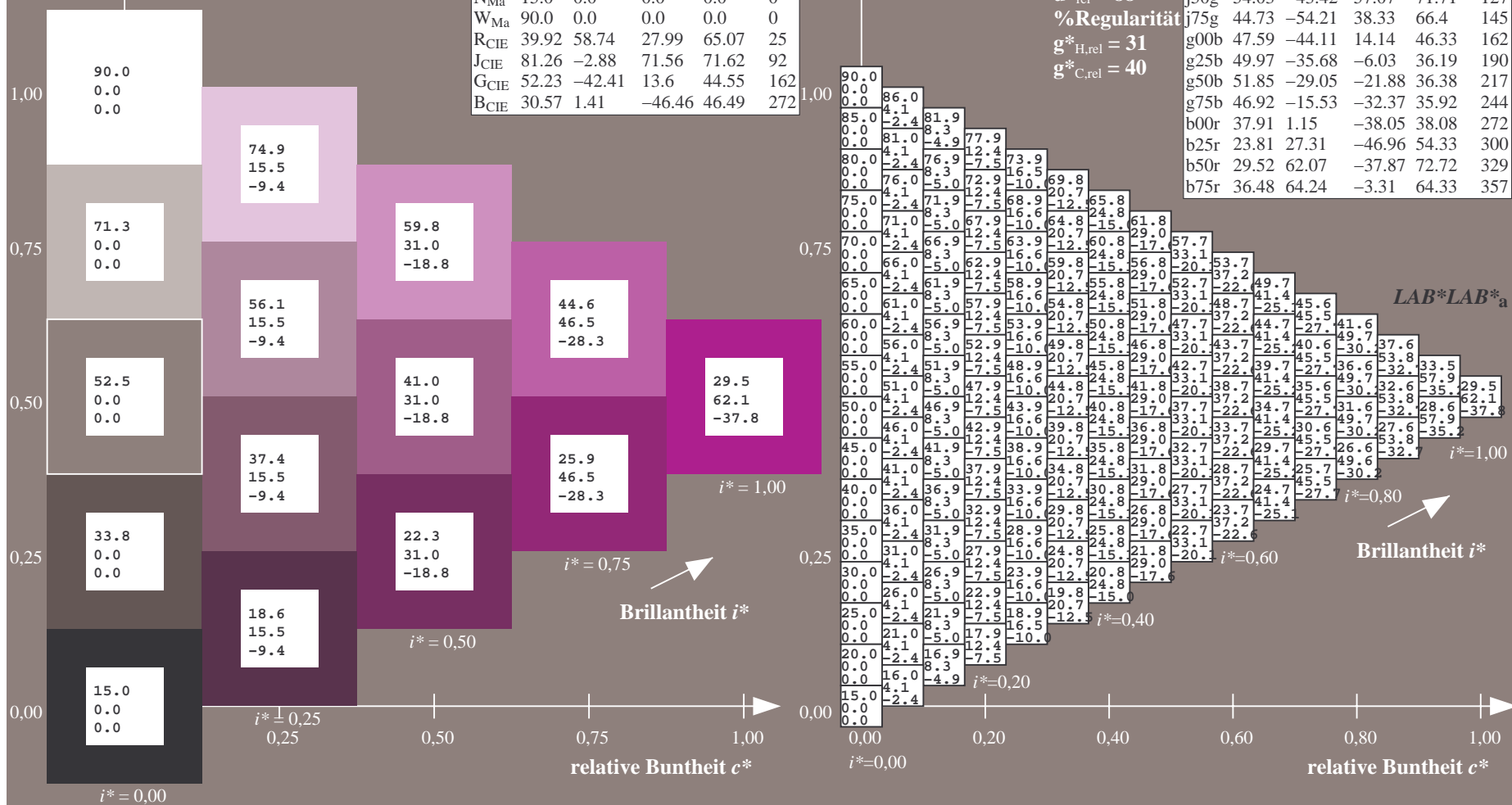
$g^*_{H,rel} = 31$

$g^*_{C,rel} = 40$

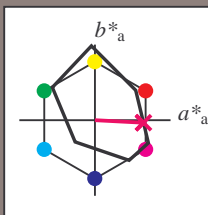
FRS15_90aM; adaptierte CIELAB-Daten					
	$L^*=L^*_a$	a^*_a	b^*_a	$C^*_{ab,a}$	$h^*_{ab,a}$
r00j	35.47	56.92	27.12	63.05	25
r25j	39.12	49.04	44.45	66.19	42
r50j	50.64	35.19	58.33	68.13	59
r75j	64.01	19.11	74.45	76.87	76
j00g	83.18	-3.93	97.56	97.64	92
j25g	66.73	-26.86	74.66	79.35	110
j50g	54.03	-43.42	57.07	71.71	127
j75g	44.73	-54.21	38.33	66.4	145
g00b	47.59	-44.11	14.14	46.33	162
g25b	49.97	-35.68	-6.03	36.19	190
g50b	51.85	-29.05	-21.88	36.38	217
g75b	46.92	-15.53	-32.37	35.92	244
b00r	37.91	1.15	-38.05	38.08	272
b25r	23.81	27.31	-46.96	54.33	300
b50r	29.52	62.07	-37.87	72.72	329
b75r	36.48	64.24	-3.31	64.33	357

Siehe ähnliche Dateien: <http://www.ps.bam.de/Dg93/>; www.ps.bam.de/Dg93/HTM
Technische Information: <http://www.ps.bam.de> Version 2.1, io=1,1, ColSpx=0

BAM-Registrierung: 20080701-Dg93/10L/L93G00NA.PS/.TXTBAM-Material: Code=rh4ta
Anwendung für Beurteilung und Messung von Drucker- oder Monitorsystemen



Ein und Ausgabe: Farbmetrisches Drucker-Reflektiv-System FRS15_90aM für relativen CIELAB-Buntton $h^* = lab^*h^* = h_{ab}/360 = 357/360 = 0.992$ $u^* = b75r$
Daten für jede Farbe:
 lab^*ch^* und lab^*icu^*
Elementar-Bunttontext:
 $u^* = b75r$
Kontrastreduzierungsfaktor:
 $c_R = 0.9$
Dreiecks-Helligkeit i^*



FRS15_90aM; adaptierte CIELAB-Daten					
	$L^*=L^*_a$	a^*_a	b^*_a	$C^*_{ab,a}$	$h^*_{ab,a}$
O _{Ma}	35.06	53.93	39.55	66.88	36
Y _{Ma}	83.77	-4.63	98.26	98.37	93
L _{Ma}	44.13	-56.32	43.36	71.09	142
C _{Ma}	52.66	-26.18	-28.74	38.89	228
V _{Ma}	14.15	45.22	-53.06	69.72	310
M _{Ma}	37.37	70.69	-30.1	76.83	337
N _{Ma}	15.0	0.0	0.0	0.0	0
W _{Ma}	90.0	0.0	0.0	0.0	0
R _{CIE}	39.92	58.74	27.99	65.07	25
J _{CIE}	81.26	-2.88	71.56	71.62	92
G _{CIE}	52.23	-42.41	13.6	44.55	162
B _{CIE}	30.57	1.41	-46.46	46.49	272

Daten für Maximalfarbe (Ma):

$LAB^*LAB^*_{Ma}$: 36 64 -2

$LAB^*LCH^*_{Ma}$: 36 64 357

$lab^*rgb^*_{Ma}$: 1.0 0.0 0.5

$lab^*olv^*_{Ma}$: 1.0 0.0 0.62

Dreiecks-Helligkeit i^*

%Umfang

$u^*_{rel} = 88$

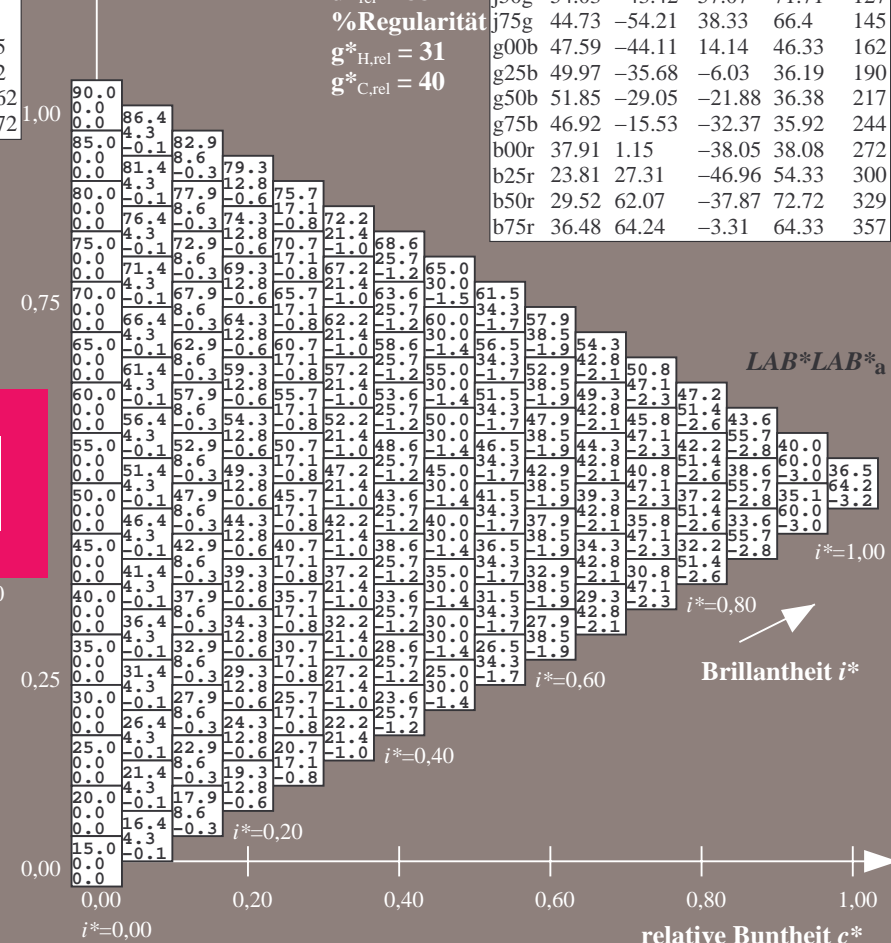
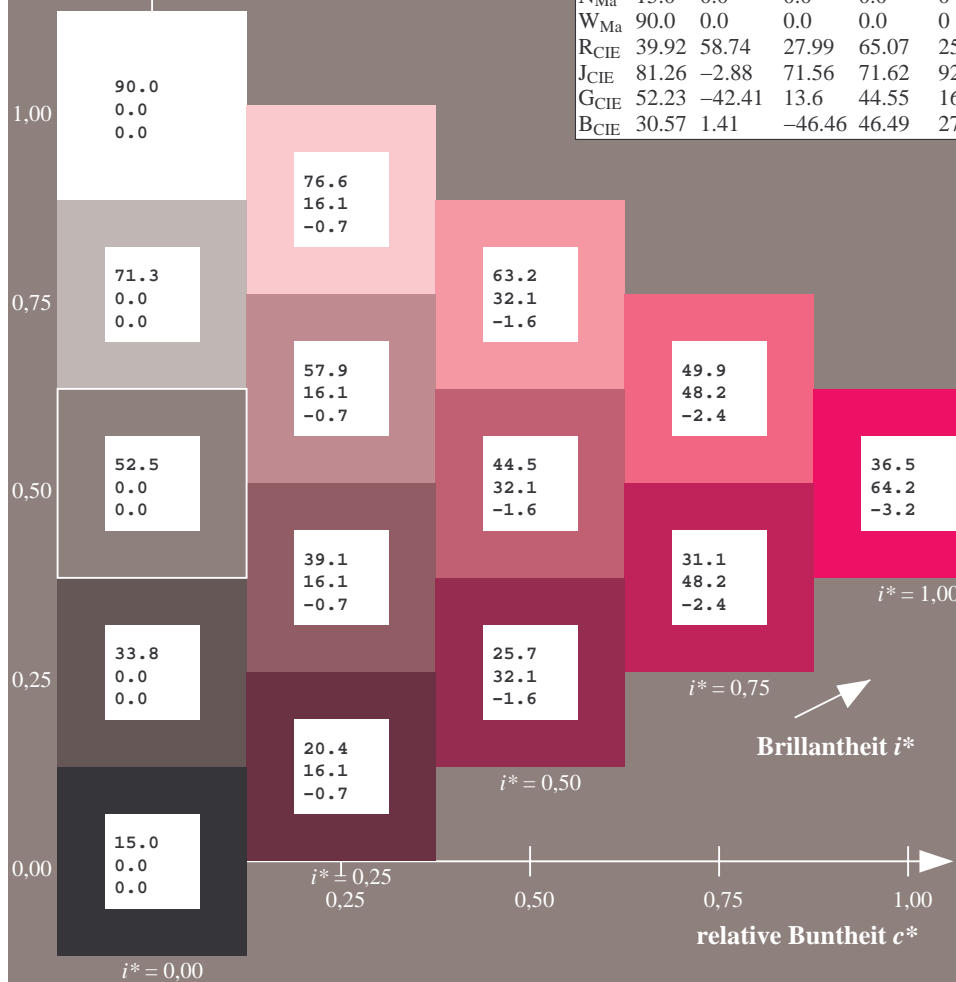
%Regularität

$g^*_{H,rel} = 31$

$g^*_{C,rel} = 40$

FRS15_90aM; adaptierte CIELAB-Daten					
	$L^*=L^*_a$	a^*_a	b^*_a	$C^*_{ab,a}$	$h^*_{ab,a}$
r00j	35.47	56.92	27.12	63.05	25
r25j	39.12	49.04	44.45	66.19	42
r50j	50.64	35.19	58.33	68.13	59
r75j	64.01	19.11	74.45	76.87	76
j00g	83.18	-3.93	97.56	97.64	92
j25g	66.73	-26.86	74.66	79.35	110
j50g	54.03	-43.42	57.07	71.71	127
j75g	44.73	-54.21	38.33	66.4	145
g00b	47.59	-44.11	14.14	46.33	162
g25b	49.97	-35.68	-6.03	36.19	190
g50b	51.85	-29.05	-21.88	36.38	217
g75b	46.92	-15.53	-32.37	35.92	244
b00r	37.91	1.15	-38.05	38.08	272
b25r	23.81	27.31	-46.96	54.33	300
b50r	29.52	62.07	-37.87	72.72	329
b75r	36.48	64.24	-3.31	64.33	357

LAB^*LAB^*_a					
r00j	35.47	56.92	27.12	63.05	25
r25j	39.12	49.04	44.45	66.19	42
r50j	50.64	35.19	58.33	68.13	59
r75j	64.01	19.11	74.45	76.87	76
j00g	83.18	-3.93	97.56	97.64	92
j25g	66.73	-26.86	74.66	79.35	110
j50g	54.03	-43.42	57.07	71.71	127
j75g	44.73	-54.21	38.33	66.4	145
g00b	47.59	-44.11	14.14	46.33	162
g25b	49.97	-35.68	-6.03	36.19	190
g50b	51.85	-29.05	-21.88	36.38	217
g75b	46.92	-15.53	-32.37	35.92	244
b00r	37.91	1.15	-38.05	38.08	272
b25r	23.81	27.31	-46.96	54.33	300
b50r	29.52	62.07	-37.87	72.72	329
b75r	36.48	64.24	-3.31	64.33	357

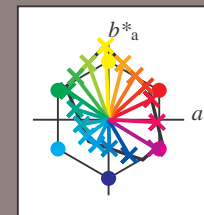


Siehe ähnliche Dateien: <http://www.ps.bam.de/Dg93/>; www.ps.bam.de/Dg93/10L/L93G00NA.PS/.TXT
Technische Information: [http://www.ps.bam.de/Version 2.1, io=1.1, ColSpX=0](http://www.ps.bam.de/Version%202.1,io=1.1,ColSpX=0)

	A	B	C	D	E	F	G	H	I	J	K	L	M	N	O	P	Q	R	S	T	U	V	W	X	Y	Z	a	b	c	d	e	f	g	h	i	j	k	LAB*	LAB*
01	15.0	18.6	22.3	25.9	29.6	33.2	36.9	40.5	44.1	47.7	51.3	54.9	58.5	62.1	65.7	69.3	72.9	76.5	80.1	83.7	87.3	90.9	94.5	98.1	101.7	105.3	108.9	112.5	116.1	119.7	123.3	126.9	130.5	134.1	137.7	141.3	144.9	148.5	152.1
02	0.0	-6.9	-14.0	-21.0	-28.1	-35.1	-42.1	-49.2	-56.2	-63.3	-70.3	-77.4	-84.4	-91.5	-98.5	-105.6	-112.6	-119.7	-126.7	-133.8	-140.8	-147.9	-154.9	-161.9	-168.9	-175.9	-182.9	-189.9	-196.9	-203.9	-210.9	-217.9	-224.9	-231.9	-238.9	-245.9	-252.9		
03	14.9	19.7	23.4	27.0	30.6	34.3	37.9	41.6	45.2	48.8	52.4	56.0	59.6	63.2	66.8	70.4	74.0	77.6	81.2	84.8	88.4	92.0	95.6	99.2	102.8	106.4	110.0	113.6	117.2	120.8	124.4	128.0	131.6	135.2	138.8	142.4	146.0	149.6	153.2
04	5.6	-3.2	-10.2	-17.3	-24.3	-31.3	-38.4	-45.4	-52.5	-59.5	-66.6	-73.6	-80.7	-87.7	-94.8	-101.8	-108.9	-115.9	-123.0	-130.0	-137.0	-144.0	-151.0	-158.0	-165.0	-172.0	-179.0	-186.0	-193.0	-200.0	-207.0	-214.0	-221.0	-228.0	-235.0	-242.0	-249.0		
05	-6.5	-3.5	1.8	7.2	12.7	18.1	23.5	28.9	34.3	39.7	45.1	50.5	55.9	61.3	66.7	72.1	77.5	82.9	88.3	93.7	99.1	104.5	109.9	115.3	120.7	126.1	131.5	136.9	142.3	147.7	153.1	158.5	163.9	169.3	174.7	180.1	185.5	190.9	
06	14.8	19.6	24.4	29.1	33.7	38.4	43.0	47.7	52.3	57.0	61.6	66.3	70.9	75.6	80.2	84.9	89.5	94.2	98.8	103.5	108.1	112.8	117.4	122.1	126.7	131.4	136.0	140.7	145.3	150.0	154.6	159.3	163.9	168.5	173.2	177.8	182.4	187.1	
07	11.3	2.4	-6.4	-13.5	-20.5	-27.6	-34.6	-41.7	-48.7	-55.8	-62.8	-69.8	-76.8	-83.8	-90.8	-97.8	-104.8	-111.8	-118.8	-125.8	-132.8	-139.8	-146.8	-153.8	-160.8	-167.8	-174.8	-181.8	-188.8	-195.8	-202.8	-209.8	-216.8	-223.8	-230.8	-237.8	-244.8		
08	-13.2	-10.1	-7.1	-1.7	3.7	9.1	14.5	19.9	25.3	30.7	36.1	41.5	46.9	52.3	57.7	63.1	68.5	73.9	79.3	84.7	90.1	95.5	100.9	106.3	111.7	117.1	122.5	127.9	133.3	138.7	144.1	149.5	154.9	160.3	165.7	171.1	176.5	181.9	
09	14.7	19.5	24.3	29.1	33.8	38.4	43.0	47.7	52.3	57.0	61.6	66.3	70.9	75.6	80.2	84.9	89.5	94.2	98.8	103.5	108.1	112.8	117.4	122.1	126.7	131.4	136.0	140.7	145.3	150.0	154.6	159.3	163.9	168.5	173.2	177.8	182.4	187.1	
10	17.0	8.0	-0.8	-9.7	-16.8	-23.8	-30.8	-37.9	-44.9	-51.9	-58.9	-65.9	-72.9	-79.9	-86.9	-93.9	-100.9	-107.9	-114.9	-121.9	-128.9	-135.9	-142.9	-149.9	-156.9	-163.9	-170.9	-177.9	-184.9	-191.9	-198.9	-205.9	-212.9	-219.9	-226.9	-233.9	-240.9		
11	-19.8	-16.8	-13.7	-10.7	-7.7	-4.7	1.3	6.7	12.1	17.5	22.9	28.3	33.7	39.1	44.5	49.9	55.3	60.7	66.1	71.5	76.9	82.3	87.7	93.1	98.5	103.9	109.3	114.7	120.1	125.5	130.9	136.3	141.7	147.1	152.5	157.9	163.3	168.7	
12	14.6	19.4	24.2	29.0	33.8	38.5	43.1	47.8	52.4	57.1	61.7	66.4	71.0	75.7	80.3	85.0	89.6	94.3	98.9	103.6	108.2	112.9	117.5	122.2	126.8	131.5	136.1	140.8	145.4	150.1	154.7	159.4	164.0	168.6	173.3	177.9	182.5	187.2	
13	22.6	13.7	4.8	-4.1	-13.0	-20.0	-27.1	-34.1	-41.2	-48.2	-55.2	-62.2	-69.2	-76.2	-83.2	-90.2	-97.2	-104.2	-111.2	-118.2	-125.2	-132.2	-139.2	-146.2	-153.2	-160.2	-167.2	-174.2	-181.2	-188.2	-195.2	-202.2	-209.2	-216.2	-223.2	-230.2	-237.2		
14	-26.4	-23.4	-20.4	-17.3	-14.3	-11.3	-8.3	-5.3	-2.3	0.7	3.7	6.7	9.7	12.7	15.7	18.7	21.7	24.7	27.7	30.7	33.7	36.7	39.7	42.7	45.7	48.7	51.7	54.7	57.7	60.7	63.7	66.7	69.7	72.7	75.7	78.7	81.7		
15	14.5	19.3	24.1	28.9	33.7	38.5	43.2	47.9	52.6	57.3	62.0	66.7	71.4	76.1	80.8	85.5	90.2	94.9	99.6	104.3	109.0	113.7	118.4	123.1	127.8	132.5	137.2	141.9	146.6	151.3	156.0	160.7	165.4	170.1	174.8	179.5	184.2	188.9	
16	28.3	19.3	10.4	1.5	-7.3	-16.3	-23.3	-30.4	-37.4	-44.4	-51.4	-58.4	-65.4	-72.4	-79.4	-86.4	-93.4	-100.4	-107.4	-114.4	-121.4	-128.4	-135.4	-142.4	-149.4	-156.4	-163.4	-170.4	-177.4	-184.4	-191.4	-198.4	-205.4	-212.4	-219.4	-226.4	-233.4		
17	-33.1	-30.0	-27.0	-23.9	-20.9	-17.9	-14.8	-11.8	-8.8	-5.8	-2.8	0.2	3.2	6.2	9.2	12.2	15.2	18.2	21.2	24.2	27.2	30.2	33.2	36.2	39.2	42.2	45.2	48.2	51.2	54.2	57.2	60.2	63.2	66.2	69.2	72.2	75.2		
18	33.9	25.0	16.1	7.1	-1.7	-10.6	-17.5	-24.4	-31.3	-38.2	-45.1	-52.0	-58.9	-65.8	-72.7	-79.6	-86.5	-93.4	-100.3	-107.2	-114.1	-121.0	-127.9	-134.8	-141.7	-148.6	-155.5	-162.4	-169.3	-176.2	-183.1	-190.0	-196.9	-203.8	-210.7	-217.6	-224.5		
19	-39.7	-36.7	-33.6	-30.6	-27.5	-24.5	-21.5	-18.5	-15.5	-12.5	-9.5	-6.5	-3.5	-0.5	2.5	5.5	8.5	11.5	14.5	17.5	20.5	23.5	26.5	29.5	32.5	35.5	38.5	41.5	44.5	47.5	50.5	53.5	56.5	59.5	62.5	65.5	68.5		
20	14.3	19.1	23.9	28.7	33.5	38.3	43.1	47.8	52.6	57.3	62.0	66.7	71.4	76.1	80.8	85.5	90.2	94.9	99.6	104.3	109.0	113.7	118.4	123.1	127.8	132.5	137.2	141.9	146.6	151.3	156.0	160.7	165.4	170.1	174.8	179.5	184.2	188.9	
21	39.6	30.6	21.7	12.8	3.9	-5.0	-13.9	-22.8	-31.7	-40.6	-49.5	-58.4	-67.3	-76.2	-85.1	-94.0	-102.9	-111.8	-120.7	-129.6	-138.5	-147.4	-156.3	-165.2	-174.1	-183.0	-191.9	-200.8	-209.7	-218.6	-227.5	-236.4	-245.3	-254.2	-263.1	-272.0	-280.9		
22	-46.3	-43.3	-40.3	-37.2	-34.2	-31.1	-28.1	-25.1	-22.1	-19.1	-16.1	-13.1	-10.1	-7.1	-4.1	-1.1	1.9	4.9	7.9	10.9	13.9	16.9	19.9	22.9	25.9	28.9	31.9	34.9	37.9	40.9	43.9	46.9	49.9	52.9	55.9	58.9	61.9		
23	14.2	19.0	23.8	28.6	33.4	38.2	43.0	47.8	52.6	57.4	62.2	67.0	71.8	76.6	81.4	86.2	91.0	95.8	100.6	105.4	110.2	115.0	119.8	124.6	129.4	134.2	139.0	143.8	148.6	153.4	158.2	163.0	167.8	172.6	177.4	182.2	187.0	191.8	
24	45.2	36.3	27.4	18.4	9.5	0.6	-8.2	-17.2	-26.1	-35.0	-43.9	-52.8	-61.7	-70.6	-79.5	-88.4	-97.3	-106.2	-115.1	-124.0	-132.9	-141.8	-150.7	-159.6	-168.5	-177.4	-186.3	-195.2	-204.1	-213.0	-221.9	-230.8	-239.7	-248.6	-257.5	-266.4	-275.3		
25	-53.0	-49.9	-46.9	-43.8	-40.8	-37.8	-34.7	-31.7	-28.6	-25.6	-22.6	-19.5	-16.5	-13.5	-10.5	-7.5	-4.5	-1.5	1.5	4.5	7.5	10.5	13.5	16.5	19.5	22.5	25.5	28.5	31.5	34.5	37.5	40.5	43.5	46.5	49.5	52.5	55.5		
26	22.5	28.6	34.7	40.8	46.9	52.9	59.0	65.1	71.2	77.3	83.4	89.5	95.6	101.7	107.8	113.9	119.9	126.0	132.1	138.2	144.3	150.4	156.5	162.6	168.7	174.8	180.9	186.9	193.0	199.1	205.2	211.3	217.4	223.5	229.6	235.7	241.8	247.9	
27	22.0	12.9	5.6	-1.6	-8.7	-15.7	-22.8	-29.8	-36.8	-43.8	-50.8	-57.8	-64.8	-71.8	-78.8	-85.8	-92.8	-99.8	-106.8	-113.8	-120.8	-127.8	-134.8	-141.8	-148.8	-155.8	-162.8	-169.8	-176.8	-183.8	-190.8	-197.8	-204.8	-211.8	-218.8	-225.8	-232.8		
28	14.8	22.2	29.5	36.8	44.2	51.5	58.8.																																

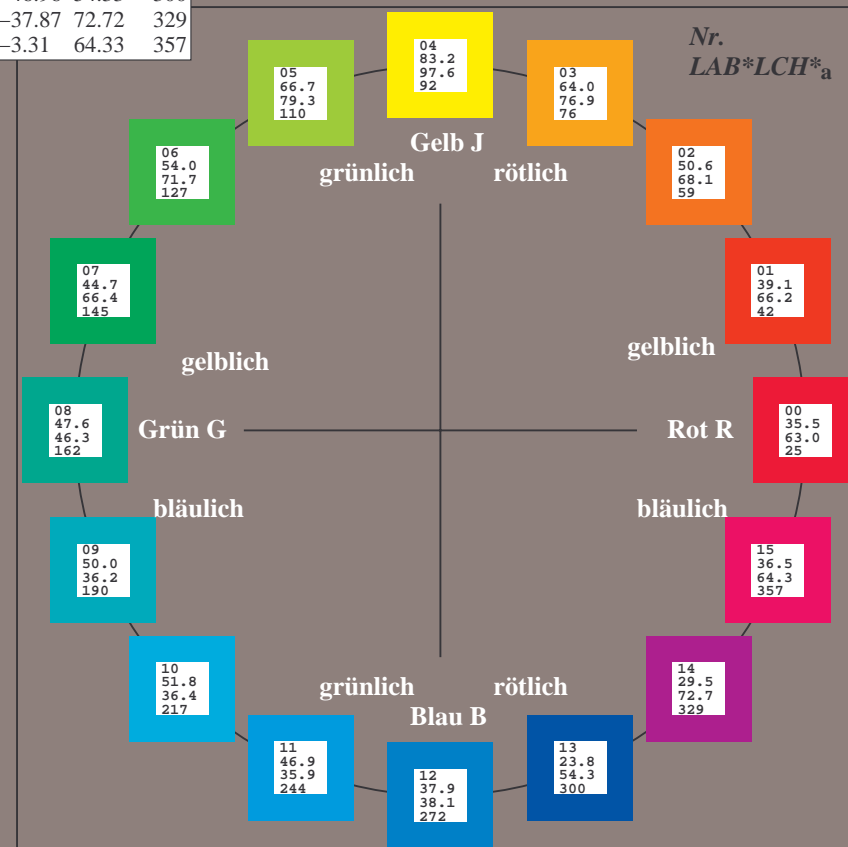
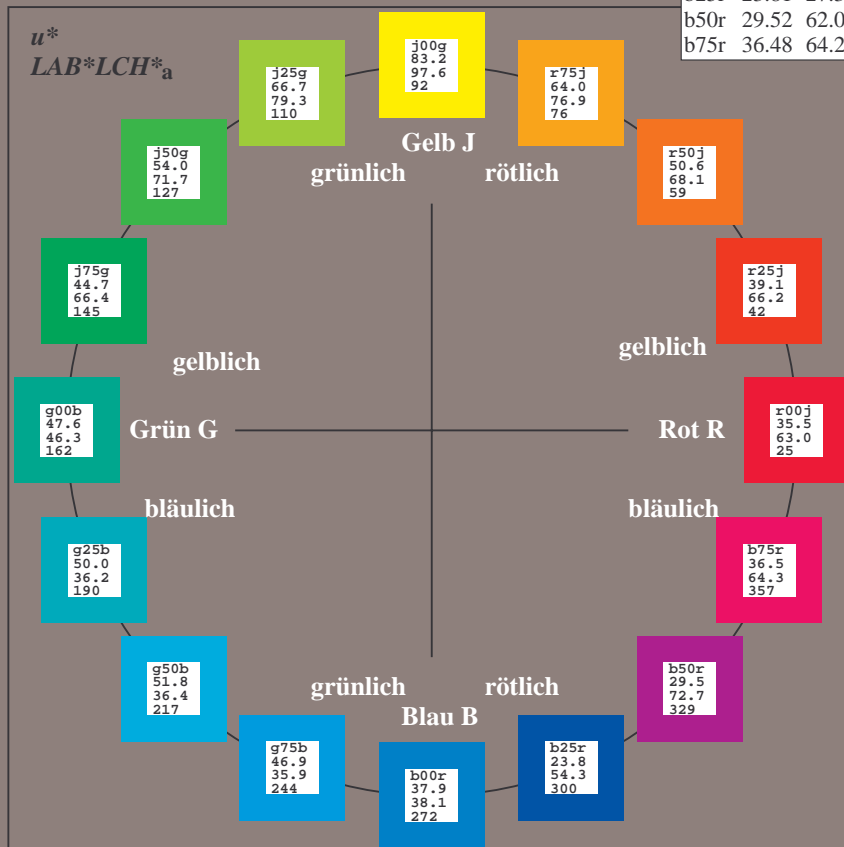
Ein und Ausgabe:
Farbmetrisches Drucker-Reflektiv-System FRS15_90aM
Daten für jede Farbe:
*lab*_{rch}** und *lab*_{icu}**
Elementar-Bunntontext:
*u** = 16 Bunttöne *r00j*, *r25j*, ..., *b75r*
Kontrastreduzierungsfaktor:
c_R = 0.9

FRS15_90aM; adaptierte CIELAB-Daten					
	<i>L*</i> _a	<i>a*</i> _a	<i>b*</i> _a	<i>C*</i> _{ab,a}	<i>h*</i> _{ab,a}
r00j	35.47	56.92	27.12	63.05	25
r25j	39.12	49.04	44.45	66.19	42
r50j	50.64	35.19	58.33	68.13	59
r75j	64.01	19.11	74.45	76.87	76
j00g	83.18	-3.93	97.56	97.64	92
j25g	66.73	-26.86	74.66	79.35	110
j50g	54.03	-43.42	57.07	71.71	127
j75g	44.73	-54.21	38.33	66.4	145
g00b	47.59	-44.11	14.14	46.33	162
g25b	49.97	-35.68	-6.03	36.19	190
g50b	51.85	-29.05	-21.88	36.38	217
g75b	46.92	-15.53	-32.37	35.92	244
b00r	37.91	1.15	-38.05	38.08	272
b25r	23.81	27.31	-46.96	54.33	300
b50r	29.52	62.07	-37.87	72.72	329
b75r	36.48	64.24	-3.31	64.33	357



%Umfang
*u**_{rel} = 88
%Regularität
*g**_{H,rel} = 31
*g**_{C,rel} = 40

FRS15_90aM; adaptierte CIELAB-Daten					
	<i>L*</i> _a	<i>a*</i> _a	<i>b*</i> _a	<i>C*</i> _{ab,a}	<i>h*</i> _{ab,a}
OMa	35.06	53.93	39.55	66.88	36
YMa	83.77	-4.63	98.26	98.37	93
LMa	44.13	-56.32	43.36	71.09	142
CMa	52.66	-26.18	-28.74	38.89	228
VMa	14.15	45.22	-53.06	69.72	310
MMa	37.37	70.69	-30.1	76.83	337
NMa	15.0	0.0	0.0	0.0	0
WMa	90.0	0.0	0.0	0.0	0
RCIE	39.92	58.74	27.99	65.07	25
JCIE	81.26	-2.88	71.56	71.62	92
GCIE	52.23	-42.41	13.6	44.55	162
BCIE	30.57	1.41	-46.46	46.49	272



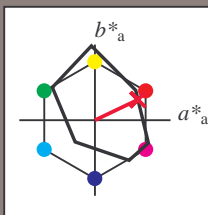
Ein und Ausgabe: Farbmetrisches Drucker-Reflektiv-System FRS15_90aM für relativen CIELAB-Buntton $h^* = lab^*h^* = h_{ab}/360 = 25/360 = 0.071$ $u^* = r00j$

Daten für jede Farbe:
 lab^*tch^* und lab^*icu^*

Elementar-Bunttontext:
 $u^* = r00j$

Kontrastreduzierungsfaktor:
 $c_R = 0.9$

Dreiecks-Helligkeit t^*



FRS15_90aM; adaptierte CIELAB-Daten

	$L^*=L_a^*$	a^*_a	b^*_a	$C^*_{ab,a}$	$h^*_{ab,a}$
O _{Ma}	35.06	53.93	39.55	66.88	36
Y _{Ma}	83.77	-4.63	98.26	98.37	93
L _{Ma}	44.13	-56.32	43.36	71.09	142
C _{Ma}	52.66	-26.18	-28.74	38.89	228
V _{Ma}	14.15	45.22	-53.06	69.72	310
M _{Ma}	37.37	70.69	-30.1	76.83	337
N _{Ma}	15.0	0.0	0.0	0.0	0
W _{Ma}	90.0	0.0	0.0	0.0	0
R _{CIE}	39.92	58.74	27.99	65.07	25
J _{CIE}	81.26	-2.88	71.56	71.62	92
G _{CIE}	52.23	-42.41	13.6	44.55	162
B _{CIE}	30.57	1.41	-46.46	46.49	272

Daten für Maximalfarbe (Ma):

$LAB^*LAB^*_{Ma}$: 35 57 27

$LAB^*LCH^*_{Ma}$: 35 63 25

$lab^*rgb^*_{Ma}$: 1.0 0.0 0.0

$lab^*olv^*_{Ma}$: 1.0 0.0 0.18

Dreiecks-Helligkeit t^*

%Umfang

$u^*_{rel} = 88$

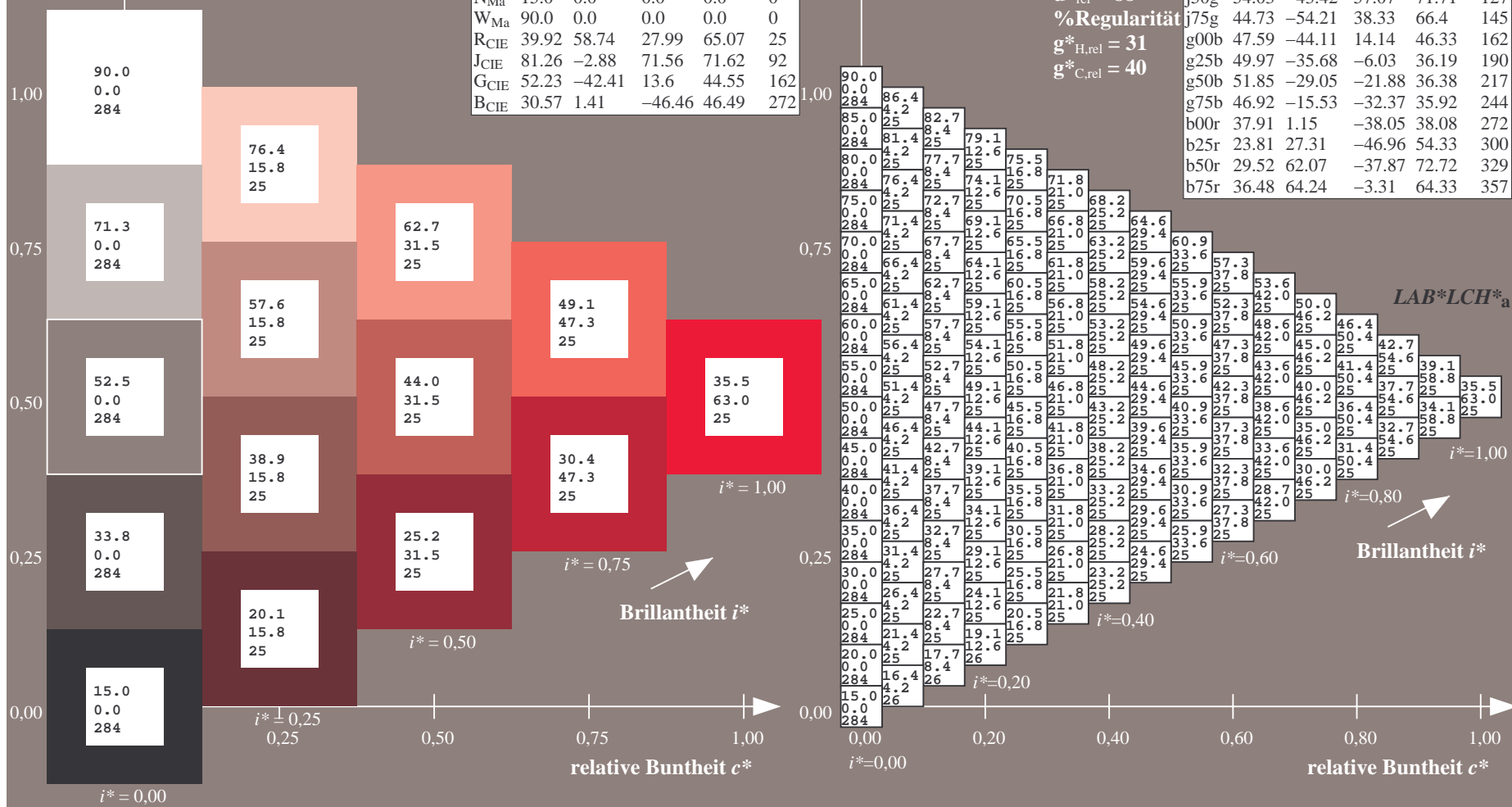
%Regularität

$g^*_{H,rel} = 31$

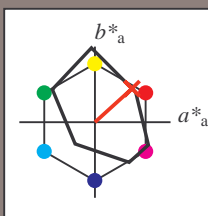
$g^*_{C,rel} = 40$

FRS15_90aM; adaptierte CIELAB-Daten

	$L^*=L_a^*$	a^*_a	b^*_a	$C^*_{ab,a}$	$h^*_{ab,a}$
r00j	35.47	56.92	27.12	63.05	25
r25j	39.12	49.04	44.45	66.19	42
r50j	50.64	35.19	58.33	68.13	59
r75j	64.01	19.11	74.45	76.87	76
j00g	83.18	-3.93	97.56	97.64	92
j25g	66.73	-26.86	74.66	79.35	110
j50g	54.03	-43.42	57.07	71.71	127
j75g	44.73	-54.21	38.33	66.4	145
g00b	47.59	-44.11	14.14	46.33	162
g25b	49.97	-35.68	-6.03	36.19	190
g50b	51.85	-29.05	-21.88	36.38	217
g75b	46.92	-15.53	-32.37	35.92	244
b00r	37.91	1.15	-38.05	38.08	272
b25r	23.81	27.31	-46.96	54.33	300
b50r	29.52	62.07	-37.87	72.72	329
b75r	36.48	64.24	-3.31	64.33	357



Ein und Ausgabe: Farbmetrisches Drucker-Reflektiv-System FRS15_90aM für relativen CIELAB-Buntton $h^* = lab^*h^* = h_{ab}/360 = 42/360 = 0.117$ $u^* = r25j$
Daten für jede Farbe:
 lab^*ch^* und lab^*icu^*
Elementar-Bunttontext:
 $u^* = r25j$
Kontrastreduzierungsfaktor:
 $c_R = 0.9$
Dreiecks-Helligkeit i^*



FRS15_90aM; adaptierte CIELAB-Daten					
	$L^*=L^*_a$	a^*_a	b^*_a	$C^*_{ab,a}$	$h^*_{ab,a}$
O _{Ma}	35.06	53.93	39.55	66.88	36
Y _{Ma}	83.77	-4.63	98.26	98.37	93
L _{Ma}	44.13	-56.32	43.36	71.09	142
C _{Ma}	52.66	-26.18	-28.74	38.89	228
V _{Ma}	14.15	45.22	-53.06	69.72	310
M _{Ma}	37.37	70.69	-30.1	76.83	337
N _{Ma}	15.0	0.0	0.0	0.0	0
W _{Ma}	90.0	0.0	0.0	0.0	0
R _{CIE}	39.92	58.74	27.99	65.07	25
J _{CIE}	81.26	-2.88	71.56	71.62	92
G _{CIE}	52.23	-42.41	13.6	44.55	162
B _{CIE}	30.57	1.41	-46.46	46.49	272

Daten für Maximalfarbe (Ma):

$LAB^*LAB^*_{Ma}$: 39 49 44

$LAB^*LCH^*_{Ma}$: 39 66 42

$lab^*rgb^*_{Ma}$: 1.0 0.25 0.0

$lab^*olv^*_{Ma}$: 1.0 0.08 0.0

Dreiecks-Helligkeit i^*

%Umfang

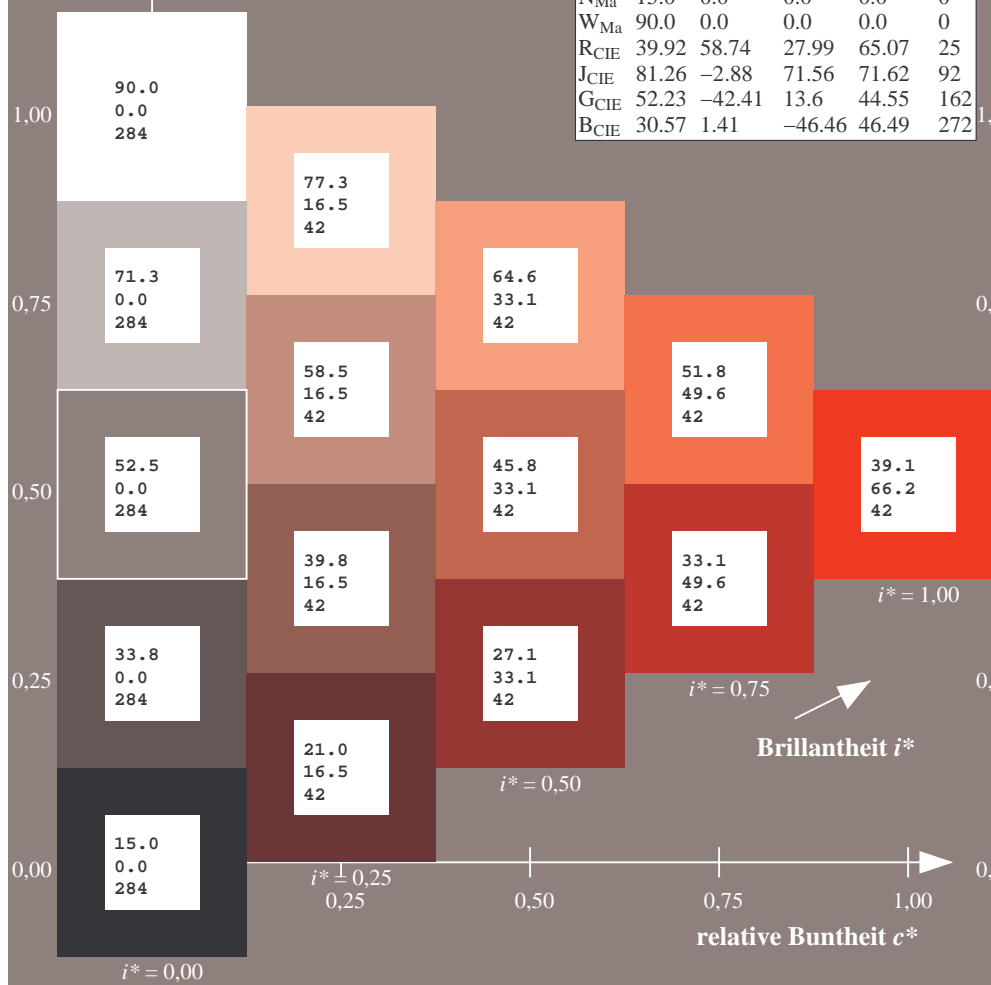
$u^*_{rel} = 88$

%Regularität

$g^*_{H,rel} = 31$

$g^*_{C,rel} = 40$

FRS15_90aM; adaptierte CIELAB-Daten					
	$L^*=L^*_a$	a^*_a	b^*_a	$C^*_{ab,a}$	$h^*_{ab,a}$
r00j	35.47	56.92	27.12	63.05	25
r25j	39.12	49.04	44.45	66.19	42
r50j	50.64	35.19	58.33	68.13	59
r75j	64.01	19.11	74.45	76.87	76
j00g	83.18	-3.93	97.56	97.64	92
j25g	66.73	-26.86	74.66	79.35	110
j50g	54.03	-43.42	57.07	71.71	127
j75g	44.73	-54.21	38.33	66.4	145
g00b	47.59	-44.11	14.14	46.33	162
g25b	49.97	-35.68	-6.03	36.19	190
g50b	51.85	-29.05	-21.88	36.38	217
g75b	46.92	-15.53	-32.37	35.92	244
b00r	37.91	1.15	-38.05	38.08	272
b25r	23.81	27.31	-46.96	54.33	300
b50r	29.52	62.07	-37.87	72.72	329
b75r	36.48	64.24	-3.31	64.33	357



Dreiecks-Helligkeit i^*

0.75

0.25

$i^*=0.00$

Brillantheit i^*

relative Buntheit c^*

$i^*=0.00$

0.20

0.40

0.60

0.80

1.00

relative Buntheit c^*

Brillantheit i^*

$i^*=0.80$

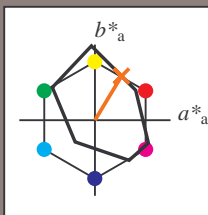
$i^*=0.60$

$i^*=0.40$

$i^*=0.20$

$i^*=0.00$

Ein und Ausgabe: Farbmetrisches Drucker-Reflektiv-System FRS15_90aM für relativen CIELAB-Buntton $h^* = lab^*h^* = h_{ab}/360 = 59/360 = 0.164$ $u^* = r50j$
Daten für jede Farbe:
 lab^*ch^* und lab^*icu^*
Elementar-Bunttontext:
 $u^* = r50j$
Kontrastreduzierungsfaktor:
 $c_R = 0.9$
Dreiecks-Helligkeit t^*



FRS15_90aM; adaptierte CIELAB-Daten					
	$L^*=L^*_a$	a^*_a	b^*_a	$C^*_{ab,a}$	$h^*_{ab,a}$
O _{Ma}	35.06	53.93	39.55	66.88	36
Y _{Ma}	83.77	-4.63	98.26	98.37	93
L _{Ma}	44.13	-56.32	43.36	71.09	142
C _{Ma}	52.66	-26.18	-28.74	38.89	228
V _{Ma}	14.15	45.22	-53.06	69.72	310
M _{Ma}	37.37	70.69	-30.1	76.83	337
N _{Ma}	15.0	0.0	0.0	0.0	0
W _{Ma}	90.0	0.0	0.0	0.0	0
R _{CIE}	39.92	58.74	27.99	65.07	25
J _{CIE}	81.26	-2.88	71.56	71.62	92
G _{CIE}	52.23	-42.41	13.6	44.55	162
B _{CIE}	30.57	1.41	-46.46	46.49	272

Daten für Maximalfarbe (Ma):

$LAB^*LAB^*_{Ma}$: 51 35 58

$LAB^*LCH^*_{Ma}$: 51 68 59

$lab^*rgb^*_{Ma}$: 1.0 0.5 0.0

$lab^*olv^*_{Ma}$: 1.0 0.32 0.0

Dreiecks-Helligkeit t^*

%Umfang

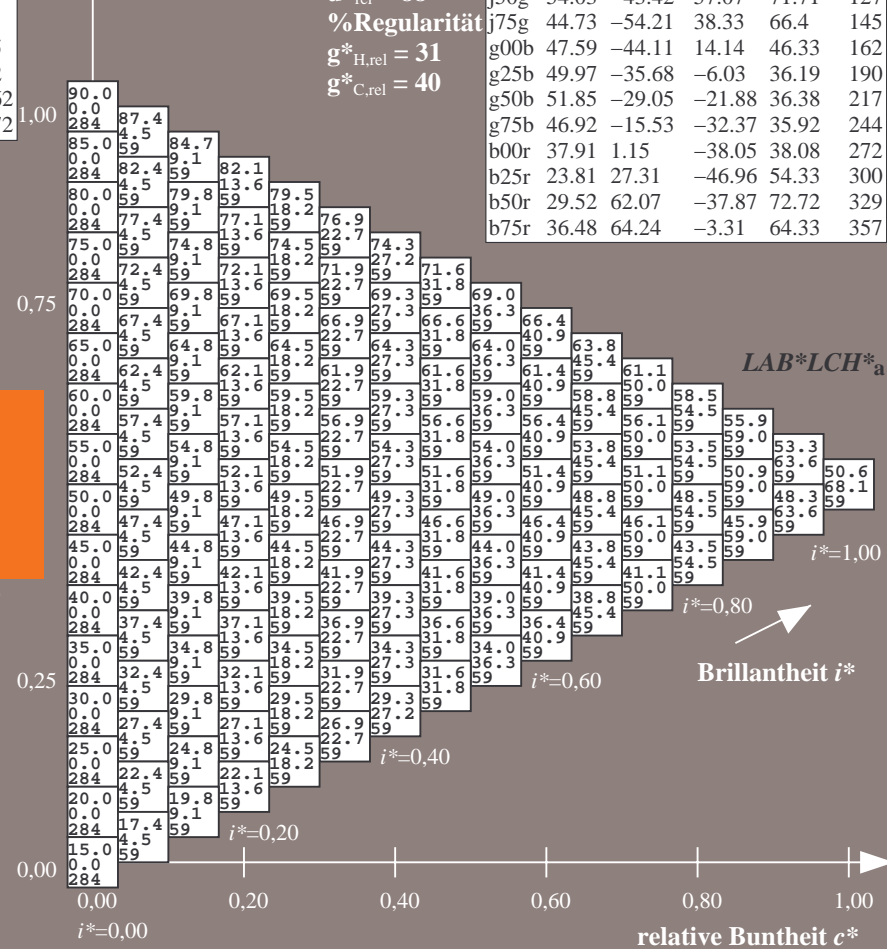
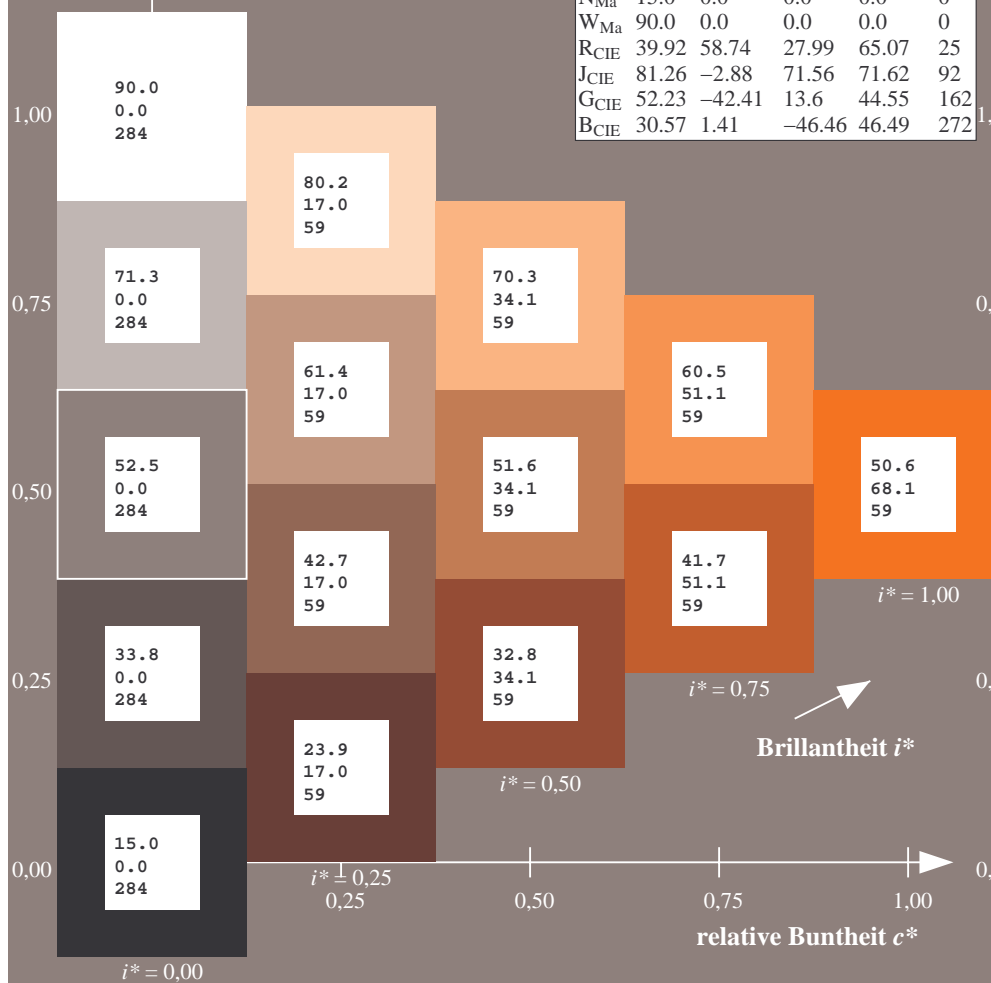
$u^*_{rel} = 88$

%Regularität

$g^*_{H,rel} = 31$

$g^*_{C,rel} = 40$

FRS15_90aM; adaptierte CIELAB-Daten					
	$L^*=L^*_a$	a^*_a	b^*_a	$C^*_{ab,a}$	$h^*_{ab,a}$
r00j	35.47	56.92	27.12	63.05	25
r25j	39.12	49.04	44.45	66.19	42
r50j	50.64	35.19	58.33	68.13	59
r75j	64.01	19.11	74.45	76.87	76
j00g	83.18	-3.93	97.56	97.64	92
j25g	66.73	-26.86	74.66	79.35	110
j50g	54.03	-43.42	57.07	71.71	127
j75g	44.73	-54.21	38.33	66.4	145
g00b	47.59	-44.11	14.14	46.33	162
g25b	49.97	-35.68	-6.03	36.19	190
g50b	51.85	-29.05	-21.88	36.38	217
g75b	46.92	-15.53	-32.37	35.92	244
b00r	37.91	1.15	-38.05	38.08	272
b25r	23.81	27.31	-46.96	54.33	300
b50r	29.52	62.07	-37.87	72.72	329
b75r	36.48	64.24	-3.31	64.33	357



Ein und Ausgabe: Farbmetrisches Drucker-Reflektiv-System FRS15_90aM für relativen CIELAB-Buntton $h^* = lab^*h^* = h_{ab}/360 = 76/360 = 0.21$ $u^* = r75j$

Daten für jede Farbe:

lab^*tch^* und lab^*icu^*

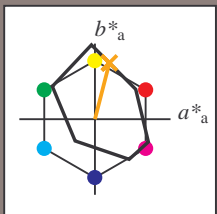
Elementar-Bunttontext:

$u^* = r75j$

Kontrastreduzierungsfaktor:

$c_R = 0.9$

Dreiecks-Helligkeit t^*



FRS15_90aM; adaptierte CIELAB-Daten

	$L^*=L^*_a$	a^*_a	b^*_a	$C^*_{ab,a}$	$h^*_{ab,a}$
O _{Ma}	35.06	53.93	39.55	66.88	36
Y _{Ma}	83.77	-4.63	98.26	98.37	93
L _{Ma}	44.13	-56.32	43.36	71.09	142
C _{Ma}	52.66	-26.18	-28.74	38.89	228
V _{Ma}	14.15	45.22	-53.06	69.72	310
M _{Ma}	37.37	70.69	-30.1	76.83	337
N _{Ma}	15.0	0.0	0.0	0.0	0
W _{Ma}	90.0	0.0	0.0	0.0	0
R _{CIE}	39.92	58.74	27.99	65.07	25
J _{CIE}	81.26	-2.88	71.56	71.62	92
G _{CIE}	52.23	-42.41	13.6	44.55	162
B _{CIE}	30.57	1.41	-46.46	46.49	272

Daten für Maximalfarbe (Ma):

$LAB^*LAB^*_{Ma}$: 64 19 74

$LAB^*LCH^*_{Ma}$: 64 77 76

$lab^*rgb^*_{Ma}$: 1.0 0.75 0.0

$lab^*olv^*_{Ma}$: 1.0 0.59 0.0

Dreiecks-Helligkeit t^*

%Umfang

$u^*_{rel} = 88$

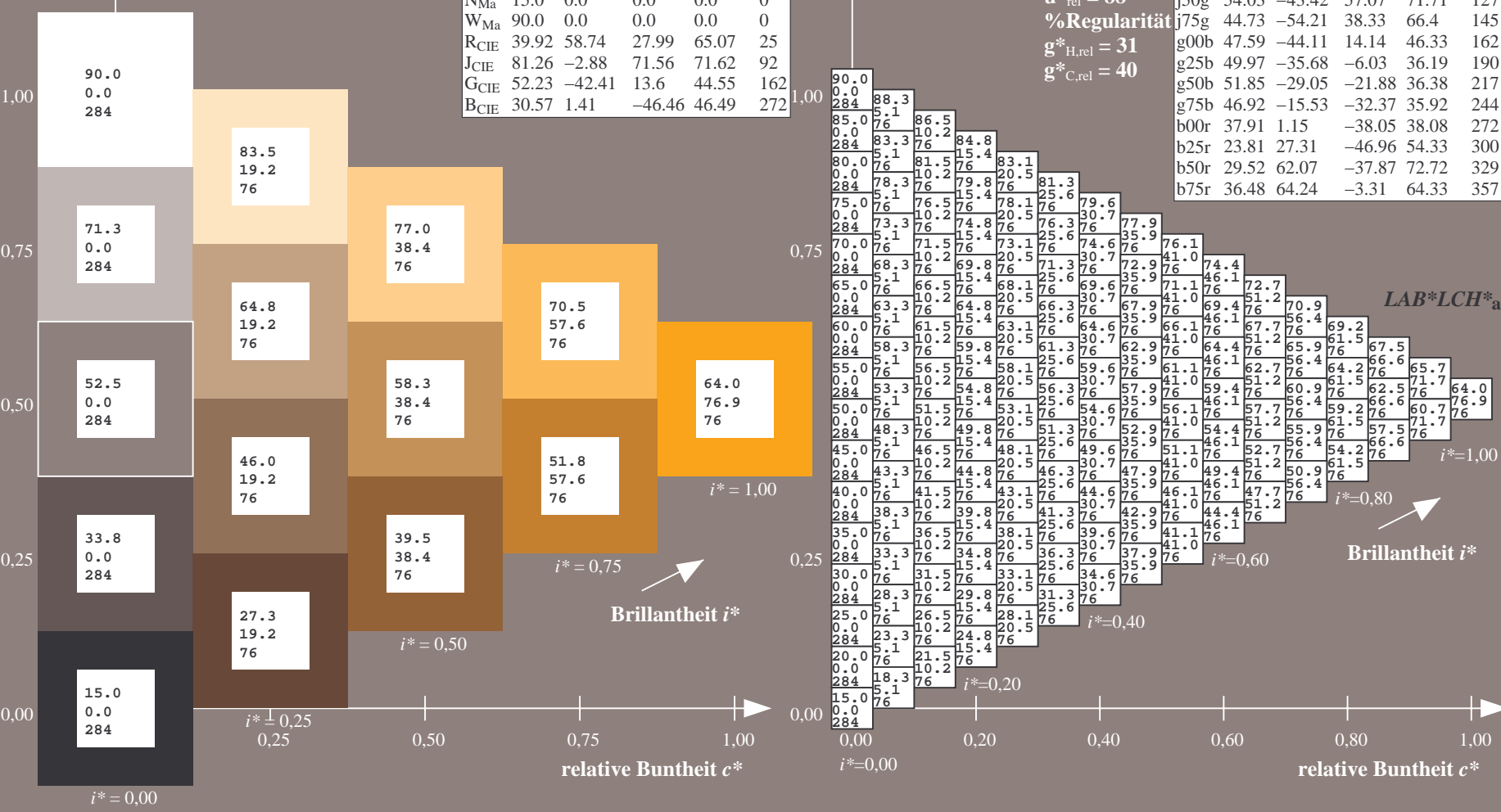
%Regularität

$g^*_{H,rel} = 31$

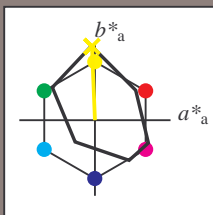
$g^*_{C,rel} = 40$

FRS15_90aM; adaptierte CIELAB-Daten

	$L^*=L^*_a$	a^*_a	b^*_a	$C^*_{ab,a}$	$h^*_{ab,a}$
r00j	35.47	56.92	27.12	63.05	25
r25j	39.12	49.04	44.45	66.19	42
r50j	50.64	35.19	58.33	68.13	59
r75j	64.01	19.11	74.45	76.87	76
j00g	83.18	-3.93	97.56	97.64	92
j25g	66.73	-26.86	74.66	79.35	110
j50g	54.03	-43.42	57.07	71.71	127
j75g	44.73	-54.21	38.33	66.4	145
g00b	47.59	-44.11	14.14	46.33	162
g25b	49.97	-35.68	-6.03	36.19	190
g50b	51.85	-29.05	-21.88	36.38	217
g75b	46.92	-15.53	-32.37	35.92	244
b00r	37.91	1.15	-38.05	38.08	272
b25r	23.81	27.31	-46.96	54.33	300
b50r	29.52	62.07	-37.87	72.72	329
b75r	36.48	64.24	-3.31	64.33	357



Ein und Ausgabe: Farbmetrisches Drucker-Reflektiv-System FRS15_90aM für relativen CIELAB-Buntton $h^* = lab^*h^* = h_{ab}/360 = 92/360 = 0.256$ $u^* = j00g$
Daten für jede Farbe:
 lab^*tch^* und lab^*icu^*
Elementar-Bunttontext:
 $u^* = j00g$
Kontrastreduzierungsfaktor:
 $c_R = 0.9$
Dreiecks-Helligkeit i^*



FRS15_90aM; adaptierte CIELAB-Daten					
	$L^*=L^*_a$	a^*_a	b^*_a	$C^*_{ab,a}$	$h^*_{ab,a}$
O _{Ma}	35.06	53.93	39.55	66.88	36
Y _{Ma}	83.77	-4.63	98.26	98.37	93
L _{Ma}	44.13	-56.32	43.36	71.09	142
C _{Ma}	52.66	-26.18	-28.74	38.89	228
V _{Ma}	14.15	45.22	-53.06	69.72	310
M _{Ma}	37.37	70.69	-30.1	76.83	337
N _{Ma}	15.0	0.0	0.0	0.0	0
W _{Ma}	90.0	0.0	0.0	0.0	0
R _{CIE}	39.92	58.74	27.99	65.07	25
J _{CIE}	81.26	-2.88	71.56	71.62	92
G _{CIE}	52.23	-42.41	13.6	44.55	162
B _{CIE}	30.57	1.41	-46.46	46.49	272

Daten für Maximalfarbe (Ma):

$LAB^*LAB^*_{Ma}$: 83 -3 98

$LAB^*LCH^*_{Ma}$: 83 98 92

$lab^*rgb^*_{Ma}$: 1.0 1.0 0.0

$lab^*olv^*_{Ma}$: 1.0 0.99 0.0

Dreiecks-Helligkeit i^*

%Umfang

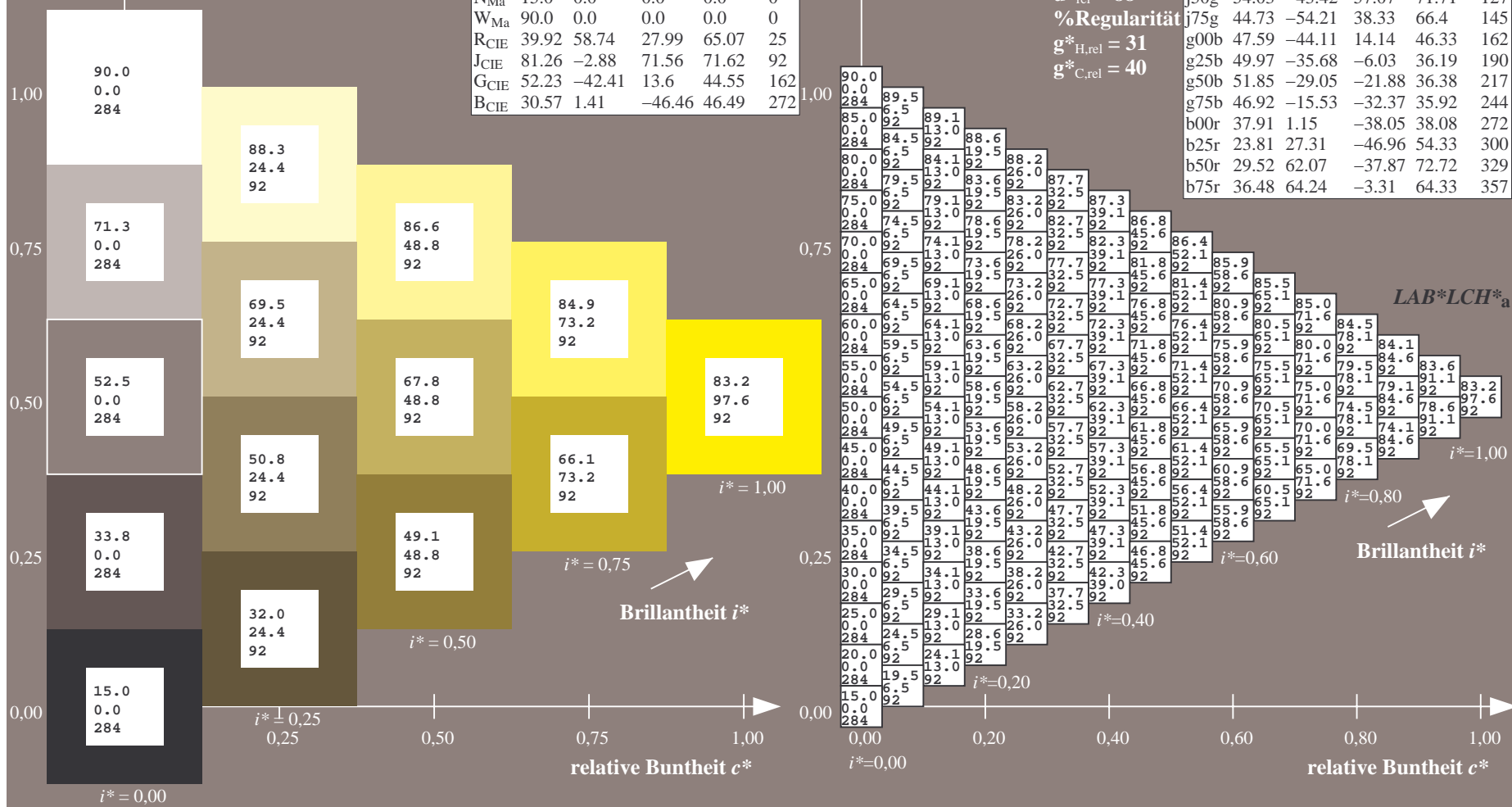
$u^*_{rel} = 88$

%Regularität

$g^*_{H,rel} = 31$

$g^*_{C,rel} = 40$

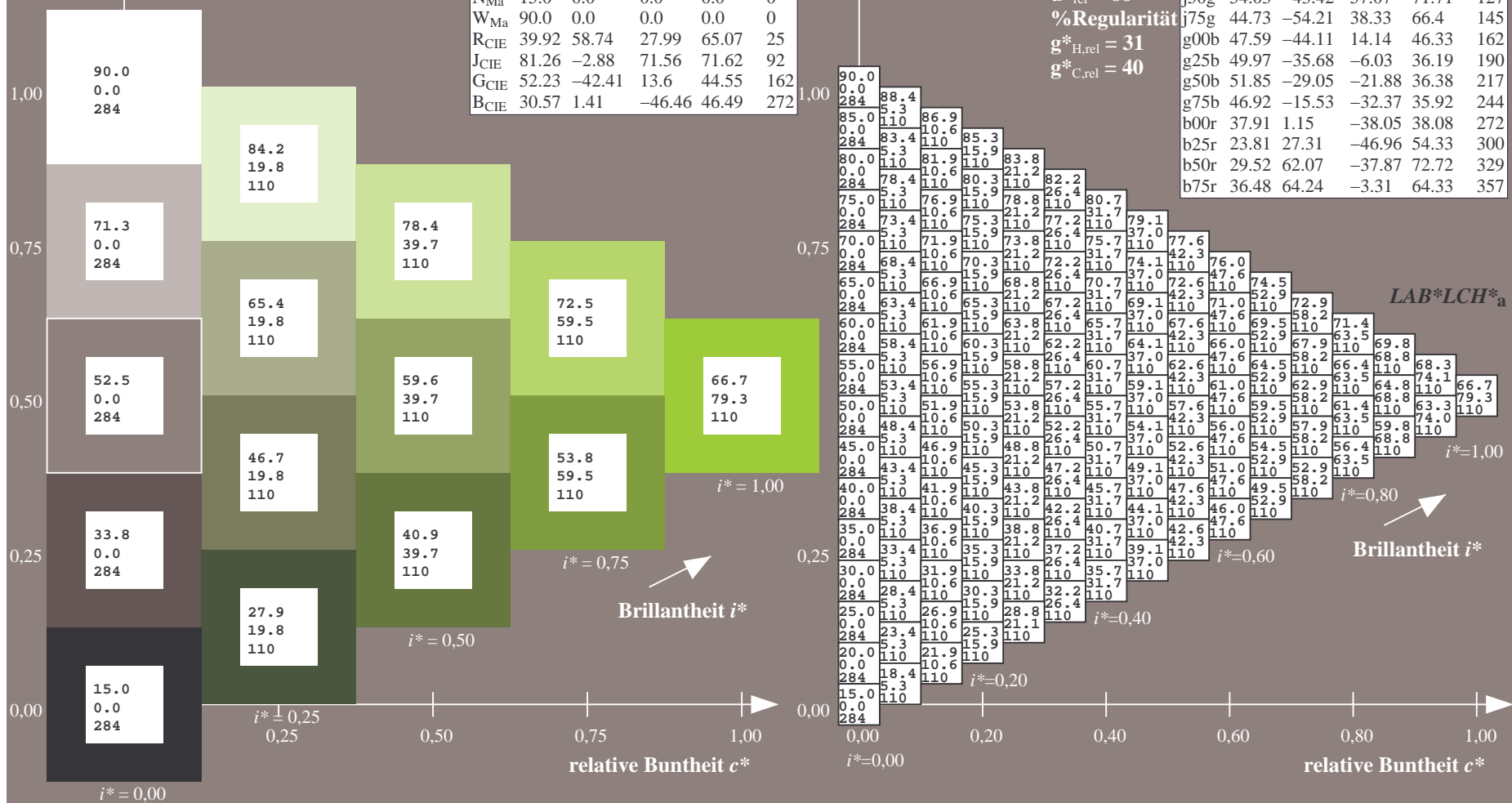
FRS15_90aM; adaptierte CIELAB-Daten					
	$L^*=L^*_a$	a^*_a	b^*_a	$C^*_{ab,a}$	$h^*_{ab,a}$
r00j	35.47	56.92	27.12	63.05	25
r25j	39.12	49.04	44.45	66.19	42
r50j	50.64	35.19	58.33	68.13	59
r75j	64.01	19.11	74.45	76.87	76
j00g	83.18	-3.93	97.56	97.64	92
j25g	66.73	-26.86	74.66	79.35	110
j50g	54.03	-43.42	57.07	71.71	127
j75g	44.73	-54.21	38.33	66.4	145
g00b	47.59	-44.11	14.14	46.33	162
g25b	49.97	-35.68	-6.03	36.19	190
g50b	51.85	-29.05	-21.88	36.38	217
g75b	46.92	-15.53	-32.37	35.92	244
b00r	37.91	1.15	-38.05	38.08	272
b25r	23.81	27.31	-46.96	54.33	300
b50r	29.52	62.07	-37.87	72.72	329
b75r	36.48	64.24	-3.31	64.33	357



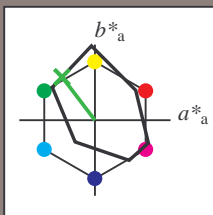
Dreiecks-Helligkeit t^*



b75r	36.48	64.24	-3.31	64.33	357
------	-------	-------	-------	-------	-----



Ein und Ausgabe: Farbmetrisches Drucker-Reflektiv-System FRS15_90aM für relativen CIELAB-Buntton $h^* = lab^*h^* = h_{ab}/360 = 127/360 = 0.354$ $u^* = j50g$
Daten für jede Farbe:
 lab^*tch^* und lab^*icu^*
Elementar-Bunttontext:
 $u^* = j50g$
Kontrastreduzierungsfaktor:
 $c_R = 0.9$
Dreiecks-Helligkeit t^*



FRS15_90aM; adaptierte CIELAB-Daten					
	$L^*=L^*_a$	a^*_a	b^*_a	$C^*_{ab,a}$	$h^*_{ab,a}$
O _{Ma}	35.06	53.93	39.55	66.88	36
Y _{Ma}	83.77	-4.63	98.26	98.37	93
L _{Ma}	44.13	-56.32	43.36	71.09	142
C _{Ma}	52.66	-26.18	-28.74	38.89	228
V _{Ma}	14.15	45.22	-53.06	69.72	310
M _{Ma}	37.37	70.69	-30.1	76.83	337
N _{Ma}	15.0	0.0	0.0	0.0	0
W _{Ma}	90.0	0.0	0.0	0.0	0
R _{CIE}	39.92	58.74	27.99	65.07	25
J _{CIE}	81.26	-2.88	71.56	71.62	92
G _{CIE}	52.23	-42.41	13.6	44.55	162
B _{CIE}	30.57	1.41	-46.46	46.49	272

Daten für Maximalfarbe (Ma):

$LAB^*LAB^*_{Ma}$: 54 -42 57

$LAB^*LCH^*_{Ma}$: 54 72 127

$lab^*rgb^*_{Ma}$: 0.5 1.0 0.0

$lab^*olv^*_{Ma}$: 0.25 1.0 0.0

Dreiecks-Helligkeit t^*

%Umfang

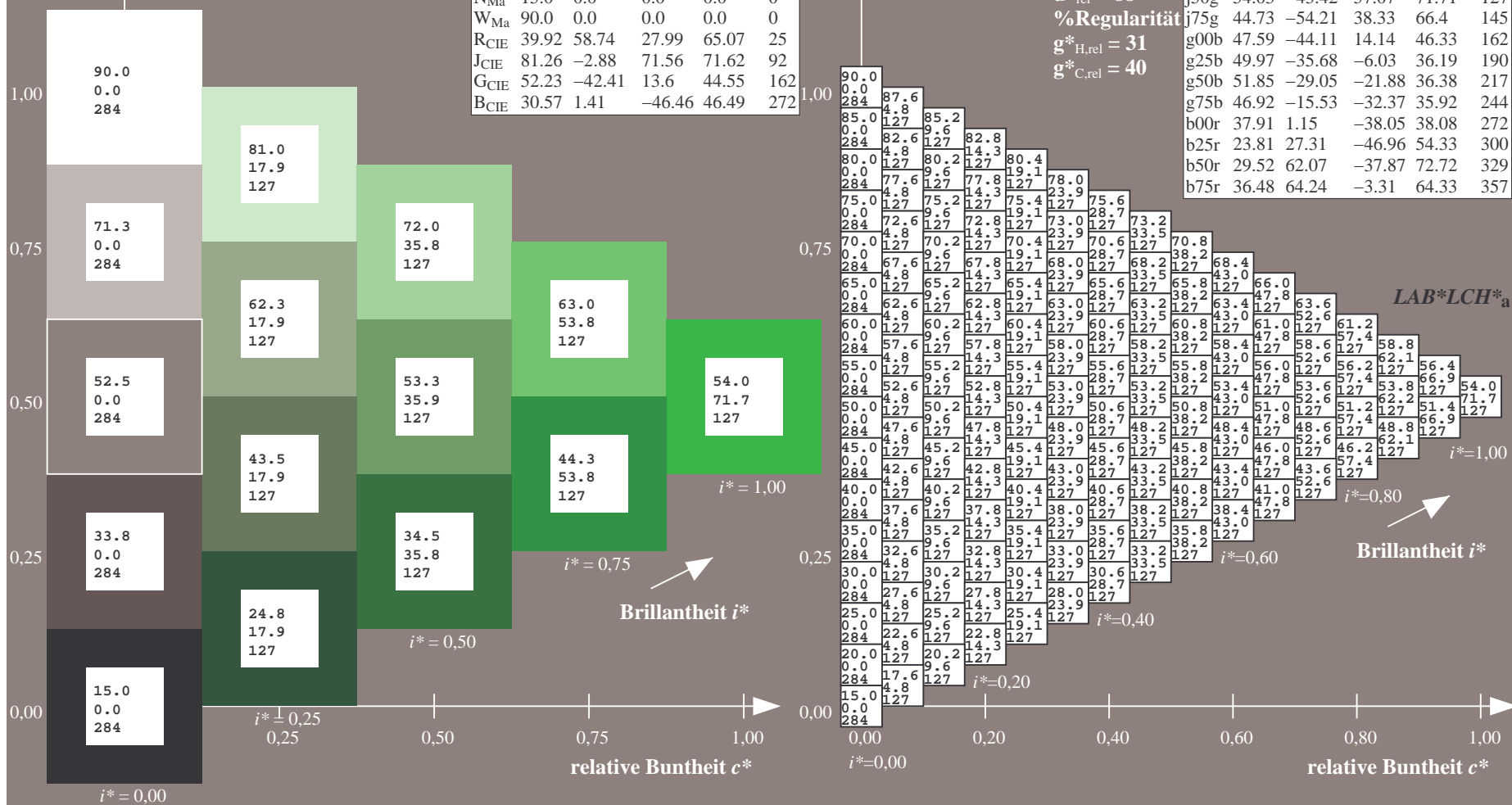
$u^*_{rel} = 88$

%Regularität

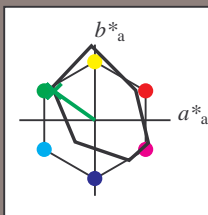
$g^*_{H,rel} = 31$

$g^*_{C,rel} = 40$

FRS15_90aM; adaptierte CIELAB-Daten					
	$L^*=L^*_a$	a^*_a	b^*_a	$C^*_{ab,a}$	$h^*_{ab,a}$
r00j	35.47	56.92	27.12	63.05	25
r25j	39.12	49.04	44.45	66.19	42
r50j	50.64	35.19	58.33	68.13	59
r75j	64.01	19.11	74.45	76.87	76
j00g	83.18	-3.93	97.56	97.64	92
j25g	66.73	-26.86	74.66	79.35	110
j50g	54.03	-43.42	57.07	71.71	127
j75g	44.73	-54.21	38.33	66.4	145
g00b	47.59	-44.11	14.14	46.33	162
g25b	49.97	-35.68	-6.03	36.19	190
g50b	51.85	-29.05	-21.88	36.38	217
g75b	46.92	-15.53	-32.37	35.92	244
b00r	37.91	1.15	-38.05	38.08	272
b25r	23.81	27.31	-46.96	54.33	300
b50r	29.52	62.07	-37.87	72.72	329
b75r	36.48	64.24	-3.31	64.33	357



Ein und Ausgabe: Farbmetrisches Drucker-Reflektiv-System FRS15_90aM für relativen CIELAB-Buntton $h^* = lab^*h^* = h_{ab}/360 = 145/360 = 0.402$ $u^* = j75g$
Daten für jede Farbe:
 lab^*ch^* und lab^*icu^*
Elementar-Bunttontext:
 $u^* = j75g$
Kontrastreduzierungsfaktor:
 $c_R = 0.9$
Dreiecks-Helligkeit i^*



FRS15_90aM; adaptierte CIELAB-Daten					
	$L^*=L^*_a$	a^*_a	b^*_a	$C^*_{ab,a}$	$h^*_{ab,a}$
O _{Ma}	35.06	53.93	39.55	66.88	36
Y _{Ma}	83.77	-4.63	98.26	98.37	93
L _{Ma}	44.13	-56.32	43.36	71.09	142
C _{Ma}	52.66	-26.18	-28.74	38.89	228
V _{Ma}	14.15	45.22	-53.06	69.72	310
M _{Ma}	37.37	70.69	-30.1	76.83	337
N _{Ma}	15.0	0.0	0.0	0.0	0
W _{Ma}	90.0	0.0	0.0	0.0	0
R _{CIE}	39.92	58.74	27.99	65.07	25
J _{CIE}	81.26	-2.88	71.56	71.62	92
G _{CIE}	52.23	-42.41	13.6	44.55	162
B _{CIE}	30.57	1.41	-46.46	46.49	272

Daten für Maximalfarbe (Ma):

$LAB^*LAB^*_{Ma}$: 45 -53 38

$LAB^*LCH^*_{Ma}$: 45 66 145

$lab^*rgb^*_{Ma}$: 0.25 1.0 0.0

$lab^*olv^*_{Ma}$: 0.0 1.0 0.07

Dreiecks-Helligkeit i^*

%Umfang

$u^*_{rel} = 88$

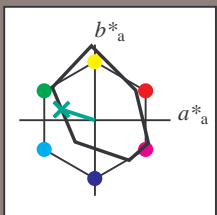
%Regularität

$g^*_{H,rel} = 31$

$g^*_{C,rel} = 40$

FRS15_90aM; adaptierte CIELAB-Daten					
	$L^*=L^*_a$	a^*_a	b^*_a	$C^*_{ab,a}$	$h^*_{ab,a}$
r00j	35.47	56.92	27.12	63.05	25
r25j	39.12	49.04	44.45	66.19	42
r50j	50.64	35.19	58.33	68.13	59
r75j	64.01	19.11	74.45	76.87	76
j00g	83.18	-3.93	97.56	97.64	92
j25g	66.73	-26.86	74.66	79.35	110
j50g	54.03	-43.42	57.07	71.71	127
j75g	44.73	-54.21	38.33	66.4	145
g00b	47.59	-44.11	14.14	46.33	162
g25b	49.97	-35.68	-6.03	36.19	190
g50b	51.85	-29.05	-21.88	36.38	217
g75b	46.92	-15.53	-32.37	35.92	244
b00r	37.91	1.15	-38.05	38.08	272
b25r	23.81	27.31	-46.96	54.33	300
b50r	29.52	62.07	-37.87	72.72	329
b75r	36.48	64.24	-3.31	64.33	357

Ein und Ausgabe: Farbmetrisches Drucker-Reflektiv-System FRS15_90aM für relativen CIELAB-Buntton $h^* = lab^*h^* = h_{ab}/360 = 162/360 = 0.451$ $u^* = g00b$
Daten für jede Farbe:
 lab^*ch^* und lab^*icu^*
Elementar-Bunttontext:
 $u^* = g00b$
Kontrastreduzierungsfaktor:
 $c_R = 0.9$
Dreiecks-Helligkeit t^*



FRS15_90aM; adaptierte CIELAB-Daten					
	$L^*=L^*_a$	a^*_a	b^*_a	$C^*_{ab,a}$	$h^*_{ab,a}$
O _{Ma}	35.06	53.93	39.55	66.88	36
Y _{Ma}	83.77	-4.63	98.26	98.37	93
L _{Ma}	44.13	-56.32	43.36	71.09	142
C _{Ma}	52.66	-26.18	-28.74	38.89	228
V _{Ma}	14.15	45.22	-53.06	69.72	310
M _{Ma}	37.37	70.69	-30.1	76.83	337
N _{Ma}	15.0	0.0	0.0	0.0	0
W _{Ma}	90.0	0.0	0.0	0.0	0
R _{CIE}	39.92	58.74	27.99	65.07	25
J _{CIE}	81.26	-2.88	71.56	71.62	92
G _{CIE}	52.23	-42.41	13.6	44.55	162
B _{CIE}	30.57	1.41	-46.46	46.49	272

Daten für Maximalfarbe (Ma):

$LAB^*LAB^*_{Ma}$: 48 -43 14

$LAB^*LCH^*_{Ma}$: 48 46 162

$lab^*rgb^*_{Ma}$: 0.0 1.0 0.0

$lab^*olv^*_{Ma}$: 0.0 1.0 0.41

Dreiecks-Helligkeit t^*

%Umfang

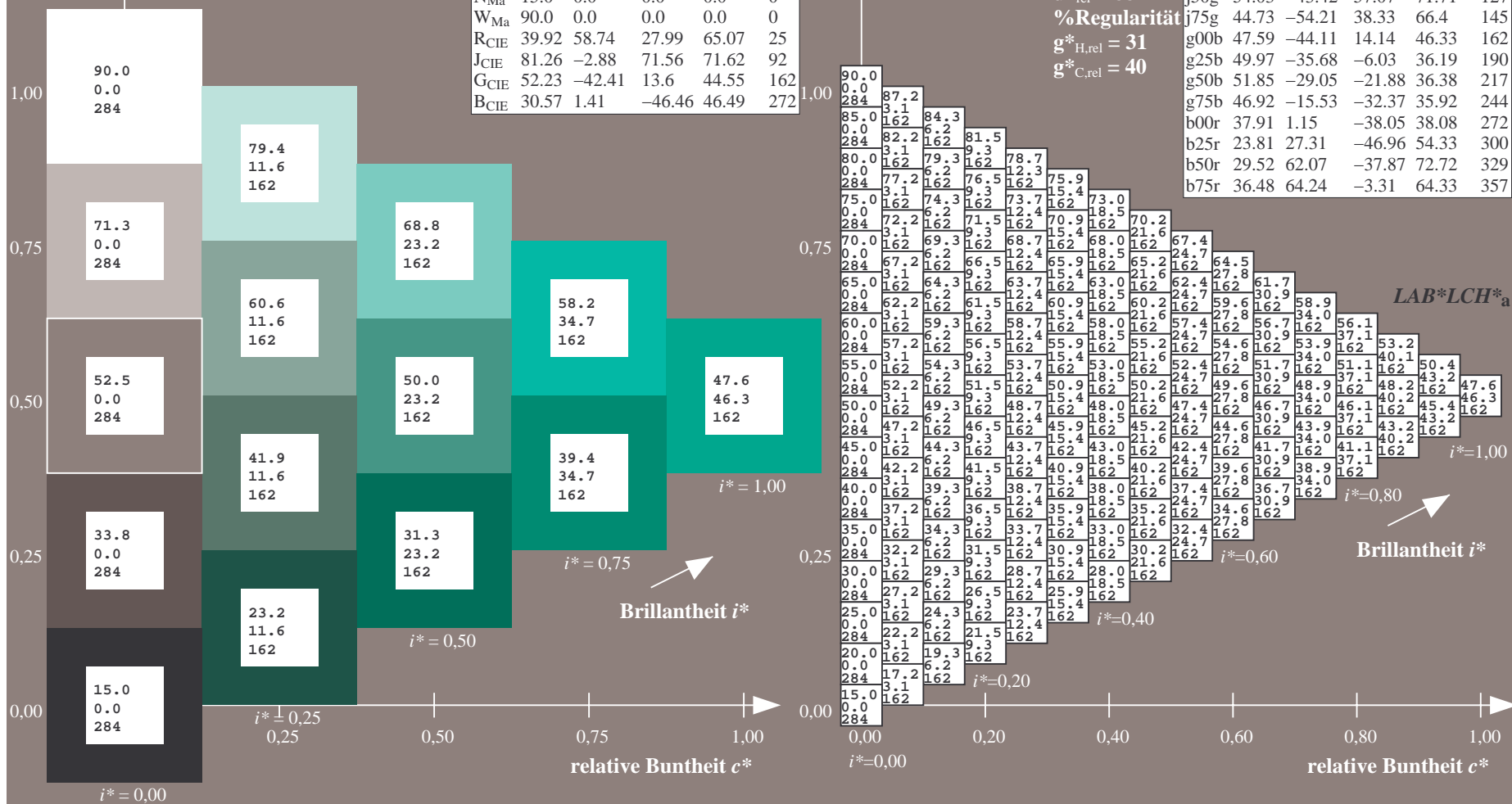
$u^*_{rel} = 88$

%Regularität

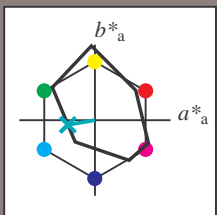
$g^*_{H,rel} = 31$

$g^*_{C,rel} = 40$

FRS15_90aM; adaptierte CIELAB-Daten					
	$L^*=L^*_a$	a^*_a	b^*_a	$C^*_{ab,a}$	$h^*_{ab,a}$
r00j	35.47	56.92	27.12	63.05	25
r25j	39.12	49.04	44.45	66.19	42
r50j	50.64	35.19	58.33	68.13	59
r75j	64.01	19.11	74.45	76.87	76
j00g	83.18	-3.93	97.56	97.64	92
j25g	66.73	-26.86	74.66	79.35	110
j50g	54.03	-43.42	57.07	71.71	127
j75g	44.73	-54.21	38.33	66.4	145
g00b	47.59	-44.11	14.14	46.33	162
g25b	49.97	-35.68	-6.03	36.19	190
g50b	51.85	-29.05	-21.88	36.38	217
g75b	46.92	-15.53	-32.37	35.92	244
b00r	37.91	1.15	-38.05	38.08	272
b25r	23.81	27.31	-46.96	54.33	300
b50r	29.52	62.07	-37.87	72.72	329
b75r	36.48	64.24	-3.31	64.33	357



Ein und Ausgabe: Farbmetrisches Drucker-Reflektiv-System FRS15_90aM für relativen CIELAB-Buntton $h^* = lab^*h^* = h_{ab}/360 = 190/360 = 0.527$ $u^* = g25b$
Daten für jede Farbe:
 lab^*ch^* und lab^*icu^*
Elementar-Bunttontext:
 $u^* = g25b$
Kontrastreduzierungsfaktor:
 $c_R = 0.9$
Dreiecks-Helligkeit i^*



FRS15_90aM; adaptierte CIELAB-Daten					
	$L^*=L^*_a$	a^*_a	b^*_a	$C^*_{ab,a}$	$h^*_{ab,a}$
O _{Ma}	35.06	53.93	39.55	66.88	36
Y _{Ma}	83.77	-4.63	98.26	98.37	93
L _{Ma}	44.13	-56.32	43.36	71.09	142
C _{Ma}	52.66	-26.18	-28.74	38.89	228
V _{Ma}	14.15	45.22	-53.06	69.72	310
M _{Ma}	37.37	70.69	-30.1	76.83	337
N _{Ma}	15.0	0.0	0.0	0.0	0
W _{Ma}	90.0	0.0	0.0	0.0	0
R _{CIE}	39.92	58.74	27.99	65.07	25
J _{CIE}	81.26	-2.88	71.56	71.62	92
G _{CIE}	52.23	-42.41	13.6	44.55	162
B _{CIE}	30.57	1.41	-46.46	46.49	272

Daten für Maximalfarbe (Ma):

$LAB^*LAB^*_{Ma}$: 50 -35 -5

$LAB^*LCH^*_{Ma}$: 50 36 190

$lab^*rgb^*_{Ma}$: 0.0 1.0 0.5

$lab^*olv^*_{Ma}$: 0.0 1.0 0.69

Dreiecks-Helligkeit i^*

%Umfang

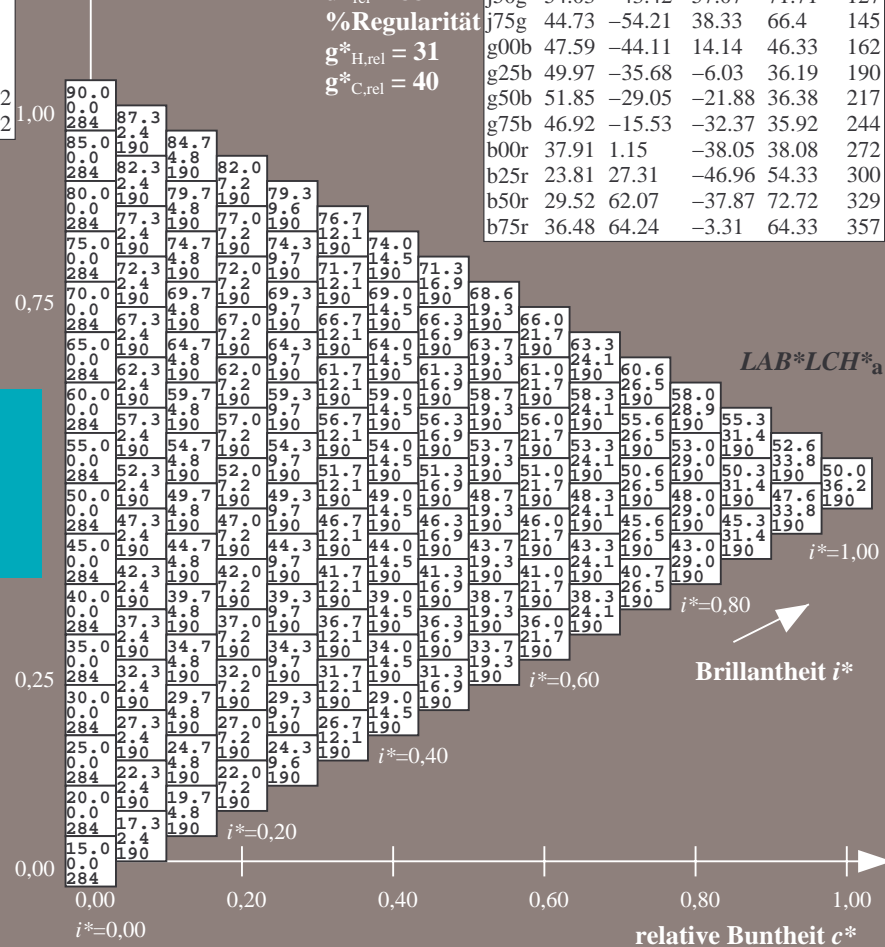
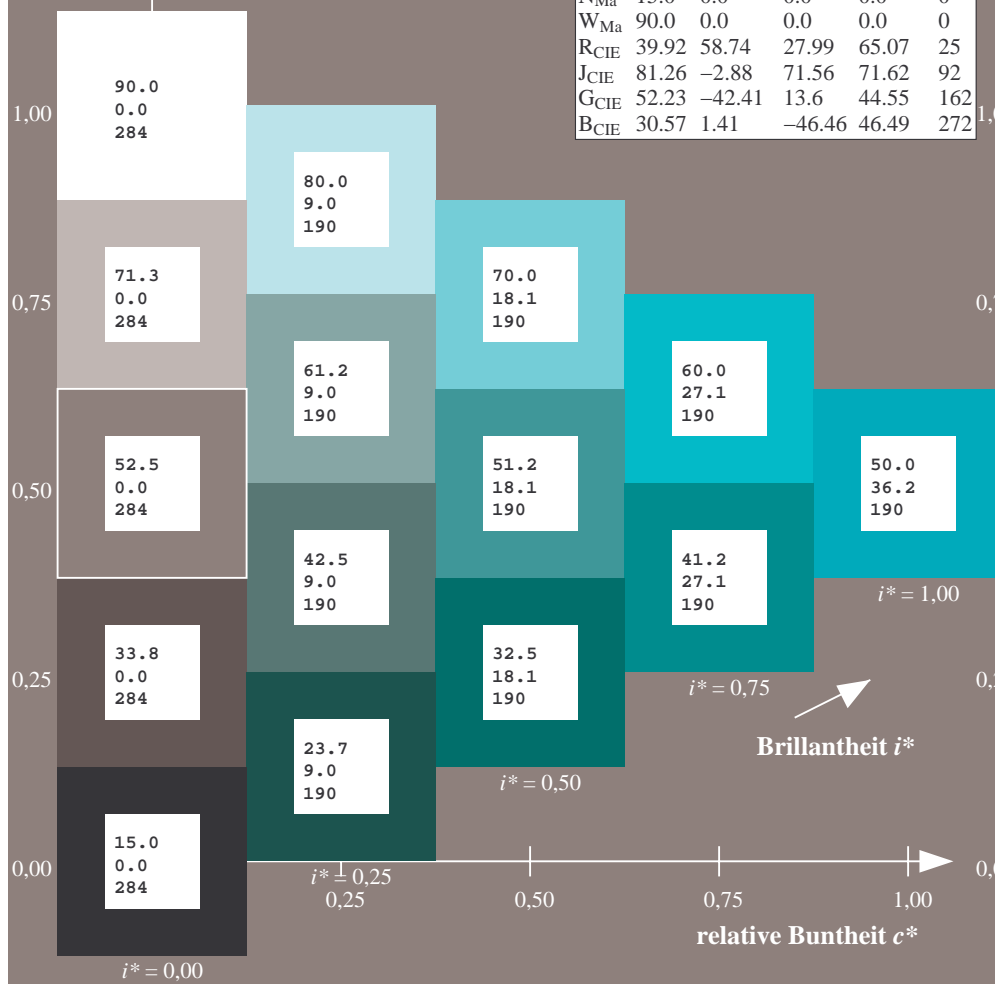
$u^*_{rel} = 88$

%Regularität

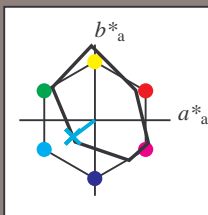
$g^*_{H,rel} = 31$

$g^*_{C,rel} = 40$

FRS15_90aM; adaptierte CIELAB-Daten					
	$L^*=L^*_a$	a^*_a	b^*_a	$C^*_{ab,a}$	$h^*_{ab,a}$
r00j	35.47	56.92	27.12	63.05	25
r25j	39.12	49.04	44.45	66.19	42
r50j	50.64	35.19	58.33	68.13	59
r75j	64.01	19.11	74.45	76.87	76
j00g	83.18	-3.93	97.56	97.64	92
j25g	66.73	-26.86	74.66	79.35	110
j50g	54.03	-43.42	57.07	71.71	127
j75g	44.73	-54.21	38.33	66.4	145
g00b	47.59	-44.11	14.14	46.33	162
g25b	49.97	-35.68	-6.03	36.19	190
g50b	51.85	-29.05	-21.88	36.38	217
g75b	46.92	-15.53	-32.37	35.92	244
b00r	37.91	1.15	-38.05	38.08	272
b25r	23.81	27.31	-46.96	54.33	300
b50r	29.52	62.07	-37.87	72.72	329
b75r	36.48	64.24	-3.31	64.33	357



Ein und Ausgabe: Farbmetrisches Drucker-Reflektiv-System FRS15_90aM für relativen CIELAB-Buntton $h^* = lab^*h^* = h_{ab}/360 = 217/360 = 0.603$ $u^* = g50b$
Daten für jede Farbe:
 lab^*ch^* und lab^*icu^*
Elementar-Bunttontext:
 $u^* = g50b$
Kontrastreduzierungsfaktor:
 $c_R = 0.9$
Dreiecks-Helligkeit i^*



FRS15_90aM; adaptierte CIELAB-Daten					
	$L^*=L^*_a$	a^*_a	b^*_a	$C^*_{ab,a}$	$h^*_{ab,a}$
O _{Ma}	35.06	53.93	39.55	66.88	36
Y _{Ma}	83.77	-4.63	98.26	98.37	93
L _{Ma}	44.13	-56.32	43.36	71.09	142
C _{Ma}	52.66	-26.18	-28.74	38.89	228
V _{Ma}	14.15	45.22	-53.06	69.72	310
M _{Ma}	37.37	70.69	-30.1	76.83	337
N _{Ma}	15.0	0.0	0.0	0.0	0
W _{Ma}	90.0	0.0	0.0	0.0	0
R _{CIE}	39.92	58.74	27.99	65.07	25
J _{CIE}	81.26	-2.88	71.56	71.62	92
G _{CIE}	52.23	-42.41	13.6	44.55	162
B _{CIE}	30.57	1.41	-46.46	46.49	272

Daten für Maximalfarbe (Ma):

$LAB^*LAB^*_{Ma}$: 52 -28 -21

$LAB^*LCH^*_{Ma}$: 52 36 217

$lab^*rgb^*_{Ma}$: 0.0 1.0 1.0

$lab^*olv^*_{Ma}$: 0.0 1.0 0.9

Dreiecks-Helligkeit i^*

%Umfang

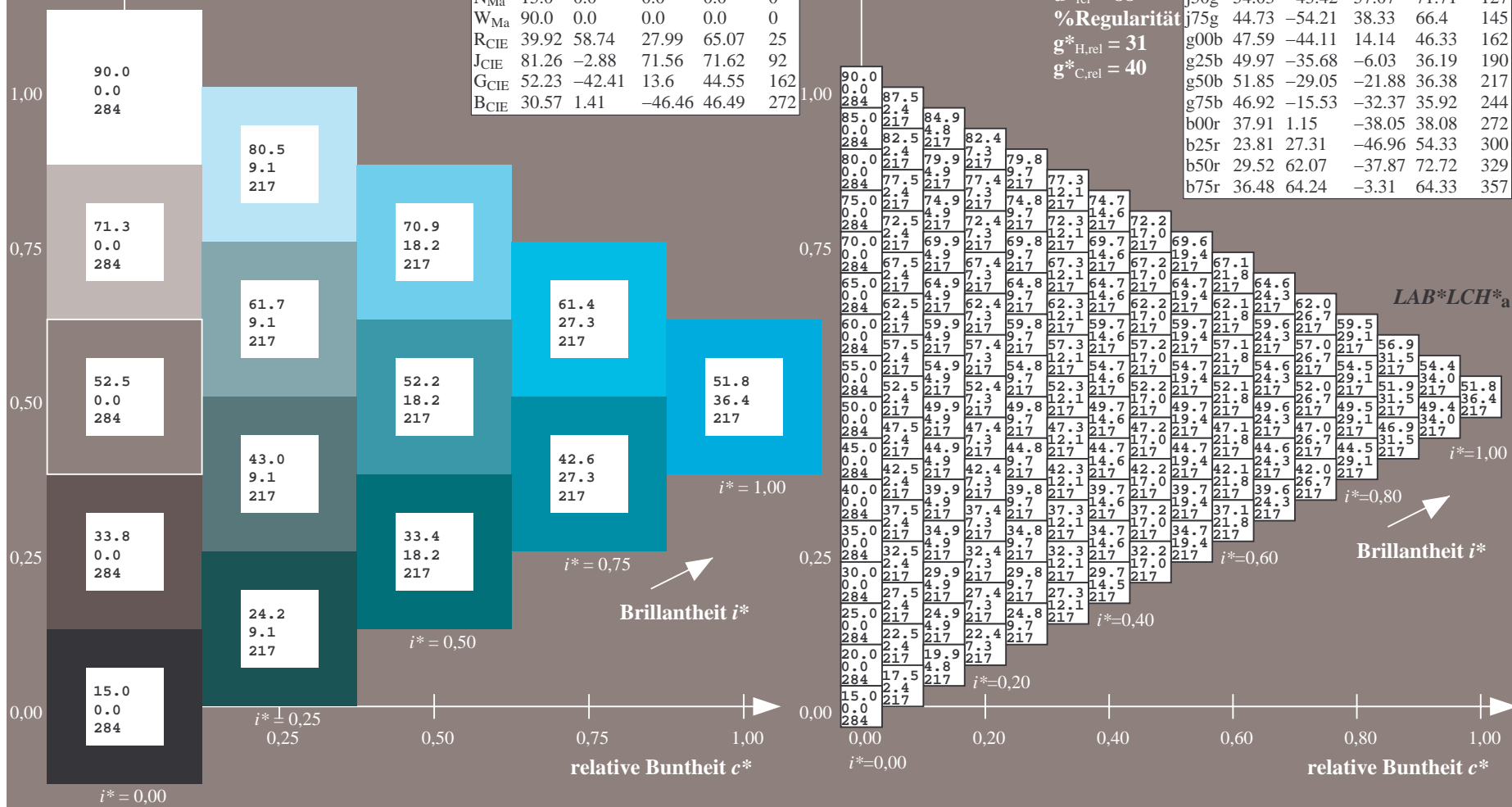
$u^*_{rel} = 88$

%Regularität

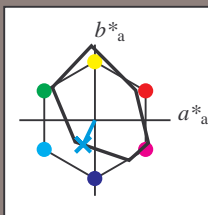
$g^*_{H,rel} = 31$

$g^*_{C,rel} = 40$

FRS15_90aM; adaptierte CIELAB-Daten					
	$L^*=L^*_a$	a^*_a	b^*_a	$C^*_{ab,a}$	$h^*_{ab,a}$
r00j	35.47	56.92	27.12	63.05	25
r25j	39.12	49.04	44.45	66.19	42
r50j	50.64	35.19	58.33	68.13	59
r75j	64.01	19.11	74.45	76.87	76
j00g	83.18	-3.93	97.56	97.64	92
j25g	66.73	-26.86	74.66	79.35	110
j50g	54.03	-43.42	57.07	71.71	127
j75g	44.73	-54.21	38.33	66.4	145
g00b	47.59	-44.11	14.14	46.33	162
g25b	49.97	-35.68	-6.03	36.19	190
g50b	51.85	-29.05	-21.88	36.38	217
g75b	46.92	-15.53	-32.37	35.92	244
b00r	37.91	1.15	-38.05	38.08	272
b25r	23.81	27.31	-46.96	54.33	300
b50r	29.52	62.07	-37.87	72.72	329
b75r	36.48	64.24	-3.31	64.33	357



Ein und Ausgabe: Farbmetrisches Drucker-Reflektiv-System FRS15_90aM für relativen CIELAB-Buntton $h^* = lab^*h^* = h_{ab}/360 = 244/360 = 0.679$ $u^* = g75b$
Daten für jede Farbe:
 lab^*ch^* und lab^*icu^*
Elementar-Bunttontext:
 $u^* = g75b$
Kontrastreduzierungsfaktor:
 $c_R = 0.9$
Dreiecks-Helligkeit i^*



FRS15_90aM; adaptierte CIELAB-Daten					
	$L^*=L^*_a$	a^*_a	b^*_a	$C^*_{ab,a}$	$h^*_{ab,a}$
O _{Ma}	35.06	53.93	39.55	66.88	36
Y _{Ma}	83.77	-4.63	98.26	98.37	93
L _{Ma}	44.13	-56.32	43.36	71.09	142
C _{Ma}	52.66	-26.18	-28.74	38.89	228
V _{Ma}	14.15	45.22	-53.06	69.72	310
M _{Ma}	37.37	70.69	-30.1	76.83	337
N _{Ma}	15.0	0.0	0.0	0.0	0
W _{Ma}	90.0	0.0	0.0	0.0	0
R _{CIE}	39.92	58.74	27.99	65.07	25
J _{CIE}	81.26	-2.88	71.56	71.62	92
G _{CIE}	52.23	-42.41	13.6	44.55	162
B _{CIE}	30.57	1.41	-46.46	46.49	272

Daten für Maximalfarbe (Ma):

$LAB^*LAB^*_{Ma}$: 47 -15 -31

$LAB^*LCH^*_{Ma}$: 47 36 244

$lab^*rgb^*_{Ma}$: 0.0 0.5 1.0

$lab^*olv^*_{Ma}$: 0.0 0.85 1.0

Dreiecks-Helligkeit i^*

%Umfang

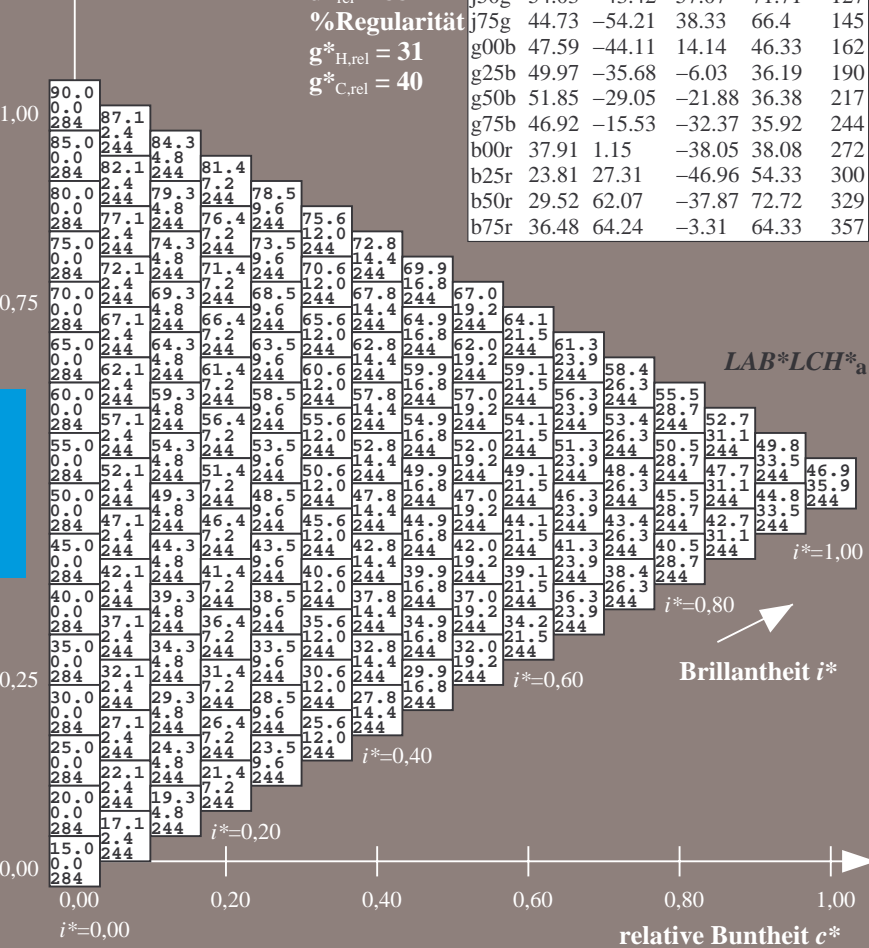
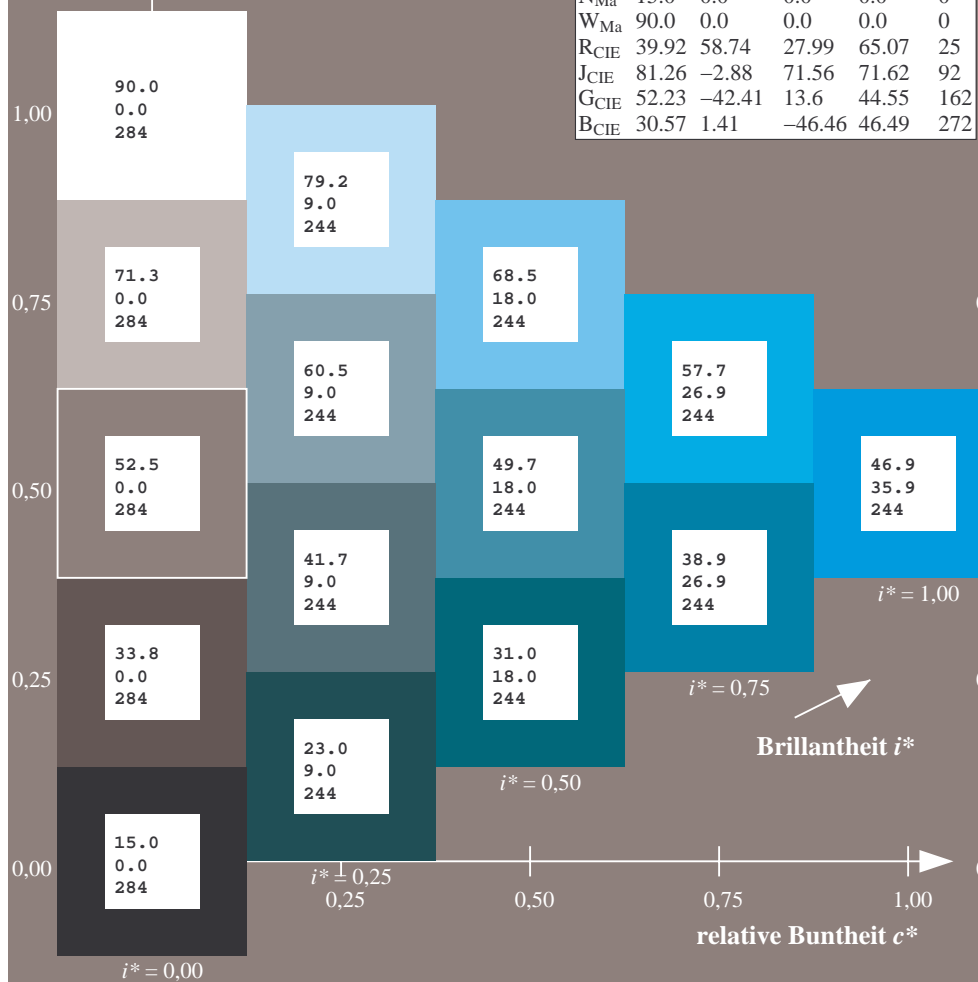
$u^*_{rel} = 88$

%Regularität

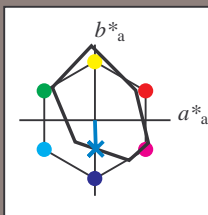
$g^*_{H,rel} = 31$

$g^*_{C,rel} = 40$

FRS15_90aM; adaptierte CIELAB-Daten					
	$L^*=L^*_a$	a^*_a	b^*_a	$C^*_{ab,a}$	$h^*_{ab,a}$
r00j	35.47	56.92	27.12	63.05	25
r25j	39.12	49.04	44.45	66.19	42
r50j	50.64	35.19	58.33	68.13	59
r75j	64.01	19.11	74.45	76.87	76
j00g	83.18	-3.93	97.56	97.64	92
j25g	66.73	-26.86	74.66	79.35	110
j50g	54.03	-43.42	57.07	71.71	127
j75g	44.73	-54.21	38.33	66.4	145
g00b	47.59	-44.11	14.14	46.33	162
g25b	49.97	-35.68	-6.03	36.19	190
g50b	51.85	-29.05	-21.88	36.38	217
g75b	46.92	-15.53	-32.37	35.92	244
b00r	37.91	1.15	-38.05	38.08	272
b25r	23.81	27.31	-46.96	54.33	300
b50r	29.52	62.07	-37.87	72.72	329
b75r	36.48	64.24	-3.31	64.33	357



Ein und Ausgabe: Farbmetrisches Drucker-Reflektiv-System FRS15_90aM für relativen CIELAB-Buntton $h^* = lab^*h^* = h_{ab}/360 = 272/360 = 0.755$ $u^* = b00r$
Daten für jede Farbe:
 lab^*tch^* und lab^*icu^*
Elementar-Bunttontext:
 $u^* = b00r$
Kontrastreduzierungsfaktor:
 $c_R = 0.9$
Dreiecks-Helligkeit i^*



FRS15_90aM; adaptierte CIELAB-Daten					
	$L^*=L^*_a$	a^*_a	b^*_a	$C^*_{ab,a}$	$h^*_{ab,a}$
O _{Ma}	35.06	53.93	39.55	66.88	36
Y _{Ma}	83.77	-4.63	98.26	98.37	93
L _{Ma}	44.13	-56.32	43.36	71.09	142
C _{Ma}	52.66	-26.18	-28.74	38.89	228
V _{Ma}	14.15	45.22	-53.06	69.72	310
M _{Ma}	37.37	70.69	-30.1	76.83	337
N _{Ma}	15.0	0.0	0.0	0.0	0
W _{Ma}	90.0	0.0	0.0	0.0	0
R _{CIE}	39.92	58.74	27.99	65.07	25
J _{CIE}	81.26	-2.88	71.56	71.62	92
G _{CIE}	52.23	-42.41	13.6	44.55	162
B _{CIE}	30.57	1.41	-46.46	46.49	272

Daten für Maximalfarbe (Ma):

$LAB^*LAB^*_{Ma}$: 38 1 -37

$LAB^*LCH^*_{Ma}$: 38 38 272

$lab^*rgb^*_{Ma}$: 0.0 0.0 1.0

$lab^*olv^*_{Ma}$: 0.0 0.62 1.0

Dreiecks-Helligkeit i^*

%Umfang

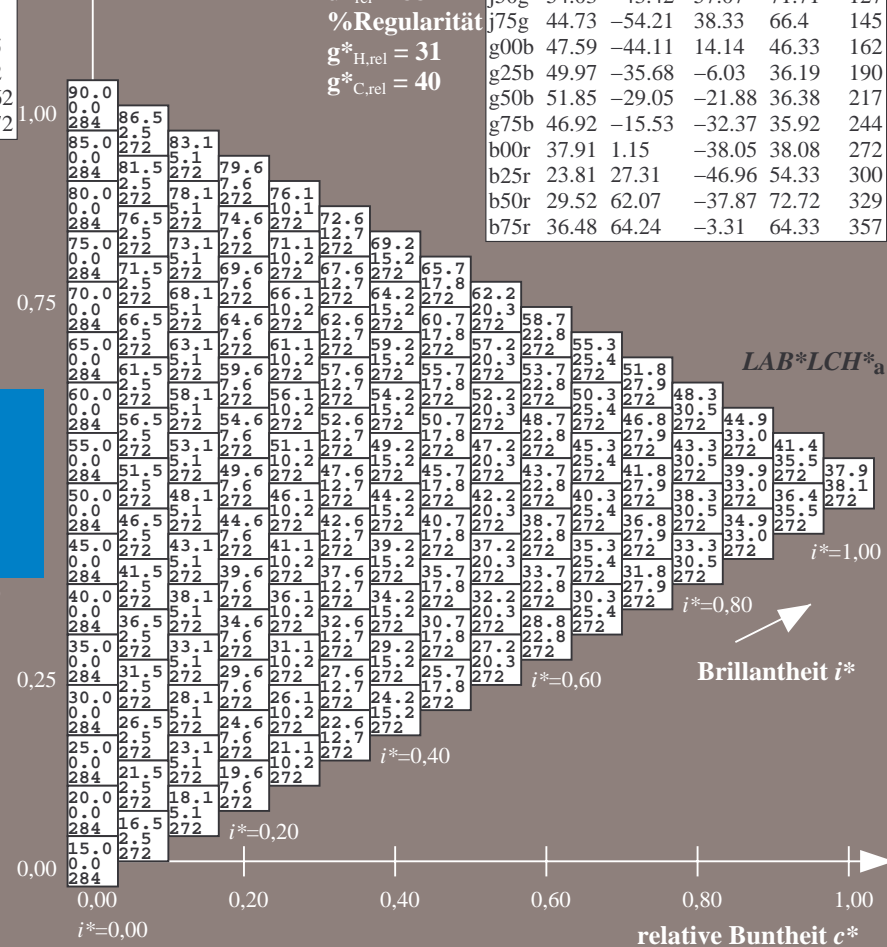
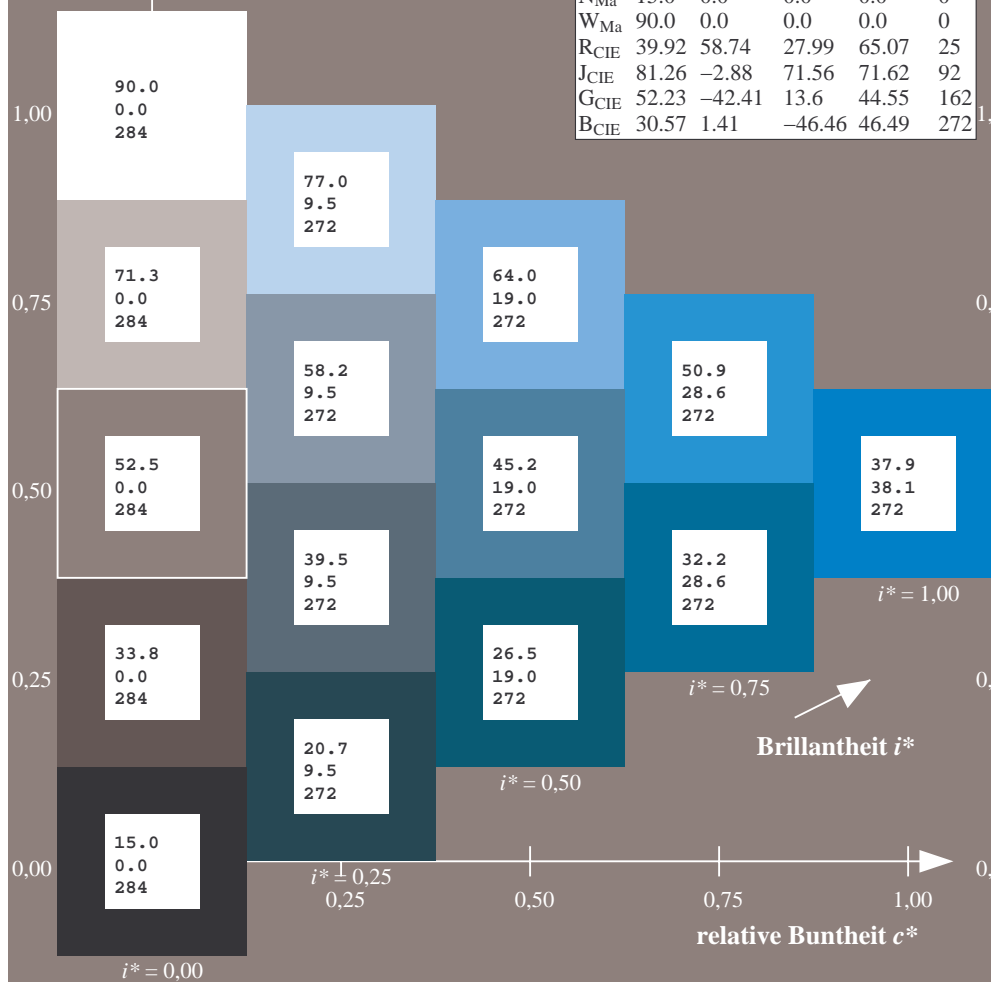
$u^*_{rel} = 88$

%Regularität

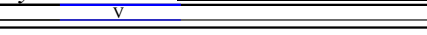
$g^*_{H,rel} = 31$

$g^*_{C,rel} = 40$

FRS15_90aM; adaptierte CIELAB-Daten					
	$L^*=L^*_a$	a^*_a	b^*_a	$C^*_{ab,a}$	$h^*_{ab,a}$
r00j	35.47	56.92	27.12	63.05	25
r25j	39.12	49.04	44.45	66.19	42
r50j	50.64	35.19	58.33	68.13	59
r75j	64.01	19.11	74.45	76.87	76
j00g	83.18	-3.93	97.56	97.64	92
j25g	66.73	-26.86	74.66	79.35	110
j50g	54.03	-43.42	57.07	71.71	127
j75g	44.73	-54.21	38.33	66.4	145
g00b	47.59	-44.11	14.14	46.33	162
g25b	49.97	-35.68	-6.03	36.19	190
g50b	51.85	-29.05	-21.88	36.38	217
g75b	46.92	-15.53	-32.37	35.92	244
b00r	37.91	1.15	-38.05	38.08	272
b25r	23.81	27.31	-46.96	54.33	300
b50r	29.52	62.07	-37.87	72.72	329
b75r	36.48	64.24	-3.31	64.33	357



Dreiecks-Helligkeit t^*

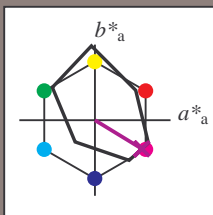


BAM-Registrierung: 20080701-Dg93/10L/L93G00NA.PS/.TXTBAM-Material: Code=rha4ta
Anwendung für Beurteilung und Messung von Drucker- oder Monitorsystemen

Eingabe: 000n / w / nnn0 / www set...
Ausgabe: ->cmyn5* setcmykcolor

Siehe ähnliche Dateien: <http://www.ps.bam.de/Dg93/>; www.ps.bam.de/Dg.HTM
Technische Information: <http://www.ps.bam.de> Version 2.1, io=1,1, ColSpx=0

Ein und Ausgabe: Farbmetrisches Drucker-Reflektiv-System FRS15_90aM für relativen CIELAB-Buntton $h^* = lab^*h^* = h_{ab}/360 = 329/360 = 0.913$ $u^* = b50r$
Daten für jede Farbe:
 lab^*ch^* und lab^*icu^*
Elementar-Bunttontext:
 $u^* = b50r$
Kontrastreduzierungsfaktor:
 $c_R = 0.9$
Dreiecks-Helligkeit i^*



FRS15_90aM; adaptierte CIELAB-Daten					
	$L^*=L^*_a$	a^*_a	b^*_a	$C^*_{ab,a}$	$h^*_{ab,a}$
O _{Ma}	35.06	53.93	39.55	66.88	36
Y _{Ma}	83.77	-4.63	98.26	98.37	93
L _{Ma}	44.13	-56.32	43.36	71.09	142
C _{Ma}	52.66	-26.18	-28.74	38.89	228
V _{Ma}	14.15	45.22	-53.06	69.72	310
M _{Ma}	37.37	70.69	-30.1	76.83	337
N _{Ma}	15.0	0.0	0.0	0.0	0
W _{Ma}	90.0	0.0	0.0	0.0	0
R _{CIE}	39.92	58.74	27.99	65.07	25
J _{CIE}	81.26	-2.88	71.56	71.62	92
G _{CIE}	52.23	-42.41	13.6	44.55	162
B _{CIE}	30.57	1.41	-46.46	46.49	272

Daten für Maximalfarbe (Ma):

$LAB^*LAB^*_{Ma}$: 30 62 -37

$LAB^*LCH^*_{Ma}$: 30 73 329

$lab^*rgb^*_{Ma}$: 1.0 0.0 1.0

$lab^*olv^*_{Ma}$: 0.66 0.0 1.0

Dreiecks-Helligkeit i^*

%Umfang

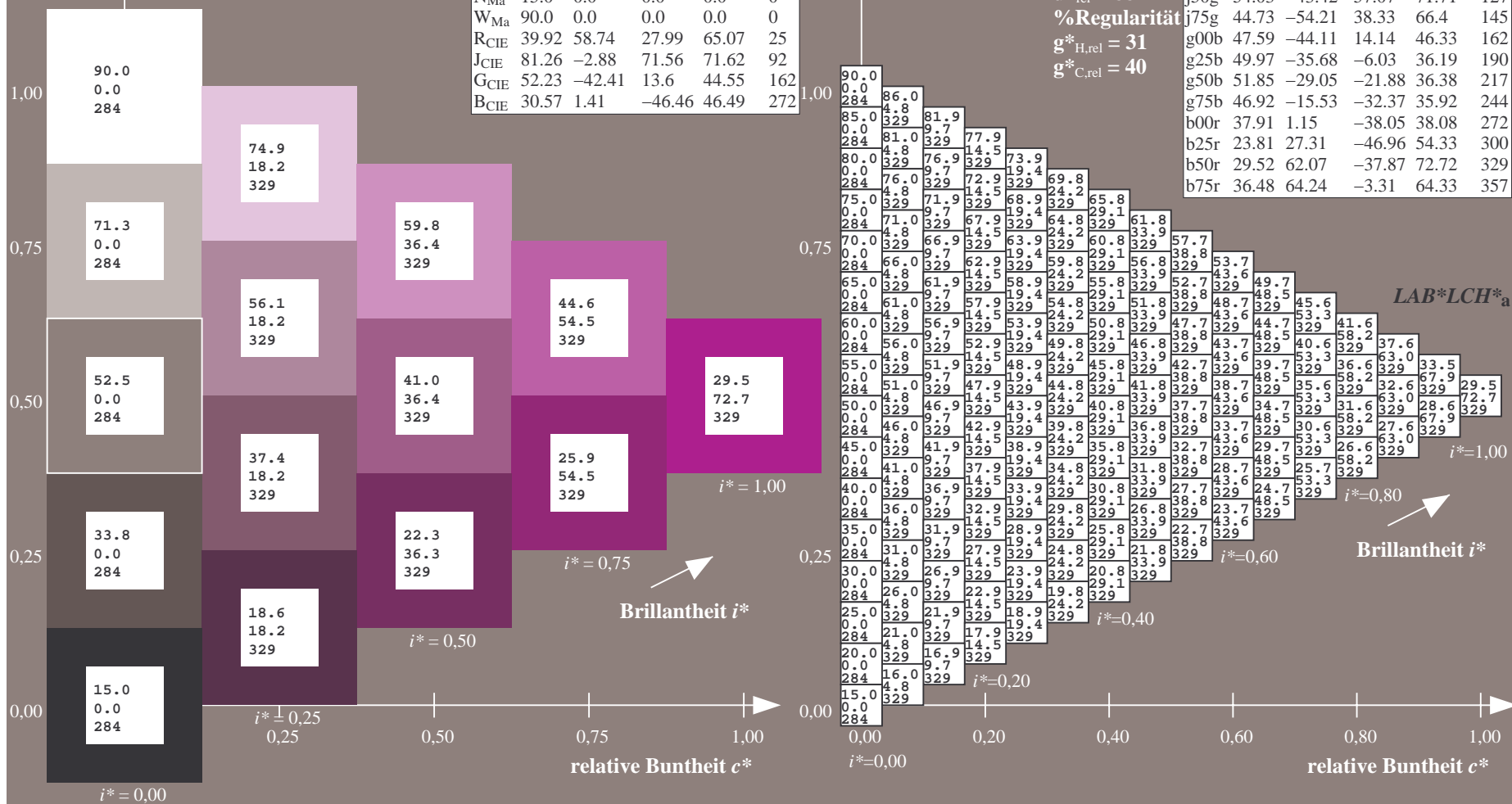
$u^*_{rel} = 88$

%Regularität

$g^*_{H,rel} = 31$

$g^*_{C,rel} = 40$

FRS15_90aM; adaptierte CIELAB-Daten					
	$L^*=L^*_a$	a^*_a	b^*_a	$C^*_{ab,a}$	$h^*_{ab,a}$
r00j	35.47	56.92	27.12	63.05	25
r25j	39.12	49.04	44.45	66.19	42
r50j	50.64	35.19	58.33	68.13	59
r75j	64.01	19.11	74.45	76.87	76
j00g	83.18	-3.93	97.56	97.64	92
j25g	66.73	-26.86	74.66	79.35	110
j50g	54.03	-43.42	57.07	71.71	127
j75g	44.73	-54.21	38.33	66.4	145
g00b	47.59	-44.11	14.14	46.33	162
g25b	49.97	-35.68	-6.03	36.19	190
g50b	51.85	-29.05	-21.88	36.38	217
g75b	46.92	-15.53	-32.37	35.92	244
b00r	37.91	1.15	-38.05	38.08	272
b25r	23.81	27.31	-46.96	54.33	300
b50r	29.52	62.07	-37.87	72.72	329
b75r	36.48	64.24	-3.31	64.33	357



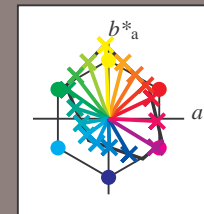
Siehe ähnliche Dateien: <http://www.ps.bam.de/Dg93/>; www.ps.bam.de/Dg93/10L/L93G00NA.PS/.TXT
Technische Information: [http://www.ps.bam.de/Version 2.1,io=1.1,ColSpX=0](http://www.ps.bam.de/Version%202.1,io=1.1,ColSpX=0)

	A	B	C	D	E	F	G	H	I	J	K	L	M	N	O	P	Q	R	S	T	U	V	W	X	Y	Z	a	b	c	d	e	f	g	h	i	j	k	LAB*LCH*																																																																																																																																																																																																																																																																																																																																																																																																																																																																																																																																																																																																																																																																																																																																																																																																																																																																																																																												
01	15.0	18.6	22.3	25.9	29.6	33.2	36.9	40.5	44.1	47.5	50.8	54.0	57.2	60.4	63.6	66.8	69.9	73.0	76.1	79.2	82.2	85.3	88.3	91.3	94.3	97.3	100.0	102.9	105.8	108.7	111.6	114.5	117.4	120.3	123.2	126.1	129.0	131.9	134.8	137.7	140.6	143.5	146.4	149.3	152.2	155.1	158.0	160.9	163.8	166.7	169.6	172.5	175.4	178.3	181.2	184.1	187.0	189.9	192.8	195.7	198.6	201.5	204.4	207.3	210.2	213.1	216.0	218.9	221.8	224.7	227.6	230.5	233.4	236.3	239.2	242.1	245.0	247.9	250.8	253.7	256.6	259.5	262.4	265.3	268.2	271.1	274.0	276.9	279.8	282.7	285.6	288.5	291.4	294.3	297.2	300.1	303.0	305.9	308.8	311.7	314.6	317.5	320.4	323.3	326.2	329.1	332.0	334.9	337.8	340.7	343.6	346.5	349.4	352.3	355.2	358.1	361.0	363.9	366.8	369.7	372.6	375.5	378.4	381.3	384.2	387.1	390.0	392.9	395.8	398.7	401.6	404.5	407.4	410.3	413.2	416.1	419.0	421.9	424.8	427.7	430.6	433.5	436.4	439.3	442.2	445.1	448.0	450.9	453.8	456.7	459.6	462.5	465.4	468.3	471.2	474.1	477.0	479.9	482.8	485.7	488.6	491.5	494.4	497.3	500.2	503.1	506.0	508.9	511.8	514.7	517.6	520.5	523.4	526.3	529.2	532.1	535.0	537.9	540.8	543.7	546.6	549.5	552.4	555.3	558.2	561.1	564.0	566.9	569.8	572.7	575.6	578.5	581.4	584.3	587.2	590.1	593.0	595.9	598.8	601.7	604.6	607.5	610.4	613.3	616.2	619.1	622.0	624.9	627.8	630.7	633.6	636.5	639.4	642.3	645.2	648.1	651.0	653.9	656.8	659.7	662.6	665.5	668.4	671.3	674.2	677.1	680.0	682.9	685.8	688.7	691.6	694.5	697.4	700.3	703.2	706.1	709.0	711.9	714.8	717.7	720.6	723.5	726.4	729.3	732.2	735.1	738.0	740.9	743.8	746.7	749.6	752.5	755.4	758.3	761.2	764.1	767.0	769.9	772.8	775.7	778.6	781.5	784.4	787.3	790.2	793.1	796.0	798.9	801.8	804.7	807.6	810.5	813.4	816.3	819.2	822.1	825.0	827.9	830.8	833.7	836.6	839.5	842.4	845.3	848.2	851.1	854.0	856.9	859.8	862.7	865.6	868.5	871.4	874.3	877.2	880.1	883.0	885.9	888.8	891.7	894.6	897.5	900.4	903.3	906.2	909.1	912.0	914.9	917.8	920.7	923.6	926.5	929.4	932.3	935.2	938.1	941.0	943.9	946.8	949.7	952.6	955.5	958.4	961.3	964.2	967.1	970.0	972.9	975.8	978.7	981.6	984.5	987.4	990.3	993.2	996.1	999.0	1001.9	1004.8	1007.7	1010.6	1013.5	1016.4	1019.3	1022.2	1025.1	1028.0	1030.9	1033.8	1036.7	1039.6	1042.5	1045.4	1048.3	1051.2	1054.1	1057.0	1059.9	1062.8	1065.7	1068.6	1071.5	1074.4	1077.3	1080.2	1083.1	1086.0	1088.9	1091.8	1094.7	1097.6	1100.5	1103.4	1106.3	1109.2	1112.1	1115.0	1117.9	1120.8	1123.7	1126.6	1129.5	1132.4	1135.3	1138.2	1141.1	1144.0	1146.9	1149.8	1152.7	1155.6	1158.5	1161.4	1164.3	1167.2	1170.1	1173.0	1175.9	1178.8	1181.7	1184.6	1187.5	1190.4	1193.3	1196.2	1199.1	1202.0	1204.9	1207.8	1210.7	1213.6	1216.5	1219.4	1222.3	1225.2	1228.1	1231.0	1233.9	1236.8	1239.7	1242.6	1245.5	1248.4	1251.3	1254.2	1257.1	1260.0	1262.9	1265.8	1268.7	1271.6	1274.5	1277.4	1280.3	1283.2	1286.1	1289.0	1291.9	1294.8	1297.7	1300.6	1303.5	1306.4	1309.3	1312.2	1315.1	1318.0	1320.9	1323.8	1326.7	1329.6	1332.5	1335.4	1338.3	1341.2	1344.1	1347.0	1349.9	1352.8	1355.7	1358.6	1361.5	1364.4	1367.3	1370.2	1373.1	1376.0	1378.9	1381.8	1384.7	1387.6	1390.5	1393.4	1396.3	1399.2	1402.1	1405.0	1407.9	1410.8	1413.7	1416.6	1419.5	1422.4	1425.3	1428.2	1431.1	1434.0	1436.9	1439.8	1442.7	1445.6	1448.5	1451.4	1454.3	1457.2	1460.1	1463.0	1465.9	1468.8	1471.7	1474.6	1477.5	1480.4	1483.3	1486.2	1489.1	1492.0	1494.9	1497.8	1500.7	1503.6	1506.5	1509.4	1512.3	1515.2	1518.1	1521.0	1523.9	1526.8	1529.7	1532.6	1535.5	1538.4	1541.3	1544.2	1547.1	1550.0	1552.9	1555.8	1558.7	1561.6	1564.5	1567.4	1570.3	1573.2	1576.1	1579.0	1581.9	1584.8	1587.7	1590.6	1593.5	1596.4	1599.3	1602.2	1605.1	1608.0	1610.9	1613.8	1616.7	1619.6	1622.5	1625.4	1628.3	1631.2	1634.1	1637.0	1639.9	1642.8	1645.7	1648.6	1651.5	1654.4	1657.3	1660.2	1663.1	1666.0	1668.9	1671.8	1674.7	1677.6	1680.5	1683.4	1686.3	1689.2	1692.1	1695.0	1697.9	1700.8	1703.7	1706.6	1709.5	1712.4	1715.3	1718.2	1721.1	1724.0	1726.9	1729.8	1732.7	1735.6	1738.5	1741.4	1744.3	1747.2	1750.1	1753.0	1755.9	1758.8	1761.7	1764.6	1767.5	1770.4	1773.3	1776.2	1779.1	1782.0	1784.9	1787.8	1790.7	1793.6	1796.5	1799.4	1802.3	1805.2	1808.1	1811.0	1813.9	1816.8	1819.7	1822.6	1825.5	1828.4	1831.3	1834.2	1837.1	1840.0	1842.9	1845.8	1848.7	1851.6	1854.5	1857.4	1860.3	1863.2	1866.1	1869.0	1871.9	1874.8	1877.7	1880.6	1883.5	1886.4	1889.3	1892.2	1895.1	1898.0	1900.9	1903.8	1906.7	1909.6	1912.5	1915.4	1918.3	1921.2	1924.1	1927.0	1929.9	1932.8	1935.7	1938.6	1941.5	1944.4	1947.3	1950.2	1953.1	1956.0	1958.9	1961.8	1964.7	1967.6	1970.5	1973.4	1976.3	1979.2	1982.1	1985.0	1987.9	1990.8	1993.7	1996.6	1999.5	2002.4	2005.3	2008.2	2011.1	2014.0	2016.9	2019.8	2022.7	2025.6	2028.5	2031.4	2034.3	2037.2	2040.1	2043.0	2045.9	2048.8	2051.7	2054.6	2057.5	2060.4	2063.3	2066.2	2069.1	2072.0	2074.9	2077.8	2080.7	2083.6	2086.5	2089.4	2092.3	2095.2	2098.1	2101.0	2103.9	2106.8	2109.7	2112.6	2115.5	2118.4	2121.3	2124.2	2127.1	2130.0	2132.9	2135.8	2138.7	2141.6	2144.5	2147.4	2150.3	2153.2	2156.1	2159.0	2161.9	2164.8	2167.7	2170.6	2173.5	2176.4	2179.3	2182.2	2185.1	2188.0	2190.9	2193.8	2196.7	2199.6	2202.5	2205.4	2208.3	2211.2	2214.1	2217.0	2219.9	2222.8	2225.7	2228.6	2231.5	2234.4	2237.3	2240.2	2243.1	2246.0	2248.9	2251.8	2254.7	2257.6	2260.5	2263.4	2266.3	2269.2	2272.1	2275.0	2277.9	2280.8	2283.7	2286.6	2289.5	2292.4	2295.3	2298.2	2301.1	2304.0	2306.9	2309.8	2312.7	2315.6	2318.5	2321.4	2324.3	2327.2	2330.1	2333.0	2335.9	2338.8	2341.7	2344.6	2347.5	2350.4	2353.3	2356.2	2359.1	2362.0	2364.9	2367.8	2370.7	2373.6	2376.5	2379.4	2382.3	2385.2	2388.1	2391.0	2393.9	2396.8	2399.7	2402.6	2405.5	2408.4	2411.3	2414.2	2417.1	2420.0	2422.9	2425.8	2428.7	2431.6	2434.5	2437.4	2440.3	2443.2	2446.1	2449.0	2451.9	2454.8	2457.7	2460.6	2463.5	2466.4	2469.3	2472.2	2475.1	2478.0	2480.9	2483.8	2486.7	2489.6	2492.5	2495.4	2498.3	2501.2	2504.1	2507.0	2509.9	2512.8	2515.7	2518.6	2521.5	2524.4	2527.3	2530.2	2533.1	2536.0	2538.9	2541.8	2544.7	2547.6	2550.5	2553.4	2556.3	2559.2	2562.1	2565.0	2567.9	2570.8	2573.7	2576.6	2579.5	2582.4	2585.3	2588.2	2591.1	2594.0	2596.9	2599.8	2602.7	2605.6	2608.5	2611.4	2614.3	2617.2	2620.1	2623.0	2625.9	2628.8	2631.7	2634.6	2637.5	2640.4	2643.3	2646.2	2649.1	2652.0	2654.9	2657.8	2660.7	2663.6	2666.5	2669.4	2672.3	2675.2	2678.1	2681.0	2683.9	2686.8	2689.7	2692.6	2695.5	2698.4	2701.3	2704.2	2707.1	2710.0	2712.9	2715.8	2718.7

Ein und Ausgabe:
Farbmetrisches Drucker-Reflektiv-System FRS15_90aM
Daten für jede Farbe:
*lab*tch** und *lab*icu**
Elementar-Bunttontext:
*u** = 16 Buntttöne *r00j*, *r25j*, ..., *b75r*
Kontrastreduzierungsfaktor:
 $c_R = 0.9$

FRS15_90aM; adaptierte CIELAB-Daten

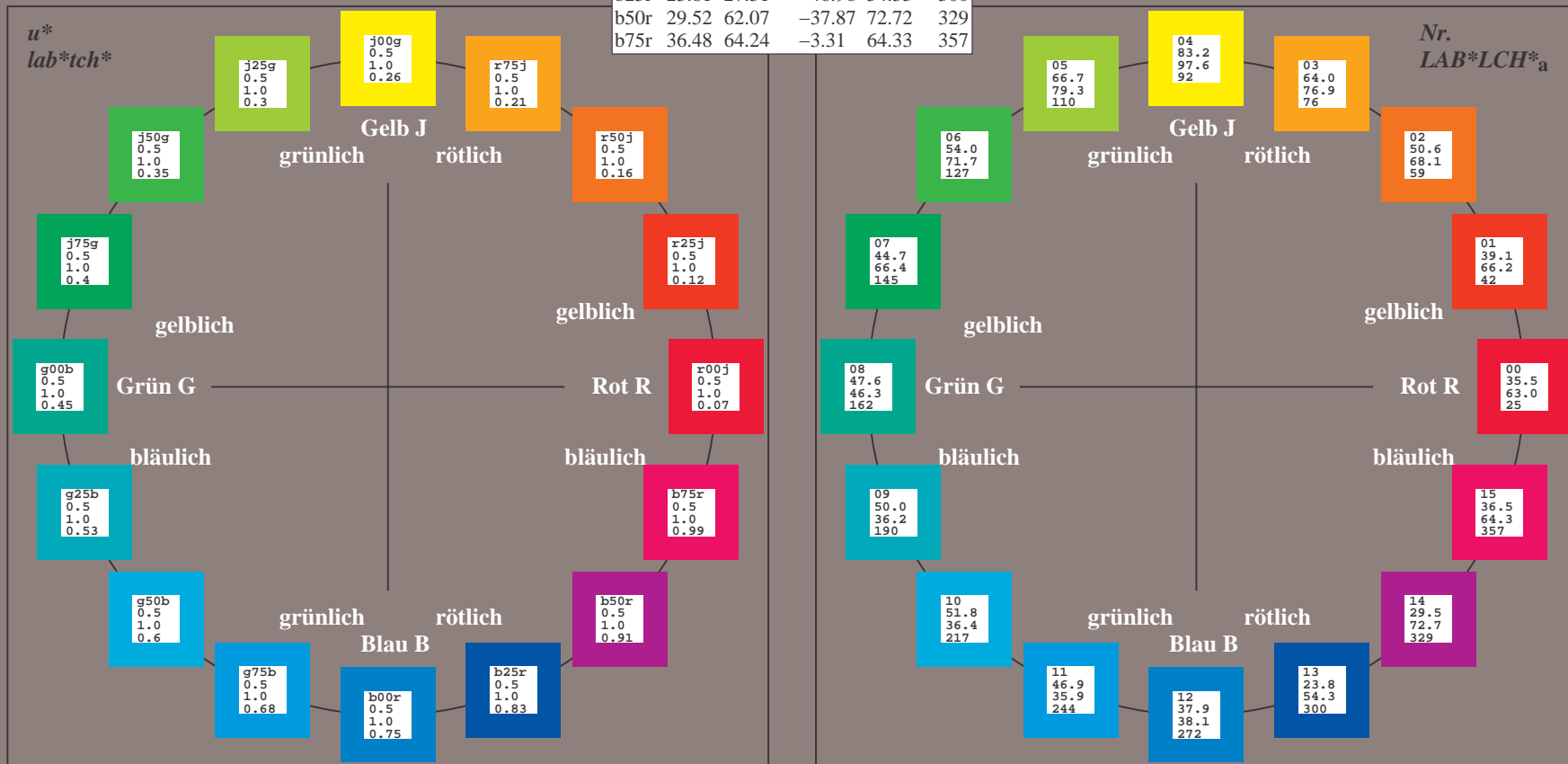
	$L^*=L^*_a$	a^*_a	b^*_a	$C^*_{ab,a}$	$h^*_{ab,a}$
r00j	35.47	56.92	27.12	63.05	25
r25j	39.12	49.04	44.45	66.19	42
r50j	50.64	35.19	58.33	68.13	59
r75j	64.01	19.11	74.45	76.87	76
j00g	83.18	-3.93	97.56	97.64	92
j25g	66.73	-26.86	74.66	79.35	110
j50g	54.03	-43.42	57.07	71.71	127
j75g	44.73	-54.21	38.33	66.4	145
g00b	47.59	-44.11	14.14	46.33	162
g25b	49.97	-35.68	-6.03	36.19	190
g50b	51.85	-29.05	-21.88	36.38	217
g75b	46.92	-15.53	-32.37	35.92	244
b00r	37.91	1.15	-38.05	38.08	272
b25r	23.81	27.31	-46.96	54.33	300
b50r	29.52	62.07	-37.87	72.72	329
b75r	36.48	64.24	-3.31	64.33	357



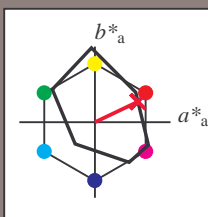
%Umfang
 $u^*_{rel} = 88$
%Regularität
 $g^*_{H,rel} = 31$
 $g^*_{C,rel} = 40$

FRS15_90aM; adaptierte CIELAB-Daten

	$L^*=L^*_a$	a^*_a	b^*_a	$C^*_{ab,a}$	$h^*_{ab,a}$
OMa	35.06	53.93	39.55	66.88	36
YMa	83.77	-4.63	98.26	98.37	93
LMa	44.13	-56.32	43.36	71.09	142
CMa	52.66	-26.18	-28.74	38.89	228
VMa	14.15	45.22	-53.06	69.72	310
MMa	37.37	70.69	-30.1	76.83	337
NMa	15.0	0.0	0.0	0.0	0
WMa	90.0	0.0	0.0	0.0	0
RCIE	39.92	58.74	27.99	65.07	25
JCIE	81.26	-2.88	71.56	71.62	92
GCIE	52.23	-42.41	13.6	44.55	162
BCIE	30.57	1.41	-46.46	46.49	272



Ein und Ausgabe: Farbmetrisches Drucker-Reflektiv-System FRS15_90aM für relativen CIELAB-Buntton $h^* = lab^*h^* = h_{ab}/360 = 25/360 = 0.071$ $u^* = r00j$
Daten für jede Farbe:
 lab^*tch^* und lab^*icu^*
Elementar-Bunttontext:
 $u^* = r00j$
Kontrastreduzierungsfaktor:
 $c_R = 0.9$
Dreiecks-Helligkeit t^*



FRS15_90aM; adaptierte CIELAB-Daten					
	$L^*=L^*_a$	a^*_a	b^*_a	$C^*_{ab,a}$	$h^*_{ab,a}$
O _{Ma}	35.06	53.93	39.55	66.88	36
Y _{Ma}	83.77	-4.63	98.26	98.37	93
L _{Ma}	44.13	-56.32	43.36	71.09	142
C _{Ma}	52.66	-26.18	-28.74	38.89	228
V _{Ma}	14.15	45.22	-53.06	69.72	310
M _{Ma}	37.37	70.69	-30.1	76.83	337
N _{Ma}	15.0	0.0	0.0	0.0	0
W _{Ma}	90.0	0.0	0.0	0.0	0
R _{CIE}	39.92	58.74	27.99	65.07	25
J _{CIE}	81.26	-2.88	71.56	71.62	92
G _{CIE}	52.23	-42.41	13.6	44.55	162
B _{CIE}	30.57	1.41	-46.46	46.49	272

Daten für Maximalfarbe (Ma):

$LAB^*LAB^*_{Ma}$: 35 57 27

$LAB^*LCH^*_{Ma}$: 35 63 25

$lab^*rgb^*_{Ma}$: 1.0 0.0 0.0

$lab^*olv^*_{Ma}$: 1.0 0.0 0.18

Dreiecks-Helligkeit t^*

%Umfang

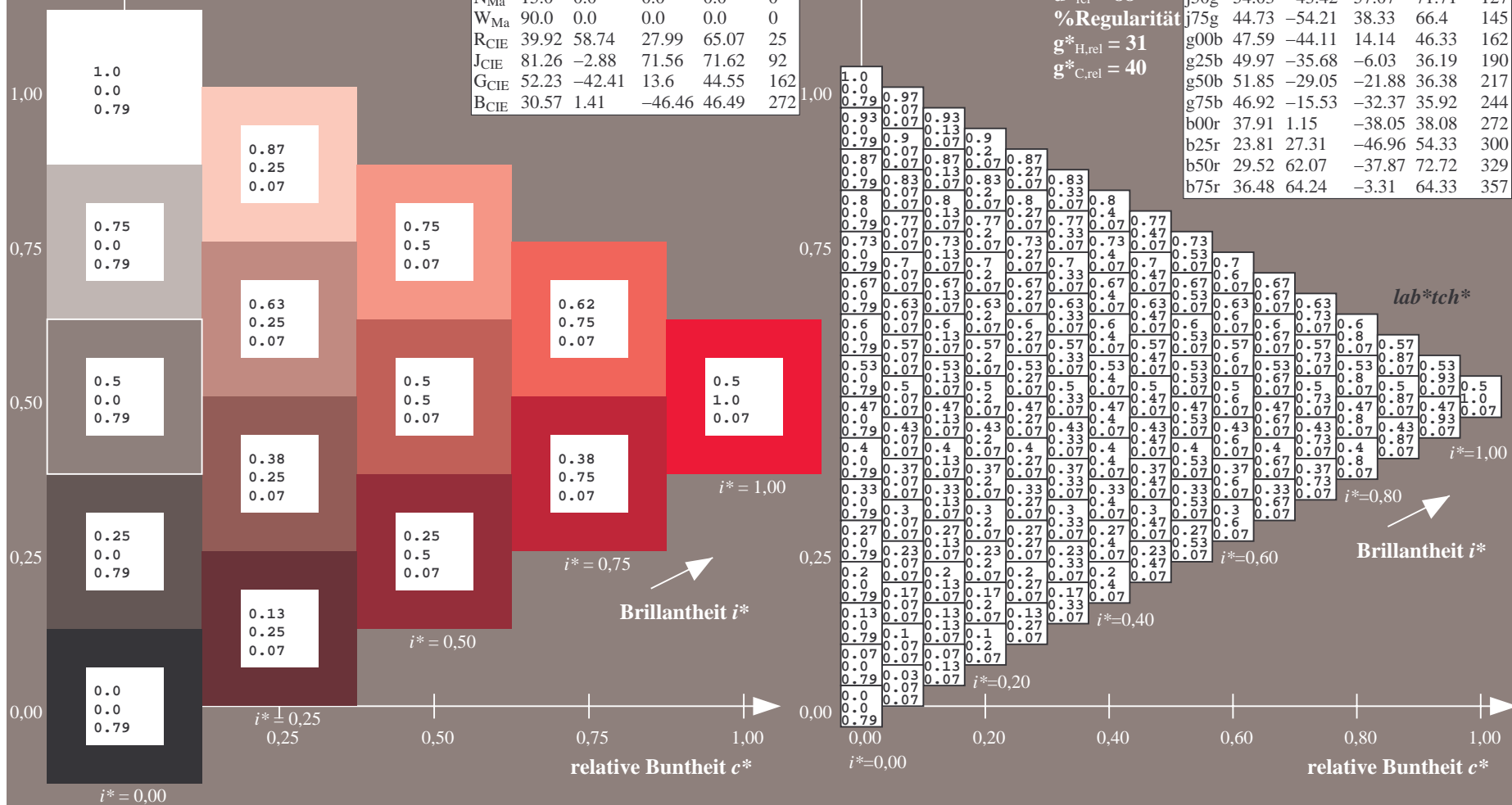
$u^*_{rel} = 88$

%Regularität

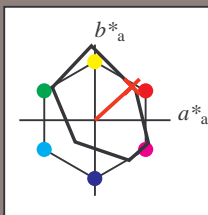
$g^*_{H,rel} = 31$

$g^*_{C,rel} = 40$

FRS15_90aM; adaptierte CIELAB-Daten					
	$L^*=L^*_a$	a^*_a	b^*_a	$C^*_{ab,a}$	$h^*_{ab,a}$
r00j	35.47	56.92	27.12	63.05	25
r25j	39.12	49.04	44.45	66.19	42
r50j	50.64	35.19	58.33	68.13	59
r75j	64.01	19.11	74.45	76.87	76
j00g	83.18	-3.93	97.56	97.64	92
j25g	66.73	-26.86	74.66	79.35	110
j50g	54.03	-43.42	57.07	71.71	127
j75g	44.73	-54.21	38.33	66.4	145
g00b	47.59	-44.11	14.14	46.33	162
g25b	49.97	-35.68	-6.03	36.19	190
g50b	51.85	-29.05	-21.88	36.38	217
g75b	46.92	-15.53	-32.37	35.92	244
b00r	37.91	1.15	-38.05	38.08	272
b25r	23.81	27.31	-46.96	54.33	300
b50r	29.52	62.07	-37.87	72.72	329
b75r	36.48	64.24	-3.31	64.33	357



Ein und Ausgabe: Farbmetrisches Drucker-Reflektiv-System FRS15_90aM für relativen CIELAB-Buntton $h^* = lab^*h^* = h_{ab}/360 = 42/360 = 0.117$ $u^* = r25j$
Daten für jede Farbe:
 lab^*tch^* und lab^*icu^*
Elementar-Bunttontext:
 $u^* = r25j$
Kontrastreduzierungsfaktor:
 $c_R = 0.9$
Dreiecks-Helligkeit t^*



FRS15_90aM; adaptierte CIELAB-Daten					
	$L^*=L_a^*$	a_a^*	b_a^*	$C^*_{ab,a}$	$h^*_{ab,a}$
O _{Ma}	35.06	53.93	39.55	66.88	36
Y _{Ma}	83.77	-4.63	98.26	98.37	93
L _{Ma}	44.13	-56.32	43.36	71.09	142
C _{Ma}	52.66	-26.18	-28.74	38.89	228
V _{Ma}	14.15	45.22	-53.06	69.72	310
M _{Ma}	37.37	70.69	-30.1	76.83	337
N _{Ma}	15.0	0.0	0.0	0.0	0
W _{Ma}	90.0	0.0	0.0	0.0	0
R _{CIE}	39.92	58.74	27.99	65.07	25
J _{CIE}	81.26	-2.88	71.56	71.62	92
G _{CIE}	52.23	-42.41	13.6	44.55	162
B _{CIE}	30.57	1.41	-46.46	46.49	272

Daten für Maximalfarbe (Ma):

$LAB^*LAB^*_{Ma}$: 39 49 44

$LAB^*LCH^*_{Ma}$: 39 66 42

$lab^*rgb^*_{Ma}$: 1.0 0.25 0.0

$lab^*olv^*_{Ma}$: 1.0 0.08 0.0

Dreiecks-Helligkeit t^*

%Umfang

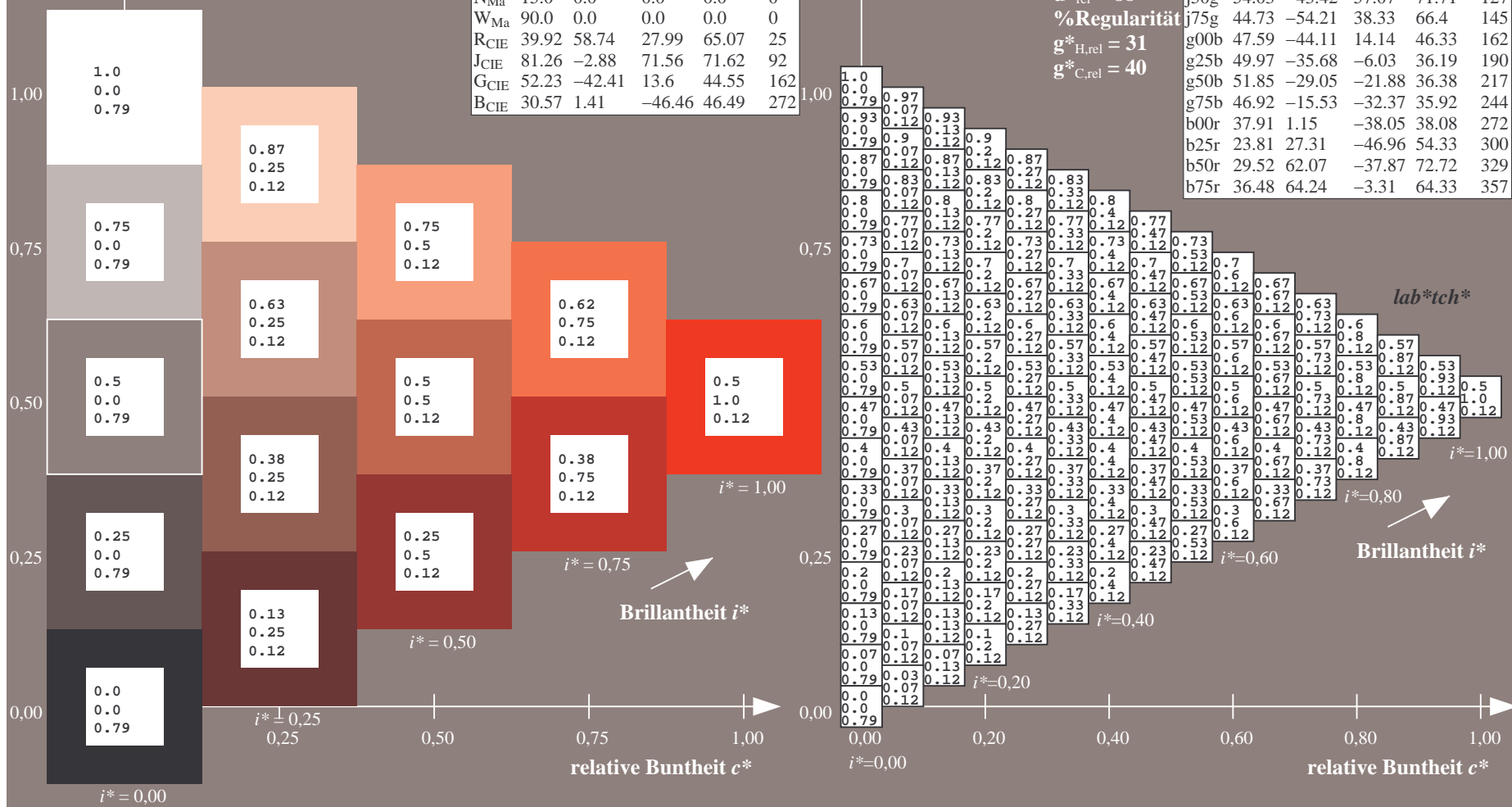
$u^*_{rel} = 88$

%Regularität

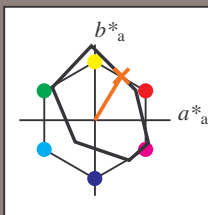
$g^*_{H,rel} = 31$

$g^*_{C,rel} = 40$

FRS15_90aM; adaptierte CIELAB-Daten					
	$L^*=L_a^*$	a_a^*	b_a^*	$C^*_{ab,a}$	$h^*_{ab,a}$
r00j	35.47	56.92	27.12	63.05	25
r25j	39.12	49.04	44.45	66.19	42
r50j	50.64	35.19	58.33	68.13	59
r75j	64.01	19.11	74.45	76.87	76
j00g	83.18	-3.93	97.56	97.64	92
j25g	66.73	-26.86	74.66	79.35	110
j50g	54.03	-43.42	57.07	71.71	127
j75g	44.73	-54.21	38.33	66.4	145
g00b	47.59	-44.11	14.14	46.33	162
g25b	49.97	-35.68	-6.03	36.19	190
g50b	51.85	-29.05	-21.88	36.38	217
g75b	46.92	-15.53	-32.37	35.92	244
b00r	37.91	1.15	-38.05	38.08	272
b25r	23.81	27.31	-46.96	54.33	300
b50r	29.52	62.07	-37.87	72.72	329
b75r	36.48	64.24	-3.31	64.33	357



Ein und Ausgabe: Farbmetrisches Drucker-Reflektiv-System FRS15_90aM für relativen CIELAB-Buntton $h^* = lab^*h^* = h_{ab}/360 = 59/360 = 0.164$ $u^* = r50j$
Daten für jede Farbe:
 lab^*ch^* und lab^*icu^*
Elementar-Bunttontext:
 $u^* = r50j$
Kontrastreduzierungsfaktor:
 $c_R = 0.9$
Dreiecks-Helligkeit t^*



FRS15_90aM; adaptierte CIELAB-Daten					
	$L^*=L_a^*$	a_a^*	b_a^*	$C^*_{ab,a}$	$h^*_{ab,a}$
O _{Ma}	35.06	53.93	39.55	66.88	36
Y _{Ma}	83.77	-4.63	98.26	98.37	93
L _{Ma}	44.13	-56.32	43.36	71.09	142
C _{Ma}	52.66	-26.18	-28.74	38.89	228
V _{Ma}	14.15	45.22	-53.06	69.72	310
M _{Ma}	37.37	70.69	-30.1	76.83	337
N _{Ma}	15.0	0.0	0.0	0.0	0
W _{Ma}	90.0	0.0	0.0	0.0	0
R _{CIE}	39.92	58.74	27.99	65.07	25
J _{CIE}	81.26	-2.88	71.56	71.62	92
G _{CIE}	52.23	-42.41	13.6	44.55	162
B _{CIE}	30.57	1.41	-46.46	46.49	272

Daten für Maximalfarbe (Ma):

$LAB^*LAB^*_{Ma}$: 51 35 58

$LAB^*LCH^*_{Ma}$: 51 68 59

$lab^*rgb^*_{Ma}$: 1.0 0.5 0.0

$lab^*olv^*_{Ma}$: 1.0 0.32 0.0

Dreiecks-Helligkeit t^*

%Umfang

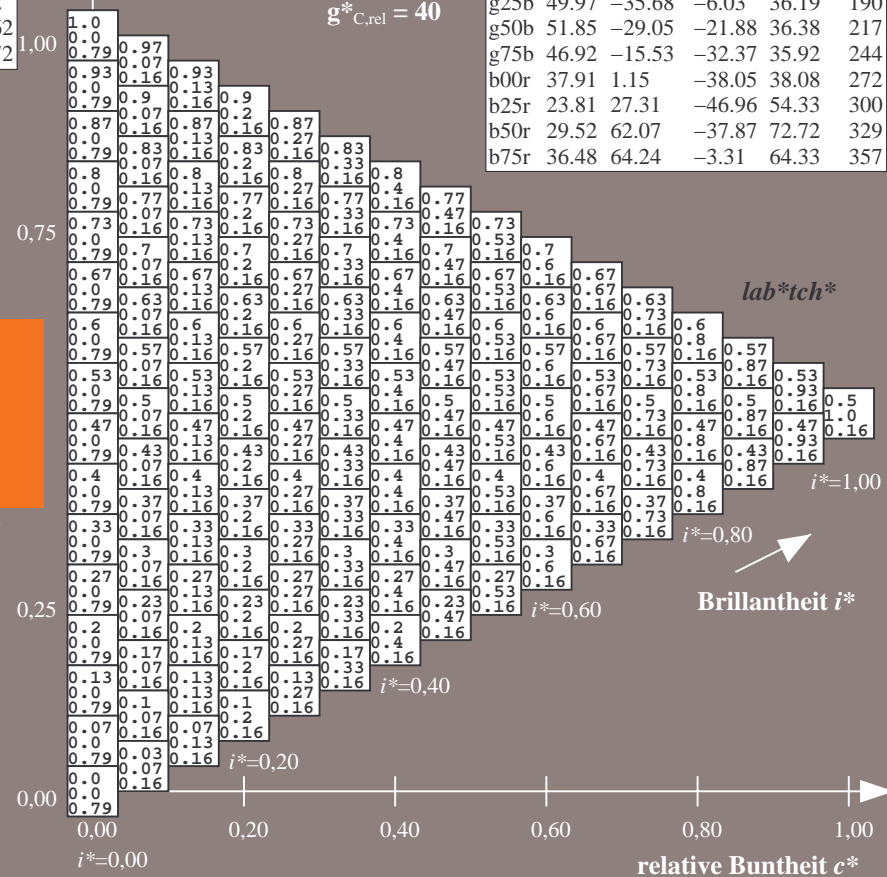
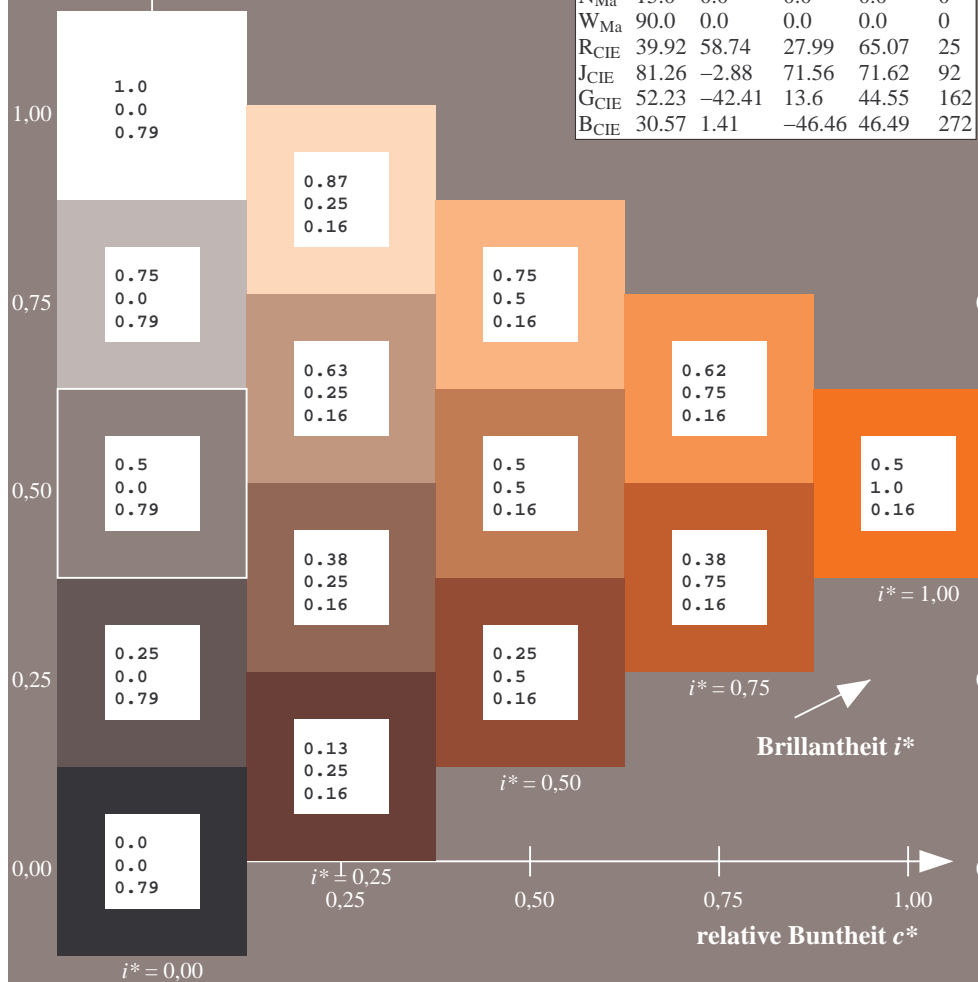
$u^*_{rel} = 88$

%Regularität

$g^*_{H,rel} = 31$

$g^*_{C,rel} = 40$

FRS15_90aM; adaptierte CIELAB-Daten					
	$L^*=L_a^*$	a_a^*	b_a^*	$C^*_{ab,a}$	$h^*_{ab,a}$
r00j	35.47	56.92	27.12	63.05	25
r25j	39.12	49.04	44.45	66.19	42
r50j	50.64	35.19	58.33	68.13	59
r75j	64.01	19.11	74.45	76.87	76
j00g	83.18	-3.93	97.56	97.64	92
j25g	66.73	-26.86	74.66	79.35	110
j50g	54.03	-43.42	57.07	71.71	127
j75g	44.73	-54.21	38.33	66.4	145
g00b	47.59	-44.11	14.14	46.33	162
g25b	49.97	-35.68	-6.03	36.19	190
g50b	51.85	-29.05	-21.88	36.38	217
g75b	46.92	-15.53	-32.37	35.92	244
b00r	37.91	1.15	-38.05	38.08	272
b25r	23.81	27.31	-46.96	54.33	300
b50r	29.52	62.07	-37.87	72.72	329
b75r	36.48	64.24	-3.31	64.33	357



Ein und Ausgabe: Farbmetrisches Drucker-Reflektiv-System FRS15_90aM für relativen CIELAB-Buntton $h^* = lab^*h^* = h_{ab}/360 = 76/360 = 0.21$ $u^* = r75j$

Daten für jede Farbe:

lab^*tch^* und lab^*icu^*

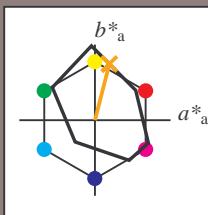
Elementar-Bunttontext:

$u^* = r75j$

Kontrastreduzierungsfaktor:

$c_R = 0.9$

Dreiecks-Helligkeit t^*



FRS15_90aM; adaptierte CIELAB-Daten

	$L^*=L_a^*$	a_a^*	b_a^*	$C^*_{ab,a}$	$h^*_{ab,a}$
O _{Ma}	35.06	53.93	39.55	66.88	36
Y _{Ma}	83.77	-4.63	98.26	98.37	93
L _{Ma}	44.13	-56.32	43.36	71.09	142
C _{Ma}	52.66	-26.18	-28.74	38.89	228
V _{Ma}	14.15	45.22	-53.06	69.72	310
M _{Ma}	37.37	70.69	-30.1	76.83	337
N _{Ma}	15.0	0.0	0.0	0.0	0
W _{Ma}	90.0	0.0	0.0	0.0	0
R _{CIE}	39.92	58.74	27.99	65.07	25
J _{CIE}	81.26	-2.88	71.56	71.62	92
G _{CIE}	52.23	-42.41	13.6	44.55	162
B _{CIE}	30.57	1.41	-46.46	46.49	272

Daten für Maximalfarbe (Ma):

$LAB^*LAB^*_{Ma}$: 64 19 74

$LAB^*LCH^*_{Ma}$: 64 77 76

$lab^*rgb^*_{Ma}$: 1.0 0.75 0.0

$lab^*olv^*_{Ma}$: 1.0 0.59 0.0

Dreiecks-Helligkeit t^*

%Umfang

$u^*_{rel} = 88$

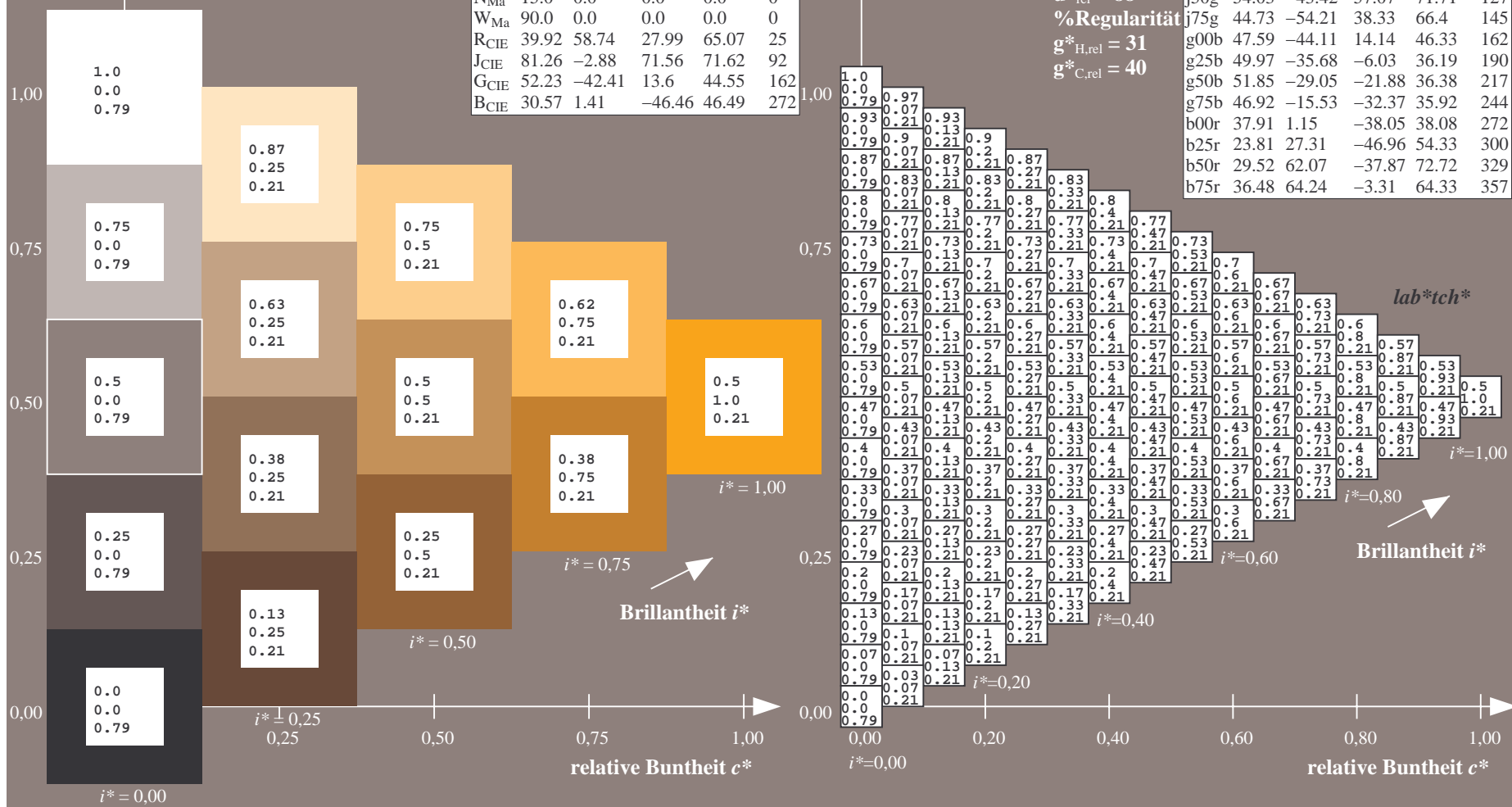
%Regularität

$g^*_{H,rel} = 31$

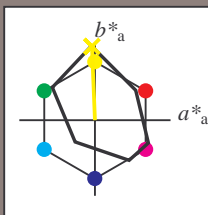
$g^*_{C,rel} = 40$

FRS15_90aM; adaptierte CIELAB-Daten

	$L^*=L_a^*$	a_a^*	b_a^*	$C^*_{ab,a}$	$h^*_{ab,a}$
r00j	35.47	56.92	27.12	63.05	25
r25j	39.12	49.04	44.45	66.19	42
r50j	50.64	35.19	58.33	68.13	59
r75j	64.01	19.11	74.45	76.87	76
j00g	83.18	-3.93	97.56	97.64	92
j25g	66.73	-26.86	74.66	79.35	110
j50g	54.03	-43.42	57.07	71.71	127
j75g	44.73	-54.21	38.33	66.4	145
g00b	47.59	-44.11	14.14	46.33	162
g25b	49.97	-35.68	-6.03	36.19	190
g50b	51.85	-29.05	-21.88	36.38	217
g75b	46.92	-15.53	-32.37	35.92	244
b00r	37.91	1.15	-38.05	38.08	272
b25r	23.81	27.31	-46.96	54.33	300
b50r	29.52	62.07	-37.87	72.72	329
b75r	36.48	64.24	-3.31	64.33	357



Ein und Ausgabe: Farbmetrisches Drucker-Reflektiv-System FRS15_90aM für relativen CIELAB-Buntton $h^* = lab^*h^* = h_{ab}/360 = 92/360 = 0.256$ $u^* = j00g$
Daten für jede Farbe:
 lab^*tch^* und lab^*icu^*
Elementar-Bunttontext:
 $u^* = j00g$
Kontrastreduzierungsfaktor:
 $c_R = 0.9$
Dreiecks-Helligkeit i^*



FRS15_90aM; adaptierte CIELAB-Daten					
	$L^*=L_a^*$	a_a^*	b_a^*	$C^*_{ab,a}$	$h^*_{ab,a}$
O _{Ma}	35.06	53.93	39.55	66.88	36
Y _{Ma}	83.77	-4.63	98.26	98.37	93
L _{Ma}	44.13	-56.32	43.36	71.09	142
C _{Ma}	52.66	-26.18	-28.74	38.89	228
V _{Ma}	14.15	45.22	-53.06	69.72	310
M _{Ma}	37.37	70.69	-30.1	76.83	337
N _{Ma}	15.0	0.0	0.0	0.0	0
W _{Ma}	90.0	0.0	0.0	0.0	0
R _{CIE}	39.92	58.74	27.99	65.07	25
J _{CIE}	81.26	-2.88	71.56	71.62	92
G _{CIE}	52.23	-42.41	13.6	44.55	162
B _{CIE}	30.57	1.41	-46.46	46.49	272

Daten für Maximalfarbe (Ma):

$LAB^*LAB^*_{Ma}$: 83 -3 98

$LAB^*LCH^*_{Ma}$: 83 98 92

$lab^*rgb^*_{Ma}$: 1.0 1.0 0.0

$lab^*olv^*_{Ma}$: 1.0 0.99 0.0

Dreiecks-Helligkeit i^*

%Umfang

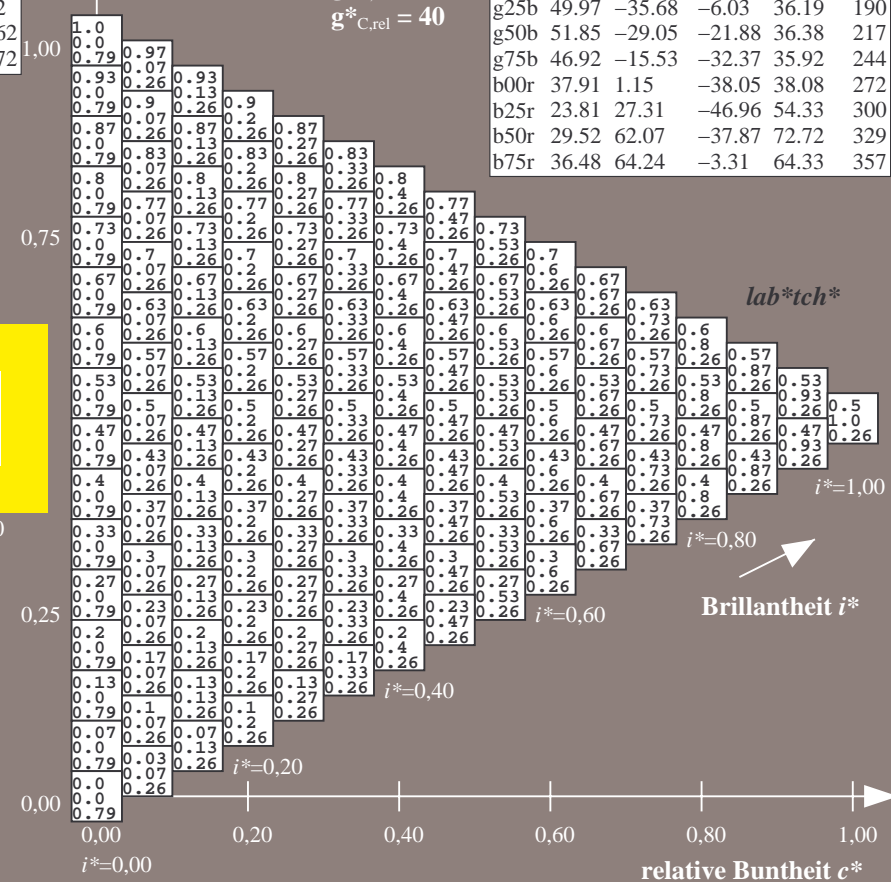
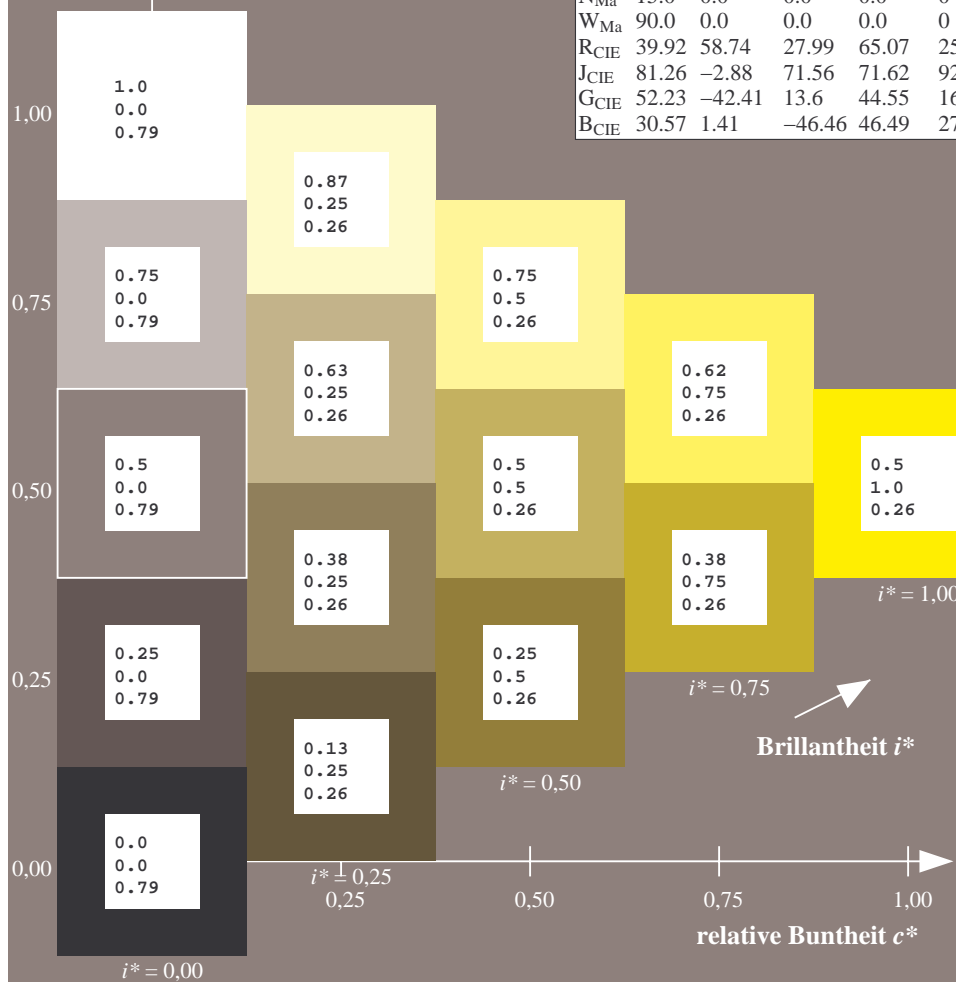
$u^*_{rel} = 88$

%Regularität

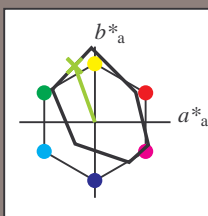
$g^*_{H,rel} = 31$

$g^*_{C,rel} = 40$

FRS15_90aM; adaptierte CIELAB-Daten					
	$L^*=L_a^*$	a_a^*	b_a^*	$C^*_{ab,a}$	$h^*_{ab,a}$
r00j	35.47	56.92	27.12	63.05	25
r25j	39.12	49.04	44.45	66.19	42
r50j	50.64	35.19	58.33	68.13	59
r75j	64.01	19.11	74.45	76.87	76
j00g	83.18	-3.93	97.56	97.64	92
j25g	66.73	-26.86	74.66	79.35	110
j50g	54.03	-43.42	57.07	71.71	127
j75g	44.73	-54.21	38.33	66.4	145
g00b	47.59	-44.11	14.14	46.33	162
g25b	49.97	-35.68	-6.03	36.19	190
g50b	51.85	-29.05	-21.88	36.38	217
g75b	46.92	-15.53	-32.37	35.92	244
b00r	37.91	1.15	-38.05	38.08	272
b25r	23.81	27.31	-46.96	54.33	300
b50r	29.52	62.07	-37.87	72.72	329
b75r	36.48	64.24	-3.31	64.33	357



Ein und Ausgabe: Farbmetrisches Drucker-Reflektiv-System FRS15_90aM für relativen CIELAB-Buntton $h^* = lab^*h^* = h_{ab}/360 = 110/360 = 0.305$ $u^* = j25g$
Daten für jede Farbe:
 lab^*tch^* und lab^*icu^*
Elementar-Bunttontext:
 $u^* = j25g$
Kontrastreduzierungsfaktor:
 $c_R = 0.9$
Dreiecks-Helligkeit i^*



FRS15_90aM; adaptierte CIELAB-Daten					
	$L^*=L_a^*$	a_a^*	b_a^*	$C^*_{ab,a}$	$h^*_{ab,a}$
O _{Ma}	35.06	53.93	39.55	66.88	36
Y _{Ma}	83.77	-4.63	98.26	98.37	93
L _{Ma}	44.13	-56.32	43.36	71.09	142
C _{Ma}	52.66	-26.18	-28.74	38.89	228
V _{Ma}	14.15	45.22	-53.06	69.72	310
M _{Ma}	37.37	70.69	-30.1	76.83	337
N _{Ma}	15.0	0.0	0.0	0.0	0
W _{Ma}	90.0	0.0	0.0	0.0	0
R _{CIE}	39.92	58.74	27.99	65.07	25
J _{CIE}	81.26	-2.88	71.56	71.62	92
G _{CIE}	52.23	-42.41	13.6	44.55	162
B _{CIE}	30.57	1.41	-46.46	46.49	272

Daten für Maximalfarbe (Ma):

$LAB^*LAB^*_{Ma}$: 67 -26 75

$LAB^*LCH^*_{Ma}$: 67 79 110

$lab^*rgb^*_{Ma}$: 0.75 1.0 0.0

$lab^*olv^*_{Ma}$: 0.57 1.0 0.0

Dreiecks-Helligkeit i^*

%Umfang

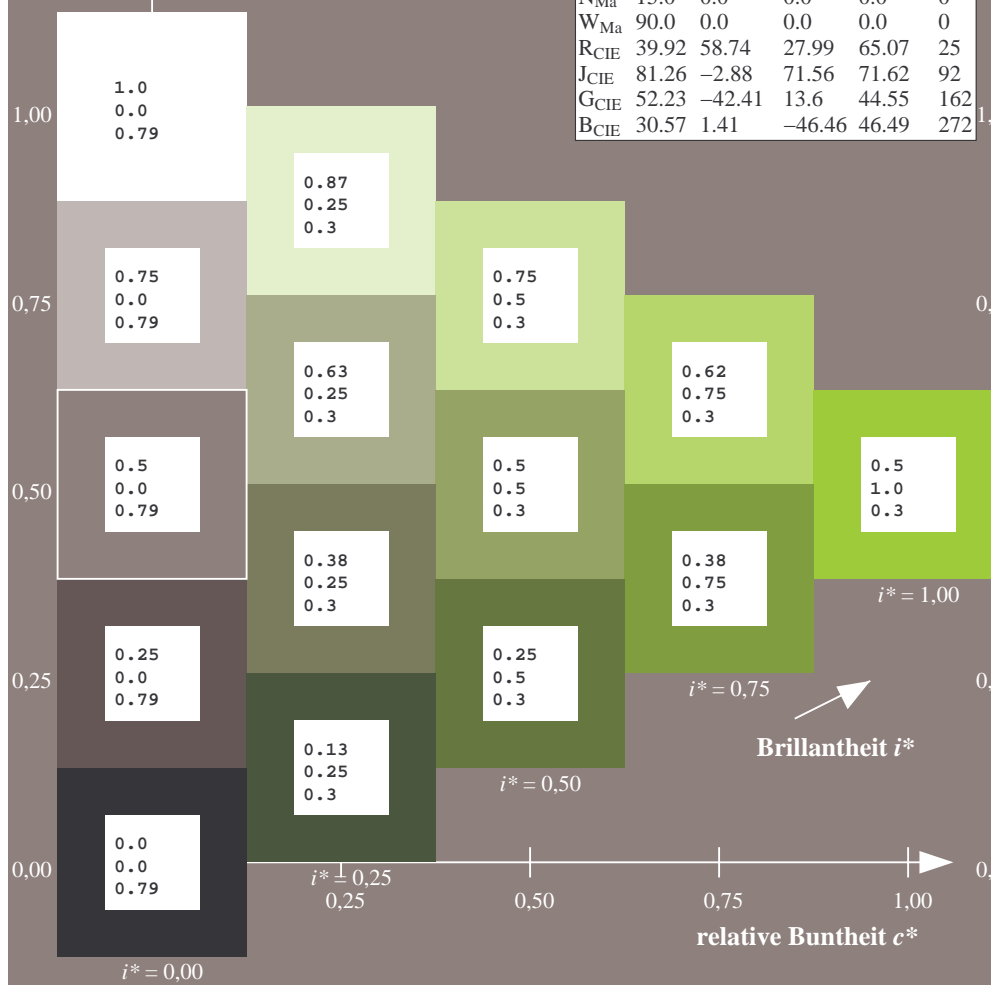
$u^*_{rel} = 88$

%Regularität

$g^*_{H,rel} = 31$

$g^*_{C,rel} = 40$

FRS15_90aM; adaptierte CIELAB-Daten					
	$L^*=L_a^*$	a_a^*	b_a^*	$C^*_{ab,a}$	$h^*_{ab,a}$
r00j	35.47	56.92	27.12	63.05	25
r25j	39.12	49.04	44.45	66.19	42
r50j	50.64	35.19	58.33	68.13	59
r75j	64.01	19.11	74.45	76.87	76
j00g	83.18	-3.93	97.56	97.64	92
j25g	66.73	-26.86	74.66	79.35	110
j50g	54.03	-43.42	57.07	71.71	127
j75g	44.73	-54.21	38.33	66.4	145
g00b	47.59	-44.11	14.14	46.33	162
g25b	49.97	-35.68	-6.03	36.19	190
g50b	51.85	-29.05	-21.88	36.38	217
g75b	46.92	-15.53	-32.37	35.92	244
b00r	37.91	1.15	-38.05	38.08	272
b25r	23.81	27.31	-46.96	54.33	300
b50r	29.52	62.07	-37.87	72.72	329
b75r	36.48	64.24	-3.31	64.33	357



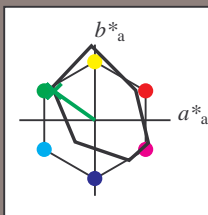
Dreiecks-Helligkeit t^*


$$\mathbf{g}_{\text{C,rel}}^* = 40$$


Ausgabe: $\rightarrow cmy\mathbf{n}5^* setcmykcolor$

BAM-Registrierung: 20080701-Dg93/10L/L93G00NA.PS/ .TXTBAM-Material: Code=rha4ta
Anwendung für Beurteilung und Messung von Drucker- oder Monitorsystemen

Ein und Ausgabe: Farbmetrisches Drucker-Reflektiv-System FRS15_90aM für relativen CIELAB-Buntton $h^* = lab^*h^* = h_{ab}/360 = 145/360 = 0.402$ $u^* = j75g$
Daten für jede Farbe:
 lab^*tch^* und lab^*icu^*
Elementar-Bunttontext:
 $u^* = j75g$
Kontrastreduzierungsfaktor:
 $c_R = 0.9$
Dreiecks-Helligkeit t^*



FRS15_90aM; adaptierte CIELAB-Daten					
	$L^*=L_a^*$	a_a^*	b_a^*	$C_{ab,a}^*$	$h_{ab,a}^*$
O _{Ma}	35.06	53.93	39.55	66.88	36
Y _{Ma}	83.77	-4.63	98.26	98.37	93
L _{Ma}	44.13	-56.32	43.36	71.09	142
C _{Ma}	52.66	-26.18	-28.74	38.89	228
V _{Ma}	14.15	45.22	-53.06	69.72	310
M _{Ma}	37.37	70.69	-30.1	76.83	337
N _{Ma}	15.0	0.0	0.0	0.0	0
W _{Ma}	90.0	0.0	0.0	0.0	0
R _{CIE}	39.92	58.74	27.99	65.07	25
J _{CIE}	81.26	-2.88	71.56	71.62	92
G _{CIE}	52.23	-42.41	13.6	44.55	162
B _{CIE}	30.57	1.41	-46.46	46.49	272

Daten für Maximalfarbe (Ma):

$LAB^*LAB^*_{Ma}$: 45 -53 38

$LAB^*LCH^*_{Ma}$: 45 66 145

$lab^*rgb^*_{Ma}$: 0.25 1.0 0.0

$lab^*olv^*_{Ma}$: 0.0 1.0 0.07

Dreiecks-Helligkeit t^*

%Umfang

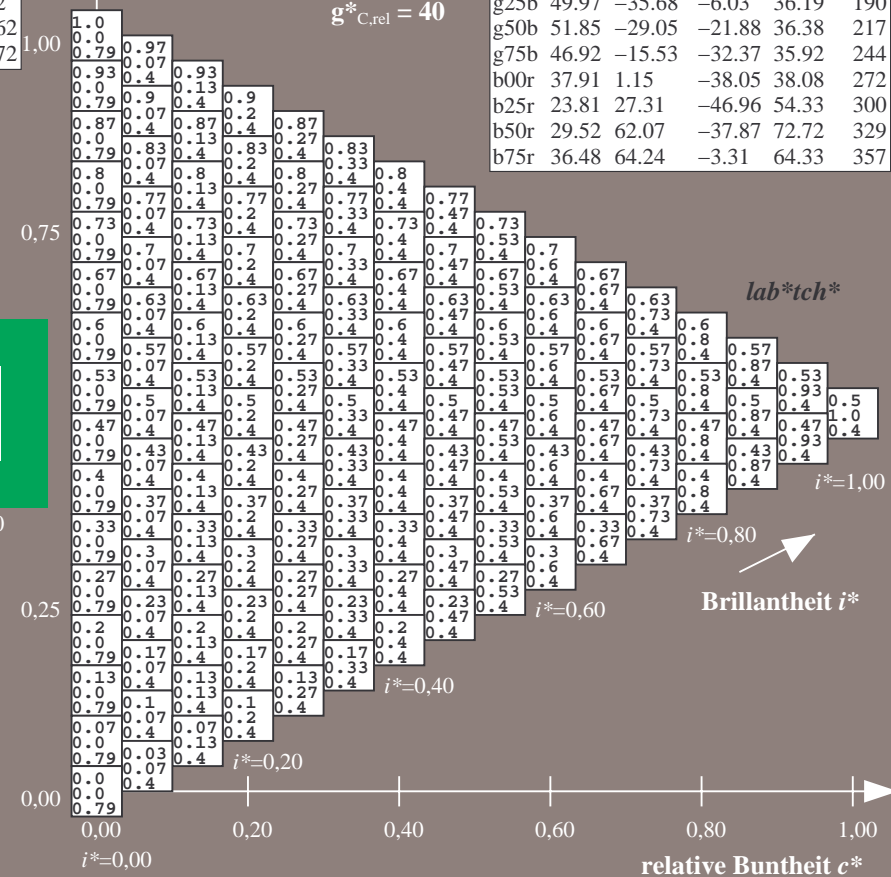
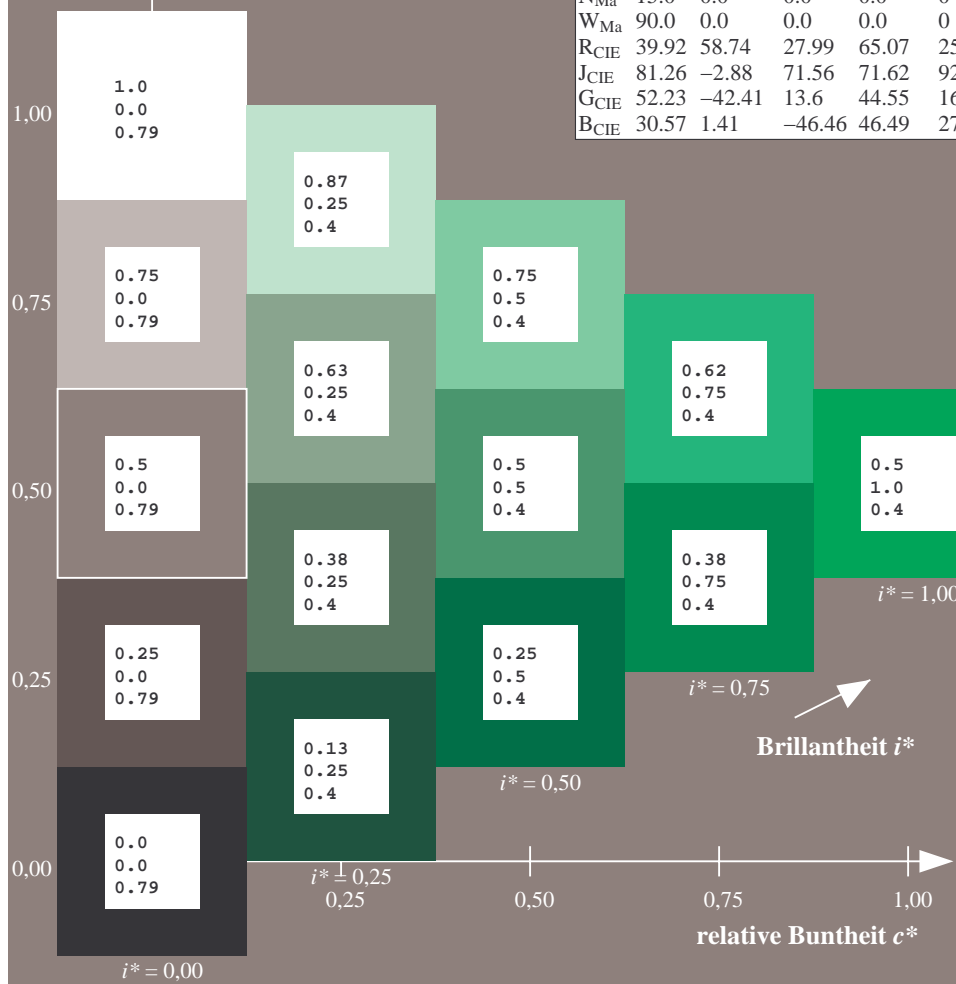
$u^*_{rel} = 88$

%Regularität

$g^*_{H,rel} = 31$

$g^*_{C,rel} = 40$

FRS15_90aM; adaptierte CIELAB-Daten					
	$L^*=L_a^*$	a_a^*	b_a^*	$C_{ab,a}^*$	$h_{ab,a}^*$
r00j	35.47	56.92	27.12	63.05	25
r25j	39.12	49.04	44.45	66.19	42
r50j	50.64	35.19	58.33	68.13	59
r75j	64.01	19.11	74.45	76.87	76
j00g	83.18	-3.93	97.56	97.64	92
j25g	66.73	-26.86	74.66	79.35	110
j50g	54.03	-43.42	57.07	71.71	127
j75g	44.73	-54.21	38.33	66.4	145
g00b	47.59	-44.11	14.14	46.33	162
g25b	49.97	-35.68	-6.03	36.19	190
g50b	51.85	-29.05	-21.88	36.38	217
g75b	46.92	-15.53	-32.37	35.92	244
b00r	37.91	1.15	-38.05	38.08	272
b25r	23.81	27.31	-46.96	54.33	300
b50r	29.52	62.07	-37.87	72.72	329
b75r	36.48	64.24	-3.31	64.33	357



1. **Stress Management:**

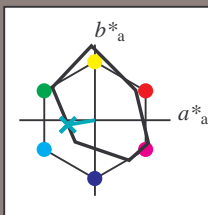
relative Buntheit c^*

Farbreihen, 8 Datentabellen für 16 Bunttöne *r00j* bis *b75r*

Ausgabe: $\rightarrow cmyn5^* setcmykcolor$

BAM-Registrierung: 20080701-Dg93/10L/L93G00NA.PS/.TXTBAM-Material: Code=rha4ta
+ Anwendung für Beurteilung und Messung von Drucker- oder Monitorsystemen

Ein und Ausgabe: Farbmetrisches Drucker-Reflektiv-System FRS15_90aM für relativen CIELAB-Buntton $h^* = lab^*h^* = h_{ab}/360 = 190/360 = 0.527$ $u^* = g25b$
Daten für jede Farbe:
 lab^*tch^* und lab^*icu^*
Elementar-Bunttontext:
 $u^* = g25b$
Kontrastreduzierungsfaktor:
 $c_R = 0.9$
Dreiecks-Helligkeit t^*



FRS15_90aM; adaptierte CIELAB-Daten					
	$L^*=L_a^*$	a_a^*	b_a^*	$C^*_{ab,a}$	$h^*_{ab,a}$
O _{Ma}	35.06	53.93	39.55	66.88	36
Y _{Ma}	83.77	-4.63	98.26	98.37	93
L _{Ma}	44.13	-56.32	43.36	71.09	142
C _{Ma}	52.66	-26.18	-28.74	38.89	228
V _{Ma}	14.15	45.22	-53.06	69.72	310
M _{Ma}	37.37	70.69	-30.1	76.83	337
N _{Ma}	15.0	0.0	0.0	0.0	0
W _{Ma}	90.0	0.0	0.0	0.0	0
R _{CIE}	39.92	58.74	27.99	65.07	25
J _{CIE}	81.26	-2.88	71.56	71.62	92
G _{CIE}	52.23	-42.41	13.6	44.55	162
B _{CIE}	30.57	1.41	-46.46	46.49	272

Daten für Maximalfarbe (Ma):

$LAB^*LAB^*_{Ma}$: 50 -35 -5

$LAB^*LCH^*_{Ma}$: 50 36 190

$lab^*rgb^*_{Ma}$: 0.0 1.0 0.5

$lab^*olv^*_{Ma}$: 0.0 1.0 0.69

Dreiecks-Helligkeit t^*

%Umfang

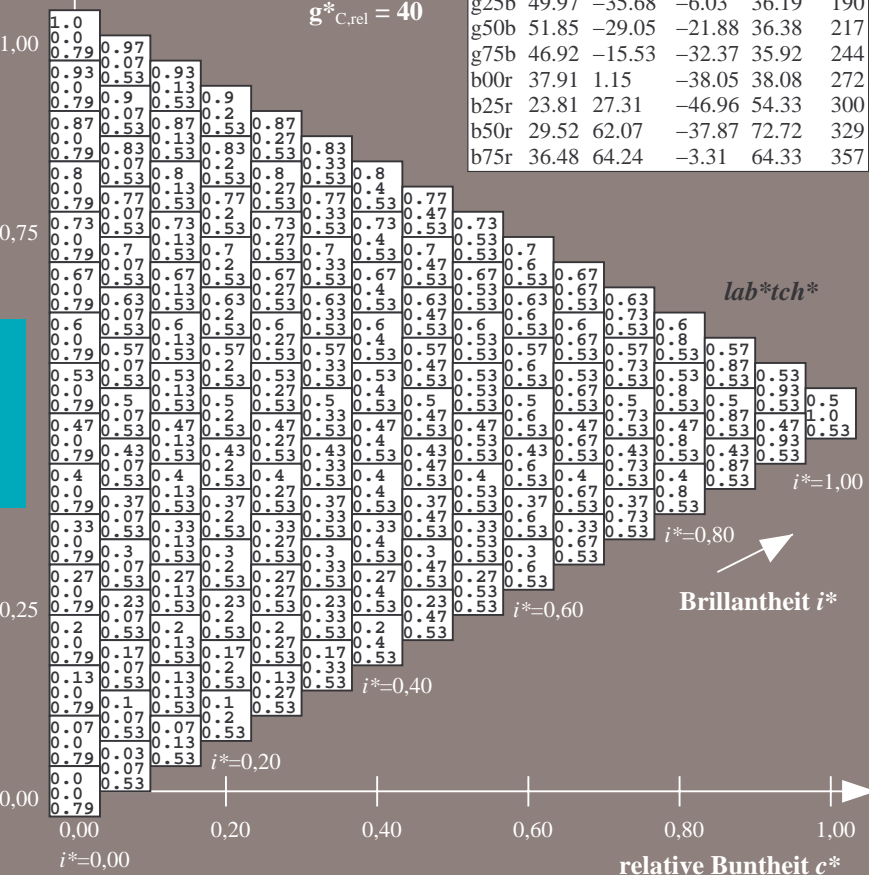
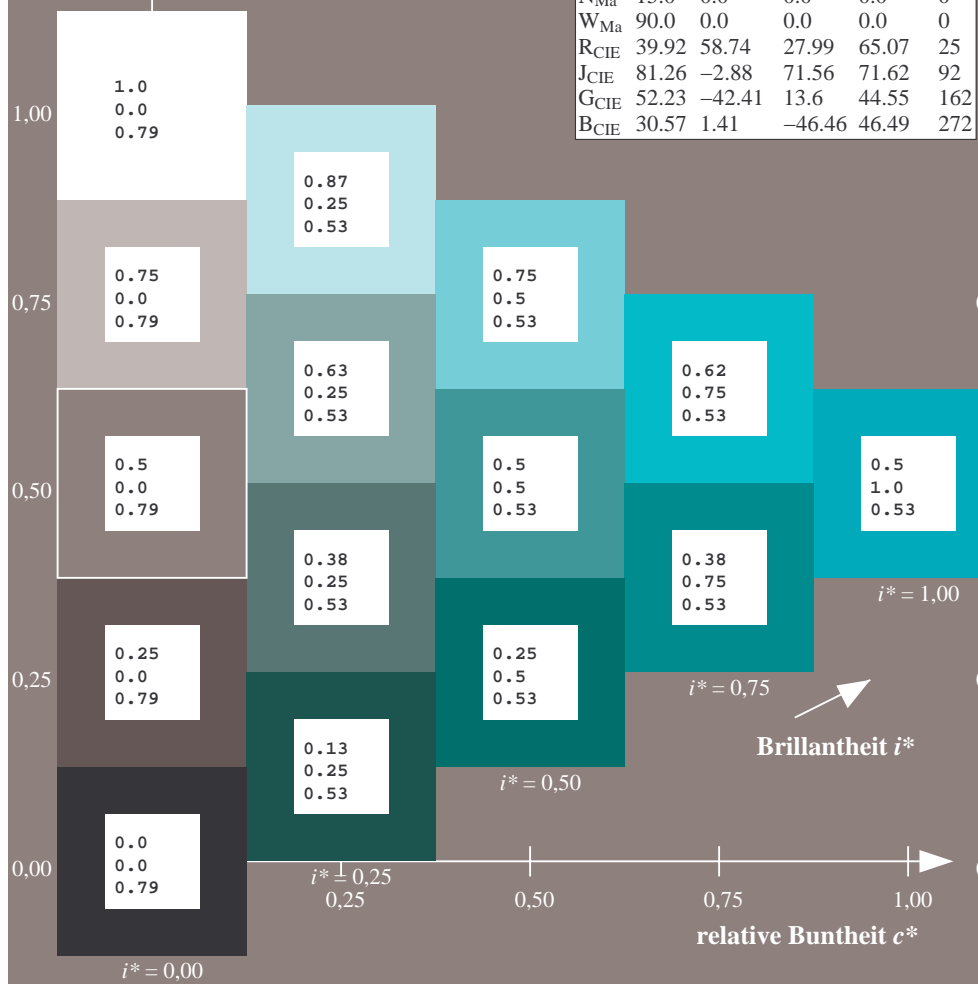
$u^*_{rel} = 88$

%Regularität

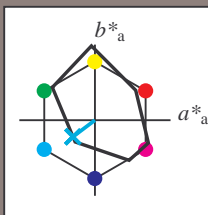
$g^*_{H,rel} = 31$

$g^*_{C,rel} = 40$

FRS15_90aM; adaptierte CIELAB-Daten					
	$L^*=L_a^*$	a_a^*	b_a^*	$C^*_{ab,a}$	$h^*_{ab,a}$
r00j	35.47	56.92	27.12	63.05	25
r25j	39.12	49.04	44.45	66.19	42
r50j	50.64	35.19	58.33	68.13	59
r75j	64.01	19.11	74.45	76.87	76
j00g	83.18	-3.93	97.56	97.64	92
j25g	66.73	-26.86	74.66	79.35	110
j50g	54.03	-43.42	57.07	71.71	127
j75g	44.73	-54.21	38.33	66.4	145
g00b	47.59	-44.11	14.14	46.33	162
g25b	49.97	-35.68	-6.03	36.19	190
g50b	51.85	-29.05	-21.88	36.38	217
g75b	46.92	-15.53	-32.37	35.92	244
b00r	37.91	1.15	-38.05	38.08	272
b25r	23.81	27.31	-46.96	54.33	300
b50r	29.52	62.07	-37.87	72.72	329
b75r	36.48	64.24	-3.31	64.33	357



Ein und Ausgabe: Farbmetrisches Drucker-Reflektiv-System FRS15_90aM für relativen CIELAB-Buntton $h^* = lab^*h^* = h_{ab}/360 = 217/360 = 0.603$ $u^* = g50b$
Daten für jede Farbe:
 lab^*ch^* und lab^*icu^*
Elementar-Bunttontext:
 $u^* = g50b$
Kontrastreduzierungsfaktor:
 $c_R = 0.9$
Dreiecks-Helligkeit t^*



FRS15_90aM; adaptierte CIELAB-Daten					
	$L^*=L_a^*$	a_a^*	b_a^*	$C^*_{ab,a}$	$h^*_{ab,a}$
O _{Ma}	35.06	53.93	39.55	66.88	36
Y _{Ma}	83.77	-4.63	98.26	98.37	93
L _{Ma}	44.13	-56.32	43.36	71.09	142
C _{Ma}	52.66	-26.18	-28.74	38.89	228
V _{Ma}	14.15	45.22	-53.06	69.72	310
M _{Ma}	37.37	70.69	-30.1	76.83	337
N _{Ma}	15.0	0.0	0.0	0.0	0
W _{Ma}	90.0	0.0	0.0	0.0	0
R _{CIE}	39.92	58.74	27.99	65.07	25
J _{CIE}	81.26	-2.88	71.56	71.62	92
G _{CIE}	52.23	-42.41	13.6	44.55	162
B _{CIE}	30.57	1.41	-46.46	46.49	272

Daten für Maximalfarbe (Ma):

$LAB^*LAB^*_{Ma}$: 52 -28 -21

$LAB^*LCH^*_{Ma}$: 52 36 217

$lab^*rgb^*_{Ma}$: 0.0 1.0 1.0

$lab^*olv^*_{Ma}$: 0.0 1.0 0.9

Dreiecks-Helligkeit t^*

%Umfang

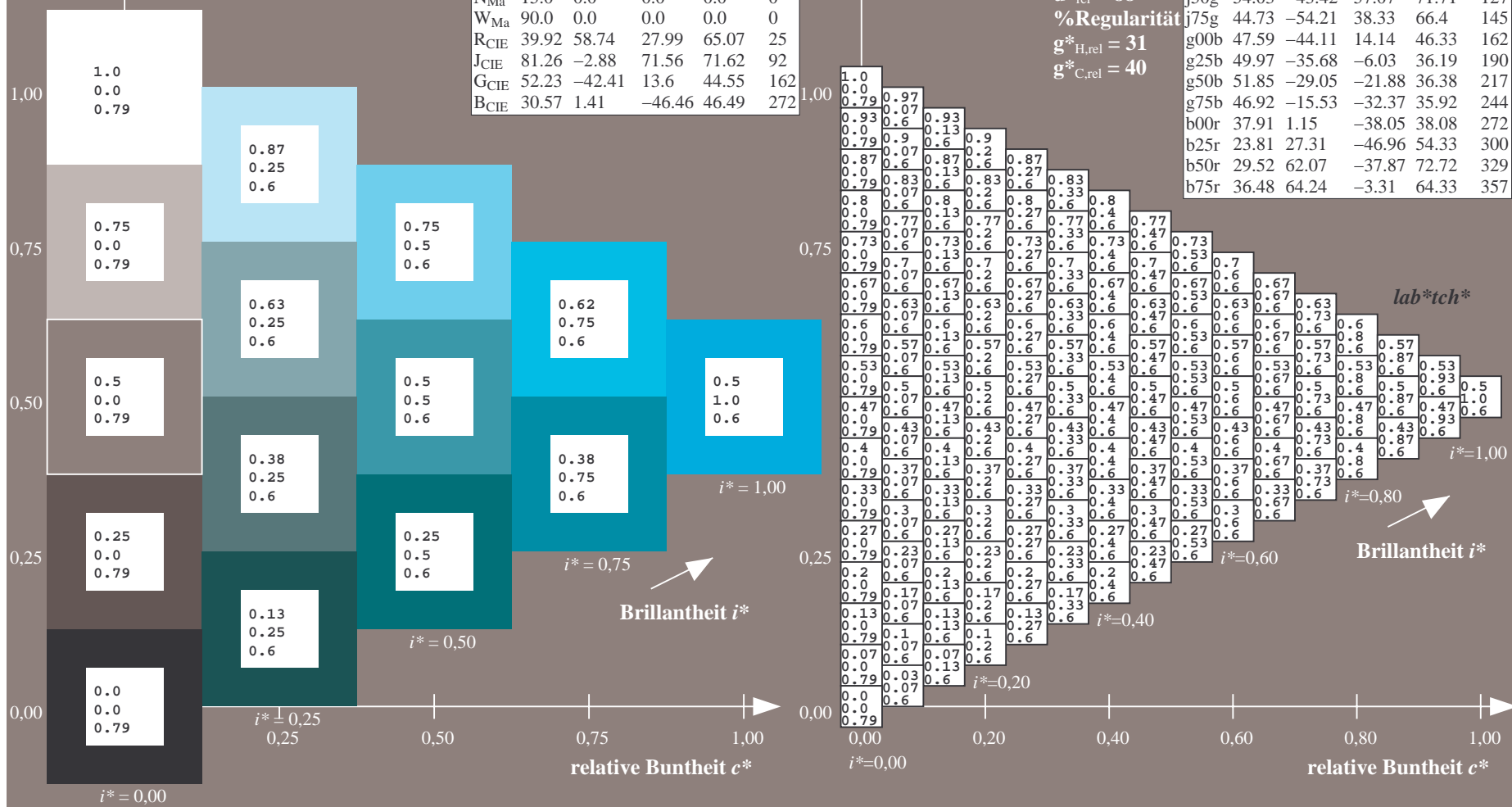
$u^*_{rel} = 88$

%Regularität

$g^*_{H,rel} = 31$

$g^*_{C,rel} = 40$

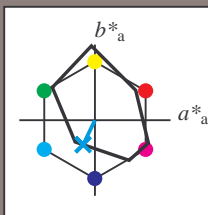
FRS15_90aM; adaptierte CIELAB-Daten					
	$L^*=L_a^*$	a_a^*	b_a^*	$C^*_{ab,a}$	$h^*_{ab,a}$
r00j	35.47	56.92	27.12	63.05	25
r25j	39.12	49.04	44.45	66.19	42
r50j	50.64	35.19	58.33	68.13	59
r75j	64.01	19.11	74.45	76.87	76
j00g	83.18	-3.93	97.56	97.64	92
j25g	66.73	-26.86	74.66	79.35	110
j50g	54.03	-43.42	57.07	71.71	127
j75g	44.73	-54.21	38.33	66.4	145
g00b	47.59	-44.11	14.14	46.33	162
g25b	49.97	-35.68	-6.03	36.19	190
g50b	51.85	-29.05	-21.88	36.38	217
g75b	46.92	-15.53	-32.37	35.92	244
b00r	37.91	1.15	-38.05	38.08	272
b25r	23.81	27.31	-46.96	54.33	300
b50r	29.52	62.07	-37.87	72.72	329
b75r	36.48	64.24	-3.31	64.33	357



Siehe ähnliche Dateien: <http://www.ps.bam.de/Dg93>; www.ps.bam.de/Dg.HTM
Technische Information: <http://www.ps.bam.de> Version 2.1, io=1, ColSp=0

BAM-Registrierung: 20080701-Dg93/10L/L93G00NA.PS/ .TXTBAM-Material: Code=rha4ta
- Anwendung für Beurteilung und Messung von Drucker- oder Monitorsystemen

Ein und Ausgabe: Farbmetri
Daten für jede Farbe:
*lab*_{tch}** und *lab*_{icu}**
Elementar-Bunttontext:
*u** = *g75b*
Kontrastreduzierungsfaktor:
c_R = 0.9
Dreiecks-Helligkeit *l**



FRS15_90aM; adaptierte CIELAB-Daten					
	L^*_a	a^*_a	b^*_a	$C^*_{ab,a}$	$h^*_{ab,a}$
O _{Ma}	35.06	53.93	39.55	66.88	36
Y _{Ma}	83.77	-4.63	98.26	98.37	93
L _{Ma}	44.13	-56.32	43.36	71.09	142
C _{Ma}	52.66	-26.18	-28.74	38.89	228
V _{Ma}	14.15	45.22	-53.06	69.72	310
M _{Ma}	37.37	70.69	-30.1	76.83	337
N _{Ma}	15.0	0.0	0.0	0.0	0
W _{Ma}	90.0	0.0	0.0	0.0	0
R _{CIE}	39.92	58.74	27.99	65.07	25
J _{CIE}	81.26	-2.88	71.56	71.62	92
G _{CIE}	52.23	-42.41	13.6	44.55	162
B _{CIE}	30.57	1.41	-46.46	46.49	272

Daten für Maximalfarbe (Ma):

LAB*LAB*Ma: 47 -15 -31

LAB*LCH*Ma: 47 36 244

*lab*rgb**Ma: 0.0 0.5 1.0

*lab*olv**Ma: 0.0 0.85 1.0

Dreiecks-Helligkeit t^*

▲

%Umfang

$$\mathbf{u}_{\text{rel}}^* = 88$$

%Regular:
* 31

$$\begin{aligned} g^*_{H,rel} &= 51 \\ g^*_{H,rel} &= 40 \end{aligned}$$

FRS15_90aM; adaptierte CIELAB-Daten					
	L^*_a	a^*_a	b^*_a	$C^*_{ab,a}$	$h^*_{ab,a}$
r00j	35.47	56.92	27.12	63.05	25
r25j	39.12	49.04	44.45	66.19	42
r50j	50.64	35.19	58.33	68.13	59
r75j	64.01	19.11	74.45	76.87	76
j00g	83.18	-3.93	97.56	97.64	92
j25g	66.73	-26.86	74.66	79.35	110
j50g	54.03	-43.42	57.07	71.71	127
j75g	44.73	-54.21	38.33	66.4	145
g00b	47.59	-44.11	14.14	46.33	162
g25b	49.97	-35.68	-6.03	36.19	190
g50b	51.85	-29.05	-21.88	36.38	217
g75b	46.92	-15.53	-32.37	35.92	244
b00r	37.91	1.15	-38.05	38.08	272
b25r	23.81	27.31	-46.96	54.33	300
b50r	29.52	62.07	-37.87	72.72	329
b75r	36.48	64.24	-3.31	64.33	357

*lab*tch**

$$i^*=1,00$$

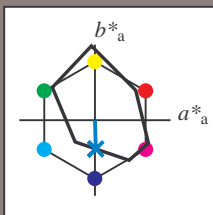
Brillantheit i*

relative Buntheit c^*

BAM-Prüfvorlage Dg93; Farbmatrik-Systeme, Seite 103/180
Farbreihen, 8 Datentabellen für 16 Bunttöne *r00j* bis *b75r*

Eingabe: 000n / w / nnn0 / www set...
Ausgabe: ->cmyn5* setcmykcolor

Ein und Ausgabe: Farbmetrisches Drucker-Reflektiv-System FRS15_90aM für relativen CIELAB-Buntton $h^* = lab^*h^* = h_{ab}/360 = 272/360 = 0.755$ $u^* = b00r$
Daten für jede Farbe:
 lab^*tch^* und lab^*icu^*
Elementar-Bunttontext:
 $u^* = b00r$
Kontrastreduzierungsfaktor:
 $c_R = 0.9$
Dreiecks-Helligkeit t^*



FRS15_90aM; adaptierte CIELAB-Daten					
	$L^*=L^*_a$	a^*_a	b^*_a	$C^*_{ab,a}$	$h^*_{ab,a}$
O _{Ma}	35.06	53.93	39.55	66.88	36
Y _{Ma}	83.77	-4.63	98.26	98.37	93
L _{Ma}	44.13	-56.32	43.36	71.09	142
C _{Ma}	52.66	-26.18	-28.74	38.89	228
V _{Ma}	14.15	45.22	-53.06	69.72	310
M _{Ma}	37.37	70.69	-30.1	76.83	337
N _{Ma}	15.0	0.0	0.0	0.0	0
W _{Ma}	90.0	0.0	0.0	0.0	0
R _{CIE}	39.92	58.74	27.99	65.07	25
J _{CIE}	81.26	-2.88	71.56	71.62	92
G _{CIE}	52.23	-42.41	13.6	44.55	162
B _{CIE}	30.57	1.41	-46.46	46.49	272

Daten für Maximalfarbe (Ma):

$LAB^*LAB^*_{Ma}$: 38 1 -37

$LAB^*LCH^*_{Ma}$: 38 38 272

$lab^*rgb^*_{Ma}$: 0.0 0.0 1.0

$lab^*olv^*_{Ma}$: 0.0 0.62 1.0

Dreiecks-Helligkeit t^*

%Umfang

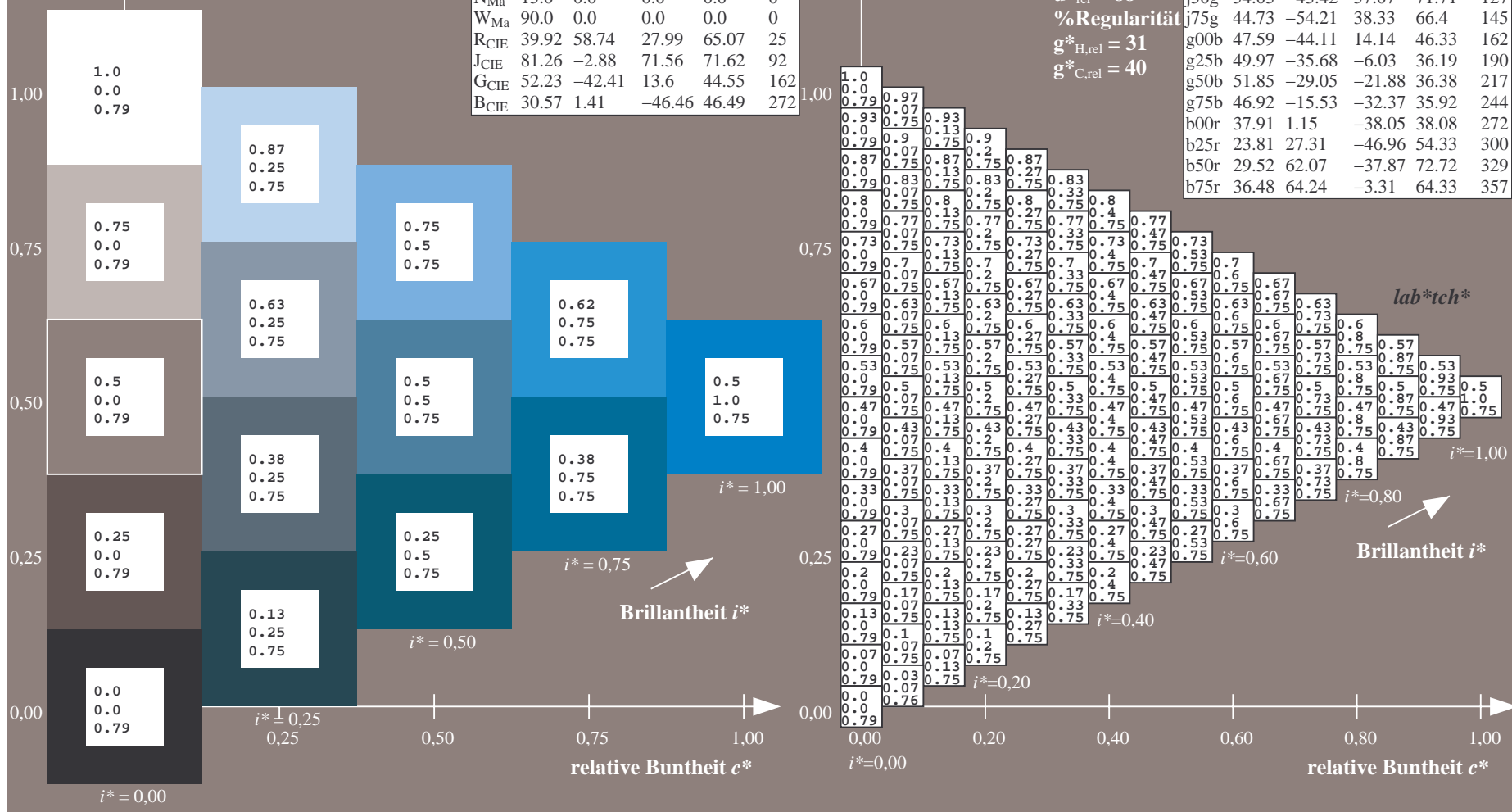
$u^*_{rel} = 88$

%Regularität

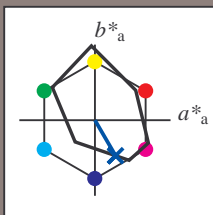
$g^*_{H,rel} = 31$

$g^*_{C,rel} = 40$

FRS15_90aM; adaptierte CIELAB-Daten					
	$L^*=L^*_a$	a^*_a	b^*_a	$C^*_{ab,a}$	$h^*_{ab,a}$
r00j	35.47	56.92	27.12	63.05	25
r25j	39.12	49.04	44.45	66.19	42
r50j	50.64	35.19	58.33	68.13	59
r75j	64.01	19.11	74.45	76.87	76
j00g	83.18	-3.93	97.56	97.64	92
j25g	66.73	-26.86	74.66	79.35	110
j50g	54.03	-43.42	57.07	71.71	127
j75g	44.73	-54.21	38.33	66.4	145
g00b	47.59	-44.11	14.14	46.33	162
g25b	49.97	-35.68	-6.03	36.19	190
g50b	51.85	-29.05	-21.88	36.38	217
g75b	46.92	-15.53	-32.37	35.92	244
b00r	37.91	1.15	-38.05	38.08	272
b25r	23.81	27.31	-46.96	54.33	300
b50r	29.52	62.07	-37.87	72.72	329
b75r	36.48	64.24	-3.31	64.33	357



Ein und Ausgabe: Farbmetrisches Drucker-Reflektiv-System FRS15_90aM für relativen CIELAB-Buntton $h^* = lab^*h^* = h_{ab}/360 = 300/360 = 0.834$ $u^* = b25r$
Daten für jede Farbe:
 lab^*tch^* und lab^*icu^*
Elementar-Bunttontext:
 $u^* = b25r$
Kontrastreduzierungsfaktor:
 $c_R = 0.9$
Dreiecks-Helligkeit t^*



FRS15_90aM; adaptierte CIELAB-Daten					
	$L^*=L_a^*$	a_a^*	b_a^*	$C_{ab,a}^*$	$h_{ab,a}^*$
O _{Ma}	35.06	53.93	39.55	66.88	36
Y _{Ma}	83.77	-4.63	98.26	98.37	93
L _{Ma}	44.13	-56.32	43.36	71.09	142
C _{Ma}	52.66	-26.18	-28.74	38.89	228
V _{Ma}	14.15	45.22	-53.06	69.72	310
M _{Ma}	37.37	70.69	-30.1	76.83	337
N _{Ma}	15.0	0.0	0.0	0.0	0
W _{Ma}	90.0	0.0	0.0	0.0	0
R _{CIE}	39.92	58.74	27.99	65.07	25
J _{CIE}	81.26	-2.88	71.56	71.62	92
G _{CIE}	52.23	-42.41	13.6	44.55	162
B _{CIE}	30.57	1.41	-46.46	46.49	272

Daten für Maximalfarbe (Ma):

$LAB^*LAB^*_{Ma}$: 24 27 -46

$LAB^*LCH^*_{Ma}$: 24 54 300

$lab^*rgb^*_{Ma}$: 0.5 0.0 1.0

$lab^*olv^*_{Ma}$: 0.0 0.25 1.0

Dreiecks-Helligkeit t^*

%Umfang

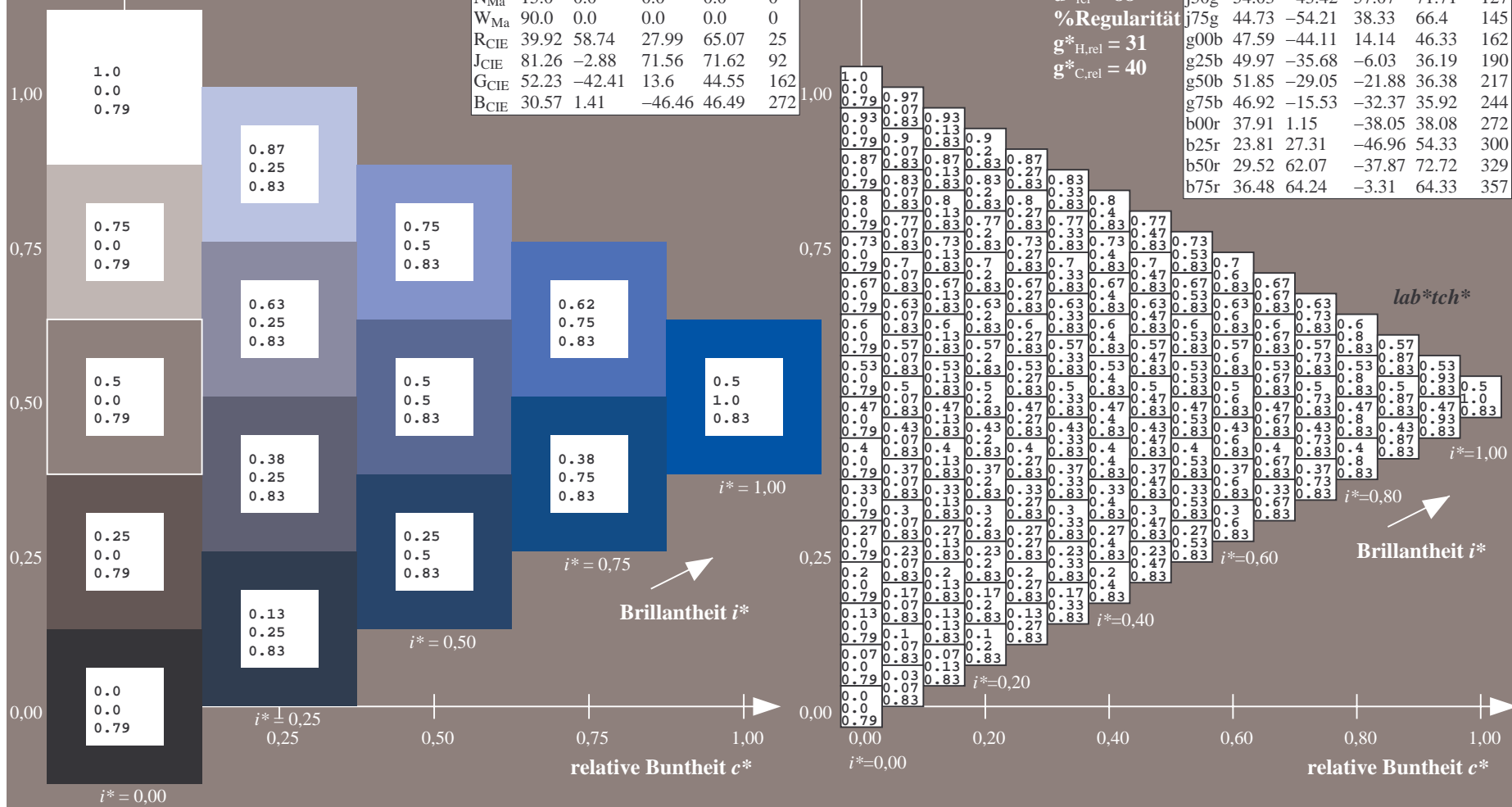
$u^*_{rel} = 88$

%Regularität

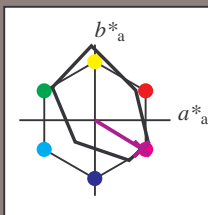
$g^*_{H,rel} = 31$

$g^*_{C,rel} = 40$

FRS15_90aM; adaptierte CIELAB-Daten					
	$L^*=L_a^*$	a_a^*	b_a^*	$C_{ab,a}^*$	$h_{ab,a}^*$
r00j	35.47	56.92	27.12	63.05	25
r25j	39.12	49.04	44.45	66.19	42
r50j	50.64	35.19	58.33	68.13	59
r75j	64.01	19.11	74.45	76.87	76
j00g	83.18	-3.93	97.56	97.64	92
j25g	66.73	-26.86	74.66	79.35	110
j50g	54.03	-43.42	57.07	71.71	127
j75g	44.73	-54.21	38.33	66.4	145
g00b	47.59	-44.11	14.14	46.33	162
g25b	49.97	-35.68	-6.03	36.19	190
g50b	51.85	-29.05	-21.88	36.38	217
g75b	46.92	-15.53	-32.37	35.92	244
b00r	37.91	1.15	-38.05	38.08	272
b25r	23.81	27.31	-46.96	54.33	300
b50r	29.52	62.07	-37.87	72.72	329
b75r	36.48	64.24	-3.31	64.33	357



Ein und Ausgabe: Farbmetrisches Drucker-Reflektiv-System FRS15_90aM für relativen CIELAB-Buntton $h^* = lab^*h^* = h_{ab}/360 = 329/360 = 0.913$ $u^* = b50r$
Daten für jede Farbe:
 lab^*tch^* und lab^*icu^*
Elementar-Bunttontext:
 $u^* = b50r$
Kontrastreduzierungsfaktor:
 $c_R = 0.9$
Dreiecks-Helligkeit t^*



FRS15_90aM; adaptierte CIELAB-Daten					
	$L^*=L_a^*$	a_a^*	b_a^*	$C^*_{ab,a}$	$h^*_{ab,a}$
O _{Ma}	35.06	53.93	39.55	66.88	36
Y _{Ma}	83.77	-4.63	98.26	98.37	93
L _{Ma}	44.13	-56.32	43.36	71.09	142
C _{Ma}	52.66	-26.18	-28.74	38.89	228
V _{Ma}	14.15	45.22	-53.06	69.72	310
M _{Ma}	37.37	70.69	-30.1	76.83	337
N _{Ma}	15.0	0.0	0.0	0.0	0
W _{Ma}	90.0	0.0	0.0	0.0	0
R _{CIE}	39.92	58.74	27.99	65.07	25
J _{CIE}	81.26	-2.88	71.56	71.62	92
G _{CIE}	52.23	-42.41	13.6	44.55	162
B _{CIE}	30.57	1.41	-46.46	46.49	272

Daten für Maximalfarbe (Ma):

$LAB^*LAB^*_{Ma}$: 30 62 -37

$LAB^*LCH^*_{Ma}$: 30 73 329

$lab^*rgb^*_{Ma}$: 1.0 0.0 1.0

$lab^*olv^*_{Ma}$: 0.66 0.0 1.0

Dreiecks-Helligkeit t^*

%Umfang

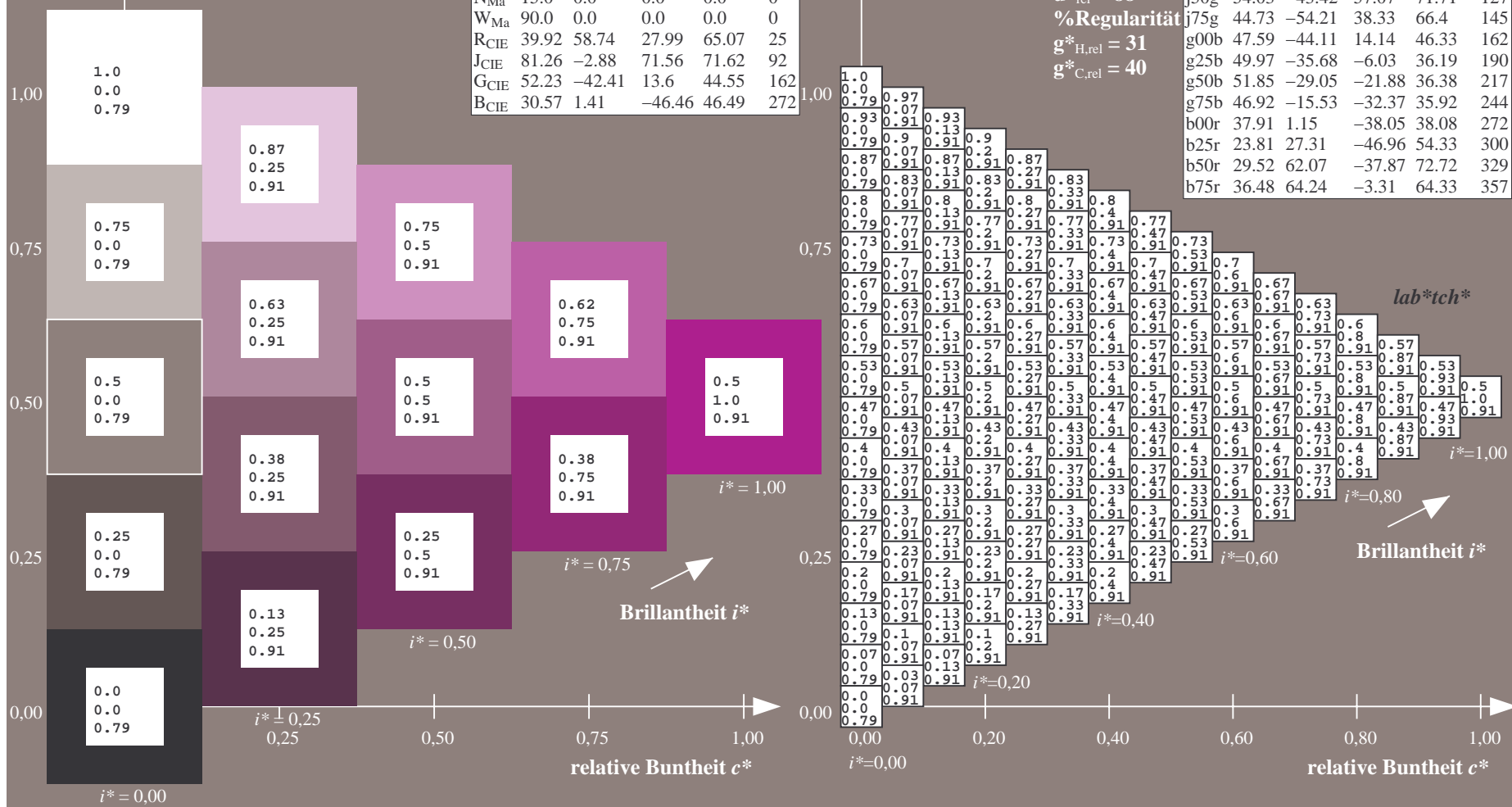
$u^*_{rel} = 88$

%Regularität

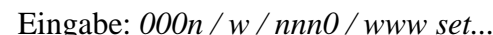
$g^*_{H,rel} = 31$

$g^*_{C,rel} = 40$

FRS15_90aM; adaptierte CIELAB-Daten					
	$L^*=L_a^*$	a_a^*	b_a^*	$C^*_{ab,a}$	$h^*_{ab,a}$
r00j	35.47	56.92	27.12	63.05	25
r25j	39.12	49.04	44.45	66.19	42
r50j	50.64	35.19	58.33	68.13	59
r75j	64.01	19.11	74.45	76.87	76
j00g	83.18	-3.93	97.56	97.64	92
j25g	66.73	-26.86	74.66	79.35	110
j50g	54.03	-43.42	57.07	71.71	127
j75g	44.73	-54.21	38.33	66.4	145
g00b	47.59	-44.11	14.14	46.33	162
g25b	49.97	-35.68	-6.03	36.19	190
g50b	51.85	-29.05	-21.88	36.38	217
g75b	46.92	-15.53	-32.37	35.92	244
b00r	37.91	1.15	-38.05	38.08	272
b25r	23.81	27.31	-46.96	54.33	300
b50r	29.52	62.07	-37.87	72.72	329
b75r	36.48	64.24	-3.31	64.33	357



Dreiecks-Helligkeit t^*



Stiehe ähnliche Dateien: <http://www.ps.bam.de/Dg93/>; www.ps.bam.de/Dg.HTM
Technische Information: <http://www.ps.bam.de> Version 2.1, io=1,1, ColSpx=0

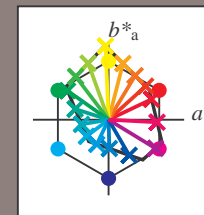
BAM-Registrierung: 20080701-Dg93/10L/L93G00NA.PS/ .TXTBAM-Material: Code=rha4ta
+ Anwendung für Beurteilung und Messung von Drucker- oder Monitorsystemen

Siehe ähnliche Dateien: <http://www.ps.bam.de/Dg93/>; www.ps.bam.de/Dg93/10L/L93G00NA.PS/.TXT
Technische Information: <http://www.ps.bam.de/Version2.1,io=1.1,ColSpX=0>

	A	B	C	D	E	F	G	H	I	J	K	L	M	N	O	P	Q	R	S	T	U	V	W	X	Y	Z	a	b	c	d	e	f	g	h	i	j	k	lab* <i>lch*</i>			
0.0	0.06	0.13	0.19	0.25	0.31	0.38	0.44	0.5	0.06	0.06	0.13	0.19	0.25	0.31	0.38	0.44	0.5	0.13	0.13	0.13	0.19	0.25	0.31	0.38	0.44	0.5	1.0	0.94	0.87	0.81	0.75	0.69	0.62	0.56	0.5	0.0	0.0	0.0	0.0		
0.079	0.0	0.12	0.25	0.37	0.5	0.62	0.75	0.87	1.0	0.12	0.12	0.25	0.37	0.5	0.62	0.75	0.87	1.0	0.25	0.25	0.25	0.37	0.5	0.62	0.75	0.87	1.0	0.12	0.25	0.37	0.5	0.62	0.75	0.87	1.0	0.0	0.0	0.0	0.0		
0.096	0.06	0.06	0.13	0.19	0.25	0.31	0.38	0.44	0.5	0.06	0.13	0.19	0.25	0.31	0.38	0.44	0.5	0.13	0.13	0.13	0.19	0.25	0.31	0.38	0.44	0.5	0.56	0.62	0.87	0.81	0.75	0.69	0.63	0.56	0.5	0.44	0.38	0.31	0.25		
0.12	0.12	0.25	0.37	0.5	0.62	0.75	0.87	1.0	0.12	0.12	0.25	0.37	0.5	0.62	0.75	0.87	1.0	0.25	0.13	0.13	0.25	0.38	0.5	0.63	0.75	0.87	1.0	0.12	0.25	0.37	0.5	0.63	0.75	0.87	1.0	0.0	0.0	0.0	0.0		
0.86	0.63	0.47	0.44	0.42	0.42	0.42	0.41	0.41	0.41	0.94	0.79	0.4	0.4	0.4	0.4	0.4	0.4	0.01	0.1	0.26	0.31	0.34	0.35	0.36	0.37	0.37	0.63	0.79	0.1	0.1	0.1	0.1	0.1	0.1	0.1	0.1	0.79	0.79	0.79	0.79	
0.13	0.13	0.13	0.19	0.25	0.31	0.38	0.44	0.5	0.13	0.19	0.19	0.25	0.31	0.38	0.44	0.5	0.56	0.13	0.19	0.25	0.31	0.38	0.44	0.5	0.56	0.62	0.87	0.81	0.75	0.69	0.63	0.56	0.5	0.44	0.38	0.31	0.25	0.25	0.25		
0.25	0.25	0.25	0.37	0.5	0.62	0.75	0.87	1.0	0.25	0.25	0.25	0.37	0.5	0.62	0.75	0.87	1.0	0.25	0.13	0.13	0.25	0.38	0.5	0.63	0.75	0.87	1.0	0.13	0.25	0.37	0.5	0.63	0.75	0.87	1.0	0.0	0.0	0.0	0.0		
0.86	0.79	0.63	0.52	0.47	0.45	0.44	0.43	0.42	0.9	0.86	0.63	0.47	0.44	0.42	0.42	0.41	0.41	0.94	0.94	0.79	0.4	0.4	0.4	0.4	0.4	0.4	0.63	0.63	0.79	0.1	0.1	0.1	0.1	0.1	0.1	0.1	0.79	0.79	0.79	0.79	
0.19	0.19	0.19	0.19	0.25	0.31	0.38	0.44	0.5	0.19	0.25	0.25	0.25	0.25	0.31	0.38	0.44	0.5	0.56	0.19	0.25	0.31	0.38	0.44	0.5	0.56	0.62	0.81	0.75	0.69	0.63	0.56	0.5	0.44	0.38	0.31	0.25	0.25	0.25			
0.37	0.37	0.37	0.37	0.5	0.62	0.75	0.87	1.0	0.37	0.25	0.25	0.25	0.25	0.38	0.5	0.63	0.75	0.87	0.37	0.25	0.13	0.25	0.38	0.5	0.63	0.75	0.37	0.25	0.13	0.25	0.38	0.5	0.62	0.75	0.87	1.0	0.0	0.0	0.0	0.0	
0.86	0.82	0.74	0.63	0.55	0.5	0.47	0.46	0.44	0.89	0.86	0.79	0.63	0.52	0.47	0.45	0.44	0.43	0.91	0.9	0.86	0.63	0.47	0.44	0.42	0.44	0.42	0.41	0.63	0.63	0.63	0.63	0.79	0.1	0.1	0.1	0.1	0.1	0.79	0.79	0.79	0.79
0.25	0.25	0.25	0.25	0.25	0.31	0.38	0.44	0.5	0.25	0.31	0.31	0.31	0.31	0.31	0.38	0.44	0.5	0.56	0.25	0.31	0.38	0.44	0.5	0.56	0.62	0.75	0.69	0.63	0.56	0.5	0.44	0.38	0.31	0.25	0.25	0.25	0.25	0.25			
0.5	0.5	0.5	0.5	0.5	0.62	0.75	0.87	1.0	0.5	0.5	0.5	0.5	0.5	0.5	0.5	0.5	0.5	0.87	0.5	0.38	0.25	0.25	0.25	0.38	0.5	0.63	0.75	0.5	0.38	0.25	0.38	0.5	0.63	0.75	0.87	1.0	0.0	0.0	0.0	0.0	
0.86	0.83	0.79	0.71	0.63	0.57	0.52	0.49	0.47	0.88	0.86	0.82	0.74	0.63	0.55	0.5	0.47	0.46	0.9	0.89	0.86	0.79	0.63	0.52	0.47	0.45	0.44	0.63	0.63	0.63	0.63	0.79	0.1	0.1	0.1	0.1	0.1	0.79	0.79	0.79	0.79	
0.31	0.31	0.31	0.31	0.31	0.31	0.31	0.31	0.31	0.31	0.31	0.31	0.31	0.31	0.31	0.31	0.31	0.31	0.31	0.31	0.31	0.31	0.31	0.31	0.31	0.31	0.31	0.31	0.31	0.31	0.31	0.31	0.31	0.31	0.31	0.31	0.31	0.31	0.31	0.31		
0.62	0.62	0.62	0.62	0.62	0.62	0.62	0.62	0.62	0.62	0.62	0.62	0.62	0.62	0.62	0.62	0.62	0.62	0.62	0.62	0.62	0.62	0.62	0.62	0.62	0.62	0.62	0.62	0.62	0.62	0.62	0.62	0.62	0.62	0.62	0.62	0.62	0.62	0.62	0.62		
0.86	0.84	0.81	0.76	0.7	0.63	0.58	0.54	0.51	0.88	0.86	0.83	0.79	0.71	0.63	0.57	0.52	0.49	0.89	0.88	0.86	0.82	0.74	0.63	0.55	0.5	0.47	0.63	0.55	0.5	0.47	0.63	0.55	0.5	0.47	0.63	0.55	0.5	0.47	0.63	0.55	
0.38	0.38	0.38	0.38	0.38	0.38	0.38	0.38	0.38	0.38	0.38	0.38	0.38	0.38	0.38	0.38	0.38	0.38	0.38	0.38	0.38	0.38	0.38	0.38	0.38	0.38	0.38	0.38	0.38	0.38	0.38	0.38	0.38	0.38	0.38	0.38	0.38	0.38	0.38	0.38		
0.75	0.75	0.75	0.75	0.75	0.75	0.75	0.75	0.75	0.75	0.75	0.75	0.75	0.75	0.75	0.75	0.75	0.75	0.75	0.75	0.75	0.75	0.75	0.75	0.75	0.75	0.75	0.75	0.75	0.75	0.75	0.75	0.75	0.75	0.75	0.75	0.75	0.75	0.75	0.75		
0.86	0.85	0.82	0.79	0.74	0.68	0.63	0.59	0.55	0.88	0.86	0.84	0.81	0.76	0.7	0.63	0.58	0.54	0.89	0.88	0.86	0.83	0.79	0.71	0.63	0.55	0.5	0.56	0.62	0.87	0.81	0.75	0.69	0.63	0.56	0.5	0.44	0.38	0.31	0.25		
0.44	0.44	0.44	0.44	0.44	0.44	0.44	0.44	0.44	0.44	0.44	0.44	0.44	0.44	0.44	0.44	0.44	0.44	0.44	0.44	0.44	0.44	0.44	0.44	0.44	0.44	0.44	0.44	0.44	0.44	0.44	0.44	0.44	0.44	0.44	0.44	0.44	0.44	0.44	0.44		
0.87	0.87	0.87	0.87	0.87	0.87	0.87	0.87	0.87	0.87	0.87	0.87	0.87	0.87	0.87	0.87	0.87	0.87	0.87	0.87	0.87	0.87	0.87	0.87	0.87	0.87	0.87	0.87	0.87	0.87	0.87	0.87	0.87	0.87	0.87	0.87	0.87	0.87	0.87	0.87		
0.86	0.85	0.83	0.8	0.77	0.72	0.68	0.63	0.59	0.87	0.86	0.85	0.82	0.79	0.74	0.68	0.63	0.59	0.88	0.88	0.86	0.84	0.81	0.76	0.7	0.63	0.55	0.5	0.47	0.63	0.55	0.5	0.47	0.63	0.55	0.5	0.47	0.63	0.55	0.5	0.47	
0.5	0.5	0.5	0.5	0.5	0.5	0.5	0.5	0.5	0.5	0.5	0.5	0.5	0.5	0.5	0.5	0.5	0.5	0.56	0.56	0.56	0.56	0.56	0.56	0.56	0.56	0.56	0.56	0.56	0.56	0.56	0.56	0.56	0.56	0.56	0.56	0.56	0.56	0.56	0.56		
1.0	1.0	1.0	1.0	1.0	1.0	1.0	1.0	1.0	1.0	1.0	1.0	1.0	1.0	1.0	1.0	1.0	1.0	1.0	1.0	1.0	1.0	1.0	1.0	1.0	1.0	1.0	1.0	1.0	1.0	1.0	1.0	1.0	1.0	1.0	1.0	1.0	1.0	1.0			
0.86	0.85	0.83	0.81	0.79	0.75	0.71	0.67	0.63	0.87	0.86	0.85	0.83	0.8	0.77	0.72	0.68	0.63	0.88	0.87	0.86	0.85	0.82	0.79	0.74	0.68	0.63	0.59	0.56	0.62	0.87	0.81	0.75	0.69	0.63	0.56	0.5	0.44	0.38	0.31		
0.19	0.19	0.19	0.19	0.25	0.31	0.38	0.44	0.5	0.25	0.25	0.25	0.25	0.25	0.25	0.31	0.38	0.44	0.5	0.31	0.31	0.31	0.31	0.31	0.31	0.31	0.31	0.31	0.31	0.31	0.31	0.31	0.31	0.31	0.31	0.31	0.31	0.31	0.31			
0.37	0.37	0.37	0.37	0.5	0.62	0.75	0.87	1.0	0.5	0.5	0.5	0.5	0.5	0.5	0.5	0.5	0.5	0.62	0.62	0.62	0.62	0.62	0.62	0.62	0.62	0.62	0.62	0.62	0.62	0.62	0.62	0.62	0.62	0.62	0.6						

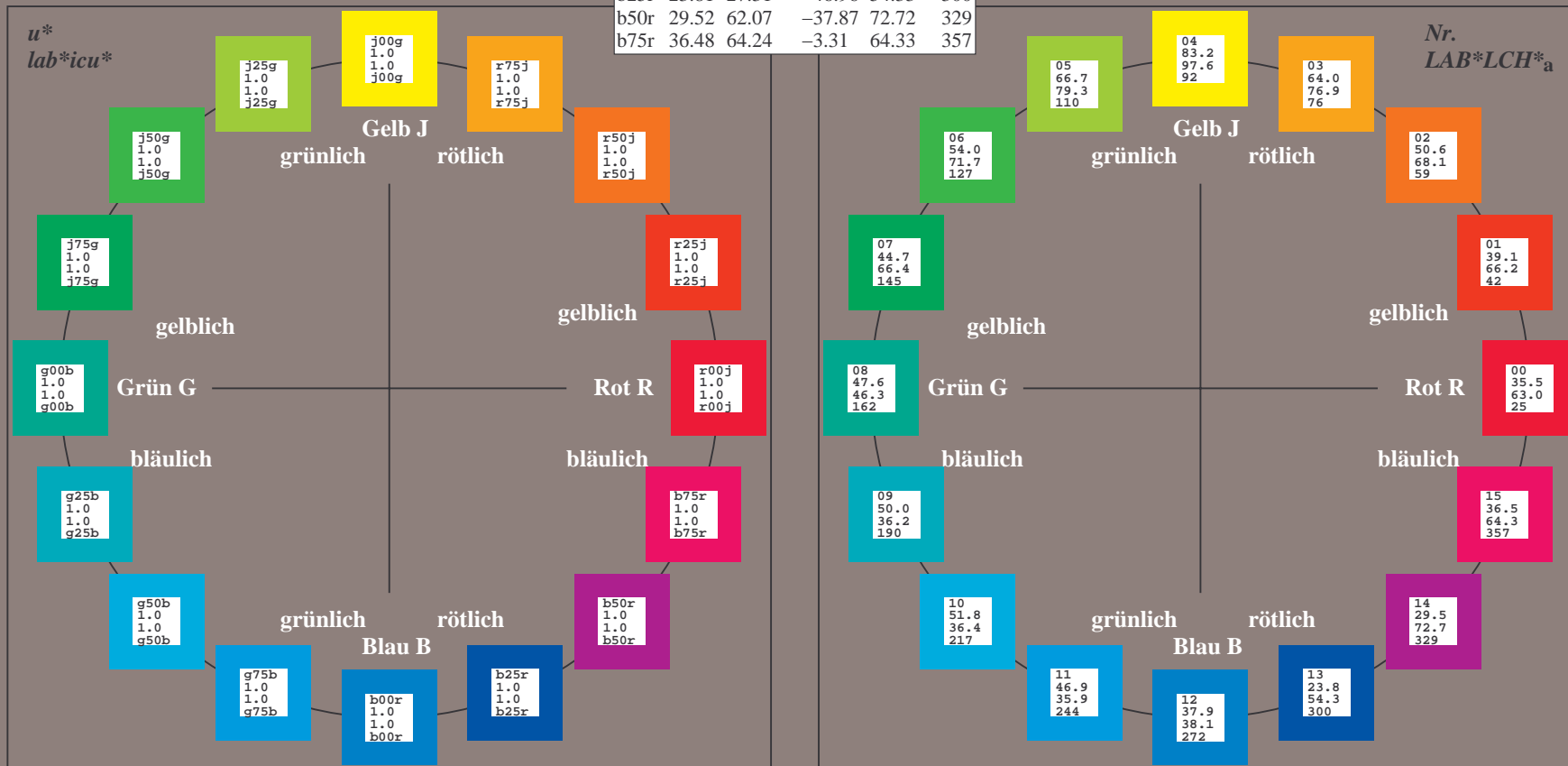
Ein und Ausgabe:
Farbmetrisches Drucker-Reflektiv-System FRS15_90aM
Daten für jede Farbe:
*lab*_{ich}** und *lab*_{icu}**
Elementar-Bunttontext:
*u** = 16 Buntttöne *r00j*, *r25j*, ..., *b75r*
Kontrastreduzierungsfaktor:
c_R = 0.9

FRS15_90aM; adaptierte CIELAB-Daten					
	<i>L*</i> = <i>L*</i> _a	<i>a*</i> _a	<i>b*</i> _a	<i>C*</i> _{ab,a}	<i>h*</i> _{ab,a}
r00j	35.47	56.92	27.12	63.05	25
r25j	39.12	49.04	44.45	66.19	42
r50j	50.64	35.19	58.33	68.13	59
r75j	64.01	19.11	74.45	76.87	76
j00g	83.18	-3.93	97.56	97.64	92
j25g	66.73	-26.86	74.66	79.35	110
j50g	54.03	-43.42	57.07	71.71	127
j75g	44.73	-54.21	38.33	66.4	145
g00b	47.59	-44.11	14.14	46.33	162
g25b	49.97	-35.68	-6.03	36.19	190
g50b	51.85	-29.05	-21.88	36.38	217
g75b	46.92	-15.53	-32.37	35.92	244
b00r	37.91	1.15	-38.05	38.08	272
b25r	23.81	27.31	-46.96	54.33	300
b50r	29.52	62.07	-37.87	72.72	329
b75r	36.48	64.24	-3.31	64.33	357

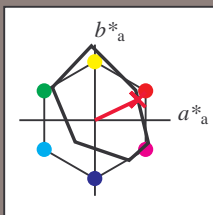


%Umfang
*u**_{rel} = 88
%Regularität
*g**_{H,rel} = 31
*g**_{C,rel} = 40

FRS15_90aM; adaptierte CIELAB-Daten					
	<i>L*</i> = <i>L*</i> _a	<i>a*</i> _a	<i>b*</i> _a	<i>C*</i> _{ab,a}	<i>h*</i> _{ab,a}
OMa	35.06	53.93	39.55	66.88	36
YMa	83.77	-4.63	98.26	98.37	93
LMa	44.13	-56.32	43.36	71.09	142
CMa	52.66	-26.18	-28.74	38.89	228
VMa	14.15	45.22	-53.06	69.72	310
MMa	37.37	70.69	-30.1	76.83	337
NMa	15.0	0.0	0.0	0.0	0
WMa	90.0	0.0	0.0	0.0	0
RCIE	39.92	58.74	27.99	65.07	25
JCIE	81.26	-2.88	71.56	71.62	92
GCIE	52.23	-42.41	13.6	44.55	162
BCIE	30.57	1.41	-46.46	46.49	272



Ein und Ausgabe: Farbmetrisches Drucker-Reflektiv-System FRS15_90aM für relativen CIELAB-Buntton $h^* = lab^*h^* = h_{ab}/360 = 25/360 = 0.071$ $u^* = r00j$
Daten für jede Farbe:
 lab^*ch^* und lab^*icu^*
Elementar-Bunttontext:
 $u^* = r00j$
Kontrastreduzierungsfaktor:
 $c_R = 0.9$
Dreiecks-Helligkeit t^*



FRS15_90aM; adaptierte CIELAB-Daten					
	$L^*=L_a^*$	a_a^*	b_a^*	$C^*_{ab,a}$	$h^*_{ab,a}$
O _{Ma}	35.06	53.93	39.55	66.88	36
Y _{Ma}	83.77	-4.63	98.26	98.37	93
L _{Ma}	44.13	-56.32	43.36	71.09	142
C _{Ma}	52.66	-26.18	-28.74	38.89	228
V _{Ma}	14.15	45.22	-53.06	69.72	310
M _{Ma}	37.37	70.69	-30.1	76.83	337
N _{Ma}	15.0	0.0	0.0	0.0	0
W _{Ma}	90.0	0.0	0.0	0.0	0
R _{CIE}	39.92	58.74	27.99	65.07	25
J _{CIE}	81.26	-2.88	71.56	71.62	92
G _{CIE}	52.23	-42.41	13.6	44.55	162
B _{CIE}	30.57	1.41	-46.46	46.49	272

Daten für Maximalfarbe (Ma):

$LAB^*LAB^*_{Ma}$: 35 57 27

$LAB^*LCH^*_{Ma}$: 35 63 25

$lab^*rgb^*_{Ma}$: 1.0 0.0 0.0

$lab^*olv^*_{Ma}$: 1.0 0.0 0.18

Dreiecks-Helligkeit t^*

%Umfang

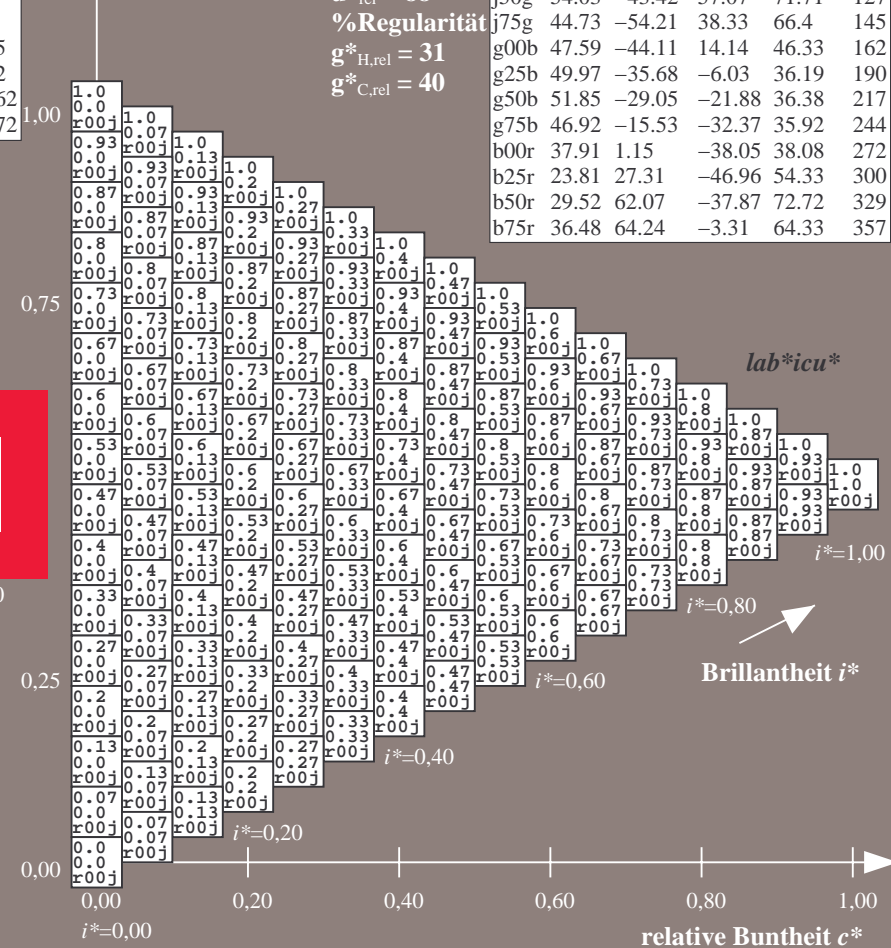
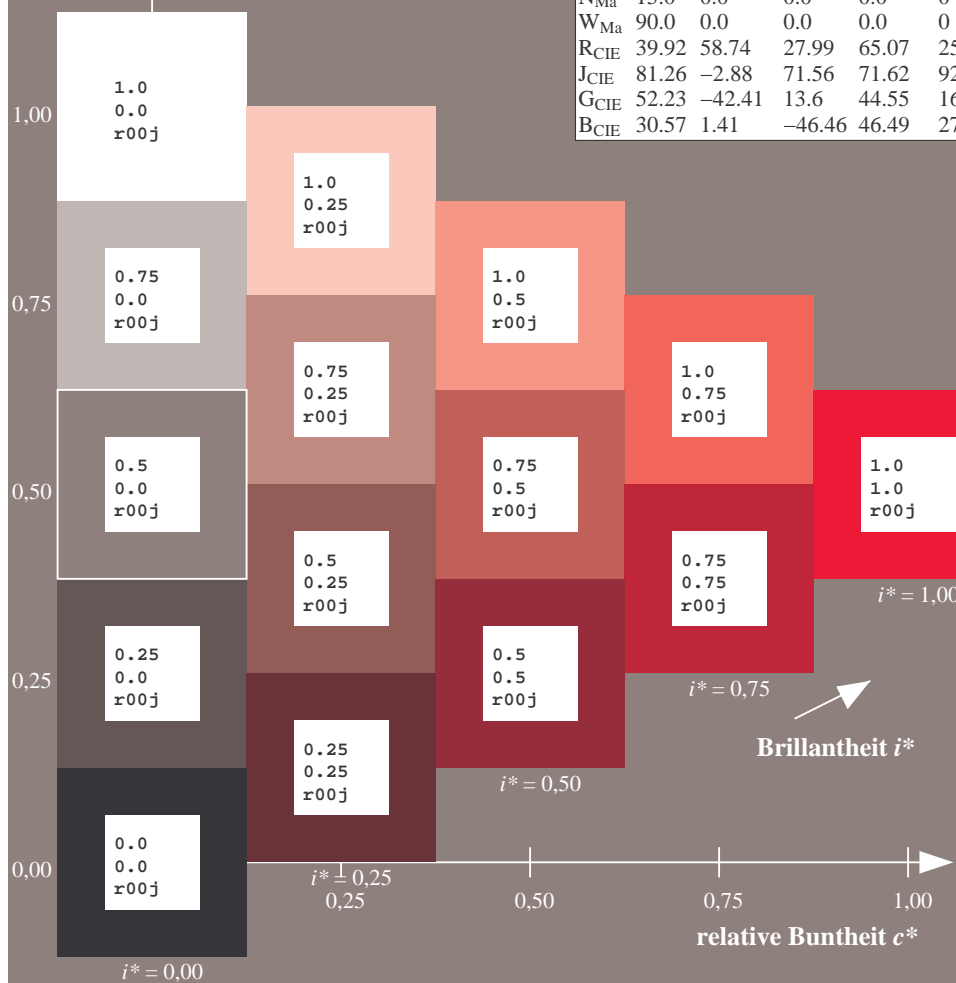
$u^*_{rel} = 88$

%Regularität

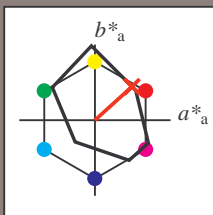
$g^*_{H,rel} = 31$

$g^*_{C,rel} = 40$

FRS15_90aM; adaptierte CIELAB-Daten					
	$L^*=L_a^*$	a_a^*	b_a^*	$C^*_{ab,a}$	$h^*_{ab,a}$
r00j	35.47	56.92	27.12	63.05	25
r25j	39.12	49.04	44.45	66.19	42
r50j	50.64	35.19	58.33	68.13	59
r75j	64.01	19.11	74.45	76.87	76
j00g	83.18	-3.93	97.56	97.64	92
j25g	66.73	-26.86	74.66	79.35	110
j50g	54.03	-43.42	57.07	71.71	127
j75g	44.73	-54.21	38.33	66.4	145
g00b	47.59	-44.11	14.14	46.33	162
g25b	49.97	-35.68	-6.03	36.19	190
g50b	51.85	-29.05	-21.88	36.38	217
g75b	46.92	-15.53	-32.37	35.92	244
b00r	37.91	1.15	-38.05	38.08	272
b25r	23.81	27.31	-46.96	54.33	300
b50r	29.52	62.07	-37.87	72.72	329
b75r	36.48	64.24	-3.31	64.33	357



Ein und Ausgabe: Farbmetrisches Drucker-Reflektiv-System FRS15_90aM für relativen CIELAB-Buntton $h^* = lab^*h^* = h_{ab}/360 = 42/360 = 0.117$ $u^* = r25j$
Daten für jede Farbe:
 lab^*ch^* und lab^*icu^*
Elementar-Bunttontext:
 $u^* = r25j$
Kontrastreduzierungsfaktor:
 $c_R = 0.9$
Dreiecks-Helligkeit t^*



FRS15_90aM; adaptierte CIELAB-Daten					
	$L^*=L^*_a$	a^*_a	b^*_a	$C^*_{ab,a}$	$h^*_{ab,a}$
O _{Ma}	35.06	53.93	39.55	66.88	36
Y _{Ma}	83.77	-4.63	98.26	98.37	93
L _{Ma}	44.13	-56.32	43.36	71.09	142
C _{Ma}	52.66	-26.18	-28.74	38.89	228
V _{Ma}	14.15	45.22	-53.06	69.72	310
M _{Ma}	37.37	70.69	-30.1	76.83	337
N _{Ma}	15.0	0.0	0.0	0.0	0
W _{Ma}	90.0	0.0	0.0	0.0	0
R _{CIE}	39.92	58.74	27.99	65.07	25
J _{CIE}	81.26	-2.88	71.56	71.62	92
G _{CIE}	52.23	-42.41	13.6	44.55	162
B _{CIE}	30.57	1.41	-46.46	46.49	272

Daten für Maximalfarbe (Ma):

$LAB^*LAB^*_{Ma}$: 39 49 44

$LAB^*LCH^*_{Ma}$: 39 66 42

$lab^*rgb^*_{Ma}$: 1.0 0.25 0.0

$lab^*olv^*_{Ma}$: 1.0 0.08 0.0

Dreiecks-Helligkeit t^*

%Umfang

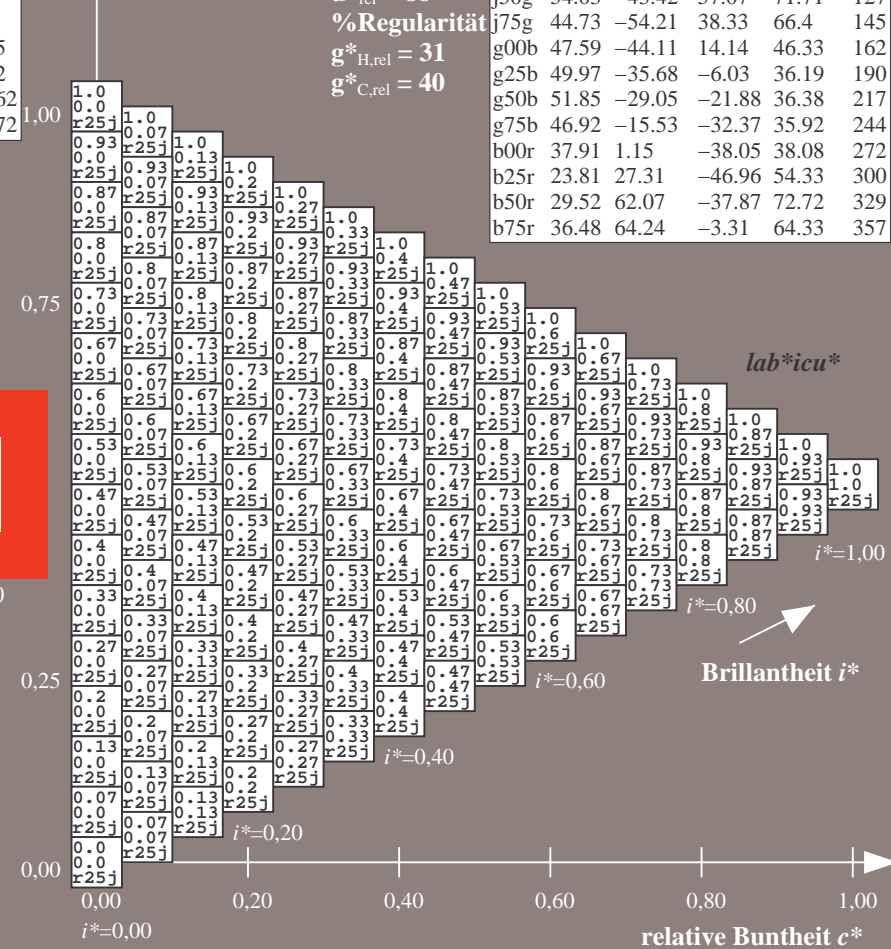
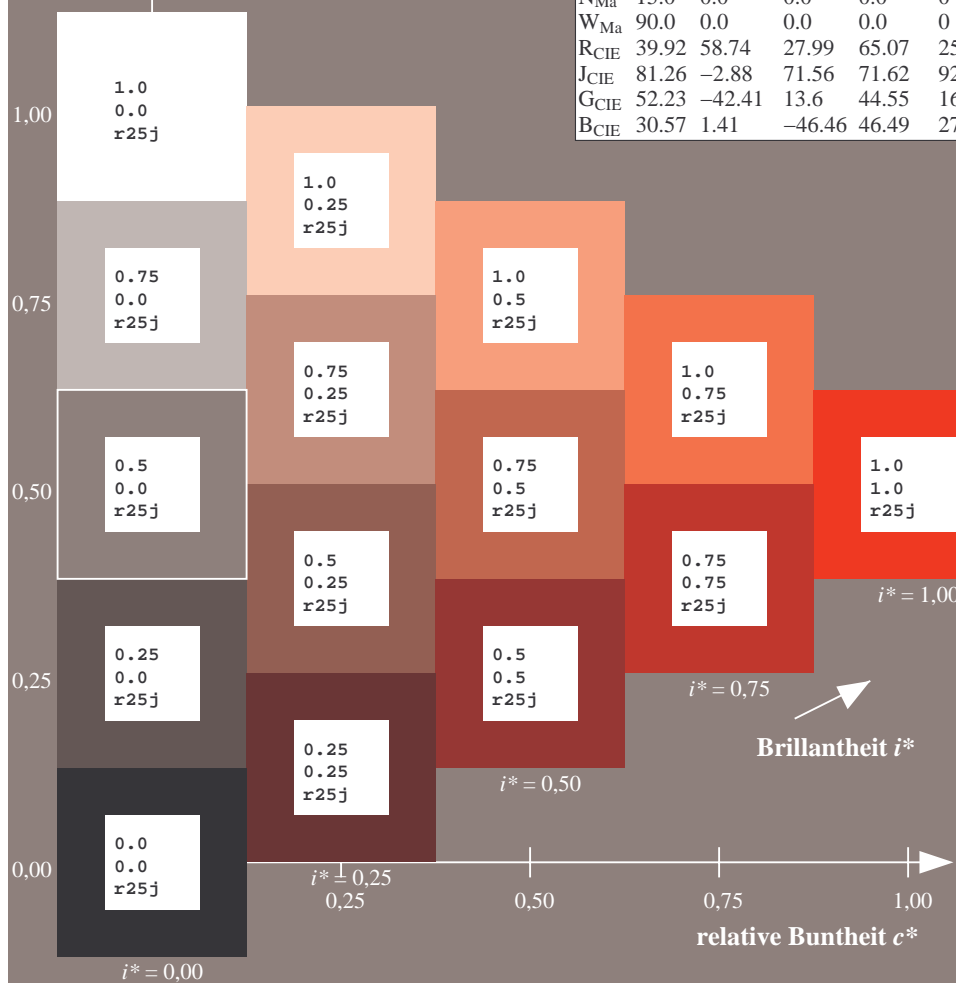
$u^*_{rel} = 88$

%Regularität

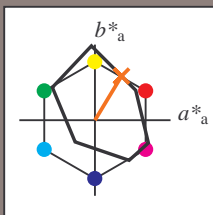
$g^*_{H,rel} = 31$

$g^*_{C,rel} = 40$

FRS15_90aM; adaptierte CIELAB-Daten					
	$L^*=L^*_a$	a^*_a	b^*_a	$C^*_{ab,a}$	$h^*_{ab,a}$
r00j	35.47	56.92	27.12	63.05	25
r25j	39.12	49.04	44.45	66.19	42
r50j	50.64	35.19	58.33	68.13	59
r75j	64.01	19.11	74.45	76.87	76
j00g	83.18	-3.93	97.56	97.64	92
j25g	66.73	-26.86	74.66	79.35	110
j50g	54.03	-43.42	57.07	71.71	127
j75g	44.73	-54.21	38.33	66.4	145
g00b	47.59	-44.11	14.14	46.33	162
g25b	49.97	-35.68	-6.03	36.19	190
g50b	51.85	-29.05	-21.88	36.38	217
g75b	46.92	-15.53	-32.37	35.92	244
b00r	37.91	1.15	-38.05	38.08	272
b25r	23.81	27.31	-46.96	54.33	300
b50r	29.52	62.07	-37.87	72.72	329
b75r	36.48	64.24	-3.31	64.33	357



Ein und Ausgabe: Farbmetrisches Drucker-Reflektiv-System FRS15_90aM für relativen CIELAB-Buntton $h^* = lab^*h^* = h_{ab}/360 = 59/360 = 0.164$ $u^* = r50j$
Daten für jede Farbe:
 lab^*tch^* und lab^*icu^*
Elementar-Bunttontext:
 $u^* = r50j$
Kontrastreduzierungsfaktor:
 $c_R = 0.9$
Dreiecks-Helligkeit t^*



FRS15_90aM; adaptierte CIELAB-Daten					
	$L^*=L_a^*$	a_a^*	b_a^*	$C^*_{ab,a}$	$h^*_{ab,a}$
O _{Ma}	35.06	53.93	39.55	66.88	36
Y _{Ma}	83.77	-4.63	98.26	98.37	93
L _{Ma}	44.13	-56.32	43.36	71.09	142
C _{Ma}	52.66	-26.18	-28.74	38.89	228
V _{Ma}	14.15	45.22	-53.06	69.72	310
M _{Ma}	37.37	70.69	-30.1	76.83	337
N _{Ma}	15.0	0.0	0.0	0.0	0
W _{Ma}	90.0	0.0	0.0	0.0	0
R _{CIE}	39.92	58.74	27.99	65.07	25
J _{CIE}	81.26	-2.88	71.56	71.62	92
G _{CIE}	52.23	-42.41	13.6	44.55	162
B _{CIE}	30.57	1.41	-46.46	46.49	272

Daten für Maximalfarbe (Ma):

$LAB^*LAB^*_{Ma}$: 51 35 58

$LAB^*LCH^*_{Ma}$: 51 68 59

$lab^*rgb^*_{Ma}$: 1.0 0.5 0.0

$lab^*olv^*_{Ma}$: 1.0 0.32 0.0

Dreiecks-Helligkeit t^*

%Umfang

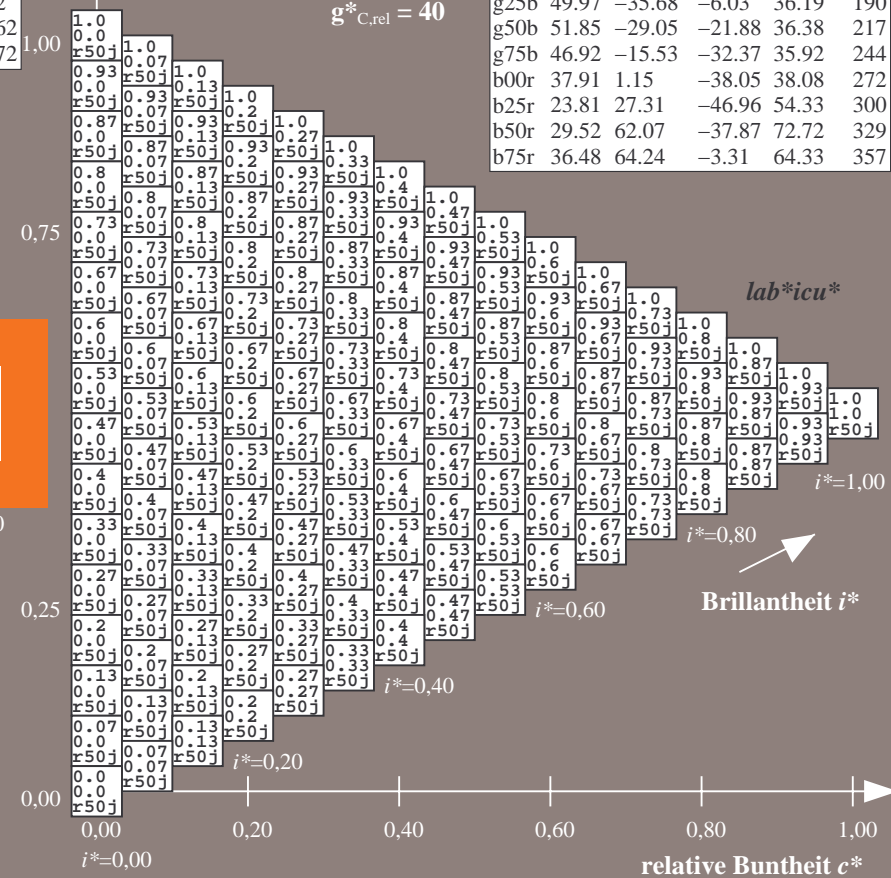
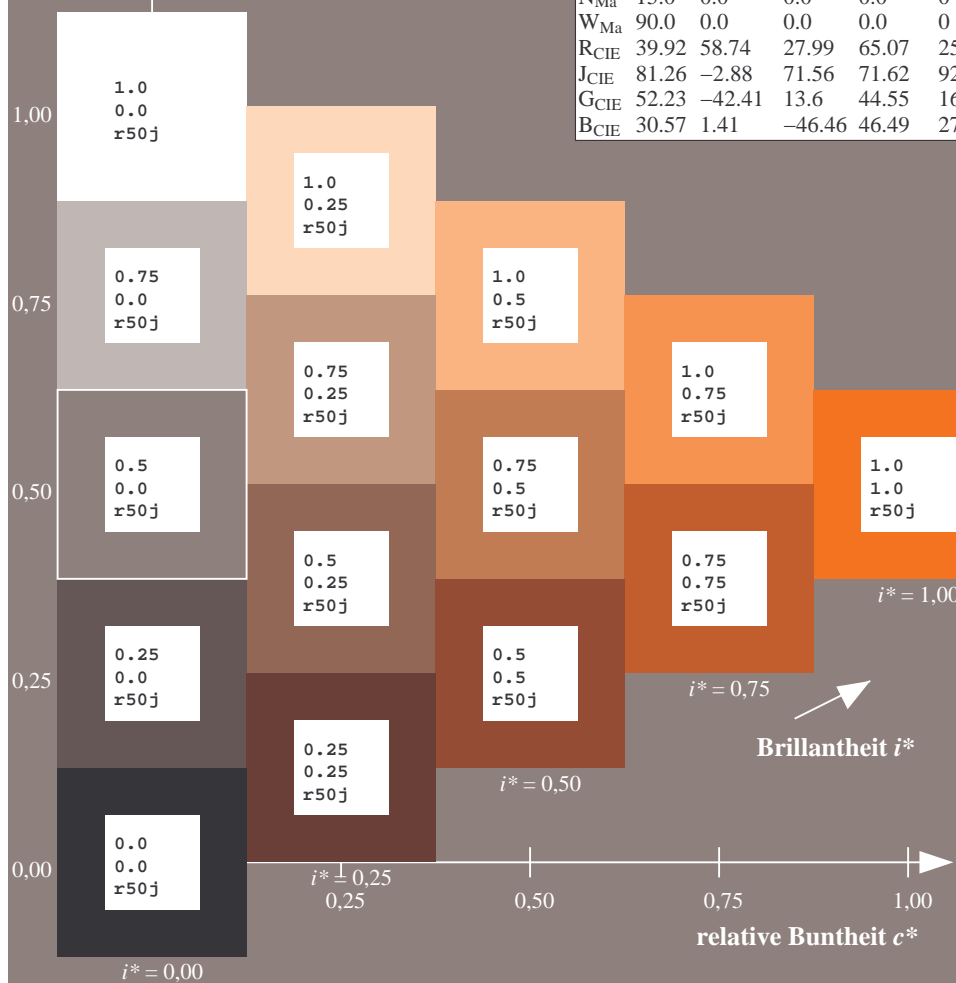
$u^*_{rel} = 88$

%Regularität

$g^*_{H,rel} = 31$

$g^*_{C,rel} = 40$

FRS15_90aM; adaptierte CIELAB-Daten					
	$L^*=L_a^*$	a_a^*	b_a^*	$C^*_{ab,a}$	$h^*_{ab,a}$
r00j	35.47	56.92	27.12	63.05	25
r25j	39.12	49.04	44.45	66.19	42
r50j	50.64	35.19	58.33	68.13	59
r75j	64.01	19.11	74.45	76.87	76
j00g	83.18	-3.93	97.56	97.64	92
j25g	66.73	-26.86	74.66	79.35	110
j50g	54.03	-43.42	57.07	71.71	127
j75g	44.73	-54.21	38.33	66.4	145
g00b	47.59	-44.11	14.14	46.33	162
g25b	49.97	-35.68	-6.03	36.19	190
g50b	51.85	-29.05	-21.88	36.38	217
g75b	46.92	-15.53	-32.37	35.92	244
b00r	37.91	1.15	-38.05	38.08	272
b25r	23.81	27.31	-46.96	54.33	300
b50r	29.52	62.07	-37.87	72.72	329
b75r	36.48	64.24	-3.31	64.33	357



Ein und Ausgabe: Farbmetrisches Drucker-Reflektiv-System FRS15_90aM für relativen CIELAB-Buntton $h^* = lab^*h^* = h_{ab}/360 = 76/360 = 0.21$ $u^* = r75j$
Daten für jede Farbe: lab^*ch^* und lab^*icu^*

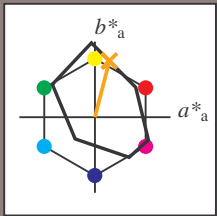
Elementar-Bunttontext:

$u^* = r75j$

Kontrastreduzierungsfaktor:

$c_R = 0.9$

Dreiecks-Helligkeit t^*



FRS15_90aM; adaptierte CIELAB-Daten					
	$L^*=L^*_a$	a^*_a	b^*_a	$C^*_{ab,a}$	$h^*_{ab,a}$
O _{Ma}	35.06	53.93	39.55	66.88	36
Y _{Ma}	83.77	-4.63	98.26	98.37	93
L _{Ma}	44.13	-56.32	43.36	71.09	142
C _{Ma}	52.66	-26.18	-28.74	38.89	228
V _{Ma}	14.15	45.22	-53.06	69.72	310
M _{Ma}	37.37	70.69	-30.1	76.83	337
N _{Ma}	15.0	0.0	0.0	0.0	0
W _{Ma}	90.0	0.0	0.0	0.0	0
R _{CIE}	39.92	58.74	27.99	65.07	25
J _{CIE}	81.26	-2.88	71.56	71.62	92
G _{CIE}	52.23	-42.41	13.6	44.55	162
B _{CIE}	30.57	1.41	-46.46	46.49	272

Daten für Maximalfarbe (Ma):

$LAB^*LAB^*_{Ma}$: 64 19 74

$LAB^*LCH^*_{Ma}$: 64 77 76

$lab^*rgb^*_{Ma}$: 1.0 0.75 0.0

$lab^*olv^*_{Ma}$: 1.0 0.59 0.0

Dreiecks-Helligkeit t^*

%Umfang

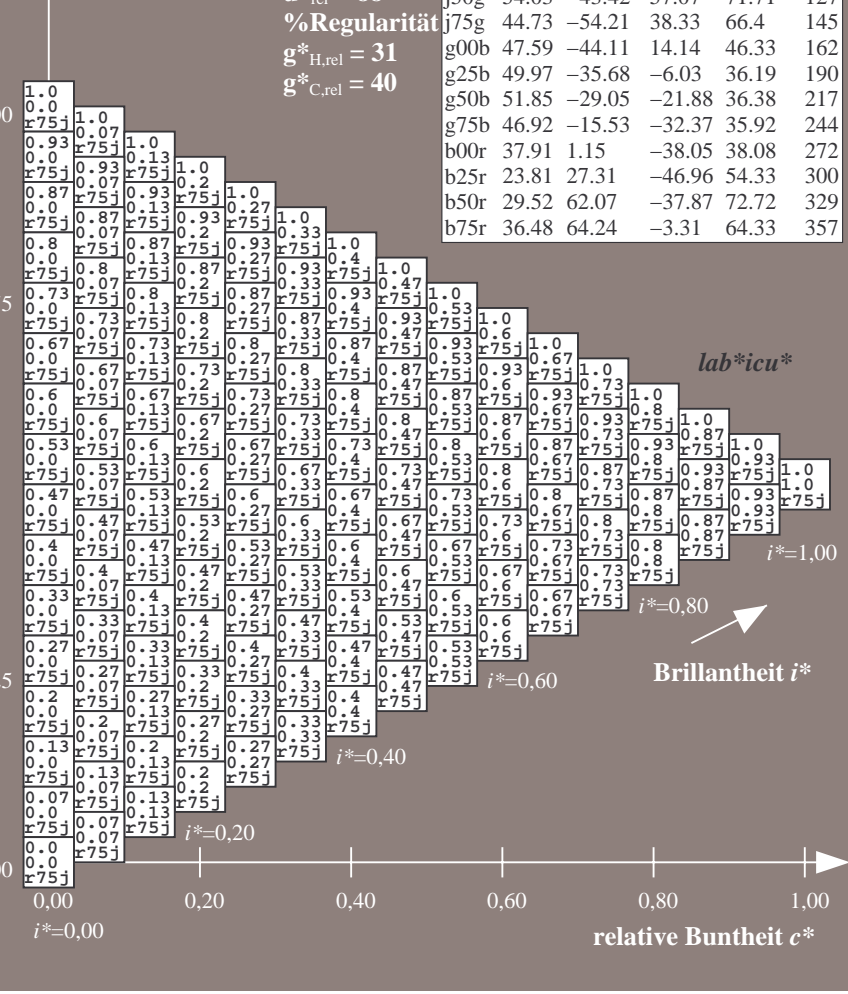
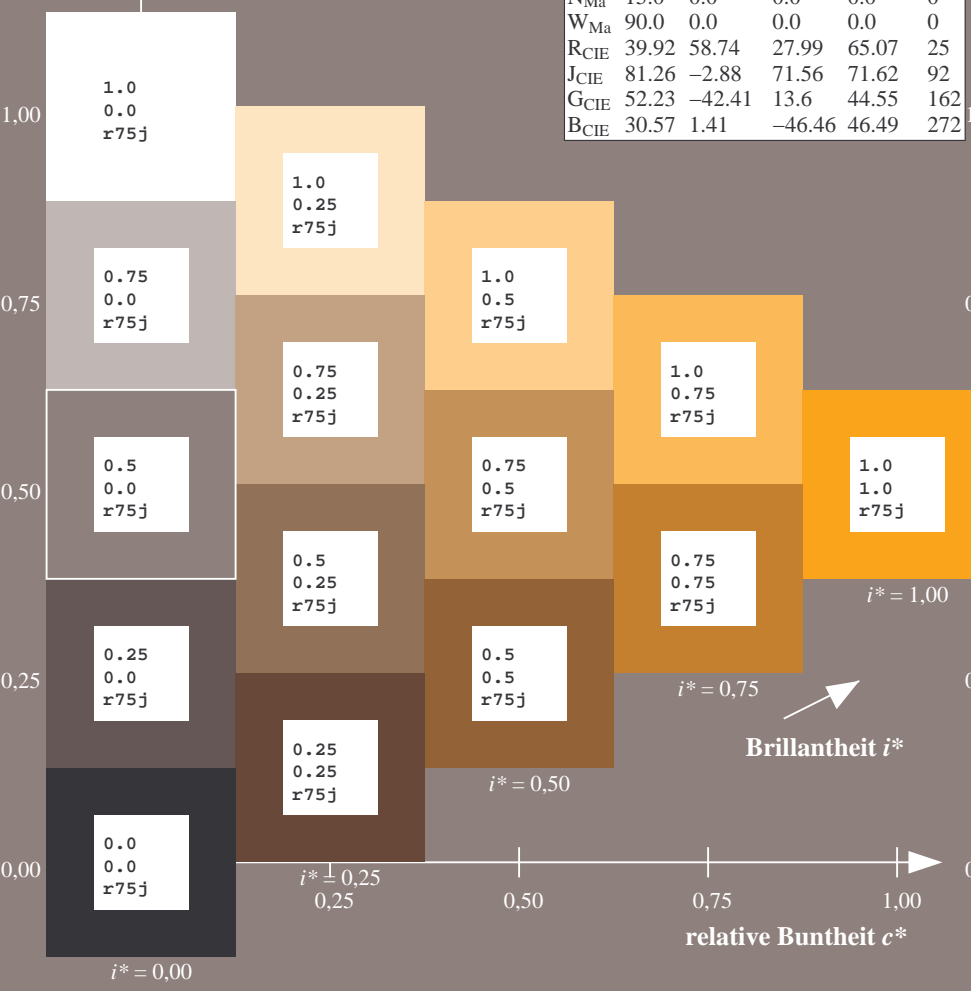
$u^*_{rel} = 88$

%Regularität

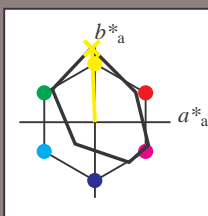
$g^*_{H,rel} = 31$

$g^*_{C,rel} = 40$

FRS15_90aM; adaptierte CIELAB-Daten					
	$L^*=L^*_a$	a^*_a	b^*_a	$C^*_{ab,a}$	$h^*_{ab,a}$
r00j	35.47	56.92	27.12	63.05	25
r25j	39.12	49.04	44.45	66.19	42
r50j	50.64	35.19	58.33	68.13	59
r75j	64.01	19.11	74.45	76.87	76
j00g	83.18	-3.93	97.56	97.64	92
j25g	66.73	-26.86	74.66	79.35	110
j50g	54.03	-43.42	57.07	71.71	127
j75g	44.73	-54.21	38.33	66.4	145
g00b	47.59	-44.11	14.14	46.33	162
g25b	49.97	-35.68	-6.03	36.19	190
g50b	51.85	-29.05	-21.88	36.38	217
g75b	46.92	-15.53	-32.37	35.92	244
b00r	37.91	1.15	-38.05	38.08	272
b25r	23.81	27.31	-46.96	54.33	300
b50r	29.52	62.07	-37.87	72.72	329
b75r	36.48	64.24	-3.31	64.33	357



Ein und Ausgabe: Farbmetrisches Drucker-Reflektiv-System FRS15_90aM für relativen CIELAB-Buntton $h^* = lab^*h^* = h_{ab}/360 = 92/360 = 0.256$ $u^* = j00g$
Daten für jede Farbe:
 lab^*ch^* und lab^*icu^*
Elementar-Bunttontext:
 $u^* = j00g$
Kontrastreduzierungsfaktor:
 $c_R = 0.9$
Dreiecks-Helligkeit i^*



FRS15_90aM; adaptierte CIELAB-Daten					
	$L^*=L^*_a$	a^*_a	b^*_a	$C^*_{ab,a}$	$h^*_{ab,a}$
O _{Ma}	35.06	53.93	39.55	66.88	36
Y _{Ma}	83.77	-4.63	98.26	98.37	93
L _{Ma}	44.13	-56.32	43.36	71.09	142
C _{Ma}	52.66	-26.18	-28.74	38.89	228
V _{Ma}	14.15	45.22	-53.06	69.72	310
M _{Ma}	37.37	70.69	-30.1	76.83	337
N _{Ma}	15.0	0.0	0.0	0.0	0
W _{Ma}	90.0	0.0	0.0	0.0	0
R _{CIE}	39.92	58.74	27.99	65.07	25
J _{CIE}	81.26	-2.88	71.56	71.62	92
G _{CIE}	52.23	-42.41	13.6	44.55	162
B _{CIE}	30.57	1.41	-46.46	46.49	272

Daten für Maximalfarbe (Ma):

$LAB^*LAB^*_{Ma}$: 83 -3 98

$LAB^*LCH^*_{Ma}$: 83 98 92

$lab^*rgb^*_{Ma}$: 1.0 1.0 0.0

$lab^*olv^*_{Ma}$: 1.0 0.99 0.0

Dreiecks-Helligkeit i^*

%Umfang

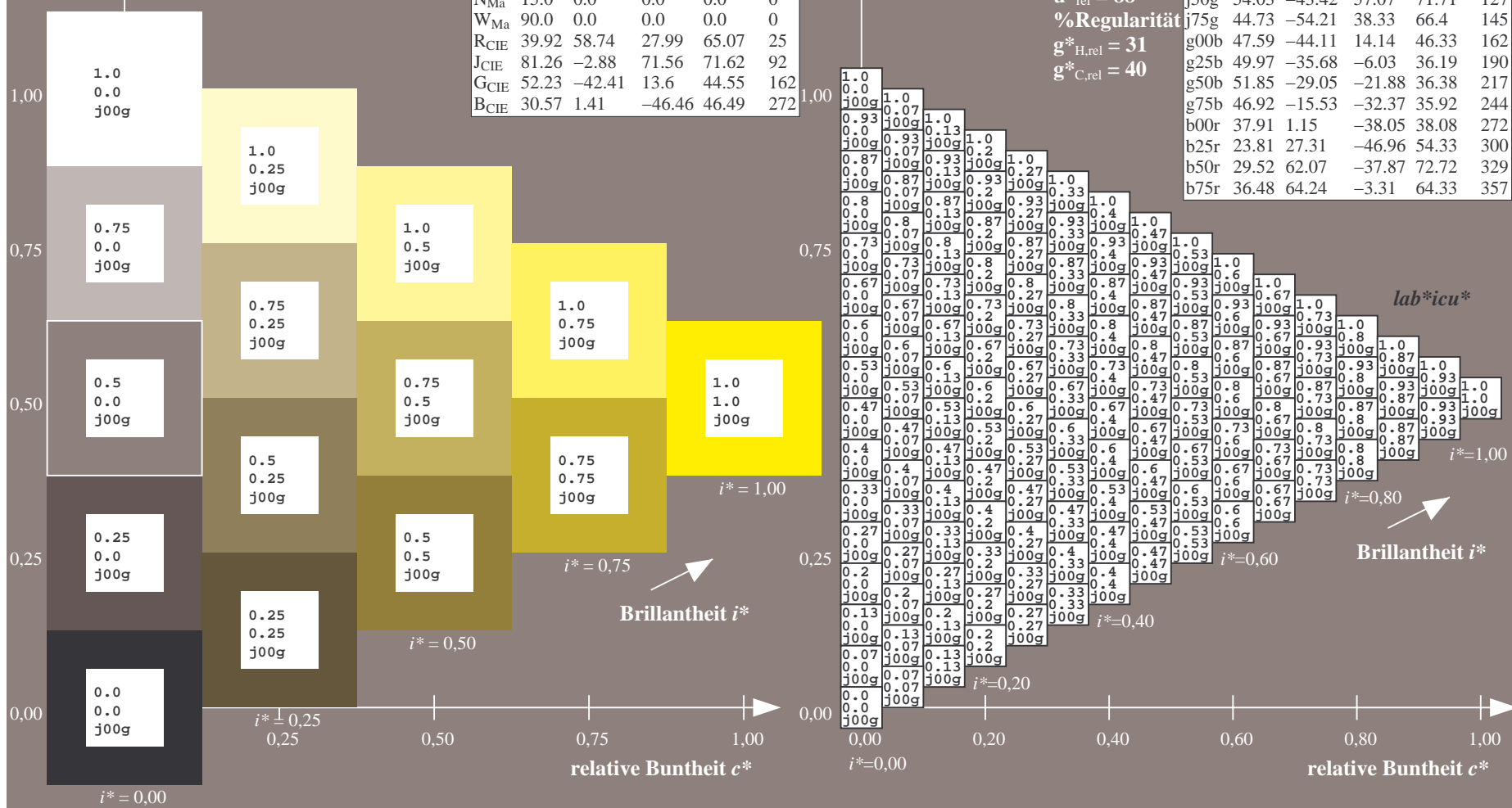
$u^*_{rel} = 88$

%Regularität

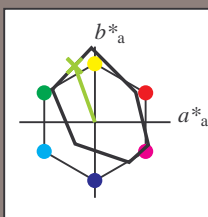
$g^*_{H,rel} = 31$

$g^*_{C,rel} = 40$

FRS15_90aM; adaptierte CIELAB-Daten					
	$L^*=L^*_a$	a^*_a	b^*_a	$C^*_{ab,a}$	$h^*_{ab,a}$
r00j	35.47	56.92	27.12	63.05	25
r25j	39.12	49.04	44.45	66.19	42
r50j	50.64	35.19	58.33	68.13	59
r75j	64.01	19.11	74.45	76.87	76
j00g	83.18	-3.93	97.56	97.64	92
j25g	66.73	-26.86	74.66	79.35	110
j50g	54.03	-43.42	57.07	71.71	127
j75g	44.73	-54.21	38.33	66.4	145
g00b	47.59	-44.11	14.14	46.33	162
g25b	49.97	-35.68	-6.03	36.19	190
g50b	51.85	-29.05	-21.88	36.38	217
g75b	46.92	-15.53	-32.37	35.92	244
b00r	37.91	1.15	-38.05	38.08	272
b25r	23.81	27.31	-46.96	54.33	300
b50r	29.52	62.07	-37.87	72.72	329
b75r	36.48	64.24	-3.31	64.33	357



Ein und Ausgabe: Farbmetrisches Drucker-Reflektiv-System FRS15_90aM für relativen CIELAB-Buntton $h^* = lab^*h^* = h_{ab}/360 = 110/360 = 0.305$ $u^* = j25g$
Daten für jede Farbe:
 lab^*ch^* und lab^*icu^*
Elementar-Bunttontext:
 $u^* = j25g$
Kontrastreduzierungsfaktor:
 $c_R = 0.9$
Dreiecks-Helligkeit i^*



FRS15_90aM; adaptierte CIELAB-Daten					
	$L^*=L^*_a$	a^*_a	b^*_a	$C^*_{ab,a}$	$h^*_{ab,a}$
O _{Ma}	35.06	53.93	39.55	66.88	36
Y _{Ma}	83.77	-4.63	98.26	98.37	93
L _{Ma}	44.13	-56.32	43.36	71.09	142
C _{Ma}	52.66	-26.18	-28.74	38.89	228
V _{Ma}	14.15	45.22	-53.06	69.72	310
M _{Ma}	37.37	70.69	-30.1	76.83	337
N _{Ma}	15.0	0.0	0.0	0.0	0
W _{Ma}	90.0	0.0	0.0	0.0	0
R _{CIE}	39.92	58.74	27.99	65.07	25
J _{CIE}	81.26	-2.88	71.56	71.62	92
G _{CIE}	52.23	-42.41	13.6	44.55	162
B _{CIE}	30.57	1.41	-46.46	46.49	272

Daten für Maximalfarbe (Ma):

$LAB^*LAB^*_{Ma}$: 67 -26 75

$LAB^*LCH^*_{Ma}$: 67 79 110

$lab^*rgb^*_{Ma}$: 0.75 1.0 0.0

$lab^*olv^*_{Ma}$: 0.57 1.0 0.0

Dreiecks-Helligkeit i^*

%Umfang

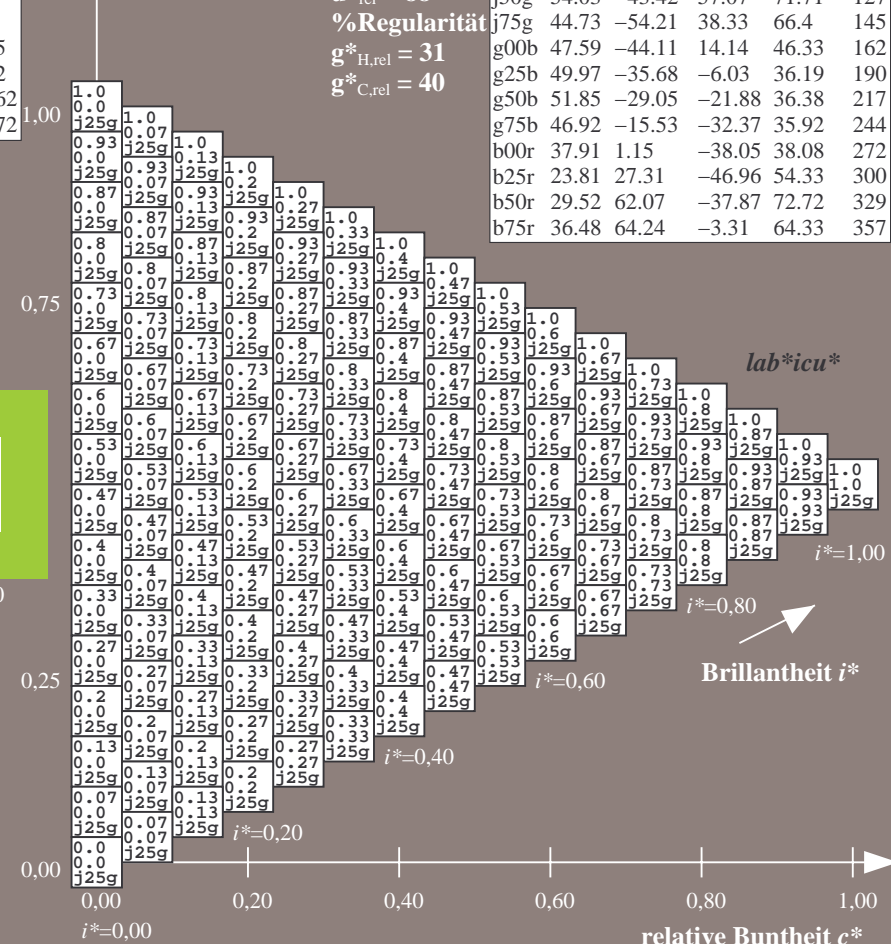
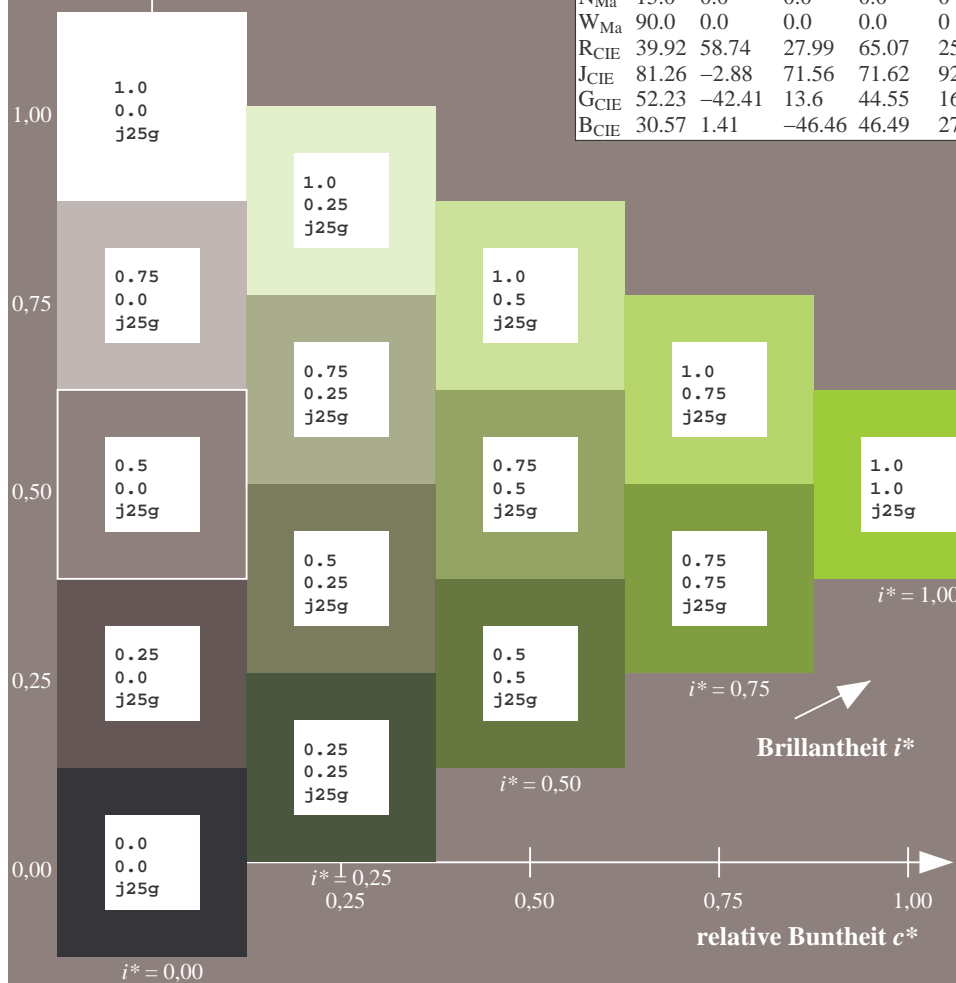
$u^*_{rel} = 88$

%Regularität

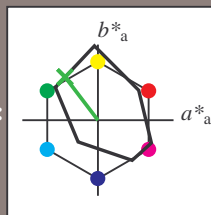
$g^*_{H,rel} = 31$

$g^*_{C,rel} = 40$

FRS15_90aM; adaptierte CIELAB-Daten					
	$L^*=L^*_a$	a^*_a	b^*_a	$C^*_{ab,a}$	$h^*_{ab,a}$
r00j	35.47	56.92	27.12	63.05	25
r25j	39.12	49.04	44.45	66.19	42
r50j	50.64	35.19	58.33	68.13	59
r75j	64.01	19.11	74.45	76.87	76
j00g	83.18	-3.93	97.56	97.64	92
j25g	66.73	-26.86	74.66	79.35	110
j50g	54.03	-43.42	57.07	71.71	127
j75g	44.73	-54.21	38.33	66.4	145
g00b	47.59	-44.11	14.14	46.33	162
g25b	49.97	-35.68	-6.03	36.19	190
g50b	51.85	-29.05	-21.88	36.38	217
g75b	46.92	-15.53	-32.37	35.92	244
b00r	37.91	1.15	-38.05	38.08	272
b25r	23.81	27.31	-46.96	54.33	300
b50r	29.52	62.07	-37.87	72.72	329
b75r	36.48	64.24	-3.31	64.33	357



Ein und Ausgabe: Farbmetrisches Drucker-Reflektiv-System FRS15_90aM für relativen CIELAB-Buntton $h^* = lab^*h^* = h_{ab}/360 = 127/360 = 0.354$ $u^* = j50g$
Daten für jede Farbe:
 lab^*ch^* und lab^*icu^*
Elementar-Bunttontext:
 $u^* = j50g$
Kontrastreduzierungsfaktor:
 $c_R = 0.9$
Dreiecks-Helligkeit t^*



FRS15_90aM; adaptierte CIELAB-Daten					
	$L^*=L^*_a$	a^*_a	b^*_a	$C^*_{ab,a}$	$h^*_{ab,a}$
O _{Ma}	35.06	53.93	39.55	66.88	36
Y _{Ma}	83.77	-4.63	98.26	98.37	93
L _{Ma}	44.13	-56.32	43.36	71.09	142
C _{Ma}	52.66	-26.18	-28.74	38.89	228
V _{Ma}	14.15	45.22	-53.06	69.72	310
M _{Ma}	37.37	70.69	-30.1	76.83	337
N _{Ma}	15.0	0.0	0.0	0.0	0
W _{Ma}	90.0	0.0	0.0	0.0	0
R _{CIE}	39.92	58.74	27.99	65.07	25
J _{CIE}	81.26	-2.88	71.56	71.62	92
G _{CIE}	52.23	-42.41	13.6	44.55	162
B _{CIE}	30.57	1.41	-46.46	46.49	272

Daten für Maximalfarbe (Ma):

$LAB^*LAB^*_{Ma}$: 54 -42 57

$LAB^*LCH^*_{Ma}$: 54 72 127

$lab^*rgb^*_{Ma}$: 0.5 1.0 0.0

$lab^*olv^*_{Ma}$: 0.25 1.0 0.0

Dreiecks-Helligkeit t^*

%Umfang

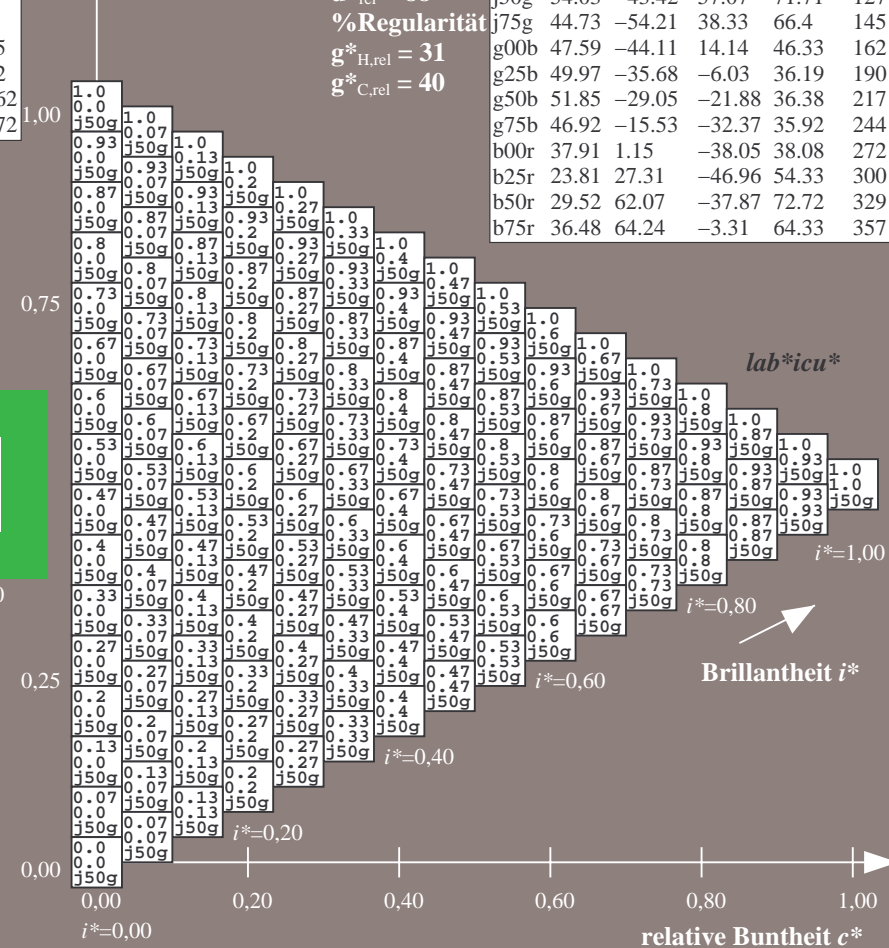
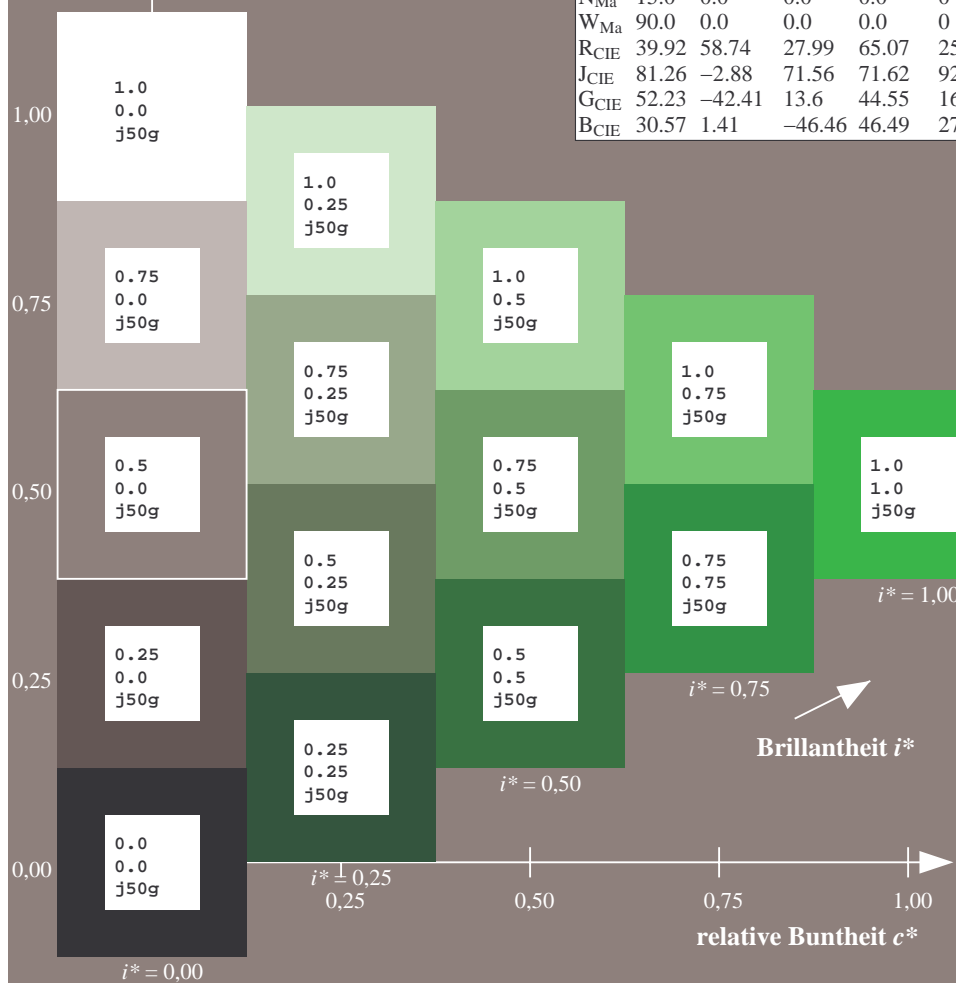
$u^*_{rel} = 88$

%Regularität

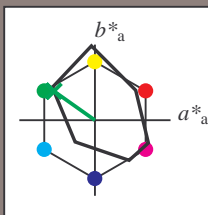
$g^*_{H,rel} = 31$

$g^*_{C,rel} = 40$

FRS15_90aM; adaptierte CIELAB-Daten					
	$L^*=L^*_a$	a^*_a	b^*_a	$C^*_{ab,a}$	$h^*_{ab,a}$
r00j	35.47	56.92	27.12	63.05	25
r25j	39.12	49.04	44.45	66.19	42
r50j	50.64	35.19	58.33	68.13	59
r75j	64.01	19.11	74.45	76.87	76
j00g	83.18	-3.93	97.56	97.64	92
j25g	66.73	-26.86	74.66	79.35	110
j50g	54.03	-43.42	57.07	71.71	127
j75g	44.73	-54.21	38.33	66.4	145
g00b	47.59	-44.11	14.14	46.33	162
g25b	49.97	-35.68	-6.03	36.19	190
g50b	51.85	-29.05	-21.88	36.38	217
g75b	46.92	-15.53	-32.37	35.92	244
b00r	37.91	1.15	-38.05	38.08	272
b25r	23.81	27.31	-46.96	54.33	300
b50r	29.52	62.07	-37.87	72.72	329
b75r	36.48	64.24	-3.31	64.33	357



Ein und Ausgabe: Farbmetrisches Drucker-Reflektiv-System FRS15_90aM für relativen CIELAB-Buntton $h^* = lab^*h^* = h_{ab}/360 = 145/360 = 0.402$ $u^* = j75g$
Daten für jede Farbe:
 lab^*ch^* und lab^*icu^*
Elementar-Bunttontext:
 $u^* = j75g$
Kontrastreduzierungsfaktor:
 $c_R = 0.9$
Dreiecks-Helligkeit i^*



FRS15_90aM; adaptierte CIELAB-Daten					
	$L^*=L^*_a$	a^*_a	b^*_a	$C^*_{ab,a}$	$h^*_{ab,a}$
O _{Ma}	35.06	53.93	39.55	66.88	36
Y _{Ma}	83.77	-4.63	98.26	98.37	93
L _{Ma}	44.13	-56.32	43.36	71.09	142
C _{Ma}	52.66	-26.18	-28.74	38.89	228
V _{Ma}	14.15	45.22	-53.06	69.72	310
M _{Ma}	37.37	70.69	-30.1	76.83	337
N _{Ma}	15.0	0.0	0.0	0.0	0
W _{Ma}	90.0	0.0	0.0	0.0	0
R _{CIE}	39.92	58.74	27.99	65.07	25
J _{CIE}	81.26	-2.88	71.56	71.62	92
G _{CIE}	52.23	-42.41	13.6	44.55	162
B _{CIE}	30.57	1.41	-46.46	46.49	272

Daten für Maximalfarbe (Ma):

$LAB^*LAB^*_{Ma}$: 45 -53 38

$LAB^*LCH^*_{Ma}$: 45 66 145

$lab^*rgb^*_{Ma}$: 0.25 1.0 0.0

$lab^*olv^*_{Ma}$: 0.0 1.0 0.07

Dreiecks-Helligkeit i^*

%Umfang

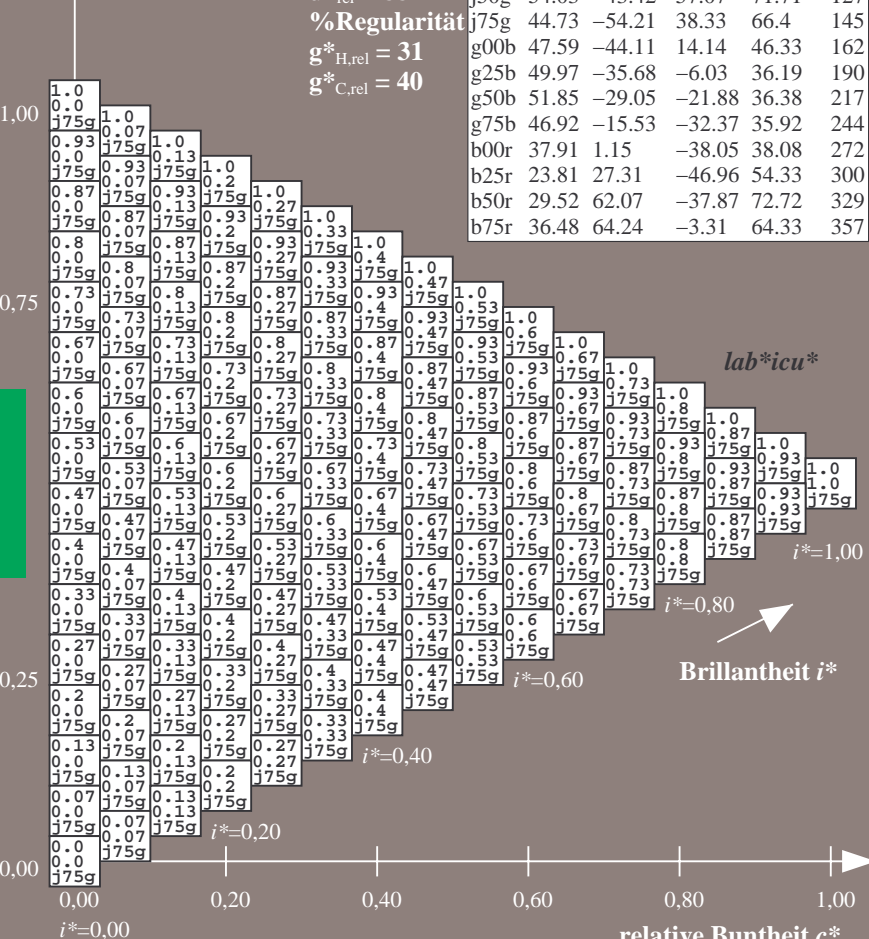
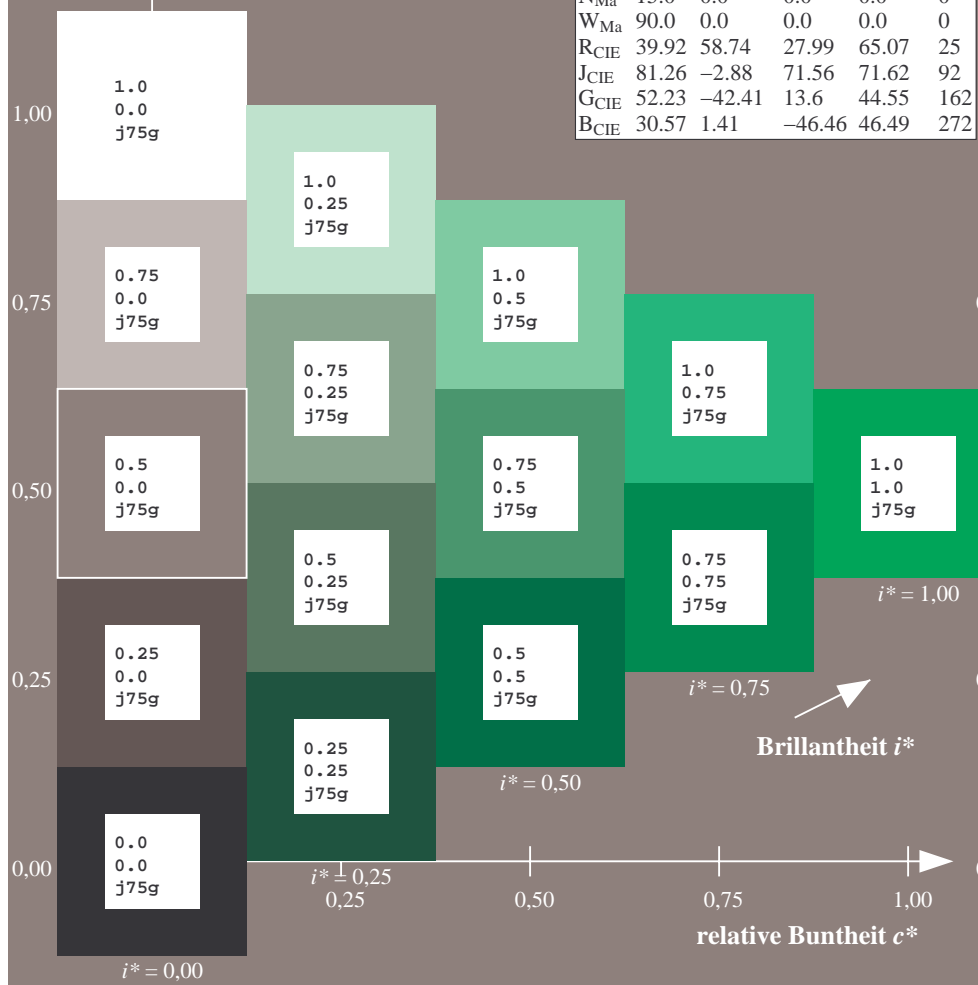
$u^*_{rel} = 88$

%Regularität

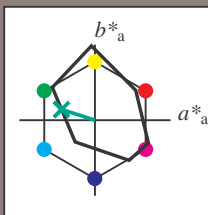
$g^*_{H,rel} = 31$

$g^*_{C,rel} = 40$

FRS15_90aM; adaptierte CIELAB-Daten					
	$L^*=L^*_a$	a^*_a	b^*_a	$C^*_{ab,a}$	$h^*_{ab,a}$
r00j	35.47	56.92	27.12	63.05	25
r25j	39.12	49.04	44.45	66.19	42
r50j	50.64	35.19	58.33	68.13	59
r75j	64.01	19.11	74.45	76.87	76
j00g	83.18	-3.93	97.56	97.64	92
j25g	66.73	-26.86	74.66	79.35	110
j50g	54.03	-43.42	57.07	71.71	127
j75g	44.73	-54.21	38.33	66.4	145
g00b	47.59	-44.11	14.14	46.33	162
g25b	49.97	-35.68	-6.03	36.19	190
g50b	51.85	-29.05	-21.88	36.38	217
g75b	46.92	-15.53	-32.37	35.92	244
b00r	37.91	1.15	-38.05	38.08	272
b25r	23.81	27.31	-46.96	54.33	300
b50r	29.52	62.07	-37.87	72.72	329
b75r	36.48	64.24	-3.31	64.33	357



Ein und Ausgabe: Farbmetrisches Drucker-Reflektiv-System FRS15_90aM für relativen CIELAB-Buntton $h^* = lab^*h^* = h_{ab}/360 = 162/360 = 0.451$ $u^* = g00b$
Daten für jede Farbe:
 lab^*ch^* und lab^*icu^*
Elementar-Bunttontext:
 $u^* = g00b$
Kontrastreduzierungsfaktor:
 $c_R = 0.9$
Dreiecks-Helligkeit i^*



FRS15_90aM; adaptierte CIELAB-Daten					
	$L^*=L^*_a$	a^*_a	b^*_a	$C^*_{ab,a}$	$h^*_{ab,a}$
O _{Ma}	35.06	53.93	39.55	66.88	36
Y _{Ma}	83.77	-4.63	98.26	98.37	93
L _{Ma}	44.13	-56.32	43.36	71.09	142
C _{Ma}	52.66	-26.18	-28.74	38.89	228
V _{Ma}	14.15	45.22	-53.06	69.72	310
M _{Ma}	37.37	70.69	-30.1	76.83	337
N _{Ma}	15.0	0.0	0.0	0.0	0
W _{Ma}	90.0	0.0	0.0	0.0	0
R _{CIE}	39.92	58.74	27.99	65.07	25
J _{CIE}	81.26	-2.88	71.56	71.62	92
G _{CIE}	52.23	-42.41	13.6	44.55	162
B _{CIE}	30.57	1.41	-46.46	46.49	272

Daten für Maximalfarbe (Ma):

$LAB^*LAB^*_{Ma}$: 48 -43 14

$LAB^*LCH^*_{Ma}$: 48 46 162

$lab^*rgb^*_{Ma}$: 0.0 1.0 0.0

$lab^*olv^*_{Ma}$: 0.0 1.0 0.41

Dreiecks-Helligkeit i^*

%Umfang

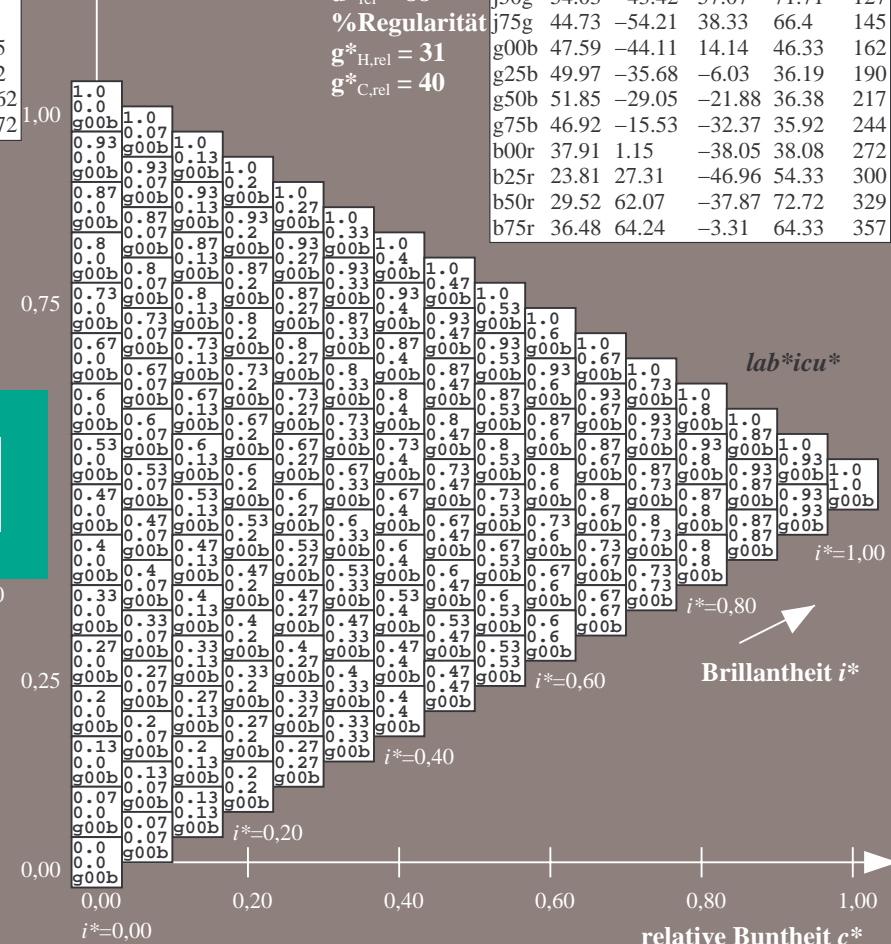
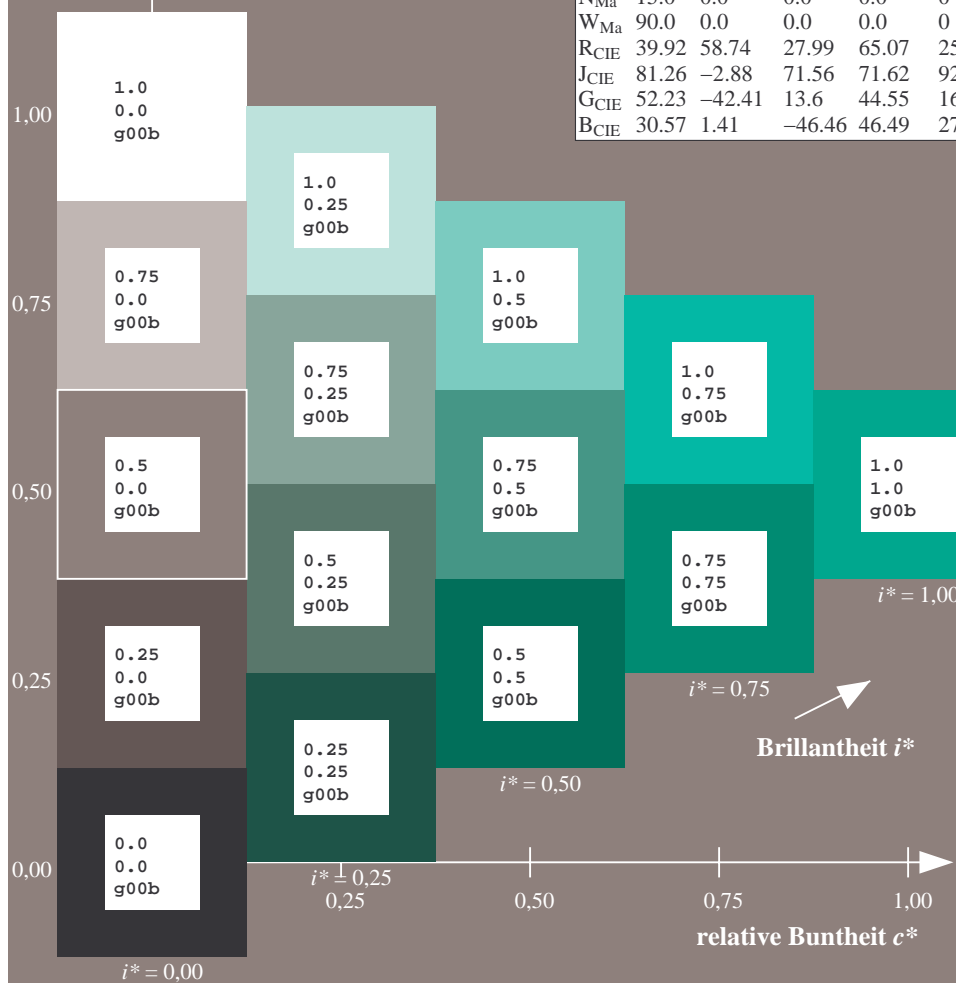
$u^*_{rel} = 88$

%Regularität

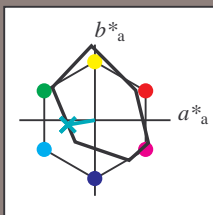
$g^*_{H,rel} = 31$

$g^*_{C,rel} = 40$

FRS15_90aM; adaptierte CIELAB-Daten					
	$L^*=L^*_a$	a^*_a	b^*_a	$C^*_{ab,a}$	$h^*_{ab,a}$
r00j	35.47	56.92	27.12	63.05	25
r25j	39.12	49.04	44.45	66.19	42
r50j	50.64	35.19	58.33	68.13	59
r75j	64.01	19.11	74.45	76.87	76
j00g	83.18	-3.93	97.56	97.64	92
j25g	66.73	-26.86	74.66	79.35	110
j50g	54.03	-43.42	57.07	71.71	127
j75g	44.73	-54.21	38.33	66.4	145
g00b	47.59	-44.11	14.14	46.33	162
g25b	49.97	-35.68	-6.03	36.19	190
g50b	51.85	-29.05	-21.88	36.38	217
g75b	46.92	-15.53	-32.37	35.92	244
b00r	37.91	1.15	-38.05	38.08	272
b25r	23.81	27.31	-46.96	54.33	300
b50r	29.52	62.07	-37.87	72.72	329
b75r	36.48	64.24	-3.31	64.33	357



Ein und Ausgabe: Farbmetrisches Drucker-Reflektiv-System FRS15_90aM für relativen CIELAB-Buntton $h^* = lab^*h^* = h_{ab}/360 = 190/360 = 0.527$ $u^* = g25b$
Daten für jede Farbe:
 lab^*ch^* und lab^*icu^*
Elementar-Bunttontext:
 $u^* = g25b$
Kontrastreduzierungsfaktor:
 $c_R = 0.9$
Dreiecks-Helligkeit i^*



FRS15_90aM; adaptierte CIELAB-Daten					
	$L^*=L^*_a$	a^*_a	b^*_a	$C^*_{ab,a}$	$h^*_{ab,a}$
O _{Ma}	35.06	53.93	39.55	66.88	36
Y _{Ma}	83.77	-4.63	98.26	98.37	93
L _{Ma}	44.13	-56.32	43.36	71.09	142
C _{Ma}	52.66	-26.18	-28.74	38.89	228
V _{Ma}	14.15	45.22	-53.06	69.72	310
M _{Ma}	37.37	70.69	-30.1	76.83	337
N _{Ma}	15.0	0.0	0.0	0.0	0
W _{Ma}	90.0	0.0	0.0	0.0	0
R _{CIE}	39.92	58.74	27.99	65.07	25
J _{CIE}	81.26	-2.88	71.56	71.62	92
G _{CIE}	52.23	-42.41	13.6	44.55	162
B _{CIE}	30.57	1.41	-46.46	46.49	272

Daten für Maximalfarbe (Ma):

$LAB^*LAB^*_{Ma}$: 50 -35 -5

$LAB^*LCH^*_{Ma}$: 50 36 190

$lab^*rgb^*_{Ma}$: 0.0 1.0 0.5

$lab^*olv^*_{Ma}$: 0.0 1.0 0.69

Dreiecks-Helligkeit i^*

%Umfang

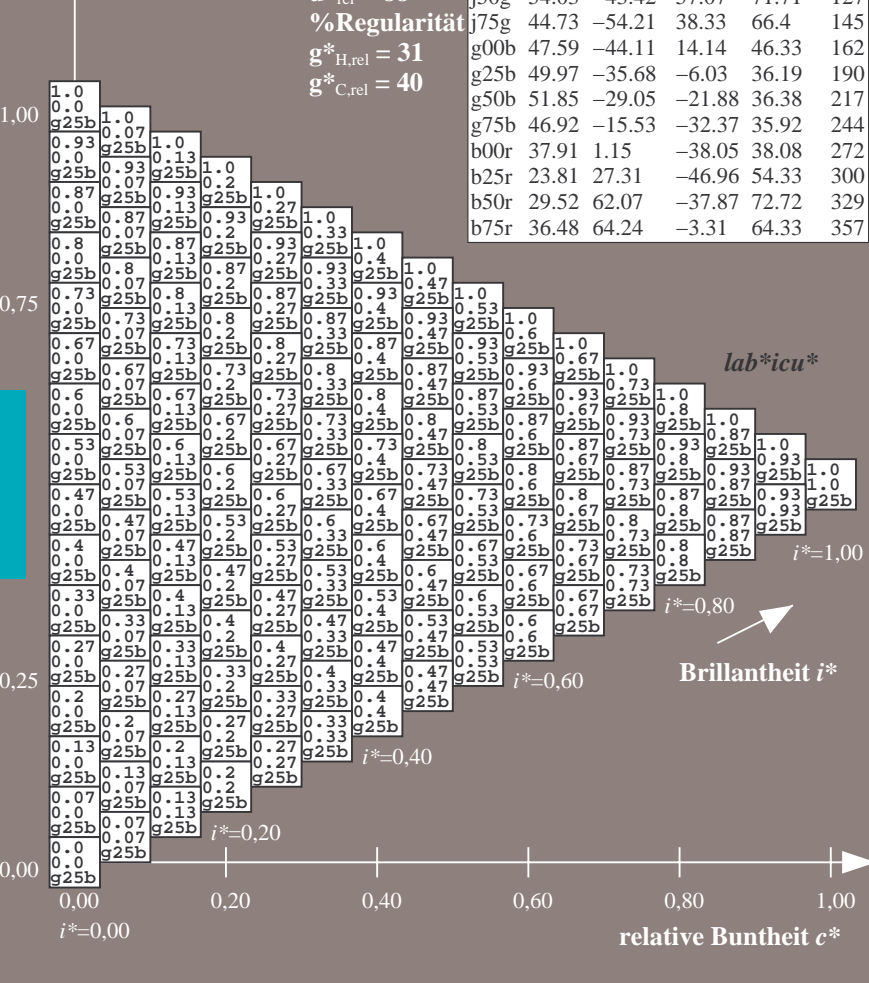
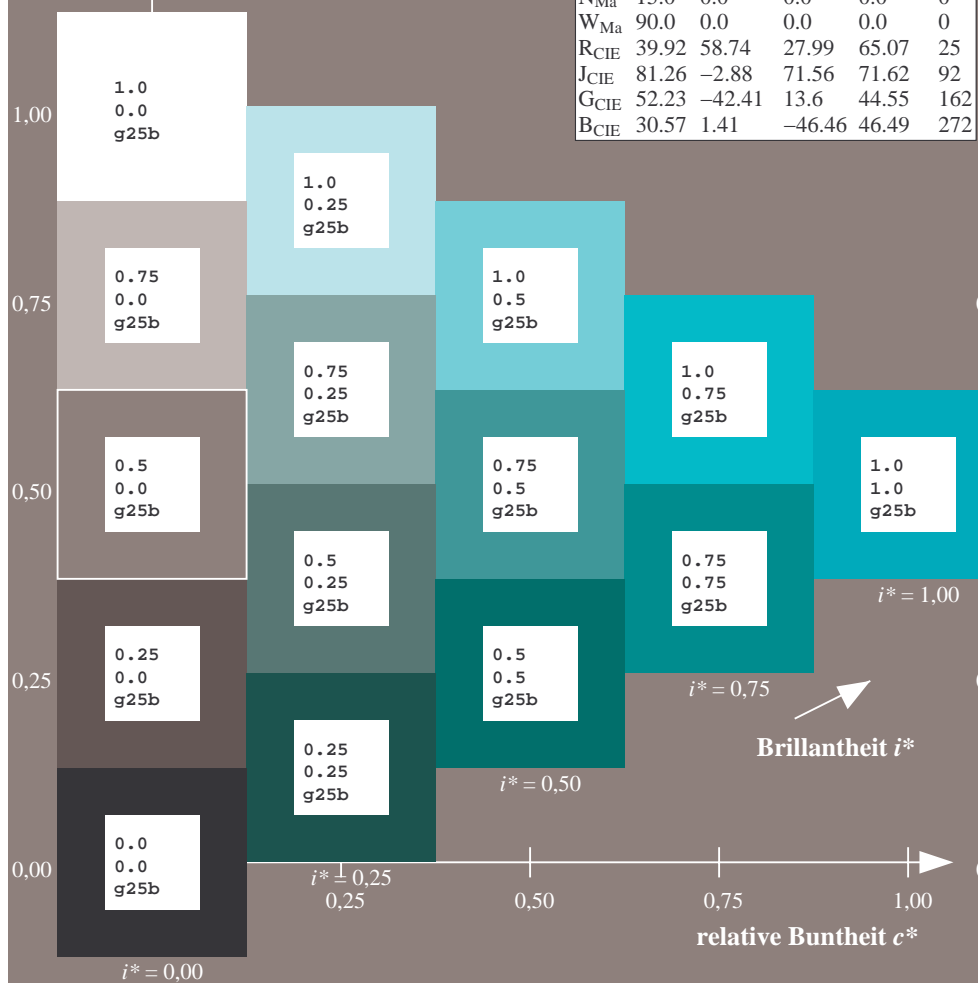
$u^*_{rel} = 88$

%Regularität

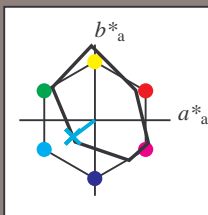
$g^*_{H,rel} = 31$

$g^*_{C,rel} = 40$

FRS15_90aM; adaptierte CIELAB-Daten					
	$L^*=L^*_a$	a^*_a	b^*_a	$C^*_{ab,a}$	$h^*_{ab,a}$
r00j	35.47	56.92	27.12	63.05	25
r25j	39.12	49.04	44.45	66.19	42
r50j	50.64	35.19	58.33	68.13	59
r75j	64.01	19.11	74.45	76.87	76
j00g	83.18	-3.93	97.56	97.64	92
j25g	66.73	-26.86	74.66	79.35	110
j50g	54.03	-43.42	57.07	71.71	127
j75g	44.73	-54.21	38.33	66.4	145
g00b	47.59	-44.11	14.14	46.33	162
g25b	49.97	-35.68	-6.03	36.19	190
g50b	51.85	-29.05	-21.88	36.38	217
g75b	46.92	-15.53	-32.37	35.92	244
b00r	37.91	1.15	-38.05	38.08	272
b25r	23.81	27.31	-46.96	54.33	300
b50r	29.52	62.07	-37.87	72.72	329
b75r	36.48	64.24	-3.31	64.33	357



Ein und Ausgabe: Farbmetrisches Drucker-Reflektiv-System FRS15_90aM für relativen CIELAB-Buntton $h^* = lab^*h^* = h_{ab}/360 = 217/360 = 0.603$ $u^* = g50b$
Daten für jede Farbe:
 lab^*ch^* und lab^*icu^*
Elementar-Bunttontext:
 $u^* = g50b$
Kontrastreduzierungsfaktor:
 $c_R = 0.9$
Dreiecks-Helligkeit t^*



FRS15_90aM; adaptierte CIELAB-Daten					
	$L^*=L^*_a$	a^*_a	b^*_a	$C^*_{ab,a}$	$h^*_{ab,a}$
O _{Ma}	35.06	53.93	39.55	66.88	36
Y _{Ma}	83.77	-4.63	98.26	98.37	93
L _{Ma}	44.13	-56.32	43.36	71.09	142
C _{Ma}	52.66	-26.18	-28.74	38.89	228
V _{Ma}	14.15	45.22	-53.06	69.72	310
M _{Ma}	37.37	70.69	-30.1	76.83	337
N _{Ma}	15.0	0.0	0.0	0.0	0
W _{Ma}	90.0	0.0	0.0	0.0	0
R _{CIE}	39.92	58.74	27.99	65.07	25
J _{CIE}	81.26	-2.88	71.56	71.62	92
G _{CIE}	52.23	-42.41	13.6	44.55	162
B _{CIE}	30.57	1.41	-46.46	46.49	272

Daten für Maximalfarbe (Ma):

$LAB^*LAB^*_{Ma}$: 52 -28 -21

$LAB^*LCH^*_{Ma}$: 52 36 217

$lab^*rgb^*_{Ma}$: 0.0 1.0 1.0

$lab^*olv^*_{Ma}$: 0.0 1.0 0.9

Dreiecks-Helligkeit t^*

%Umfang

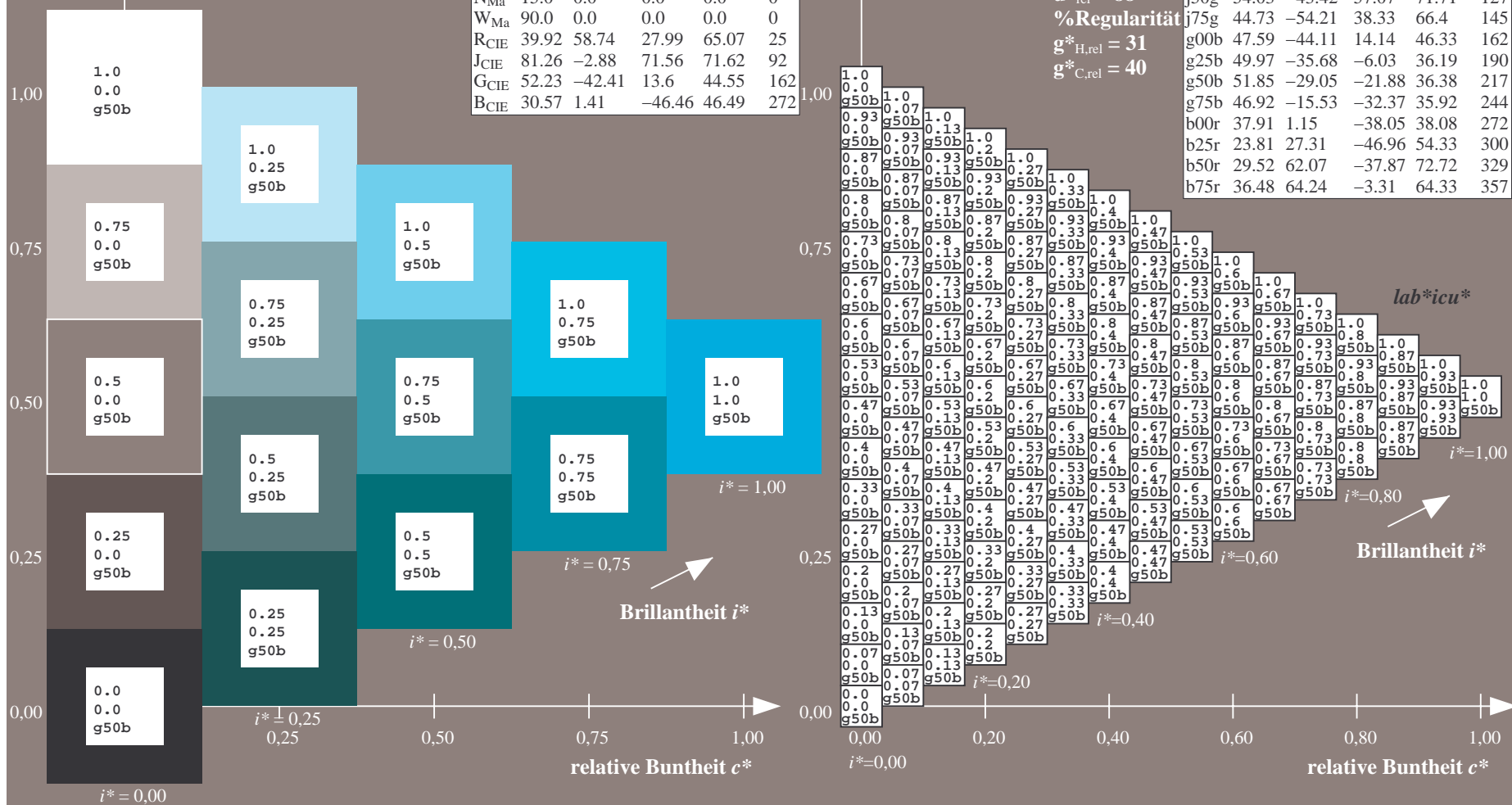
$u^*_{rel} = 88$

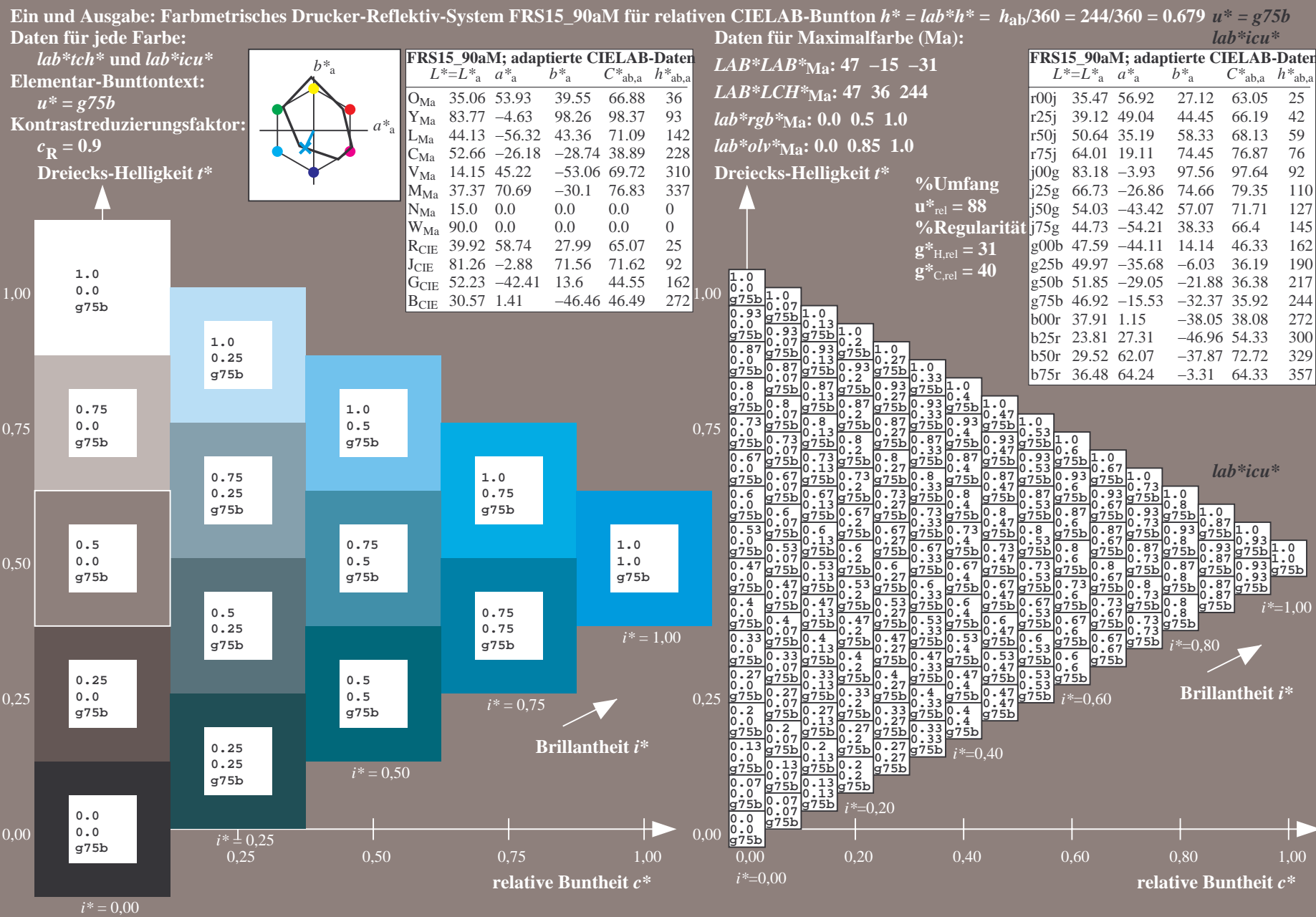
%Regularität

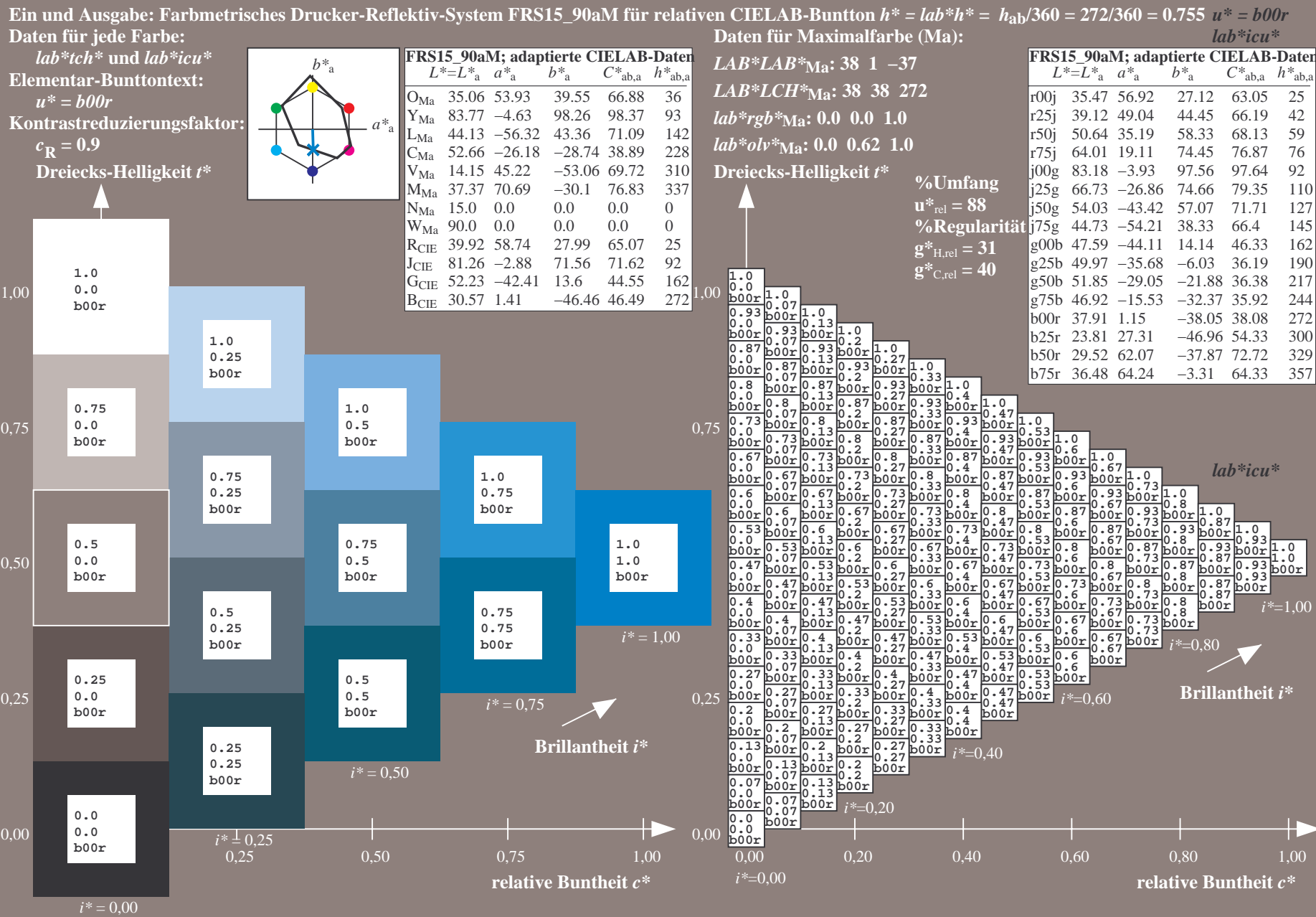
$g^*_{H,rel} = 31$

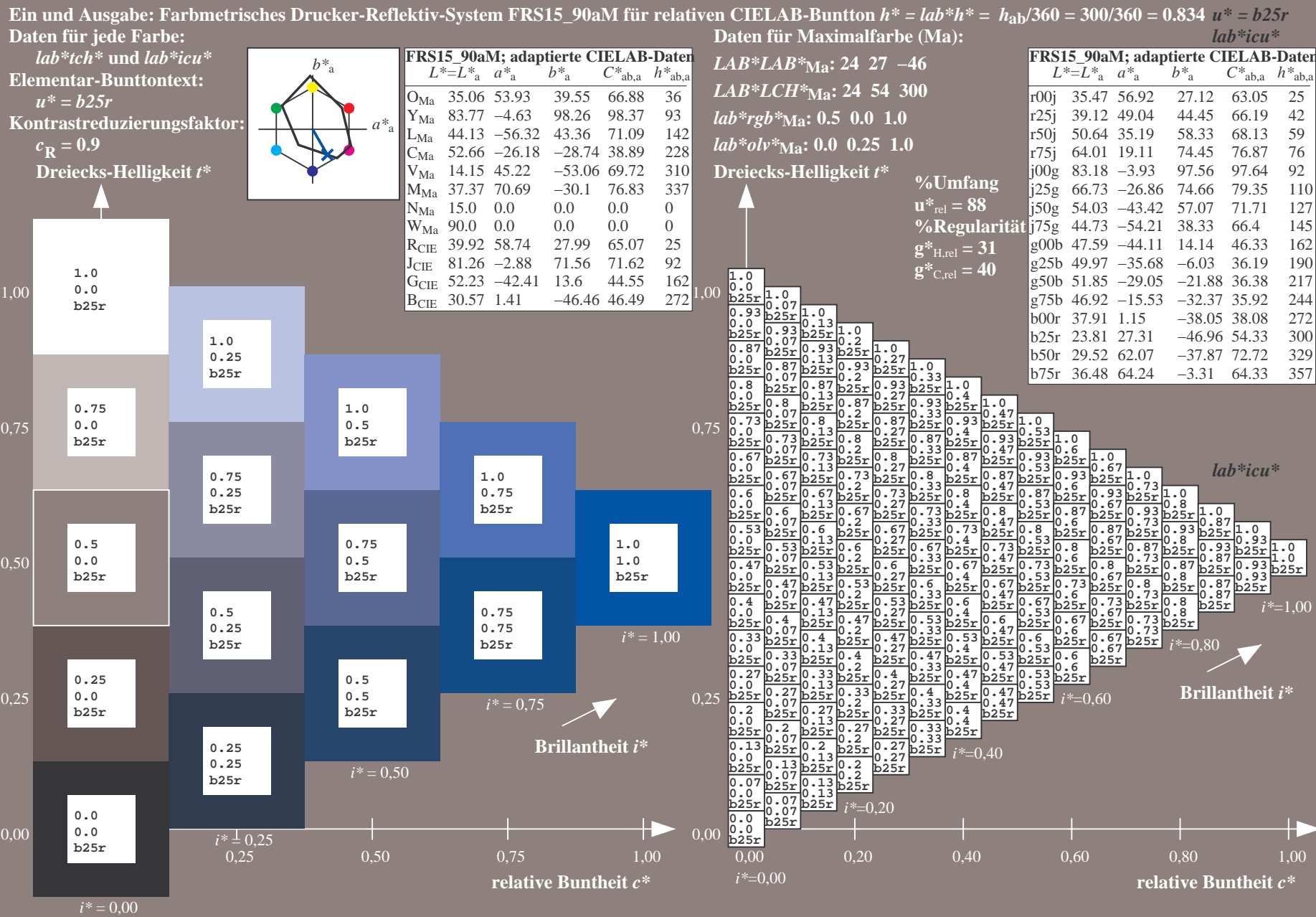
$g^*_{C,rel} = 40$

FRS15_90aM; adaptierte CIELAB-Daten					
	$L^*=L^*_a$	a^*_a	b^*_a	$C^*_{ab,a}$	$h^*_{ab,a}$
r00j	35.47	56.92	27.12	63.05	25
r25j	39.12	49.04	44.45	66.19	42
r50j	50.64	35.19	58.33	68.13	59
r75j	64.01	19.11	74.45	76.87	76
j00g	83.18	-3.93	97.56	97.64	92
j25g	66.73	-26.86	74.66	79.35	110
j50g	54.03	-43.42	57.07	71.71	127
j75g	44.73	-54.21	38.33	66.4	145
g00b	47.59	-44.11	14.14	46.33	162
g25b	49.97	-35.68	-6.03	36.19	190
g50b	51.85	-29.05	-21.88	36.38	217
g75b	46.92	-15.53	-32.37	35.92	244
b00r	37.91	1.15	-38.05	38.08	272
b25r	23.81	27.31	-46.96	54.33	300
b50r	29.52	62.07	-37.87	72.72	329
b75r	36.48	64.24	-3.31	64.33	357

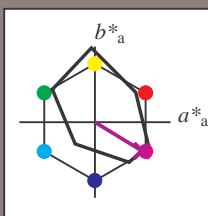








Ein und Ausgabe: Farbmetrisches Drucker-Reflektiv-System FRS15_90aM für relativen CIELAB-Buntton $h^* = lab^*h^* = h_{ab}/360 = 329/360 = 0.913$ $u^* = b50r$
Daten für jede Farbe:
 lab^*ch^* und lab^*icu^*
Elementar-Bunttontext:
 $u^* = b50r$
Kontrastreduzierungsfaktor:
 $c_R = 0.9$
Dreiecks-Helligkeit t^*



FRS15_90aM; adaptierte CIELAB-Daten					
	$L^*=L_a^*$	a_a^*	b_a^*	$C_{ab,a}^*$	$h_{ab,a}^*$
O _{Ma}	35.06	53.93	39.55	66.88	36
Y _{Ma}	83.77	-4.63	98.26	98.37	93
L _{Ma}	44.13	-56.32	43.36	71.09	142
C _{Ma}	52.66	-26.18	-28.74	38.89	228
V _{Ma}	14.15	45.22	-53.06	69.72	310
M _{Ma}	37.37	70.69	-30.1	76.83	337
N _{Ma}	15.0	0.0	0.0	0.0	0
W _{Ma}	90.0	0.0	0.0	0.0	0
R _{CIE}	39.92	58.74	27.99	65.07	25
J _{CIE}	81.26	-2.88	71.56	71.62	92
G _{CIE}	52.23	-42.41	13.6	44.55	162
B _{CIE}	30.57	1.41	-46.46	46.49	272

Daten für Maximalfarbe (Ma):

$LAB^*LAB^*_{Ma}$: 30 62 -37

$LAB^*LCH^*_{Ma}$: 30 73 329

$lab^*rgb^*_{Ma}$: 1.0 0.0 1.0

$lab^*olv^*_{Ma}$: 0.66 0.0 1.0

Dreiecks-Helligkeit t^*

%Umfang

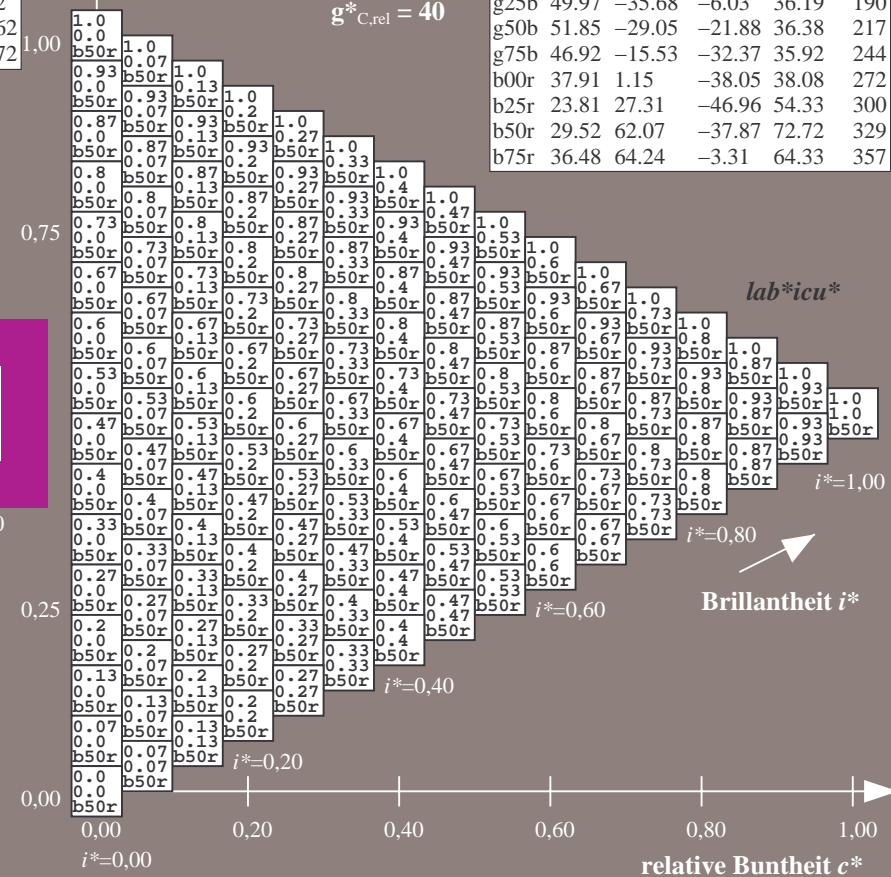
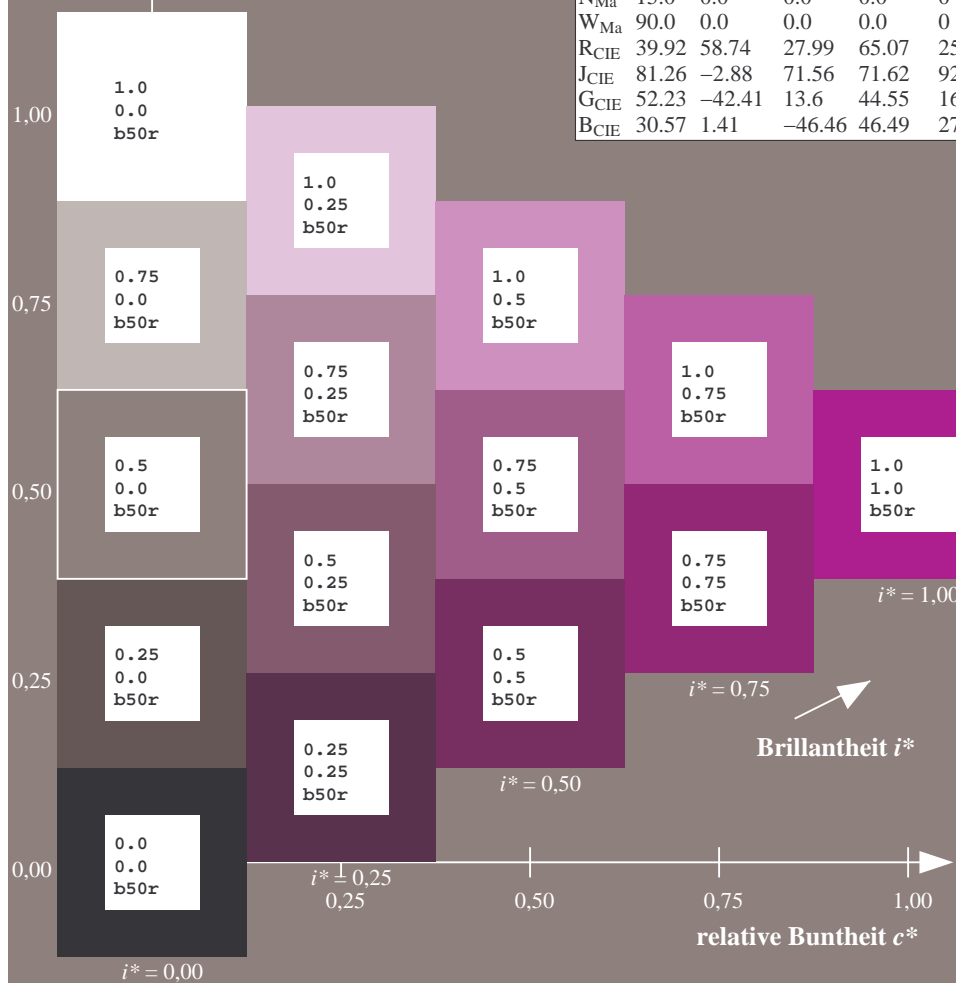
$u^*_{rel} = 88$

%Regularität

$g^*_{H,rel} = 31$

$g^*_{C,rel} = 40$

FRS15_90aM; adaptierte CIELAB-Daten					
	$L^*=L_a^*$	a_a^*	b_a^*	$C_{ab,a}^*$	$h_{ab,a}^*$
r00j	35.47	56.92	27.12	63.05	25
r25j	39.12	49.04	44.45	66.19	42
r50j	50.64	35.19	58.33	68.13	59
r75j	64.01	19.11	74.45	76.87	76
j00g	83.18	-3.93	97.56	97.64	92
j25g	66.73	-26.86	74.66	79.35	110
j50g	54.03	-43.42	57.07	71.71	127
j75g	44.73	-54.21	38.33	66.4	145
g00b	47.59	-44.11	14.14	46.33	162
g25b	49.97	-35.68	-6.03	36.19	190
g50b	51.85	-29.05	-21.88	36.38	217
g75b	46.92	-15.53	-32.37	35.92	244
b00r	37.91	1.15	-38.05	38.08	272
b25r	23.81	27.31	-46.96	54.33	300
b50r	29.52	62.07	-37.87	72.72	329
b75r	36.48	64.24	-3.31	64.33	357



▲



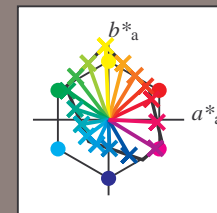


Siehe ähnliche Dateien: <http://www.ps.bam.de/Dg93/>; www.ps.bam.de/Dg93/10L/L93G00NA.PS/.TXT
Technische Information: [http://www.ps.bam.de/Version 2.1, io=1,1, ColSpX=0](http://www.ps.bam.de/Version%202.1,%20io=1,1,ColSpX=0)

	A	B	C	D	E	F	G	H	I	J	K	L	M	N	O	P	Q	R	S	T	U	V	W	X	Y	Z	a	b	c	d	e	f	g	h	i	j	k	lab*icu*			
01	0.0	0.13	0.25	0.38	0.5	0.63	0.75	0.88	1.0	0.13	0.13	0.25	0.38	0.5	0.63	0.75	0.88	1.0	0.25	0.25	0.25	0.38	0.5	0.63	0.75	0.88	1.0	1.0	1.0	1.0	1.0	1.0	1.0	1.0	1.0	1.0	0.0	0.0	0.0	0.0	
	b10r	l70g	l70g	l70g	l70g	l70g	l70g	l70g	l70g	r15j	l10g	l29g	l42g	l49g	l53g	l56g	l58g	l60g	r15j	r66j	l10g	l18g	l29g	l37g	l42g	l46g	l49g	b10r	r15j	r15j	r15j	r15j	r15j	r15j	r15j	r15j	r15j	b10r	b10r	b10r	b10r
02	0.13	0.13	0.25	0.38	0.5	0.63	0.75	0.88	1.0	0.13	0.13	0.25	0.38	0.5	0.63	0.75	0.88	1.0	0.25	0.25	0.25	0.38	0.5	0.63	0.75	0.88	1.0	1.0	0.88	0.88	0.88	0.88	0.88	0.88	0.88	0.88	0.88	0.13	0.13	0.13	0.13
	b33r	g59b	g06b	l92g	l85g	l81g	l79g	l78g	l77g	b56r	b10r	l70g	l70g	l70g	l70g	l70g	l70g	l70g	b10r	r15j	l10g	l29g	l42g	l49g	l53g	l56g	l58g	g59b	b10r	r15j	r15j	r15j	r15j	r15j	r15j	r15j	r15j	b10r	b10r	b10r	b10r
03	0.25	0.25	0.25	0.38	0.5	0.63	0.75	0.88	1.0	0.25	0.25	0.25	0.38	0.5	0.63	0.75	0.88	1.0	0.25	0.25	0.25	0.38	0.5	0.63	0.75	0.88	1.0	1.0	0.88	0.75	0.75	0.75	0.75	0.75	0.75	0.75	0.25	0.25	0.25	0.25	
	b33r	b33r	l22g	l37g	l37g	l37g	l37g	l37g	l37g	l37g	l37g	l37g	l37g	l37g	l37g	l37g	l37g	l37g	l37g	l37g	l37g	l37g	l37g	l37g	l37g	l37g	l37g	l37g	l37g	l37g	l37g	l37g	l37g	l37g	l37g	l37g	l37g	l37g	l37g	l37g	l37g
04	0.38	0.38	0.38	0.38	0.5	0.63	0.75	0.88	1.0	0.38	0.38	0.38	0.38	0.5	0.63	0.75	0.88	1.0	0.38	0.38	0.38	0.38	0.5	0.63	0.75	0.88	1.0	1.0	0.88	0.75	0.63	0.63	0.63	0.63	0.63	0.63	0.38	0.38	0.38	0.38	
	b33r	b20r	g94b	g59b	g32b	l15b	l06b	l01b	l95g	b41r	b33r	b20r	g94b	g59b	g32b	l15b	l06b	l01b	l95g	b41r	b33r	b20r	g94b	g59b	g32b	l15b	l06b	l01b	l95g	g59b	g59b	g59b	b10r	r15j	r15j	r15j	r15j	b10r	b10r	b10r	b10r
05	0.5	0.5	0.5	0.5	0.5	0.63	0.75	0.88	1.0	0.5	0.5	0.5	0.5	0.5	0.63	0.75	0.88	1.0	0.5	0.5	0.5	0.5	0.5	0.63	0.75	0.88	1.0	1.0	0.88	0.75	0.63	0.5	0.5	0.5	0.5	0.5	0.5	0.5	0.5		
	b33r	b24r	b09r	g85b	g59b	g37b	g22b	g13b	g06b	b39r	b33r	b20r	g94b	g59b	g32b	l15b	g06b	g01b	b45r	b41r	b33r	b09r	g59b	g22b	g06b	l98g	l92g	g59b	g59b	g59b	g59b	b10r	r15j	r15j	r15j	r15j	b10r	b10r	b10r	b10r	
06	0.63	0.63	0.63	0.63	0.63	0.63	0.75	0.88	1.0	0.63	0.63	0.63	0.63	0.63	0.63	0.75	0.88	1.0	0.63	0.63	0.63	0.63	0.63	0.63	0.63	0.63	0.63	0.63	0.63	0.63	0.63	0.5	0.38	0.38	0.38	0.63	0.63	0.63	0.63		
	b33r	b26r	b16r	b02r	g62r	g62r	g62r	g71b	g81b	b38r	b33r	b24r	b09r	g85b	g59b	g37b	g22b	l13b	b43r	b39r	b33r	b20r	g94b	g59b	g32b	l15b	g06b	g59b	g59b	g59b	g59b	b10r	r15j	r15j	r15j	r15j	b10r	b10r	b10r	b10r	
07	0.75	0.75	0.75	0.75	0.75	0.75	0.75	0.88	1.0	0.75	0.75	0.75	0.75	0.75	0.75	0.75	0.88	1.0	0.75	0.75	0.75	0.75	0.75	0.75	0.75	0.75	0.75	0.75	0.75	0.75	0.75	0.75	0.75	0.75	0.75	0.75	0.75	0.75	0.75		
	b33r	b28r	b20r	b09r	g94b	g76b	g59b	g44b	g32b	b37r	b33r	b26r	b16r	b01r	l79b	g59b	g41b	g27b	b41r	b38r	b33r	b24r	b09r	g85b	g59b	g37b	g22b	g59b	g59b	g59b	g59b	g59b	g59b	b10r	r15j	r15j	r15j	b10r	b10r	b10r	b10r
08	0.88	0.88	0.88	0.88	0.88	0.88	0.88	0.88	1.0	0.88	0.88	0.88	0.88	0.88	0.88	0.88	0.88	1.0	0.88	0.88	0.88	0.88	0.88	0.88	0.88	0.88	0.88	0.88	0.88	0.88	0.88	0.88	0.88	0.88	0.88	0.88	0.88	0.88	0.88		
	b33r	b29r	b23r	b14r	b04r	g89b	g73b	g59b	g46b	b37r	b33r	b28r	b20r	b09r	g94b	g76b	g59b	g44b	b40r	b37r	b33r	b26r	b16r	b01r	g79b	g59b	g41b	g59b	g59b	g59b	g59b	g59b	g59b	g59b	b10r	r15j	b10r	b10r	b10r	b10r	
09	1.0	1.0	1.0	1.0	1.0	1.0	1.0	1.0	1.0	1.0	1.0	1.0	1.0	1.0	1.0	1.0	1.0	1.0	1.0	1.0	1.0	1.0	1.0	1.0	1.0	1.0	1.0	1.0	1.0	1.0	1.0	1.0	1.0	1.0	1.0	1.0	1.0	1.0	1.0		
	b33r	b29r	b24r	b18r	b09r	g98b	g85b	g71b	g59b	b36r	b33r	b29r	b23r	b14r	b04r	g89b	g73b	g59b	b33r	b37r	b33r	b28r	b20r	b09r	g94b	g76b	g59b	g59b	g59b	g59b	g59b	g59b	g59b	g59b	b10r	b10r	b10r	b10r	b10r	b10r	
10	0.38	0.38	0.38	0.38	0.5	0.63	0.75	0.88	1.0	0.38	0.38	0.38	0.38	0.5	0.63	0.75	0.88	1.0	0.63	0.63	0.63	0.63	0.63	0.63	0.63	0.63	0.63	0.63	0.63	0.63	0.63	0.63	0.63	0.63	0.63	0.63	0.63	0.63	0.63	0.63	
	r15j	r50j	r79j	l10g	l13g	l22g	l29g	l35g	l39g	r15j	r42j	r66j	r85j	l00g	l10g	l18g	l24g	l29g	l35g	r15j	r37j	r57j	r74j	r88j	l00g	l08g	l15g	l21g	b10r	l00g	l00g	l00g	l00g	l00g	l00g	l00g	l00g	l00g	l00g	l00g	
11	0.38	0.38	0.38	0.38	0.5	0.63	0.75	0.88	1.0	0.5	0.5	0.5	0.5	0.5	0.63	0.75	0.88	1.0	0.63	0.63	0.63	0.63	0.63	0.63	0.63	0.63	0.63	0.63	0.63	0.63	0.63	0.63	0.63	0.63	0.63	0.63	0.63	0.63	0.63		
	b90r	r15j	r66j	l00g	l18g	l29g	l37g	l42g	l46g	b94r	r15j	r50j	r79j	l00g	l13g	l22g	l29g	l35g	b97r	r15j	r42j	r66j	r85j	l00g	l10g	l18g	l24g	b33r	b10r	l00g	l00g	l00g	l00g	l00g	l00g	l00g	l00g	l00g	l00g	l00g	
12	0.38	0.38	0.38	0.38	0.5	0.63	0.75	0.88	1.0	0.5	0.5	0.5	0.5	0.5	0.63	0.75	0.88	1.0	0.63	0.63	0.63	0.63	0.63	0.63	0.63	0.63	0.63	0.63	0.63	0.63	0.63	0.63	0.63	0.63	0.63	0.63	0.63	0.63	0.63		
	b71r	b80r	r15j	l00g	l29g	l42g	l49g	l53g	l56g	b80r	b90r	r15j	r66j	l00g	l18g	l29g	l37g	l42g	b86r	b94r	r15j	r50j	r79j	l00g	l13g	l22g	l29g	b33r	b33r	b10r	l00g	l00g	l00g	l00g	l00g	l00g	l00g	l00g	l00g	l00g	
13	0.38	0.38	0.38	0.38	0.5	0.63	0.75	0.88	1.0	0.5	0.5	0.5	0.5	0.5	0.63	0.75	0.88	1.0	0.63	0.63	0.63	0.63	0.63	0.63	0.63	0.63	0.63	0.63	0.63	0.63	0.63	0.63	0.63	0.63	0.63	0.63	0.63	0.63	0.63		
	b56r	b56r	b56r	b10r	l70g	l70g	l70g	l70g	l70g	b67r	b71r	b80r	r15j	l00g	l29g	l42g	l49g	l53g	b57r	b80r	b90r	r15j	r66j	l00g	l18g	l29g	l37g	b33r	b33r	b33r	b10r	l00g	l00g	l00g	l00g	l00g	l00g	l00g	l00g	l00g	
14	0.5	0.5	0.5	0.5	0.5	0.63	0.75	0.88	1.0	0.5	0.5	0.5	0.5	0.5	0.63	0.75	0.88	1.0	0.63	0.63	0.63	0.63	0.63	0.63	0.63	0.63	0.63	0.63	0.63	0.63	0.63	0.63	0.63	0.63	0.63	0.63	0.63	0.63	0.63		
	b51r	b49r	b45r	b33r	g59b	g06b	l92g	l85g	l81g	b56r	b56r	b56r	b56r	b10r	l70g	l70g	l70g	l70g	b65r	b67r	b71r	b80r	r15j	l00g	l29g	l42g	l49g	b33r	b33r	b33r	b33r	b10r	l00g	l00g	l00g	l00g	l00g	l00g	l00g	l00g	
15	0.63	0.63	0.63	0.63	0.63	0.63	0.75	0.88	1.0	0.63	0.63	0.63	0.63	0.63	0.63	0.75	0.88	1.0	0.63	0.63	0.63	0.63	0.63	0.63	0.63	0.63	0.63	0.63	0.63	0.63	0.63	0.63	0.63	0.63	0.63	0.63	0.63	0.63	0.63		
	b48r	b45r	b13r	b33r	l20r	l25r	l25r	l38r	l50r	b62r	b51r	b49r	b45r	b33r	g59b	g06b	l92g	l85g	b62r	b56r	b56r	b56r	b56r	b10r	l70g	l70g	l70g	b33r	b33r	b33r	b33r	b33r	b33r	b33r	b33r	b33r	b33r	b33r	b33r	b33r	
16	0.75	0.75	0.75	0.75	0.75	0.75	0.75	0.88	1.0	0.75	0.75	0.75	0.75	0.75	0.75	0.75	0.88	1.0	0.75	0.75	0.75	0.75	0.75	0.75	0.75	0.75	0.75	0.75	0.75	0.75	0.75	0.75	0.75	0.75	0.75	0.75	0.75	0.75	0.75		
	b45r	b43r	b39r	b33r	b20r	g94b	g59b	g32b	l15b	b48r	b45r	b35r	b20r	g94b	g59b	g32b	l15b	g07b	b33r	b56r	b51r	b49r	b45r	b33r	g59b	g06b	l92g	b33r	b33r	b33r	b33r	b33r	b33r	b33r	b33r	b33r	b33r	b33r	b33r	b33r	
17	0.88	0.88	0.88	0.88	0.88	0.88	0.88	0.88	1.0	0.88	0.88	0.88	0.88	0.88	0.88	0.88	0.88	1.0	0.88	0.88	0.88	0.88	0.88	0.88	0.88	0.88															

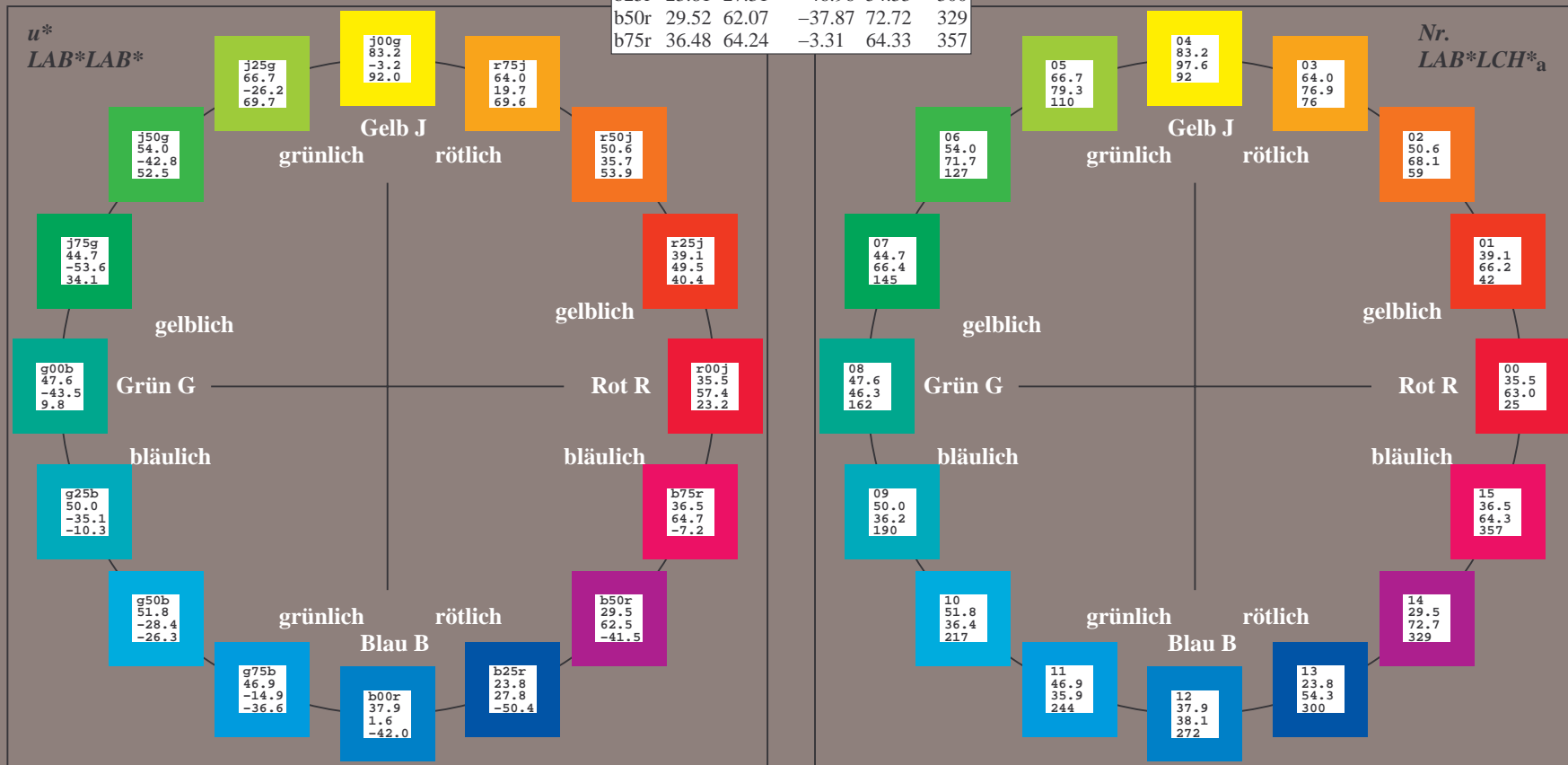
Ein und Ausgabe:
Farbmetrisches Drucker-Reflektiv-System FRS15_90aM
Daten für jede Farbe:
*lab*_{rch}** und *lab*_{icu}**
Elementar-Bunttontext:
*u** = 16 Buntttöne *r00j*, *r25j*, ..., *b75r*
Kontrastreduzierungsfaktor:
c_R = 0.9

FRS15_90aM; adaptierte CIELAB-Daten					
	<i>L*</i> = <i>L*</i> _a	<i>a*</i> _a	<i>b*</i> _a	<i>C*</i> _{ab,a}	<i>h*</i> _{ab,a}
r00j	35.47	56.92	27.12	63.05	25
r25j	39.12	49.04	44.45	66.19	42
r50j	50.64	35.19	58.33	68.13	59
r75j	64.01	19.11	74.45	76.87	76
j00g	83.18	-3.93	97.56	97.64	92
j25g	66.73	-26.86	74.66	79.35	110
j50g	54.03	-43.42	57.07	71.71	127
j75g	44.73	-54.21	38.33	66.4	145
g00b	47.59	-44.11	14.14	46.33	162
g25b	49.97	-35.68	-6.03	36.19	190
g50b	51.85	-29.05	-21.88	36.38	217
g75b	46.92	-15.53	-32.37	35.92	244
b00r	37.91	1.15	-38.05	38.08	272
b25r	23.81	27.31	-46.96	54.33	300
b50r	29.52	62.07	-37.87	72.72	329
b75r	36.48	64.24	-3.31	64.33	357



%Umfang
*u**_{rel} = 88
%Regularität
*g**_{H,rel} = 31
*g**_{C,rel} = 40

FRS15_90M; CIELAB-Daten					
	<i>L*</i> = <i>L*</i>	<i>a*</i>	<i>b*</i>	<i>C*</i> _{ab}	<i>h*</i> _{ab}
O _M	35.06	54.41	35.65	65.05	33
Y _M	83.77	-4.03	92.72	92.8	92
L _M	44.13	-55.82	39.15	68.19	145
C _M	52.66	-25.66	-33.24	42.01	232
V _M	14.15	45.64	-56.26	72.45	309
M _M	37.37	71.17	-34.08	78.92	334
N _M	15.0	0.43	-3.22	3.26	278
W _M	90.0	0.62	-5.75	5.79	276
R _{CIE}	39.92	58.74	27.99	65.07	25
J _{CIE}	81.26	-2.88	71.56	71.62	92
G _{CIE}	52.23	-42.41	13.6	44.55	162
B _{CIE}	30.57	1.41	-46.46	46.49	272



Ein und Ausgabe: Farbmetrisches Drucker-Reflektiv-System FRS15_90aM für relativen CIELAB-Buntton $h^* = lab^*h^* = h_{ab}/360 = 25/360 = 0.071$ $u^* = r00j$

Daten für jede Farbe:

lab^*tch^* und lab^*icu^*

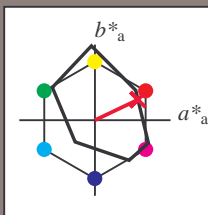
Elementar-Bunttontext:

$u^* = r00j$

Kontrastreduzierungsfaktor:

$c_R = 0.9$

Dreiecks-Helligkeit t^*



FRS15_90M; CIELAB-Daten					
	$L^*=L^*$	a^*	b^*	C^*_{ab}	h^*_{ab}
O _M	35.06	54.41	35.65	65.05	33
Y _M	83.77	-4.03	92.72	92.8	92
L _M	44.13	-55.82	39.15	68.19	145
C _M	52.66	-25.66	-33.24	42.01	232
V _M	14.15	45.64	-56.26	72.45	309
M _M	37.37	71.17	-34.08	78.92	334
N _M	15.0	0.43	-3.22	3.26	278
W _M	90.0	0.62	-5.75	5.79	276
R _{CIE}	39.92	58.74	27.99	65.07	25
J _{CIE}	81.26	-2.88	71.56	71.62	92
G _{CIE}	52.23	-42.41	13.6	44.55	162
B _{CIE}	30.57	1.41	-46.46	46.49	272

Daten für Maximalfarbe (Ma):

$LAB^*LAB^*_{Ma}$: 35 57 27

$LAB^*LCH^*_{Ma}$: 35 63 25

$lab^*rgb^*_{Ma}$: 1.0 0.0 0.0

$lab^*olv^*_{Ma}$: 1.0 0.0 0.18

Dreiecks-Helligkeit t^*

%Umfang

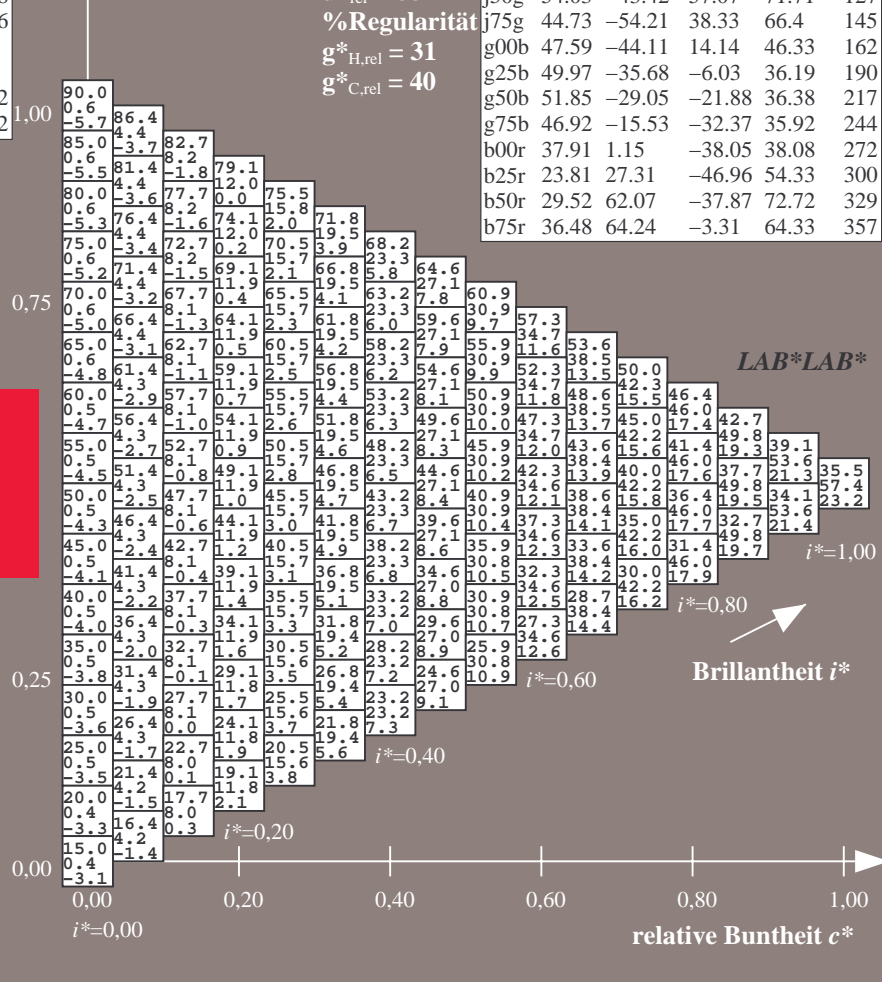
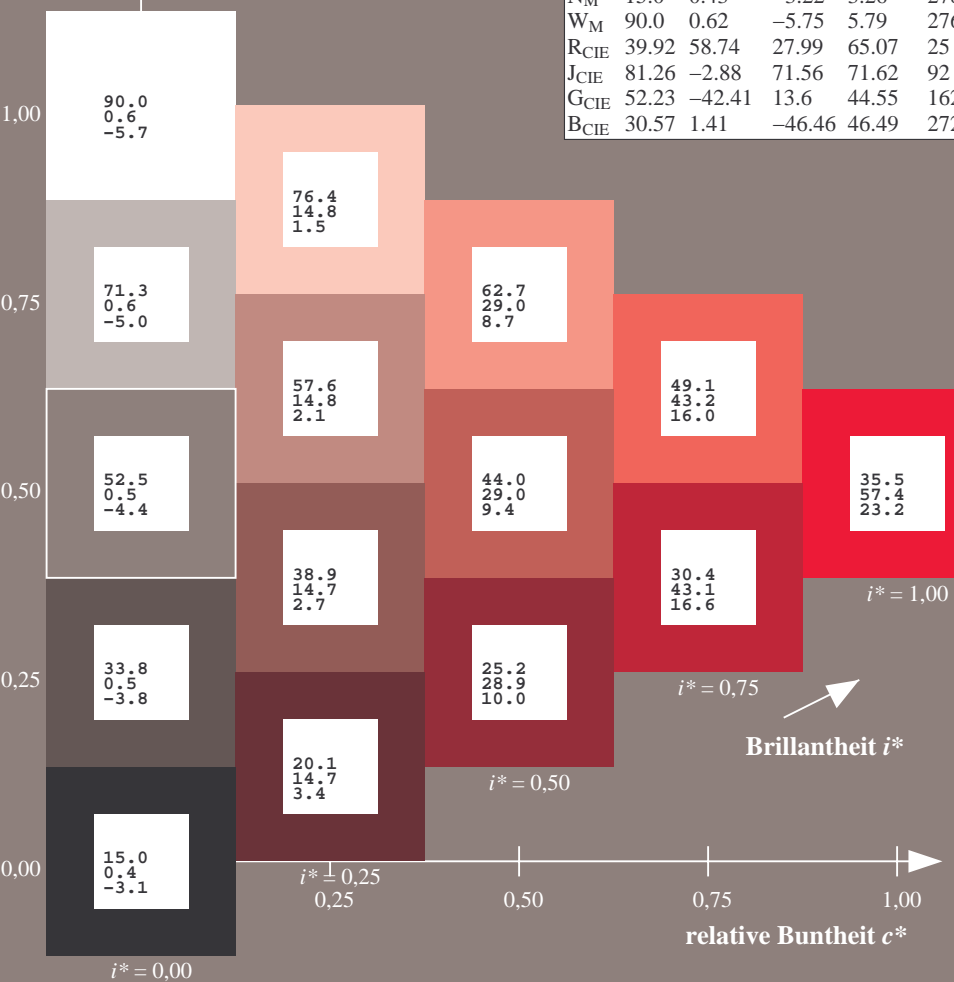
$u^*_{rel} = 88$

%Regularität

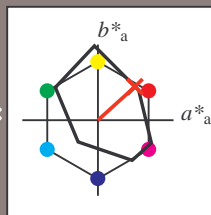
$g^*_{H,rel} = 31$

$g^*_{C,rel} = 40$

FRS15_90aM; adaptierte CIELAB-Daten					
	$L^*=L^*_a$	a^*_a	b^*_a	$C^*_{ab,a}$	$h^*_{ab,a}$
r00j	35.47	56.92	27.12	63.05	25
r25j	39.12	49.04	44.45	66.19	42
r50j	50.64	35.19	58.33	68.13	59
r75j	64.01	19.11	74.45	76.87	76
j00g	83.18	-3.93	97.56	97.64	92
j25g	66.73	-26.86	74.66	79.35	110
j50g	54.03	-43.42	57.07	71.71	127
j75g	44.73	-54.21	38.33	66.4	145
g00b	47.59	-44.11	14.14	46.33	162
g25b	49.97	-35.68	-6.03	36.19	190
g50b	51.85	-29.05	-21.88	36.38	217
g75b	46.92	-15.53	-32.37	35.92	244
b00r	37.91	1.15	-38.05	38.08	272
b25r	23.81	27.31	-46.96	54.33	300
b50r	29.52	62.07	-37.87	72.72	329
b75r	36.48	64.24	-3.31	64.33	357



Ein und Ausgabe: Farbmetrisches Drucker-Reflektiv-System FRS15_90aM für relativen CIELAB-Buntton $h^* = lab^*h^* = h_{ab}/360 = 42/360 = 0.117$ $u^* = r25j$
Daten für jede Farbe:
 lab^*tch^* und lab^*icu^*
Elementar-Bunttontext:
 $u^* = r25j$
Kontrastreduzierungsfaktor:
 $c_R = 0.9$
Dreiecks-Helligkeit t^*



FRS15_90M; CIELAB-Daten					
	$L^*=L^*$	a^*	b^*	C^*_{ab}	h^*_{ab}
O _M	35.06	54.41	35.65	65.05	33
Y _M	83.77	-4.03	92.72	92.8	92
L _M	44.13	-55.82	39.15	68.19	145
C _M	52.66	-25.66	-33.24	42.01	232
V _M	14.15	45.64	-56.26	72.45	309
M _M	37.37	71.17	-34.08	78.92	334
N _M	15.0	0.43	-3.22	3.26	278
W _M	90.0	0.62	-5.75	5.79	276
R _{CIE}	39.92	58.74	27.99	65.07	25
J _{CIE}	81.26	-2.88	71.56	71.62	92
G _{CIE}	52.23	-42.41	13.6	44.55	162
B _{CIE}	30.57	1.41	-46.46	46.49	272

Daten für Maximalfarbe (Ma):

$LAB^*LAB^*_{Ma}$: 39 49 44

$LAB^*LCH^*_{Ma}$: 39 66 42

$lab^*rgb^*_{Ma}$: 1.0 0.25 0.0

$lab^*olv^*_{Ma}$: 1.0 0.08 0.0

Dreiecks-Helligkeit t^*

%Umfang

$u^*_{rel} = 88$

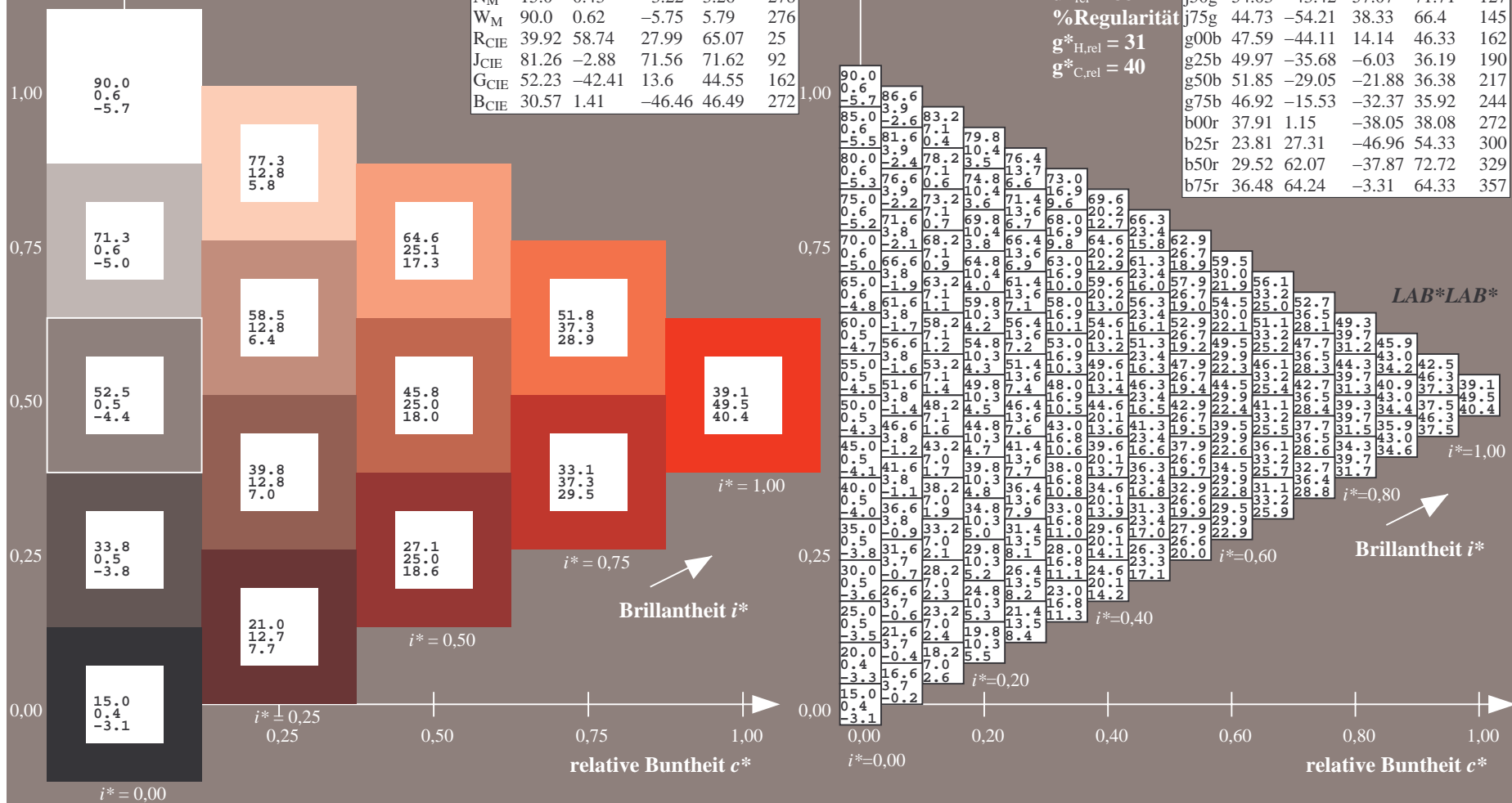
%Regularität

$g^*_{H,rel} = 31$

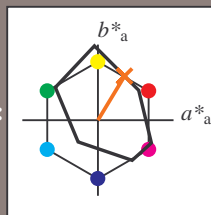
$g^*_{C,rel} = 40$

FRS15_90aM; adaptierte CIELAB-Daten

	$L^*=L^*_a$	a^*_a	b^*_a	$C^*_{ab,a}$	$h^*_{ab,a}$
r00j	35.47	56.92	27.12	63.05	25
r25j	39.12	49.04	44.45	66.19	42
r50j	50.64	35.19	58.33	68.13	59
r75j	64.01	19.11	74.45	76.87	76
j00g	83.18	-3.93	97.56	97.64	92
j25g	66.73	-26.86	74.66	79.35	110
j50g	54.03	-43.42	57.07	71.71	127
j75g	44.73	-54.21	38.33	66.4	145
g00b	47.59	-44.11	14.14	46.33	162
g25b	49.97	-35.68	-6.03	36.19	190
g50b	51.85	-29.05	-21.88	36.38	217
g75b	46.92	-15.53	-32.37	35.92	244
b00r	37.91	1.15	-38.05	38.08	272
b25r	23.81	27.31	-46.96	54.33	300
b50r	29.52	62.07	-37.87	72.72	329
b75r	36.48	64.24	-3.31	64.33	357



Ein und Ausgabe: Farbmetrisches Drucker-Reflektiv-System FRS15_90aM für relativen CIELAB-Buntton $h^* = lab^*h^* = h_{ab}/360 = 59/360 = 0.164$ $u^* = r50j$
Daten für jede Farbe:
 lab^*ch^* und lab^*icu^*
Elementar-Bunttontext:
 $u^* = r50j$
Kontrastreduzierungsfaktor:
 $c_R = 0.9$
Dreiecks-Helligkeit i^*



FRS15_90M; CIELAB-Daten					
	$L^*=L^*$	a^*	b^*	C^*_{ab}	h^*_{ab}
O _M	35.06	54.41	35.65	65.05	33
Y _M	83.77	-4.03	92.72	92.8	92
L _M	44.13	-55.82	39.15	68.19	145
C _M	52.66	-25.66	-33.24	42.01	232
V _M	14.15	45.64	-56.26	72.45	309
M _M	37.37	71.17	-34.08	78.92	334
N _M	15.0	0.43	-3.22	3.26	278
W _M	90.0	0.62	-5.75	5.79	276
R _{CIE}	39.92	58.74	27.99	65.07	25
J _{CIE}	81.26	-2.88	71.56	71.62	92
G _{CIE}	52.23	-42.41	13.6	44.55	162
B _{CIE}	30.57	1.41	-46.46	46.49	272

Daten für Maximalfarbe (Ma):

$LAB^*LAB^*_{Ma}$: 51 35 58

$LAB^*LCH^*_{Ma}$: 51 68 59

$lab^*rgb^*_{Ma}$: 1.0 0.5 0.0

$lab^*olv^*_{Ma}$: 1.0 0.32 0.0

Dreiecks-Helligkeit i^*

%Umfang

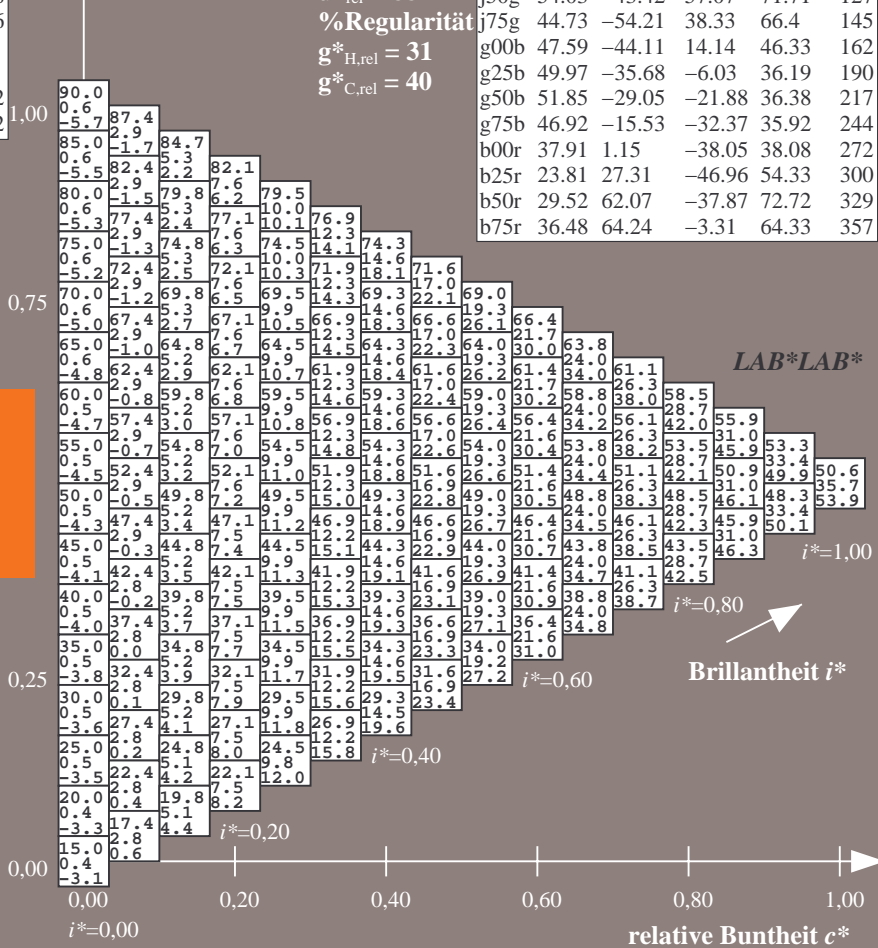
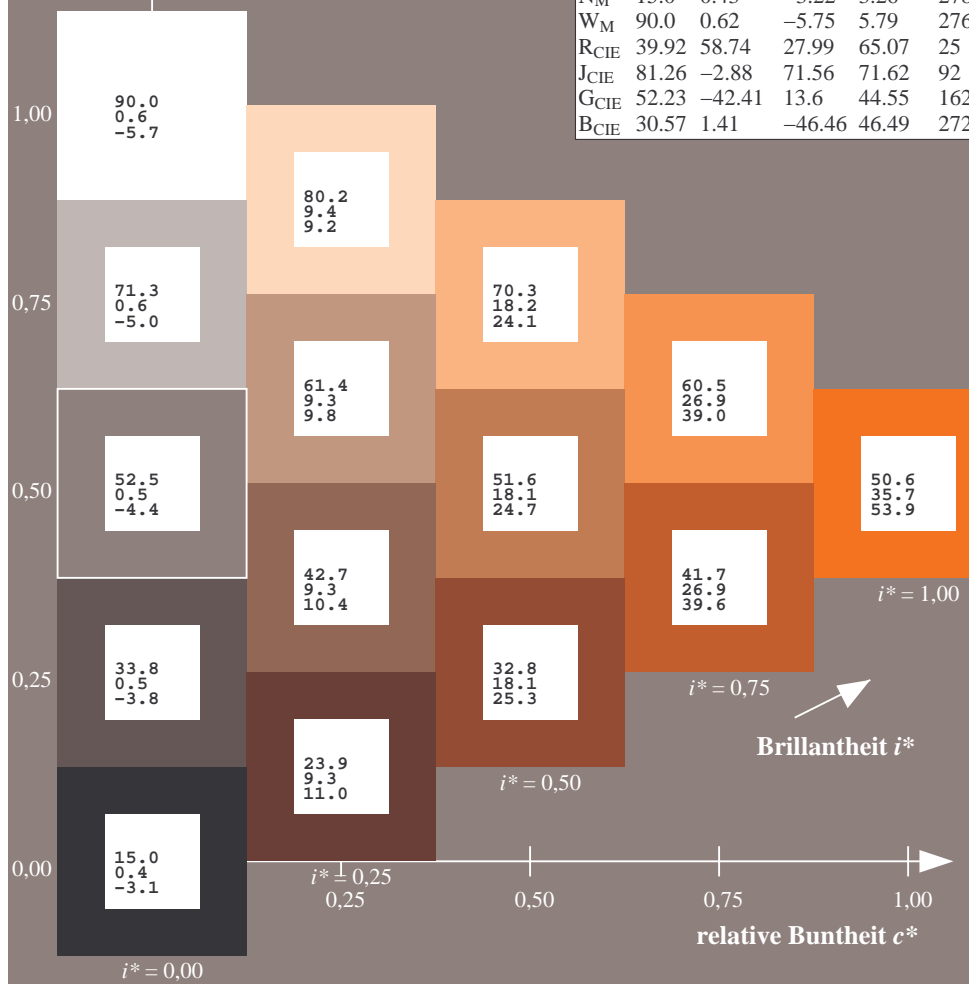
$u^*_{rel} = 88$

%Regularität

$g^*_{H,rel} = 31$

$g^*_{C,rel} = 40$

FRS15_90aM; adaptierte CIELAB-Daten					
	$L^*=L^*_a$	a^*_a	b^*_a	$C^*_{ab,a}$	$h^*_{ab,a}$
r00j	35.47	56.92	27.12	63.05	25
r25j	39.12	49.04	44.45	66.19	42
r50j	50.64	35.19	58.33	68.13	59
r75j	64.01	19.11	74.45	76.87	76
j00g	83.18	-3.93	97.56	97.64	92
j25g	66.73	-26.86	74.66	79.35	110
j50g	54.03	-43.42	57.07	71.71	127
j75g	44.73	-54.21	38.33	66.4	145
g00b	47.59	-44.11	14.14	46.33	162
g25b	49.97	-35.68	-6.03	36.19	190
g50b	51.85	-29.05	-21.88	36.38	217
g75b	46.92	-15.53	-32.37	35.92	244
b00r	37.91	1.15	-38.05	38.08	272
b25r	23.81	27.31	-46.96	54.33	300
b50r	29.52	62.07	-37.87	72.72	329
b75r	36.48	64.24	-3.31	64.33	357



Ein und Ausgabe: Farbmetrisches Drucker-Reflektiv-System FRS15_90aM für relativen CIELAB-Buntton $h^* = lab^*h^* = h_{ab}/360 = 76/360 = 0.21$ $u^* = r75j$

Daten für jede Farbe:

lab^*tch^* und lab^*icu^*

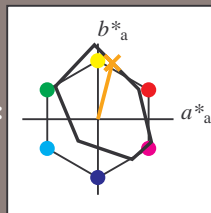
Elementar-Bunttontext:

$u^* = r75j$

Kontrastreduzierungsfaktor:

$c_R = 0.9$

Dreiecks-Helligkeit t^*



FRS15_90M; CIELAB-Daten					
	$L^*=L^*$	a^*	b^*	C^*_{ab}	h^*_{ab}
O _M	35.06	54.41	35.65	65.05	33
Y _M	83.77	-4.03	92.72	92.8	92
L _M	44.13	-55.82	39.15	68.19	145
C _M	52.66	-25.66	-33.24	42.01	232
V _M	14.15	45.64	-56.26	72.45	309
M _M	37.37	71.17	-34.08	78.92	334
N _M	15.0	0.43	-3.22	3.26	278
W _M	90.0	0.62	-5.75	5.79	276
R _{CIE}	39.92	58.74	27.99	65.07	25
J _{CIE}	81.26	-2.88	71.56	71.62	92
G _{CIE}	52.23	-42.41	13.6	44.55	162
B _{CIE}	30.57	1.41	-46.46	46.49	272

Daten für Maximalfarbe (Ma):

$LAB^*LAB^*_{Ma}$: 64 19 74

$LAB^*LCH^*_{Ma}$: 64 77 76

$lab^*rgb^*_{Ma}$: 1.0 0.75 0.0

$lab^*olv^*_{Ma}$: 1.0 0.59 0.0

Dreiecks-Helligkeit t^*

%Umfang

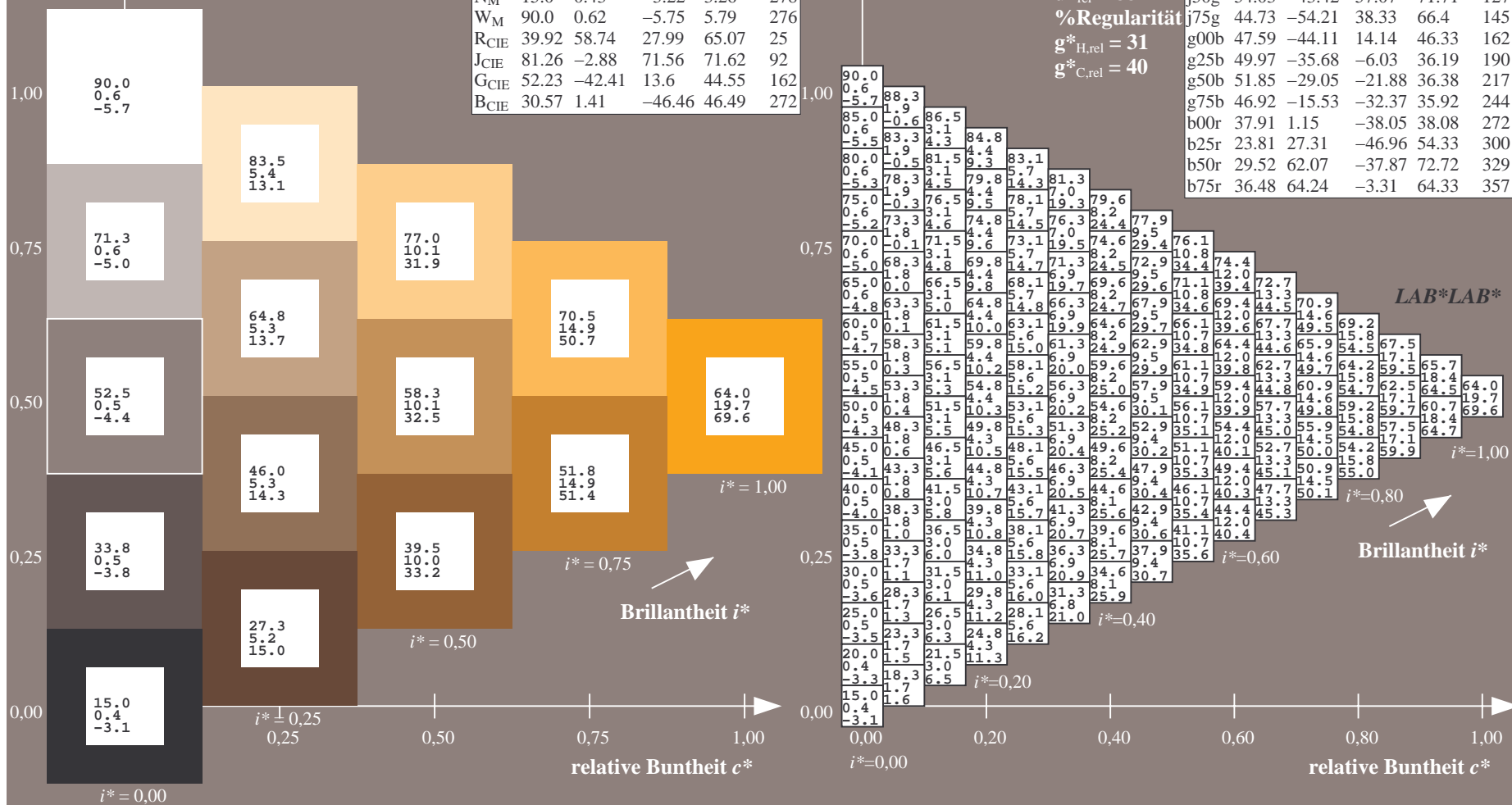
$u^*_{rel} = 88$

%Regularität

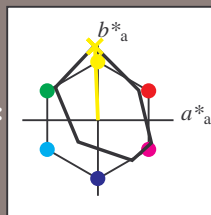
$g^*_{H,rel} = 31$

$g^*_{C,rel} = 40$

FRS15_90aM; adaptierte CIELAB-Daten					
	$L^*=L^*_a$	a^*_a	b^*_a	$C^*_{ab,a}$	$h^*_{ab,a}$
r00j	35.47	56.92	27.12	63.05	25
r25j	39.12	49.04	44.45	66.19	42
r50j	50.64	35.19	58.33	68.13	59
r75j	64.01	19.11	74.45	76.87	76
j00g	83.18	-3.93	97.56	97.64	92
j25g	66.73	-26.86	74.66	79.35	110
j50g	54.03	-43.42	57.07	71.71	127
j75g	44.73	-54.21	38.33	66.4	145
g00b	47.59	-44.11	14.14	46.33	162
g25b	49.97	-35.68	-6.03	36.19	190
g50b	51.85	-29.05	-21.88	36.38	217
g75b	46.92	-15.53	-32.37	35.92	244
b00r	37.91	1.15	-38.05	38.08	272
b25r	23.81	27.31	-46.96	54.33	300
b50r	29.52	62.07	-37.87	72.72	329
b75r	36.48	64.24	-3.31	64.33	357



Ein und Ausgabe: Farbmetrisches Drucker-Reflektiv-System FRS15_90aM für relativen CIELAB-Buntton $h^* = lab^*h^* = h_{ab}/360 = 92/360 = 0.256$ $u^* = j00g$
Daten für jede Farbe:
 lab^*ch^* und lab^*icu^*
Elementar-Bunttontext:
 $u^* = j00g$
Kontrastreduzierungsfaktor:
 $c_R = 0.9$
Dreiecks-Helligkeit i^*



FRS15_90M; CIELAB-Daten					
	$L^*=L^*$	a^*	b^*	C^*_{ab}	h^*_{ab}
O _M	35.06	54.41	35.65	65.05	33
Y _M	83.77	-4.03	92.72	92.8	92
L _M	44.13	-55.82	39.15	68.19	145
C _M	52.66	-25.66	-33.24	42.01	232
V _M	14.15	45.64	-56.26	72.45	309
M _M	37.37	71.17	-34.08	78.92	334
N _M	15.0	0.43	-3.22	3.26	278
W _M	90.0	0.62	-5.75	5.79	276
R _{CIE}	39.92	58.74	27.99	65.07	25
J _{CIE}	81.26	-2.88	71.56	71.62	92
G _{CIE}	52.23	-42.41	13.6	44.55	162
B _{CIE}	30.57	1.41	-46.46	46.49	272

Daten für Maximalfarbe (Ma):

$LAB^*LAB^*_{Ma}$: 83 -3 98

$LAB^*LCH^*_{Ma}$: 83 98 92

$lab^*rgb^*_{Ma}$: 1.0 1.0 0.0

$lab^*olv^*_{Ma}$: 1.0 0.99 0.0

Dreiecks-Helligkeit i^*

%Umfang

$u^*_{rel} = 88$

%Regularität

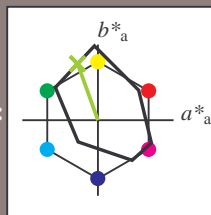
$g^*_{H,rel} = 31$

$g^*_{C,rel} = 40$

FRS15_90aM; adaptierte CIELAB-Daten

	$L^*=L^*_a$	a^*_a	b^*_a	$C^*_{ab,a}$	$h^*_{ab,a}$
r00j	35.47	56.92	27.12	63.05	25
r25j	39.12	49.04	44.45	66.19	42
r50j	50.64	35.19	58.33	68.13	59
r75j	64.01	19.11	74.45	76.87	76
j00g	83.18	-3.93	97.56	97.64	92
j25g	66.73	-26.86	74.66	79.35	110
j50g	54.03	-43.42	57.07	71.71	127
j75g	44.73	-54.21	38.33	66.4	145
g00b	47.59	-44.11	14.14	46.33	162
g25b	49.97	-35.68	-6.03	36.19	190
g50b	51.85	-29.05	-21.88	36.38	217
g75b	46.92	-15.53	-32.37	35.92	244
b00r	37.91	1.15	-38.05	38.08	272
b25r	23.81	27.31	-46.96	54.33	300
b50r	29.52	62.07	-37.87	72.72	329
b75r	36.48	64.24	-3.31	64.33	357

Ein und Ausgabe: Farbmetrisches Drucker-Reflektiv-System FRS15_90aM für relativen CIELAB-Buntton $h^* = lab^*h^* = h_{ab}/360 = 110/360 = 0.305$ $u^* = j25g$
Daten für jede Farbe:
 lab^*tch^* und lab^*icu^*
Elementar-Bunttontext:
 $u^* = j25g$
Kontrastreduzierungsfaktor:
 $c_R = 0.9$
Dreiecks-Helligkeit i^*



FRS15_90M; CIELAB-Daten					
	$L^*=L^*$	a^*	b^*	C^*_{ab}	h^*_{ab}
O _M	35.06	54.41	35.65	65.05	33
Y _M	83.77	-4.03	92.72	92.8	92
L _M	44.13	-55.82	39.15	68.19	145
C _M	52.66	-25.66	-33.24	42.01	232
V _M	14.15	45.64	-56.26	72.45	309
M _M	37.37	71.17	-34.08	78.92	334
N _M	15.0	0.43	-3.22	3.26	278
W _M	90.0	0.62	-5.75	5.79	276
R _{CIE}	39.92	58.74	27.99	65.07	25
J _{CIE}	81.26	-2.88	71.56	71.62	92
G _{CIE}	52.23	-42.41	13.6	44.55	162
B _{CIE}	30.57	1.41	-46.46	46.49	272

Daten für Maximalfarbe (Ma):

$LAB^*LAB^*_{Ma}$: 67 -26 75

$LAB^*LCH^*_{Ma}$: 67 79 110

$lab^*rgb^*_{Ma}$: 0.75 1.0 0.0

$lab^*olv^*_{Ma}$: 0.57 1.0 0.0

Dreiecks-Helligkeit i^*

%Umfang

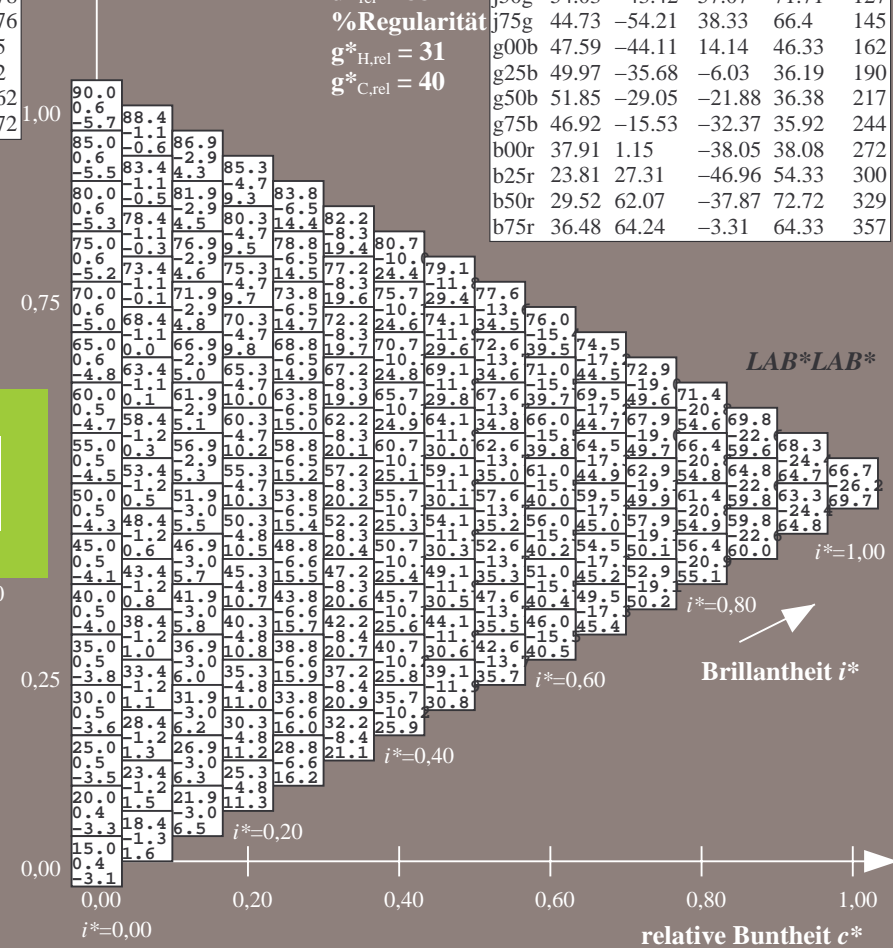
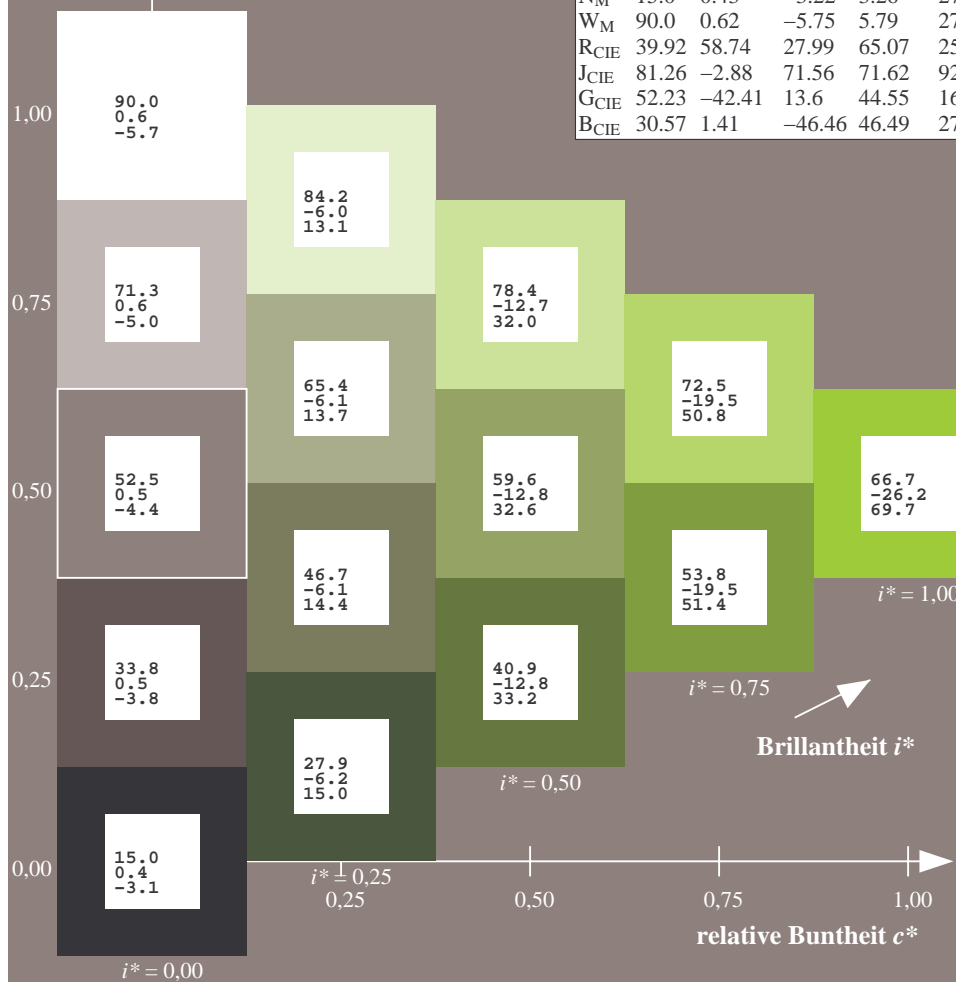
$u^*_{rel} = 88$

%Regularität

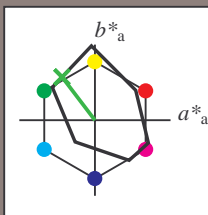
$g^*_{H,rel} = 31$

$g^*_{C,rel} = 40$

FRS15_90aM; adaptierte CIELAB-Daten					
	$L^*=L^*_a$	a^*_a	b^*_a	$C^*_{ab,a}$	$h^*_{ab,a}$
r00j	35.47	56.92	27.12	63.05	25
r25j	39.12	49.04	44.45	66.19	42
r50j	50.64	35.19	58.33	68.13	59
r75j	64.01	19.11	74.45	76.87	76
j00g	83.18	-3.93	97.56	97.64	92
j25g	66.73	-26.86	74.66	79.35	110
j50g	54.03	-43.42	57.07	71.71	127
j75g	44.73	-54.21	38.33	66.4	145
g00b	47.59	-44.11	14.14	46.33	162
g25b	49.97	-35.68	-6.03	36.19	190
g50b	51.85	-29.05	-21.88	36.38	217
g75b	46.92	-15.53	-32.37	35.92	244
b00r	37.91	1.15	-38.05	38.08	272
b25r	23.81	27.31	-46.96	54.33	300
b50r	29.52	62.07	-37.87	72.72	329
b75r	36.48	64.24	-3.31	64.33	357



Ein und Ausgabe: Farbmetrisches Drucker-Reflektiv-System FRS15_90aM für relativen CIELAB-Buntton $h^* = lab^*h^* = h_{ab}/360 = 127/360 = 0.354$ $u^* = j50g$
Daten für jede Farbe:
 lab^*ch^* und lab^*icu^*
Elementar-Bunttontext:
 $u^* = j50g$
Kontrastreduzierungsfaktor:
 $c_R = 0.9$
Dreiecks-Helligkeit i^*



FRS15_90M; CIELAB-Daten					
	$L^*=L^*$	a^*	b^*	C^*_{ab}	h^*_{ab}
O _M	35.06	54.41	35.65	65.05	33
Y _M	83.77	-4.03	92.72	92.8	92
L _M	44.13	-55.82	39.15	68.19	145
C _M	52.66	-25.66	-33.24	42.01	232
V _M	14.15	45.64	-56.26	72.45	309
M _M	37.37	71.17	-34.08	78.92	334
N _M	15.0	0.43	-3.22	3.26	278
W _M	90.0	0.62	-5.75	5.79	276
R _{CIE}	39.92	58.74	27.99	65.07	25
J _{CIE}	81.26	-2.88	71.56	71.62	92
G _{CIE}	52.23	-42.41	13.6	44.55	162
B _{CIE}	30.57	1.41	-46.46	46.49	272

Daten für Maximalfarbe (Ma):

$LAB^*LAB^*_{Ma}$: 54 -42 57

$LAB^*LCH^*_{Ma}$: 54 72 127

$lab^*rgb^*_{Ma}$: 0.5 1.0 0.0

$lab^*olv^*_{Ma}$: 0.25 1.0 0.0

Dreiecks-Helligkeit i^*

%Umfang

$u^*_{rel} = 88$

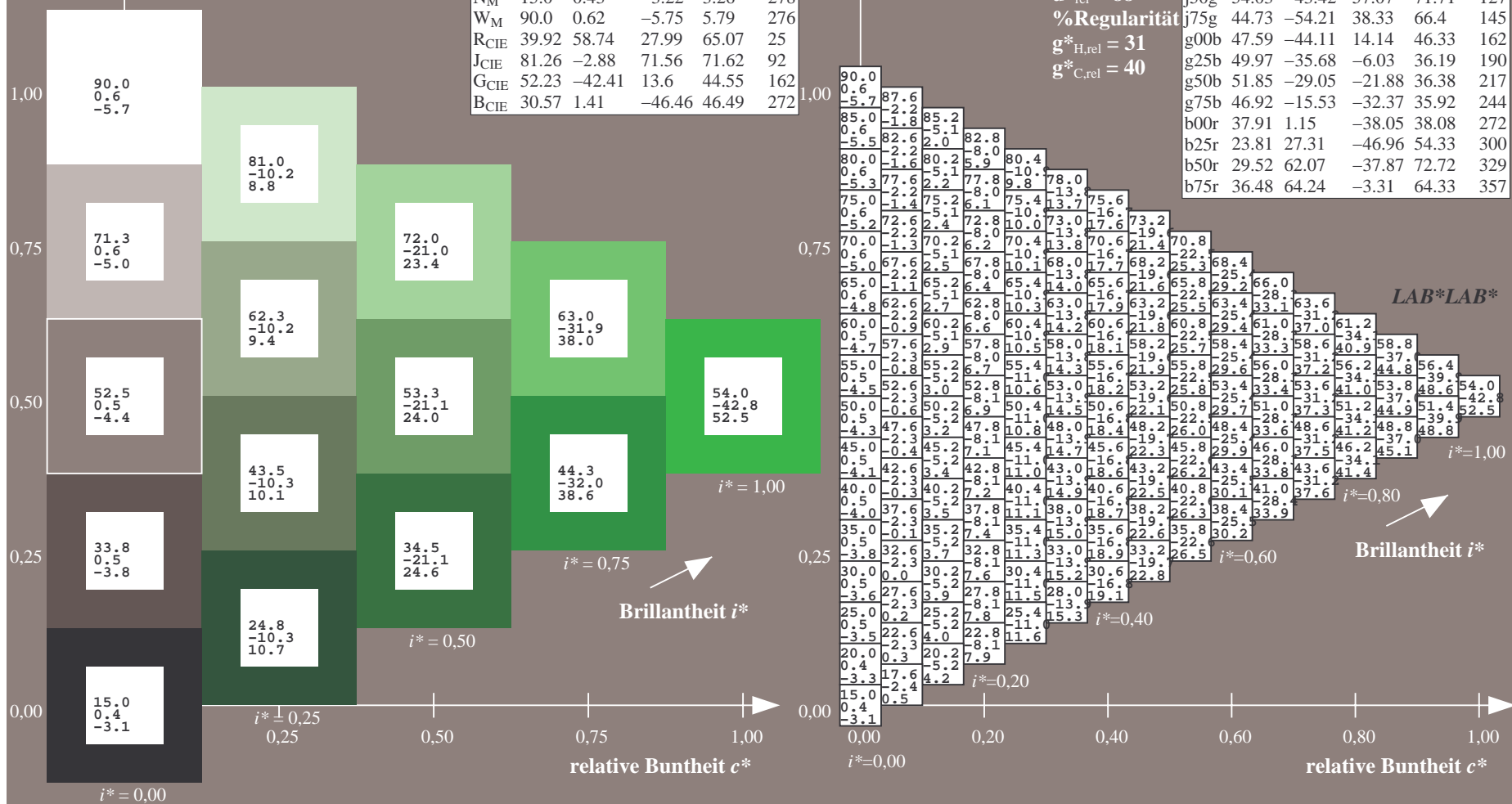
%Regularität

$g^*_{H,rel} = 31$

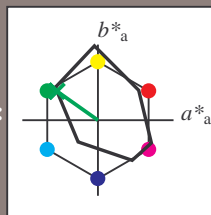
$g^*_{C,rel} = 40$

FRS15_90aM; adaptierte CIELAB-Daten

	$L^*=L^*_a$	a^*_a	b^*_a	$C^*_{ab,a}$	$h^*_{ab,a}$
r00j	35.47	56.92	27.12	63.05	25
r25j	39.12	49.04	44.45	66.19	42
r50j	50.64	35.19	58.33	68.13	59
r75j	64.01	19.11	74.45	76.87	76
j00g	83.18	-3.93	97.56	97.64	92
j25g	66.73	-26.86	74.66	79.35	110
j50g	54.03	-43.42	57.07	71.71	127
j75g	44.73	-54.21	38.33	66.4	145
g00b	47.59	-44.11	14.14	46.33	162
g25b	49.97	-35.68	-6.03	36.19	190
g50b	51.85	-29.05	-21.88	36.38	217
g75b	46.92	-15.53	-32.37	35.92	244
b00r	37.91	1.15	-38.05	38.08	272
b25r	23.81	27.31	-46.96	54.33	300
b50r	29.52	62.07	-37.87	72.72	329
b75r	36.48	64.24	-3.31	64.33	357



Ein und Ausgabe: Farbmetrisches Drucker-Reflektiv-System FRS15_90aM für relativen CIELAB-Buntton $h^* = lab^*h^* = h_{ab}/360 = 145/360 = 0.402$ $u^* = j75g$
Daten für jede Farbe:
 lab^*tch^* und lab^*icu^*
Elementar-Bunttontext:
 $u^* = j75g$
Kontrastreduzierungsfaktor:
 $c_R = 0.9$
Dreiecks-Helligkeit i^*



FRS15_90M; CIELAB-Daten					
	$L^*=L^*$	a^*	b^*	C^*_{ab}	h^*_{ab}
O _M	35.06	54.41	35.65	65.05	33
Y _M	83.77	-4.03	92.72	92.8	92
L _M	44.13	-55.82	39.15	68.19	145
C _M	52.66	-25.66	-33.24	42.01	232
V _M	14.15	45.64	-56.26	72.45	309
M _M	37.37	71.17	-34.08	78.92	334
N _M	15.0	0.43	-3.22	3.26	278
W _M	90.0	0.62	-5.75	5.79	276
R _{CIE}	39.92	58.74	27.99	65.07	25
J _{CIE}	81.26	-2.88	71.56	71.62	92
G _{CIE}	52.23	-42.41	13.6	44.55	162
B _{CIE}	30.57	1.41	-46.46	46.49	272

Daten für Maximalfarbe (Ma):

$LAB^*LAB^*_{Ma}$: 45 -53 38

$LAB^*LCH^*_{Ma}$: 45 66 145

$lab^*rgb^*_{Ma}$: 0.25 1.0 0.0

$lab^*olv^*_{Ma}$: 0.0 1.0 0.07

Dreiecks-Helligkeit i^*

%Umfang

$u^*_{rel} = 88$

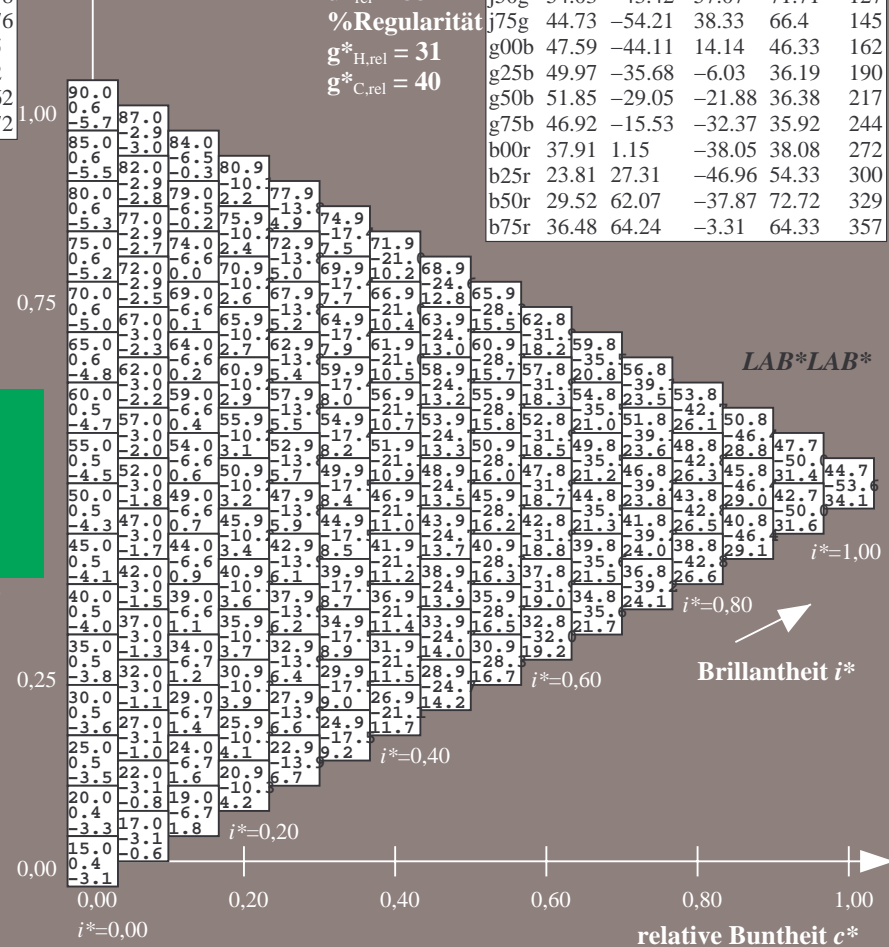
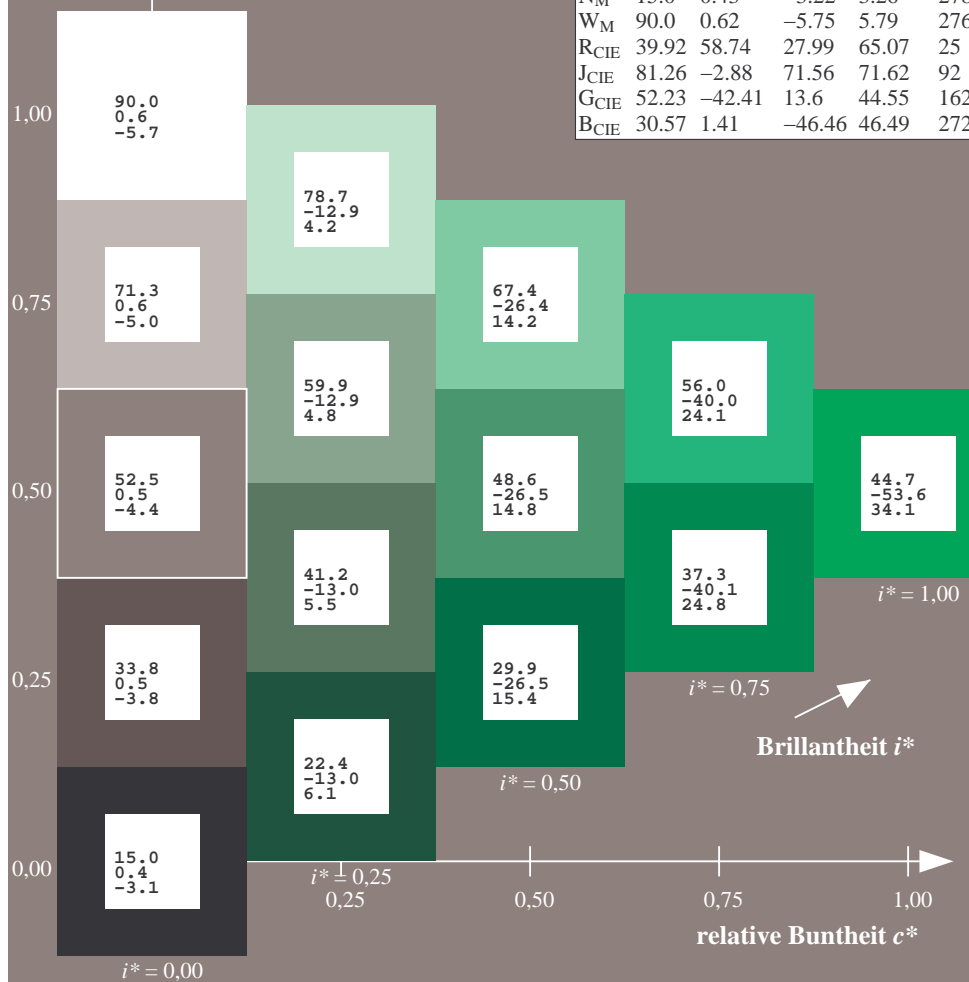
%Regularität

$g^*_{H,rel} = 31$

$g^*_{C,rel} = 40$

FRS15_90aM; adaptierte CIELAB-Daten

	$L^*=L^*_a$	a^*_a	b^*_a	$C^*_{ab,a}$	$h^*_{ab,a}$
r00j	35.47	56.92	27.12	63.05	25
r25j	39.12	49.04	44.45	66.19	42
r50j	50.64	35.19	58.33	68.13	59
r75j	64.01	19.11	74.45	76.87	76
j00g	83.18	-3.93	97.56	97.64	92
j25g	66.73	-26.86	74.66	79.35	110
j50g	54.03	-43.42	57.07	71.71	127
j75g	44.73	-54.21	38.33	66.4	145
g00b	47.59	-44.11	14.14	46.33	162
g25b	49.97	-35.68	-6.03	36.19	190
g50b	51.85	-29.05	-21.88	36.38	217
g75b	46.92	-15.53	-32.37	35.92	244
b00r	37.91	1.15	-38.05	38.08	272
b25r	23.81	27.31	-46.96	54.33	300
b50r	29.52	62.07	-37.87	72.72	329
b75r	36.48	64.24	-3.31	64.33	357



Ein und Ausgabe: Farbmétrisches Drucker-Reflektiv-System FRS15_90aM für relativen CIELAB-Buntton $h^* = lab^*h^* = h_{ab}/360 = 162/360 = 0.451$ $u^* = g00b$

Daten für jede Farbe:

*lab*tch** und *lab*icu**

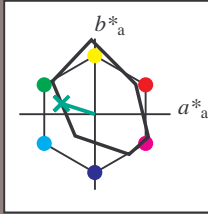
Elementar-Bunttontext:

$$u^* = g00b$$

Kontrastreduzierungsfaktor:

 $c_R = 0.9$

Dreiecks-Helligkeit t^*



	$L^* = \bar{L}^*$	a^*	b^*	C^*_{ab}	h^*_{ab}
O _M	35.06	54.41	35.65	65.05	33
Y _M	83.77	-4.03	92.72	92.8	92
L _M	44.13	-55.82	39.15	68.19	145
C _M	52.66	-25.66	-33.24	42.01	232
V _M	14.15	45.64	-56.26	72.45	309
M _M	37.37	71.17	-34.08	78.92	334
N _M	15.0	0.43	-3.22	3.26	278
W _M	90.0	0.62	-5.75	5.79	276
R _{CIE}	39.92	58.74	27.99	65.07	25
J _{CIE}	81.26	-2.88	71.56	71.62	92
G _{CIE}	52.23	-42.41	13.6	44.55	162
B _{CIE}	30.57	1.41	-46.46	46.49	272

Daten für Maximalfarbe (Ma):

*LAB*LAB**M_a: 48 -43 14

LAB*ICH*48 46 162

LAD *LCH* *Ma* 46 46 1
1.1 1.1 0.0 1.0 0.0

*lab*rgb**Ma: 0.0 1.0 0.0

*lab*olv**Ma: 0.0 1.0 0.41

Dreiecks-Helligkeit t^*

0

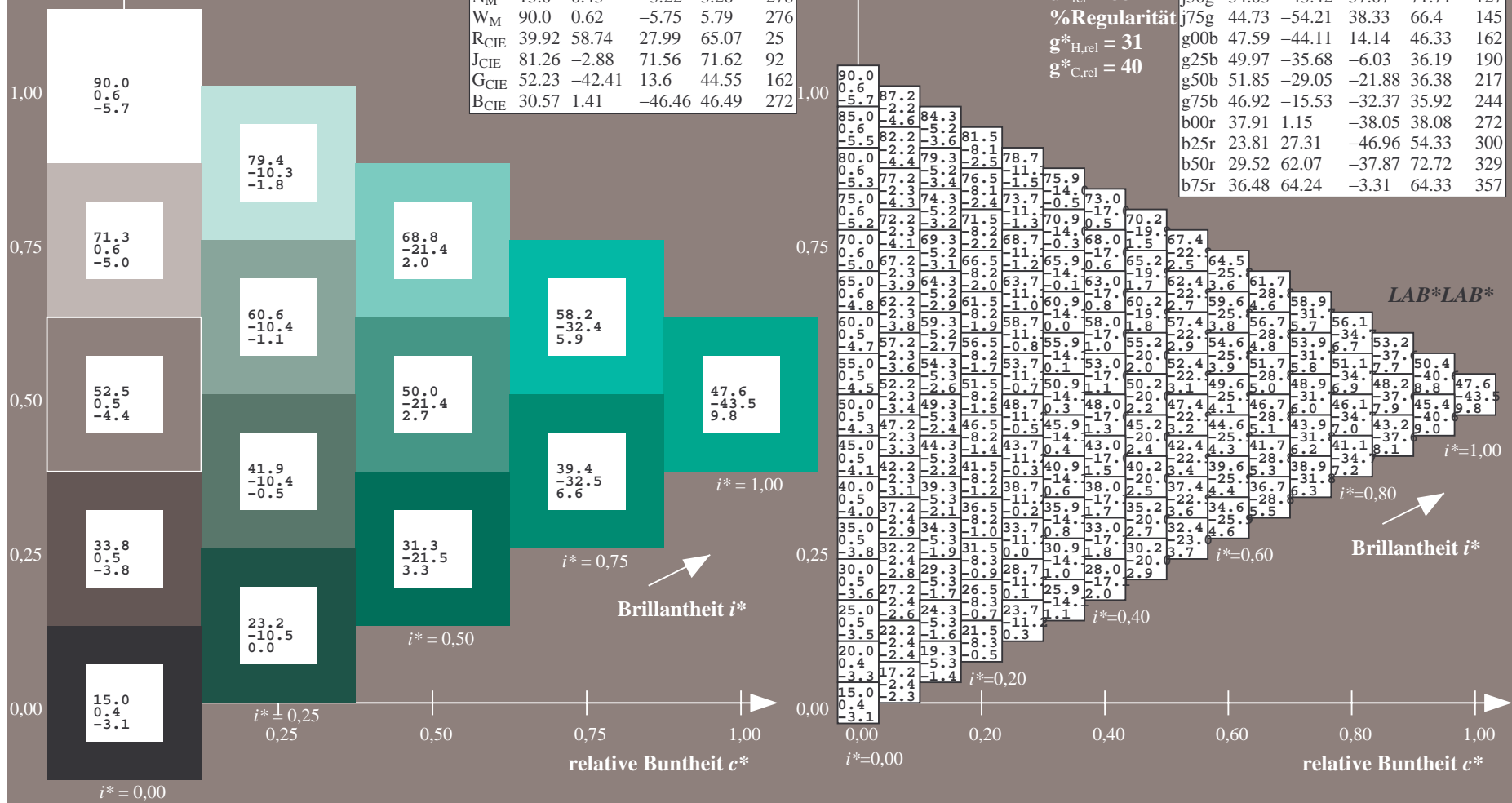
%Umfang

$$u_{\text{rel}}^* = 88$$

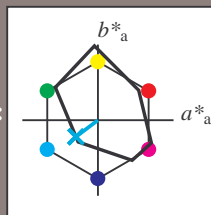
%Regular:

$$g_{\text{H,rel}}^* = 31$$
$$\mathbf{g}_{\text{C,rel}}^* = 40$$

FRS15_90aM; adaptierte CIELAB-Daten						
	L^*_a	a^*_a	b^*_a	$C^*_{ab,a}$	$h^*_{ab,a}$	
r00j	35.47	56.92	27.12	63.05	25	
r25j	39.12	49.04	44.45	66.19	42	
r50j	50.64	35.19	58.33	68.13	59	
r75j	64.01	19.11	74.45	76.87	76	
j00g	83.18	-3.93	97.56	97.64	92	
j25g	66.73	-26.86	74.66	79.35	110	
j50g	54.03	-43.42	57.07	71.71	127	
j75g	44.73	-54.21	38.33	66.4	145	
g00b	47.59	-44.11	14.14	46.33	162	
g25b	49.97	-35.68	-6.03	36.19	190	
g50b	51.85	-29.05	-21.88	36.38	217	
g75b	46.92	-15.53	-32.37	35.92	244	
b00r	37.91	1.15	-38.05	38.08	272	
b25r	23.81	27.31	-46.96	54.33	300	
b50r	29.52	62.07	-37.87	72.72	329	
b75r	36.48	64.24	-3.31	64.33	357	



Ein und Ausgabe: Farbmetrisches Drucker-Reflektiv-System FRS15_90aM für relativen CIELAB-Buntton $h^* = lab^*h^* = h_{ab}/360 = 217/360 = 0.603$ $u^* = g50b$
Daten für jede Farbe:
 lab^*tch^* und lab^*icu^*
Elementar-Bunttontext:
 $u^* = g50b$
Kontrastreduzierungsfaktor:
 $c_R = 0.9$
Dreiecks-Helligkeit i^*



FRS15_90M; CIELAB-Daten					
	$L^*=L^*$	a^*	b^*	C^*_{ab}	h^*_{ab}
O _M	35.06	54.41	35.65	65.05	33
Y _M	83.77	-4.03	92.72	92.8	92
L _M	44.13	-55.82	39.15	68.19	145
C _M	52.66	-25.66	-33.24	42.01	232
V _M	14.15	45.64	-56.26	72.45	309
M _M	37.37	71.17	-34.08	78.92	334
N _M	15.0	0.43	-3.22	3.26	278
W _M	90.0	0.62	-5.75	5.79	276
R _{CIE}	39.92	58.74	27.99	65.07	25
J _{CIE}	81.26	-2.88	71.56	71.62	92
G _{CIE}	52.23	-42.41	13.6	44.55	162
B _{CIE}	30.57	1.41	-46.46	46.49	272

Daten für Maximalfarbe (Ma):

$LAB^*LAB^*_{Ma}$: 52 -28 -21

$LAB^*LCH^*_{Ma}$: 52 36 217

$lab^*rgb^*_{Ma}$: 0.0 1.0 1.0

$lab^*olv^*_{Ma}$: 0.0 1.0 0.9

Dreiecks-Helligkeit i^*

%Umfang

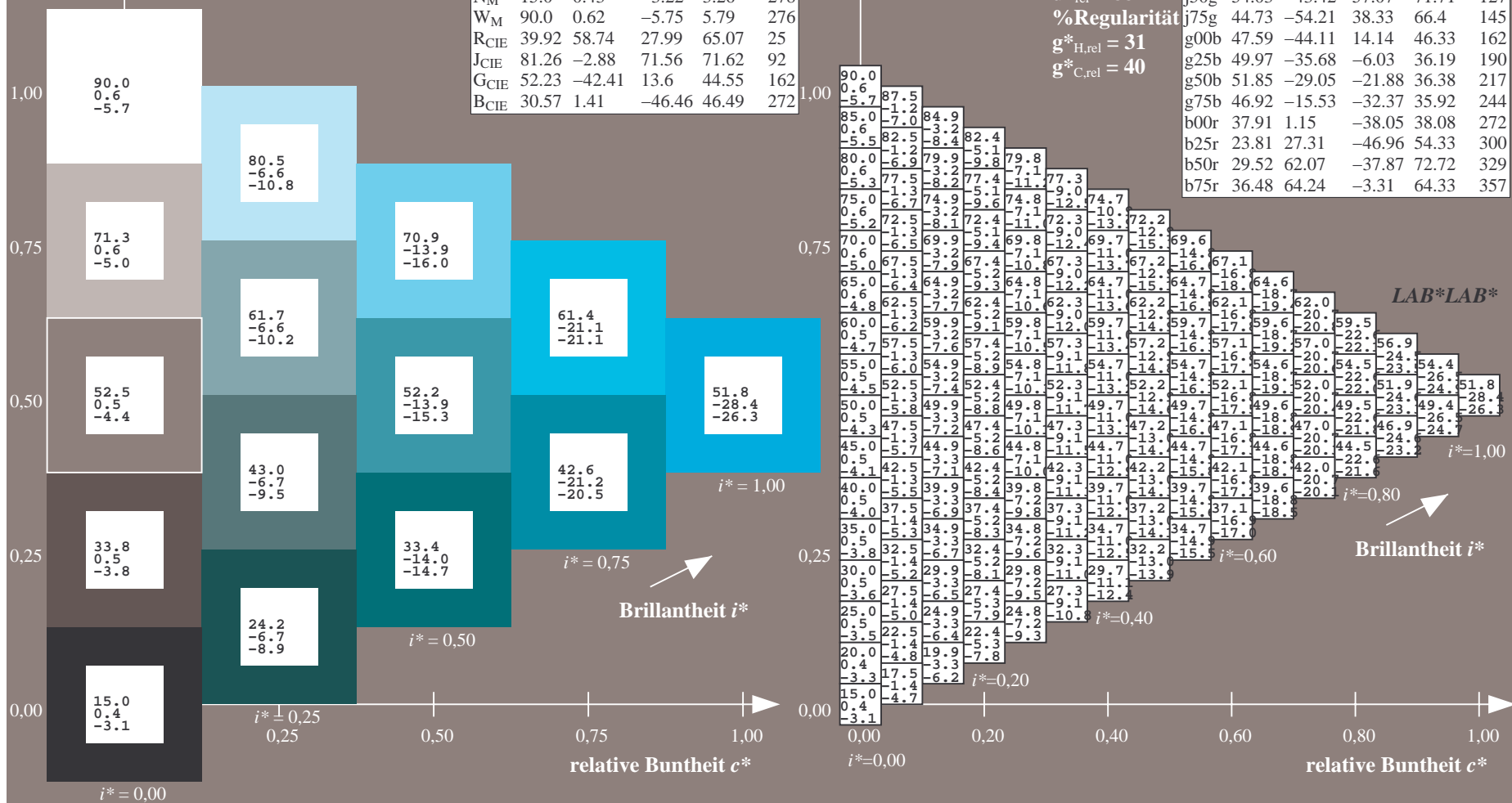
$u^*_{rel} = 88$

%Regularität

$g^*_{H,rel} = 31$

$g^*_{C,rel} = 40$

FRS15_90aM; adaptierte CIELAB-Daten					
	$L^*=L^*_a$	a^*_a	b^*_a	$C^*_{ab,a}$	$h^*_{ab,a}$
r00j	35.47	56.92	27.12	63.05	25
r25j	39.12	49.04	44.45	66.19	42
r50j	50.64	35.19	58.33	68.13	59
r75j	64.01	19.11	74.45	76.87	76
j00g	83.18	-3.93	97.56	97.64	92
j25g	66.73	-26.86	74.66	79.35	110
j50g	54.03	-43.42	57.07	71.71	127
j75g	44.73	-54.21	38.33	66.4	145
g00b	47.59	-44.11	14.14	46.33	162
g25b	49.97	-35.68	-6.03	36.19	190
g50b	51.85	-29.05	-21.88	36.38	217
g75b	46.92	-15.53	-32.37	35.92	244
b00r	37.91	1.15	-38.05	38.08	272
b25r	23.81	27.31	-46.96	54.33	300
b50r	29.52	62.07	-37.87	72.72	329
b75r	36.48	64.24	-3.31	64.33	357

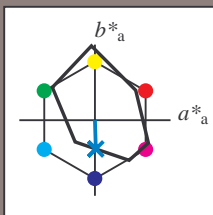


0





Ein und Ausgabe: Farbmetrisches Drucker-Reflektiv-System FRS15_90aM für relativen CIELAB-Buntton $h^* = lab^*h^* = h_{ab}/360 = 272/360 = 0.755$ $u^* = b00r$
Daten für jede Farbe:
 lab^*ch^* und lab^*icu^*
Elementar-Bunttontext:
 $u^* = b00r$
Kontrastreduzierungsfaktor:
 $c_R = 0.9$
Dreiecks-Helligkeit i^*



FRS15_90M; CIELAB-Daten					
	$L^*=L^*$	a^*	b^*	C^*_{ab}	h^*_{ab}
O _M	35.06	54.41	35.65	65.05	33
Y _M	83.77	-4.03	92.72	92.8	92
L _M	44.13	-55.82	39.15	68.19	145
C _M	52.66	-25.66	-33.24	42.01	232
V _M	14.15	45.64	-56.26	72.45	309
M _M	37.37	71.17	-34.08	78.92	334
N _M	15.0	0.43	-3.22	3.26	278
W _M	90.0	0.62	-5.75	5.79	276
R _{CIE}	39.92	58.74	27.99	65.07	25
J _{CIE}	81.26	-2.88	71.56	71.62	92
G _{CIE}	52.23	-42.41	13.6	44.55	162
B _{CIE}	30.57	1.41	-46.46	46.49	272

Daten für Maximalfarbe (Ma):

$LAB^*LAB^*_{Ma}$: 38 1 -37

$LAB^*LCH^*_{Ma}$: 38 38 272

$lab^*rgb^*_{Ma}$: 0.0 0.0 1.0

$lab^*olv^*_{Ma}$: 0.0 0.62 1.0

Dreiecks-Helligkeit i^*

%Umfang

$u^*_{rel} = 88$

%Regularität

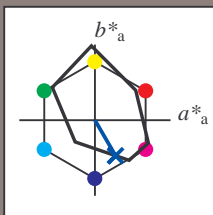
$g^*_{H,rel} = 31$

$g^*_{C,rel} = 40$

FRS15_90aM; adaptierte CIELAB-Daten

	$L^*=L^*_a$	a^*_a	b^*_a	$C^*_{ab,a}$	$h^*_{ab,a}$
r00j	35.47	56.92	27.12	63.05	25
r25j	39.12	49.04	44.45	66.19	42
r50j	50.64	35.19	58.33	68.13	59
r75j	64.01	19.11	74.45	76.87	76
j00g	83.18	-3.93	97.56	97.64	92
j25g	66.73	-26.86	74.66	79.35	110
j50g	54.03	-43.42	57.07	71.71	127
j75g	44.73	-54.21	38.33	66.4	145
g00b	47.59	-44.11	14.14	46.33	162
g25b	49.97	-35.68	-6.03	36.19	190
g50b	51.85	-29.05	-21.88	36.38	217
g75b	46.92	-15.53	-32.37	35.92	244
b00r	37.91	1.15	-38.05	38.08	272
b25r	23.81	27.31	-46.96	54.33	300
b50r	29.52	62.07	-37.87	72.72	329
b75r	36.48	64.24	-3.31	64.33	357

Ein und Ausgabe: Farbmetrisches Drucker-Reflektiv-System FRS15_90aM für relativen CIELAB-Buntton $h^* = lab^*h^* = h_{ab}/360 = 300/360 = 0.834$ $u^* = b25r$
Daten für jede Farbe:
 lab^*tch^* und lab^*icu^*
Elementar-Bunttontext:
 $u^* = b25r$
Kontrastreduzierungsfaktor:
 $c_R = 0.9$
Dreiecks-Helligkeit t^*



FRS15_90M; CIELAB-Daten					
	$L^*=L^*$	a^*	b^*	C^*_{ab}	h^*_{ab}
O _M	35.06	54.41	35.65	65.05	33
Y _M	83.77	-4.03	92.72	92.8	92
L _M	44.13	-55.82	39.15	68.19	145
C _M	52.66	-25.66	-33.24	42.01	232
V _M	14.15	45.64	-56.26	72.45	309
M _M	37.37	71.17	-34.08	78.92	334
N _M	15.0	0.43	-3.22	3.26	278
W _M	90.0	0.62	-5.75	5.79	276
R _{CIE}	39.92	58.74	27.99	65.07	25
J _{CIE}	81.26	-2.88	71.56	71.62	92
G _{CIE}	52.23	-42.41	13.6	44.55	162
B _{CIE}	30.57	1.41	-46.46	46.49	272

Daten für Maximalfarbe (Ma):

$LAB^*LAB^*_{Ma}$: 24 27 -46

$LAB^*LCH^*_{Ma}$: 24 54 300

$lab^*rgb^*_{Ma}$: 0.5 0.0 1.0

$lab^*olv^*_{Ma}$: 0.0 0.25 1.0

Dreiecks-Helligkeit t^*

%Umfang

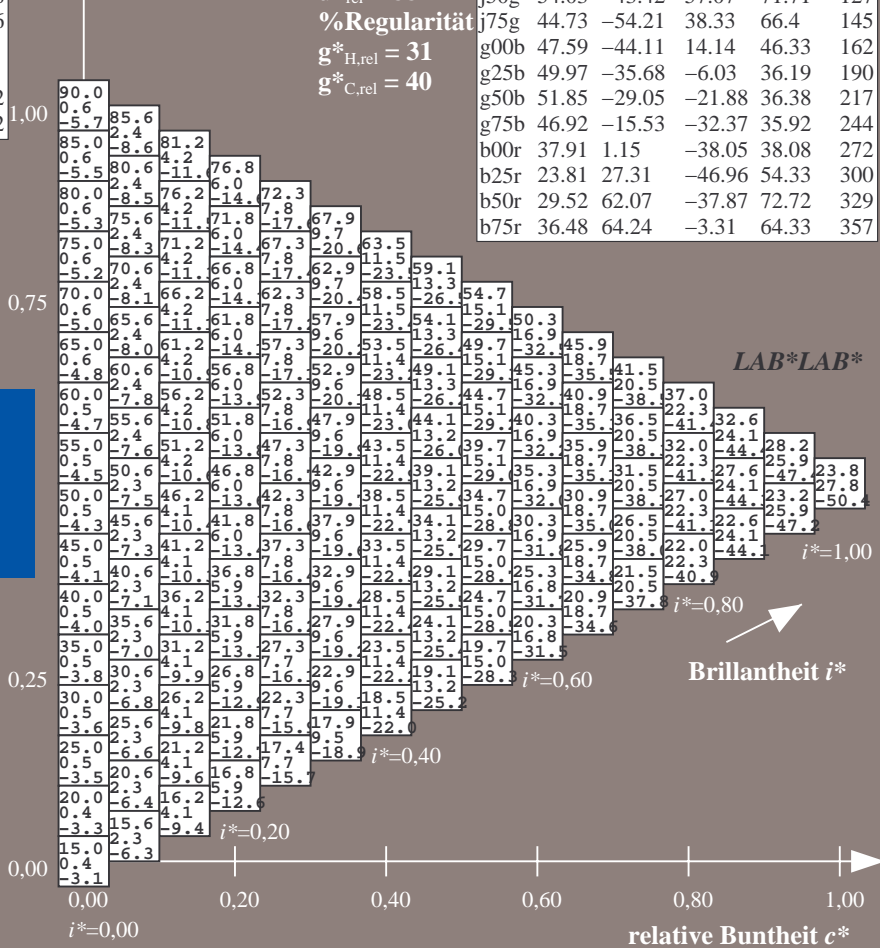
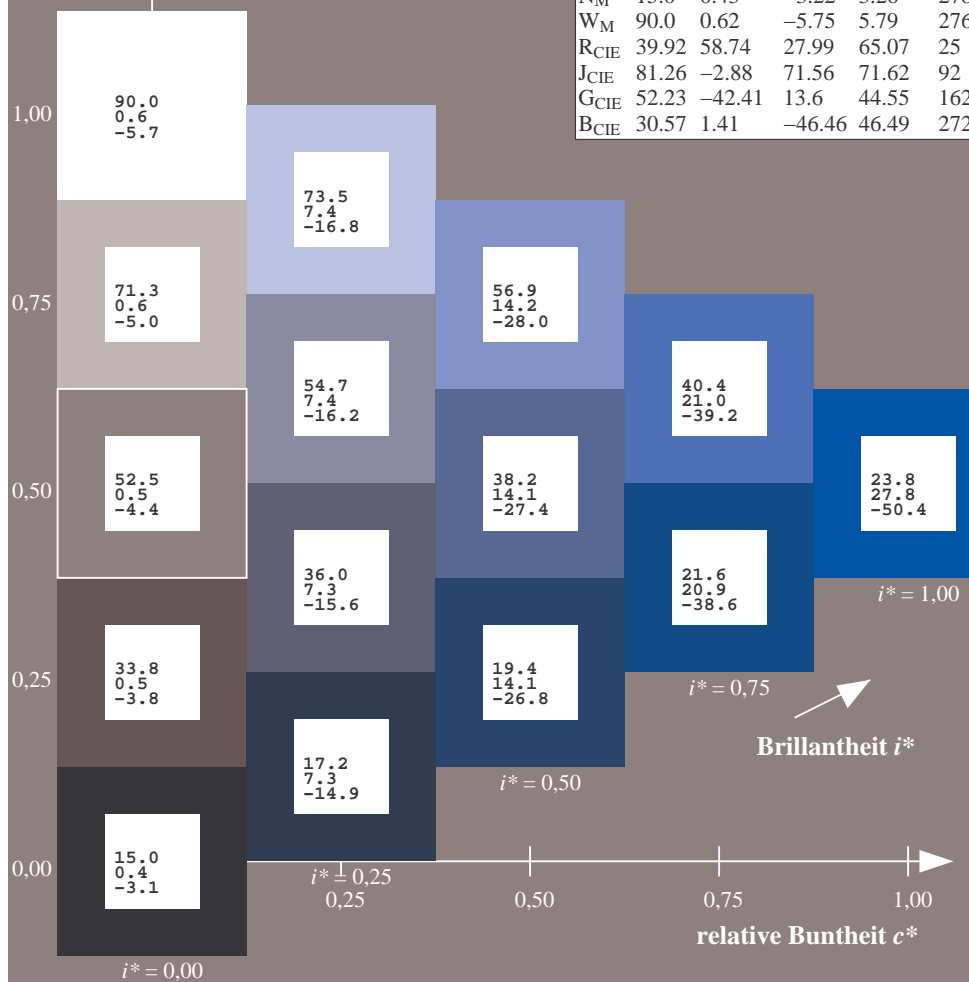
$u^*_{rel} = 88$

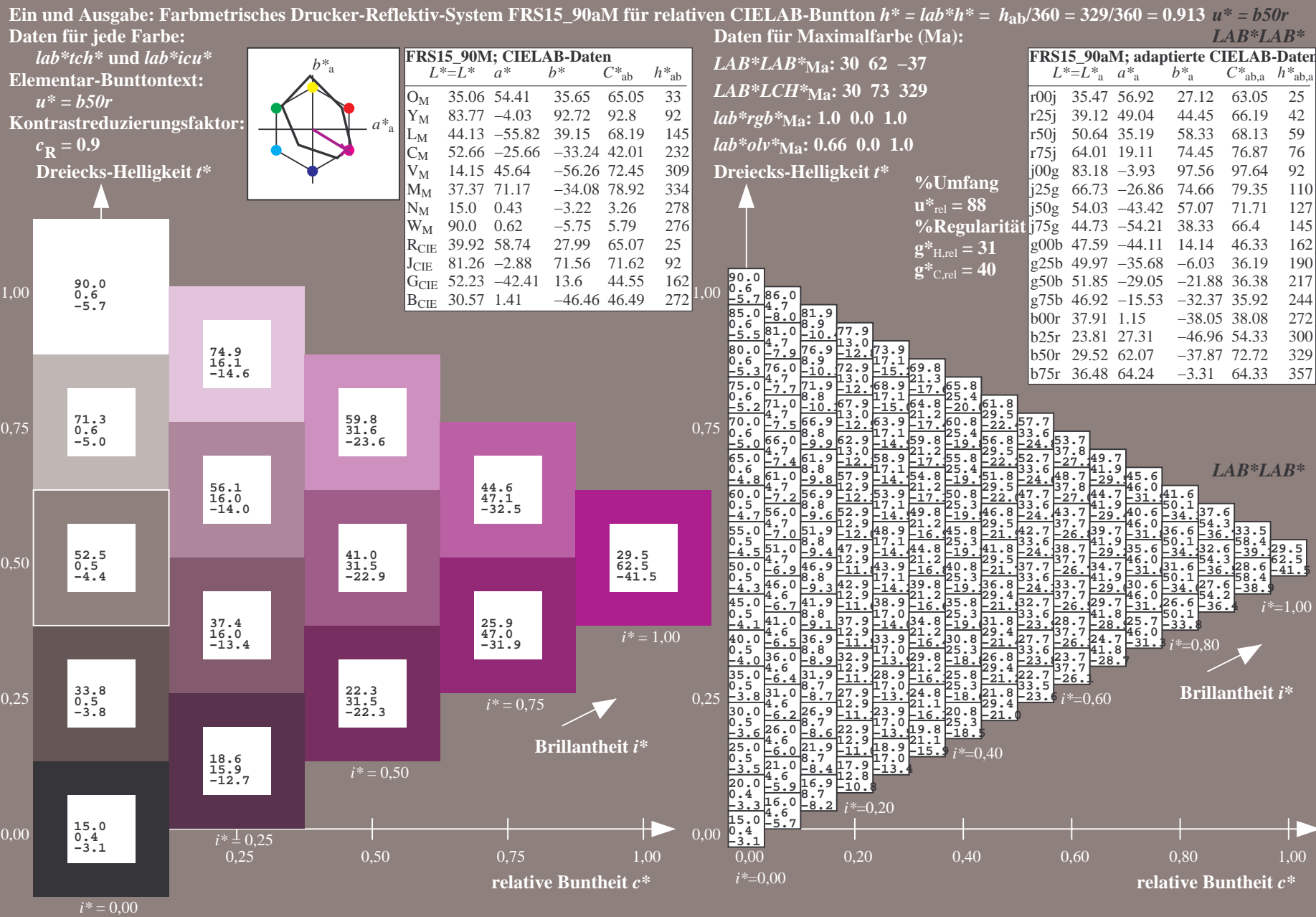
%Regularität

$g^*_{H,rel} = 31$

$g^*_{C,rel} = 40$

FRS15_90aM; adaptierte CIELAB-Daten					
	$L^*=L^*_a$	a^*_a	b^*_a	$C^*_{ab,a}$	$h^*_{ab,a}$
r00j	35.47	56.92	27.12	63.05	25
r25j	39.12	49.04	44.45	66.19	42
r50j	50.64	35.19	58.33	68.13	59
r75j	64.01	19.11	74.45	76.87	76
j00g	83.18	-3.93	97.56	97.64	92
j25g	66.73	-26.86	74.66	79.35	110
j50g	54.03	-43.42	57.07	71.71	127
j75g	44.73	-54.21	38.33	66.4	145
g00b	47.59	-44.11	14.14	46.33	162
g25b	49.97	-35.68	-6.03	36.19	190
g50b	51.85	-29.05	-21.88	36.38	217
g75b	46.92	-15.53	-32.37	35.92	244
b00r	37.91	1.15	-38.05	38.08	272
b25r	23.81	27.31	-46.96	54.33	300
b50r	29.52	62.07	-37.87	72.72	329
b75r	36.48	64.24	-3.31	64.33	357





Dreiecks-Helligkeit t^*


$$g^*_{C,rel} = 40$$

0751	50.10	04.24	5.51	04.55	557
------	-------	-------	------	-------	-----



Ausgabe: `->cmyp5* setcmypkcolor`

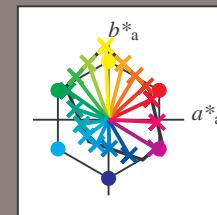
BAM-Registrierung: 20080701-Dg93/10L/L93G00NA.PS/ .TXTBAM-Material: Code=rha4ta
- Anwendung für Beurteilung und Messung von Drucker- oder Monitorsystemen

Siehe ähnliche Dateien: <http://www.ps.bam.de/Dg93/>; www.ps.bam.de/Dg93/10L/L93G00NA.PS/.TXT
Technische Information: [http://www.ps.bam.de/Version 2.1, io=1,1, ColSpX=0](http://www.ps.bam.de/Version%202.1,%20io=1,1,ColSpX=0)

	A	B	C	D	E	F	G	H	I	J	K	L	M	N	O	P	Q	R	S	T	U	V	W	X	Y	Z	a	b	c	d	e	f	g	h	i	j	k	LAB*	LAB*																																																																																																																																																																																																																																																																																																																																																																																																																																																																																																																																																																																																																																																																																																																																																																																																																																																																																																																							
01	15.0	18.6	22.3	25.9	29.6	33.2	36.9	40.5	44.1	47.5	50.8	54.0	57.2	60.4	63.5	66.6	69.7	72.8	75.9	78.9	81.9	84.9	87.9	90.9	93.9	96.9	99.9	102.9	105.9	108.9	111.9	114.9	117.9	120.9	123.9	126.9	129.9	132.9	135.9	138.9	141.9	144.9	147.9	150.9	153.9	156.9	159.9	162.9	165.9	168.9	171.9	174.9	177.9	180.9	183.9	186.9	189.9	192.9	195.9	198.9	201.9	204.9	207.9	210.9	213.9	216.9	219.9	222.9	225.9	228.9	231.9	234.9	237.9	240.9	243.9	246.9	249.9	252.9	255.9	258.9	261.9	264.9	267.9	270.9	273.9	276.9	279.9	282.9	285.9	288.9	291.9	294.9	297.9	300.9	303.9	306.9	309.9	312.9	315.9	318.9	321.9	324.9	327.9	330.9	333.9	336.9	339.9	342.9	345.9	348.9	351.9	354.9	357.9	360.9	363.9	366.9	369.9	372.9	375.9	378.9	381.9	384.9	387.9	390.9	393.9	396.9	399.9	402.9	405.9	408.9	411.9	414.9	417.9	420.9	423.9	426.9	429.9	432.9	435.9	438.9	441.9	444.9	447.9	450.9	453.9	456.9	459.9	462.9	465.9	468.9	471.9	474.9	477.9	480.9	483.9	486.9	489.9	492.9	495.9	498.9	501.9	504.9	507.9	510.9	513.9	516.9	519.9	522.9	525.9	528.9	531.9	534.9	537.9	540.9	543.9	546.9	549.9	552.9	555.9	558.9	561.9	564.9	567.9	570.9	573.9	576.9	579.9	582.9	585.9	588.9	591.9	594.9	597.9	600.9	603.9	606.9	609.9	612.9	615.9	618.9	621.9	624.9	627.9	630.9	633.9	636.9	639.9	642.9	645.9	648.9	651.9	654.9	657.9	660.9	663.9	666.9	669.9	672.9	675.9	678.9	681.9	684.9	687.9	690.9	693.9	696.9	699.9	702.9	705.9	708.9	711.9	714.9	717.9	720.9	723.9	726.9	729.9	732.9	735.9	738.9	741.9	744.9	747.9	750.9	753.9	756.9	759.9	762.9	765.9	768.9	771.9	774.9	777.9	780.9	783.9	786.9	789.9	792.9	795.9	798.9	801.9	804.9	807.9	810.9	813.9	816.9	819.9	822.9	825.9	828.9	831.9	834.9	837.9	840.9	843.9	846.9	849.9	852.9	855.9	858.9	861.9	864.9	867.9	870.9	873.9	876.9	879.9	882.9	885.9	888.9	891.9	894.9	897.9	900.9	903.9	906.9	909.9	912.9	915.9	918.9	921.9	924.9	927.9	930.9	933.9	936.9	939.9	942.9	945.9	948.9	951.9	954.9	957.9	960.9	963.9	966.9	969.9	972.9	975.9	978.9	981.9	984.9	987.9	990.9	993.9	996.9	999.9	1002.9	1005.9	1008.9	1011.9	1014.9	1017.9	1020.9	1023.9	1026.9	1029.9	1032.9	1035.9	1038.9	1041.9	1044.9	1047.9	1050.9	1053.9	1056.9	1059.9	1062.9	1065.9	1068.9	1071.9	1074.9	1077.9	1080.9	1083.9	1086.9	1089.9	1092.9	1095.9	1098.9	1101.9	1104.9	1107.9	1110.9	1113.9	1116.9	1119.9	1122.9	1125.9	1128.9	1131.9	1134.9	1137.9	1140.9	1143.9	1146.9	1149.9	1152.9	1155.9	1158.9	1161.9	1164.9	1167.9	1170.9	1173.9	1176.9	1179.9	1182.9	1185.9	1188.9	1191.9	1194.9	1197.9	1200.9	1203.9	1206.9	1209.9	1212.9	1215.9	1218.9	1221.9	1224.9	1227.9	1230.9	1233.9	1236.9	1239.9	1242.9	1245.9	1248.9	1251.9	1254.9	1257.9	1260.9	1263.9	1266.9	1269.9	1272.9	1275.9	1278.9	1281.9	1284.9	1287.9	1290.9	1293.9	1296.9	1299.9	1302.9	1305.9	1308.9	1311.9	1314.9	1317.9	1320.9	1323.9	1326.9	1329.9	1332.9	1335.9	1338.9	1341.9	1344.9	1347.9	1350.9	1353.9	1356.9	1359.9	1362.9	1365.9	1368.9	1371.9	1374.9	1377.9	1380.9	1383.9	1386.9	1389.9	1392.9	1395.9	1398.9	1401.9	1404.9	1407.9	1410.9	1413.9	1416.9	1419.9	1422.9	1425.9	1428.9	1431.9	1434.9	1437.9	1440.9	1443.9	1446.9	1449.9	1452.9	1455.9	1458.9	1461.9	1464.9	1467.9	1470.9	1473.9	1476.9	1479.9	1482.9	1485.9	1488.9	1491.9	1494.9	1497.9	1500.9	1503.9	1506.9	1509.9	1512.9	1515.9	1518.9	1521.9	1524.9	1527.9	1530.9	1533.9	1536.9	1539.9	1542.9	1545.9	1548.9	1551.9	1554.9	1557.9	1560.9	1563.9	1566.9	1569.9	1572.9	1575.9	1578.9	1581.9	1584.9	1587.9	1590.9	1593.9	1596.9	1599.9	1602.9	1605.9	1608.9	1611.9	1614.9	1617.9	1620.9	1623.9	1626.9	1629.9	1632.9	1635.9	1638.9	1641.9	1644.9	1647.9	1650.9	1653.9	1656.9	1659.9	1662.9	1665.9	1668.9	1671.9	1674.9	1677.9	1680.9	1683.9	1686.9	1689.9	1692.9	1695.9	1698.9	1701.9	1704.9	1707.9	1710.9	1713.9	1716.9	1719.9	1722.9	1725.9	1728.9	1731.9	1734.9	1737.9	1740.9	1743.9	1746.9	1749.9	1752.9	1755.9	1758.9	1761.9	1764.9	1767.9	1770.9	1773.9	1776.9	1779.9	1782.9	1785.9	1788.9	1791.9	1794.9	1797.9	1800.9	1803.9	1806.9	1809.9	1812.9	1815.9	1818.9	1821.9	1824.9	1827.9	1830.9	1833.9	1836.9	1839.9	1842.9	1845.9	1848.9	1851.9	1854.9	1857.9	1860.9	1863.9	1866.9	1869.9	1872.9	1875.9	1878.9	1881.9	1884.9	1887.9	1890.9	1893.9	1896.9	1899.9	1902.9	1905.9	1908.9	1911.9	1914.9	1917.9	1920.9	1923.9	1926.9	1929.9	1932.9	1935.9	1938.9	1941.9	1944.9	1947.9	1950.9	1953.9	1956.9	1959.9	1962.9	1965.9	1968.9	1971.9	1974.9	1977.9	1980.9	1983.9	1986.9	1989.9	1992.9	1995.9	1998.9	2001.9	2004.9	2007.9	2010.9	2013.9	2016.9	2019.9	2022.9	2025.9	2028.9	2031.9	2034.9	2037.9	2040.9	2043.9	2046.9	2049.9	2052.9	2055.9	2058.9	2061.9	2064.9	2067.9	2070.9	2073.9	2076.9	2079.9	2082.9	2085.9	2088.9	2091.9	2094.9	2097.9	2100.9	2103.9	2106.9	2109.9	2112.9	2115.9	2118.9	2121.9	2124.9	2127.9	2130.9	2133.9	2136.9	2139.9	2142.9	2145.9	2148.9	2151.9	2154.9	2157.9	2160.9	2163.9	2166.9	2169.9	2172.9	2175.9	2178.9	2181.9	2184.9	2187.9	2190.9	2193.9	2196.9	2199.9	2202.9	2205.9	2208.9	2211.9	2214.9	2217.9	2220.9	2223.9	2226.9	2229.9	2232.9	2235.9	2238.9	2241.9	2244.9	2247.9	2250.9	2253.9	2256.9	2259.9	2262.9	2265.9	2268.9	2271.9	2274.9	2277.9	2280.9	2283.9	2286.9	2289.9	2292.9	2295.9	2298.9	2301.9	2304.9	2307.9	2310.9	2313.9	2316.9	2319.9	2322.9	2325.9	2328.9	2331.9	2334.9	2337.9	2340.9	2343.9	2346.9	2349.9	2352.9	2355.9	2358.9	2361.9	2364.9	2367.9	2370.9	2373.9	2376.9	2379.9	2382.9	2385.9	2388.9	2391.9	2394.9	2397.9	2400.9	2403.9	2406.9	2409.9	2412.9	2415.9	2418.9	2421.9	2424.9	2427.9	2430.9	2433.9	2436.9	2439.9	2442.9	2445.9	2448.9	2451.9	2454.9	2457.9	2460.9	2463.9	2466.9	2469.9	2472.9	2475.9	2478.9	2481.9	2484.9	2487.9	2490.9	2493.9	2496.9	2499.9	2502.9	2505.9	2508.9	2511.9	2514.9	2517.9	2520.9	2523.9	2526.9	2529.9	2532.9	2535.9	2538.9	2541.9	2544.9	2547.9	2550.9	2553.9	2556.9	2559.9	2562.9	2565.9	2568.9	2571.9	2574.9	2577.9	2580.9	2583.9	2586.9	2589.9	2592.9	2595.9	2598.9	2601.9	2604.9	2607.9	2610.9	2613.9	2616.9	2619.9	2622.9	2625.9	2628.9	2631.9	2634.9	2637.9	2640.9	2643.9	2646.9	2649.9	2652.9	2655.9	2658.9	2661.9	2664.9	2667.9	2670.9	2673.9	2676.9	2679.9	2682.9	2685.9	2688.9	2691.9	2694.9	2697.9	2700.9	2703.9	2706.9	2709.9	2712.9	2715.9	2718.9	2721.9	2724.9	2727.9	2730.9	2733.9	2736.9	2739.9	2742.9	2745.9	2748.9	2751.9	2754.9	2757.9	2760.9	2763.9	2766.9	2769.9	2772.9	2775.9	2778.9	2781.9	2784.9	2787.9	2790.9	2793.9	2796

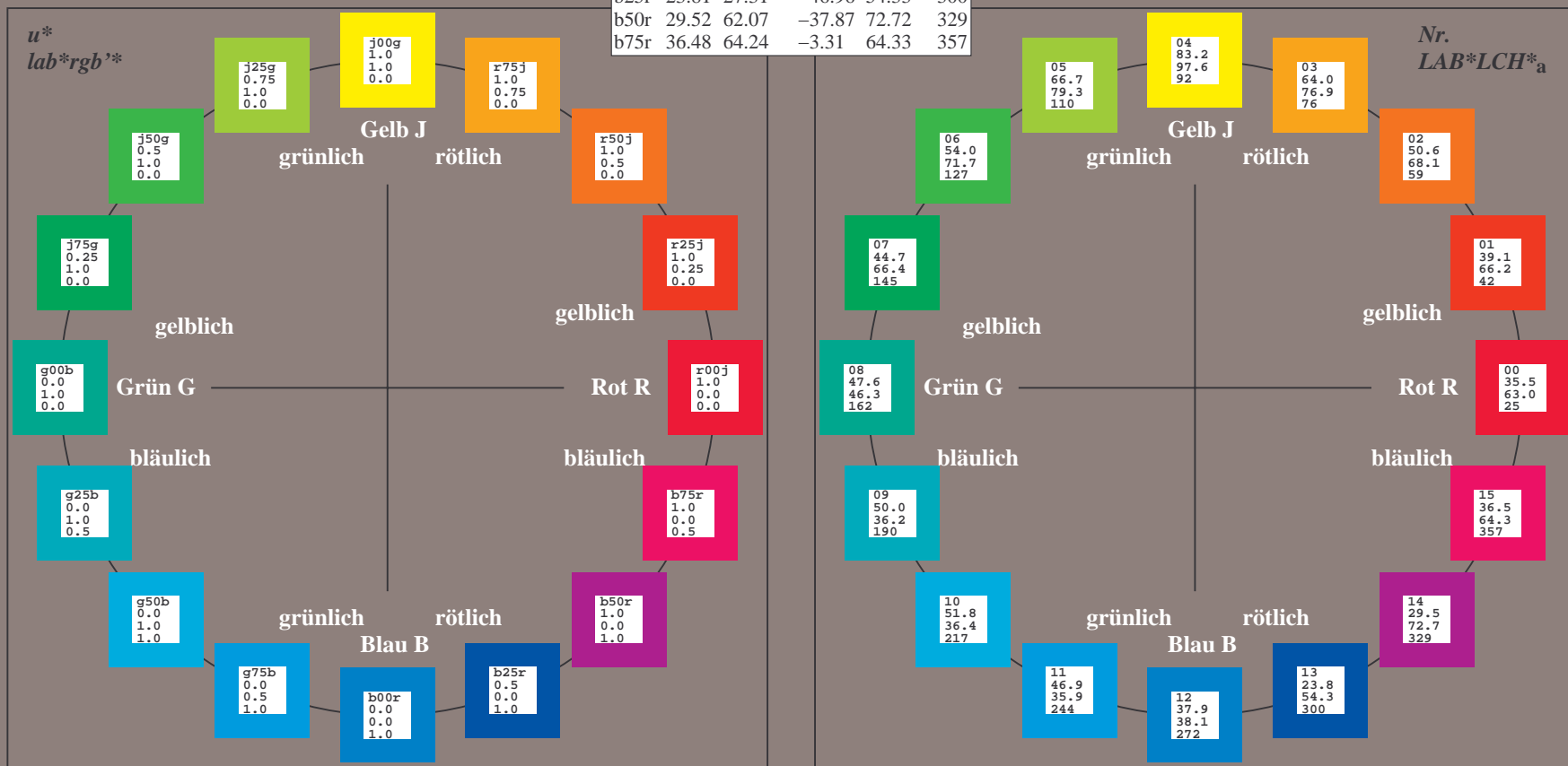
Ein und Ausgabe:
Farbmetrisches Drucker-Reflektiv-System FRS15_90aM
Daten für jede Farbe:
*lab*_{rgb}** und *lab*_{icu}**
Elementar-Bunttontext:
*u** = 16 Buntttöne *r00j*, *r25j*, ..., *b75r*
Kontrastreduzierungsfaktor:
c_R = 0.9

FRS15_90aM; adaptierte CIELAB-Daten					
	<i>L*</i> = <i>L*</i> _a	<i>a*</i> _a	<i>b*</i> _a	<i>C*</i> _{ab,a}	<i>h*</i> _{ab,a}
r00j	35.47	56.92	27.12	63.05	25
r25j	39.12	49.04	44.45	66.19	42
r50j	50.64	35.19	58.33	68.13	59
r75j	64.01	19.11	74.45	76.87	76
j00g	83.18	-3.93	97.56	97.64	92
j25g	66.73	-26.86	74.66	79.35	110
j50g	54.03	-43.42	57.07	71.71	127
j75g	44.73	-54.21	38.33	66.4	145
g00b	47.59	-44.11	14.14	46.33	162
g25b	49.97	-35.68	-6.03	36.19	190
g50b	51.85	-29.05	-21.88	36.38	217
g75b	46.92	-15.53	-32.37	35.92	244
b00r	37.91	1.15	-38.05	38.08	272
b25r	23.81	27.31	-46.96	54.33	300
b50r	29.52	62.07	-37.87	72.72	329
b75r	36.48	64.24	-3.31	64.33	357



%Umfang
*u**_{rel} = 88
%Regularität
*g**_{H,rel} = 31
*g**_{C,rel} = 40

FRS15_90aM; CIELAB-Daten					
	<i>L*</i> = <i>L*</i>	<i>a*</i>	<i>b*</i>	<i>C*</i> _{ab}	<i>h*</i> _{ab}
O _M	35.06	54.41	35.65	65.05	33
Y _M	83.77	-4.03	92.72	92.8	92
L _M	44.13	-55.82	39.15	68.19	145
C _M	52.66	-25.66	-33.24	42.01	232
V _M	14.15	45.64	-56.26	72.45	309
M _M	37.37	71.17	-34.08	78.92	334
N _M	15.0	0.43	-3.22	3.26	278
W _M	90.0	0.62	-5.75	5.79	276
R _{CIE}	39.92	58.74	27.99	65.07	25
J _{CIE}	81.26	-2.88	71.56	71.62	92
G _{CIE}	52.23	-42.41	13.6	44.55	162
B _{CIE}	30.57	1.41	-46.46	46.49	272



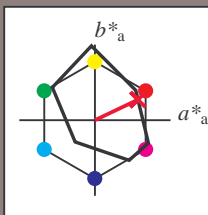
Ein und Ausgabe: Farbmetrisches Drucker-Reflektiv-System FRS15_90aM für relativen CIELAB-Buntton $h^* = lab^*h^* = h_{ab}/360 = 25/360 = 0.071$ $u^* = r00j$

Daten für jede Farbe:
 lab^*ch^* und lab^*icu^*

Elementar-Bunttonext:
 $u^* = r00j$

Kontrastreduzierungsfaktor:
 $c_R = 0.9$

Dreiecks-Helligkeit i^*



FRS15_90aM; CIELAB-Daten					
	$L^*=L^*$	a^*	b^*	C^*_{ab}	h^*_{ab}
O _M	35.06	54.41	35.65	65.05	33
Y _M	83.77	-4.03	92.72	92.8	92
L _M	44.13	-55.82	39.15	68.19	145
C _M	52.66	-25.66	-33.24	42.01	232
V _M	14.15	45.64	-56.26	72.45	309
M _M	37.37	71.17	-34.08	78.92	334
N _M	15.0	0.43	-3.22	3.26	278
W _M	90.0	0.62	-5.75	5.79	276
R _{CIE}	39.92	58.74	27.99	65.07	25
J _{CIE}	81.26	-2.88	71.56	71.62	92
G _{CIE}	52.23	-42.41	13.6	44.55	162
B _{CIE}	30.57	1.41	-46.46	46.49	272

Daten für Maximalfarbe (Ma):

$LAB^*LAB^*_{Ma}$: 35 57 27

$LAB^*LCH^*_{Ma}$: 35 63 25

$lab^*rgb^*_{Ma}$: 1.0 0.0 0.0

$lab^*olv^*_{Ma}$: 1.0 0.0 0.18

Dreiecks-Helligkeit i^*

%Umfang

$u^*_{rel} = 88$

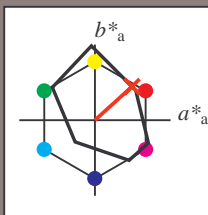
%Regularität

$g^*_{H,rel} = 31$

$g^*_{C,rel} = 40$

FRS15_90aM; adaptierte CIELAB-Daten					
	$L^*=L^*_a$	a^*_a	b^*_a	$C^*_{ab,a}$	$h^*_{ab,a}$
r00j	35.47	56.92	27.12	63.05	25
r25j	39.12	49.04	44.45	66.19	42
r50j	50.64	35.19	58.33	68.13	59
r75j	64.01	19.11	74.45	76.87	76
j00g	83.18	-3.93	97.56	97.64	92
j25g	66.73	-26.86	74.66	79.35	110
j50g	54.03	-43.42	57.07	71.71	127
j75g	44.73	-54.21	38.33	66.4	145
g00b	47.59	-44.11	14.14	46.33	162
g25b	49.97	-35.68	-6.03	36.19	190
g50b	51.85	-29.05	-21.88	36.38	217
g75b	46.92	-15.53	-32.37	35.92	244
b00r	37.91	1.15	-38.05	38.08	272
b25r	23.81	27.31	-46.96	54.33	300
b50r	29.52	62.07	-37.87	72.72	329
b75r	36.48	64.24	-3.31	64.33	357

Ein und Ausgabe: Farbmetrisches Drucker-Reflektiv-System FRS15_90aM für relativen CIELAB-Buntton $h^* = lab^*h^* = h_{ab}/360 = 42/360 = 0.117$ $u^* = r25j$
Daten für jede Farbe:
 lab^*ch^* und lab^*icu^*
Elementar-Bunttontext:
 $u^* = r25j$
Kontrastreduzierungsfaktor:
 $c_R = 0.9$
Dreiecks-Helligkeit t^*



FRS15_90aM; CIELAB-Daten					
	$L^*=L^*$	a^*	b^*	C^*_{ab}	h^*_{ab}
O _M	35.06	54.41	35.65	65.05	33
Y _M	83.77	-4.03	92.72	92.8	92
L _M	44.13	-55.82	39.15	68.19	145
C _M	52.66	-25.66	-33.24	42.01	232
V _M	14.15	45.64	-56.26	72.45	309
M _M	37.37	71.17	-34.08	78.92	334
N _M	15.0	0.43	-3.22	3.26	278
W _M	90.0	0.62	-5.75	5.79	276
R _{CIE}	39.92	58.74	27.99	65.07	25
J _{CIE}	81.26	-2.88	71.56	71.62	92
G _{CIE}	52.23	-42.41	13.6	44.55	162
B _{CIE}	30.57	1.41	-46.46	46.49	272

Daten für Maximalfarbe (Ma):

$LAB^*LAB^*_{Ma}$: 39 49 44

$LAB^*LCH^*_{Ma}$: 39 66 42

$lab^*rgb^*_{Ma}$: 1.0 0.25 0.0

$lab^*olv^*_{Ma}$: 1.0 0.08 0.0

Dreiecks-Helligkeit t^*

%Umfang

$u^*_{rel} = 88$

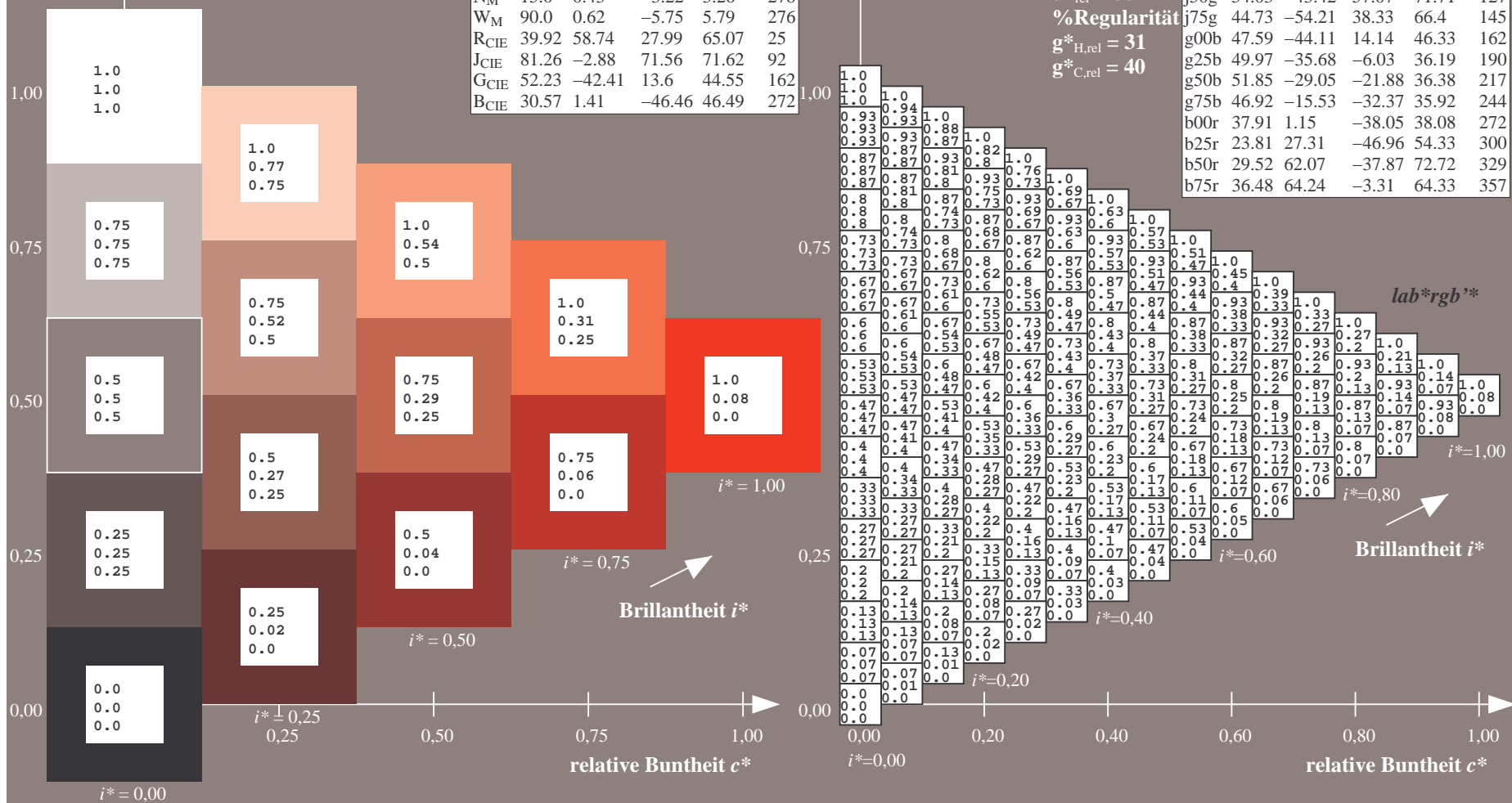
%Regularität

$g^*_{H,rel} = 31$

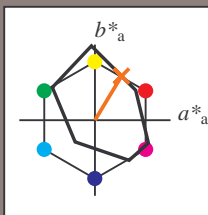
$g^*_{C,rel} = 40$

FRS15_90aM; adaptierte CIELAB-Daten

	$L^*=L^*_a$	a^*_a	b^*_a	$C^*_{ab,a}$	$h^*_{ab,a}$
r00j	35.47	56.92	27.12	63.05	25
r25j	39.12	49.04	44.45	66.19	42
r50j	50.64	35.19	58.33	68.13	59
r75j	64.01	19.11	74.45	76.87	76
j00g	83.18	-3.93	97.56	97.64	92
j25g	66.73	-26.86	74.66	79.35	110
j50g	54.03	-43.42	57.07	71.71	127
j75g	44.73	-54.21	38.33	66.4	145
g00b	47.59	-44.11	14.14	46.33	162
g25b	49.97	-35.68	-6.03	36.19	190
g50b	51.85	-29.05	-21.88	36.38	217
g75b	46.92	-15.53	-32.37	35.92	244
b00r	37.91	1.15	-38.05	38.08	272
b25r	23.81	27.31	-46.96	54.33	300
b50r	29.52	62.07	-37.87	72.72	329
b75r	36.48	64.24	-3.31	64.33	357



Ein und Ausgabe: Farbmetrisches Drucker-Reflektiv-System FRS15_90aM für relativen CIELAB-Buntton $h^* = lab^*h^* = h_{ab}/360 = 59/360 = 0.164$ $u^* = r50j$
Daten für jede Farbe:
 lab^*ch^* und lab^*icu^*
Elementar-Bunttontext:
 $u^* = r50j$
Kontrastreduzierungsfaktor:
 $c_R = 0.9$
Dreiecks-Helligkeit i^*



FRS15_90aM; CIELAB-Daten					
	$L^*=L^*$	a^*	b^*	C^*_{ab}	h^*_{ab}
O _M	35.06	54.41	35.65	65.05	33
Y _M	83.77	-4.03	92.72	92.8	92
L _M	44.13	-55.82	39.15	68.19	145
C _M	52.66	-25.66	-33.24	42.01	232
V _M	14.15	45.64	-56.26	72.45	309
M _M	37.37	71.17	-34.08	78.92	334
N _M	15.0	0.43	-3.22	3.26	278
W _M	90.0	0.62	-5.75	5.79	276
R _{CIE}	39.92	58.74	27.99	65.07	25
J _{CIE}	81.26	-2.88	71.56	71.62	92
G _{CIE}	52.23	-42.41	13.6	44.55	162
B _{CIE}	30.57	1.41	-46.46	46.49	272

Daten für Maximalfarbe (Ma):

$LAB^*LAB^*_{Ma}$: 51 35 58

$LAB^*LCH^*_{Ma}$: 51 68 59

$lab^*rgb^*_{Ma}$: 1.0 0.5 0.0

$lab^*olv^*_{Ma}$: 1.0 0.32 0.0

Dreiecks-Helligkeit i^*

%Umfang

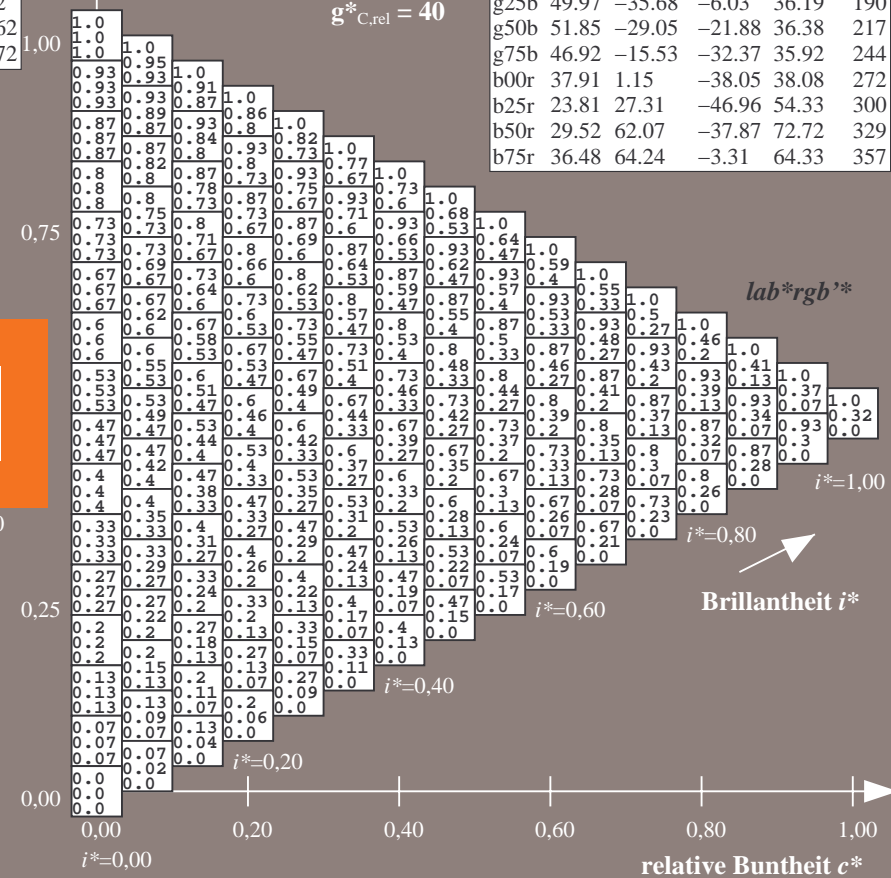
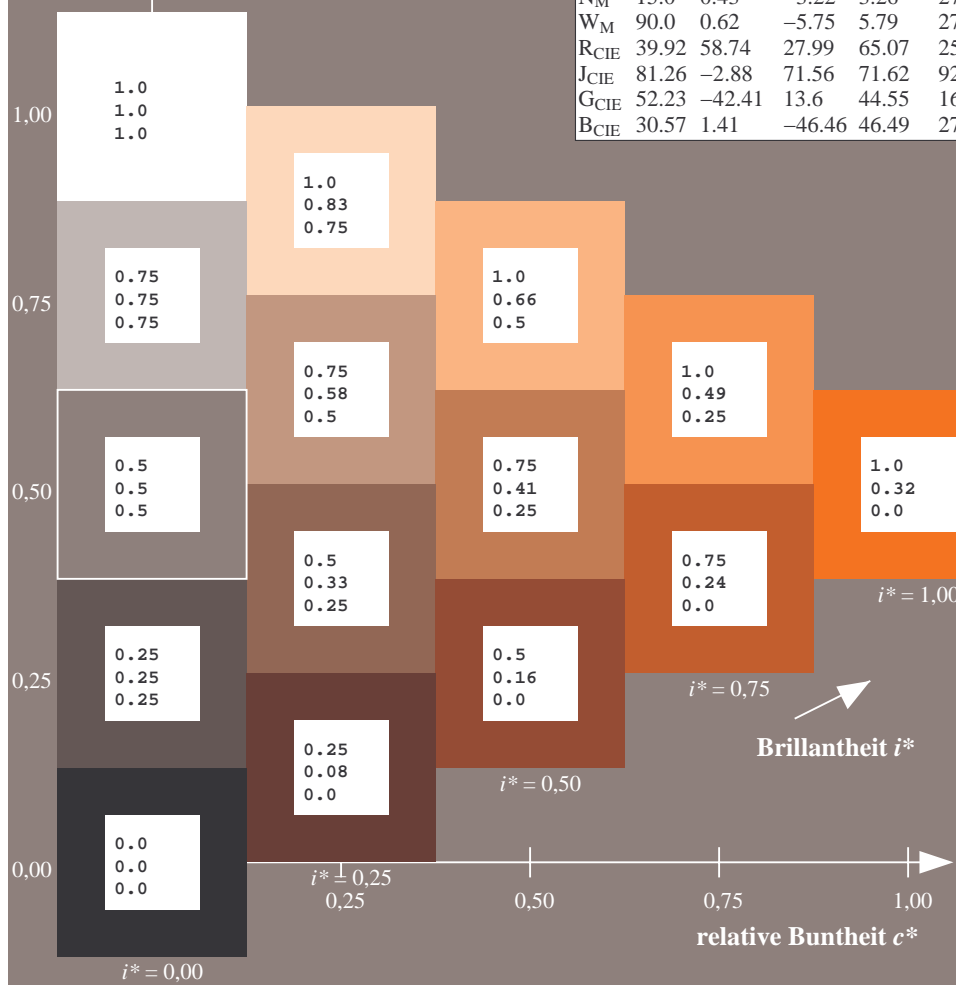
$u^*_{rel} = 88$

%Regularität

$g^*_{H,rel} = 31$

$g^*_{C,rel} = 40$

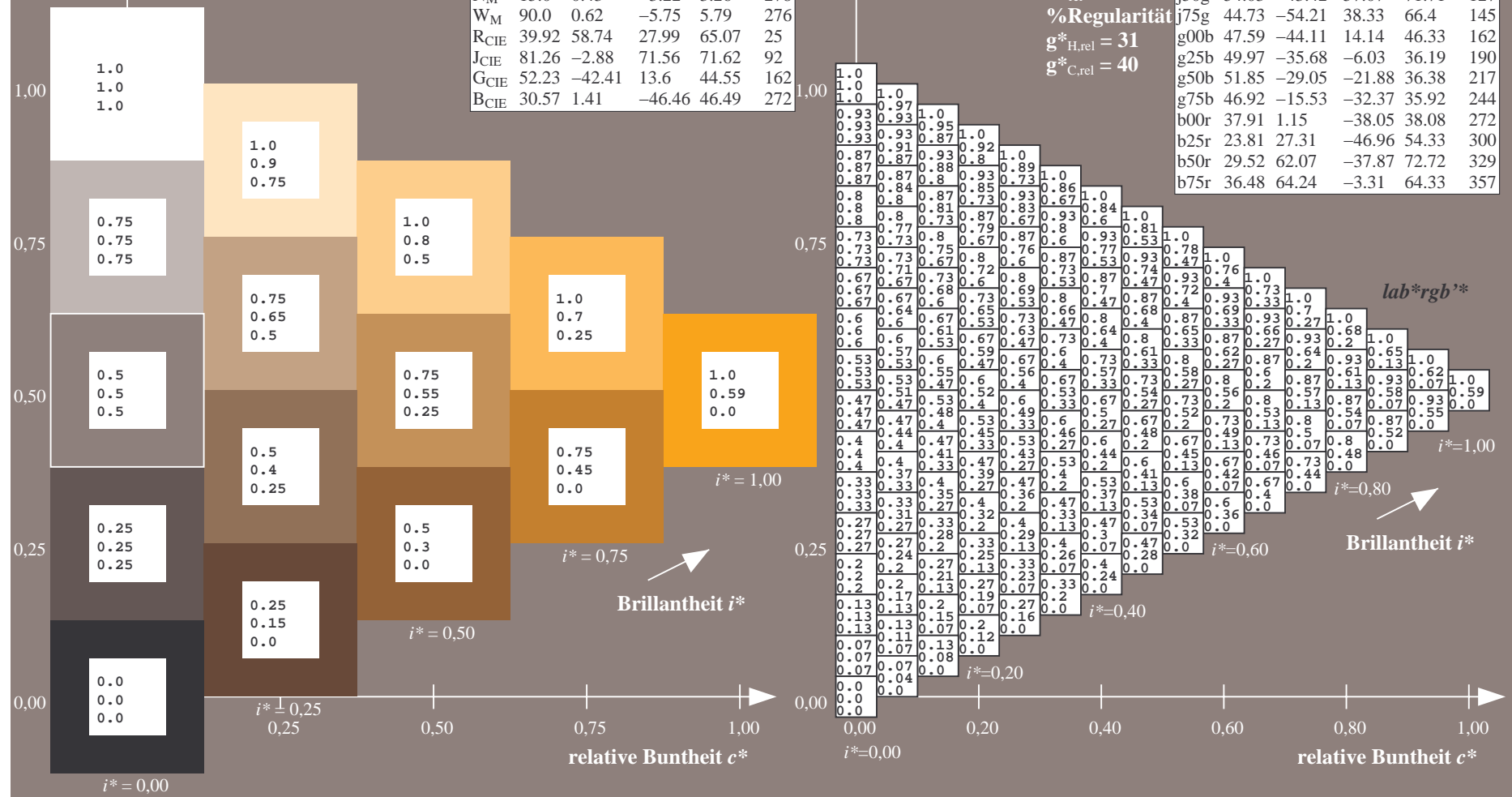
FRS15_90aM; adaptierte CIELAB-Daten					
	$L^*=L^*_a$	a^*_a	b^*_a	$C^*_{ab,a}$	$h^*_{ab,a}$
r00j	35.47	56.92	27.12	63.05	25
r25j	39.12	49.04	44.45	66.19	42
r50j	50.64	35.19	58.33	68.13	59
r75j	64.01	19.11	74.45	76.87	76
j00g	83.18	-3.93	97.56	97.64	92
j25g	66.73	-26.86	74.66	79.35	110
j50g	54.03	-43.42	57.07	71.71	127
j75g	44.73	-54.21	38.33	66.4	145
g00b	47.59	-44.11	14.14	46.33	162
g25b	49.97	-35.68	-6.03	36.19	190
g50b	51.85	-29.05	-21.88	36.38	217
g75b	46.92	-15.53	-32.37	35.92	244
b00r	37.91	1.15	-38.05	38.08	272
b25r	23.81	27.31	-46.96	54.33	300
b50r	29.52	62.07	-37.87	72.72	329
b75r	36.48	64.24	-3.31	64.33	357



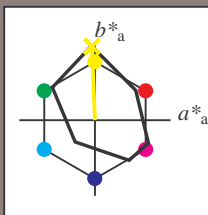
100



r00j	35.47	56.92	27.12	63.05	25
r25j	39.12	49.04	44.45	66.19	42
r50j	50.64	35.19	58.33	68.13	59
r75j	64.01	19.11	74.45	76.87	76
j00g	83.18	-3.93	97.56	97.64	92
j25g	66.73	-26.86	74.66	79.35	110
j50g	54.03	-43.42	57.07	71.71	127
j75g	44.73	-54.21	38.33	66.4	145
g00b	47.59	-44.11	14.14	46.33	162
g25b	49.97	-35.68	-6.03	36.19	190
g50b	51.85	-29.05	-21.88	36.38	217
g75b	46.92	-15.53	-32.37	35.92	244
b00r	37.91	1.15	-38.05	38.08	272
b25r	23.81	27.31	-46.96	54.33	300
b50r	29.52	62.07	-37.87	72.72	329
b75r	36.48	64.24	-3.31	64.33	357



Ein und Ausgabe: Farbmetrisches Drucker-Reflektiv-System FRS15_90aM für relativen CIELAB-Buntton $h^* = lab^*h^* = h_{ab}/360 = 92/360 = 0.256$ $u^* = j00g$
Daten für jede Farbe:
 lab^*ch^* und lab^*icu^*
Elementar-Bunttontext:
 $u^* = j00g$
Kontrastreduzierungsfaktor:
 $c_R = 0.9$
Dreiecks-Helligkeit i^*



FRS15_90aM; CIELAB-Daten					
	$L^*=L^*$	a^*	b^*	C^*_{ab}	h^*_{ab}
O _M	35.06	54.41	35.65	65.05	33
Y _M	83.77	-4.03	92.72	92.8	92
L _M	44.13	-55.82	39.15	68.19	145
C _M	52.66	-25.66	-33.24	42.01	232
V _M	14.15	45.64	-56.26	72.45	309
M _M	37.37	71.17	-34.08	78.92	334
N _M	15.0	0.43	-3.22	3.26	278
W _M	90.0	0.62	-5.75	5.79	276
R _{CIE}	39.92	58.74	27.99	65.07	25
J _{CIE}	81.26	-2.88	71.56	71.62	92
G _{CIE}	52.23	-42.41	13.6	44.55	162
B _{CIE}	30.57	1.41	-46.46	46.49	272

Daten für Maximalfarbe (Ma):

$LAB^*LAB^*_{Ma}$: 83 -3 98

$LAB^*LCH^*_{Ma}$: 83 98 92

$lab^*rgb^*_{Ma}$: 1.0 1.0 0.0

$lab^*olv^*_{Ma}$: 1.0 0.99 0.0

Dreiecks-Helligkeit i^*

%Umfang

$u^*_{rel} = 88$

%Regularität

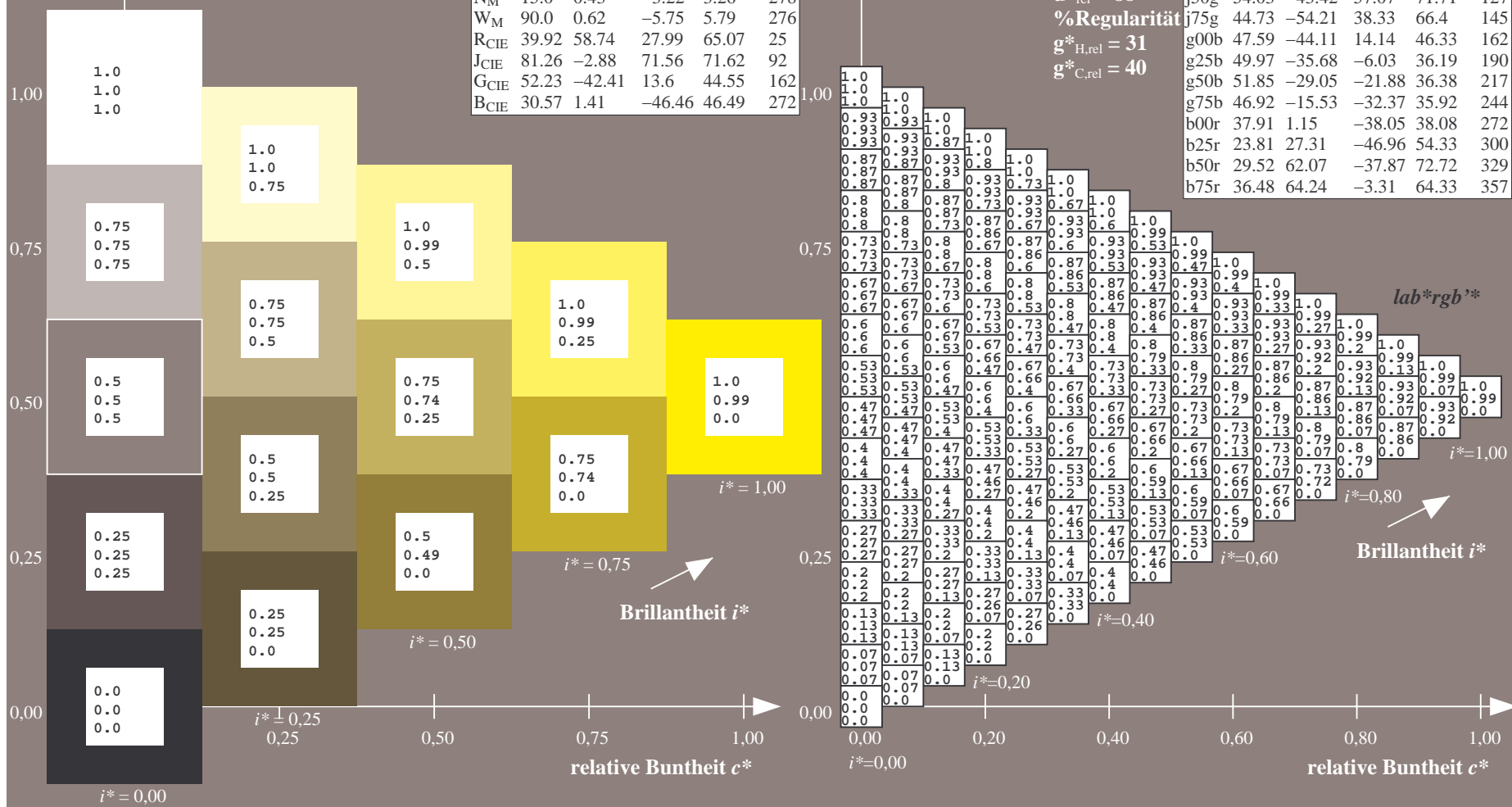
$g^*_{H,rel} = 31$

$g^*_{C,rel} = 40$

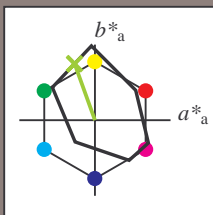
FRS15_90aM; adaptierte CIELAB-Daten					
	$L^*=L^*_a$	a^*_a	b^*_a	$C^*_{ab,a}$	$h^*_{ab,a}$
r00j	35.47	56.92	27.12	63.05	25
r25j	39.12	49.04	44.45	66.19	42
r50j	50.64	35.19	58.33	68.13	59
r75j	64.01	19.11	74.45	76.87	76
j00g	83.18	-3.93	97.56	97.64	92
j25g	66.73	-26.86	74.66	79.35	110
j50g	54.03	-43.42	57.07	71.71	127
j75g	44.73	-54.21	38.33	66.4	145
g00b	47.59	-44.11	14.14	46.33	162
g25b	49.97	-35.68	-6.03	36.19	190
g50b	51.85	-29.05	-21.88	36.38	217
g75b	46.92	-15.53	-32.37	35.92	244
b00r	37.91	1.15	-38.05	38.08	272
b25r	23.81	27.31	-46.96	54.33	300
b50r	29.52	62.07	-37.87	72.72	329
b75r	36.48	64.24	-3.31	64.33	357

Siehe ähnliche Dateien: <http://www.ps.bam.de/Dg93/>; www.ps.bam.de/Dg93/HTM
Technische Information: <http://www.ps.bam.de> Version 2.1, io=1,1, ColSpx=0

BAM-Registrierung: 20080701-Dg93/10L/L93G00NA.PS/.TXTBAM-Material: Code=rh4ta
Anwendung für Beurteilung und Messung von Drucker- oder Monitorsystemen



Ein und Ausgabe: Farbmetrisches Drucker-Reflektiv-System FRS15_90aM für relativen CIELAB-Buntton $h^* = lab^*h^* = h_{ab}/360 = 110/360 = 0.305$ $u^* = j25g$
Daten für jede Farbe:
 lab^*tch^* und lab^*icu^*
Elementar-Bunttontext:
 $u^* = j25g$
Kontrastreduzierungsfaktor:
 $c_R = 0.9$
Dreiecks-Helligkeit t^*



FRS15_90aM; CIELAB-Daten					
	$L^*=L^*$	a^*	b^*	C^*_{ab}	h^*_{ab}
O _M	35.06	54.41	35.65	65.05	33
Y _M	83.77	-4.03	92.72	92.8	92
L _M	44.13	-55.82	39.15	68.19	145
C _M	52.66	-25.66	-33.24	42.01	232
V _M	14.15	45.64	-56.26	72.45	309
M _M	37.37	71.17	-34.08	78.92	334
N _M	15.0	0.43	-3.22	3.26	278
W _M	90.0	0.62	-5.75	5.79	276
R _{CIE}	39.92	58.74	27.99	65.07	25
J _{CIE}	81.26	-2.88	71.56	71.62	92
G _{CIE}	52.23	-42.41	13.6	44.55	162
B _{CIE}	30.57	1.41	-46.46	46.49	272

Daten für Maximalfarbe (Ma):

$LAB^*LAB^*_{Ma}$: 67 -26 75

$LAB^*LCH^*_{Ma}$: 67 79 110

$lab^*rgb^*_{Ma}$: 0.75 1.0 0.0

$lab^*olv^*_{Ma}$: 0.57 1.0 0.0

Dreiecks-Helligkeit t^*

%Umfang

$u^*_{rel} = 88$

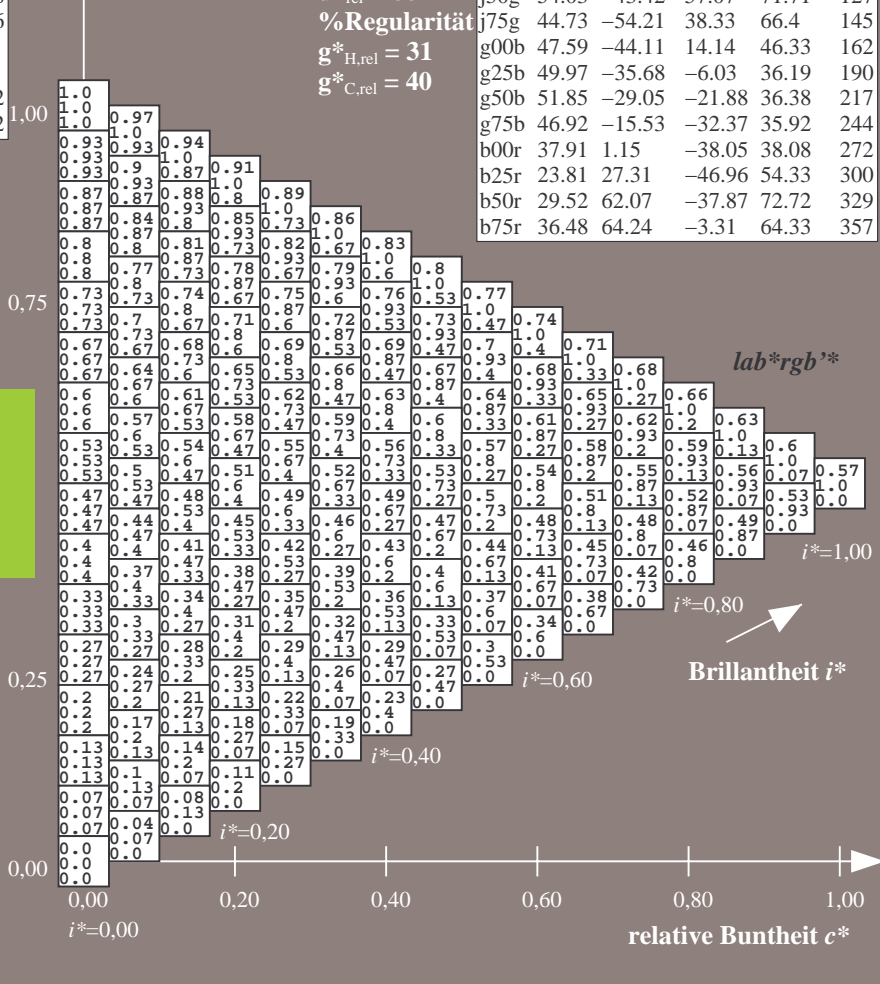
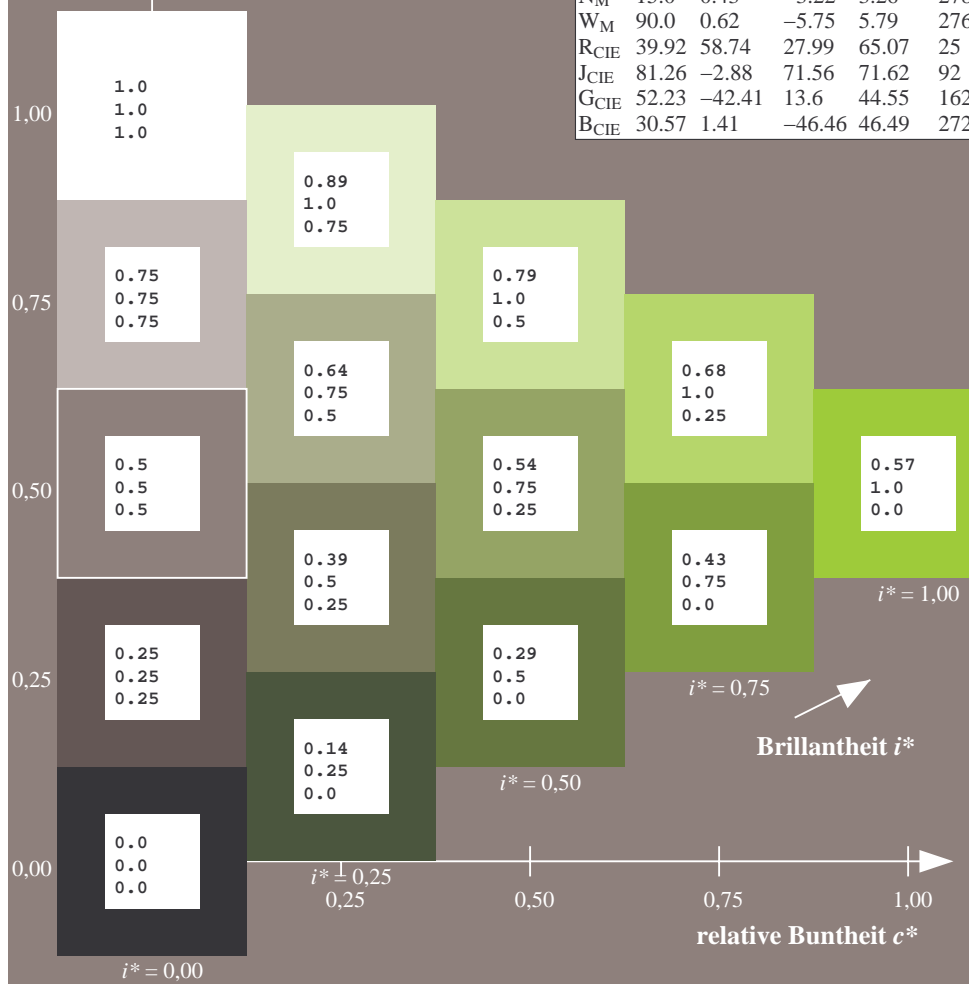
%Regularität

$g^*_{H,rel} = 31$

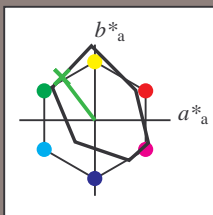
$g^*_{C,rel} = 40$

FRS15_90aM; adaptierte CIELAB-Daten

	$L^*=L^*_a$	a^*_a	b^*_a	$C^*_{ab,a}$	$h^*_{ab,a}$
r00j	35.47	56.92	27.12	63.05	25
r25j	39.12	49.04	44.45	66.19	42
r50j	50.64	35.19	58.33	68.13	59
r75j	64.01	19.11	74.45	76.87	76
j00g	83.18	-3.93	97.56	97.64	92
j25g	66.73	-26.86	74.66	79.35	110
j50g	54.03	-43.42	57.07	71.71	127
j75g	44.73	-54.21	38.33	66.4	145
g00b	47.59	-44.11	14.14	46.33	162
g25b	49.97	-35.68	-6.03	36.19	190
g50b	51.85	-29.05	-21.88	36.38	217
g75b	46.92	-15.53	-32.37	35.92	244
b00r	37.91	1.15	-38.05	38.08	272
b25r	23.81	27.31	-46.96	54.33	300
b50r	29.52	62.07	-37.87	72.72	329
b75r	36.48	64.24	-3.31	64.33	357



Ein und Ausgabe: Farbmetrisches Drucker-Reflektiv-System FRS15_90aM für relativen CIELAB-Buntton $h^* = lab^*h^* = h_{ab}/360 = 127/360 = 0.354$ $u^* = j50g$
Daten für jede Farbe:
 lab^*ch^* und lab^*icu^*
Elementar-Bunttontext:
 $u^* = j50g$
Kontrastreduzierungsfaktor:
 $c_R = 0.9$
Dreiecks-Helligkeit t^*



FRS15_90aM; CIELAB-Daten					
	$L^*=L^*$	a^*	b^*	C^*_{ab}	h^*_{ab}
O _M	35.06	54.41	35.65	65.05	33
Y _M	83.77	-4.03	92.72	92.8	92
L _M	44.13	-55.82	39.15	68.19	145
C _M	52.66	-25.66	-33.24	42.01	232
V _M	14.15	45.64	-56.26	72.45	309
M _M	37.37	71.17	-34.08	78.92	334
N _M	15.0	0.43	-3.22	3.26	278
W _M	90.0	0.62	-5.75	5.79	276
R _{CIE}	39.92	58.74	27.99	65.07	25
J _{CIE}	81.26	-2.88	71.56	71.62	92
G _{CIE}	52.23	-42.41	13.6	44.55	162
B _{CIE}	30.57	1.41	-46.46	46.49	272

Daten für Maximalfarbe (Ma):

$LAB^*LAB^*_{Ma}$: 54 -42 57

$LAB^*LCH^*_{Ma}$: 54 72 127

$lab^*rgb^*_{Ma}$: 0.5 1.0 0.0

$lab^*olv^*_{Ma}$: 0.25 1.0 0.0

Dreiecks-Helligkeit t^*

%Umfang

$u^*_{rel} = 88$

%Regularität

$g^*_{H,rel} = 31$

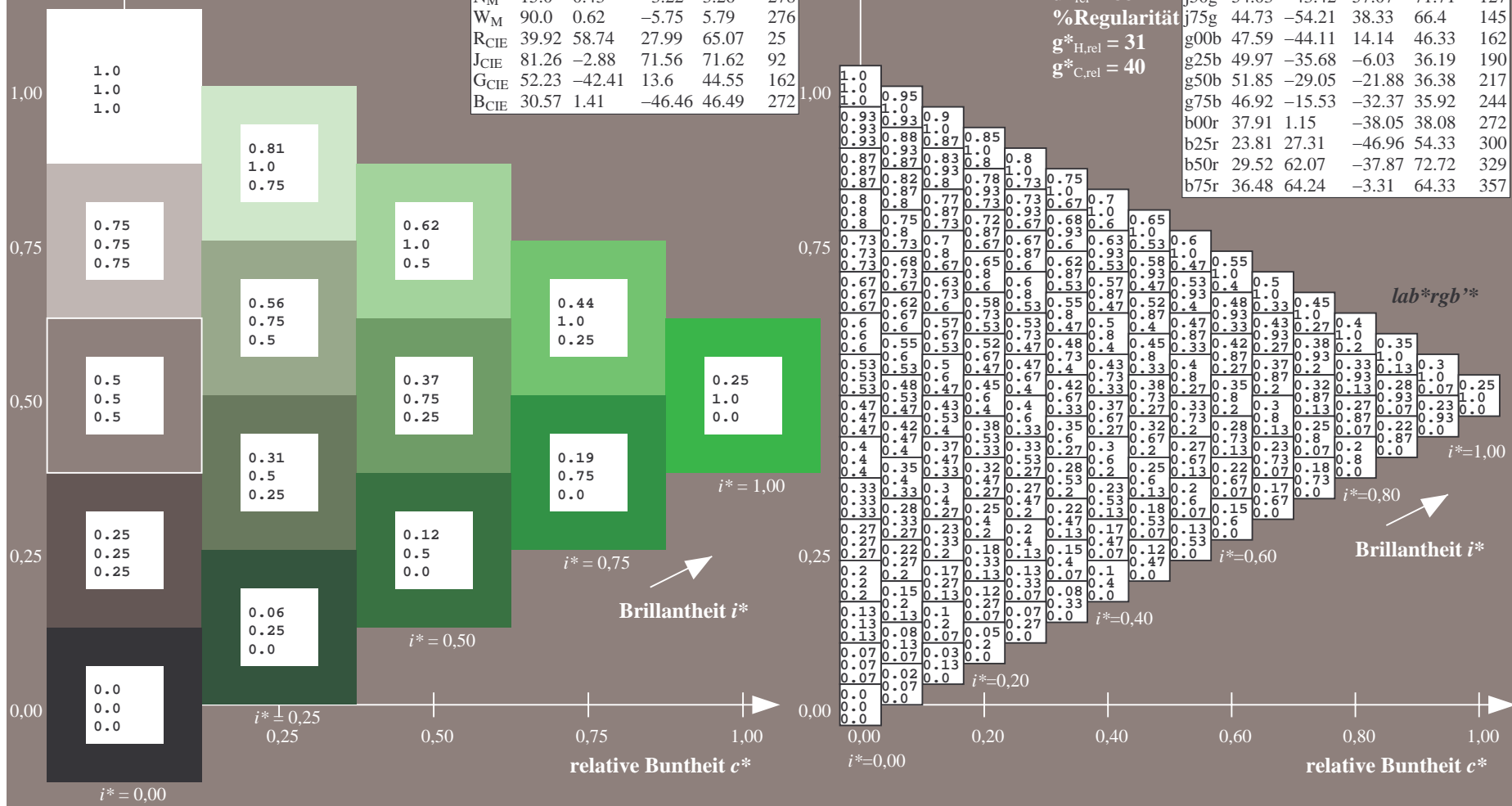
$g^*_{C,rel} = 40$

FRS15_90aM; adaptierte CIELAB-Daten

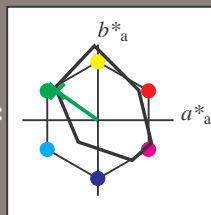
	$L^*=L^*_a$	a^*_a	b^*_a	$C^*_{ab,a}$	$h^*_{ab,a}$
r00j	35.47	56.92	27.12	63.05	25
r25j	39.12	49.04	44.45	66.19	42
r50j	50.64	35.19	58.33	68.13	59
r75j	64.01	19.11	74.45	76.87	76
j00g	83.18	-3.93	97.56	97.64	92
j25g	66.73	-26.86	74.66	79.35	110
j50g	54.03	-43.42	57.07	71.71	127
j75g	44.73	-54.21	38.33	66.4	145
g00b	47.59	-44.11	14.14	46.33	162
g25b	49.97	-35.68	-6.03	36.19	190
g50b	51.85	-29.05	-21.88	36.38	217
g75b	46.92	-15.53	-32.37	35.92	244
b00r	37.91	1.15	-38.05	38.08	272
b25r	23.81	27.31	-46.96	54.33	300
b50r	29.52	62.07	-37.87	72.72	329
b75r	36.48	64.24	-3.31	64.33	357

Siehe ähnliche Dateien: <http://www.ps.bam.de/Dg93/>; www.ps.bam.de/Dg93/HTM
Technische Information: <http://www.ps.bam.de> Version 2.1, io=1,1, ColSpx=0

BAM-Registrierung: 20080701-Dg93/10L/L93G00NA.PS/.TXTBAM-Material: Code=rh4ta
Anwendung für Beurteilung und Messung von Drucker- oder Monitorsystemen



Ein und Ausgabe: Farbmetrisches Drucker-Reflektiv-System FRS15_90aM für relativen CIELAB-Buntton $h^* = lab^*h^* = h_{ab}/360 = 145/360 = 0.402$ $u^* = j75g$
Daten für jede Farbe:
 lab^*ch^* und lab^*icu^*
Elementar-Bunttontext:
 $u^* = j75g$
Kontrastreduzierungsfaktor:
 $c_R = 0.9$
Dreiecks-Helligkeit i^*



FRS15_90aM; CIELAB-Daten					
	$L^*=L^*$	a^*	b^*	C^*_{ab}	h^*_{ab}
O _M	35.06	54.41	35.65	65.05	33
Y _M	83.77	-4.03	92.72	92.8	92
L _M	44.13	-55.82	39.15	68.19	145
C _M	52.66	-25.66	-33.24	42.01	232
V _M	14.15	45.64	-56.26	72.45	309
M _M	37.37	71.17	-34.08	78.92	334
N _M	15.0	0.43	-3.22	3.26	278
W _M	90.0	0.62	-5.75	5.79	276
R _{CIE}	39.92	58.74	27.99	65.07	25
J _{CIE}	81.26	-2.88	71.56	71.62	92
G _{CIE}	52.23	-42.41	13.6	44.55	162
B _{CIE}	30.57	1.41	-46.46	46.49	272

Daten für Maximalfarbe (Ma):

$LAB^*LAB^*_{Ma}$: 45 -53 38

$LAB^*LCH^*_{Ma}$: 45 66 145

$lab^*rgb^*_{Ma}$: 0.25 1.0 0.0

$lab^*olv^*_{Ma}$: 0.0 1.0 0.07

Dreiecks-Helligkeit i^*

%Umfang

$u^*_{rel} = 88$

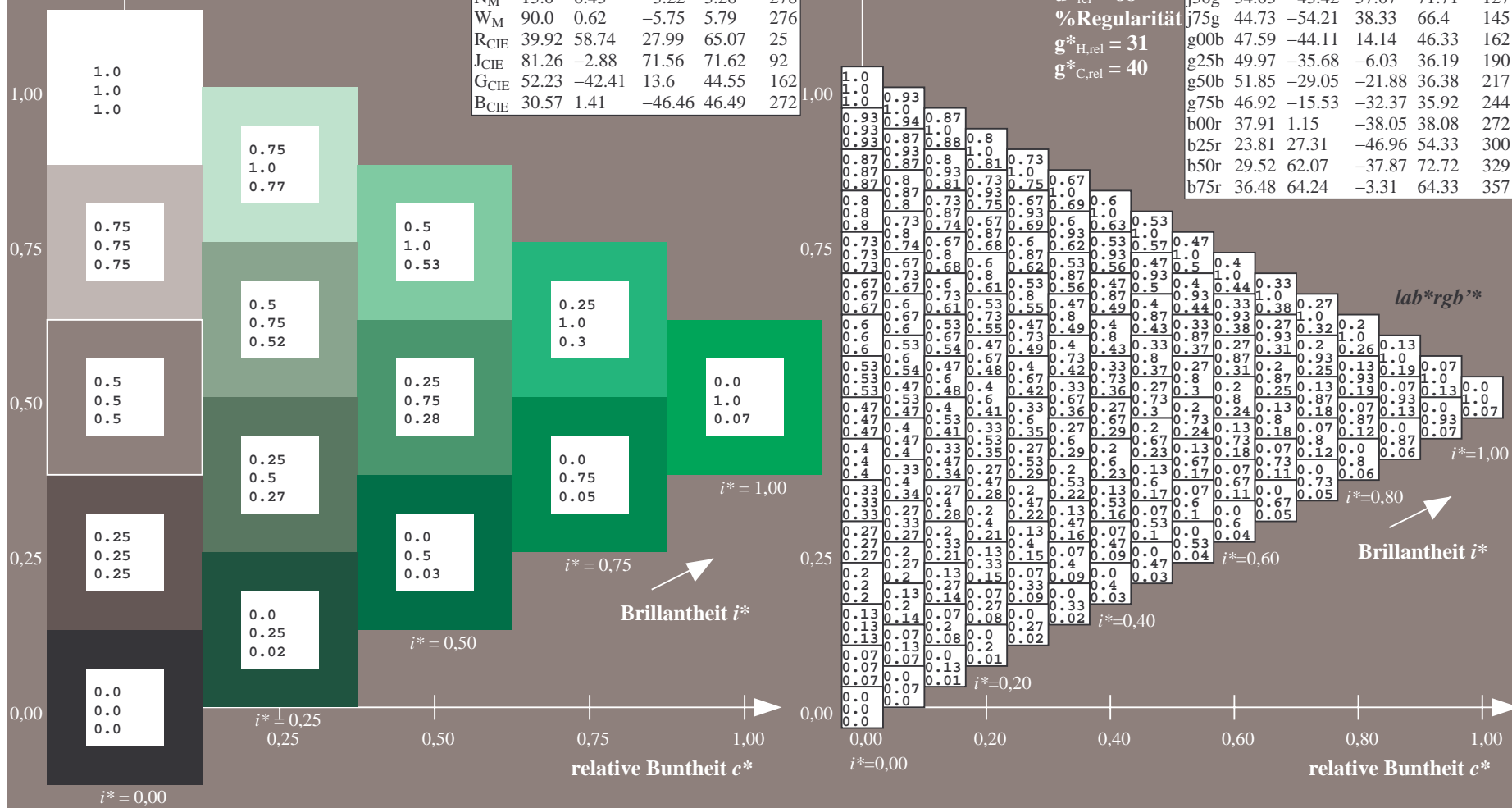
%Regularität

$g^*_{H,rel} = 31$

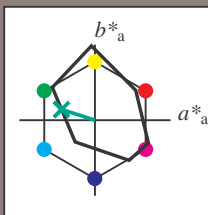
$g^*_{C,rel} = 40$

FRS15_90aM; adaptierte CIELAB-Daten

	$L^*=L^*_a$	a^*_a	b^*_a	$C^*_{ab,a}$	$h^*_{ab,a}$
r00j	35.47	56.92	27.12	63.05	25
r25j	39.12	49.04	44.45	66.19	42
r50j	50.64	35.19	58.33	68.13	59
r75j	64.01	19.11	74.45	76.87	76
j00g	83.18	-3.93	97.56	97.64	92
j25g	66.73	-26.86	74.66	79.35	110
j50g	54.03	-43.42	57.07	71.71	127
j75g	44.73	-54.21	38.33	66.4	145
g00b	47.59	-44.11	14.14	46.33	162
g25b	49.97	-35.68	-6.03	36.19	190
g50b	51.85	-29.05	-21.88	36.38	217
g75b	46.92	-15.53	-32.37	35.92	244
b00r	37.91	1.15	-38.05	38.08	272
b25r	23.81	27.31	-46.96	54.33	300
b50r	29.52	62.07	-37.87	72.72	329
b75r	36.48	64.24	-3.31	64.33	357



Ein und Ausgabe: Farbmetrisches Drucker-Reflektiv-System FRS15_90aM für relativen CIELAB-Buntton $h^* = lab^*h^* = h_{ab}/360 = 162/360 = 0.451$ $u^* = g00b$
Daten für jede Farbe:
 lab^*ch^* und lab^*icu^*
Elementar-Bunttontext:
 $u^* = g00b$
Kontrastreduzierungsfaktor:
 $c_R = 0.9$
Dreiecks-Helligkeit i^*



FRS15_90aM; CIELAB-Daten					
	$L^*=L^*$	a^*	b^*	C^*_{ab}	h^*_{ab}
O _M	35.06	54.41	35.65	65.05	33
Y _M	83.77	-4.03	92.72	92.8	92
L _M	44.13	-55.82	39.15	68.19	145
C _M	52.66	-25.66	-33.24	42.01	232
V _M	14.15	45.64	-56.26	72.45	309
M _M	37.37	71.17	-34.08	78.92	334
N _M	15.0	0.43	-3.22	3.26	278
W _M	90.0	0.62	-5.75	5.79	276
R _{CIE}	39.92	58.74	27.99	65.07	25
J _{CIE}	81.26	-2.88	71.56	71.62	92
G _{CIE}	52.23	-42.41	13.6	44.55	162
B _{CIE}	30.57	1.41	-46.46	46.49	272

Daten für Maximalfarbe (Ma):

$LAB^*LAB^*_{Ma}$: 48 -43 14

$LAB^*LCH^*_{Ma}$: 48 46 162

$lab^*rgb^*_{Ma}$: 0.0 1.0 0.0

$lab^*olv^*_{Ma}$: 0.0 1.0 0.41

Dreiecks-Helligkeit i^*

%Umfang

$u^*_{rel} = 88$

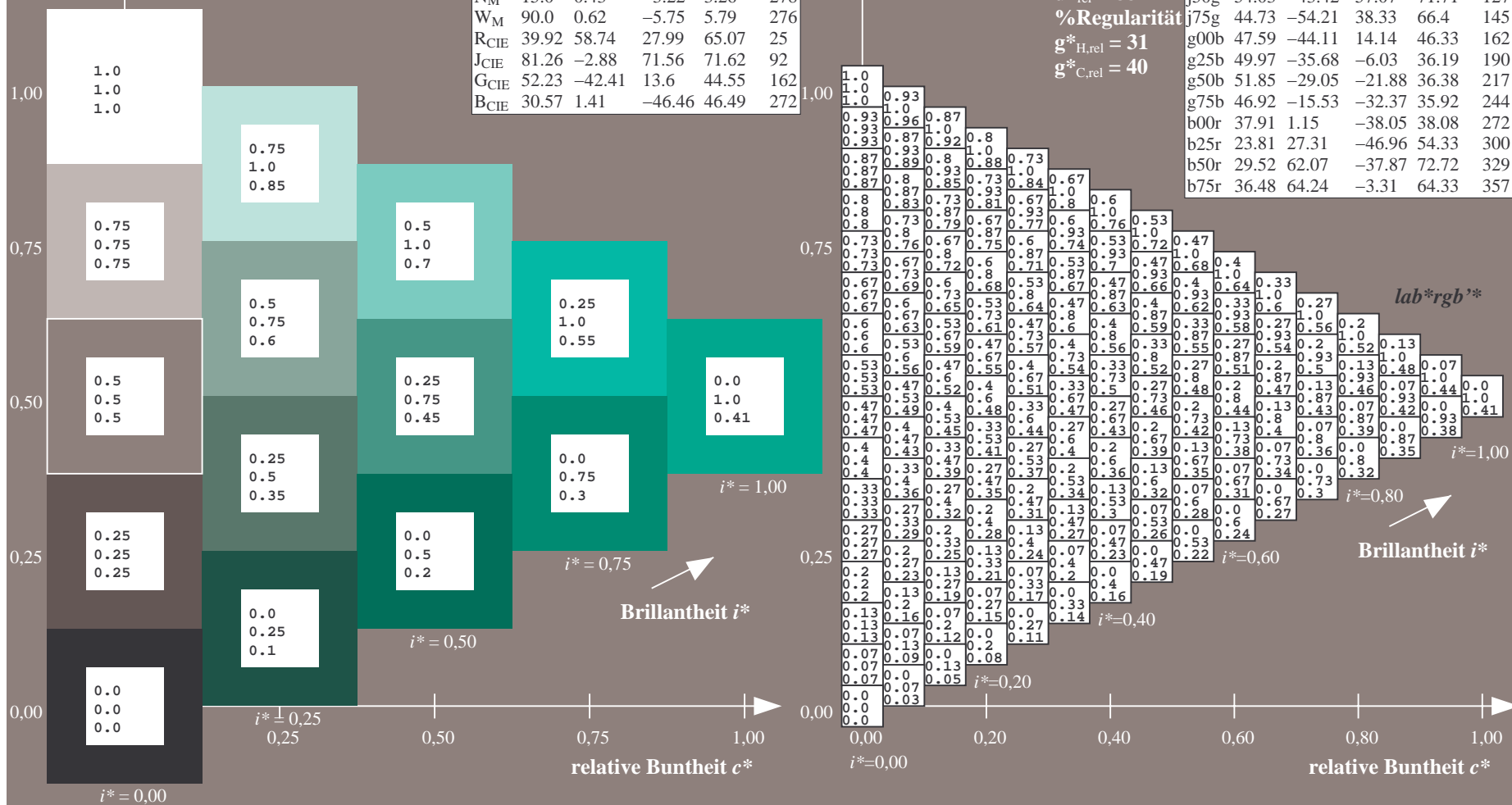
%Regularität

$g^*_{H,rel} = 31$

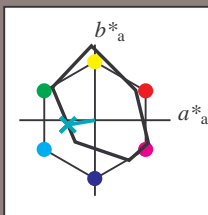
$g^*_{C,rel} = 40$

FRS15_90aM; adaptierte CIELAB-Daten

	$L^*=L^*_a$	a^*_a	b^*_a	$C^*_{ab,a}$	$h^*_{ab,a}$
r00j	35.47	56.92	27.12	63.05	25
r25j	39.12	49.04	44.45	66.19	42
r50j	50.64	35.19	58.33	68.13	59
r75j	64.01	19.11	74.45	76.87	76
j00g	83.18	-3.93	97.56	97.64	92
j25g	66.73	-26.86	74.66	79.35	110
j50g	54.03	-43.42	57.07	71.71	127
j75g	44.73	-54.21	38.33	66.4	145
g00b	47.59	-44.11	14.14	46.33	162
g25b	49.97	-35.68	-6.03	36.19	190
g50b	51.85	-29.05	-21.88	36.38	217
g75b	46.92	-15.53	-32.37	35.92	244
b00r	37.91	1.15	-38.05	38.08	272
b25r	23.81	27.31	-46.96	54.33	300
b50r	29.52	62.07	-37.87	72.72	329
b75r	36.48	64.24	-3.31	64.33	357



Ein und Ausgabe: Farbmetrisches Drucker-Reflektiv-System FRS15_90aM für relativen CIELAB-Buntton $h^* = lab^*h^* = h_{ab}/360 = 190/360 = 0.527$ $u^* = g25b$
Daten für jede Farbe:
 lab^*ch^* und lab^*icu^*
Elementar-Bunttontext:
 $u^* = g25b$
Kontrastreduzierungsfaktor:
 $c_R = 0.9$
Dreiecks-Helligkeit i^*



FRS15_90aM; CIELAB-Daten					
	$L^*=L^*$	a^*	b^*	C^*_{ab}	h^*_{ab}
O _M	35.06	54.41	35.65	65.05	33
Y _M	83.77	-4.03	92.72	92.8	92
L _M	44.13	-55.82	39.15	68.19	145
C _M	52.66	-25.66	-33.24	42.01	232
V _M	14.15	45.64	-56.26	72.45	309
M _M	37.37	71.17	-34.08	78.92	334
N _M	15.0	0.43	-3.22	3.26	278
W _M	90.0	0.62	-5.75	5.79	276
R _{CIE}	39.92	58.74	27.99	65.07	25
J _{CIE}	81.26	-2.88	71.56	71.62	92
G _{CIE}	52.23	-42.41	13.6	44.55	162
B _{CIE}	30.57	1.41	-46.46	46.49	272

Daten für Maximalfarbe (Ma):

$LAB^*LAB^*_{Ma}$: 50 -35 -5

$LAB^*LCH^*_{Ma}$: 50 36 190

$lab^*rgb^*_{Ma}$: 0.0 1.0 0.5

$lab^*olv^*_{Ma}$: 0.0 1.0 0.69

Dreiecks-Helligkeit i^*

%Umfang

$u^*_{rel} = 88$

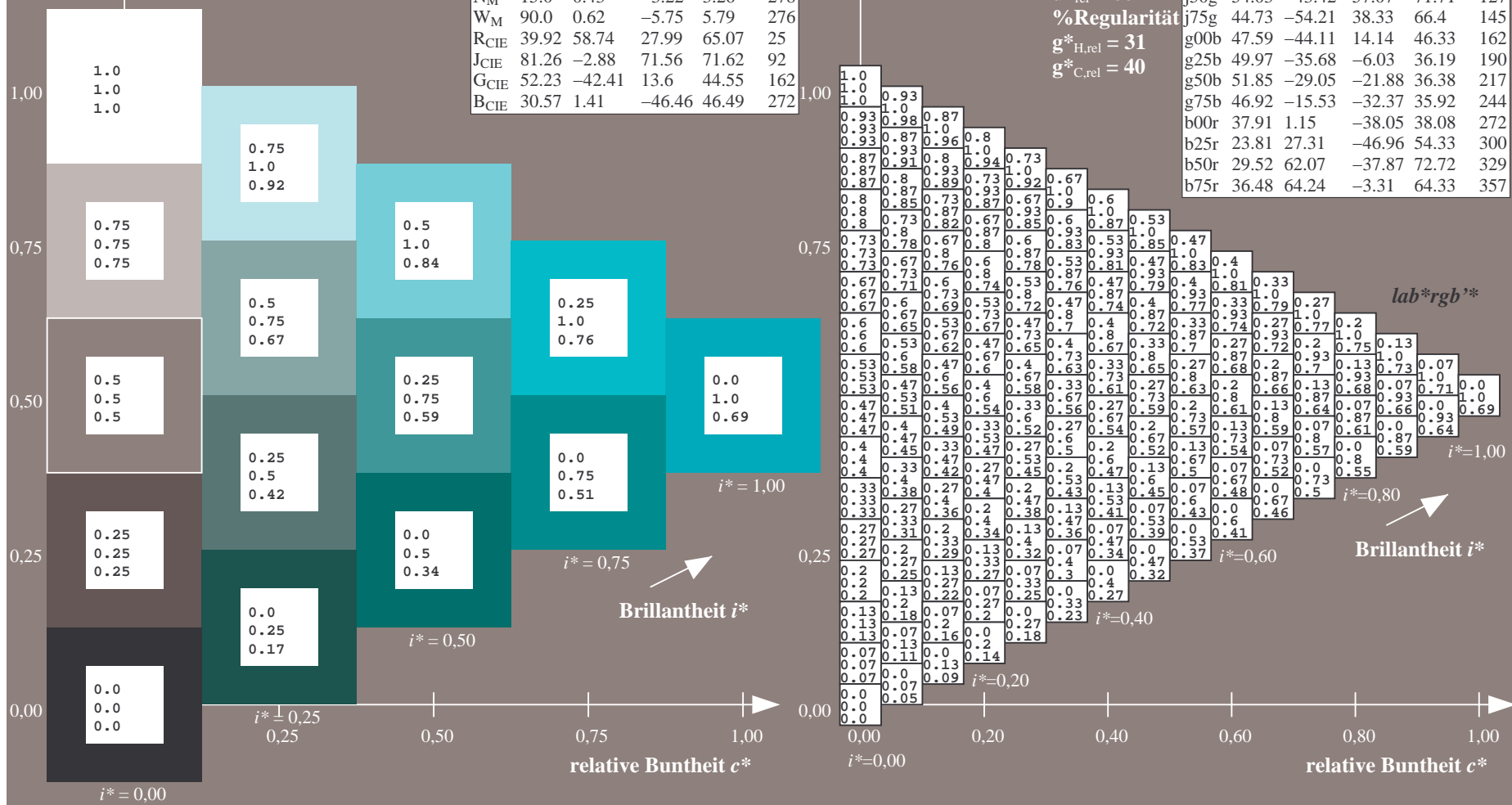
%Regularität

$g^*_{H,rel} = 31$

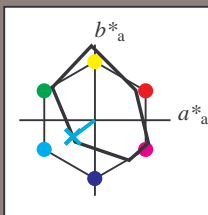
$g^*_{C,rel} = 40$

FRS15_90aM; adaptierte CIELAB-Daten

	$L^*=L^*_a$	a^*_a	b^*_a	$C^*_{ab,a}$	$h^*_{ab,a}$
r00j	35.47	56.92	27.12	63.05	25
r25j	39.12	49.04	44.45	66.19	42
r50j	50.64	35.19	58.33	68.13	59
r75j	64.01	19.11	74.45	76.87	76
j00g	83.18	-3.93	97.56	97.64	92
j25g	66.73	-26.86	74.66	79.35	110
j50g	54.03	-43.42	57.07	71.71	127
j75g	44.73	-54.21	38.33	66.4	145
g00b	47.59	-44.11	14.14	46.33	162
g25b	49.97	-35.68	-6.03	36.19	190
g50b	51.85	-29.05	-21.88	36.38	217
g75b	46.92	-15.53	-32.37	35.92	244
b00r	37.91	1.15	-38.05	38.08	272
b25r	23.81	27.31	-46.96	54.33	300
b50r	29.52	62.07	-37.87	72.72	329
b75r	36.48	64.24	-3.31	64.33	357



Ein und Ausgabe: Farbmetrisches Drucker-Reflektiv-System FRS15_90aM für relativen CIELAB-Buntton $h^* = lab^*h^* = h_{ab}/360 = 217/360 = 0.603$ $u^* = g50b$
Daten für jede Farbe:
 lab^*ch^* und lab^*icu^*
Elementar-Bunttontext:
 $u^* = g50b$
Kontrastreduzierungsfaktor:
 $c_R = 0.9$
Dreiecks-Helligkeit i^*



FRS15_90aM; CIELAB-Daten					
	$L^*=L^*$	a^*	b^*	C^*_{ab}	h^*_{ab}
O _M	35.06	54.41	35.65	65.05	33
Y _M	83.77	-4.03	92.72	92.8	92
L _M	44.13	-55.82	39.15	68.19	145
C _M	52.66	-25.66	-33.24	42.01	232
V _M	14.15	45.64	-56.26	72.45	309
M _M	37.37	71.17	-34.08	78.92	334
N _M	15.0	0.43	-3.22	3.26	278
W _M	90.0	0.62	-5.75	5.79	276
R _{CIE}	39.92	58.74	27.99	65.07	25
J _{CIE}	81.26	-2.88	71.56	71.62	92
G _{CIE}	52.23	-42.41	13.6	44.55	162
B _{CIE}	30.57	1.41	-46.46	46.49	272

Daten für Maximalfarbe (Ma):

$LAB^*LAB^*_{Ma}$: 52 -28 -21

$LAB^*LCH^*_{Ma}$: 52 36 217

$lab^*rgb^*_{Ma}$: 0.0 1.0 1.0

$lab^*olv^*_{Ma}$: 0.0 1.0 0.9

Dreiecks-Helligkeit i^*

%Umfang

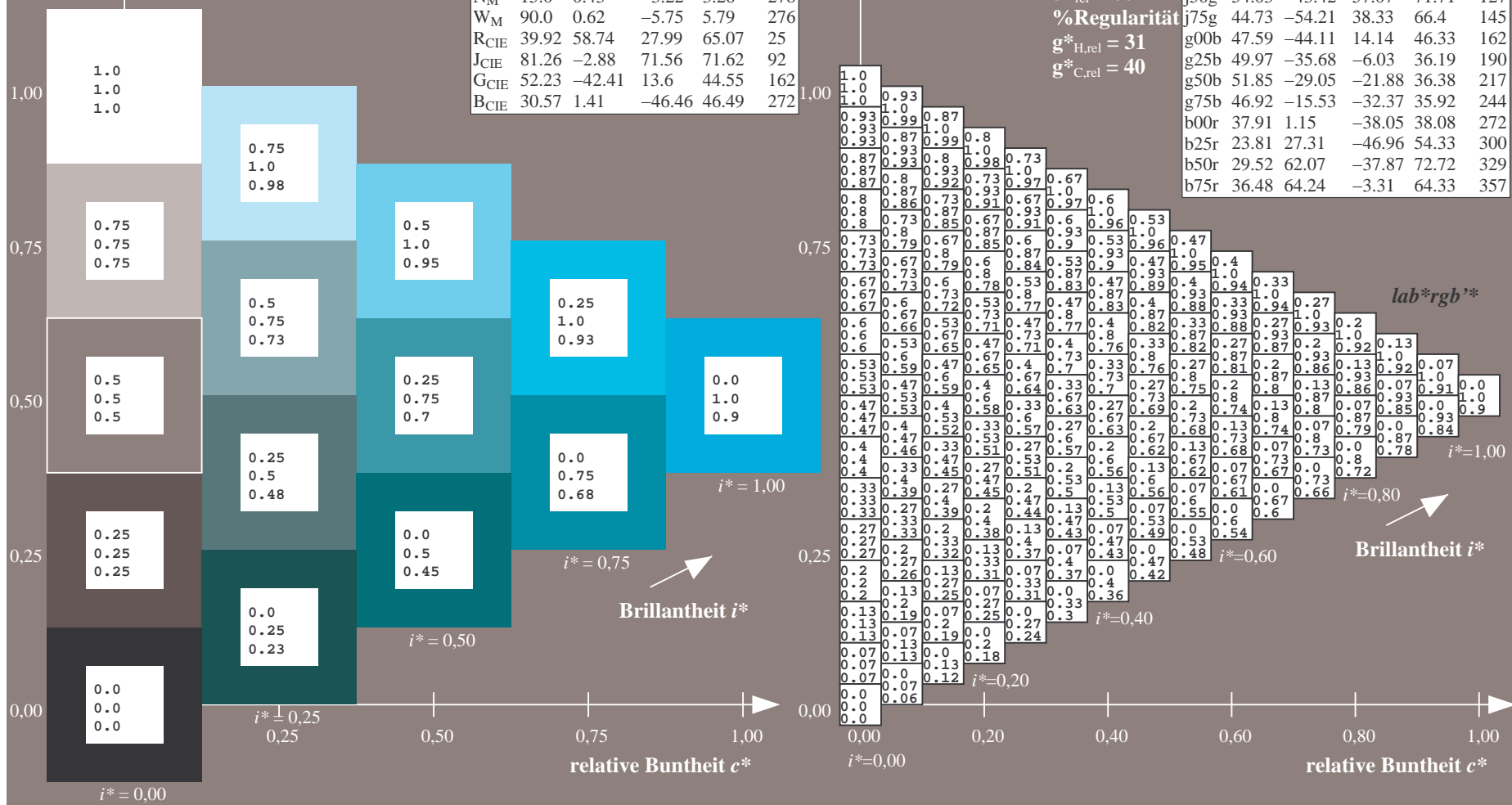
$u^*_{rel} = 88$

%Regularität

$g^*_{H,rel} = 31$

$g^*_{C,rel} = 40$

FRS15_90aM; adaptierte CIELAB-Daten					
	$L^*=L^*_a$	a^*_a	b^*_a	$C^*_{ab,a}$	$h^*_{ab,a}$
r00j	35.47	56.92	27.12	63.05	25
r25j	39.12	49.04	44.45	66.19	42
r50j	50.64	35.19	58.33	68.13	59
r75j	64.01	19.11	74.45	76.87	76
j00g	83.18	-3.93	97.56	97.64	92
j25g	66.73	-26.86	74.66	79.35	110
j50g	54.03	-43.42	57.07	71.71	127
j75g	44.73	-54.21	38.33	66.4	145
g00b	47.59	-44.11	14.14	46.33	162
g25b	49.97	-35.68	-6.03	36.19	190
g50b	51.85	-29.05	-21.88	36.38	217
g75b	46.92	-15.53	-32.37	35.92	244
b00r	37.91	1.15	-38.05	38.08	272
b25r	23.81	27.31	-46.96	54.33	300
b50r	29.52	62.07	-37.87	72.72	329
b75r	36.48	64.24	-3.31	64.33	357



100



BAM-Registrierung: 20080701-Dg93/10L/L93G00NA.PS/ .TXTBAM-Material: Code=rha4ta
Anwendung für Beurteilung und Messung von Drucker- oder Monitorsystemen

▲



-8
-6

Farbreihen, 8 Datentabellen für 16 Bunttöne *r00j* bis *b75r*

Ausgabe: $\rightarrow cmy5^* setcmycolor$

Ein und Ausgabe: Farbmetrisches Drucker-Reflektiv-System FRS15_90aM für relativen CIELAB-Buntton $h^* = lab^*h^* = h_{ab}/360 = 300/360 = 0.834$ $u^* = b25r$

Daten für jede Farbe:

lab^*ch^* und lab^*icu^*

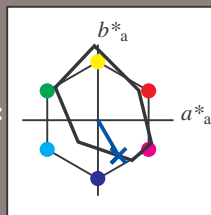
Elementar-Bunttontext:

$u^* = b25r$

Kontrastreduzierungsfaktor:

$c_R = 0.9$

Dreiecks-Helligkeit i^*



FRS15_90aM; CIELAB-Daten					
	$L^*=L^*$	a^*	b^*	C^*_{ab}	h^*_{ab}
O _M	35.06	54.41	35.65	65.05	33
Y _M	83.77	-4.03	92.72	92.8	92
L _M	44.13	-55.82	39.15	68.19	145
C _M	52.66	-25.66	-33.24	42.01	232
V _M	14.15	45.64	-56.26	72.45	309
M _M	37.37	71.17	-34.08	78.92	334
N _M	15.0	0.43	-3.22	3.26	278
W _M	90.0	0.62	-5.75	5.79	276
R _{CIE}	39.92	58.74	27.99	65.07	25
J _{CIE}	81.26	-2.88	71.56	71.62	92
G _{CIE}	52.23	-42.41	13.6	44.55	162
B _{CIE}	30.57	1.41	-46.46	46.49	272

Daten für Maximalfarbe (Ma):

$LAB^*LAB^*_{Ma}$: 24 27 -46

$LAB^*LCH^*_{Ma}$: 24 54 300

$lab^*rgb^*_{Ma}$: 0.5 0.0 1.0

$lab^*olv^*_{Ma}$: 0.0 0.25 1.0

Dreiecks-Helligkeit i^*

%Umfang

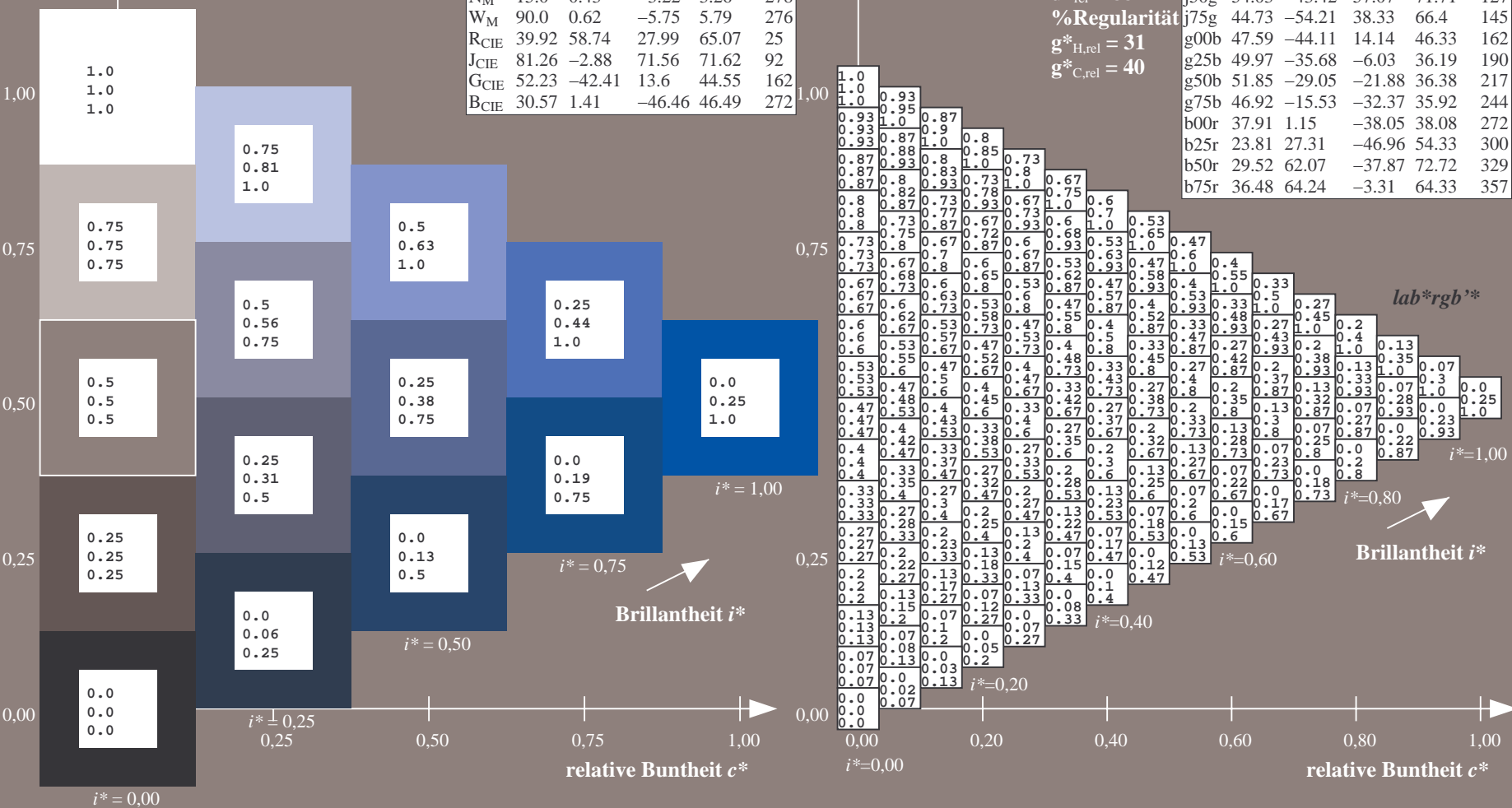
$u^*_{rel} = 88$

%Regularität

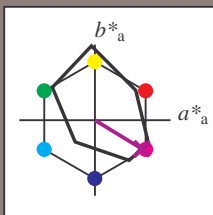
$g^*_{H,rel} = 31$

$g^*_{C,rel} = 40$

FRS15_90aM; adaptierte CIELAB-Daten					
	$L^*=L^*_a$	a^*_a	b^*_a	$C^*_{ab,a}$	$h^*_{ab,a}$
r00j	35.47	56.92	27.12	63.05	25
r25j	39.12	49.04	44.45	66.19	42
r50j	50.64	35.19	58.33	68.13	59
r75j	64.01	19.11	74.45	76.87	76
j00g	83.18	-3.93	97.56	97.64	92
j25g	66.73	-26.86	74.66	79.35	110
j50g	54.03	-43.42	57.07	71.71	127
j75g	44.73	-54.21	38.33	66.4	145
g00b	47.59	-44.11	14.14	46.33	162
g25b	49.97	-35.68	-6.03	36.19	190
g50b	51.85	-29.05	-21.88	36.38	217
g75b	46.92	-15.53	-32.37	35.92	244
b00r	37.91	1.15	-38.05	38.08	272
b25r	23.81	27.31	-46.96	54.33	300
b50r	29.52	62.07	-37.87	72.72	329
b75r	36.48	64.24	-3.31	64.33	357



Ein und Ausgabe: Farbmetrisches Drucker-Reflektiv-System FRS15_90aM für relativen CIELAB-Buntton $h^* = lab^*h^* = h_{ab}/360 = 329/360 = 0.913$ $u^* = b50r$
Daten für jede Farbe:
 lab^*ch^* und lab^*icu^*
Elementar-Bunttontext:
 $u^* = b50r$
Kontrastreduzierungsfaktor:
 $c_R = 0.9$
Dreiecks-Helligkeit t^*



FRS15_90aM; CIELAB-Daten					
	$L^*=L^*$	a^*	b^*	C^*_{ab}	h^*_{ab}
O _M	35.06	54.41	35.65	65.05	33
Y _M	83.77	-4.03	92.72	92.8	92
L _M	44.13	-55.82	39.15	68.19	145
C _M	52.66	-25.66	-33.24	42.01	232
V _M	14.15	45.64	-56.26	72.45	309
M _M	37.37	71.17	-34.08	78.92	334
N _M	15.0	0.43	-3.22	3.26	278
W _M	90.0	0.62	-5.75	5.79	276
R _{CIE}	39.92	58.74	27.99	65.07	25
J _{CIE}	81.26	-2.88	71.56	71.62	92
G _{CIE}	52.23	-42.41	13.6	44.55	162
B _{CIE}	30.57	1.41	-46.46	46.49	272

Daten für Maximalfarbe (Ma):

$LAB^*LAB^*_{Ma}$: 30 62 -37

$LAB^*LCH^*_{Ma}$: 30 73 329

$lab^*rgb^*_{Ma}$: 1.0 0.0 1.0

$lab^*olv^*_{Ma}$: 0.66 0.0 1.0

Dreiecks-Helligkeit t^*

%Umfang

$u^*_{rel} = 88$

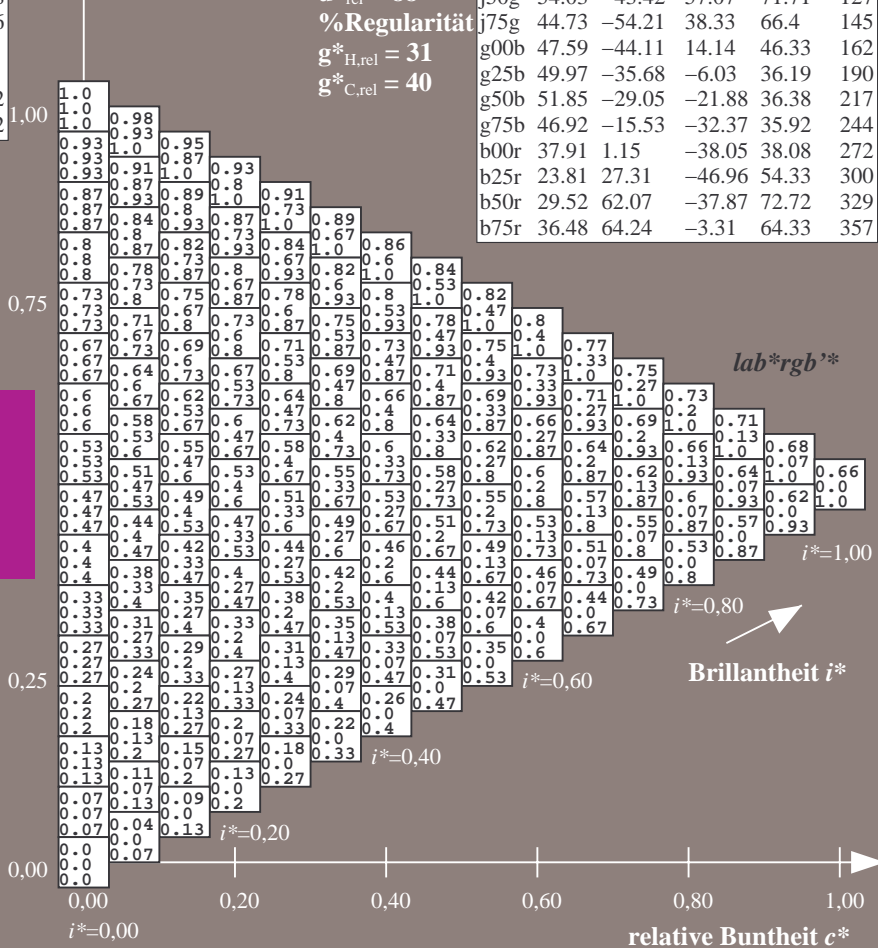
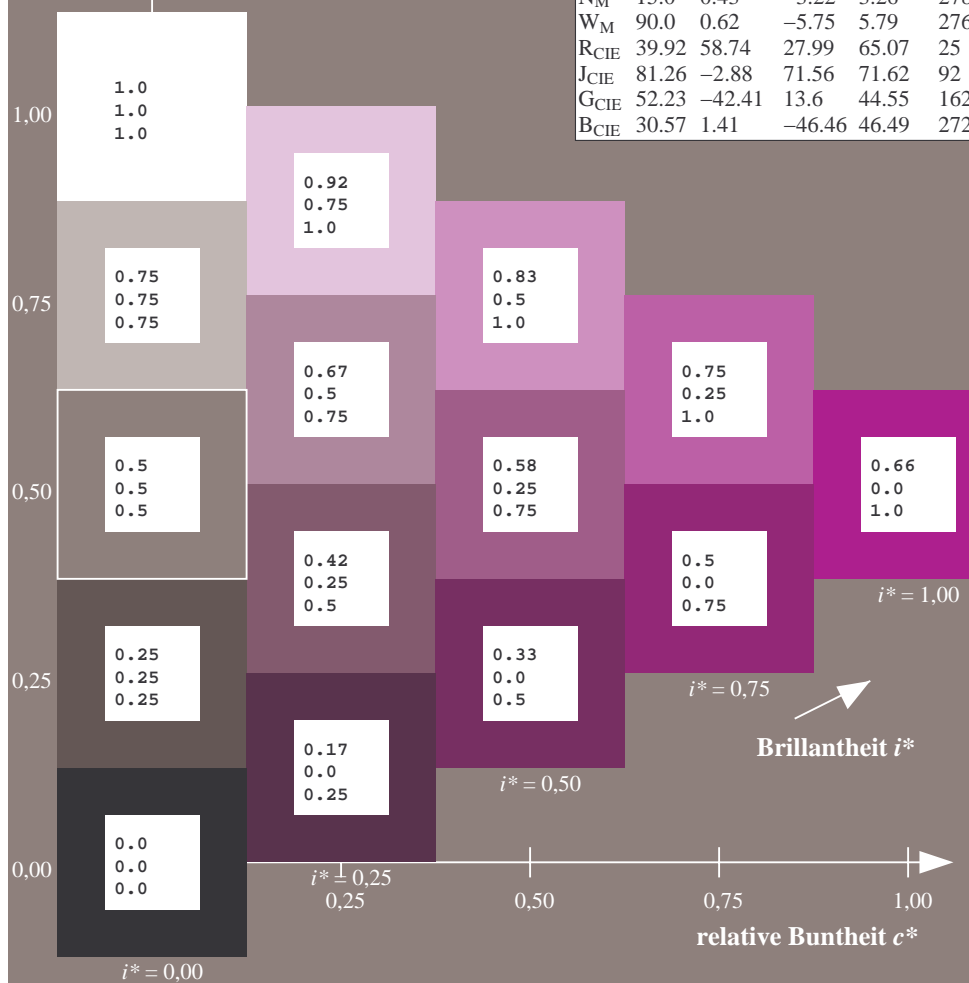
%Regularität

$g^*_{H,rel} = 31$

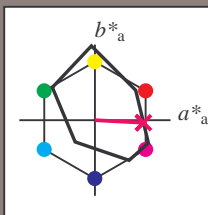
$g^*_{C,rel} = 40$

FRS15_90aM; adaptierte CIELAB-Daten

	$L^*=L^*_a$	a^*_a	b^*_a	$C^*_{ab,a}$	$h^*_{ab,a}$
r00j	35.47	56.92	27.12	63.05	25
r25j	39.12	49.04	44.45	66.19	42
r50j	50.64	35.19	58.33	68.13	59
r75j	64.01	19.11	74.45	76.87	76
j00g	83.18	-3.93	97.56	97.64	92
j25g	66.73	-26.86	74.66	79.35	110
j50g	54.03	-43.42	57.07	71.71	127
j75g	44.73	-54.21	38.33	66.4	145
g00b	47.59	-44.11	14.14	46.33	162
g25b	49.97	-35.68	-6.03	36.19	190
g50b	51.85	-29.05	-21.88	36.38	217
g75b	46.92	-15.53	-32.37	35.92	244
b00r	37.91	1.15	-38.05	38.08	272
b25r	23.81	27.31	-46.96	54.33	300
b50r	29.52	62.07	-37.87	72.72	329
b75r	36.48	64.24	-3.31	64.33	357



Ein und Ausgabe: Farbmetrisches Drucker-Reflektiv-System FRS15_90aM für relativen CIELAB-Buntton $h^* = lab^*h^* = h_{ab}/360 = 357/360 = 0.992$ $u^* = b75r$
Daten für jede Farbe:
 lab^*ch^* und lab^*icu^*
Elementar-Bunttontext:
 $u^* = b75r$
Kontrastreduzierungsfaktor:
 $c_R = 0.9$
Dreiecks-Helligkeit i^*



FRS15_90aM; CIELAB-Daten					
	$L^*=L^*$	a^*	b^*	C^*_{ab}	h^*_{ab}
O _M	35.06	54.41	35.65	65.05	33
Y _M	83.77	-4.03	92.72	92.8	92
L _M	44.13	-55.82	39.15	68.19	145
C _M	52.66	-25.66	-33.24	42.01	232
V _M	14.15	45.64	-56.26	72.45	309
M _M	37.37	71.17	-34.08	78.92	334
N _M	15.0	0.43	-3.22	3.26	278
W _M	90.0	0.62	-5.75	5.79	276
R _{CIE}	39.92	58.74	27.99	65.07	25
J _{CIE}	81.26	-2.88	71.56	71.62	92
G _{CIE}	52.23	-42.41	13.6	44.55	162
B _{CIE}	30.57	1.41	-46.46	46.49	272

Daten für Maximalfarbe (Ma):

$LAB^*LAB^*_{Ma}$: 36 64 -2

$LAB^*LCH^*_{Ma}$: 36 64 357

$lab^*rgb^*_{Ma}$: 1.0 0.0 0.5

$lab^*olv^*_{Ma}$: 1.0 0.0 0.62

Dreiecks-Helligkeit i^*

%Umfang

$u^*_{rel} = 88$

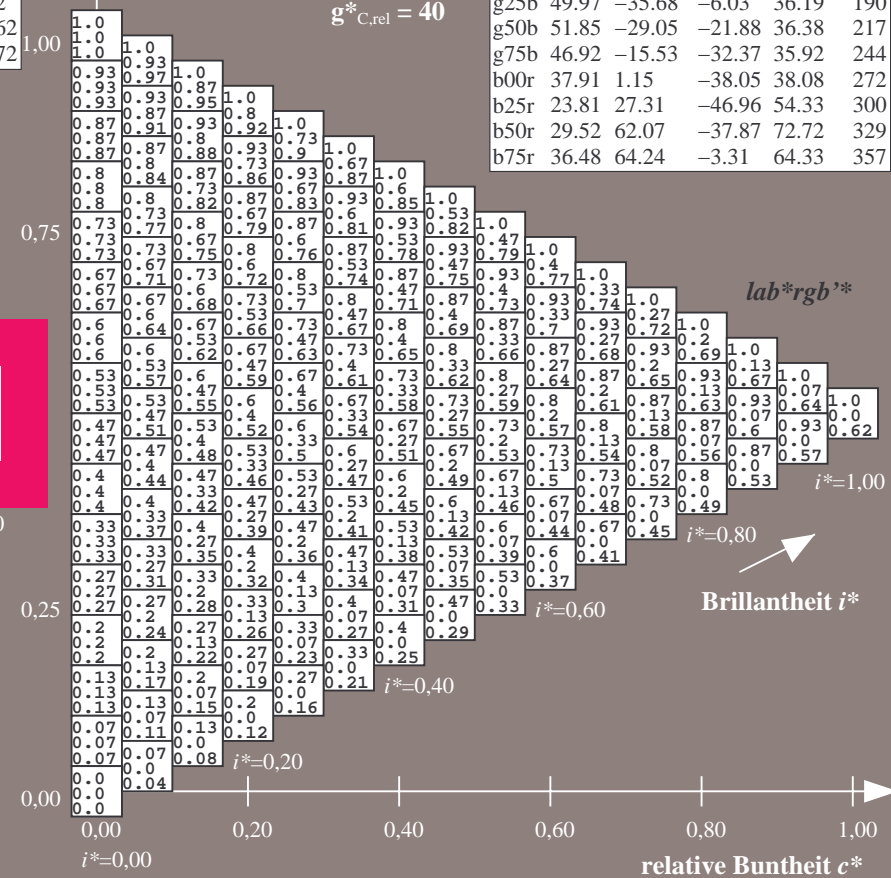
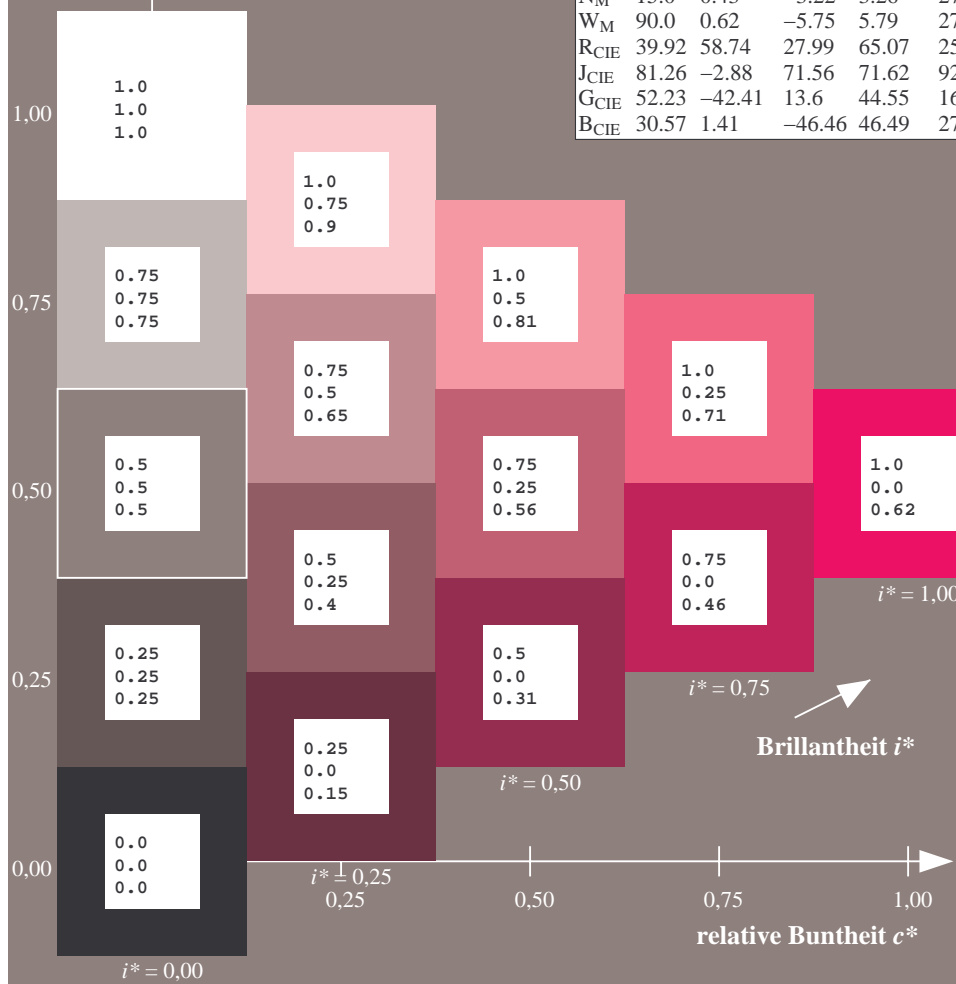
%Regularität

$g^*_{H,rel} = 31$

$g^*_{C,rel} = 40$

FRS15_90aM; adaptierte CIELAB-Daten

	$L^*=L^*_a$	a^*_a	b^*_a	$C^*_{ab,a}$	$h^*_{ab,a}$
r00j	35.47	56.92	27.12	63.05	25
r25j	39.12	49.04	44.45	66.19	42
r50j	50.64	35.19	58.33	68.13	59
r75j	64.01	19.11	74.45	76.87	76
j00g	83.18	-3.93	97.56	97.64	92
j25g	66.73	-26.86	74.66	79.35	110
j50g	54.03	-43.42	57.07	71.71	127
j75g	44.73	-54.21	38.33	66.4	145
g00b	47.59	-44.11	14.14	46.33	162
g25b	49.97	-35.68	-6.03	36.19	190
g50b	51.85	-29.05	-21.88	36.38	217
g75b	46.92	-15.53	-32.37	35.92	244
b00r	37.91	1.15	-38.05	38.08	272
b25r	23.81	27.31	-46.96	54.33	300
b50r	29.52	62.07	-37.87	72.72	329
b75r	36.48	64.24	-3.31	64.33	357



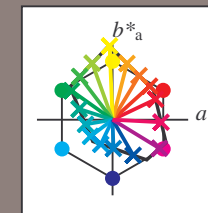
Siehe ähnliche Dateien: <http://www.ps.bam.de/Dg93/>; www.ps.bam.de/Dg93/10L/L93G00NA.PS/.TXT
Technische Information: <http://www.ps.bam.de/Version2.1,io=1.1,ColSpX=0>

	A	B	C	D	E	F	G	H	I	J	K	L	M	N	O	P	Q	R	S	T	U	V	W	X	Y	Z	a	b	c	d	e	f	g	h	i	j	k	lab*rgb**							
01	0.0	0.0	0.0	0.0	0.0	0.0	0.0	0.0	0.0	0.0	0.13	0.13	0.13	0.13	0.13	0.13	0.13	0.13	0.25	0.25	0.25	0.25	0.25	0.25	0.25	0.25	0.25	0.25	1.0	1.0	1.0	1.0	1.0	1.0	1.0	1.0	1.0	1.0	0.0	0.0	0.0	0.0			
	0.0	0.13	0.25	0.38	0.5	0.63	0.75	0.88	1.0	0.0	0.13	0.25	0.38	0.5	0.63	0.75	0.88	1.0	0.0	0.13	0.25	0.38	0.5	0.63	0.75	0.88	1.0	1.0	0.88	0.75	0.63	0.5	0.38	0.25	0.13	0.0	0.0	0.0	0.0	0.0	0.0	0.0			
	0.0	0.0	0.0	0.0	0.0	0.0	0.0	0.0	0.0	0.0	0.0	0.0	0.0	0.0	0.0	0.0	0.0	0.0	0.0	0.0	0.0	0.0	0.0	0.0	0.0	0.0	0.0	0.0	0.0	0.88	0.88	0.75	0.63	0.5	0.38	0.25	0.13	0.0	0.0	0.0	0.0	0.0	0.0		
02	0.0	0.0	0.0	0.0	0.0	0.0	0.0	0.0	0.0	0.13	0.13	0.13	0.13	0.13	0.13	0.13	0.13	0.13	0.25	0.25	0.25	0.25	0.25	0.25	0.25	0.25	0.25	0.25	0.88	0.88	0.88	0.88	0.88	0.88	0.88	0.88	0.88	0.88	0.13	0.13	0.13	0.13			
	0.0	0.13	0.25	0.38	0.5	0.63	0.75	0.88	1.0	0.0	0.13	0.25	0.38	0.5	0.63	0.75	0.88	1.0	0.0	0.13	0.25	0.38	0.5	0.63	0.75	0.88	1.0	1.0	0.88	0.75	0.63	0.5	0.38	0.25	0.13	0.0	0.13	0.13	0.13	0.13	0.13	0.13	0.13		
	0.13	0.13	0.13	0.13	0.13	0.13	0.13	0.13	0.13	0.13	0.13	0.13	0.13	0.13	0.13	0.13	0.13	0.13	0.13	0.13	0.13	0.13	0.13	0.13	0.13	0.13	0.13	1.0	0.88	0.75	0.63	0.5	0.38	0.25	0.13	0.0	0.13	0.13	0.13	0.13	0.13	0.13	0.13		
03	0.0	0.0	0.0	0.0	0.0	0.0	0.0	0.0	0.0	0.13	0.13	0.13	0.13	0.13	0.13	0.13	0.13	0.13	0.25	0.25	0.25	0.25	0.25	0.25	0.25	0.25	0.25	0.25	0.75	0.75	0.75	0.75	0.75	0.75	0.75	0.75	0.75	0.75	0.25	0.25	0.25	0.25			
	0.0	0.13	0.25	0.38	0.5	0.63	0.75	0.88	1.0	0.0	0.13	0.25	0.38	0.5	0.63	0.75	0.88	1.0	0.0	0.13	0.25	0.38	0.5	0.63	0.75	0.88	1.0	1.0	0.88	0.75	0.63	0.5	0.38	0.25	0.13	0.0	0.25	0.25	0.25	0.25	0.25	0.25	0.25		
	0.25	0.25	0.25	0.25	0.25	0.25	0.25	0.25	0.25	0.25	0.25	0.25	0.25	0.25	0.25	0.25	0.25	0.25	0.25	0.25	0.25	0.25	0.25	0.25	0.25	0.25	0.25	0.25	1.0	0.88	0.75	0.63	0.5	0.38	0.25	0.13	0.0	0.25	0.25	0.25	0.25	0.25	0.25		
04	0.0	0.0	0.0	0.0	0.0	0.0	0.0	0.0	0.0	0.13	0.13	0.13	0.13	0.13	0.13	0.13	0.13	0.13	0.25	0.25	0.25	0.25	0.25	0.25	0.25	0.25	0.25	0.25	0.63	0.63	0.63	0.63	0.63	0.63	0.63	0.63	0.63	0.63	0.38	0.38	0.38	0.38			
	0.0	0.13	0.25	0.38	0.5	0.63	0.75	0.88	1.0	0.0	0.13	0.25	0.38	0.5	0.63	0.75	0.88	1.0	0.0	0.13	0.25	0.38	0.5	0.63	0.75	0.88	1.0	1.0	0.88	0.75	0.63	0.5	0.38	0.25	0.13	0.0	0.38	0.38	0.38	0.38	0.38	0.38	0.38		
	0.38	0.38	0.38	0.38	0.38	0.38	0.38	0.38	0.38	0.38	0.38	0.38	0.38	0.38	0.38	0.38	0.38	0.38	0.38	0.38	0.38	0.38	0.38	0.38	0.38	0.38	0.38	0.38	0.88	0.88	0.88	0.88	0.88	0.88	0.88	0.88	0.88	0.88	0.38	0.38	0.38	0.38	0.38	0.38	0.38
05	0.0	0.13	0.25	0.38	0.5	0.63	0.75	0.88	1.0	0.0	0.13	0.25	0.38	0.5	0.63	0.75	0.88	1.0	0.0	0.13	0.25	0.38	0.5	0.63	0.75	0.88	1.0	1.0	0.88	0.75	0.63	0.5	0.38	0.25	0.13	0.0	0.5	0.5	0.5	0.5	0.5	0.5	0.5		
	0.5	0.5	0.5	0.5	0.5	0.5	0.5	0.5	0.5	0.5	0.5	0.5	0.5	0.5	0.5	0.5	0.5	0.5	0.5	0.5	0.5	0.5	0.5	0.5	0.5	0.5	0.5	0.5	1.0	0.88	0.75	0.63	0.5	0.38	0.25	0.13	0.0	0.5	0.5	0.5	0.5	0.5	0.5	0.5	
06	0.0	0.0	0.0	0.0	0.0	0.0	0.0	0.0	0.0	0.13	0.13	0.13	0.13	0.13	0.13	0.13	0.13	0.13	0.25	0.25	0.25	0.25	0.25	0.25	0.25	0.25	0.25	0.25	0.38	0.38	0.38	0.38	0.38	0.38	0.38	0.38	0.38	0.38	0.63	0.63	0.63	0.63			
	0.0	0.13	0.25	0.38	0.5	0.63	0.75	0.88	1.0	0.0	0.13	0.25	0.38	0.5	0.63	0.75	0.88	1.0	0.0	0.13	0.25	0.38	0.5	0.63	0.75	0.88	1.0	1.0	0.88	0.75	0.63	0.5	0.38	0.25	0.13	0.0	0.63	0.63	0.63	0.63	0.63	0.63	0.63		
	0.63	0.63	0.63	0.63	0.63	0.63	0.63	0.63	0.63	0.63	0.63	0.63	0.63	0.63	0.63	0.63	0.63	0.63	0.63	0.63	0.63	0.63	0.63	0.63	0.63	0.63	0.63	0.63	1.0	0.88	0.75	0.63	0.5	0.38	0.25	0.13	0.0	0.63	0.63	0.63	0.63	0.63	0.63	0.63	
07	0.0	0.0	0.0	0.0	0.0	0.0	0.0	0.0	0.0	0.13	0.13	0.13	0.13	0.13	0.13	0.13	0.13	0.13	0.25	0.25	0.25	0.25	0.25	0.25	0.25	0.25	0.25	0.25	0.25	0.25	0.25	0.25	0.25	0.25	0.25	0.25	0.25	0.75	0.75	0.75	0.75				
	0.0	0.13	0.25	0.38	0.5	0.63	0.75	0.88	1.0	0.0	0.13	0.25	0.38	0.5	0.63	0.75	0.88	1.0	0.0	0.13	0.25	0.38	0.5	0.63	0.75	0.88	1.0	1.0	0.88	0.75	0.63	0.5	0.38	0.25	0.13	0.0	0.75	0.75	0.75	0.75	0.75	0.75	0.75		
	0.75	0.75	0.75	0.75	0.75	0.75	0.75	0.75	0.75	0.75	0.75	0.75	0.75	0.75	0.75	0.75	0.75	0.75	0.75	0.75	0.75	0.75	0.75	0.75	0.75	0.75	0.75	0.75	1.0	0.88	0.75	0.63	0.5	0.38	0.25	0.13	0.0	0.75	0.75	0.75	0.75	0.75	0.75	0.75	
08	0.0	0.0	0.0	0.0	0.0	0.0	0.0	0.0	0.0	0.13	0.13	0.13	0.13	0.13	0.13	0.13	0.13	0.13	0.25	0.25	0.25	0.25	0.25	0.25	0.25	0.25	0.25	0.25	0.25	0.25	0.25	0.25	0.25	0.25	0.25	0.25	0.25	0.88	0.88	0.88	0.88				
	0.0	0.13	0.25	0.38	0.5	0.63	0.75	0.88	1.0	0.0	0.13	0.25	0.38	0.5	0.63	0.75	0.88	1.0	0.0	0.13	0.25	0.38	0.5	0.63	0.75	0.88	1.0	1.0	0.88	0.75	0.63	0.5	0.38	0.25	0.13	0.0	0.88	0.88	0.88	0.88	0.88	0.88	0.88		
	0.88	0.88	0.88	0.88	0.88	0.88	0.88	0.88	0.88	0.88	0.88	0.88	0.88	0.88	0.88	0.88	0.88	0.88	0.88	0.88	0.88	0.88	0.88	0.88	0.88	0.88	0.88	0.88	1.0	0.88	0.75	0.63	0.5	0.38	0.25	0.13	0.0	0.88	0.88	0.88	0.88	0.88	0.88	0.88	
09	0.0	0.0	0.0	0.0	0.0	0.0	0.0	0.0	0.0	0.13	0.13	0.13	0.13	0.13	0.13	0.13	0.13	0.13	0.25	0.25	0.25	0.25	0.25	0.25	0.25	0.25	0.25	0.25	0.25	0.25	0.25	0.25	0.25	0.25	0.25	0.25	0.25	1.0	1.0	1.0	1.0				
	0.0	0.13	0.25	0.38	0.5	0.63	0.75	0.88	1.0	0.0	0.13	0.25	0.38	0.5	0.63	0.75	0.88	1.0	0.0	0.13	0.25	0.38	0.5	0.63	0.75	0.88	1.0	1.0	0.88	0.75	0.63	0.5	0.38	0.25	0.13	0.0	1.0	1.0	1.0	1.0	1.0	1.0	1.0		
	1.0	1.0	1.0	1.0	1.0	1.0	1.0	1.0	1.0	1.0	1.0	1.0	1.0	1.0	1.0	1.0	1.0	1.0	1.0	1.0	1.0	1.0	1.0	1.0	1.0	1.0	1.0	1.0	1.0	0.88	0.75	0.63	0.5	0.38	0.25	0.13	0.0	1.0	1.0	1.0	1.0	1.0	1.0	1.0	
10	0.38	0.38	0.38	0.38	0.38	0.38	0.38	0.38	0.38	0.38	0.5	0.5	0.5	0.5	0.5	0.5	0.5	0.5	0.63	0.63	0.63	0.63	0.63	0.63	0.63	0.63	0.63	0.63	1.0	1.0	1.0	1.0	1.0	1.0	1.0	1.0	1.0	1.0	0.0	0.0	0.0	0.0			
	0.0	0.13	0.25	0.38	0.5	0.63	0.75	0.88	1.0	0.0	0.13	0.25	0.38	0.5	0.63	0.75	0.88	1.0	0.0	0.13	0.25	0.38	0.5	0.63	0.75	0.88	1.0	1.0	0.88	0.75	0.63	0.5	0.38	0.25	0.13	0.0	1.0	1.0	1.0	1.0	1.0	1.0	1.0	1.0	
	0.38	0.38	0.38	0.38	0.38	0.38	0.38	0.38	0.38	0.38	0.5	0.5	0.5	0.5	0.5	0.5	0.5	0.5	0.63	0.63	0.63	0.63	0.63	0.63	0.63	0.63	0.63	0.63	0.88	0.88	0.88	0.88	0.88	0.88	0.88	0.88	0.88	0.88	0.07	0.07	0.07	0.07			
11	0.0	0.13	0.25	0.38	0.5	0.63	0.75	0.88	1.0	0.0	0.13	0.25	0.38	0.5	0.63	0.75	0.88	1.0	0.0	0.13	0.25	0.38	0.5	0.63	0.75	0.88	1.0	1.0	0.88	0.88	0.88	0.88	0.88	0.88	0.88	0.88	0.88	0.88	0.07	0.07	0.07	0.07	0.07	0.07	0.07
	0.13	0.13	0.13	0.13	0.13	0.13	0.13	0.13	0.13	0.13	0.13	0.13	0.13	0.13	0.13	0.13	0.13	0.1																											

BAM-Registrierung: 20080701-Dg93/10L/L93G00NA.PS/.TXTBAM-Material: Code=th4ta
Anwendung für Beurteilung und Messung von Drucker- oder Monitorsystemen

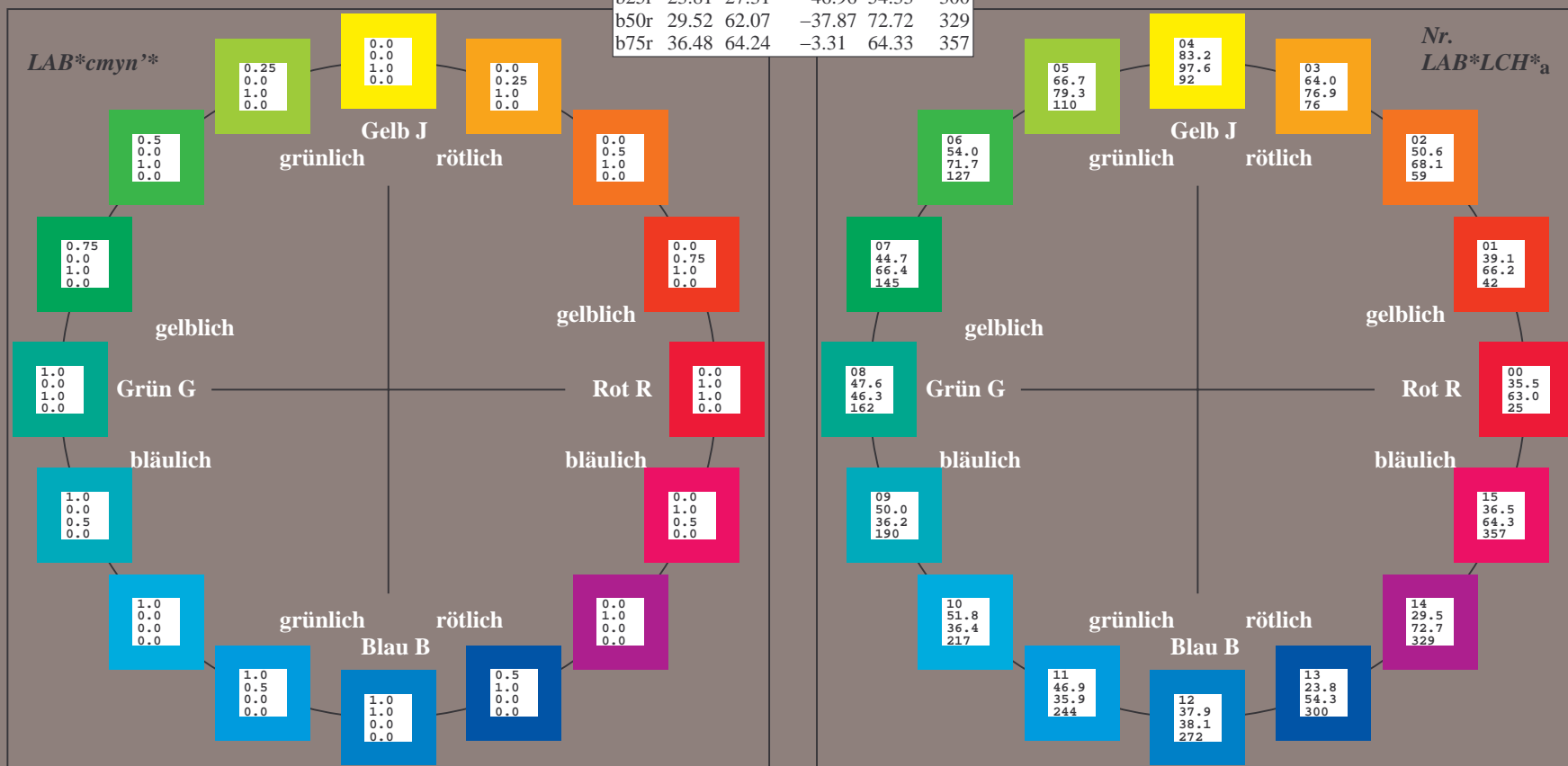
Ein und Ausgabe:
Farbmetrisches Drucker-Reflektiv-System FRS15_90aM
Daten für jede Farbe:
*lab*_{rch}** und *lab*_{icu}**
Elementar-Bunttontext:
*u** = 16 Buntttöne *r00j*, *r25j*, ..., *b75r*
Kontrastreduzierungsfaktor:
 $c_R = 0.9$

FRS15_90aM; adaptierte CIELAB-Daten					
	$L^*=L^*_a$	a^*_a	b^*_a	$C^*_{ab,a}$	$h^*_{ab,a}$
r00j	35.47	56.92	27.12	63.05	25
r25j	39.12	49.04	44.45	66.19	42
r50j	50.64	35.19	58.33	68.13	59
r75j	64.01	19.11	74.45	76.87	76
j00g	83.18	-3.93	97.56	97.64	92
j25g	66.73	-26.86	74.66	79.35	110
j50g	54.03	-43.42	57.07	71.71	127
j75g	44.73	-54.21	38.33	66.4	145
g00b	47.59	-44.11	14.14	46.33	162
g25b	49.97	-35.68	-6.03	36.19	190
g50b	51.85	-29.05	-21.88	36.38	217
g75b	46.92	-15.53	-32.37	35.92	244
b00r	37.91	1.15	-38.05	38.08	272
b25r	23.81	27.31	-46.96	54.33	300
b50r	29.52	62.07	-37.87	72.72	329
b75r	36.48	64.24	-3.31	64.33	357

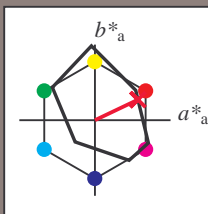


%Umfang
 $u^*_{rel} = 88$
%Regularität
 $g^*_{H,rel} = 31$
 $g^*_{C,rel} = 40$

FRS15_90aM; CIELAB-Daten					
	$L^*=L^*$	a^*	b^*	C^*_{ab}	h^*_{ab}
O _M	35.06	54.41	35.65	65.05	33
Y _M	83.77	-4.03	92.72	92.8	92
L _M	44.13	-55.82	39.15	68.19	145
C _M	52.66	-25.66	-33.24	42.01	232
V _M	14.15	45.64	-56.26	72.45	309
M _M	37.37	71.17	-34.08	78.92	334
N _M	15.0	0.43	-3.22	3.26	278
W _M	90.0	0.62	-5.75	5.79	276
R _{CIE}	39.92	58.74	27.99	65.07	25
J _{CIE}	81.26	-2.88	71.56	71.62	92
G _{CIE}	52.23	-42.41	13.6	44.55	162
B _{CIE}	30.57	1.41	-46.46	46.49	272



Ein und Ausgabe: Farbmetrisches Drucker-Reflektiv-System FRS15_90aM für relativen CIELAB-Buntton $h^* = lab^*h^* = h_{ab}/360 = 25/360 = 0.071$ $u^* = r00j$
Daten für jede Farbe:
 lab^*ch^* und lab^*icu^*
Elementar-Bunttontext:
 $u^* = r00j$
Kontrastreduzierungsfaktor:
 $c_R = 0.9$
Dreiecks-Helligkeit t^*



FRS15_90aM; CIELAB-Daten					
	$L^*=L^*$	a^*	b^*	C^*_{ab}	h^*_{ab}
O _M	35.06	54.41	35.65	65.05	33
Y _M	83.77	-4.03	92.72	92.8	92
L _M	44.13	-55.82	39.15	68.19	145
C _M	52.66	-25.66	-33.24	42.01	232
V _M	14.15	45.64	-56.26	72.45	309
M _M	37.37	71.17	-34.08	78.92	334
N _M	15.0	0.43	-3.22	3.26	278
W _M	90.0	0.62	-5.75	5.79	276
R _{CIE}	39.92	58.74	27.99	65.07	25
J _{CIE}	81.26	-2.88	71.56	71.62	92
G _{CIE}	52.23	-42.41	13.6	44.55	162
B _{CIE}	30.57	1.41	-46.46	46.49	272

Daten für Maximalfarbe (Ma):

$LAB^*LAB^*_{Ma}$: 35 57 27

$LAB^*LCH^*_{Ma}$: 35 63 25

$lab^*rgb^*_{Ma}$: 1.0 0.0 0.0

$lab^*olv^*_{Ma}$: 1.0 0.0 0.18

Dreiecks-Helligkeit t^*

%Umfang

$u^*_{rel} = 88$

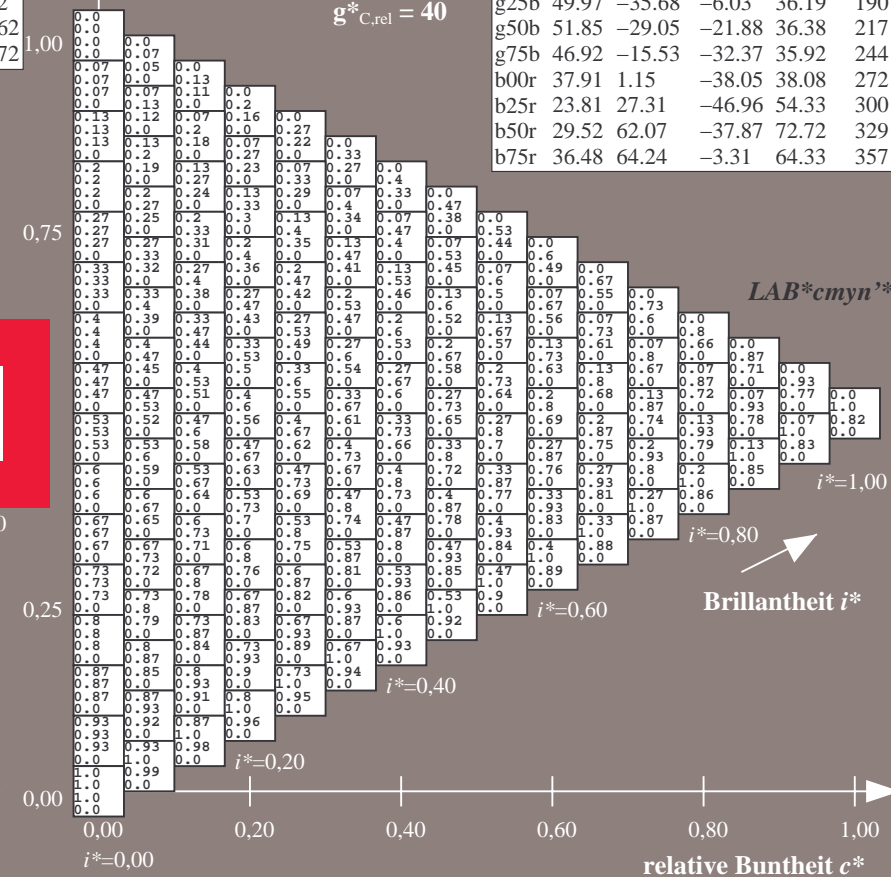
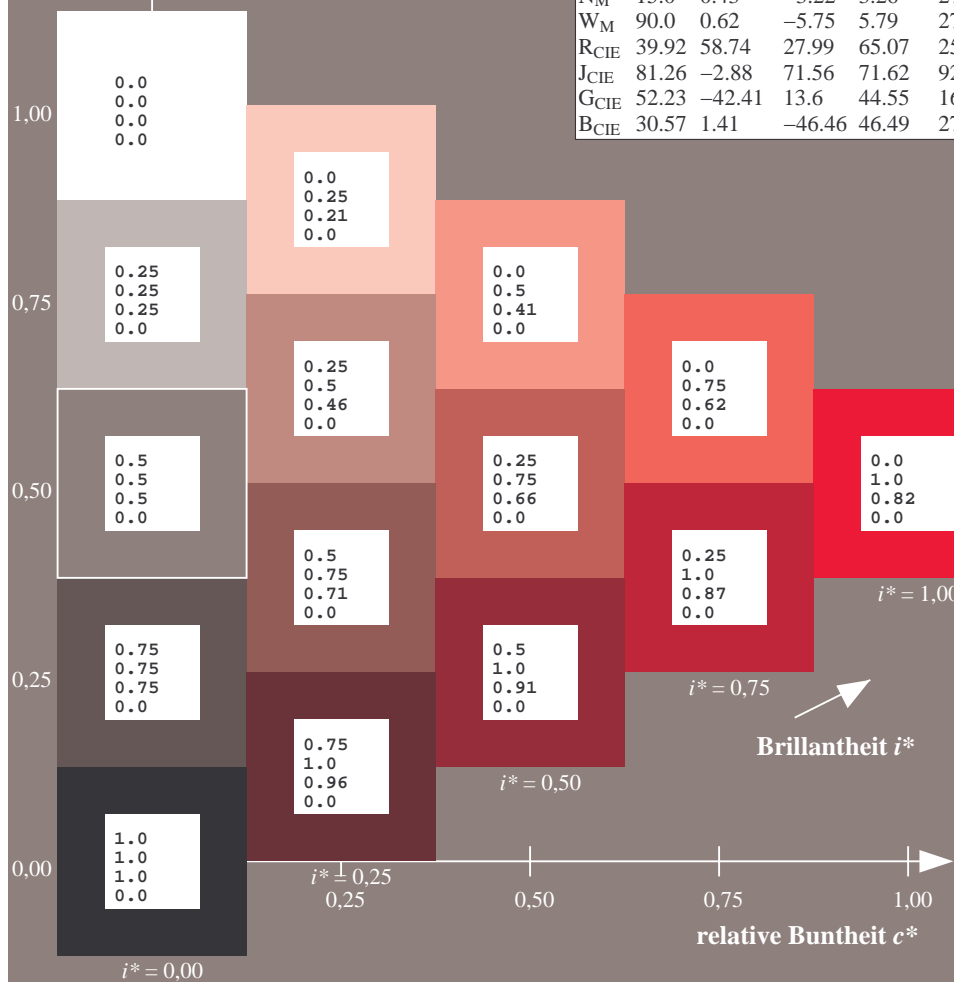
%Regularität

$g^*_{H,rel} = 31$

$g^*_{C,rel} = 40$

FRS15_90aM; adaptierte CIELAB-Daten

	$L^*=L^*_a$	a^*_a	b^*_a	$C^*_{ab,a}$	$h^*_{ab,a}$
r00j	35.47	56.92	27.12	63.05	25
r25j	39.12	49.04	44.45	66.19	42
r50j	50.64	35.19	58.33	68.13	59
r75j	64.01	19.11	74.45	76.87	76
j00g	83.18	-3.93	97.56	97.64	92
j25g	66.73	-26.86	74.66	79.35	110
j50g	54.03	-43.42	57.07	71.71	127
j75g	44.73	-54.21	38.33	66.4	145
g00b	47.59	-44.11	14.14	46.33	162
g25b	49.97	-35.68	-6.03	36.19	190
g50b	51.85	-29.05	-21.88	36.38	217
g75b	46.92	-15.53	-32.37	35.92	244
b00r	37.91	1.15	-38.05	38.08	272
b25r	23.81	27.31	-46.96	54.33	300
b50r	29.52	62.07	-37.87	72.72	329
b75r	36.48	64.24	-3.31	64.33	357

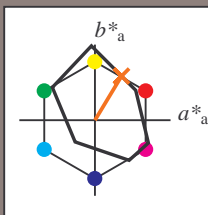


Dreiecks-Helligkeit t^*


$$\mathbf{g}_{\text{C,rel}}^* = 40$$



Ein und Ausgabe: Farbmetrisches Drucker-Reflektiv-System FRS15_90aM für relativen CIELAB-Buntton $h^* = lab^*h^* = h_{ab}/360 = 59/360 = 0.164$ $u^* = r50j$
Daten für jede Farbe:
 lab^*ch^* und lab^*icu^*
Elementar-Bunttontext:
 $u^* = r50j$
Kontrastreduzierungsfaktor:
 $c_R = 0.9$
Dreiecks-Helligkeit i^*



FRS15_90aM; CIELAB-Daten					
	$L^*=L^*$	a^*	b^*	C^*_{ab}	h^*_{ab}
O _M	35.06	54.41	35.65	65.05	33
Y _M	83.77	-4.03	92.72	92.8	92
L _M	44.13	-55.82	39.15	68.19	145
C _M	52.66	-25.66	-33.24	42.01	232
V _M	14.15	45.64	-56.26	72.45	309
M _M	37.37	71.17	-34.08	78.92	334
N _M	15.0	0.43	-3.22	3.26	278
W _M	90.0	0.62	-5.75	5.79	276
R _{CIE}	39.92	58.74	27.99	65.07	25
J _{CIE}	81.26	-2.88	71.56	71.62	92
G _{CIE}	52.23	-42.41	13.6	44.55	162
B _{CIE}	30.57	1.41	-46.46	46.49	272

Daten für Maximalfarbe (Ma):

$LAB^*LAB^*_{Ma}$: 51 35 58

$LAB^*LCH^*_{Ma}$: 51 68 59

$lab^*rgb^*_{Ma}$: 1.0 0.5 0.0

$lab^*olv^*_{Ma}$: 1.0 0.32 0.0

Dreiecks-Helligkeit i^*

%Umfang

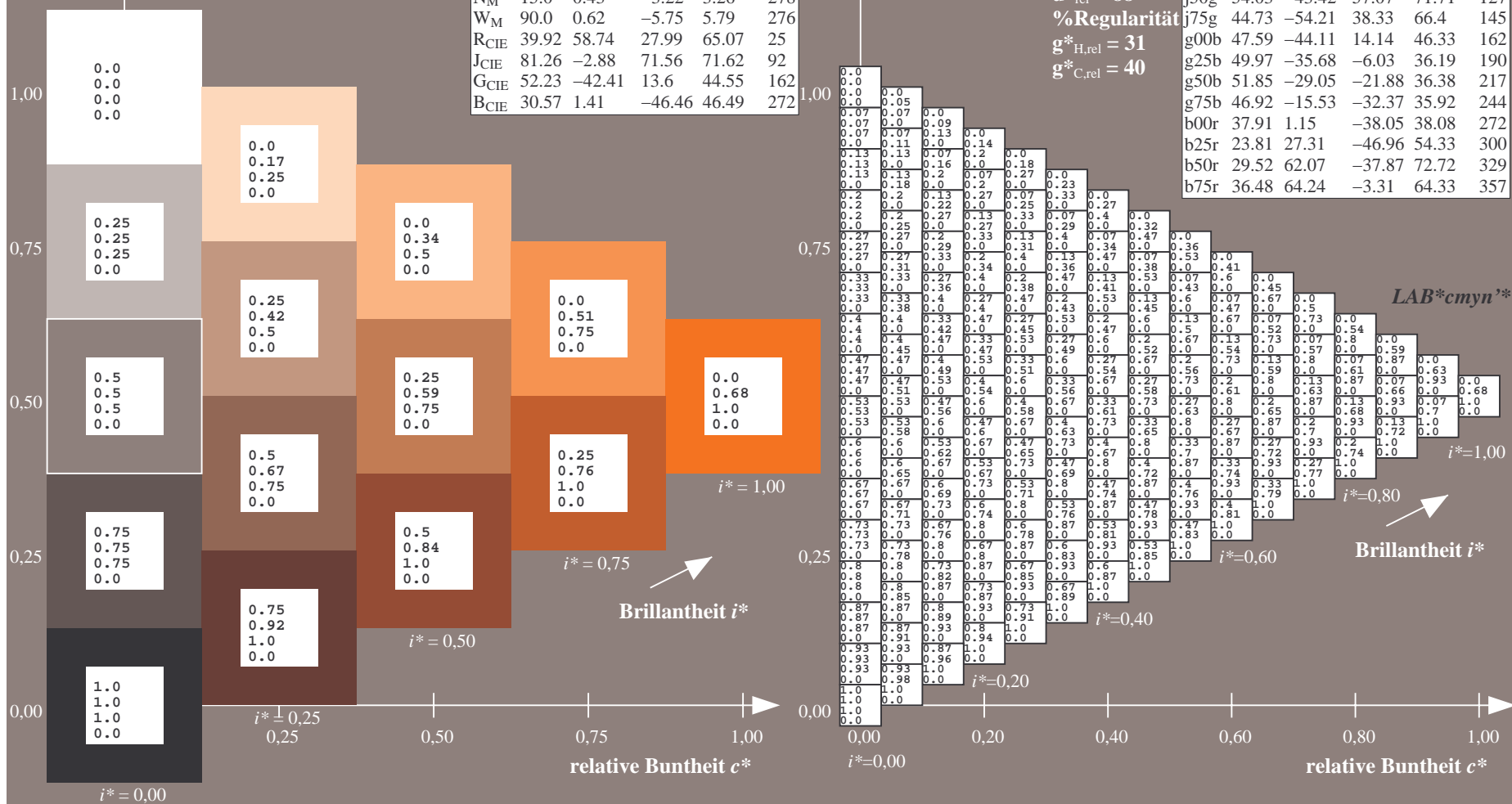
$u^*_{rel} = 88$

%Regularität

$g^*_{H,rel} = 31$

$g^*_{C,rel} = 40$

FRS15_90aM; adaptierte CIELAB-Daten					
	$L^*=L^*_a$	a^*_a	b^*_a	$C^*_{ab,a}$	$h^*_{ab,a}$
r00j	35.47	56.92	27.12	63.05	25
r25j	39.12	49.04	44.45	66.19	42
r50j	50.64	35.19	58.33	68.13	59
r75j	64.01	19.11	74.45	76.87	76
j00g	83.18	-3.93	97.56	97.64	92
j25g	66.73	-26.86	74.66	79.35	110
j50g	54.03	-43.42	57.07	71.71	127
j75g	44.73	-54.21	38.33	66.4	145
g00b	47.59	-44.11	14.14	46.33	162
g25b	49.97	-35.68	-6.03	36.19	190
g50b	51.85	-29.05	-21.88	36.38	217
g75b	46.92	-15.53	-32.37	35.92	244
b00r	37.91	1.15	-38.05	38.08	272
b25r	23.81	27.31	-46.96	54.33	300
b50r	29.52	62.07	-37.87	72.72	329
b75r	36.48	64.24	-3.31	64.33	357



Ein und Ausgabe: Farbmetrisches Drucker-Reflektiv-System FRS15_90aM für relativen CIELAB-Buntton $h^* = lab^*h^* = h_{ab}/360 = 76/360 = 0.21$ $u^* = r75j$

Daten für jede Farbe:

lab^*ch^* und lab^*icu^*

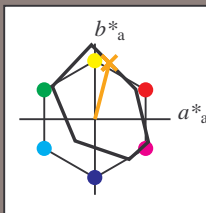
Elementar-Bunttontext:

$u^* = r75j$

Kontrastreduzierungsfaktor:

$c_R = 0.9$

Dreiecks-Helligkeit i^*



FRS15_90aM; CIELAB-Daten					
	$L^*=L^*$	a^*	b^*	C^*_{ab}	h^*_{ab}
O _M	35.06	54.41	35.65	65.05	33
Y _M	83.77	-4.03	92.72	92.8	92
L _M	44.13	-55.82	39.15	68.19	145
C _M	52.66	-25.66	-33.24	42.01	232
V _M	14.15	45.64	-56.26	72.45	309
M _M	37.37	71.17	-34.08	78.92	334
N _M	15.0	0.43	-3.22	3.26	278
W _M	90.0	0.62	-5.75	5.79	276
R _{CIE}	39.92	58.74	27.99	65.07	25
J _{CIE}	81.26	-2.88	71.56	71.62	92
G _{CIE}	52.23	-42.41	13.6	44.55	162
B _{CIE}	30.57	1.41	-46.46	46.49	272

Daten für Maximalfarbe (Ma):

$LAB^*LAB^*_{Ma}$: 64 19 74

$LAB^*LCH^*_{Ma}$: 64 77 76

$lab^*rgb^*_{Ma}$: 1.0 0.75 0.0

$lab^*olv^*_{Ma}$: 1.0 0.59 0.0

Dreiecks-Helligkeit i^*

%Umfang

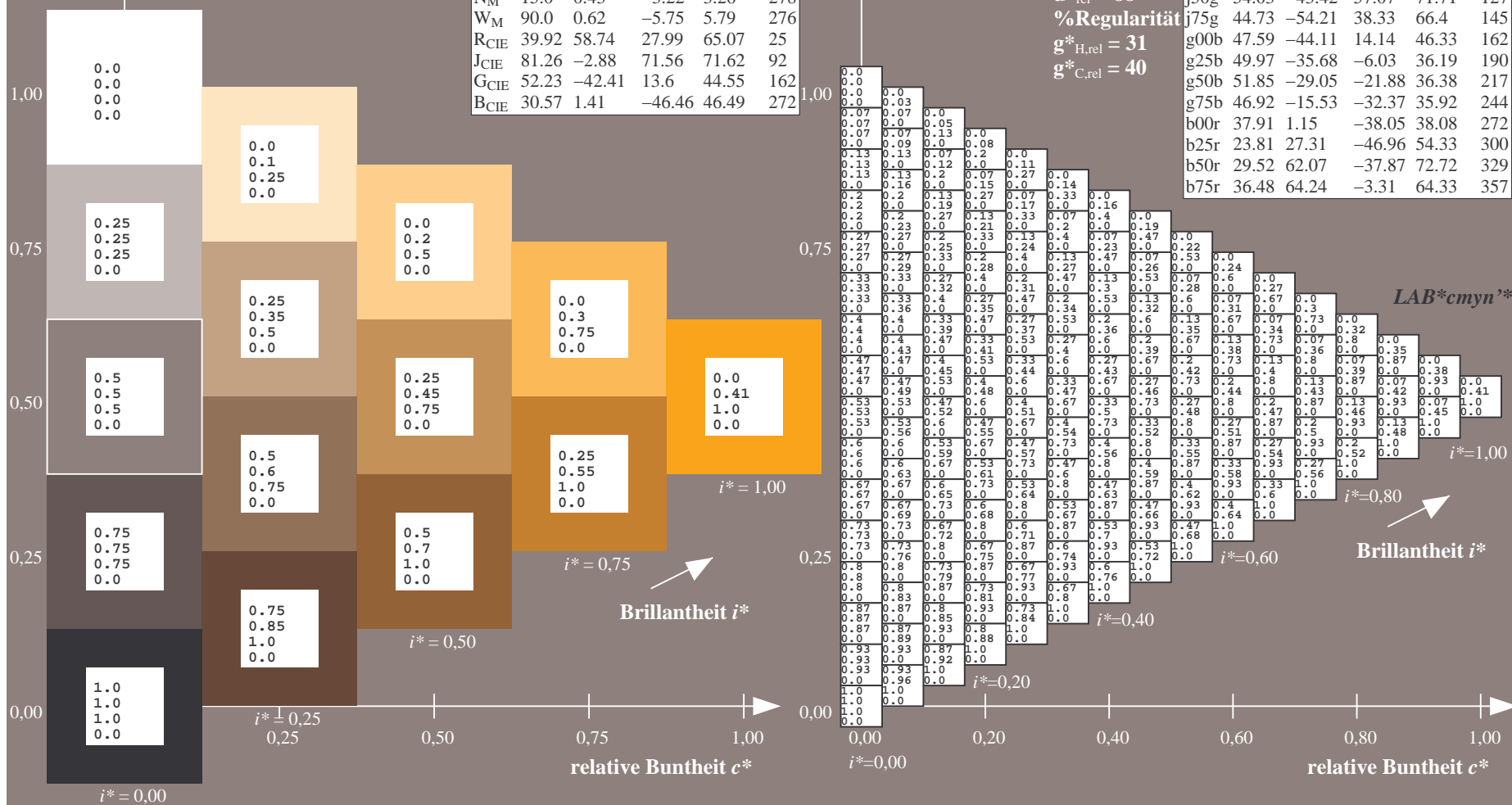
$u^*_{rel} = 88$

%Regularität

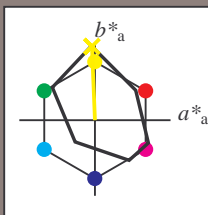
$g^*_{H,rel} = 31$

$g^*_{C,rel} = 40$

FRS15_90aM; adaptierte CIELAB-Daten					
	$L^*=L^*_a$	a^*_a	b^*_a	$C^*_{ab,a}$	$h^*_{ab,a}$
r00j	35.47	56.92	27.12	63.05	25
r25j	39.12	49.04	44.45	66.19	42
r50j	50.64	35.19	58.33	68.13	59
r75j	64.01	19.11	74.45	76.87	76
j00g	83.18	-3.93	97.56	97.64	92
j25g	66.73	-26.86	74.66	79.35	110
j50g	54.03	-43.42	57.07	71.71	127
j75g	44.73	-54.21	38.33	66.4	145
g00b	47.59	-44.11	14.14	46.33	162
g25b	49.97	-35.68	-6.03	36.19	190
g50b	51.85	-29.05	-21.88	36.38	217
g75b	46.92	-15.53	-32.37	35.92	244
b00r	37.91	1.15	-38.05	38.08	272
b25r	23.81	27.31	-46.96	54.33	300
b50r	29.52	62.07	-37.87	72.72	329
b75r	36.48	64.24	-3.31	64.33	357



Ein und Ausgabe: Farbmetrisches Drucker-Reflektiv-System FRS15_90aM für relativen CIELAB-Buntton $h^* = lab^*h^* = h_{ab}/360 = 92/360 = 0.256$ $u^* = j00g$
Daten für jede Farbe:
 lab^*ch^* und lab^*icu^*
Elementar-Bunttontext:
 $u^* = j00g$
Kontrastreduzierungsfaktor:
 $c_R = 0.9$
Dreiecks-Helligkeit i^*



FRS15_90aM; CIELAB-Daten					
	$L^*=L^*$	a^*	b^*	C^*_{ab}	h^*_{ab}
O _M	35.06	54.41	35.65	65.05	33
Y _M	83.77	-4.03	92.72	92.8	92
L _M	44.13	-55.82	39.15	68.19	145
C _M	52.66	-25.66	-33.24	42.01	232
V _M	14.15	45.64	-56.26	72.45	309
M _M	37.37	71.17	-34.08	78.92	334
N _M	15.0	0.43	-3.22	3.26	278
W _M	90.0	0.62	-5.75	5.79	276
R _{CIE}	39.92	58.74	27.99	65.07	25
J _{CIE}	81.26	-2.88	71.56	71.62	92
G _{CIE}	52.23	-42.41	13.6	44.55	162
B _{CIE}	30.57	1.41	-46.46	46.49	272

Daten für Maximalfarbe (Ma):

$LAB^*LAB^*_{Ma}$: 83 -3 98

$LAB^*LCH^*_{Ma}$: 83 98 92

$lab^*rgb^*_{Ma}$: 1.0 1.0 0.0

$lab^*olv^*_{Ma}$: 1.0 0.99 0.0

Dreiecks-Helligkeit i^*

%Umfang

$u^*_{rel} = 88$

%Regularität

$g^*_{H,rel} = 31$

$g^*_{C,rel} = 40$

FRS15_90aM; adaptierte CIELAB-Daten					
	$L^*=L^*_a$	a^*_a	b^*_a	$C^*_{ab,a}$	$h^*_{ab,a}$
r00j	35.47	56.92	27.12	63.05	25
r25j	39.12	49.04	44.45	66.19	42
r50j	50.64	35.19	58.33	68.13	59
r75j	64.01	19.11	74.45	76.87	76
j00g	83.18	-3.93	97.56	97.64	92
j25g	66.73	-26.86	74.66	79.35	110
j50g	54.03	-43.42	57.07	71.71	127
j75g	44.73	-54.21	38.33	66.4	145
g00b	47.59	-44.11	14.14	46.33	162
g25b	49.97	-35.68	-6.03	36.19	190
g50b	51.85	-29.05	-21.88	36.38	217
g75b	46.92	-15.53	-32.37	35.92	244
b00r	37.91	1.15	-38.05	38.08	272
b25r	23.81	27.31	-46.96	54.33	300
b50r	29.52	62.07	-37.87	72.72	329
b75r	36.48	64.24	-3.31	64.33	357

LAB^*cmyn^*

$i^*=1.00$

$i^*=0.80$

Brillantheit i^*

$i^*=0.60$

$i^*=0.40$

$i^*=0.20$

$i^*=0.00$

relative Buntheit c^*

relative Buntheit c^*

$i^*=0.00$

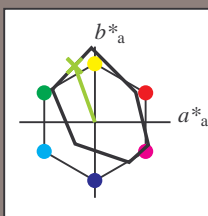
$i^*=0.25$

$i^*=0.50$

$i^*=0.75$

$i^*=1.00$

Ein und Ausgabe: Farbmetrisches Drucker-Reflektiv-System FRS15_90aM für relativen CIELAB-Buntton $h^* = lab^*h^* = h_{ab}/360 = 110/360 = 0.305$ $u^* = j25g$
Daten für jede Farbe:
 lab^*ch^* und lab^*icu^*
Elementar-Bunttontext:
 $u^* = j25g$
Kontrastreduzierungsfaktor:
 $c_R = 0.9$
Dreiecks-Helligkeit i^*



FRS15_90aM; CIELAB-Daten					
	$L^*=L^*$	a^*	b^*	C^*_{ab}	h^*_{ab}
O _M	35.06	54.41	35.65	65.05	33
Y _M	83.77	-4.03	92.72	92.8	92
L _M	44.13	-55.82	39.15	68.19	145
C _M	52.66	-25.66	-33.24	42.01	232
V _M	14.15	45.64	-56.26	72.45	309
M _M	37.37	71.17	-34.08	78.92	334
N _M	15.0	0.43	-3.22	3.26	278
W _M	90.0	0.62	-5.75	5.79	276
R _{CIE}	39.92	58.74	27.99	65.07	25
J _{CIE}	81.26	-2.88	71.56	71.62	92
G _{CIE}	52.23	-42.41	13.6	44.55	162
B _{CIE}	30.57	1.41	-46.46	46.49	272

Daten für Maximalfarbe (Ma):

$LAB^*LAB^*_{Ma}$: 67 -26 75

$LAB^*LCH^*_{Ma}$: 67 79 110

$lab^*rgb^*_{Ma}$: 0.75 1.0 0.0

$lab^*olv^*_{Ma}$: 0.57 1.0 0.0

Dreiecks-Helligkeit i^*

%Umfang

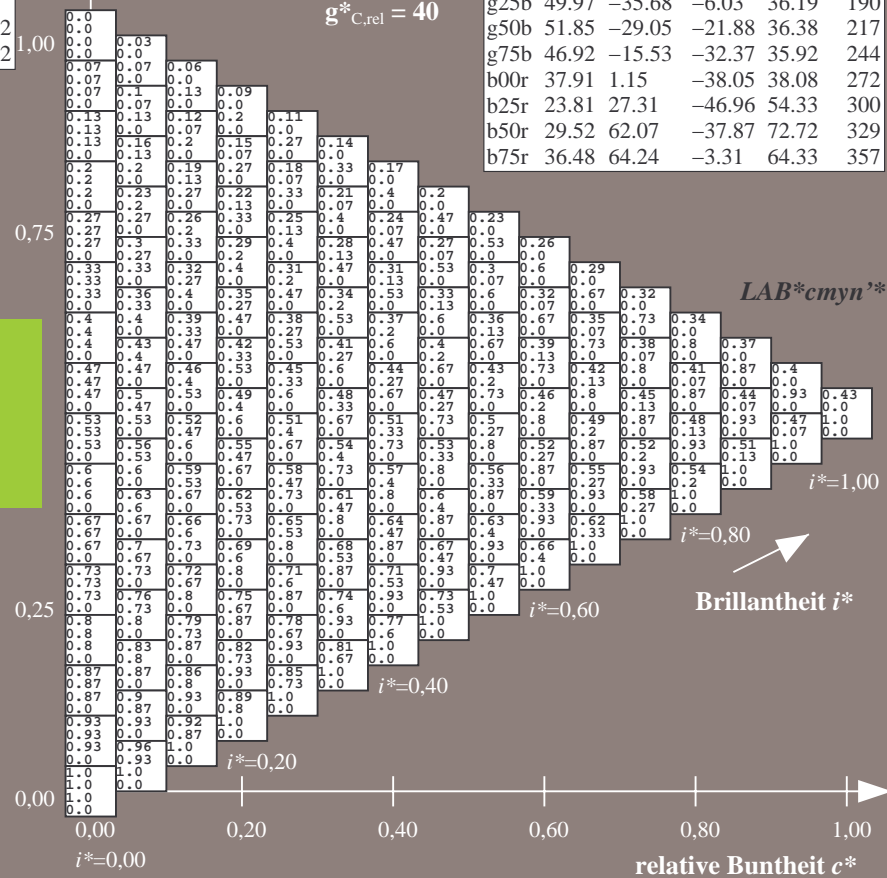
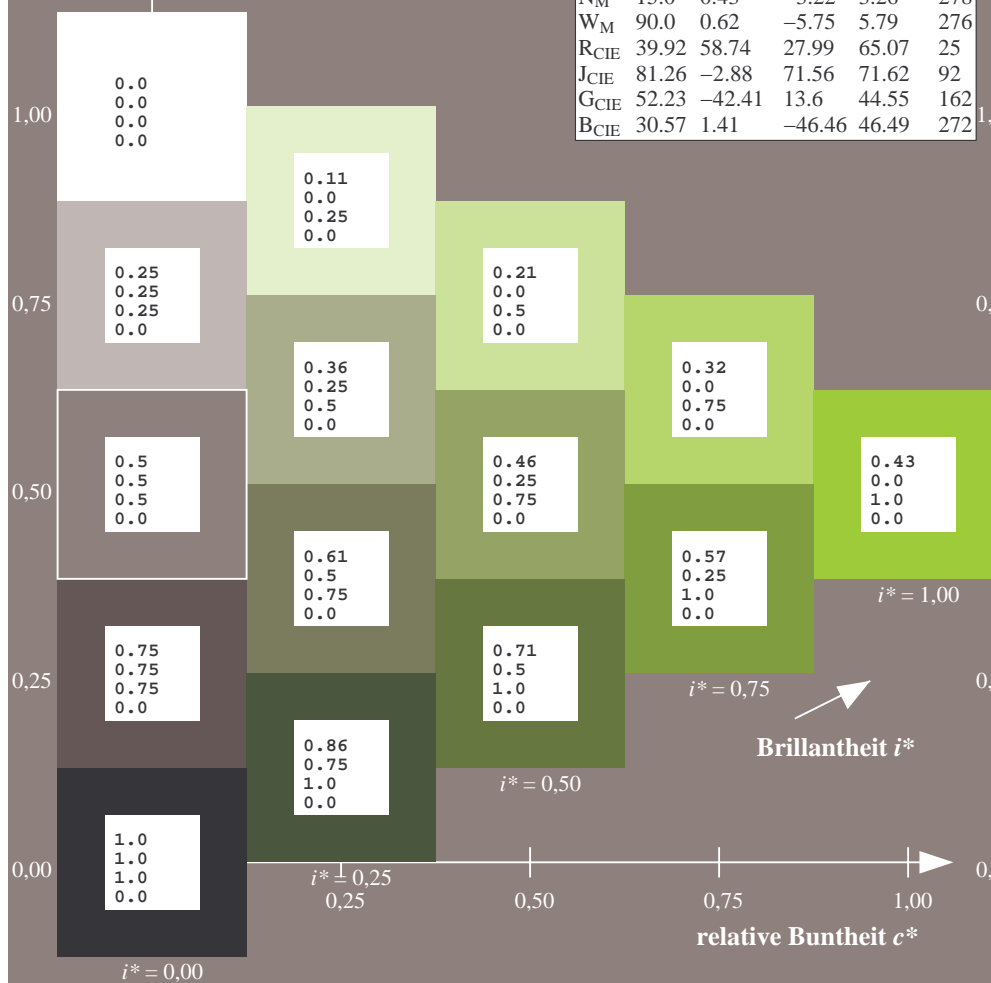
$u^*_{rel} = 88$

%Regularität

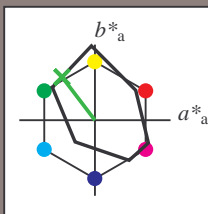
$g^*_{H,rel} = 31$

$g^*_{C,rel} = 40$

FRS15_90aM; adaptierte CIELAB-Daten					
	$L^*=L^*$	a^*	b^*	$C^*_{ab,a}$	$h^*_{ab,a}$
r00j	35.47	56.92	27.12	63.05	25
r25j	39.12	49.04	44.45	66.19	42
r50j	50.64	35.19	58.33	68.13	59
r75j	64.01	19.11	74.45	76.87	76
j00g	83.18	-3.93	97.56	97.64	92
j25g	66.73	-26.86	74.66	79.35	110
j50g	54.03	-43.42	57.07	71.71	127
j75g	44.73	-54.21	38.33	66.4	145
g00b	47.59	-44.11	14.14	46.33	162
g25b	49.97	-35.68	-6.03	36.19	190
g50b	51.85	-29.05	-21.88	36.38	217
g75b	46.92	-15.53	-32.37	35.92	244
b00r	37.91	1.15	-38.05	38.08	272
b25r	23.81	27.31	-46.96	54.33	300
b50r	29.52	62.07	-37.87	72.72	329
b75r	36.48	64.24	-3.31	64.33	357



Ein und Ausgabe: Farbmetrisches Drucker-Reflektiv-System FRS15_90aM für relativen CIELAB-Buntton $h^* = lab^*h^* = h_{ab}/360 = 127/360 = 0.354$ $u^* = j50g$
Daten für jede Farbe:
 lab^*ch^* und lab^*icu^*
Elementar-Bunttontext:
 $u^* = j50g$
Kontrastreduzierungsfaktor:
 $c_R = 0.9$
Dreiecks-Helligkeit i^*



FRS15_90aM; CIELAB-Daten					
	$L^*=L^*$	a^*	b^*	C^*_{ab}	h^*_{ab}
O _M	35.06	54.41	35.65	65.05	33
Y _M	83.77	-4.03	92.72	92.8	92
L _M	44.13	-55.82	39.15	68.19	145
C _M	52.66	-25.66	-33.24	42.01	232
V _M	14.15	45.64	-56.26	72.45	309
M _M	37.37	71.17	-34.08	78.92	334
N _M	15.0	0.43	-3.22	3.26	278
W _M	90.0	0.62	-5.75	5.79	276
R _{CIE}	39.92	58.74	27.99	65.07	25
J _{CIE}	81.26	-2.88	71.56	71.62	92
G _{CIE}	52.23	-42.41	13.6	44.55	162
B _{CIE}	30.57	1.41	-46.46	46.49	272

Daten für Maximalfarbe (Ma):

$LAB^*LAB^*_{Ma}$: 54 -42 57

$LAB^*LCH^*_{Ma}$: 54 72 127

$lab^*rgb^*_{Ma}$: 0.5 1.0 0.0

$lab^*olv^*_{Ma}$: 0.25 1.0 0.0

Dreiecks-Helligkeit i^*

%Umfang

$u^*_{rel} = 88$

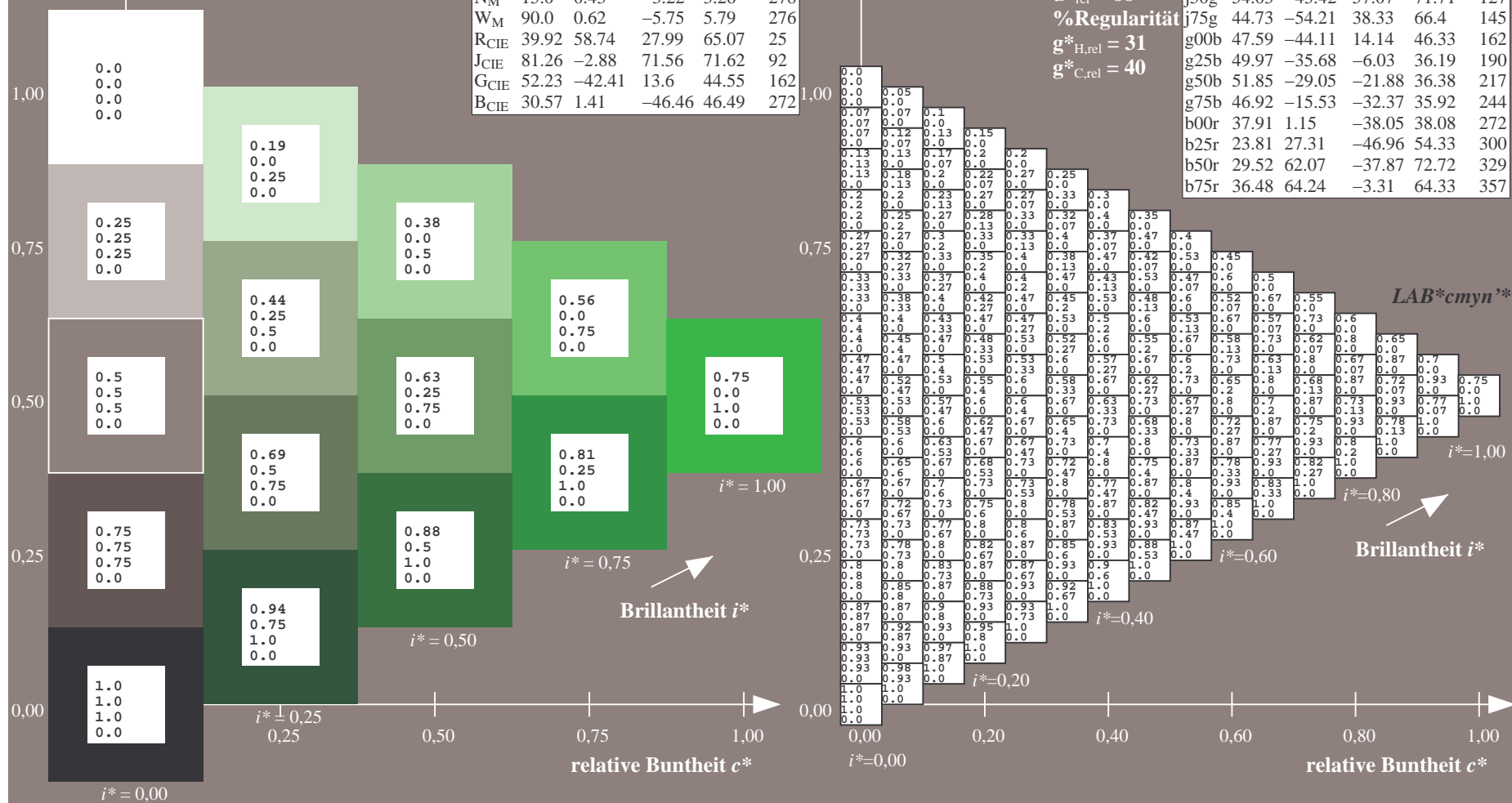
%Regularität

$g^*_{H,rel} = 31$

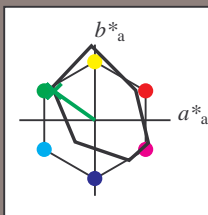
$g^*_{C,rel} = 40$

FRS15_90aM; adaptierte CIELAB-Daten

	$L^*=L^*_a$	a^*_a	b^*_a	$C^*_{ab,a}$	$h^*_{ab,a}$
r00j	35.47	56.92	27.12	63.05	25
r25j	39.12	49.04	44.45	66.19	42
r50j	50.64	35.19	58.33	68.13	59
r75j	64.01	19.11	74.45	76.87	76
j00g	83.18	-3.93	97.56	97.64	92
j25g	66.73	-26.86	74.66	79.35	110
j50g	54.03	-43.42	57.07	71.71	127
j75g	44.73	-54.21	38.33	66.4	145
g00b	47.59	-44.11	14.14	46.33	162
g25b	49.97	-35.68	-6.03	36.19	190
g50b	51.85	-29.05	-21.88	36.38	217
g75b	46.92	-15.53	-32.37	35.92	244
b00r	37.91	1.15	-38.05	38.08	272
b25r	23.81	27.31	-46.96	54.33	300
b50r	29.52	62.07	-37.87	72.72	329
b75r	36.48	64.24	-3.31	64.33	357



Ein und Ausgabe: Farbmetrisches Drucker-Reflektiv-System FRS15_90aM für relativen CIELAB-Buntton $h^* = lab^*h^* = h_{ab}/360 = 145/360 = 0.402$ $u^* = j75g$
Daten für jede Farbe:
 lab^*ch^* und lab^*icu^*
Elementar-Bunttontext:
 $u^* = j75g$
Kontrastreduzierungsfaktor:
 $c_R = 0.9$
Dreiecks-Helligkeit i^*



FRS15_90aM; CIELAB-Daten					
	$L^*=L^*$	a^*	b^*	C^*_{ab}	h^*_{ab}
O _M	35.06	54.41	35.65	65.05	33
Y _M	83.77	-4.03	92.72	92.8	92
L _M	44.13	-55.82	39.15	68.19	145
C _M	52.66	-25.66	-33.24	42.01	232
V _M	14.15	45.64	-56.26	72.45	309
M _M	37.37	71.17	-34.08	78.92	334
N _M	15.0	0.43	-3.22	3.26	278
W _M	90.0	0.62	-5.75	5.79	276
R _{CIE}	39.92	58.74	27.99	65.07	25
J _{CIE}	81.26	-2.88	71.56	71.62	92
G _{CIE}	52.23	-42.41	13.6	44.55	162
B _{CIE}	30.57	1.41	-46.46	46.49	272

Daten für Maximalfarbe (Ma):

$LAB^*LAB^*_{Ma}$: 45 -53 38

$LAB^*LCH^*_{Ma}$: 45 66 145

$lab^*rgb^*_{Ma}$: 0.25 1.0 0.0

$lab^*olv^*_{Ma}$: 0.0 1.0 0.07

Dreiecks-Helligkeit i^*

%Umfang

$u^*_{rel} = 88$

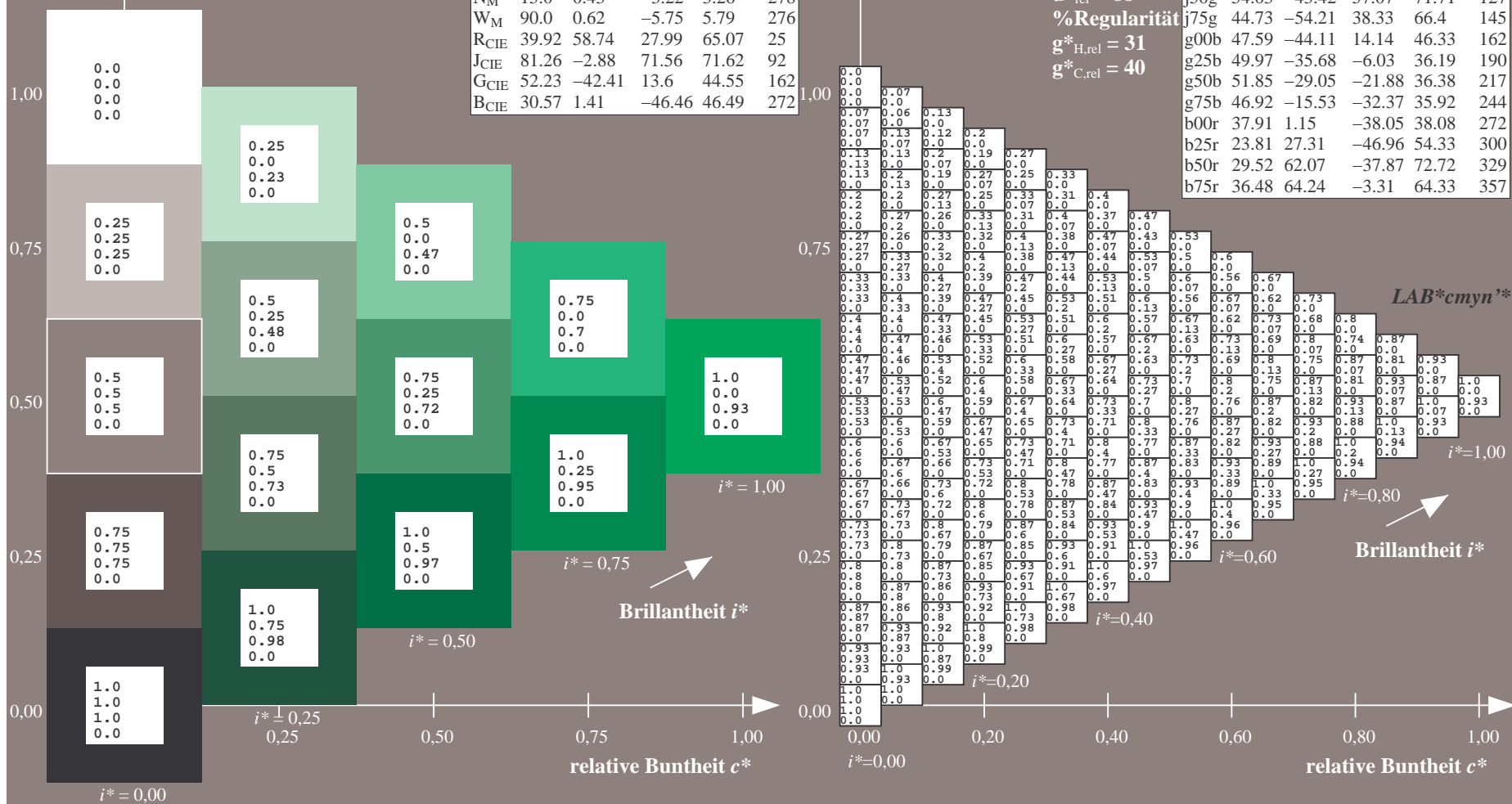
%Regularität

$g^*_{H,rel} = 31$

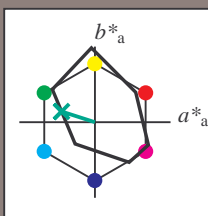
$g^*_{C,rel} = 40$

FRS15_90aM; adaptierte CIELAB-Daten

	$L^*=L^*_a$	a^*_a	b^*_a	$C^*_{ab,a}$	$h^*_{ab,a}$
r00j	35.47	56.92	27.12	63.05	25
r25j	39.12	49.04	44.45	66.19	42
r50j	50.64	35.19	58.33	68.13	59
r75j	64.01	19.11	74.45	76.87	76
j00g	83.18	-3.93	97.56	97.64	92
j25g	66.73	-26.86	74.66	79.35	110
j50g	54.03	-43.42	57.07	71.71	127
j75g	44.73	-54.21	38.33	66.4	145
g00b	47.59	-44.11	14.14	46.33	162
g25b	49.97	-35.68	-6.03	36.19	190
g50b	51.85	-29.05	-21.88	36.38	217
g75b	46.92	-15.53	-32.37	35.92	244
b00r	37.91	1.15	-38.05	38.08	272
b25r	23.81	27.31	-46.96	54.33	300
b50r	29.52	62.07	-37.87	72.72	329
b75r	36.48	64.24	-3.31	64.33	357



Ein und Ausgabe: Farbmetrisches Drucker-Reflektiv-System FRS15_90aM für relativen CIELAB-Buntton $h^* = lab^*h^* = h_{ab}/360 = 162/360 = 0.451$ $u^* = g00b$
Daten für jede Farbe:
 lab^*ch^* und lab^*icu^*
Elementar-Bunttontext:
 $u^* = g00b$
Kontrastreduzierungsfaktor:
 $c_R = 0.9$
Dreiecks-Helligkeit i^*



FRS15_90aM; CIELAB-Daten					
	$L^*=L^*$	a^*	b^*	C^*_{ab}	h^*_{ab}
O _M	35.06	54.41	35.65	65.05	33
Y _M	83.77	-4.03	92.72	92.8	92
L _M	44.13	-55.82	39.15	68.19	145
C _M	52.66	-25.66	-33.24	42.01	232
V _M	14.15	45.64	-56.26	72.45	309
M _M	37.37	71.17	-34.08	78.92	334
N _M	15.0	0.43	-3.22	3.26	278
W _M	90.0	0.62	-5.75	5.79	276
R _{CIE}	39.92	58.74	27.99	65.07	25
J _{CIE}	81.26	-2.88	71.56	71.62	92
G _{CIE}	52.23	-42.41	13.6	44.55	162
B _{CIE}	30.57	1.41	-46.46	46.49	272

Daten für Maximalfarbe (Ma):

$LAB^*LAB^*_{Ma}$: 48 -43 14

$LAB^*LCH^*_{Ma}$: 48 46 162

$lab^*rgb^*_{Ma}$: 0.0 1.0 0.0

$lab^*olv^*_{Ma}$: 0.0 1.0 0.41

Dreiecks-Helligkeit i^*

%Umfang

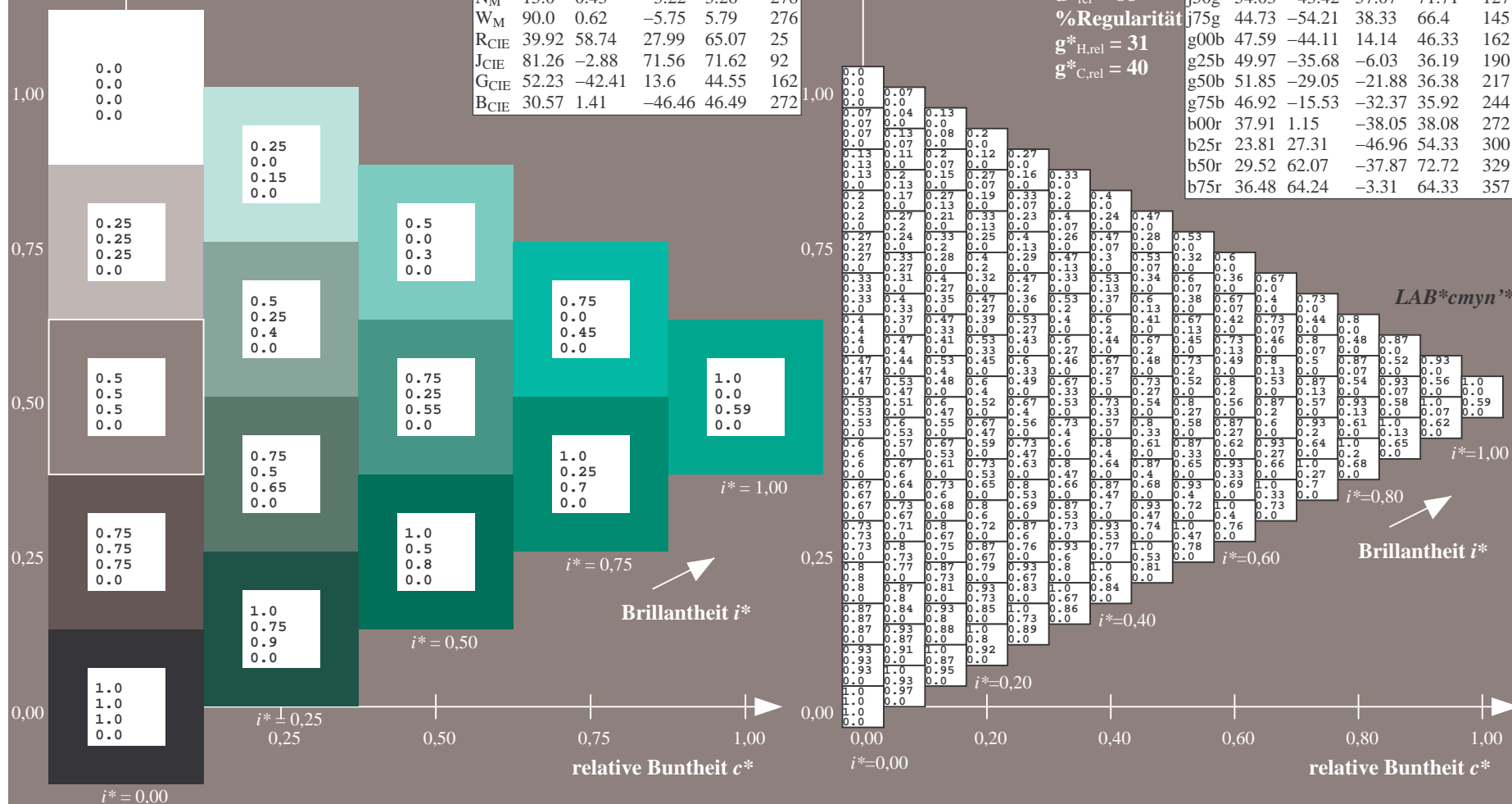
$u^*_{rel} = 88$

%Regularität

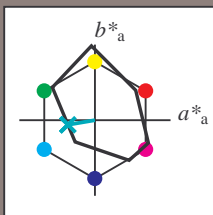
$g^*_{H,rel} = 31$

$g^*_{C,rel} = 40$

FRS15_90aM; adaptierte CIELAB-Daten					
	$L^*=L^*_a$	a^*_a	b^*_a	$C^*_{ab,a}$	$h^*_{ab,a}$
r00j	35.47	56.92	27.12	63.05	25
r25j	39.12	49.04	44.45	66.19	42
r50j	50.64	35.19	58.33	68.13	59
r75j	64.01	19.11	74.45	76.87	76
j00g	83.18	-3.93	97.56	97.64	92
j25g	66.73	-26.86	74.66	79.35	110
j50g	54.03	-43.42	57.07	71.71	127
j75g	44.73	-54.21	38.33	66.4	145
g00b	47.59	-44.11	14.14	46.33	162
g25b	49.97	-35.68	-6.03	36.19	190
g50b	51.85	-29.05	-21.88	36.38	217
g75b	46.92	-15.53	-32.37	35.92	244
b00r	37.91	1.15	-38.05	38.08	272
b25r	23.81	27.31	-46.96	54.33	300
b50r	29.52	62.07	-37.87	72.72	329
b75r	36.48	64.24	-3.31	64.33	357



Ein und Ausgabe: Farbmetrisches Drucker-Reflektiv-System FRS15_90aM für relativen CIELAB-Buntton $h^* = lab^*h^* = h_{ab}/360 = 190/360 = 0.527$ $u^* = g25b$
Daten für jede Farbe:
 lab^*ch^* und lab^*icu^*
Elementar-Bunttontext:
 $u^* = g25b$
Kontrastreduzierungsfaktor:
 $c_R = 0.9$
Dreiecks-Helligkeit i^*



FRS15_90aM; CIELAB-Daten					
	$L^*=L^*$	a^*	b^*	C^*_{ab}	h^*_{ab}
O _M	35.06	54.41	35.65	65.05	33
Y _M	83.77	-4.03	92.72	92.8	92
L _M	44.13	-55.82	39.15	68.19	145
C _M	52.66	-25.66	-33.24	42.01	232
V _M	14.15	45.64	-56.26	72.45	309
M _M	37.37	71.17	-34.08	78.92	334
N _M	15.0	0.43	-3.22	3.26	278
W _M	90.0	0.62	-5.75	5.79	276
R _{CIE}	39.92	58.74	27.99	65.07	25
J _{CIE}	81.26	-2.88	71.56	71.62	92
G _{CIE}	52.23	-42.41	13.6	44.55	162
B _{CIE}	30.57	1.41	-46.46	46.49	272

Daten für Maximalfarbe (Ma):

$LAB^*LAB^*_{Ma}$: 50 -35 -5

$LAB^*LCH^*_{Ma}$: 50 36 190

$lab^*rgb^*_{Ma}$: 0.0 1.0 0.5

$lab^*olv^*_{Ma}$: 0.0 1.0 0.69

Dreiecks-Helligkeit i^*

%Umfang

$u^*_{rel} = 88$

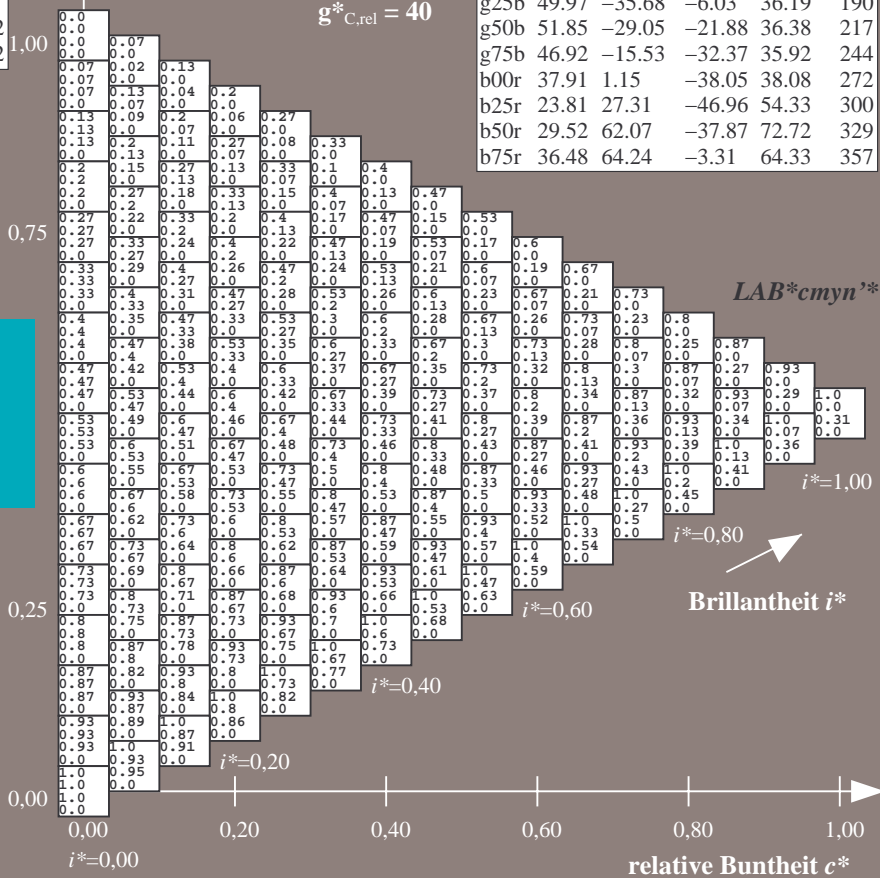
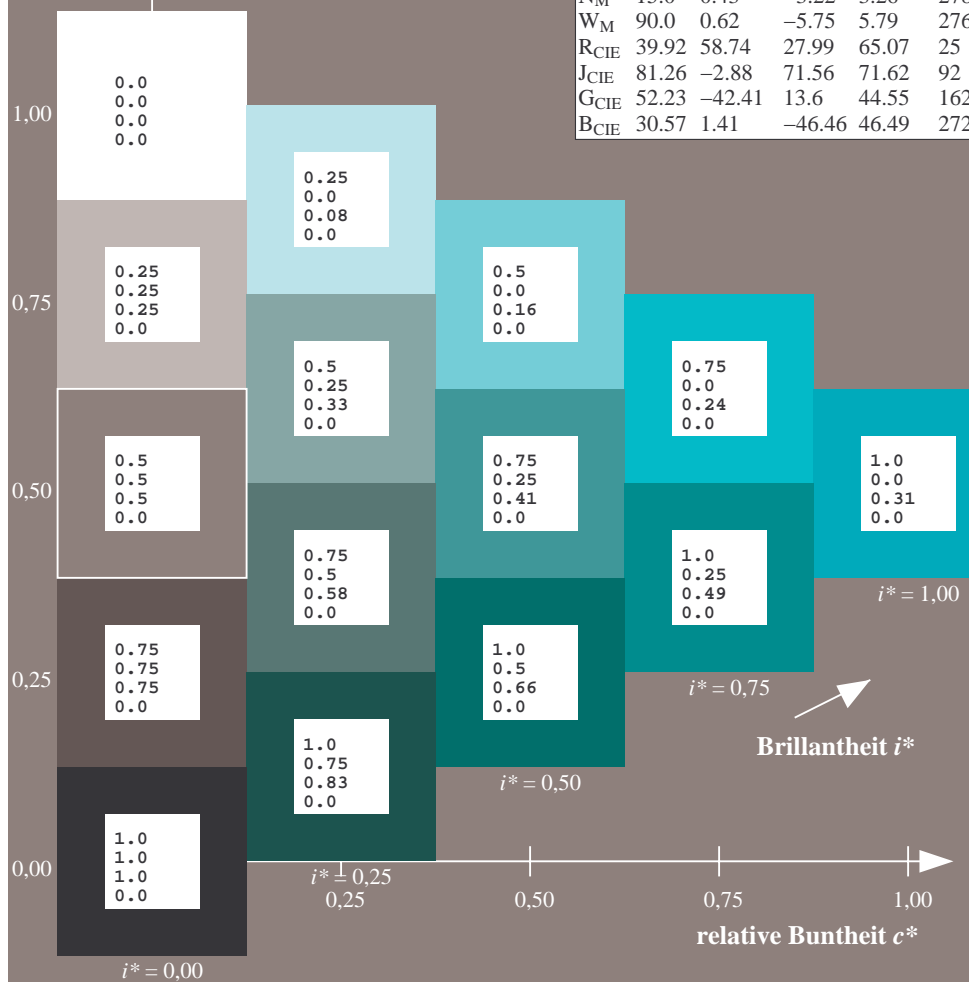
%Regularität

$g^*_{H,rel} = 31$

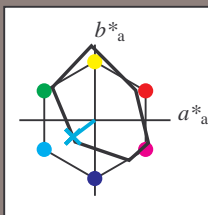
$g^*_{C,rel} = 40$

FRS15_90aM; adaptierte CIELAB-Daten

	$L^*=L^*_a$	a^*_a	b^*_a	$C^*_{ab,a}$	$h^*_{ab,a}$
r00j	35.47	56.92	27.12	63.05	25
r25j	39.12	49.04	44.45	66.19	42
r50j	50.64	35.19	58.33	68.13	59
r75j	64.01	19.11	74.45	76.87	76
j00g	83.18	-3.93	97.56	97.64	92
j25g	66.73	-26.86	74.66	79.35	110
j50g	54.03	-43.42	57.07	71.71	127
j75g	44.73	-54.21	38.33	66.4	145
g00b	47.59	-44.11	14.14	46.33	162
g25b	49.97	-35.68	-6.03	36.19	190
g50b	51.85	-29.05	-21.88	36.38	217
g75b	46.92	-15.53	-32.37	35.92	244
b00r	37.91	1.15	-38.05	38.08	272
b25r	23.81	27.31	-46.96	54.33	300
b50r	29.52	62.07	-37.87	72.72	329
b75r	36.48	64.24	-3.31	64.33	357



Ein und Ausgabe: Farbmetrisches Drucker-Reflektiv-System FRS15_90aM für relativen CIELAB-Buntton $h^* = lab^*h^* = h_{ab}/360 = 217/360 = 0.603$ $u^* = g50b$
Daten für jede Farbe:
 lab^*ch^* und lab^*icu^*
Elementar-Bunttontext:
 $u^* = g50b$
Kontrastreduzierungsfaktor:
 $c_R = 0.9$
Dreiecks-Helligkeit i^*



FRS15_90aM; CIELAB-Daten					
	$L^*=L^*$	a^*	b^*	C^*_{ab}	h^*_{ab}
O _M	35.06	54.41	35.65	65.05	33
Y _M	83.77	-4.03	92.72	92.8	92
L _M	44.13	-55.82	39.15	68.19	145
C _M	52.66	-25.66	-33.24	42.01	232
V _M	14.15	45.64	-56.26	72.45	309
M _M	37.37	71.17	-34.08	78.92	334
N _M	15.0	0.43	-3.22	3.26	278
W _M	90.0	0.62	-5.75	5.79	276
R _{CIE}	39.92	58.74	27.99	65.07	25
J _{CIE}	81.26	-2.88	71.56	71.62	92
G _{CIE}	52.23	-42.41	13.6	44.55	162
B _{CIE}	30.57	1.41	-46.46	46.49	272

Daten für Maximalfarbe (Ma):

$LAB^*LAB^*_{Ma}$: 52 -28 -21

$LAB^*LCH^*_{Ma}$: 52 36 217

$lab^*rgb^*_{Ma}$: 0.0 1.0 1.0

$lab^*olv^*_{Ma}$: 0.0 1.0 0.9

Dreiecks-Helligkeit i^*

%Umfang

$u^*_{rel} = 88$

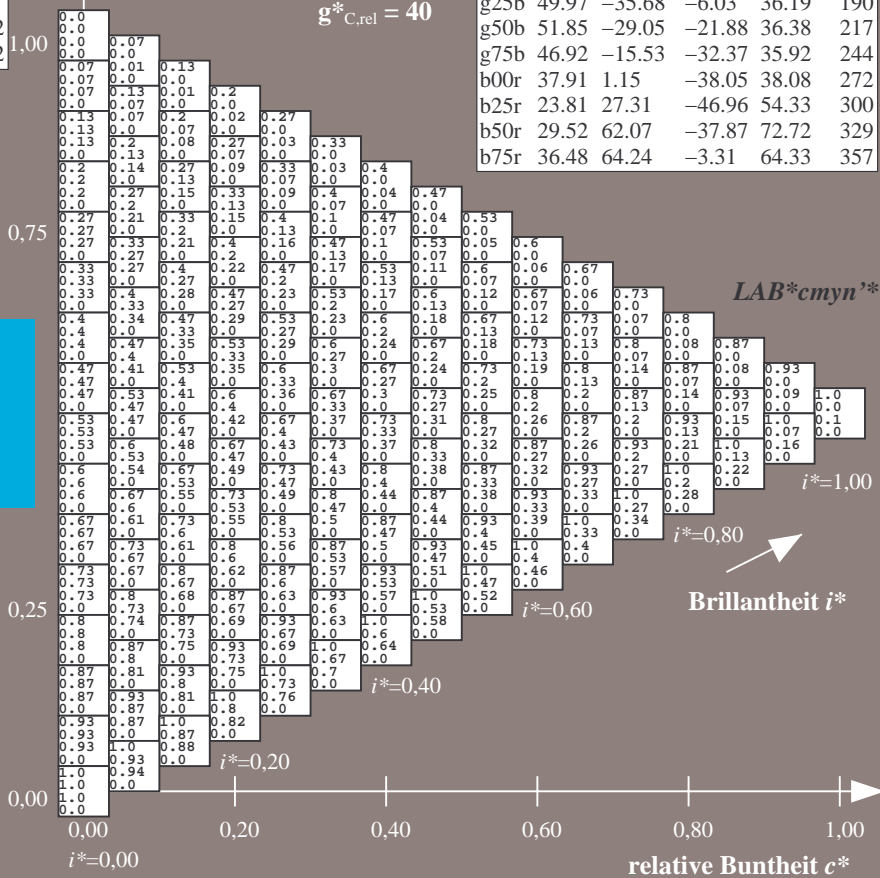
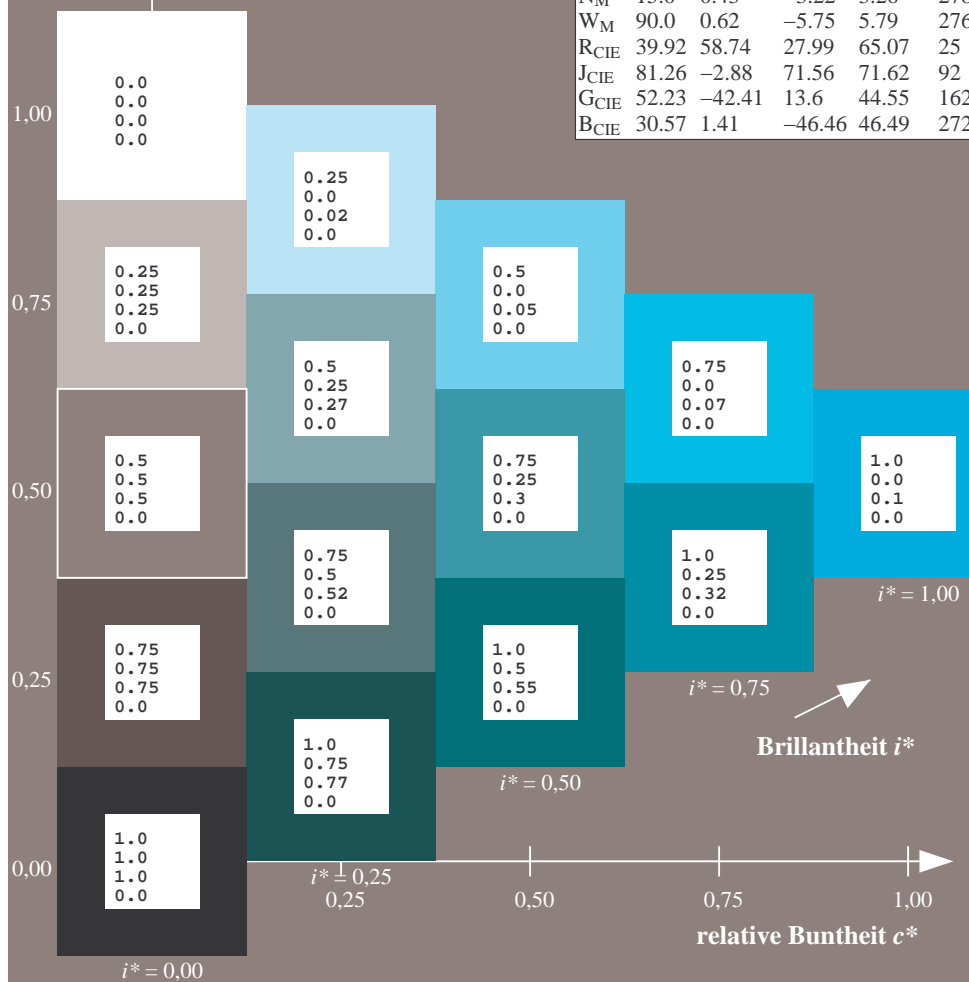
%Regularität

$g^*_{H,rel} = 31$

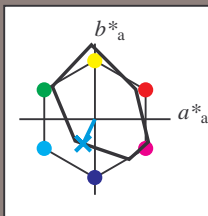
$g^*_{C,rel} = 40$

FRS15_90aM; adaptierte CIELAB-Daten

	$L^*=L^*_a$	a^*_a	b^*_a	$C^*_{ab,a}$	$h^*_{ab,a}$
r00j	35.47	56.92	27.12	63.05	25
r25j	39.12	49.04	44.45	66.19	42
r50j	50.64	35.19	58.33	68.13	59
r75j	64.01	19.11	74.45	76.87	76
j00g	83.18	-3.93	97.56	97.64	92
j25g	66.73	-26.86	74.66	79.35	110
j50g	54.03	-43.42	57.07	71.71	127
j75g	44.73	-54.21	38.33	66.4	145
g00b	47.59	-44.11	14.14	46.33	162
g25b	49.97	-35.68	-6.03	36.19	190
g50b	51.85	-29.05	-21.88	36.38	217
g75b	46.92	-15.53	-32.37	35.92	244
b00r	37.91	1.15	-38.05	38.08	272
b25r	23.81	27.31	-46.96	54.33	300
b50r	29.52	62.07	-37.87	72.72	329
b75r	36.48	64.24	-3.31	64.33	357



Ein und Ausgabe: Farbmetri-
Daten für jede Farbe:
 $lab^*_{tch^*}$ und $lab^*_{icu^*}$
Elementar-Bunttontext:
 $u^* = g75b$
Kontrastreduzierungsfaktor:
 $c_R = 0.9$
Dreiecks-Helligkeit l^*



FRS15_90aM; CIELAB-Daten					
	L^*	a^*	b^*	C^*_{ab}	h^*_{ab}
O_M	35.06	54.41	35.65	65.05	33
Y_M	83.77	-4.03	92.72	92.8	92
L_M	44.13	-55.82	39.15	68.19	145
C_M	52.66	-25.66	-33.24	42.01	232
V_M	14.15	45.64	-56.26	72.45	309
M_M	37.37	71.17	-34.08	78.92	334
N_M	15.0	0.43	-3.22	3.26	278
W_M	90.0	0.62	-5.75	5.79	276
R_{CIE}	39.92	58.74	27.99	65.07	25
J_{CIE}	81.26	-2.88	71.56	71.62	92
G_{CIE}	52.23	-42.41	13.6	44.55	162
B_{CIE}	30.57	1.41	-46.46	46.49	272

Daten für Maximalfarbe (Ma):

LAB*LAB*Ma: 47 -15 -31

LAB*LCH*Ma: 47 36 244

*lab*rgb*Ma: 0.0 0.5 1.0

*lab*olv**Ma: 0.0 0.85 1.0

Dreiecks-Helligkeit t^*

www.uncc.edu

%Umfang

$$\mathbf{u}_{\text{rel}}^* = 88$$

%Regular
 21

$$g_{H,rel}^* = 51$$

FRS15_90aM; adaptierte CIELAB-Daten						
	L^*_a	a^*_a	b^*_a	$C^*_{ab,a}$	$h^*_{ab,a}$	
r00j	35.47	56.92	27.12	63.05	25	
r25j	39.12	49.04	44.45	66.19	42	
r50j	50.64	35.19	58.33	68.13	59	
r75j	64.01	19.11	74.45	76.87	76	
j00g	83.18	-3.93	97.56	97.64	92	
j25g	66.73	-26.86	74.66	79.35	110	
j50g	54.03	-43.42	57.07	71.71	127	
j75g	44.73	-54.21	38.33	66.4	145	
g00b	47.59	-44.11	14.14	46.33	162	
g25b	49.97	-35.68	-6.03	36.19	190	
g50b	51.85	-29.05	-21.88	36.38	217	
g75b	46.92	-15.53	-32.37	35.92	244	
b00r	37.91	1.15	-38.05	38.08	272	
b25r	23.81	27.31	-46.96	54.33	300	
b50r	29.52	62.07	-37.87	72.72	329	
b75r	36.48	64.24	-3.31	64.33	357	

*LAB*cmyn'**

$$i^*=1,00$$

Brillantheit i^*

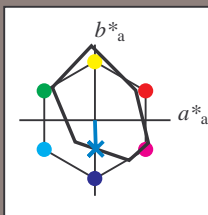
relative Buntheit c^*

BAM-Prüfvorlage Dg93; Farbmeterik-Systeme, Seite 175/180
Farbreihen, 8 Datentabellen für 16 Bunttöne *r00j* bis *b75r*

Eingabe: 000n / w / nnn0 / www set...
Ausgabe: ->cmyn5* setcmykcolor

BAM-Registrierung: 20080701-Dg93/10L/L93G00NA.PS/ .TXTBAM-Material: Code=rh4ta
- Anwendung für Beurteilung und Messung von Drucker- oder Monitorsystemen

Ein und Ausgabe: Farbmetrisches Drucker-Reflektiv-System FRS15_90aM für relativen CIELAB-Buntton $h^* = lab^*h^* = h_{ab}/360 = 272/360 = 0.755$ $u^* = b00r$
Daten für jede Farbe:
 lab^*ch^* und lab^*icu^*
Elementar-Bunttontext:
 $u^* = b00r$
Kontrastreduzierungsfaktor:
 $c_R = 0.9$
Dreiecks-Helligkeit t^*



FRS15_90aM; CIELAB-Daten					
	$L^*=L^*$	a^*	b^*	C^*_{ab}	h^*_{ab}
O _M	35.06	54.41	35.65	65.05	33
Y _M	83.77	-4.03	92.72	92.8	92
L _M	44.13	-55.82	39.15	68.19	145
C _M	52.66	-25.66	-33.24	42.01	232
V _M	14.15	45.64	-56.26	72.45	309
M _M	37.37	71.17	-34.08	78.92	334
N _M	15.0	0.43	-3.22	3.26	278
W _M	90.0	0.62	-5.75	5.79	276
R _{CIE}	39.92	58.74	27.99	65.07	25
J _{CIE}	81.26	-2.88	71.56	71.62	92
G _{CIE}	52.23	-42.41	13.6	44.55	162
B _{CIE}	30.57	1.41	-46.46	46.49	272

Daten für Maximalfarbe (Ma):

$LAB^*LAB^*_{Ma}$: 38 1 -37

$LAB^*LCH^*_{Ma}$: 38 38 272

$lab^*rgb^*_{Ma}$: 0.0 0.0 1.0

$lab^*olv^*_{Ma}$: 0.0 0.62 1.0

Dreiecks-Helligkeit t^*

%Umfang

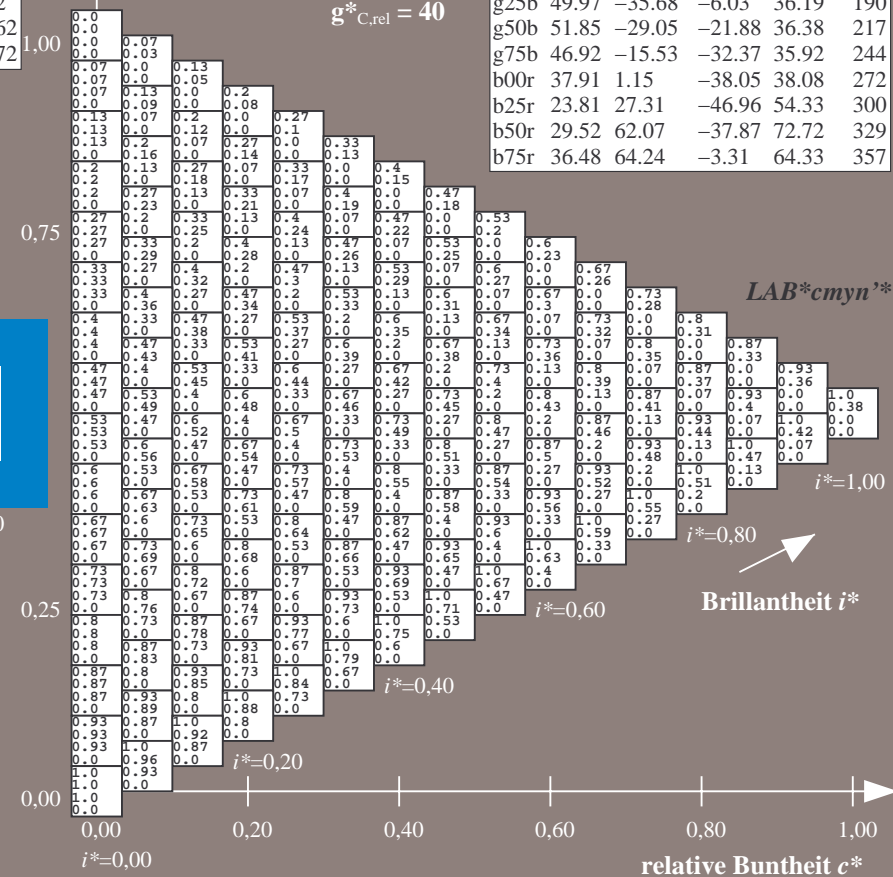
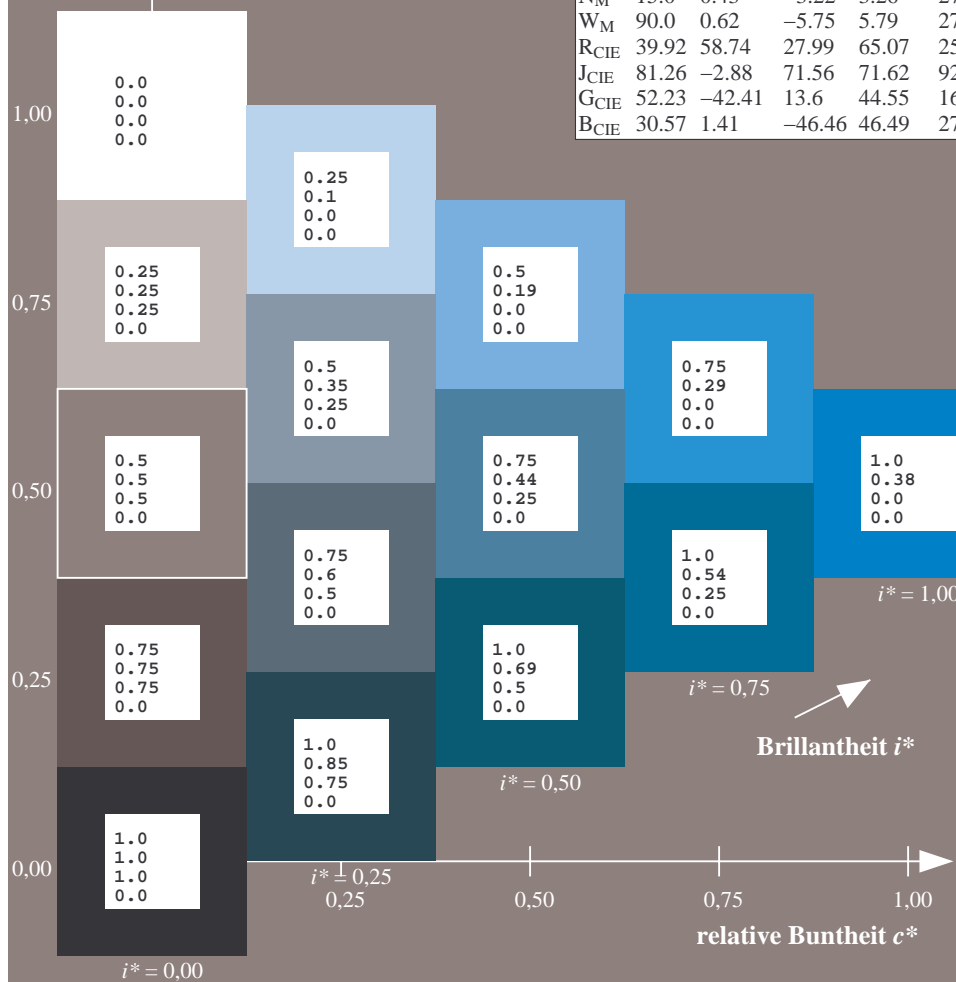
$u^*_{rel} = 88$

%Regularität

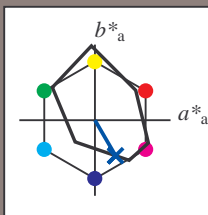
$g^*_{H,rel} = 31$

$g^*_{C,rel} = 40$

FRS15_90aM; adaptierte CIELAB-Daten					
	$L^*=L^*_a$	a^*_a	b^*_a	$C^*_{ab,a}$	$h^*_{ab,a}$
r00j	35.47	56.92	27.12	63.05	25
r25j	39.12	49.04	44.45	66.19	42
r50j	50.64	35.19	58.33	68.13	59
r75j	64.01	19.11	74.45	76.87	76
j00g	83.18	-3.93	97.56	97.64	92
j25g	66.73	-26.86	74.66	79.35	110
j50g	54.03	-43.42	57.07	71.71	127
j75g	44.73	-54.21	38.33	66.4	145
g00b	47.59	-44.11	14.14	46.33	162
g25b	49.97	-35.68	-6.03	36.19	190
g50b	51.85	-29.05	-21.88	36.38	217
g75b	46.92	-15.53	-32.37	35.92	244
b00r	37.91	1.15	-38.05	38.08	272
b25r	23.81	27.31	-46.96	54.33	300
b50r	29.52	62.07	-37.87	72.72	329
b75r	36.48	64.24	-3.31	64.33	357



Ein und Ausgabe: Farbmetrisches Drucker-Reflektiv-System FRS15_90aM für relativen CIELAB-Buntton $h^* = lab^*h^* = h_{ab}/360 = 300/360 = 0.834$ $u^* = b25r$
Daten für jede Farbe:
 lab^*tch^* und lab^*icu^*
Elementar-Bunttontext:
 $u^* = b25r$
Kontrastreduzierungsfaktor:
 $c_R = 0.9$
Dreiecks-Helligkeit t^*



FRS15_90aM; CIELAB-Daten					
	$L^*=L^*$	a^*	b^*	C^*_{ab}	h^*_{ab}
O _M	35.06	54.41	35.65	65.05	33
Y _M	83.77	-4.03	92.72	92.8	92
L _M	44.13	-55.82	39.15	68.19	145
C _M	52.66	-25.66	-33.24	42.01	232
V _M	14.15	45.64	-56.26	72.45	309
M _M	37.37	71.17	-34.08	78.92	334
N _M	15.0	0.43	-3.22	3.26	278
W _M	90.0	0.62	-5.75	5.79	276
R _{CIE}	39.92	58.74	27.99	65.07	25
J _{CIE}	81.26	-2.88	71.56	71.62	92
G _{CIE}	52.23	-42.41	13.6	44.55	162
B _{CIE}	30.57	1.41	-46.46	46.49	272

Daten für Maximalfarbe (Ma):

$LAB^*LAB^*_{Ma}$: 24 27 -46

$LAB^*LCH^*_{Ma}$: 24 54 300

$lab^*rgb^*_{Ma}$: 0.5 0.0 1.0

$lab^*olv^*_{Ma}$: 0.0 0.25 1.0

Dreiecks-Helligkeit t^*

%Umfang

$u^*_{rel} = 88$

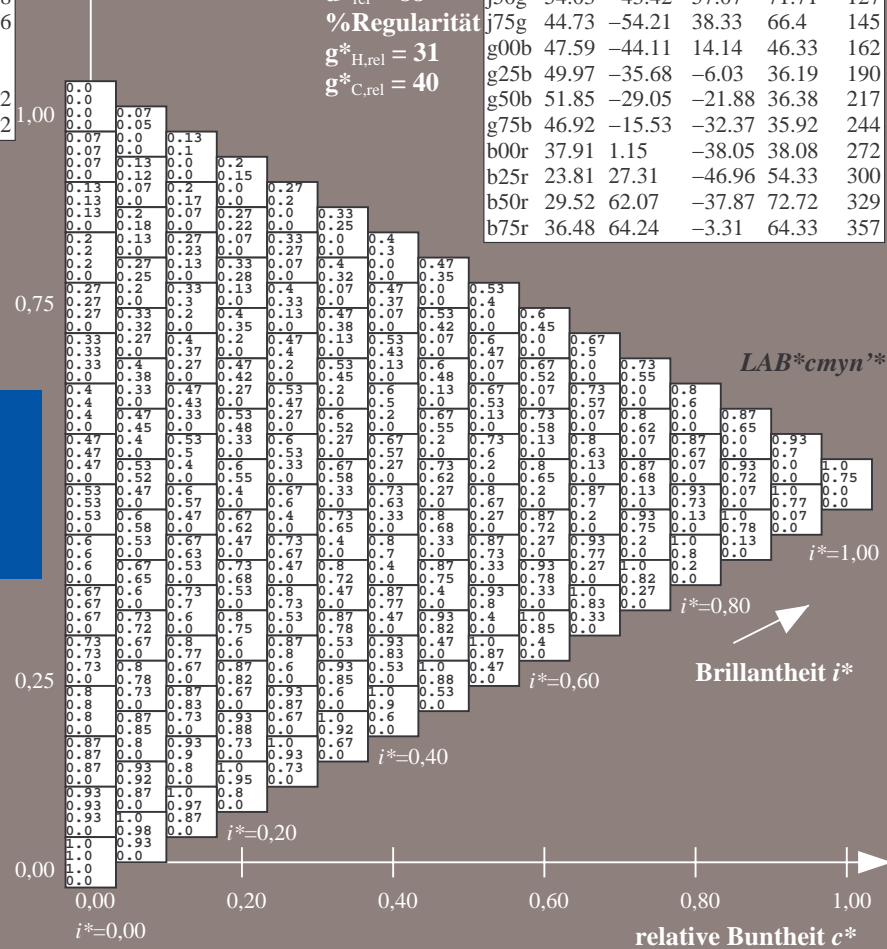
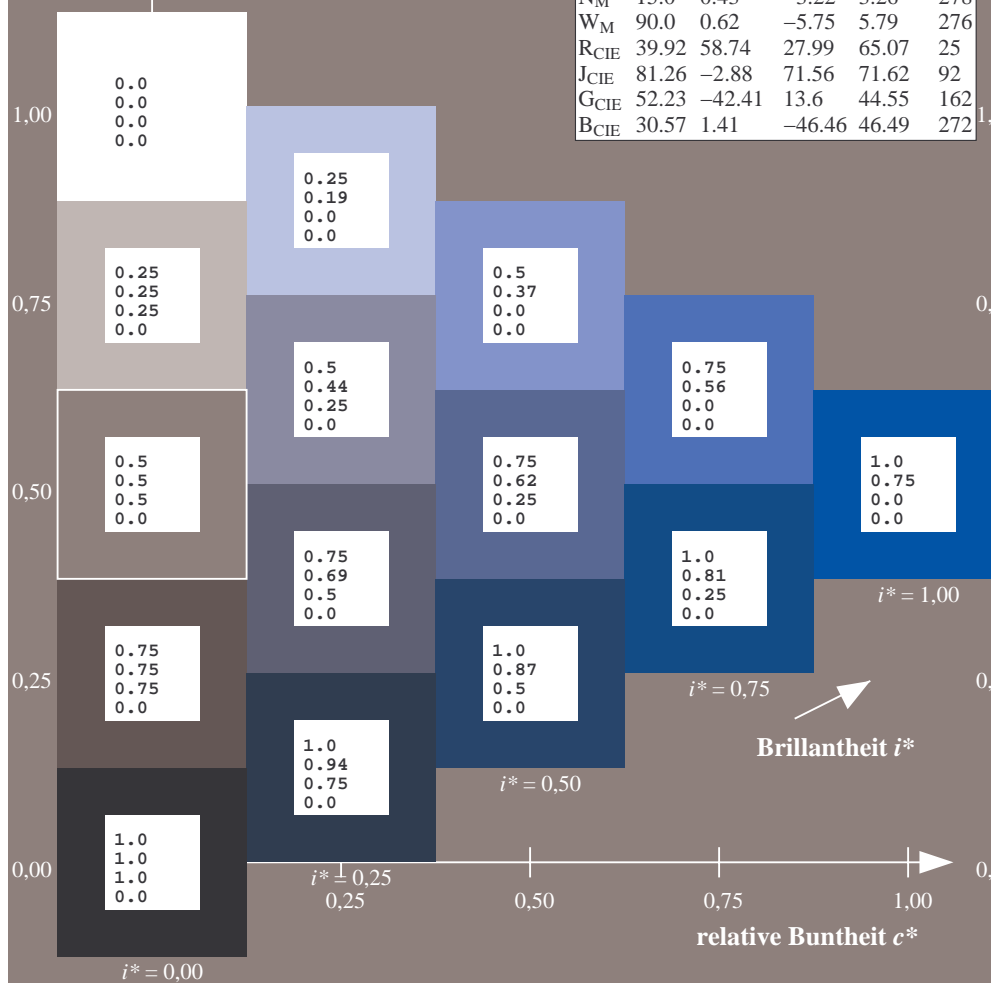
%Regularität

$g^*_{H,rel} = 31$

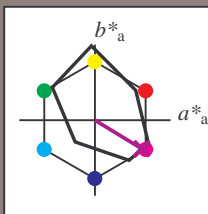
$g^*_{C,rel} = 40$

FRS15_90aM; adaptierte CIELAB-Daten

	$L^*=L^*_a$	a^*_a	b^*_a	$C^*_{ab,a}$	$h^*_{ab,a}$
r00j	35.47	56.92	27.12	63.05	25
r25j	39.12	49.04	44.45	66.19	42
r50j	50.64	35.19	58.33	68.13	59
r75j	64.01	19.11	74.45	76.87	76
j00g	83.18	-3.93	97.56	97.64	92
j25g	66.73	-26.86	74.66	79.35	110
j50g	54.03	-43.42	57.07	71.71	127
j75g	44.73	-54.21	38.33	66.4	145
g00b	47.59	-44.11	14.14	46.33	162
g25b	49.97	-35.68	-6.03	36.19	190
g50b	51.85	-29.05	-21.88	36.38	217
g75b	46.92	-15.53	-32.37	35.92	244
b00r	37.91	1.15	-38.05	38.08	272
b25r	23.81	27.31	-46.96	54.33	300
b50r	29.52	62.07	-37.87	72.72	329
b75r	36.48	64.24	-3.31	64.33	357



Ein und Ausgabe: Farbmetrisches Drucker-Reflektiv-System FRS15_90aM für relativen CIELAB-Buntton $h^* = lab^*h^* = h_{ab}/360 = 329/360 = 0.913$ $u^* = b50r$
Daten für jede Farbe:
 lab^*tch^* und lab^*icu^*
Elementar-Bunttontext:
 $u^* = b50r$
Kontrastreduzierungsfaktor:
 $c_R = 0.9$
Dreiecks-Helligkeit t^*



FRS15_90aM; CIELAB-Daten					
	$L^*=L^*$	a^*	b^*	C^*_{ab}	h^*_{ab}
O _M	35.06	54.41	35.65	65.05	33
Y _M	83.77	-4.03	92.72	92.8	92
L _M	44.13	-55.82	39.15	68.19	145
C _M	52.66	-25.66	-33.24	42.01	232
V _M	14.15	45.64	-56.26	72.45	309
M _M	37.37	71.17	-34.08	78.92	334
N _M	15.0	0.43	-3.22	3.26	278
W _M	90.0	0.62	-5.75	5.79	276
R _{CIE}	39.92	58.74	27.99	65.07	25
J _{CIE}	81.26	-2.88	71.56	71.62	92
G _{CIE}	52.23	-42.41	13.6	44.55	162
B _{CIE}	30.57	1.41	-46.46	46.49	272

Daten für Maximalfarbe (Ma):

$LAB^*LAB^*_{Ma}$: 30 62 -37

$LAB^*LCH^*_{Ma}$: 30 73 329

$lab^*rgb^*_{Ma}$: 1.0 0.0 1.0

$lab^*olv^*_{Ma}$: 0.66 0.0 1.0

Dreiecks-Helligkeit t^*

%Umfang

$u^*_{rel} = 88$

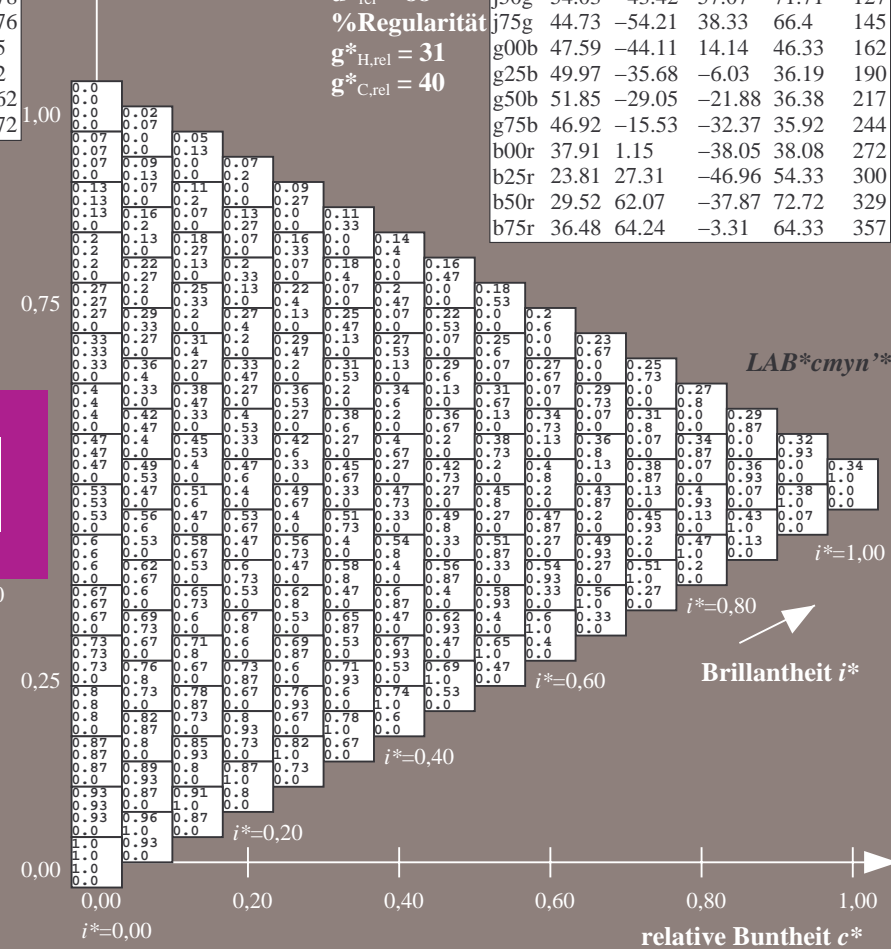
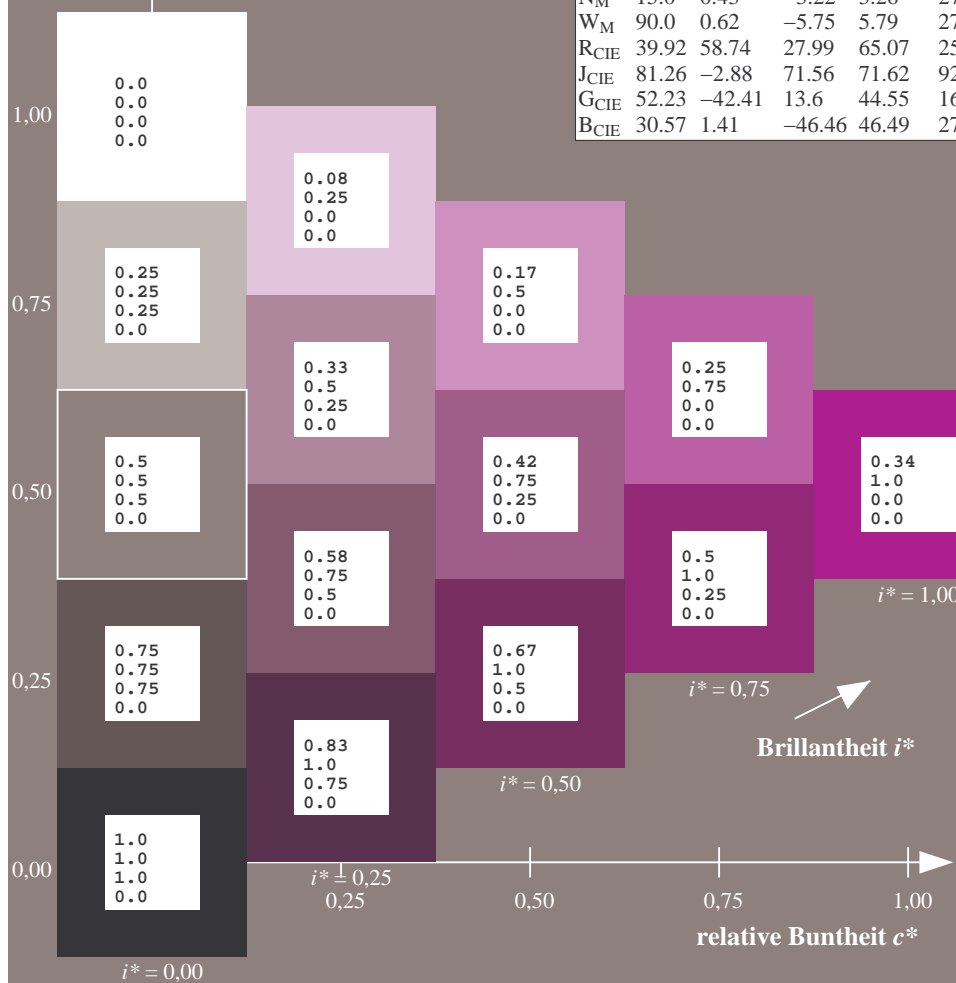
%Regularität

$g^*_{H,rel} = 31$

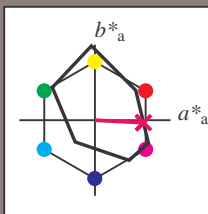
$g^*_{C,rel} = 40$

FRS15_90aM; adaptierte CIELAB-Daten

	$L^*=L^*_a$	a^*_a	b^*_a	$C^*_{ab,a}$	$h^*_{ab,a}$
r00j	35.47	56.92	27.12	63.05	25
r25j	39.12	49.04	44.45	66.19	42
r50j	50.64	35.19	58.33	68.13	59
r75j	64.01	19.11	74.45	76.87	76
j00g	83.18	-3.93	97.56	97.64	92
j25g	66.73	-26.86	74.66	79.35	110
j50g	54.03	-43.42	57.07	71.71	127
j75g	44.73	-54.21	38.33	66.4	145
g00b	47.59	-44.11	14.14	46.33	162
g25b	49.97	-35.68	-6.03	36.19	190
g50b	51.85	-29.05	-21.88	36.38	217
g75b	46.92	-15.53	-32.37	35.92	244
b00r	37.91	1.15	-38.05	38.08	272
b25r	23.81	27.31	-46.96	54.33	300
b50r	29.52	62.07	-37.87	72.72	329
b75r	36.48	64.24	-3.31	64.33	357



Ein und Ausgabe: Farbmetrisches Drucker-Reflektiv-System FRS15_90aM für relativen CIELAB-Buntton $h^* = lab^*h^* = h_{ab}/360 = 357/360 = 0.992$ $u^* = b75r$
Daten für jede Farbe:
 lab^*tch^* und lab^*icu^*
Elementar-Bunttontext:
 $u^* = b75r$
Kontrastreduzierungsfaktor:
 $c_R = 0.9$
Dreiecks-Helligkeit t^*



FRS15_90aM; CIELAB-Daten					
	$L^*=L^*$	a^*	b^*	C^*_{ab}	h^*_{ab}
O _M	35.06	54.41	35.65	65.05	33
Y _M	83.77	-4.03	92.72	92.8	92
L _M	44.13	-55.82	39.15	68.19	145
C _M	52.66	-25.66	-33.24	42.01	232
V _M	14.15	45.64	-56.26	72.45	309
M _M	37.37	71.17	-34.08	78.92	334
N _M	15.0	0.43	-3.22	3.26	278
W _M	90.0	0.62	-5.75	5.79	276
R _{CIE}	39.92	58.74	27.99	65.07	25
J _{CIE}	81.26	-2.88	71.56	71.62	92
G _{CIE}	52.23	-42.41	13.6	44.55	162
B _{CIE}	30.57	1.41	-46.46	46.49	272

Daten für Maximalfarbe (Ma):

$LAB^*LAB^*_{Ma}$: 36 64 -2

$LAB^*LCH^*_{Ma}$: 36 64 357

$lab^*rgb^*_{Ma}$: 1.0 0.0 0.5

$lab^*olv^*_{Ma}$: 1.0 0.0 0.62

Dreiecks-Helligkeit t^*

%Umfang

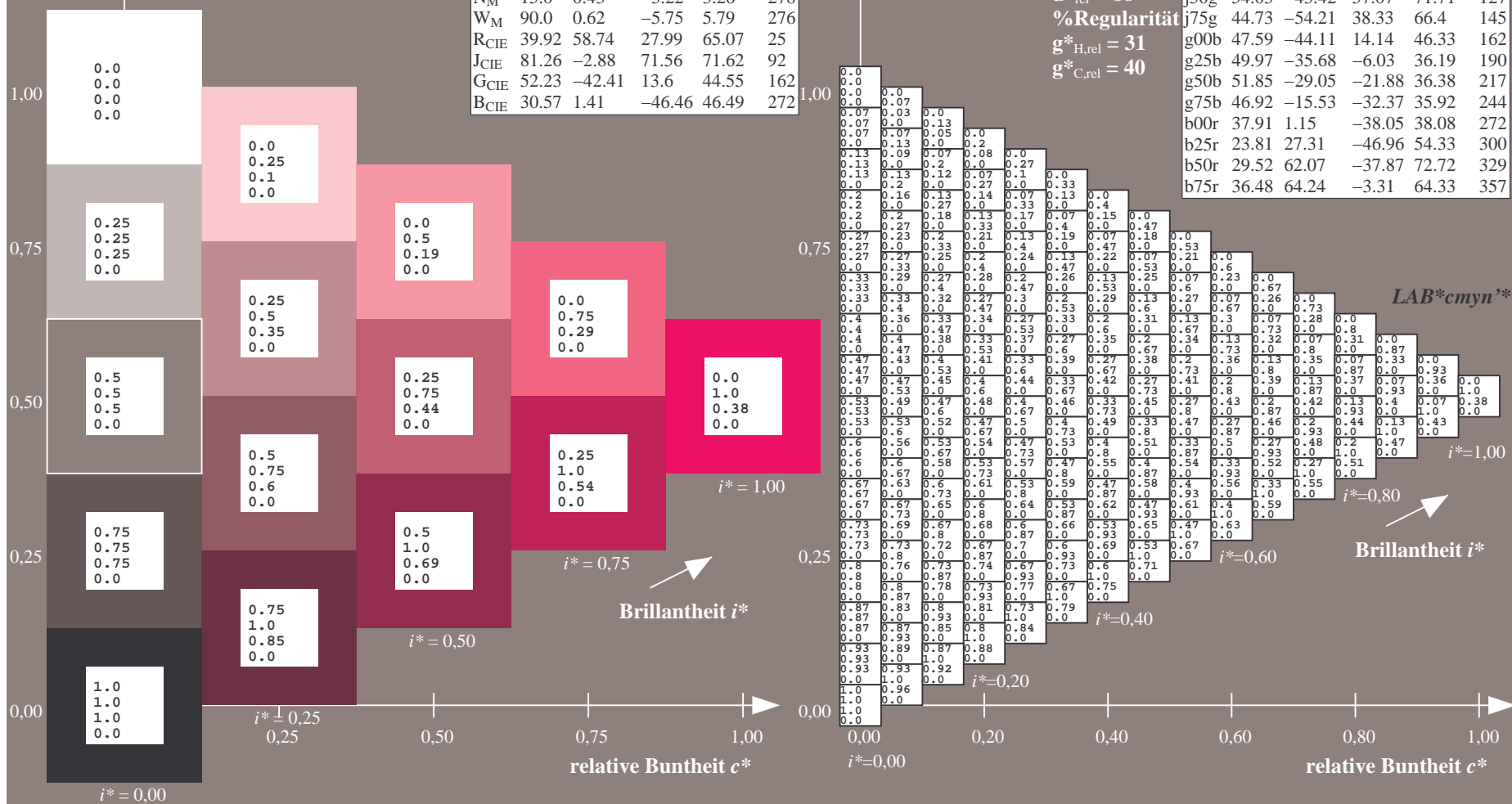
$u^*_{rel} = 88$

%Regularität

$g^*_{H,rel} = 31$

$g^*_{C,rel} = 40$

FRS15_90aM; adaptierte CIELAB-Daten					
	$L^*=L^*_a$	a^*_a	b^*_a	$C^*_{ab,a}$	$h^*_{ab,a}$
r00j	35.47	56.92	27.12	63.05	25
r25j	39.12	49.04	44.45	66.19	42
r50j	50.64	35.19	58.33	68.13	59
r75j	64.01	19.11	74.45	76.87	76
j00g	83.18	-3.93	97.56	97.64	92
j25g	66.73	-26.86	74.66	79.35	110
j50g	54.03	-43.42	57.07	71.71	127
j75g	44.73	-54.21	38.33	66.4	145
g00b	47.59	-44.11	14.14	46.33	162
g25b	49.97	-35.68	-6.03	36.19	190
g50b	51.85	-29.05	-21.88	36.38	217
g75b	46.92	-15.53	-32.37	35.92	244
b00r	37.91	1.15	-38.05	38.08	272
b25r	23.81	27.31	-46.96	54.33	300
b50r	29.52	62.07	-37.87	72.72	329
b75r	36.48	64.24	-3.31	64.33	357



[illegible]